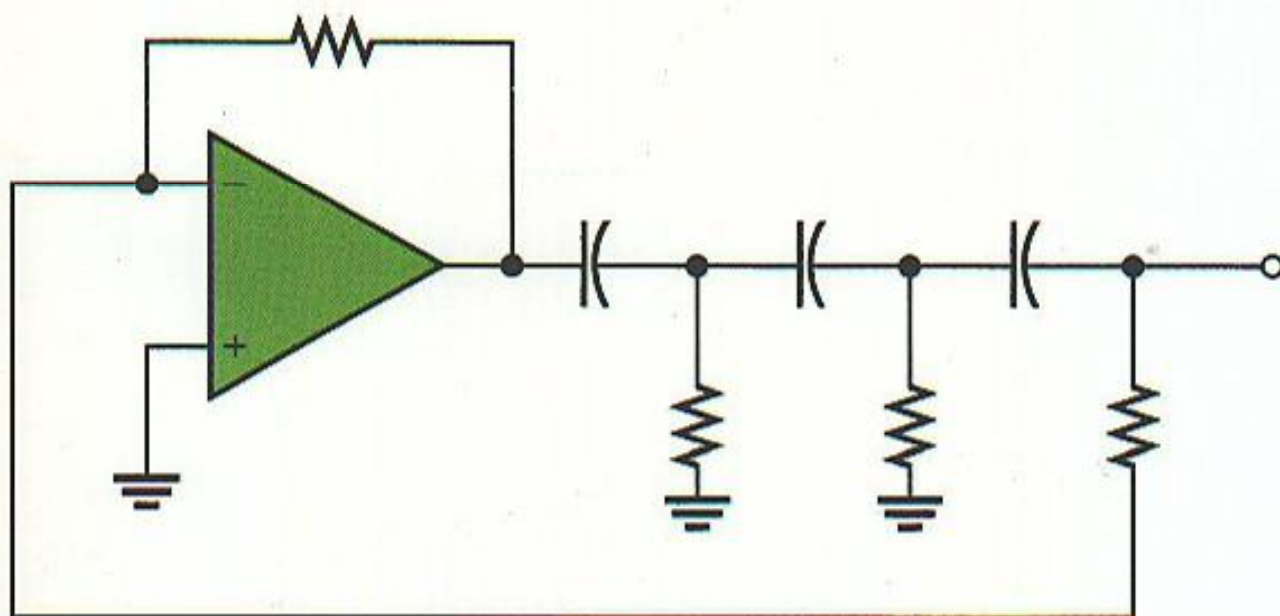




دکتر محمد حسن نشاطی  
استادیار دانشگاه سیستان و بلوچستان

# الکترونیک ۳

بررسی و طراحی مدارهای الکترونیکی



- عناصر فعال در فرکانس بالا
- پاسخ فرکانس تقویت کننده‌ها ( یک طبقه / چند طبقه )
- فیدبک در باند میانی
- پایداری تقویت کننده‌های فیدبک
- جبران سازی تقویت کننده‌های فیدبک در صفحه مختلط S و میدان فرکانس
- نوسان سازها







تحلیل و طراحی قطعات و مدارها

# الکترونیک III

مؤلف:

دکتر محمد حسن نشاطی

استادیار دانشگاه سیستان و بلوچستان





نشاطی، محمدحسین، ۱۳۳۸ -  
تحلیل و طراحی قطعات و مدارهای الکترونیک III / مؤلف محمدحسین نشاطی.  
تهران: نص، ۱۳۸۵.  
۴۴۰ ص.: مصور، جدول، نمودار.

ISBN: 964-410-077-8

۳۸۰۰۰ ریال

فهرست نویسی بر اساس فیبا.  
۱. مدارهای الکترونیکی - طرح و محاسبه. ۲. مدارهای الکترونیکی. الف. عنوان  
ت ۳ / ۵۷ / TKV۸۶۷  
۶۲۱/۳۸۱۵۹

۸۵-۵۰۶۳ م

کتابخانه ملی ایران



مؤسسه علمی فرهنگی

تحلیل و طراحی قطعات و مدارهای  
الکترونیک III

دکتر محمدحسین نشاطی

چاپ اول: بهار ۸۵

شمارگان: ۳۰۰۰

ناشر: نص

چاپ و صحافی: سازمان چاپ و انتشارات وزارت فرهنگ و ارشاد اسلامی

طراحی، آماده سازی: مؤسسه علمی فرهنگی «نص»

قیمت: ۳۸۰۰ تومان

تهران: میدان انقلاب، خیابان اردیبهشت، بن بست مبین، شماره ۲۳۷

تلفکس: ۶۶۴۱۲۳۸۵ - ۶۶۹۵۳۸۸۳ - ۶۶۴۶۵۶۷۴ ص.پ. ۸۶۳-۱۳۱۴۵

ISBN: 964-410-077-8

شابک: ۹۶۴-۴۱۰-۰۷۷-۸





## پیشگفتار

عناصر نیمه هادی اساس مدارهای مجتمع و فناوری مدرن الکترونیک هستند. مطالعه، شناخت مشخصات و همچنین کاربرد این عناصر و خصوصاً ترانزیستورها بخش مهمی از برنامه درسی دانشجویان دوره کارشناسی مهندسی برق را شامل می‌شود که عمدتاً در دروس الکترونیک ۱ و ۲ بحث و بررسی می‌شوند. همچنین رفتار عناصر فعال در فرکانسهای بالا و بررسی پاسخ فرکانسی تقویت کننده‌ها از مباحث مهم در طراحی و ساخت این نوع مدارها است. کمبود یک مرجع انگلیسی در مورد خصوصیات و مشخصات ترانزیستورها در فرکانسهای بالا و بررسی پاسخ فرکانس تقویت کننده‌ها نویسنده را بر آن داشت که مطالب مورد نیاز در درس الکترونیک ۳ دوره کارشناسی مهندسی الکترونیک و مخابرات را با بهره‌گیری از جدیدترین روشها و مراجع علمی و با تکیه بر تجربیات تدریس خود عرضه نماید.

این کتاب براساس برنامه درسی پیشنهادی شورایعالی برنامه‌ریزی و برای تدریس در یک نیمسال تحصیلی و با اهداف زیر تنظیم یافته است:

- ارائه مدلها و مدارهای معادل مختلف ترانزیستور در فرکانسهای بالا
- معرفی روشهای بررسی و طراحی تقویت کننده‌ها
- ارائه اصول تقویت کننده‌های فیدبک و طراحی آنها با پهنای باند وسیع
- بررسی ایجاد نوسان در مدارهای الکترونیکی و معرفی اسیلاتورهای سینوسی



در فصل اول مدارهای معادل عناصر فعال در فرکانس بالا عرضه می شود. برای عناصر BJT مدار معادل هایبیرید  $\pi$  که اولین بار توسط گیاکلتو (Giacolletto) ارائه شده معرفی می شود. این مدار معادل براساس واقعیت های فیزیکی که در داخل ترانزیستور اتفاق می افتد استوار است. هم چنین رابطه عناصر مدار معادل با پارامترهای مدار هایبیرید  $h$  استخراج شده و خازنهای مدار هایبیرید  $\pi$  بدقت مورد بررسی قرار می گیرند. مدار معادل مشخصات ادمیتانس اتصال کوتاه ترانزیستورهای BJT که عموماً در بررسی و طراحی تقویت کننده های فرکانس رادیویی (Radio Frequency) مورد استفاده قرار می گیرند نیز معرفی می شود. علاوه بر آن مدار معادل ترانزیستورهای اثر میدان FET ارائه شده و انواع مختلف این نوع ترانزیستورها مقایسه می شوند. هم چنین در این مبحث کوشش شده است مدار معادل عناصر فعال استفاده شده در نرم افزار spice و روش استخراج مدار معادل از کتابهای اطلاعاتی سازندگان مورد بررسی قرار گیرد.

پاسخ فرکانس تقویت کننده های یک طبقه و محاسبات خازنهای کوپلاژ و بای پس برای فرکانس قطع پایین در فصل دوم مورد بحث و بررسی قرار می گیرند. هم چنین با استفاده از مدار معادل هایبیرید  $\pi$ ، پاسخ فرکانس بالای این تقویت کننده ها مطرح شده و با استفاده از محاسبات دقیق تابع انتقال، فرکانس قطع بالای این مدارها محاسبه می شود. علاوه بر آن در مورد طرح تقویت کننده و انتخاب نوع ترانزیستور برای مشخصات خاص و مورد نظر به تفصیل بحث خواهد شد.

در فصل سوم پاسخ فرکانس تقویت کننده های چند طبقه مطرح می شود. در این تقویت کننده ها با توجه به افزایش تعداد خازنهای، محاسبات تابع انتقال مدار به روش معمول کار ساده ای نیست. با فرض اینکه این تابع انتقال بدست آید حل معادله مشخصه و بدست آوردن محل صفرها و قطبها آسان نمی باشد. اساس بررسی پاسخ فرکانس این تقویت کننده ها و محاسبه فرکانس قطع بالای آنها مبتنی بر محاسبات ثابت زمانی اتصال باز است. این روش برای تعدادی از تقویت کننده ها مطرح و نشان داده می شود که با محاسبات ساده و تقریب مناسب مشخصات مدار بدست می آید. هم چنین روش ثابت زمانی اتصال کوتاه در محاسبات فرکانس پایین معرفی و بررسی خواهد شد.

بررسی مشخصات تقویت کننده های فیدبک در باند میانی مبحث فصل چهارم است. بهره تقویت کننده ها در اثر تغییرات پارامترهای عناصر فعال با عواملی مانند درجه حرارت و نقطه کار دارای تغییرات قابل ملاحظه ای است. برای کاهش این تغییرات بخشی از سیگنال خروجی به ورودی تقویت کننده برگشت داده شده و از سیگنال ورودی کم می شود. به این نوع فیدبک، فیدبک منفی گفته می شود که باعث تثبیت مشخصات مدار می شود. علاوه بر آن استفاده از فیدبک در مدارها باعث افزایش پهنای باند، کاهش آثار غیر خطی عناصر و تغییرات مهم در امپدانس ورودی و خروجی تقویت کننده می شود.

علیرغم مزایای مناسب و مهمی که توسط فیدبک در تقویت کننده ها حاصل می شود دو اشکال مهم تقویت کننده های فیدبک، کاهش بهره و مسئله ناپایداری در آنها است. کاهش بهره را می توان با افزایش تعداد طبقات تقویت کننده برای دست یابی به بهره مورد نظر جبران نمود. اما پاسخ فرکانس عناصر فعال در فرکانسهای بالا سبب می شود فیدبک بکار رفته در مدار در بعضی از فرکانسها به فیدبک مثبت تبدیل و در نتیجه باعث ناپایداری و ایجاد نوسان در تقویت کننده شود بطوریکه بدون اعمال سیگنال در ورودی،



خروجی تقویت‌کننده دارای سیگنالی با دامنه مخالف صفر است و اصطلاحاً گفته می‌شود تقویت‌کننده به یک نوسان‌ساز تبدیل شده است. برای بررسی وضعیت ناپایداری در فصل پنجم از روش "مکان هندسی ریشه‌ها" با تغییر فیدبک استفاده می‌شود. مرز پایداری تقویت‌کننده به ازاء مقداری از فیدبک که مکان هندسی ریشه‌ها محور موهومی را قطع می‌کند بدست می‌آید. علاوه بر آن با معرفی معیارهای پایداری در "میدان فرکانس" با استفاده از تابع انتقال "بهره حلقه" بررسی وضعیت پایداری تقویت‌کننده انجام می‌شود.

فصل ششم و هفتم کتاب در مورد جبران تقویت‌کننده‌های فیدبک است. هدف اساسی در طراحی یک تقویت‌کننده، طرح مداری پایدار با پاسخ فرکانس مناسب و ضریب عدم حساسیت بزرگ است. تقویت‌کننده‌ای دارای پاسخ فرکانس مناسب است که تمام مولفه‌های سیگنال ورودی را به یک میزان تقویت نماید تا اعوجاجی در خروجی وجود نداشته باشد.

در فصل ششم روشهای مختلف جبران تقویت‌کننده‌ها با استفاده از مکان هندسی ریشه‌ها و در صفحه مختلط  $s$  بررسی و معرفی می‌شوند. با بررسی توابع انتقالی که دارای پاسخ فرکانس مسطح هستند معیار طرح تقویت‌کننده‌های فیدبک برای بدست آوردن حداکثر پهنای باند مسطح معرفی می‌شود. اصلاح مدار فیدبک، اصلاح تقویت‌کننده اصلی و اصلاح همزمان مدار فیدبک و تقویت‌کننده اصلی مهمترین روشهای جبران با استفاده از مکان هندسی ریشه‌ها می‌باشند. هم‌چنین بحث مختصری در مورد پاسخ فرکانس تقویت‌کننده‌های عملیاتی و جبران آنها خواهد شد.

فصل هفتم در مورد جبران تقویت‌کننده‌ها در میدان فرکانس است. این روش با استفاده از اندازه‌گیری پاسخ فرکانس تقویت‌کننده اصلی انجام می‌شود. با معرفی معیارهای طراحی در میدان فرکانس بر اساس مقدار حاشیه فاز روشهای مختلف جبران معرفی می‌شوند. جبران با فیدبک مقاومتی، جبران‌کننده پیش‌فاز و جبران قطب موثر مهمترین روشهایی است که در این فصل به تفصیل مورد بحث و بررسی قرار می‌گیرند. در مقایسه با روش مکان هندسی ریشه‌ها باید گفت گرچه طراحی در میدان فرکانس از دقت کافی برخوردار نیست اما محاسبات آن به سادگی قابل انجام است. در روش مکان هندسی، لازم است محل قطب‌های تقویت‌کننده اصلی مشخص باشد اما تعیین قطب‌ها خصوصاً در مورد تقویت‌کننده‌های چند طبقه آسان نیست. در حالیکه پاسخ فرکانس تقویت‌کننده در آزمایشگاه قابل اندازه‌گیری است. از مباحث مهم در طرح و محاسبات تقویت‌کننده‌ها نمودارهای بد (Bode Diagram) است. در پیوست (ج) با ذکر چند مثال خلاصه‌ای از رسم این نمودارها ارائه شده است.

فصل آخر کتاب در مورد نوسان‌سازهای سینوسی است. نوسان‌ساز مداری است که بدون سیگنال ورودی دارای خروجی است. با استفاده از مطالب فصل پنجم در خصوص پایداری تقویت‌کننده‌های فیدبک می‌توان شرایط ایجاد نوسان در یک نوسان‌ساز را بررسی و استخراج نمود. در فصل هشتم مدارهای مختلف نوسان‌ساز با استفاده از تقویت‌کننده‌های عملیاتی و هم‌چنین نوسان‌سازهای  $LC$  که عموماً در فرکانسهای بالا مورد استفاده قرار می‌گیرند معرفی و بررسی می‌شوند.

برای بررسی میزان دقت روشهای تئوری ارائه شده در متن کتاب سعی شده است در اغلب موارد نتایج محاسبات مدارها با نتایج حاصل از بررسی مدار با نرم‌افزار spice مقایسه شود. هم‌چنین مسائل پایان فصل



در بسیاری از موارد حاوی نکات مهم و آموزنده‌ای است که نه تنها فرصت تمرین در مورد مطالب درسی را فراهم می‌آورد، بلکه دانشجویان عزیز را به تفکر و اندیشیدن به مطالب تئوری واداشته تا این تمرینات صرفاً جایگزینی اعداد در فرمولهای خشک نباشد. امید است این خدمت ناچیز مورد استفاده دانشجویان قرار گرفته و مورد رضای حق تعالی قرار گیرد.

این کتاب بر اساس جزوات درسی که برای دانشجویان مهندسی برق دانشگاههای سیستان و بلوچستان و شهید باهنر کرمان تنظیم یافته نوشته شده است. لازم است مراتب تشکر و سپاسگزاری خود را از دانشجویان این دانشگاهها که با سوالات خود در بهبود کتاب سهیم هستند ابراز دارم. هم چنین از آقای مهندس علی شهرکی مقدم که در حل مسائل کتاب با نرم افزار spice و خانمها مهندس مهماندوست و مهندس یاسینی که در تایپ و رسم شکلها همکاری داشته‌اند تشکر و قدردانی کنم. در انتشارات نص، آقای رمضانی که در ویراستاری و صفحه‌بندی و مدیریت انتشارات آقای مهندس زارع که مقدمات چاپ کتاب را فراهم آوردند سپاسگزاری می‌نمایم. از همسر و خانواده خود به جهت صبر، تلاش، هم‌فکری و همکاری در طول نوشتن کتاب تشکر و قدردانی می‌کنم.

محمد حسن نشاطی  
استادیار گروه مهندسی برق و الکترونیک  
دانشگاه سیستان و بلوچستان  
بهار ۱۳۸۵





## فهرست مطالب

### فصل ۱

۱۳	مدار معادل عناصر فعال در فرکانس های بالا	۱۳
۱۳	مقدمه	۱۳
۱۴	۱-۱ مدار معادل هایبرید p ترانزیستورهای دو قطبی	۱۴
۱۴	۲-۱ تفسیر عناصر مدار معادل هایبرید p	۱۴
۱۶	۳-۱ محاسبه عناصر مدار معادل هایبرید p	۱۶
۲۰	۴-۱ خازنهای مدار معادل هایبرید p	۲۰
۲۲	۵-۱ تغییرات عناصر هایبرید p	۲۲
۲۳	۶-۱ مدار معادل ساده شده هایبرید p	۲۳
۲۳	۷-۱ پاسخ فرکانس ترانزیستورهای BJT	۲۳
۲۷	۸-۱ اعتبار مدار معادل هایبرید p	۲۷
۲۸	۹-۱ مدار معادل هایبرید p در نرم افزار spice	۲۸
۳۱	۱۰-۱ تغییرات عناصر مدار معادل هایبرید p در نرم افزار spice	۳۱
۳۳	۱۱-۱ مدار معادل مشخصه های ادمیتانس ترانزیستورهای BJT	۳۳
۳۴	۱۲-۱ روابط بین مشخصه های y و عناصر مدار p	۳۴
۳۸	۱۳-۱ تغییرات پارامترهای y با نقطه کار	۳۸



۴۱	۱۴-۱ مدار معادل ترانزیستورهای اثر میدان در فرکانس بالا
۴۳	مسائل فصل اول

## فصل ۲

## پاسخ فرکانس تقویت‌کننده‌های یک طبقه

۴۷	مقدمه
۴۷	۱-۲ طبقه‌بندی تقویت‌کننده‌ها
۴۸	۲-۲ اعوجاج در تقویت‌کننده‌ها
۵۰	۳-۲ تقسیم‌بندی باند فرکانس تقویت‌کننده‌ها
۵۰	۴-۲ مدار معادل تقویت‌کننده در باندهای فرکانسی مختلف
۵۲	۵-۲ پاسخ پله و پاسخ سیگنال مربعی تقویت‌کننده‌ها
۵۵	۶-۲ پاسخ فرکانس تقویت‌کننده‌های یک طبقه
۵۸	۷-۲ پاسخ فرکانس پایین تقویت‌کننده‌ها
۵۸	۱-۷-۲ انتخاب خازن کوپلاژ
۶۲	۲-۷-۲ انتخاب خازنهای بای‌پس
۶۷	۳-۷-۲ انتخاب خازنهای کوپلاژ و بای‌پس
۷۰	۴-۷-۲ انتخاب خازنهای CE و CC در سایر مدارها
۷۰	۸-۲ پاسخ فرکانس بالای تقویت‌کننده‌های یک طبقه
۸۰	۹-۲ نکاتی در مورد طرح مدار و انتخاب ترانزیستور
۸۳	۱۰-۲ پاسخ فرکانس کامل تقویت‌کننده آمپتر مشترک
۸۶	۱۱-۲ پاسخ فرکانس بالای تقویت‌کننده سورس مشترک
۹۰	مسائل فصل دوم

## فصل ۳

## پاسخ فرکانس تقویت‌کننده‌های چند طبقه

۱۰۵	مقدمه
۱۰۶	۱-۳ تابع انتقال تقویت‌کننده چند طبقه
۱۰۷	۲-۳ تقریب قطب موثر تابع انتقال فرکانس بالا
۱۰۹	۳-۳ رابطه فرکانس قطع و ضرایب معادله مشخصه
۱۱۱	۴-۳ روش ثابت زمانی برای محاسبه فرکانس قطع
۱۱۴	۱-۴-۳ فرکانس قطع بالا و ثابت زمانی مدار باز
۱۱۴	۲-۴-۳ فرکانس قطع پایین و ثابت زمانی اتصال کوتاه
۱۱۵	۵-۳ تقویت‌کننده سری آمپتر مشترک



۱۲۰	۶-۳ تقویت‌کننده کاسکود Cascode
۱۲۰	۱-۶-۳ بهره‌باند میانی
۱۲۱	۲-۶-۳ محاسبات فرکانس بالا
۱۲۲	۳-۶-۳ روش ثابت زمانی مدار باز در محاسبه فرکانس قطع بالا
۱۲۶	۴-۶-۳ محاسبات مدار بایاس تقویت‌کننده کاسکود
۱۲۸	۵-۶-۳ انتخاب خازن کوپلاژ و بای‌پس در تقویت‌کننده کاسکود
۱۳۳	۶-۳ تقویت‌کننده سری کلکتور مشترک - امیتر مشترک
۱۳۹	۸-۳ تقویت‌کننده تفاضلی
۱۳۹	۱-۸-۳ طبقه دیفرانسیل با ورودی متقارن
۱۴۰	۲-۸-۳ طبقه دیفرانسیل با ورودی نامتقارن
۱۴۲	۳-۸-۳ اثر مقاومت امیتر در طبقه دیفرانسیل در حالت متقارن
۱۴۵	۴-۸-۳ پاسخ فرکانس ضریب حذف سیگنال وجه مشترک
۱۴۷	۵-۸-۳ تقویت‌کننده دیفرانسیل اصلاح شده
۱۴۹	۹-۳ تقویت‌کننده تفاضلی با بار فعال
۱۵۲	۱۰-۳ طراحی تقویت‌کننده‌ها
۱۶۰	۱۱-۳ طرح تقویت‌کننده با بهره حداقل ۷۰۰۰ و پهنای باند ۳ MHz
۱۶۷	۱۲-۳ خازنهای بای‌پس و فیلترهای Decoupling
۱۷۰	مسائل فصل سوم

## فصل ۴

## تقویت‌کننده‌های فیدبک در باند میانی ۱۸۵

۱۸۵	مقدمه
۱۸۶	۱-۴ ساختمان تقویت‌کننده‌های فیدبک
۱۸۷	۲-۴ خواص فیدبک
۱۸۷	۱-۲-۴ عدم حساسیت
۱۸۸	۲-۲-۴ کاهش بهره
۱۸۸	۳-۲-۴ افزایش پهنای باند
۱۸۹	۴-۲-۴ تغییرات امپدانس ورودی و خروجی
۱۸۹	۵-۲-۴ کاهش نویز و سیگنالهای اضافی
۱۹۱	۶-۲-۴ کاهش اعوجاج غیر خطی
۱۹۲	۳-۴ انواع تقویت‌کننده‌ها و فیدبک
۱۹۳	۱-۳-۴ تقویت‌کننده ولتاژ
۱۹۴	۲-۳-۴ تقویت‌کننده جریان
۱۹۵	۳-۳-۴ تقویت‌کننده هدایت انتقالی



۱۹۶	تقویت‌کننده مقاومت انتقالی	۴-۳-۴
۱۹۷	بررسی تقویت‌کننده‌های فیدبک ایده‌آل	۴-۴
۱۹۷	فیدبک ولتاژ سری	۱-۴-۴
۲۰۰	فیدبک جریان موازی	۲-۴-۴
۲۰۱	فیدبک ولتاژ موازی	۳-۴-۴
۲۰۲	فیدبک جریان سری	۴-۴-۴
۲۰۲	بررسی دقیق تقویت‌کننده‌های فیدبک و اثر بارگذاری مدار فیدبک	۵-۴
۲۰۲	بررسی دقیق فیدبک ولتاژ-موازی	۱-۵-۴
۲۱۱	بررسی دقیق فیدبک جریان - سری	۲-۵-۴
۲۱۶	بررسی دقیق فیدبک ولتاژ - سری	۳-۵-۴
۲۱۹	بررسی دقیق فیدبک جریان - موازی	۴-۵-۴
۲۲۲	طراحی تقویت‌کننده‌های فیدبک در باند میانی	۶-۴
۲۲۶	مسائل فصل چهارم	

## فصل ۵

## ناپایداری تقویت‌کننده‌های فیدبک ..... ۲۴۳

۲۴۳	مقدمه	
۲۴۴	ناپایداری تقویت‌کننده‌های فیدبک	۱-۵
۲۴۴	تقویت‌کننده اصلی با یک قطب	۱-۱-۵
۲۴۵	تقویت‌کننده اصلی با دو قطب	۲-۱-۵
۲۴۸	تقویت‌کننده اصلی با سه قطب	۳-۱-۵
۲۴۸	مکان هندسی ریشه‌ها با تغییر فیدبک	۲-۵
۲۴۹	قواعد رسم مکان هندسی	۱-۲-۵
۲۵۷	بررسی ناپایداری در میدان فرکانس	۳-۵
۲۶۰	معیارهای پایداری در میدان فرکانس	۴-۵
۲۶۰	حاشیه بهره	۱-۴-۵
۲۶۰	حاشیه فاز	۲-۴-۵
۲۶۴	ارتباط بهره حلقه با پاسخ تقویت‌کننده در حوزه زمان و فرکانس	۵-۵
۲۶۵	مسائل فصل پنجم	

## فصل ۶

## جبران تقویت‌کننده‌های فیدبک با مکان هندسی ریشه‌ها ..... ۲۷۵

۲۷۵	مقدمه	
-----	-------	--



۲۷۶	۱-۶ بررسی مشخصات سیستم مرتبه دوم
۲۷۷	۱-۱-۶ پاسخ پله سیستم مرتبه دوم
۲۷۸	۲-۱-۶ پاسخ فرکانس سیستم مرتبه دوم
۲۷۹	۳-۱-۶ پهنای باند سیستم‌های مرتبه دوم
۲۸۰	۲-۶ توابع انتقال باترورث
۲۸۱	۱-۲-۶ تابع انتقال باترورث مرتبه اول
۲۸۲	۲-۲-۶ تابع انتقال باترورث مرتبه ۲
۲۸۳	۳-۲-۶ پهنای باند توابع انتقال باترورث
۲۸۳	۴-۲-۶ پاسخ پله توابع انتقال باترورث
۲۸۴	۳-۶ طراحی تقویت‌کننده با پاسخ فرکانس مسطح و ماکزیمم
۲۸۸	۴-۶ جبران تقویت‌کننده‌ها با مکان هندسی ریشه‌ها
۲۸۹	۱-۴-۶ جبران تقویت‌کننده با اصلاح مدار فیدبک
۳۰۰	۲-۴-۶ جبران تقویت‌کننده با اصلاح تقویت‌کننده اصلی
۳۰۰	۳-۴-۶ جبران تقویت‌کننده اصلی با اضافه کردن خازن بزرگ
۳۰۵	۴-۴-۶ اصلاح تقویت‌کننده اصلی با اضافه کردن صفر
۳۰۷	۵-۴-۶ جبران با اصلاح همزمان تقویت‌کننده اصلی و مدار فیدبک
۳۱۱	۵-۶ روند طراحی تقویت‌کننده به روش مکان هندسی ریشه‌ها
۳۱۵	مسائل فصل ششم

## فصل ۷

## جبران تقویت‌کننده‌های فیدبک در میدان فرکانس ۳۲۷

۳۲۷	مقدمه
۳۲۷	۱-۷ معیارهای پاسخ مناسب در میدان فرکانس
۳۲۸	۱-۱-۷ تقویت‌کننده اصلی یک قطبی
۳۲۹	۲-۱-۷ تقویت‌کننده اصلی دو قطبی
۳۳۰	۲-۷ روشهای جبران تقویت‌کننده‌ها در میدان فرکانس
۳۳۰	۱-۲-۷ جبران با فیدبک مقاومتی
۳۳۶	۲-۲-۷ جبران‌کننده پیش فاز
۳۴۱	۳-۲-۷ جبران قطب موثر
۳۵۰	۳-۷ ناپایداری در فرکانس‌های پایین
۳۵۵	۴-۷ پاسخ فرکانس و سرعت چرخش تقویت‌کننده‌های عملیاتی
۳۵۵	۱-۴-۷ پاسخ فرکانس تقویت‌کننده‌های عملیاتی
۳۵۸	۲-۴-۷ محدودیت سرعت چرخش در تقویت‌کننده‌های عملیاتی
۳۶۲	مسائل فصل هفتم



## فصل ۸

## نوسان‌سازهای سینوسی ..... ۳۷۵

۳۷۵	.....	مقدمه
۳۷۶	.....	۱-۸ اصول نوسان در نوسان‌سازها
۳۷۶	.....	۱-۱-۸ شرایط نوسان
۳۷۷	.....	۲-۱-۸ چگونگی ایجاد نوسان در نوسان‌سازها
۳۷۸	.....	۳-۱-۸ پایداری فرکانس نوسان
۳۷۹	.....	۴-۱-۸ پایداری دامنه نوسانات
۳۸۰	.....	۲-۸ نوسان‌سازهای انتقال فاز
۳۸۰	.....	۱-۲-۸ نوسان‌ساز انتقال فاز با تقویت‌کننده عملیاتی
۳۸۲	.....	۲-۲-۸ محدود کردن دامنه نوسان
۳۸۵	.....	۳-۲-۸ نوسان‌ساز quadrature
۳۸۶	.....	۴-۲-۸ نوسان‌ساز سه فاز
۳۸۷	.....	۵-۲-۸ نوسان‌ساز پل وین
۳۹۱	.....	۳-۸ نوسان‌سازهای LC
۳۹۲	.....	۱-۳-۸ نوسان‌ساز کولپیتس با تقویت‌کننده عملیاتی
۳۹۴	.....	۲-۳-۸ نوسان‌ساز کولپیتس با ترانزیستور BJT
۳۹۵	.....	۳-۳-۸ نوسان‌ساز هارتلی
۳۹۶	.....	۴-۳-۸ نوسان‌ساز پل میچم
۳۹۷	.....	۴-۸ نوسان‌سازهای کریستالی
۳۹۹	.....	۱-۴-۸ نوسان‌ساز کریستالی کولپیتس
۴۰۱	.....	مسائل فصل هشتم
۴۰۷	.....	فهرست مراجع

۴۰۹	.....	پیوستها
۴۱۰	.....	(الف) مشخصات ترانزیستور 2N3904
۴۱۶	.....	(ب) مشخصات ترانزیستور 2N4957 , 2N4958
۴۲۴	.....	(ج) رسم نمودار بد Bode Diagram
۴۳۰	.....	واژه‌نامه انگلیسی فارسی
۴۳۳	.....	واژه‌نامه فارسی انگلیسی





## مدار معادل عناصر فعال در فرکانس بالا

### مقدمه

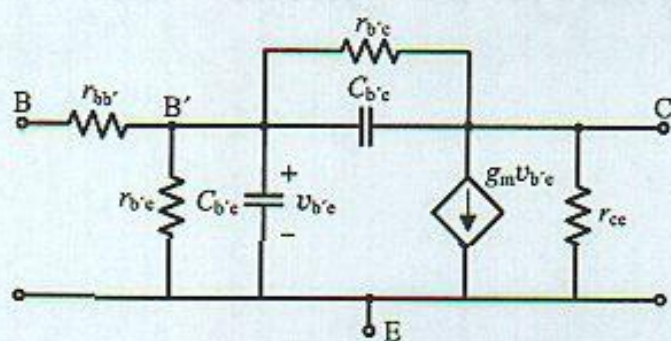
در فرکانسهای پایین فرض می شود پاسخ ترانزیستور به تغییرات ولتاژ یا جریان ورودی سریع و بدون تاخیر است که این امر حقیقتاً صحیح نمی باشد. علت آن است که حرکت حاملهای جریان (الکترون و حفره) بر اساس پدیده انتشار (diffusion) است و انتقال آنها از ناحیه امیتر به کلکتور به زمان نیاز داشته و این مسئله باعث محدودیت فرکانسی ترانزیستور می شود. برای اینکه رفتار کامل ترانزیستور در فرکانسهای بالا مشخص شود لازم است پدیده انتشار بدقت مورد بررسی قرار گیرد. این تجزیه و تحلیل پیچیده و نتایج حاصل از آن مدلی از ترانزیستور را ارائه می دهد که گرچه دقیق است ولی در عمل در طراحی مدار مناسب نمی باشد. بنابراین لازم است تقریبهایی در این بررسی بکار برد تا مدار معادل مناسبی بدست آید که با تقریب خوب معرف طرز کار واقعی ترانزیستور بوده و علاوه بر آن بررسی و طراحی تقویت کننده بسادگی ممکن باشد.

مدار معادلی که در این فصل برای ترانزیستورهای دو قطبی معرفی می شود مدار معادل هایپرید  $\pi$  است که اولین بار توسط گیاکلتو (Giacolletto) معرفی شده و تا حدود زیادی معرف طرز کار این عناصر در فرکانسهای بالا است. هم چنین مدار معادل پارامترهای ادمیتانس اتصال کوتاه که عموماً در بررسی و طراحی تقویت کننده های فرکانس رادیویی مورد استفاده قرار می گیرند ارائه و در انتها مدار معادل ترانزیستورهای اثر میدان (Field Effect Transistor) FET معرفی خواهد شد.



## ۱-۱ مدار معادل هایبرید $\pi$ ترانزیستورهای دو قطبی

مهمترین تقویت‌کننده ترانزیستوری که در عمل کاربرد زیادی دارد تقویت‌کننده امیتر مشترک است. بر این اساس مدار معادل ترانزیستورهای BJT در حالت امیتر مشترک و در فرکانسهای بالا معرفی می‌شود. این مدار در شکل (۱-۱) نشان داده شده است. بررسی و طراحی تقویت‌کننده‌ها با این مدار خیلی مشکل نیست و نتایج حاصل از تجزیه و تحلیل مدارها با آن با تقریب خوب منطبق بر نتایج آزمایشگاهی است. مهمترین خصوصیت این مدار معادل آن است که عناصر آن مستقل از فرکانس هستند. بنابراین می‌توان از آن در بررسی پاسخ فرکانس تقویت‌کننده‌ها با پهنای باند وسیع استفاده نمود. لازم به ذکر است عناصر مدار معادل ممکن است در اثر بعضی عوامل مثل نقطه کار و درجه حرارت تغییر نمایند.

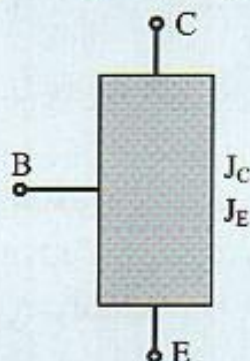


شکل ۱-۱ مدار معادل هایبرید  $\pi$  عناصر BJT

## ۲-۱ تفسیر عناصر مدار معادل هایبرید $\pi$

شکل (۲-۱) ساختمان ترانزیستور NPN را نشان می‌دهد که دارای دو پیوند امیتر و کلکتور است. در ناحیه فعال کار ترانزیستور، پیوند بیس-امیتر در گرایش مستقیم و پیوند بیس-کلکتور در گرایش معکوس قرار داده می‌شوند. تغییرات کوچک ولتاژ بیس امیتر (حول ولتاژ نقطه کار) سبب می‌شود حاملهای اضافی، الکترونها، از ناحیه امیتر به بیس تزریق شوند. بخش کمی از آنها با حفره‌های بیس ترکیب و جریان بیس را تشکیل می‌دهند و بخش عمده آنها با توجه به غلظت کم ناخالصی ناحیه بیس، مدت زمان کوتاهی در ناحیه بیس باقی مانده و پس از آن جذب پتانسیل مثبت و قوی ناحیه تخلیه پیوند کلکتور-بیس شده و جریان کلکتور را بوجود آورند. بر این اساس هر یک از عناصر مدار معادل هایبرید  $\pi$  را می‌توان به شرح زیر تفسیر نمود:

مقاومت نیمه هادی ناحیه بیس  $r_{bb'}$  گره  $B'$  در شکل (۱-۱) نقطه‌ای در داخل ناحیه بیس است که از نظر



شکل ۲-۱ ساختمان ترانزیستور NPN



فیزیکی در دسترس نیست و در واقع ترکیب مجدد حاملها در این محل اتفاق می افتد.  $r_{bb'}$  معرف مقاومت نیمه هادی موجود بین  $B'$  تا محل قابل دسترس بیس می باشد و مقدار آن بین  $20 \Omega$  تا  $100 \Omega$  است.

هدایت انتقالی ترانزیستور  $g_m$  تغییرات ولتاژ بیس امیتر  $v_{b'e}$  (حول ولتاژ نقطه کار  $V_{BEQ}$ ) باعث تغییر جریان کلکتور می شود. در شرایط سیگنال کوچک تغییرات جریان کلکتور (حول نقطه کار  $I_{CQ}$ ) متناسب با ولتاژ  $v_{b'e}$  و ضریب تناسب پارامتر  $g_m$  است بطوریکه:

$$i_c = g_m \times v_{b'e} \quad (1-1)$$

$g_m$  هدایت انتقالی ترانزیستور در ناحیه فعال و در شرایط اتصال کوتاه کلکتور است و معرف تقویت کنندگی ترانزیستور می باشد.

مدار معادل دیود بیس-امیتر در شرایط کار فعال ترانزیستور دیود بیس-امیتر در گرایش مستقیم قرار داده می شود. در این شرایط تغییرات ولتاژ بیس-امیتر به دو طریق باعث تغییر جریان بیس می شود:

الف) تغییرات ولتاژ بیس امیتر باعث تغییر حاملهای اقلیت بیس شده و در نتیجه تغییرات جریان بیس را در پی دارد. این مولفه جریان بیس متناسب با ولتاژ  $v_{b'e}$  است و با پارامتر  $g_{b'e}$  نشان داده می شود.

$$i_b = g_{b'e} \times v_{b'e} \quad (2-1)$$

به عبارت دیگر  $g_{b'e}$  معرف هدایت دینامیک دیود بیس-امیتر است.

ب) افزایش ولتاژ بیس-امیتر باعث افزایش حاملهای اقلیت موجود در ناحیه بیس شده و با توجه به کم بودن میزان ناخالصی ناحیه بیس، حاملهای اضافی مدت زمان کوتاهی در بیس جمع می شوند. تجمع بار در این ناحیه و هم چنین خازن پیوند بیس-امیتر، جمعاً توسط خازن  $C_{b'e}$  بیان می شود.

مدار معادل دیود کلکتور-بیس در شرایط کار فعال ترانزیستور دیود کلکتور-بیس در گرایش معکوس قرار دارد و در این شرایط مدار معادل آن شامل دو عنصر است:

الف) در تقویت کننده یک طبقه با بهره زیاد، تغییرات زیاد ولتاژ  $v_{ce}$  باعث تغییر عرض ناحیه تخلیه پیوند کلکتور شده و در نتیجه عرض ناحیه بیس تغییر می یابد. این مسئله تغییر جریان کلکتور و جریان بیس در ورودی را بدنبال خواهد داشت. بنابراین در ترانزیستور با تغییر ولتاژ خروجی  $v_{ce}$ ، جریان بیس، بعنوان ورودی، تغییر می یابد. این تغییرات با هدایت  $g_{b'e}$  که معرف تغییر جریان بیس به عنوان ورودی در اثر ولتاژ خروجی است نشان داده می شود. به عبارت دیگر  $g_{b'e}$  نشان دهنده فیدبک داخلی موجود در ترانزیستور می باشد.

ب) پیوند کلکتور-بیس اثر خازنی نیز از خود نشان می دهد که با خازن  $C_{b'e}$  معرفی می شود. مقدار این خازن گرچه در مقایسه با خازن  $C_{b'e}$  خیلی کمتر است اما نقش مهمی در پاسخ فرکانسی تقویت کننده ها دارد.

هدایت بین کلکتور و امیتر هدایت  $g_{ce}$  بیانگر تغییرات جریان کلکتور در اثر ولتاژ  $v_{ce}$  است. به عبارت دیگر  $g_{ce}$  شیب مشخصات ترانزیستور، جریان کلکتور بر حسب ولتاژ کلکتور امیتر، در حالت امیتر مشترک می باشد. این عنصر مدار معادل توسط ولتاژ اولیه (Early) بیان شده و مقدار آن به نقطه کار بستگی دارد.

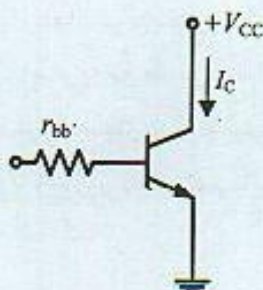
$$g_{ce} = \frac{I_{CQ}}{V_A} \quad (3-1)$$



### ۳-۱ محاسبه عناصر مدار معادل هایبرید $\pi$

با صرف نظر از خازنهای مدار هایبرید  $\pi$  مدلی بدست می آید که می توان در بررسی مدارها در فرکانس پایین استفاده کرد. از آنجایی که مدار معادل هایبرید  $h$  اساس طرح محاسبات و طرح تقویت کننده ها در فرکانس پایین است و به سادگی مقادیر آن قابل اندازه گیری می باشند، با معادل قرار دادن مشخصات خاصی از این دو مدار معادل می توان روابط بین عناصر مقاومتی مدار  $\pi$  و پارامترهای  $h$  را بدست آورد. قبل از این کار ابتدا عبارت  $g_m$  در ترانزیستور محاسبه می شود.

شکل (۳-۱) ترانزیستور BJT را بصورت امیتر مشترک نشان می دهد که در آن مقاومت بار  $R_L = \infty$  و کلکتور آن اتصال کوتاه است.



شکل ۳-۱ ترانزیستور BJT در حالت امیتر مشترک با مقاومت بار  $R_L = \infty$

در ناحیه کار فعال ترانزیستور عبارت جریان کلکتور بصورت:

$$I_C = \alpha \times I_E + I_{CBO} \quad (۴-۱ \text{ الف})$$

است.  $\alpha$  بهره جریان ترانزیستور در حالت بیس مشترک و  $I_{CBO}$  جریان پیوند کلکتور-بیس در شرایطی است که امیتر باز است. طبق تعریف  $g_m$  نسبت تغییرات جریان کلکتور به ولتاژ ورودی است:

$$g_m = \frac{\partial I_C}{\partial V_{BE}} = \alpha \frac{\partial I_E}{\partial V_{BE}} \quad (۴-۱ \text{ ب})$$

با توجه به تعریف مقاومت سیگنال کوچک یک دیود در گرایش مستقیم از روابط (۴-۱ ج):

$$r_e = \frac{\partial I_E}{\partial V_{BE}} \Rightarrow r_e = \frac{V_T}{I_{EQ}}, \quad V_T = \frac{kT}{q} \quad (۴-۱ \text{ ج})$$

بنابراین:

$$g_m = \frac{\alpha}{r_e} = \alpha \frac{I_{EQ}}{V_T} = \frac{I_{CQ} - I_{CBO}}{V_T} \approx \frac{I_{CQ}}{V_T} \quad (۵-۱)$$

در روابط (۴-۱) و (۵-۱)،  $T$  دما بر حسب درجه کلوین،  $k$  ثابت بولتزمن به مقدار  $1.38 \times 10^{-23} \text{ J/K}$  و  $q$  بار الکترون  $1.6 \times 10^{-19} \text{ C}$  و مقدار  $V_T$  در درجه حرارت اتاق  $300^\circ \text{K}$  تقریباً  $26 \text{ mV}$  می باشد. رابطه (۵-۱)



نشان می دهد که  $g_m$  در ترانزیستور با جریان نقطه کار نسبت مستقیم و با درجه حرارت نسبت عکس دارد. بهره ترانزیستور عموماً بصورت  $g_{mQ}$  نشان داده شده و در درجه حرارت اتاق مقدار آن از رابطه (۱-۶ الف) بدست می آید.

$$g_{mQ} = \frac{I_{CQ}}{26 \text{ mV}} \quad (1-6 \text{ الف})$$

عبارت دقیق تر برای محاسبه بهره عنصر BJT استفاده از رابطه نمایی در این ترانزیستورها و با در نظر گرفتن شیب مشخصات جریان کلکتور بر حسب ولتاژ کلکتور بیس است. این رابطه به صورت:

$$I_C = I_S e^{(V_{BE}/V_T)} \left( 1 + \frac{V_{CB}}{V_A} \right)$$

می باشد که در آن  $I_S$  جریان اشباع معکوس دیود بیس-امیتر و  $V_{CB}$  ولتاژ نقطه کار به مقدار:

$$V_{CB} = V_{CEQ} - V_{BEQ} \approx V_{CEQ} - 0.7 \text{ V}$$

است. بنابراین با توجه به تعریف بهره  $g_m$  در مدار هایبیرید  $\pi$  در رابطه (۱-۴ ب):

$$g_{mQ} = \frac{I_{CQ}}{26 \text{ mV}} \left( 1 + \frac{V_{CEQ} - 0.7 \text{ V}}{V_A} \right) \quad (1-6 \text{ ب})$$

رابطه (۱-۶ ب) نشان می دهد با افزایش ولتاژ نقطه کار ترانزیستور مقدار بهره افزایش می یابد. البته برای ترانزیستورهای مجزا (discrete) که مقدار ولتاژ  $V_A$  بزرگ است اثر ولتاژ نقطه کار بر مقدار بهره قابل ملاحظه نیست.

برای بدست آوردن روابط جهت محاسبه عناصر مدار  $\pi$ ، مشخصات خاصی از مدار معادل  $\pi$  در فرکانس پایین که با صرف نظر کردن خازن های آن بدست می آید معادل همان مشخصات از مدار معادل  $h$  قرار داده می شود. شکل (۱-۴) این دو مدار معادل را نشان می دهد.

الف) هدایت دینامیک دیود بیس-امیتر  $g_{b'e}$  برای محاسبه این مقدار، جریان اتصال کوتاه کلکتور (به ازاء مقاومت بار  $R_L = 0$ ) در دو مدار، مساوی هم قرار داده می شود. در مدار  $\pi$ :

$$i_c = g_m \times v_{b'e} = g_m \times r_{b'e} \times i_b \quad (1-7 \text{ الف})$$

در رابطه (۱-۷ الف) فرض شده است که مقاومت فیدبک  $r_{b'e}$  از مقاومت خیلی بزرگتر است. از طرف دیگر در مدار معادل  $h$  با توجه به تعریف  $h_{fe}$ :

$$h_{fe} = \frac{\Delta I_C}{\Delta I_B} = \frac{i_c}{i_b} \Rightarrow i_c = h_{fe} \times i_b \quad (1-7 \text{ ب})$$

با مساوی قرار دادن دو جریان از روابط (۱-۷ الف) و (۱-۷ ب) ملاحظه می شود:

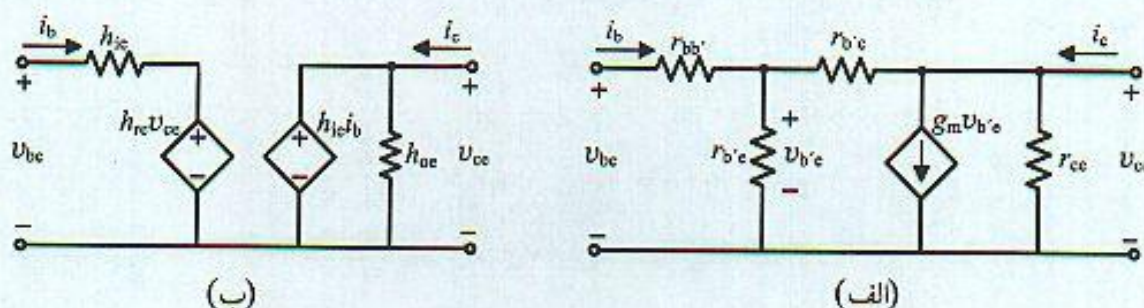


$$g_{b'e} = \frac{g_m}{h_{fe}} \Rightarrow r_{b'e} = \frac{h_{fe}}{g_m} \quad (۱-۸الف)$$

و با توجه به رابطه (۱-۴)، مقاومت دینامیک دیود بیس-امیتر از رابطه (۱-۸ب) بدست می آید.

$$r_{b'e} = h_{fe} \frac{V_T}{I_{CQ}} \quad (۱-۸ب)$$

این رابطه نشان می دهد مقاومت ورودی ترانزیستور با جریان نقطه کار نسبت عکس دارد. هم چنین با توجه به رابطه  $V_T$  که متناسب با درجه حرارت است و می توان گفت با افزایش درجه حرارت مقاومت ورودی ترانزیستور زیاد می شود.



شکل ۱-۴ مدارهای معادل ترانزیستور در فرکانس پایین: الف) مدار معادل  $\pi$ ، ب) مدار معادل  $h$

ب) مقاومت فیدبک خروجی به ورودی  $r_{b'e}$  برای محاسبه این مقاومت ابتدا در مدار معادل  $h$  تعریف پارامتر  $h_{re}$  بصورت:

$$h_{re} = \frac{v_{b'e}}{v_{ce}} \quad (i_b = 0)$$

را در نظر گرفته که نسبت ولتاژ ورودی به خروجی با جریان بیس صفر (بیس\* اتصال باز) است. همین نسبت در مدار  $\pi$  از شکل (۱-۴الف) محاسبه می شود. این نسبت در مدار معادل  $\pi$  با استفاده از:

$$v_{b'e} = r_{b'e} \times i_{b'e} = \frac{v_{ce}}{r_{b'e} + r_{c'e}} \Rightarrow v_{b'e} = \frac{r_{b'e}}{r_{b'e} + r_{c'e}} v_{ce}$$

و بنابراین:

$$\frac{v_{b'e}}{v_{ce}} = \frac{r_{b'e}}{r_{b'e} + r_{c'e}} = h_{re} \quad (۱-۹الف)$$

با توجه به اینکه مقاومت  $r_{b'e}$  خیلی بزرگتر از  $r_{c'e}$  است در نتیجه با تقریب خوب:

$$r_{b'e} = \frac{r_{b'e}}{h_{re}} \Leftrightarrow g_{b'e} = h_{re} \times g_{b'e} \quad (۱-۹ب)$$

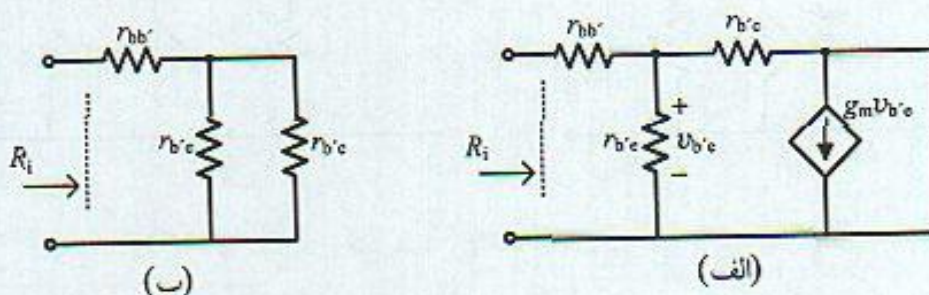


ب) مقاومت نیمه هادی ناحیه بیس  $r_{bb'}$  برای محاسبه مقاومت  $r_{bb'}$  ورودی دو مدار در حالیکه خروجی آنها اتصال کوتاه شده است مساوی هم قرار داده می شوند. این مقدار در مدار  $h_i$  برابر  $h_{ie}$  است. از طرف دیگر شکل (۵-۱) مدار معادل  $\pi$  در شرایطی که خروجی اتصال کوتاه است را نشان می دهد. واضح است که مقاومت ورودی آن:

$$R_i = r_{bb'} + r_{b'e} \parallel r_{b'c} \approx r_{bb'} + r_{b'e}$$

و بنابراین مقاومت ناحیه بیس  $r_{bb'}$  از رابطه (۱۰-۱) بدست می آید.

$$r_{bb'} = h_{ie} - r_{b'e} \quad (10-1)$$



شکل ۵-۱ مدار معادل های هایبرید  $\pi$  برای محاسبه مقاومت ورودی (خروجی اتصال کوتاه)

ب) مقاومت خروجی ترانزیستور  $r_{ce}$  برای محاسبه این مقاومت، ابتدا با توجه به تعریف  $h_{oe}$ ، هدایت خروجی ترانزیستور با جریان بیس صفر (بیس باز) را در نظر گرفته:

$$h_{oe} = \frac{i_{ce}}{v_{ce}} \quad (i_b = 0)$$

همین تعریف را در مورد مدار  $\pi$  بکار برده تا رابطه لازم برای محاسبه  $r_{ce}$  بدست آید. شکل (۶-۱) مدار هایبرید  $\pi$  را با ورودی مدار باز نشان می دهد که در آن رابطه (۱۱-۱) برقرار است.

$$i_c = g_m \times v_{b'e} + \frac{v_{ce}}{r_{ce}} + \frac{v_{ce}}{r_{b'e} + r_{b'c}} \quad (11-1)$$

با توجه به جریان صفر برای بیس و تعریف ضریب  $h_{re}$  از رابطه (۹-۱)، بنابراین:

$$i_c = g_m h_{re} v_{ce} + \frac{v_{ce}}{r_{ce}} + \frac{v_{ce}}{r_{b'e} + r_{b'c}} \Rightarrow \frac{i_c}{v_{ce}} = g_m \times h_{re} + \frac{1}{r_{ce}} + \frac{1}{r_{b'e} + r_{b'c}}$$

و به این ترتیب هدایت خروجی ترانزیستور:

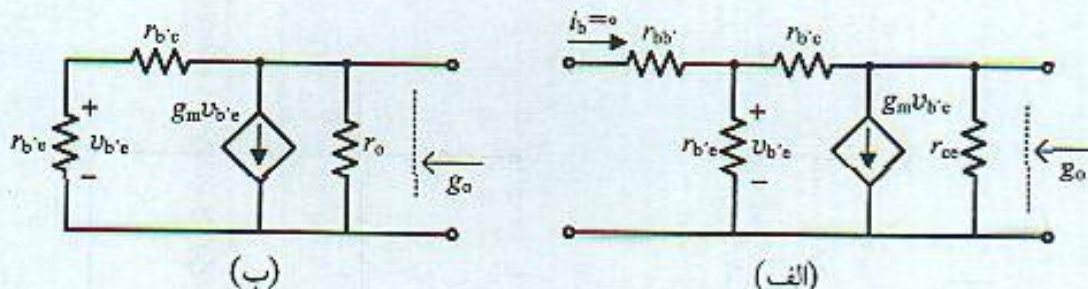
$$g_{ce} = \frac{1}{r_{ce}} = g_m \times h_{re} + \frac{1}{r_{b'e} + r_{b'c}} - h_{oe}$$



باتوجه به اینکه  $r_{b'e}$  در مقابل  $r_{b'e}$  قابل صرفنظر است و روابط  $r_{b'e} = h_{re} r_{b'e} = g_m r_{b'e} = h_{fe}$ ، در نتیجه عبارت ساده شده هدایت خروجی ترانزیستور  $g_{ce}$  رابطه (۱۲-۱) خواهد بود.

$$g_{ce} = h_{oe} - (1 + \beta_o) g_{b'e} \Rightarrow g_{ce} = h_{oe} - \beta g_{b'e} = h_{oe} - g_m h_{re} \quad (12-1)$$

و مقاومت خروجی ترانزیستور  $r_{ce} = \frac{1}{g_{ce}}$  می‌باشد.



شکل ۶-۱ مدار معادل‌های هایبرید  $\pi$  برای محاسبه مقاومت خروجی (ورودی اتصال باز)

### مثال ۱-۱

در یک ترانزیستور با نقطه کار ۱ mA و مشخصات داده شده زیر عناصر مقاومتی مدار  $\pi$  را تعیین کنید.

$$h_{ie} = 2.65 \text{ k}\Omega, \beta_o = h_{fe} = 100, h_{oe} = 3 \times 10^{-5} \Omega^{-1}, h_{re} = 5.2 \times 10^{-4}$$

با توجه به روابط بدست آمده در این بخش مقادیر عناصر مدار معادل:

$$g_{mQ} = \frac{I_{CQ}}{V_T} = \frac{1 \text{ mA}}{26 \text{ mV}} = 0.03846 \text{ mA/V} = 38.46 \text{ m}\Omega^{-1}$$

$$r_{b'e} = \frac{h_{fe}}{g_m} = \frac{100}{38.46} = 2.6 \text{ k}\Omega$$

$$r_{bb'} = h_{re} - r_{b'e} = (2.65 - 2.6) \text{ k}\Omega = 50 \Omega$$

$$r_{b'c} = \frac{r_{b'e}}{h_{re}} = 5 \text{ M}\Omega$$

$$g_{ce} = h_{oe} - g_m \times h_{re} = 0.01 \text{ m}\Omega^{-1} \Rightarrow r_{ce} = 100 \text{ k}\Omega$$

### ۴-۱ خازنهای مدار معادل هایبرید $\pi$

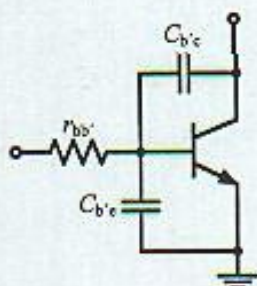
مدار معادل هایبرید  $\pi$  ترانزیستورهای BJT شامل دو خازن است که در شکل (۷-۱) نشان داده شده‌اند. خازن دیودیس-امیتر پیوند امیتر ترانزیستور BJT در تقویت‌کننده‌ها در گرایش مستقیم قرار دارد و خازن مربوط به آن شامل دو بخش خازن پیوند و خازن انتشار می‌باشد:



$$C_{b'e} = C_{je} + C_d \quad (13-1)$$

در بایاس مستقیم دیود بیس-امیتر، حاملهای جریان از امیتر وارد بیس شده و مدت کوتاهی در ناحیه بیس بدون ترکیب باقی مانده و ذخیره می شوند. این تجمع بار در ناحیه بیس توسط خازن انتشار  $C_d$  که خازن شارژ ناحیه بیس (base charging capacitance) نیز نامیده می شود معرفی می شود. واضح است هر چه نقطه کار مدار بیشتر باشد میزان بار ذخیره شده بیشتر و در نتیجه ظرفیت خازن مربوطه بزرگتر خواهد بود. چنانچه تغییرات بار ذخیره شده در ناحیه بیس با  $q_h$  (در اثر ولتاژ  $v_{b'e}$  دو سر بیس-امیتر) نشان داده شود، مقدار خازن  $C_d$  از رابطه (14-1) بدست می آید.

$$C_d = \frac{q_h}{v_{b'e}} \quad (14-1)$$



شکل ۷-۱ خازنهای مدار هایبرید  $\pi$

انتقال یک حامل اقلیت از ناحیه امیتر به کلکتور و عبور از ناحیه بیس به مدت زمانی هر چند کوتاه نیاز دارد. این مدت زمان عموماً زمان گذر از بیس (base transit time) نامیده شده و یک کمیت آماری با مقدار متوسط  $\tau_F$  است بطوریکه:

$$\tau_F = \frac{Q_h}{I_{CQ}} \quad (15-1)$$

$Q_h$  مقدار بار ذخیره شده در جریان نقطه کار  $I_{CQ}$  است. در حالت سیگنال کوچک و برای تغییرات مشخص ولتاژ بیس امیتر  $v_{b'e}$  (حول نقطه کار)، مقدار بار اضافی  $q_h$ :

$$q_h = \tau_F i_c \quad (16-1)$$

است و بنابراین خازن انتشار  $C_d$ :

$$C_d = \frac{q_h}{v_{b'e}} = \frac{\tau_F i_c}{v_{b'e}} = \tau_F g_m \quad (17-1)$$

ملاحظه می شود خازن انتشار  $C_d$  متناسب با جریان نقطه کار  $I_{CQ}$  و متوسط زمان گذر  $\tau_F$  است. مقدار  $\tau_F$  در ترانزیستورهای فرکانس بالا حدود چند نانو ثانیه می باشد.

ب) خازن پیوند خازن دیگری که دیود بیس امیتر از خود نشان می دهد خازن پیوند  $C_{je}$  است که مقدار آن بستگی به ولتاژ بایاس پیوند دارد بطوریکه:



$$C_{je} = \frac{C_{jco}}{\left(1 + \frac{V_{BE}}{V_{je}}\right)^m} \quad (18-1)$$

$V_{BE}$  ولتاژ بیایس امیتر،  $C_{jco}$  خازن پیوند در ولتاژ  $V_{BE} = 0$  و مقدار آن بین  $0.1$  pF تا  $2$  pF است. ضریب  $m$  بستگی به نوع پیوند داشته و معمولاً  $m = 0.33$  در محاسبات منظور می شود.  $V_{je}$  پتانسیل پیوند است که بستگی به غلظت ناخالصی ناحیه بیس امیتر داشته و از رابطه (۱۹-۱) بدست می آید.

$$V_{je} = V_T \ln \left( \frac{N_A N_D}{n_i^2} \right) \quad (19-1)$$

در رابطه (۱۹-۱)  $N_D$  و  $N_A$  به ترتیب غلظت نیمه هادی نوع  $p$  (در ناحیه بیس) و  $n$  (در ناحیه امیتر) و  $n_i$  غلظت چگالی نیمه هادی خالص بکار رفته می باشد. خازن کل بیس-امیتر از رابطه (۱۳-۱) بدست می آید.

ج) خازن دیود کلکتور-بیس با توجه به اینکه پیوند کلکتور در گرایش معکوس قرار دارد این دیود اثر خازنی ناشی از ناحیه تخلیه پیوند کلکتور از خود نشان می دهد. مقدار تقریبی از رابطه مشابه برای پیوند امیتر بدست می آید:

$$C_{jc} = \frac{C_{jco}}{\left(1 + \frac{V_{CB}}{V_{jc}}\right)^m} \quad (20-1)$$

در رابطه (۲۰-۱)  $C_{jco}$  مقدار خازن پیوند در ولتاژ صفر ولت و  $V_{CB}$  ولتاژ بیایس معکوس پیوند کلکتور می باشند. سایر مقادیر مشابه روابط پیوند امیتر می باشند.

## ۵-۱ تغییرات عناصر هایبرید $\pi$

در بخش قبل روابط بین عناصر مدار هایبرید  $\pi$  و  $h$  بدست آمد. مشخص شد بعضی از عناصر مدل معادل در اثر عواملی مثل درجه حرارت، جریان و ولتاژ نقطه کار تغییر می کنند. جدول (۱-۱) این تغییرات را بطور خلاصه نشان می دهد. بعضی از این نتایج مستقیماً از روابط بدست آمده در بخش قبل به آسانی قابل تشخیص می باشند. اما در برخی از موارد توضیحاتی لازم است که مختصراً درباره آنها اشاره می شود.

با افزایش جریان نقطه کار مقاومت ناحیه بیس  $r_{bb'}$  کاهش می یابد. این امر ناشی از تغییر عرض ناحیه بیس می باشد. هم چنین با افزایش درجه حرارت با توجه به کاهش قابلیت تحرک حاملهای جریان، مقدار این مقاومت کم می شود.

با افزایش ولتاژ نقطه کار عرض ناحیه بیس کاهش می یابد. این مسئله باعث افزایش  $\alpha$  و در نتیجه افزایش  $h_{fe}$  می شود. تغییرات  $h_{fe}$  با جریان نقطه کار رابطه مشخصی ندارد و عمدتاً منحنی تغییرات آن توسط سازندگان ارائه می شود. هم چنین افزایش  $h_{fe}$  با درجه حرارت از نتایج تجربی و آزمایشگاهی است. در طرح یک تقویت کننده عموماً نقطه کاری انتخاب می شود که  $h_{fe}$  بیشترین مقدار را داشته باشد.



جدول ۱-۱ تغییرات پارامترهای مدار معادل هایبرید  $\pi$  ترانزیستورهای BJT

پارامتر	تغییرات با افزایش		
	$I_C$	$V_{CE}$	$T$
$g_m$	متناسب	مستقل	نسبت عکس
$r_{bb'}$	کاهش	-	افزایش
$C_{b'e}$	متناسب	کاهش	-
$C_{b'c}$	متناسب	کاهش	مستقل
$h_{fe}$	شکل (۱-۱۵)	افزایش	افزایش
$h_{ie}$	نسبت عکس	افزایش	افزایش

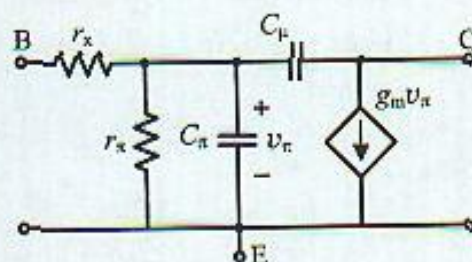
## ۶-۱ مدار معادل ساده شده هایبرید $\pi$

روش معمول برای بیان عناصر مدار هایبرید  $\pi$  بصورت  $r_{bb'}$ ،  $r_{b'e}$  و  $C_{b'e}$  می باشند که اندیس بکار رفته محل قرار گرفتن عنصر در مدار معادل را نشان می دهد. اما برای سادگی در محاسبات و نوشتن روابط عموماً از نمادهای زیر استفاده می شود.

$$r_{bb'} \rightarrow r_x, \quad C_{b'e} \rightarrow C_\pi, \quad r_{b'e} \rightarrow r_\pi$$

$$r_{b'c} \rightarrow r_\mu, \quad C_{b'c} \rightarrow C_\mu, \quad r_{ec} \rightarrow r_o$$

در مدار هایبرید  $\pi$  می توان از مقاومتهای بزرگ صرف نظر و مدار شکل (۹-۱) را بدست آورد که مدار معادل ساده شده هایبرید  $\pi$  نامیده می شود. اینکه چه موقع می توان از مدار ساده شده استفاده کرد، باید در نظر داشت در مواردی که مقاومت بار بزرگ و بهره تقویت کننده زیاد است (مانند تقویت کننده با بار فعال) اثر مقاومت  $r_\mu$  در ورودی طبق قضیه میلر قابل صرف نظر نیست و لازم است از مدار معادل کامل هایبرید  $\pi$  استفاده کرد. در مواردی که بهره مدار کم است می توان مدار معادل ساده شده را بکار برد.



شکل ۸-۱ مدار معادل ساده شده هایبرید  $\pi$  ترانزیستور BJT

## ۷-۱ پاسخ فرکانس ترانزیستورهای BJT

برای تعیین پاسخ فرکانسی ترانزیستور، عبارت بهره جریان اتصال کوتاه در حالت آمپتر مشترک  $\beta(s)$  از مدار هایبرید  $\pi$  بررسی و محاسبه می شود. شکل (۹-۱) مدار معادل را در شرایطی که خروجی آن اتصال کوتاه است نشان می دهد. با استفاده از این مدار عبارت  $\beta(s)$  از رابطه (۲۱-۱) محاسبه می شود.



$$\beta(s) = \frac{I_c}{I_b} \quad (v_o = 0) \quad (21-1)$$

با بکار بردن قاعده جریان کیرشف (KCL) در گره کلکتور در شکل (۹-۱ الف) و با صرفنظر از جریان مقاومت  $r_\mu$  با توجه به بزرگ بودن آن:

$$I_c = g_m V_{b'e} - I_{C\mu}$$

که در آن  $I_{C\mu}$  جریان خازن  $C_\mu$  است. از طرف دیگر با توجه به اتصال کوتاه خروجی از مدار شکل (۹-۱ ب) می‌توان جریان  $I_{C\mu}$  را بدست آورد. هم‌چنین عبارت ولتاژ بیس امیتر را بر حسب جریان بیس نوشت:

$$V_{b'e} = \frac{I_b}{g_\pi + g_\mu + s(C_\pi + C_\mu)}, \quad I_{C\mu} = s C_\mu V_{b'e}$$

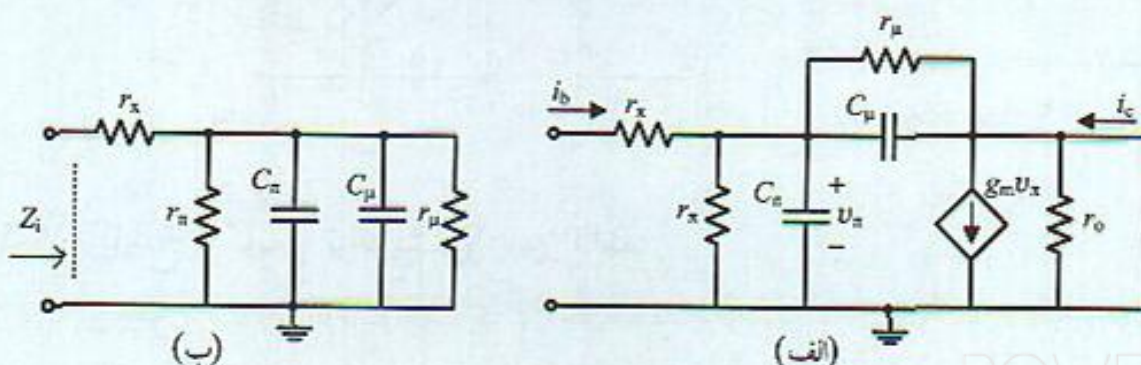
و در نتیجه تابع انتقال بهره جریان امیتر مشترک  $\beta(s)$ :

$$\beta(s) = \frac{I_c}{I_b} = \frac{g_m - s C_\mu}{g_\pi + g_\mu + s(C_\pi + C_\mu)} \quad (22-1)$$

بدست می‌آید. رابطه (۲۲-۱) نشان می‌دهد که تابع انتقال بهره جریان اتصال کوتاه دارای یک صفر در سمت راست صفحه مختلط  $s$  و یک قطب در سمت چپ است. در محدوده فرکانس‌هایی که بتوان از عبارت  $sC_\mu$  در مقابل  $g_m$  صرفنظر کرد و با توجه به اینکه  $r_\pi$  خیلی کوچکتر از  $r_\mu$  است، رابطه (۲۳-۱) بدست می‌آید.

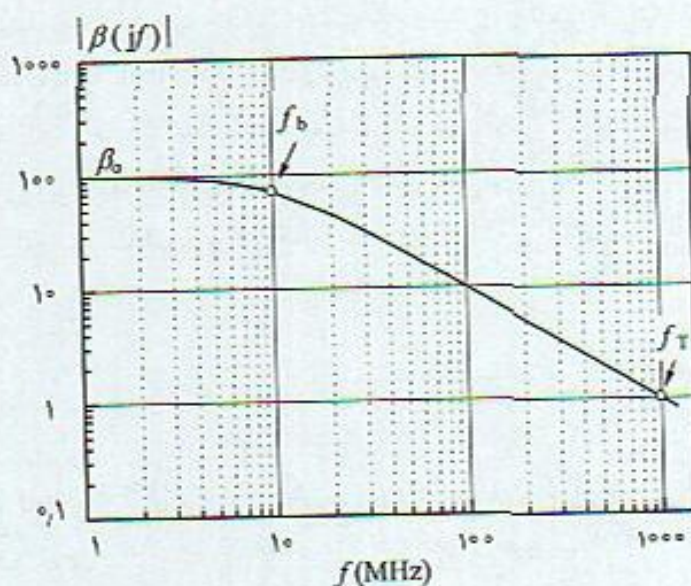
$$\beta(s) = \frac{\beta_0}{1 + s(C_\pi + C_\mu)r_\pi}, \quad \beta_0 = g_m r_\pi \quad (23-1)$$

در رابطه (۲۳-۱) مقدار متعارف بهره جریان فرکانس پایین ترانزیستور است. ملاحظه می‌شود بهره جریان با افزایش فرکانس بصورت عددی مختلط در آمده و قدر مطلق آن با شیب  $20 \text{ dB/decade}$  یا  $6 \text{ dB/octave}$  افت پیدا می‌کند. شکل (۱۰-۱) نمودار بد (Bode diagram) قدر مطلق بهره جریان را بر حسب فرکانس نشان می‌دهد.



شکل ۹-۱ مدار معادل هایبرید  $\pi$  در شرایط اتصال کوتاه خروجی





شکل ۱-۱۰ تغییرات بهره جریان اتصال کوتاه ترانزیستور بر حسب فرکانس

در پاسخ فرکانس بهره جریان ترانزیستور دو فرکانس مهم قابل تشخیص است:  
الف) فرکانس قطع  $f_\beta$  فرکانسی که در آن بهره جریان نسبت به بهره فرکانس پایین به اندازه ۳ dB افت پیدا می کند فرکانس قطع بهره جریان اتصال کوتاه امپتر مشترک  $f_\beta$  نامیده می شود. مقدار آن با توجه به رابطه (۲۲-۱) که قطب تابع انتقال  $\beta(s)$  در:

$$s_p = - \frac{1}{(C_\pi + C_\mu) r_\pi} \quad (23-1)$$

قرار دارد، بنابراین:

$$\omega_\beta = |s_p| \Rightarrow f_\beta = \frac{1}{2\pi (C_\pi + C_\mu) r_\pi} \quad (24-1)$$

ب) فرکانس گذر  $f_T$  فرکانسی که در آن بهره جریان ترانزیستور مقدار یک،  $|\beta| = 1$  شود فرکانس گذر (transition frequency) نامیده شده و با  $f_T$  نشان داده می شود. با توجه به رابطه (۲۲-۱) می توان نشان داد:

$$\omega_T = \beta_0 \omega_\beta \Rightarrow f_T = \frac{\beta_0}{2\pi (C_\pi + C_\mu) r_\pi} = \frac{g_m}{2\pi (C_\pi + C_\mu)} \quad (25-1)$$

فرکانس  $f_T$  یکی از مشخصات مهم ترانزیستور در فرکانس بالا است و حدود فرکانس کار نهایی آنرا مشخص می کند. این مشخصه مانند سایر پارامترهای ترانزیستور به شرایط کار (جریان و ولتاژ نقطه کار) بستگی دارد. رابطه  $f_T = \beta_0 f_\beta$  نشان می دهد که در یک ترانزیستور با  $f_T$  مشخص می توان پهنای باند و بهره را با هم معاوضه کرد. به این معنی که برای دستیابی به پهنای باند بیشتر لازم است بهره تقویت کننده را کم نمود و یا با کم کردن بهره می توان پهنای باند را افزایش داد. به عبارت دیگر در مقایسه دو ترانزیستور که



دارای  $f_T$  یکسان هستند ترانزیستور با  $\beta_0$  کمتر پهنای باند بیشتری را تامین می‌کند. به فرکانس گذر  $f_T$  پهنای باند بهره جریان واحد (unity gain bandwidth) ترانزیستور نیز گفته می‌شود. فرکانس  $f_T$  غالباً آنقدر بزرگ است که بطریق مستقیم قابل اندازه‌گیری نیست و معمولاً به روش غیر مستقیم از طریق اندازه‌گیری بهره جریان در فرکانس خیلی پایین‌تر از آن انجام می‌شود. چنانچه فرکانس کار مداری خیلی بیش از  $f_\beta$  انتخاب شود، در این صورت در رابطه (۲۲-۱) و در مخرج آن از مقدار "۱" می‌توان صرف‌نظر کرد و:

$$|\beta(jf)| = \frac{\beta_0}{2\pi f (C_\pi + C_\mu) r_\pi} \quad (26-1)$$

بنابراین با استفاده از رابطه (۲۶-۱) و با اندازه‌گیری بهره جریان در یک فرکانس مشخص (حدافً ۱۰ برابر  $f_\beta$ ) مقدار  $f_T$  تعیین می‌شود. علاوه بر آن مقدار فرکانس گذر و تغییرات آن بر حسب نقطه کار در کتابهای اطلاعاتی توسط سازندگان داده می‌شود. بنابراین با مشخص شدن مقدار  $f_T$  مقدار خازن  $C_\pi$  از رابطه (۲۷-۱) محاسبه می‌شود.

$$C_\pi = \frac{g_m}{2\pi f_T} - C_\mu \quad (27-1)$$

متناسب با فرکانس گذر یک ترانزیستور مدت زمانی بنام زمان گذر  $\tau_T$  (transit time) نیز به یک ترانزیستور نسبت داده می‌شود که:

$$\tau_T = \frac{1}{\omega_T} = \frac{1}{2\pi f_T} = \frac{C_\pi + C_\mu}{g_m} \quad (28-1)$$

رابطه (۲۸-۱) را با استفاده از روابط (۲۲-۱) و (۲۲-۱) می‌توان بصورت:

$$\tau_T = \tau_F + \frac{C_{je}}{g_m} + \frac{C_\mu}{g_m} \quad (29-1)$$

نشان داد. از رابطه (۲۹-۱) ملاحظه می‌شود زمان گذر به مقدار  $g_m$  و به تبع آن به نقطه کار  $I_{CQ}$  بستگی دارد. در جریانهای کم اثر خازنهای ترانزیستور، و به عبارت بهتر زمان شارژ این خازنها تعیین‌کننده است. هر چه این مدت زمان بیشتر باشد  $\tau_T$  افزایش یافته و  $f_T$  راکاهش می‌دهد. از طرف دیگر در جریانهای نقطه کار بالا از مدت زمان شارژ خازنها می‌توان صرف‌نظر کرد و در این صورت  $\tau_T$  به  $\tau_F$  میل می‌کند. در بخش بعد تغییرات  $f_T$  بر حسب نقطه کار بررسی می‌شود.

### مثال ۲-۱

در ترانزیستور مثال (۱-۱) و با مقادیر  $C_\pi = 50 \text{ pF}$  و  $f_T = 250 \text{ MHz}$ ، مدار معادل کامل هایبرید  $\pi$  را مشخص کنید.



مقادیر عناصر مقاومتی مدار  $\pi$  در مثال (۱-۱) محاسبه شده است.

$$g_m = 38.46 \text{ m}\Omega^{-1}, r_{\pi} = 2.6 \text{ k}\Omega, r_x = 50 \text{ }\Omega, r_{\mu} = 5 \text{ M}\Omega, r_o = 100 \text{ k}\Omega$$

با توجه به روابط (۱-۲۴) و (۱-۲۶)، مقدار خازن  $C_{\pi}$  و فرکانس قطع ۳ dB بهره جریان:

$$C_{\pi} = \frac{g_m}{2\pi f_T} - C_{\mu} = 20.46 \text{ pF}$$

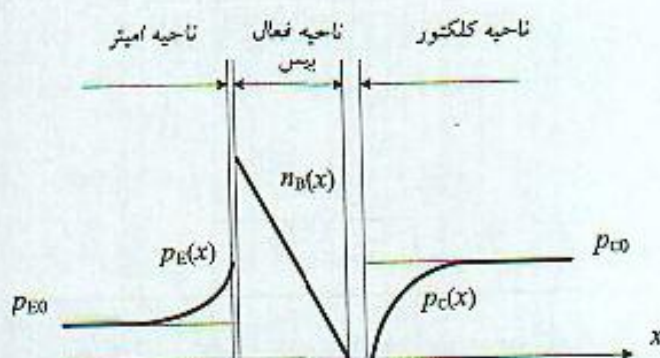
$$f_{\beta} = \frac{f_T}{\beta_0} = 2.5 \text{ MHz}$$

بدست می آیند.

### ۸-۱ اعتبار مدار معادل هایبیرید $\pi$

عموماً در محاسبات پارامترهای ترانزیستور و خصوصاً مقادیر  $g_m$  و  $C_{\pi}$  فرض بر آن است که تغییرات ولتاژ بیس-امیتر به اندازه کافی آرام است. در این شرایط در فیزیک الکترونیک نشان داده شده است که تابع توزیع حاملهای اقلیت ناحیه بیس بصورت مثلثی است که در شکل (۱-۱۱) نشان داده شده است. چنانچه این توزیع بار علیرغم تغییرات ولتاژ بیس امیتر ثابت بماند در این صورت شیب (تغییرات) توزیع بار در طول ناحیه بیس ثابت بوده و جریان امیتر و کلکتور متناسب با این شیب خواهد بود.

بنابراین مدل هایبیرید تا زمانی دارای اعتبار است که سرعت تغییر ولتاژ بیس امیتر به اندازه کافی آهسته و آرام باشد. گیاکلتو (Giacolletto) در مقاله اصلی خود در تشریح مدار معادل هایبیرید  $\pi$  نشان داده است که عناصر مدار تا فرکانسهای کمتر از  $f_T$  مستقل از فرکانس و در عمل تا فرکانسهای  $f_T/3 \leq f$  این مدار معتبر می باشد.



شکل ۱-۱۱ توزیع حاملهای اقلیت در ناحیه بیس و حالت فعال کار ترانزیستور

### مثال ۳-۱

در ترانزیستوری با نقطه کار ۱۰ mA عناصر مدار  $h$  مقادیر

$$h_{ie} = 290 \text{ }\Omega, \beta_0 = 100, h_{oe} = 1.2 \times 10^{-4} \text{ }\Omega^{-1}, h_{re} = 0.5 \times 10^{-4}, V_T = 25 \text{ mV}$$

می باشند. هم چنین بهره جریان اتصال کوتاه در فرکانس ۵۰ MHz مقدار ۲۰ اندازه گیری شده است و خازنهای این ترانزیستور  $C_{\mu} = 3 \text{ pF}$  و  $C_{je} = 4 \text{ pF}$  می باشند.



الف) برای این ترانزیستور عناصر مدار هایبرید  $\pi$  را مشخص و مدار کامل آنرا رسم کنید.  
ب) مقادیر  $f_T$ ,  $f_\beta$ ,  $\tau_T$  و  $\tau_F$  را تعیین نمایید.

$$g_m = \frac{I_{CQ}}{V_T} = \frac{10 \text{ mA}}{25 \text{ mV}} = 0.4 \text{ A/V} = 400 \text{ m}\Omega^{-1}$$

$$r_\pi = \frac{h_{fe}}{g_m} = \frac{100}{400} = 250 \Omega$$

$$r_x = h_{ie} - r_\pi = 290 - 250 = 40 \Omega$$

$$r_\mu = \frac{r_\pi}{h_{re}} = 5 \text{ M}\Omega$$

$$g_{cc} = h_{oe} - g_m h_{re} = 1 \times 10^{-7} \Omega^{-1} \Rightarrow r_o = 10 \text{ k}\Omega$$

$$|\beta| = \frac{\beta_o}{2\pi f (C_\pi + C_\mu)} \Rightarrow \frac{100}{2\pi \times 50 (C_\pi + 3) 250} = 20 \Rightarrow C_\pi = 63.66 \text{ pF}$$

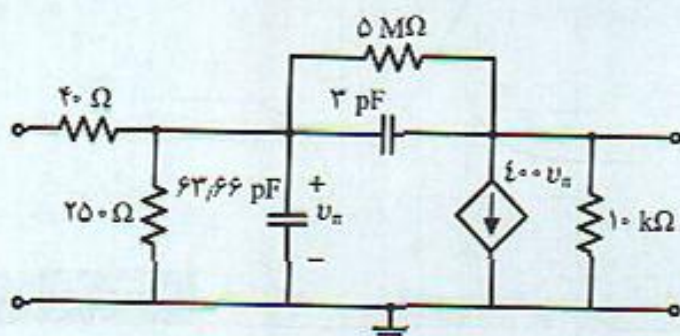
شکل (۱۲-۱) مدار معادل کامل این ترانزیستور را نشان می‌دهد. سایر مشخصات این ترانزیستور به شرح زیر محاسبه می‌شوند:

$$f_T = \frac{g_m}{2\pi (C_\pi + C_\mu)} = \frac{400 \text{ m}\Omega^{-1}}{2\pi (63.66 + 3) \text{ pF}} = 0.9555 \text{ GHz} = 955.5 \text{ MHz}$$

$$f_\beta = \frac{f_T}{\beta_o} = 9.55 \text{ MHz}$$

$$\tau_T = \frac{1}{\omega_T} = \frac{1}{2\pi \times (0.9555 \text{ GHz})} = 0.166 \text{ ns}$$

$$\tau_F = \tau_T - \frac{C_{je} + C_\mu}{g_m} = 0.166 - \frac{V}{400} = 0.145 \text{ ns}$$



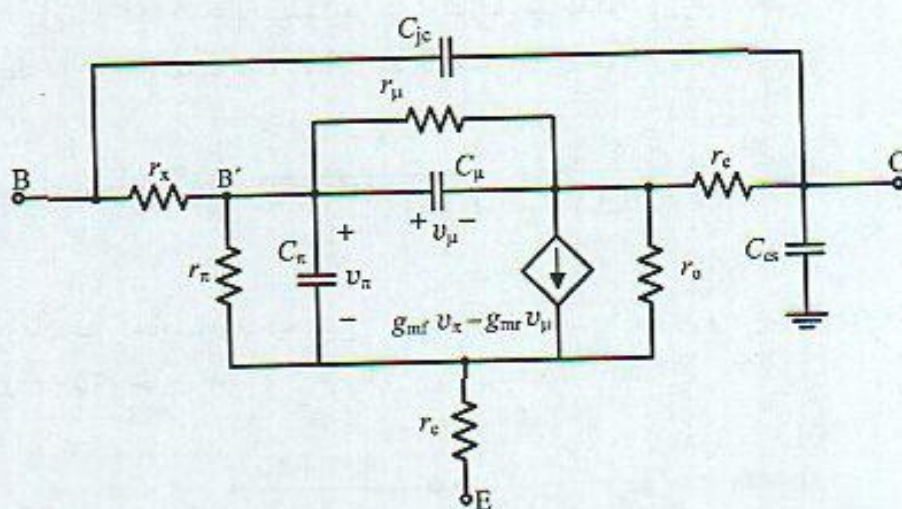
شکل ۱۲-۱ مدار کامل هایبرید  
ترانزیستور مثال ۳-۱

## ۹-۱ مدار معادل هایبرید $\pi$ در نرم افزار spice

شکل (۱۳-۱) مدار معادل هایبرید  $\pi$  در نرم افزار spice را نشان می‌دهد. این نرم افزار با محاسبه نقطه کار ترانزیستور عناصر مدار معادل را برای انجام سایر محاسبات مشخص می‌کند. این مدار در مقایسه با مدار



معرفی شده در بخشهای قبل کامل تر است. مقاومتهای  $r_e$  و  $r_o$  بترتیب مقاومتهای نیمه هادی های نواحی امیتر و کلکتور می باشند. خازن  $C_{cs}$  خازن کلکتور تا پایه (substrate) و خازن  $C_{jc}$  خازن کلکتور تا بیس ترانزیستور هستند. گرچه مقادیر این خازنها کم می باشند اما ضرورت دارد این خازنها را خصوصاً در مدارهای مجتمع برای محاسبات دقیق پاسخ فرکانسی مدار در نظر گرفت. همچنین  $g_{mR}$  و  $g_{mF}$  بترتیب بهره ترانزیستور در حالت فعال مستقیم و معکوس می باشند. در حالت معکوس ورودی کلکتور و خروجی مدار امیتر است و از این جهت ترانزیستور بهره ای در مدار تامین نمی کند. این حالت در بررسی مدارهای دیجیتال و شرایط اشباع ترانزیستور مفید می باشد. مثال (۴-۱) برنامه لازم برای محاسبات عناصر مدار هایبرید  $\pi$  در این نرم افزار را معرفی می کند.



شکل ۱-۱۳ مدار هایبرید  $\pi$  در نرم افزار spice

#### مثال ۴-۱

برای ترانزیستوری به نقطه کار  $V_{CEQ} = 19.3 \text{ V}$ ,  $I_{CQ} = 20 \text{ mA}$  که دارای پارامترهای داده شده زیر است:

$$V_{je} = V_{jc} = 0.8 \text{ V}, V_T = 25.8 \text{ mV}, C_{jco} = 19.4 \text{ pF}, C_{jco} = 29.6 \text{ pF}, C_{je} = 25 \text{ pF}, \\ \beta_o = 100, f_T = 300 \text{ MHz}, V_A = 200 \text{ V}, m = 0.33$$

الف) عناصر مدار هایبرید  $\pi$  را در نقطه کار  $V_{CEQ} = 5 \text{ V}$  و  $I_{CQ} = 10 \text{ mA}$  تعیین کنید.

ب) با نوشتن برنامه لازم در نرم افزار spice مدار معادل ترانزیستور را در فرکانس بالا مشخص و نتایج حاصل از آنرا با فرض الف) مقایسه کنید.

الف) فرکانس گذر این ترانزیستور در نقطه کار داده شده (جریان  $20 \text{ mA}$  و ولتاژ  $19.3 \text{ V}$ )  $f_T = 300 \text{ MHz}$  است، بنابراین در این نقطه کار:

$$g_m = \frac{I_{CQ}}{V_T} = \frac{20 \text{ mA}}{25.8 \text{ mV}} = 775.2 \text{ mS}^{-1}$$



$$\tau_T = \frac{1}{\omega_T} = \frac{1}{2\pi \times (300 \text{ MHz})} = 530,5 \text{ ps}$$

در جریان نقطه کار  $I_{CQ} = 10 \text{ mA}$  و  $V_{CEQ} = 5 \text{ V}$ ، از رابطه (۵-۱) برای محاسبه  $g_m$  و نصف شدن جریان:

$$g_m = \frac{I_{CQ}}{V_T} = 0,5 g_m \{ I_{CQ} = 20 \text{ mA در } \} = 0,5 \times 775,2 = 387,6 \text{ m}\Omega^{-1}$$

$$r_{\pi} = \frac{\beta_0}{g_m} = 258 \Omega$$

مقدار مقاومت خروجی این ترانزیستور با توجه به ولتاژ ارلی (Early) داده شده و از رابطه (۳-۱) در نقطه کار  $10 \text{ mA}$  مقدار  $r_o = 20 \text{ k}\Omega$  بدست می آید. ولتاژ بایاس معکوس پیوند کلکتور  $19,3 \text{ V}$  و بنابراین با استفاده از رابطه (۲۰-۱) و مقادیر داده شده پارامترها مقدار خازن  $C_{\mu}$ :

$$C_{\mu} = \frac{C_{jco}}{\left(1 + \frac{V_{CB}}{V_{jcc}}\right)^m} = \frac{19,4}{\left(1 + \frac{19,3}{0,8}\right)^{0,33}} = 6,63 \text{ pF}$$

متوسط زمان عبور حاملها از ناحیه بیس با استفاده از رابطه (۲۹-۱) و با توجه به خازن پیوند دیود بیس امیتر به مقدار  $25 \text{ pF}$  و خازن  $C_{\mu} = 6,63 \text{ pF}$  در جریان نقطه کار  $20 \text{ mA}$ :

$$\tau_F = \tau_T - \frac{C_{je} + C_{\mu}}{g_m} = 530,5 - \frac{6,63 + 25}{0,7752} = 489,7 \text{ ps}$$

در نقطه کار  $I_{CQ} = 10 \text{ mA}$ ،  $V_{CEQ} = 5 \text{ V}$  و  $V_{BEQ} = 0,7 \text{ V}$ ، خازن پیوند بیس-امیتر:

$$C_{je} = \frac{C_{jco}}{\left(1 + \frac{V_{CB}}{V_{jcc}}\right)^m} = \frac{29,6}{\left(1 + \frac{0,7}{0,8}\right)^{0,33}} = 53,8 \text{ pF}$$

مقدار خازن انتشار دیود بیس-امیتر در این نقطه کار با توجه به رابطه (۱۷-۱):

$$C_d = \tau_F \times g_m = (489,7 \text{ ps}) \times (387,6 \text{ m}\Omega^{-1}) = 189,8 \text{ pF}$$

و به این ترتیب کل خازن دیود بیس-امیتر

$$C_{\pi} = C_{je} + C_d = (53,8 + 189,8) \text{ pF} = 243,6 \text{ pF}$$

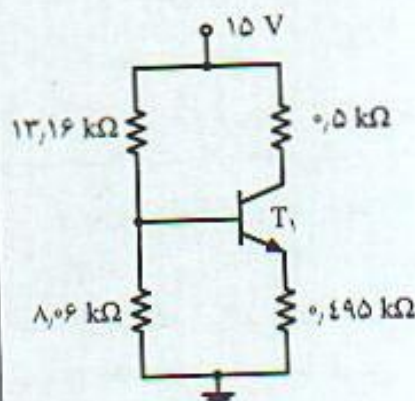
سایر مشخصات ترانزیستور مانند فرکانس گذر از روابط مربوط بدست می آیند و نتایج در جدول (۲-۱) خلاصه شده اند.

ب) برای اینکه پارامترهای مدار معادل از طریق نرم افزار spice محاسبه شود مداری بصورت شکل (۱۴-۱) که همان نقطه کار را بوجود می آورد از طریق برنامه نشان داده شده مدل سازی می شود. نتایج بررسی به انضمام نتایج حاصل از روابط استخراج شده در بخشهای قبل در جدول (۲-۱) خلاصه شده است.



ملاحظه می شود نتایج حاصل از دو روش خصوصاً برای مقادیر  $f_T$  و  $g_m$  متفاوت می باشند. این مسئله به علت تقریبات به کار رفته در روابط تئوری می باشد. باید توجه داشت که مقادیر اندازه گیری شده نیز ممکن است تا حدودی با مقادیر نرم افزار spice تفاوت داشته باشند.

```
Vcc 2 0 15
R1 2 1 13.16k
R2 1 0 8.96k
Rc 2 3 500
Re 4 0 495
T1 3 1 4 T1; Transistor model
.MODEL T1 NPN (BF=100, IS=3.3E-14,
VA=200, CJE=29.6p, CJC=19.4p,
VJE=0.8V, VJC=0.8V,
TF=489.7ps)
.op ;operating point
.END
```



شکل ۱۴-۱ مدار طرح شده و برنامه لازم نرم افزار spice جهت محاسبه عناصر مدار معادل مثال ۴-۱

جدول ۲-۱ نتایج بررسی مشخصات ترانزیستور مثال ۴-۱ از طریق محاسبات تقریبی و نرم افزار spice

نتایج از روابط تئوری		نتایج از نرم افزار spice
$g_m$	$m\Omega^{-1}$	۳۵۷
$r_e$	$\Omega$	۲۸۰
$r_o$	$k\Omega$	۲۲,۴
$C_\pi$	$pF$	۲۱۹
$C_\mu$	$pF$	۱۰
$f_T$	$MHz$	۲۴۶

## ۱۰-۱ تغییرات عناصر مدار معادل هایبرید $\pi$ در نرم افزار spice

برای بررسی تغییرات عناصر مدار  $\pi$  در نرم افزار spice بر حسب نقطه کار، ترانزیستور ۲N۳۹۰۴ که مشخصات کامل آن در پیوست (الف) در انتهای کتاب آمده است را در نظر گرفته و عناصر مدار معادل  $\pi$  محاسبه می شود. نتایج این بررسی بطور خلاصه به شرح زیر است.

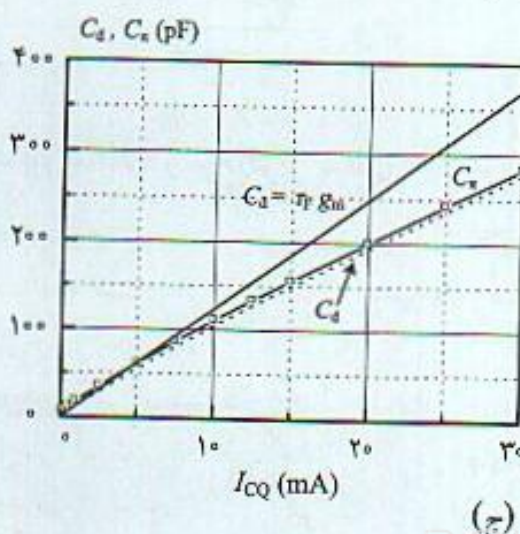
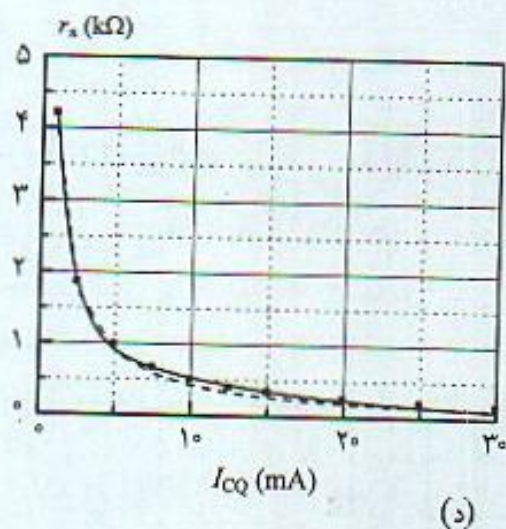
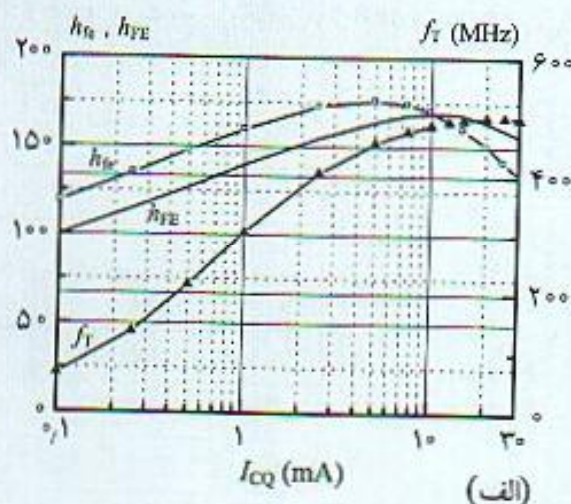
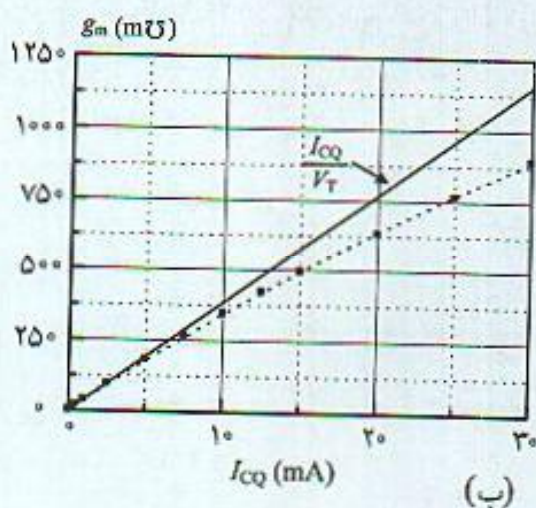
شکل (۱۵-۱ الف) تغییرات  $f_T$  و  $h_{FE}$ ،  $h_{fe}$  را در محدوده جریان نقطه کار ۰,۱ mA تا ۳۰ mA و در ولتاژ نقطه کار ثابت  $V_{CEQ} = 5V$  نشان می دهد. ملاحظه می شود این تغییرات تقریباً مشابه و در جریانهایی کم سه مقدار با شیب ثابتی افزایش می یابند. در یک محدوده خاص از جریان کلکتور، این سه پارامتر تقریباً مقدار ثابتی شده و پس از آن کاهش می یابند. این تغییرات نزدیک به مشخصاتی می باشد که سازندگان ترانزیستورها ارائه می نمایند.



تغییرات  $g_m$  بر حسب نقطه کار در شکل (۱-۱۵) نشان داده شده است. هم چنین بهره جریان ترانزیستور از رابطه تئوری (۱-۴) برای مقایسه بر روی همین شکل ترسیم شده است. ملاحظه می شود در جریانهای کم رابطه (۱-۴) با نتایج حاصل از نرم افزار spice یکسان اما با افزایش جریان نقطه کار،  $g_m$  از حالت خطی ایده آل فاصله گرفته و در جریانهای بالا بهره ترانزیستور کاهش می یابد.

شکل (۱-۱۵) ج) اثر تغییر جریان کلکتور بر خازن  $C_{\pi}$  و خازن  $C_d$  را نشان می دهد. این منحنی ها با فرض اینکه در گرایش مستقیم خازن پیوند  $C_{je}$  مستقل از نقطه کار و مقدار آن  $6.13 \text{ pF}$  است ترسیم شده اند. علاوه بر آن خازن انتشار از رابطه (۱-۱۷) نیز در این شکل ترسیم شده است. ملاحظه می شود رابطه  $C_d \times g_m = \tau_F$  رابطه تقریبی است. در جریانهای کم رابطه خازن انتشار و جریان نقطه کار خطی است اما با افزایش نقطه کار مشابه با  $g_m$  از حالت خطی خارج می شود.

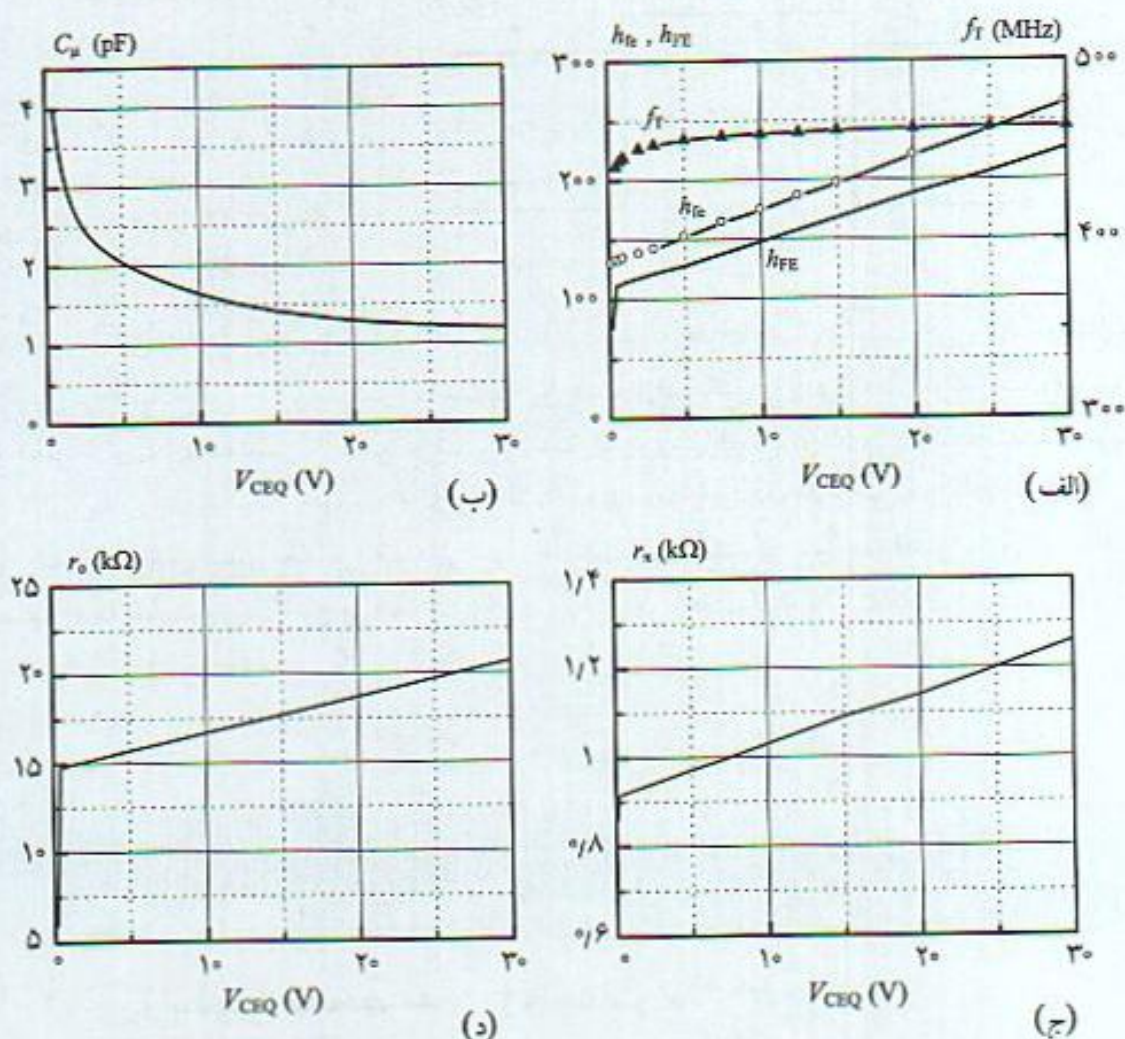
تغییرات مقاومت سیگنال کوچک دیود بیس-امیتر به انضمام رابطه تئوری بصورت خط چین در شکل (۱-۱۵) د) نشان داده شده است. در محاسبه این مقاومت از رابطه (۱-۸) تغییرات مربوط به  $h_{fe}$  نیز منظور شده است. ملاحظه می شود رابطه (۱-۸) با در نظر گرفتن تغییرات  $h_{fe}$  با نتایج حاصل از نرم افزار یکسان می باشد.



شکل ۱-۱۵ تغییرات پارامترهای مدار هایبرید  $\pi$  در نرم افزار spice برای ترانزیستور 2N3904 بر حسب  $I_{CQ}$



شکل (۱۶-۱) تغییرات مقادیر عناصر مدار هاینرید  $\pi$  را بر حسب ولتاژ نقطه کار  $V_{CEQ}$  و در جریان ثابت  $I_{CQ} = 5 \text{ mA}$  نشان می‌دهد. ملاحظه می‌شود با افزایش  $V_{CEQ}$  مقادیر  $h_{FE}$ ،  $h_{fe}$  و  $f_T$  زیاد می‌شوند. بررسی‌ها نشان می‌دهد با تغییر  $V_{CEQ}$  تغییر زیادی در مقادیر  $g_m$  و  $C_{\pi}$  بوجود نمی‌آید. اما با افزایش آن خازن  $C_{\mu}$  کاهش، شکل (۱۶-۱) ب، و به تبع آن  $f_T$  در محدوده ۵ V تا ۳۰ V حدود ۱۶٪ افزایش نشان می‌دهد. هم‌چنین مقادیر مقاومت سیگنال کوچک دیود بیس-امیتر و مقاومت خروجی ترانزیستور با افزایش ولتاژ نقطه کار افزایش خواهند داشت. در محدوده مورد مطالعه مقاومت‌های  $r_{\pi}$  و  $r_o$  به ترتیب ۲۸٪ و ۴۰٪ افزایش می‌یابند. توجه شود در مقادیر کم ولتاژ  $V_{CEQ}$  مقاومت خروجی خیلی کوچک است که به علت نزدیکی شرایط کار به ناحیه اشباع ترانزیستور می‌باشد.



شکل ۱۶-۱ تغییرات پارامترهای مدار هاینرید  $\pi$  در نرم افزار spice برای ترانزیستور 2N3904 بر حسب  $V_{CEQ}$

## ۱۱-۱ مدار معادل مشخصه‌های ادمیتانس ترانزیستورهای BJT

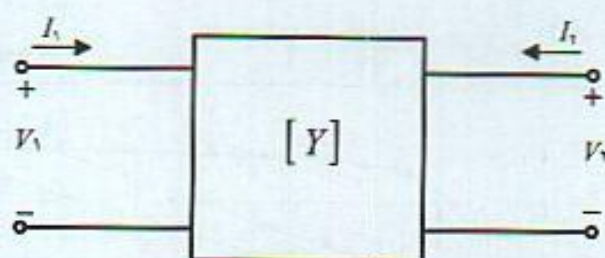
ترانزیستورها و اکثر عناصر فعال الکترونیکی دارای سه پایه هستند و عموماً یکی از پایه‌ها بین ورودی و خروجی مشترک و تقویت‌کننده‌های مختلفی قابل طرح و استفاده است. یک عنصر فعال را می‌توان به



صورت یک شبکه دو قطبی نیز در نظر گرفت و برای بیان مشخصات آن از ماتریسهای شبکه متفاوتی بسته به نوع کاربرد و فرکانس کار استفاده کرد. در طرح تقویت کننده های فرکانس رادیویی (Radio Frequency) RF از ماتریس ادمیتانس استفاده می شود. در این بخش تعریف این مشخصه ها ارائه و ارتباط آنها برای عناصر BJT و با استفاده از مدار  $\pi$  بررسی می شود. شکل (۱۷-۱) یک شبکه دو قطبی را نشان می دهد. برای بیان روابط ولتاژ و جریان ورودی و خروجی از معادلات (۲۹-۱) استفاده می شود.

$$I_1 = y_1 V_1 + y_2 V_2 \quad (29-1)$$

$$I_2 = y_2 V_1 + y_o V_2$$



شکل ۱۷-۱ شبکه دو قطبی و روابط ولتاژ و جریان با پارامترهای ادمیتانس

تعریف این پارامترها در روابط (۳۰-۱) خلاصه شده اند. به عنوان مثال  $y_1$  نسبت جریان به ولتاژ در ورودی در حالیکه خروجی اتصال کوتاه است. به این علت  $y_1$  ادمیتانس ورودی اتصال کوتاه نامیده می شود. به همین ترتیب  $y_o$  ادمیتانس خروجی در شرایطی است که ورودی اتصال کوتاه می باشد.  $y_2$  نسبت جریان اتصال کوتاه ورودی به ولتاژ خروجی و در واقع نشان دهنده مقدار فیدبک خروجی به ورودی می باشد و به این جهت ادمیتانس انتقالی معکوس نامیده می شود. خاصیت تقویت کنندگی شبکه دو قطبی با ادمیتانس انتقالی مستقیم  $y_2$  که نسبت جریان خروجی به ولتاژ ورودی (خروجی اتصال کوتاه) است معرفی می شود.

$$y_1 = \left. \frac{I_1}{V_1} \right|_{V_2=0} \quad y_2 = \left. \frac{I_1}{V_2} \right|_{V_1=0} \quad (30-1)$$

$$y_2 = \left. \frac{I_2}{V_1} \right|_{V_2=0} \quad y_o = \left. \frac{I_2}{V_2} \right|_{V_1=0}$$

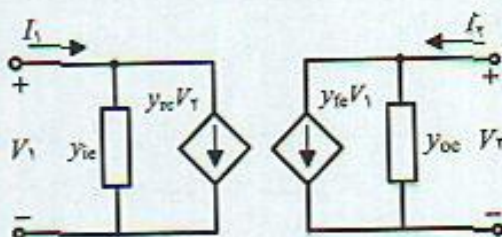
## ۱۲-۱ روابط بین مشخصه های $y$ و عناصر مدار $\pi$

شکل (۱۸-۱) شبکه معادل دو قطبی ترانزیستور BJT در حالت آمیتر مشترک را نشان می دهد که در آن اندیس  $e$  به همین منظور بکار برده شده است. در این بخش از تباط پارامترهای ادمیتانس اتصال کوتاه و عناصر مدار  $\pi$  معرفی می شوند.

**ادمیتانس ورودی** برای محاسبه این مشخصه طبق تعریف خروجی مدار  $\pi$  را اتصال کوتاه و ادمیتانس ورودی مدار محاسبه می شود. در این شرایط مدار معادل  $\pi$  بصورت شکل (۱۹-۱ الف) است. ادمیتانس ورودی با صرف نظر از مقاومت بزرگ  $r_{\pi}$  از رابطه (۳۱-۱) بدست می آید.



شکل ۱۸-۱ شبکه دو قطبی با پارامترهای ادمیتانس اتصال کوتاه



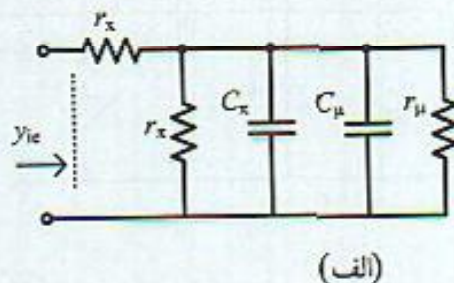
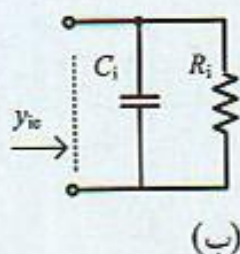
$$y_{ie} = g_x \frac{g_\pi + j\omega(C_\pi + C_\mu)}{g_x + g_\pi + j\omega(C_\pi + C_\mu)} \quad (31-1)$$

ملاحظه می شود  $y_{ie}$  تابعی از فرکانس و در حالت کلی در هر فرکانس خاص عددی مختلط شامل جزء حقیقی و موهومی است. بخش های حقیقی و موهومی به ترتیب با  $g_{ie}$  و  $b_{ie}$  نشان داده می شوند:

$$y_{ie} = g_{ie} + j b_{ie} \quad (32-1 \text{ الف})$$

مدار معادل ادمیتانس ورودی را می توان ترکیب موازی مقاومت  $R_i$  و خازن  $C_i$  در نظر گرفت که در شکل (۱۹-۱) نشان داده شده است.

$$R_i = \frac{1}{g_{ie}}, \quad C_i = \frac{b_{ie}}{\omega} \quad (32-1 \text{ ب})$$



شکل ۱۹-۱ (الف) مدار معادل  $\pi$  با خروجی اتصال کوتاه (ب) مدار معادل ادمیتانس ورودی

تغییرات  $g_{ie}$  و  $b_{ie}$  بر حسب فرکانس در شکل (۲۱-۱) الف) برای ترانزیستوری با مشخصات داده شده در (۲۳-۱) و در محدوده فرکانسی ۱ MHz تا ۱ GHz ترسیم شده است.

$$r_x = 50 \, \Omega, \quad g_m = 100 \, \text{m}\Omega^{-1}, \quad r_\pi = 1 \, \text{k}\Omega, \quad r_\mu = 5 \, \text{M}\Omega \quad (23-1)$$

$$r_o = 20 \, \text{k}\Omega, \quad C_\mu = 3 \, \text{pF}, \quad C_\pi = 30 \, \text{pF}$$

از این شکل ها می توان دید با صرف نظر کردن از خازنهای  $C_\mu$  و  $C_\pi$  در فرکانسهای پایین:

$$y_{ie} = \frac{g_x \times g_\pi}{g_x + g_\pi} \Rightarrow g_{ie} = \frac{1}{r_x + r_\pi} = \frac{1}{h_{ie}} \quad (24-1)$$

و بنابراین:



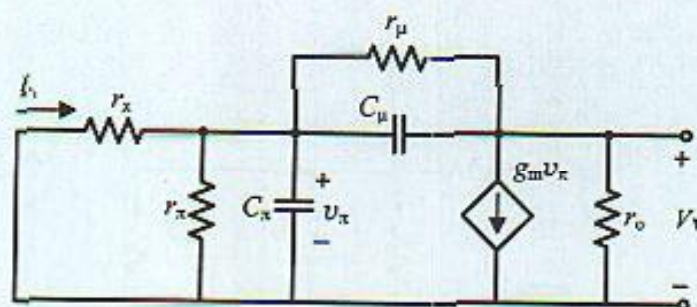
$$r_x + r_\pi = h_{ie} = \frac{1}{g_{ie}} \quad \left| \text{در فرکانس های پایین} \right. \quad (۳۵-۱)$$

همچنین در فرکانسهای خیلی بالا که خازنهای داخلی ترانزیستور اتصال کوتاه می شوند مدار معادل ادمیتانس ورودی فقط شامل مقاومت نیمه هادی ناحیه بیس  $r_x$  است و بنابراین:

$$g_{ie} = \frac{1}{r_x} \Rightarrow r_x = \frac{1}{g_{ie}} \quad \left| \text{در فرکانس های بالا} \right. \quad (۳۶-۱)$$

در نتیجه با داشتن منحنی تغییرات  $g_{ie}$  بر حسب فرکانس می توان بر آورد مناسبی از مقادیر  $r_x$  و  $r_\pi$  را بدست آورد. ادمیتانس انتقالی معکوس طبق تعریف این پارامتر نسبت جریان ورودی به ولتاژ خروجی در حالتی است که ورودی اتصال کوتاه باشد. با بکار بردن این تعریف در مدار معادل  $\pi$ ، مدار معادل شکل (۲۰-۱) بدست می آید. از این مدار واضح است  $y_{re}$  کمیتی منفی که عبارت کامل آن از رابطه (۳۷-۱) بدست می آید.

$$y_{re} = -g_x \frac{g_\mu + j\omega C_\mu}{g_x + g_\pi + g_m + j\omega(C_\mu + C_\pi)} \quad (۳۷-۱)$$



شکل ۲۰-۱ مدار معادل  $\pi$  با ورودی اتصال کوتاه برای محاسبه ادمیتانس انتقالی معکوس

مشابه ادمیتانس ورودی،  $y_{re}$  در هر فرکانس عددی مختلط شامل بخش های حقیقی  $g_{re}$  و موهومی  $b_{re}$  است. شکل (۲۱-۱ ب) تغییرات هر یک از این قسمت ها را برای ترانزیستوری با مشخصات داده شده در رابطه (۳۳-۱) نشان می دهد. از این شکلها نتایج زیر را می توان دید:

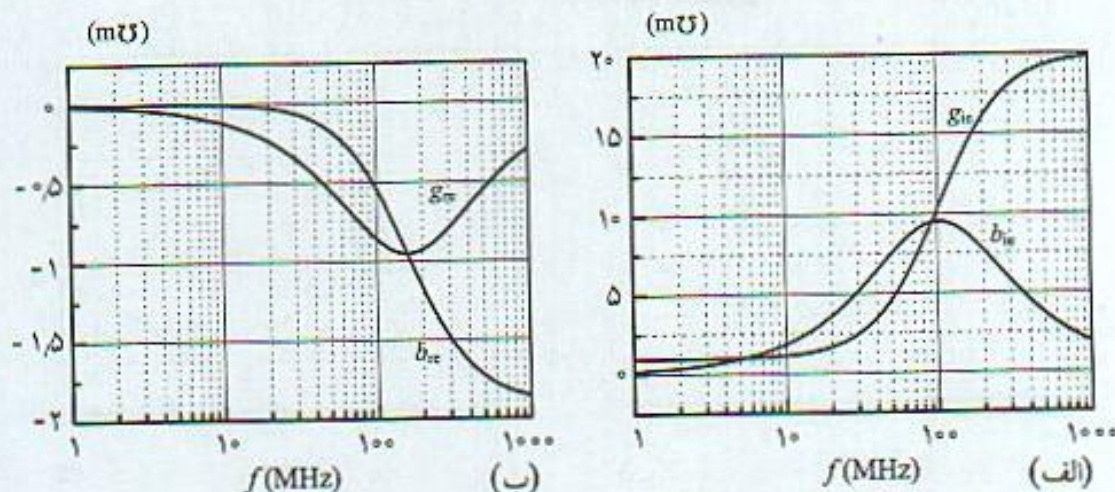
الف) در فرکانسهای پایین و با صرف نظر از آثار خازنی مدار  $y_{re}$  فقط شامل بخش حقیقی به مقدار:

$$g_{re} = - \frac{1}{r_\mu + r_x \parallel r_\pi} \quad (۳۸-۱)$$

است. به توجه به بزرگ بودن مقاومت  $r_\mu$ ، مقدار کوچکی است و با افزایش فرکانس مقدار آن قابل ملاحظه خواهد شد.

ب) بخش موهومی  $y_{re}$  در فرکانسهای پایین با توجه به مقادیر کم خازنها نیز مقدار ناچیزی است. اما با افزایش فرکانس مقدار  $b_{re}$  زیاد می شود. این افزایش با شیب تقریبی  $2\pi C_\mu$  است. در اغلب ترانزیستورها و با تقریب خوب می توان نوشت:





شکل ۲۱-۱ تغییرات ادمیتانس ترانزیستور بر حسب فرکانس: الف) ادمیتانس ورودی، ب) ادمیتانس انتقالی معکوس

$$y_{re} = j b_{re} = -j \omega C_{\mu} \quad (39-1)$$

ادمیتانس انتقالی مستقیم: برای محاسبه این مقدار لازم است نسبت جریان اتصال کوتاه خروجی به ولتاژ ورودی را محاسبه نمود. می توان نشان داد عبارت کامل  $y_{fe}$  بصورت:

$$y_{fe} = \frac{g_m - j \omega C_{\mu}}{1 + r_x [g_{\pi} + j \omega (C_{\mu} + C_{\pi})]} = \frac{g_x \times (g_m - j \omega C_{\mu})}{g_x + g_{\pi} + j \omega (C_{\pi} + C_{\mu})} \quad (40-1)$$

است. شکل (۲۲-۱ الف) منحنی تغییرات بخشهای حقیقی و موهومی  $y_{fe}$  را بر حسب فرکانس برای ترانزیستوری با مشخصات داده شده در رابطه (۳۳-۱) نشان می دهد. در فرکانس پایین و با صرف نظر از مقادیر خازنی مدار  $\pi$  می توان نوشت:

$$g_{fe} = \frac{g_m}{1 + r_x / r_{\pi}} = \frac{\beta_0}{r_x + r_{\pi}} \quad (41-1)$$

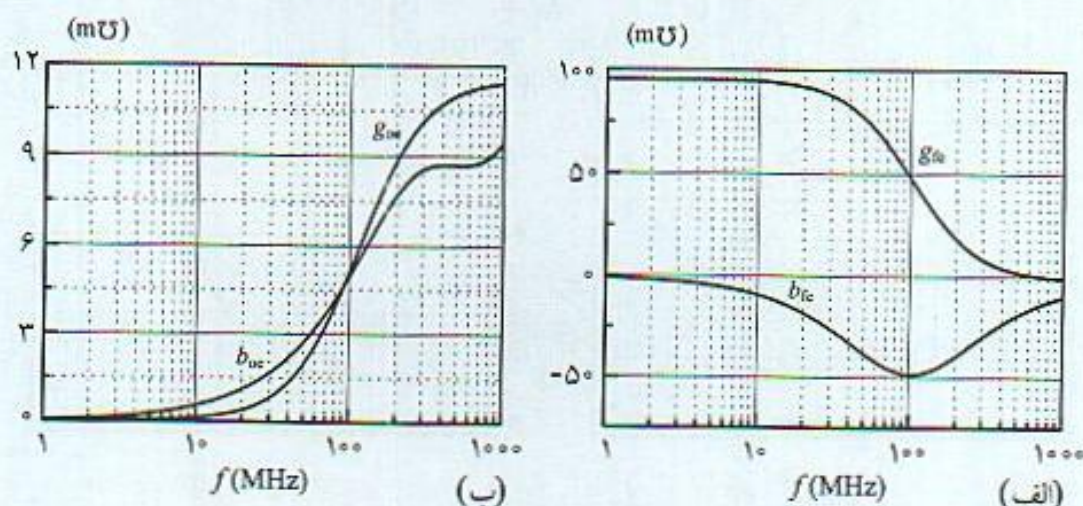
مقدار فوق قسمت ثابت در منحنی  $g_{fe}$  است. با افزایش فرکانس  $g_{fe}$  با شیب  $20 \text{ dB/decade}$  افت پیدا می کند. با محاسبه مقادیر  $r_x$  و  $r_{\pi}$  از ادمیتانس ورودی  $y_{ie}$  و استفاده از رابطه (۴۱-۱) و تغییرات  $y_{fe}$  بر حسب فرکانس می توان مقدار  $g_m$  و از آنجا مقدار  $\beta_0$  را تعیین نمود. قسمت موهومی  $y_{fe}$  در فرکانسهای پایین ناچیز است و با افزایش فرکانس با شیب تقریبی  $20 \text{ dB/decade}$  زیاد می شود.

ادمیتانس خروجی مشابه سایر پارامترهای ادمیتانس می توان نشان داد ادمیتانس خروجی ترانزیستور از رابطه (۴۲-۱) بدست می آید.

$$y_{oe} = g_o + \frac{(g_x + g_{\pi} + g_m + j \omega C_{\pi}) j \omega C_{\mu}}{g_x + g_{\pi} + j \omega (C_{\pi} + C_{\mu})} \quad (42-1)$$

تغییرات بخشهای حقیقی و موهومی ادمیتانس خروجی بر حسب فرکانس در شکل (۲۲-۱ ب) ترسیم شده است.





شکل ۱-۲۲ تغییرات مشخصات ادمیتانس‌های اتصال کوتاه ترانزیستور بر حسب فرکانس

### ۱۳-۱ تغییرات پارامترهای $y$ با نقطه کار

پارامترهای  $y$  یک ترانزیستور به نقطه کار نیز بستگی دارند. ادمیتانس ورودی، ادمیتانس دو سر دیود بیس-امیتر است که در گرایش مستقیم قرار گرفته است. با توجه به نکاتی که در مدار معادل  $\pi$  بررسی شد این ادمیتانس بطور موثری با جریان نقطه کار تغییر می‌کند. هم‌چنین با توجه به رابطه (۱-۴۳) که بین  $\beta$  و  $y_{ie}$  برقرار است با تغییر نقطه کار  $y_{ie}$  و  $\beta$  تغییر و به تبع آن  $y_{fe}$  نیز تغییر خواهد نمود.

$$y_{fe} = \beta \times y_{ie} \quad (۱-۴۳)$$

شکل (۱-۲۳) تغییرات پارامترهای ادمیتانس ترانزیستور  $2N3904$  که مشخصات مدار معادل هایبرید  $\pi$  آن از طریق نرم‌افزار spice بررسی شده است را بر حسب جریان نقطه کار نشان می‌دهد. از این شکلها می‌توان دید بیشترین تغییرات مربوط به پارامترهای  $g_{ie}$  و  $g_{fe}$  است. از تغییر  $g_{fe}$  با توجه به تغییر بهره ترانزیستور می‌توان در طرح تقویت‌کننده با کنترل اتوماتیک بهره AGC (Automatic Gain Control) استفاده نمود.

#### مثال ۵-۱

در یک ترانزیستور با عناصر مدار معادل  $\pi$  داده شده مقادیر پارامترهای ادمیتانس اتصال کوتاه در فرکانسهای ۱ MHz و ۱۰ MHz را محاسبه و مدار معادل ادمیتانس ورودی و خروجی را رسم کنید.

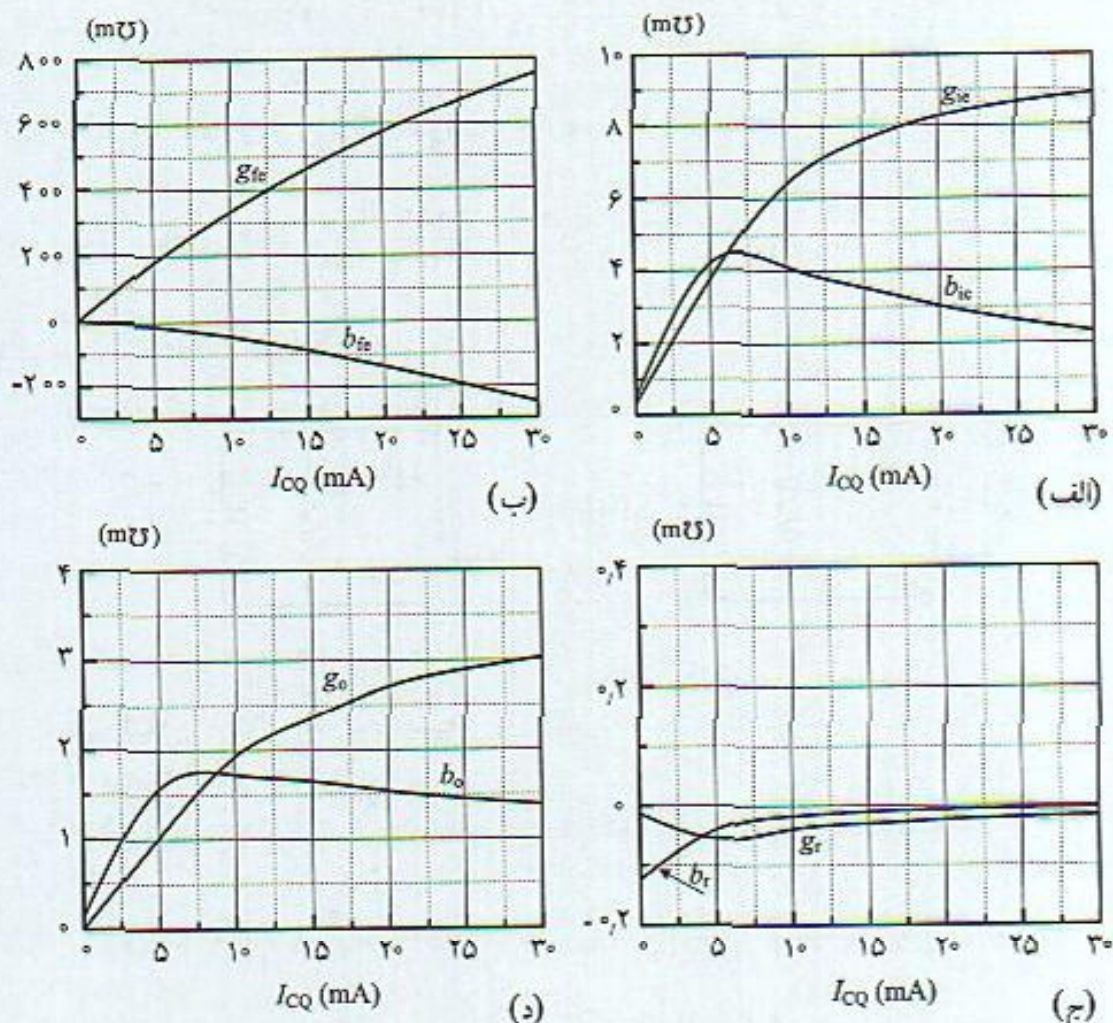
$$r_x = 50 \, \Omega, g_m = 100 \, \text{mS}^{-1}, r_\pi = 1 \, \text{k}\Omega, r_\mu = 2 \, \text{M}\Omega, r_o = 20 \, \text{k}\Omega, C_\mu = 3 \, \text{pF}, C_\pi = 30 \, \text{pF}$$

با توجه به مقادیر داده شده:

$$g_x = 20 \, \text{mS}^{-1}, g_\pi = 1 \, \text{mS}^{-1}, g_\mu = 0.5 \, \mu\text{S}^{-1}$$

با استفاده از رابطه (۱-۳۱) و در فرکانس ۱ MHz ادمیتانس ورودی این ترانزیستور:





شکل ۱-۲۳ تغییرات پارامترهای ادمیتانس ترانزیستور ۲N۳۹۰۴ بر حسب جریان نقطه کار

$$y_{ie} = 20 \frac{1 + j2\pi(0.001) 33}{20.5 + j2\pi(0.001) 33} = (0.954 + j 0.187) \text{ m}\Omega^{-1}$$

و بنابراین:

$$g_{ie} = 0.954 \text{ m}\Omega^{-1}, \quad b_{ie} = 0.187 \text{ m}\Omega^{-1}$$

با استفاده از رابطه (۱-۳۲) ادمیتانس ورودی ترکیب موازی خازن و مقاومت:

$$R_i = \frac{1}{g_{ie}} = \frac{1}{0.954} = 1.048 \text{ k}\Omega, \quad C_i = \frac{b_{ie}}{\omega} = \frac{0.187 \text{ m}\Omega^{-1}}{2\pi(0.001 \text{ GHz})} = 29 \text{ pF}$$

می باشد. مدار معادل ادمیتانس ورودی در فرکانس ۱ MHz در شکل (۱-۲۴ الف) نشان داده شده است. واحدهایی که عموماً در این روابط بکار می رود: مقاومت بر حسب کیلو اهم، هدایت و خازن به ترتیب میلی مهبو و پیکو فاراد و فرکانس با واحد گیگا هرتز می باشد. نتیجه محاسبات بر حسب میلی مهبو است. در فرکانس ۱۰ MHz ادمیتانس ورودی بصورت:

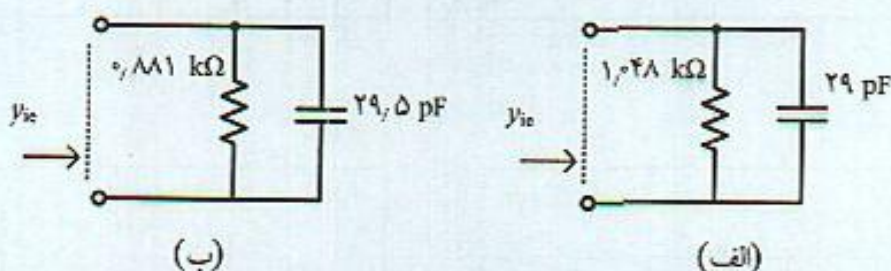


$$y_{ie} = Y_o \frac{1 + j2\pi(0.01)33}{20.5 + j2\pi(0.01)33} = (1.134 + j1.852) \text{ m}\Omega^{-1}$$

و مدار معادل ادمیتانس ورودی شامل مقاومت و خازن ورودی:

$$R_i = \frac{1}{1.134} = 0.881 \text{ k}\Omega, \quad C_i = \frac{1.852 \text{ m}\Omega^{-1}}{2\pi(0.01 \text{ GHz})} = 29.5 \text{ pF}$$

است که در شکل (۱-۲۴) ب) ملاحظه می شود.



شکل ۱-۲۴ مدار معادل ادمیتانس ورودی در فرکانسهای: الف) ۱ مگاهرتز، ب) ۱۰ مگاهرتز

مقدار ادمیتانس انتقالی معکوس با استفاده از رابطه (۱-۳۷) در دو فرکانس داده شده:

$$y_{re}|_{1 \text{ MHz}} = -Y_o \frac{0.0005 + j2\pi(0.001)3}{21 + j2\pi(0.001)33} = -(6.54 \times 10^{-4} + j0.181) \text{ m}\Omega^{-1}$$

$$y_{re}|_{10 \text{ MHz}} = -Y_o \frac{0.0005 + j2\pi(0.01)3}{21 + j2\pi(0.01)33} = -(0.18 + j0.178) \text{ m}\Omega^{-1}$$

و مقدار ادمیتانس انتقالی مستقیم با استفاده از رابطه (۱-۴۰):

$$y_{fe}|_{1 \text{ MHz}} = \frac{100 - j2\pi(0.001)3}{1 + 0.05[1 + j2\pi(0.001)33]} = (95.23 - j0.943) \text{ m}\Omega^{-1}$$

$$y_{fe}|_{10 \text{ MHz}} = \frac{50 - j2\pi(0.01)3}{1 + 0.05[1 - j2\pi(0.01)33]} = (94.3 - j9.35) \text{ m}\Omega^{-1}$$

ملاحظه می شود با افزایش فرکانس مقدار فیدبک افزایش یافته و بهره مستقیم عنصر نیز کاهش می یابد. مقدار ادمیتانس خروجی با استفاده از رابطه (۱-۴۲) در دو فرکانس مختلف:

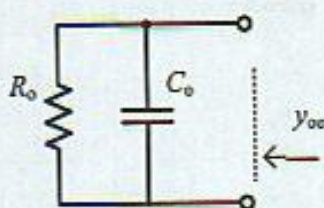
$$y_{oe}|_{1 \text{ MHz}} = (0.051 + j0.109) \text{ m}\Omega^{-1} \Rightarrow R_o = 19.6 \text{ k}\Omega, C_o = 16 \text{ pF}$$

$$y_{oe}|_{10 \text{ MHz}} = (0.141 + j1.078) \text{ m}\Omega^{-1} \Rightarrow R_o = 7.07 \text{ k}\Omega, C_o = 17 \text{ pF}$$

است و ترکیب موازی خازن با مقاومت خروجی است. با افزایش فرکانس مقدار مقاومت کم می شود. شکل (۱-۲۵) مدار معادل ادمیتانس خروجی را نشان می دهد.



شکل ۱-۲۵ مدار معادل ادمیتانس خروجی

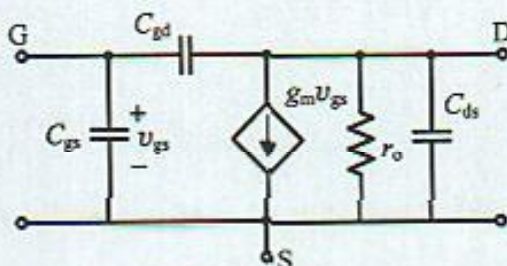


## ۱-۱۴ مدار معادل ترانزیستورهای اثر میدان در فرکانس بالا

شکل (۱-۲۶) مدار معادل کامل فرکانس بالای ترانزیستورهای FET را در حالت سورس مشترک نشان می دهد. خازنهای  $C_{gs}$  و  $C_{gd}$  بترتیب خازنهای بایاس معکوس دیوده های گیت - سورس و گیت - درین هستند. مقدار  $g_m$  بستگی به نقطه کار و نوع FET دارد. بعنوان مثال برای عناصر JFET مقدار آن از رابطه (۱-۴۴) بدست می آید.

$$g_m = g_{mo} \left( 1 - \frac{V_{GSQ}}{V_P} \right), \quad g_{mo} = \frac{\sqrt{I_{DSS}}}{|V_P|} \quad (1-44)$$

شکل ۱-۲۶ مدار معادل ترانزیستورهای FET در فرکانس بالا



آنچه که سازندگان در کتابهای اطلاعاتی در مورد این ترانزیستورها معرفی می کنند پارامترهای ادمیتانس اتصال کوتاه مدار سورس مشترک و گیت مشترک است که به کمک آنها می توان عناصر مدار معادل را بدست آورد. این پارامترها در فرکانس مورد نظر و نقطه کار دلخواه قابل اندازه گیری می باشند. ادمیتانس ورودی عناصر FET در مدار سورس مشترک خازنی و از رابطه (۱-۴۵) بدست می آید.

$$y_{is} = s(C_{gd} + C_{gs}) \quad (1-45)$$

معمولاً مجموع خازن گیت - سورس و گیت - درین به صورت  $C_{iss}$  به معنی خازن ورودی در حالت سورس مشترک و اتصال کوتاه خروجی توسط سازندگان معرفی می شود. بنابراین:

$$C_{iss} = C_{gd} + C_{gs} \Rightarrow y_{is} = s C_{iss} \quad (1-46)$$

ادمیتانس انتقالی معکوس نیز مشابه عناصر BJT بدست می آید و به سادگی می توان نشان داد:

$$y_{rs} = -s C_{gd} \quad (1-47)$$

که موهومی خالص است. عموماً با تعریف خازن بایاس معکوس دیود گیت - سورس (اتصال کوتاه



ورودی) و با  $C_{rss}$  نشان داده شده و با رابطه (۴۸-۱) معرفی می شود.

$$C_{rss} = C_{gd} \Rightarrow y_{rs} = -s C_{rss} \quad (48-1)$$

ادمیتانس انتقالی مستقیم با توجه به تعریف آن در رابطه (۳۰-۱) از رابطه (۴۹-۱) بدست می آید که نشان دهنده خاصیت تقویت کنندگی این عناصر است.

$$y_{fs} = g_m = s C_{gd} \quad (49-1)$$

با توجه به رابطه فوق و با صرف نظر از اثر خازن گیت-درین، در فرکانسهای پایین:

$$g_m = y_{fs} \quad (\text{در فرکانس پایین}) \quad (50-1)$$

بنابراین با داشتن تغییرات  $y_{fs}$  بر حسب فرکانس می توان مقدار  $g_m$  را بدست آورد. ادمیتانس خروجی این عناصر نیز از رابطه (۵۱-۱) بدست می آید.

$$y_{os} = g_o + s (C_{gd} + C_{ds}) \quad (51-1)$$

$g_o$  هدایت خروجی عنصر FET است. مجموع خازن گیت-درین و خازن درین-سورس با خازن خروجی  $C_{oss}$  نشان داده می شود:

$$C_{oss} = C_{gd} + C_{ds} \Rightarrow y_{os} = g_o + s C_{oss} \quad (52-1)$$

با مشخص بودن تغییرات  $y_{os}$  بر حسب فرکانس می توان مقدار  $g_o$  را از رابطه (۵۳-۱) بدست آورد.

$$g_o = y_{os} \quad (\text{در فرکانس پایین}) \quad (53-1)$$

### مثال ۶-۱

پارامترهای زیر برای یک عنصر FET داده شده است. عناصر مدار معادل فرکانس بالا را محاسبه و رسم کنید.

$$y_{fs} = 6 \text{ m}\Omega^{-1}, \quad C_{iss} = 4 \text{ pF}, \quad C_{rss} = 1 \text{ pF}, \quad y_{os} = 0.05 \text{ m}\Omega^{-1}$$

با توجه به روابطی که در این بخش برای عناصر FET حاصل شد:

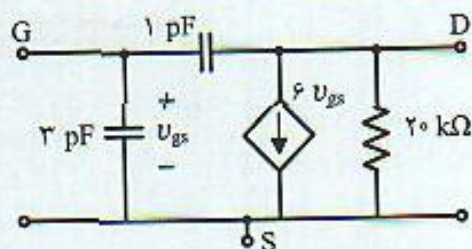
$$g_m = 6 \text{ m}\Omega^{-1}, \quad C_{gd} = C_{rss} = 1 \text{ pF}$$

و سایر عناصر مدار معادل:

$$C_{gs} = C_{iss} - C_{gd} = 4 - 1 = 3 \text{ pF}, \quad g_o = 0.05 \text{ m}\Omega^{-1} \Rightarrow r_o = 20 \text{ k}\Omega$$

بدست می آیند. شکل (۲۷-۱) مدار معادل کامل این عنصر را نشان می دهد.





شکل ۱-۲۷ مدار معادل  
ترانزیستور FET مثال ۱-۷

در مورد مقایسه عناصر مختلف FET باید گفت از نظر بهره و مقادیر خازن ها فرق زیادی با هم ندارند اما مقاومت خروجی ترانزیستورهای MOSFET کوچکتر از سایر انواع می باشد. هم چنین عناصر BJT دارای بهره بسیار بالاتری از FET بوده اما خازن ورودی آنها با توجه به گرانش مستقیم دیود بیس - امیتر بسیار بزرگتر و مقاومت ورودی آنها خیلی کوچکتر نسبت به مقاومت ورودی عناصر FET می باشند.

## مسائل فصل اول

(۱-۱) پارامترهای مدار معادل  $h$  ترانزیستوری در نقطه کار  $I_{CQ} = 10 \text{ mA}$  و  $V_{CE} = 10 \text{ V}$  بصورت زیر است:

$$h_{ie} = 300 \Omega, h_{fe} = 100, h_{oe} \approx 10^{-5} \Omega^{-1}, h_{re} = 10^{-5}$$

در این نقطه کار  $C_{\mu} = 3 \text{ pF}$  و  $f_T = 500 \text{ MHz}$  است. عناصر مدار هایبرید  $\pi$  را بطور کامل محاسبه و مدار معادل را رسم کنید.

(۲-۱) برای ترانزیستوری که در نقطه کار  $I_{CQ} = 5 \text{ mA}$  و  $V_{CE} = 10 \text{ V}$  و درجه حرارت اطاق کار می کند پارامترهای زیر اندازه گیری شده اند:

$$h_{ie} = 600 \Omega, h_{fe} = 100, C_{\mu} = 3 \text{ pF}$$

هم چنین بهره جریان اتصال کوتاه این ترانزیستور و در مدار امیتر مشترک در فرکانس  $10 \text{ MHz}$  مقدار  $10$  می باشد. مدار هایبرید  $\pi$  را بطور کامل مشخص و مقادیر  $f_T$  و  $f_{\beta}$  را تعیین کنید.

(۳-۱) در مسئله (۲-۱) نقطه کار به  $I_{CQ} = 10 \text{ mA}$  و  $V_{CE} = 10 \text{ V}$  تغییر می یابد. چه تغییری در عناصر مدار  $\pi$  حاصل می شود.

(۴-۱) برای یک ترانزیستور و در فرکانس  $50 \text{ MHz}$ ،  $|h_{fe}| = 10$  و  $C_{\mu} = 2 \text{ pF}$  اندازه گیری شده است. مقادیر عناصر مدار معادل  $\pi$  را مشخص کنید. سایر مقادیر این ترانزیستور به شرح زیر است.

$$r_x = 50 \Omega, I_{CQ} = 1 \text{ mA}, V_{CEQ} = 5 \text{ V}, \beta_0 = 100$$

(۵-۱) خازن  $C_{\pi}$  ترانزیستور مسئله (۴-۱) شامل خازن ثابت  $2 \text{ pF}$  است.  
الف)  $f_T$  این ترانزیستور به ازای جریان نقطه کار  $0.1 \text{ mA}$  و ولتاژ  $5 \text{ V}$  چقدر است.



- ب) فرض الف را برای جریان نقطه کار  $1\text{ mA}$  و  $10\text{ V}$  تکرار کنید.
- ج)  $f_T$  این ترانزیستور به ازای جریان کار  $5\text{ mA}$  و ولتاژ  $5\text{ V}$  چقدر است.
- د) برای چند نقطه کار دیگر مسئله را حل و تغییرات  $f_T$  را بر حسب  $I_{CQ}$  رسم کنید. ولتاژ نقطه کار را  $5\text{ V}$  فرض کنید.

(۶-۱) مدار معادل کامل ترانزیستوری با مقادیر زیر را مشخص کنید.

$$r_x = 100\ \Omega, I_{CQ} = 2.5\text{ mA}, V_{CEQ} = 5\text{ V}, \beta_o = 100, V_A = 100\text{ V}$$

$$C_{\mu o} = 3\text{ pF}, m = 0.4, C_{jco} = 2.5\text{ pF}, r_F = 0.2\text{ ns}$$

(۷-۱) نقطه کار مسئله (۶-۱) به  $I_{CQ} = 5\text{ mA}$  و  $V_{CEQ} = 7.5\text{ V}$  تغییر می‌یابد. چه تغییراتی در عناصر مدار معادل  $\pi$  و مقدار  $f_T$  ترانزیستور حاصل می‌شود.

(۸-۱) با فرض مدار معادل کامل هایبرید  $\pi$  که فقط از مقاومت  $r_\mu$  صرف‌نظر شده است.

الف) عبارت کامل بهره جریان اتصال کوتاه ترانزیستور را مشخص کنید.

ب) محل صفر و قطب تابع انتقال حاصل را مشخص و آنها را با مقادیر  $f_T$  و  $f_\beta$  مقایسه کنید.

ج) با یک بیان ساده محل صفر  $\beta(s)$  را از طریق مدار مشخص کنید.

د) برای مقادیر  $g_m = 100\text{ m}\Omega^{-1}$ ,  $C_\mu = 2\text{ pF}$  و  $C_\pi = 70\text{ pF}$  فرض (ب) را ساده کنید.

ه) از مقایسه مقادیر فوق چه نتیجه‌ای در رسم نمودار بد (Bode) تابع انتقال  $\beta(s)$  بدست می‌آید.

(۹-۱) بهره جریان ترانزیستور BJT در حالت بیس مشترک و خروجی اتصال کوتاه در فرکانس پایین از رابطه:

$$\alpha = h_{fb} = \frac{h_{fe}}{1 + h_{fe}}$$

بدست می‌آید.

الف) با فرض اینکه این رابطه در فرکانس‌های بالا نیز معتبر است عبارت  $\alpha(s)$  را مشخص کنید.

ب) فرکانس قطع بهره جریان مدار بیس مشترک را مشخص کنید.

ج) نمودار بد (Bode)  $\alpha(s)$  را رسم کنید.

د) چه نتیجه‌ای از این مسئله می‌توان بدست آورد.

(۱۰-۱) منحنی‌های مشخصه ترانزیستور در حالت امیتر مشترک (جریان کلکتور بر حسب ولتاژ کلکتور امیتر) برای مقادیر ثابت جریان بیس رسم می‌شوند.

الف) با استفاده از مدار معادل هایبرید  $\pi$  و با صرف‌نظر از خازنهای آن شیب این مشخصه‌ها را برای جریان بیس صفر تعیین کنید.

ب) از نظر کیفی بیان کنید که با افزایش جریان بیس چه تغییری در شیب مشخصات حاصل می‌شود.

هم‌چنین شیب این مشخصات را در دو حالت بیس مشترک و امیتر مشترک را با هم مقایسه کنید.

(۱۱-۱) الف) نشان دهید بهره ولتاژ یک طبقه امیتر مشترک با تقریب خوب از رابطه  $A_v = -g_m R_L$



بدست می آید که در آن از مقاومتهای بایاس و منبع صرف نظر شده است.

(ب) در حالتیکه نقطه کار وسط خط بار است نشان دهید:  $A_V = V_{CEQ} / V_T$

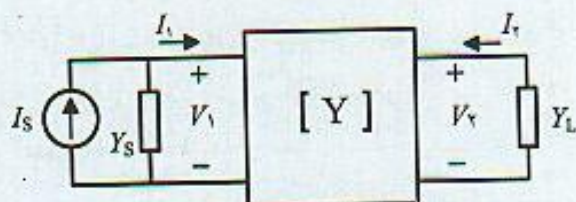
(ج) این رابطه نشان می دهد بهره ولتاژ مستقل از پارامترهای ترانزیستور بوده و به نقطه کار بستگی دارد.

پس اگر دو ترانزیستور با  $h_{fe}$  های مختلف در تقویت کننده ای استفاده شود بهره ولتاژ یکسانی

بدست می آید. بنظر شما آیا تناقضی در این مسئله وجود دارد؟ شرح دهید.

(د) چه روش و یا روشهایی برای افزایش بهره تقویت کننده پیشنهاد می کنید.

(۱۲-۱) در یک شبکه دو قطبی با پارامترهای  $y$  که به بار  $Y_L$  ختم شده و توسط منبع جریانی با ادمیتانس  $Y_S$  بصورت شکل (م ۱۲-۱) تغذیه می شود روابط زیر را در مورد آن اثبات کنید.



شکل (م ۱۲-۱)

$$A_V = \frac{V_2}{V_1} = - \frac{y_f}{y_o + Y_L}$$

$$A_I = \frac{I_2}{I_1} = \frac{y_f Y_L}{y_i y_o - y_r y_f + y_i Y_L}$$

$$Y_{in} = \frac{I_1}{V_1} = y_i - \frac{y_r y_f}{y_o + Y_L}$$

$$Y_{out} = \frac{I_2}{V_2} = y_o - \frac{y_r y_f}{y_i + Y_S}$$

(۱۳-۱) با استفاده از تعریف پارامترهای  $y$  و صرف نظر از مقاومت  $r_x$  در مدار هایبرید  $\pi$  پارامترهای  $y$  عنصر BJT را بدست آورده و برای مقادیر مثال (۶-۱) مقادیر عددی ادمیتانسها را در فرکانسهای ۱ و ۱۰ مگاهرتز محاسبه کنید.

(۱۴-۱) پارامترهای  $y$  ترانزیستور ۲N۴۹۵۷ و تغییرات آنها بر حسب فرکانس در پیوست (ب) انتهای کتاب ترسیم شده است.

الف) مقادیر مقاومتی عناصر مدار  $\pi$  را مشخص کنید.

ب) با فرض  $C_{\mu} = 2 \text{ pF}$  و  $f_T = 600 \text{ MHz}$  مدار معادل کامل  $\pi$  را مشخص کنید.

(۱۵-۱) دو ترانزیستور BJT با پارامترهای  $y$  مشابه و با یک نقطه کار به موازات هم وصل شده اند. پارامترهای مجموعه دو ترانزیستور را تعیین کنید.

(۱۶-۱) پارامترهای  $y$  ترانزیستور BJT را در حالت بیس مشترک بر حسب عناصر مدار معادل  $\pi$  مشخص کنید.

(۱۷-۱) پارامترهای  $y$  ترانزیستورهای FET را در حالت گیت مشترک بر حسب عناصر مدار معادل فرکانس بالا مشخص کنید.



(۱۸-۱) مسئله ۱۷-۱ را در حالت درین مشترک حل کنید.

(۱۹-۱) در یک عنصر JFET با مقادیر داده شده زیر مدار معادل فرکانس بالا را مشخص و رسم کنید.

$$g_{fs} = 5 \text{ m}\Omega^{-1}, C_{iss} = 6 \text{ pF}, C_{rss} = 2 \text{ pF}, C_{oss} = 4 \text{ pF}, y_{os} = 20 \text{ m}\Omega^{-1}$$

(۲۰-۱) مشابه با عناصر BJT می توان فرکانس بهره واحد برای ترانزیستور FET در نظر گرفت. این فرکانس را برای این عناصر بر حسب پارامترهای مدار معادل مشخص کنید.

(۲۱-۱) مقادیر زیر در مورد ترانزیستور JFET به شماره ۲N۳۸۲۳ در کتاب اطلاعاتی داده شده است. مدار معادل فرکانس بالا را محاسبه کنید.

$$g_{fs} = 5 \text{ m}\Omega^{-1}, C_{iss} = 4 \text{ pF}, C_{rss} = 0.9 \text{ pF}, C_{oss} = 3 \text{ pF}, y_{os} = 10 \text{ m}\Omega^{-1}$$

(۲۲-۱) پارامترهای  $h$  در فرکانس پایین اساس تجزیه و تحلیل مدارها هستند. اما می توان با اصلاح آنها برای بررسی در در فرکانسهای بالا نیز استفاده نمود.

الف) با استفاده از مدار معادل  $\pi$  ترانزیستورهای BJT پارامتر  $h_{ie}(s)$  را تعیین کنید. محل صفر و قطب آنرا مشخص و قدر مطلق آنرا بر حسب فرکانس رسم کنید.

ب) فرض الف) را در مورد  $h_{re}(s)$  تکرار کنید.

ج) مهمترین مزیت مدار معادل هایبرید  $\pi$  در مقایسه با پارامترهای  $h$  و  $y$  چیست؟ توضیح دهید.





## پاسخ فرکانس تقویت کننده های یک طبقه

### مقدمه

از خصوصیات مهم تقویت کننده ها پاسخ فرکانس آنها است. چنانچه در یک تقویت کننده عنصر ذخیره کننده انرژی (خازن و سلف) وجود نداشته باشد و عنصر فعال آن محدودیت فرکانس نداشته باشد، بهره تقویت کننده از فرکانس صفر تا نامحدود ثابت و مستقل از فرکانس خواهد بود. اما وجود خازنهای کوپلاژ و بای پس سبب می شود که بهره تقویت کننده در فرکانس پایین کم شود. علت آن است که راکتانس این خازنها در فرکانس های پایین زیاد است. علاوه بر آن محدودیت فرکانس بالای ترانزیستور که در فصل اول مطرح شد سبب می شود بهره تقویت کننده در فرکانس بالا نیز کاهش یابد به این دلیل که با افزایش فرکانس راکتانس خازنهای داخلی ترانزیستور کاهش می یابند.

در این فصل ابتدا خصوصیات کلی تقویت کننده ها مطرح و سپس پاسخ فرکانس تقویت کننده های یک طبقه بررسی خواهد شد.

### ۱-۲ طبقه بندی تقویت کننده ها

تقویت کننده ها از جنبه های مختلفی تقسیم بندی می شوند که مهمترین آنها:

الف) فرکانس کار معمولاً از نظر محدوده فرکانس کار به انواع تقویت کننده های فرکانس صوتی از ۲۰ Hz



تا  $20 \text{ kHz}$  و تقویت‌کننده تصویر با پهنای باندی از  $20 \text{ Hz}$  تا چند  $\text{MHz}$  هستند. تقویت‌کننده فرکانس رادیویی دارای بهره زیاد در یک فرکانس مرکزی و پهنای باند کم می‌باشند. تقویت‌کننده  $\text{VHF}$  با فرکانس مرکزی از چند  $\text{MHz}$  تا  $300 \text{ MHz}$  و انواع  $\text{UHF}$  دارای فرکانس کار چند  $\text{MHz}$  تا  $1 \text{ GHz}$  می‌باشند.

ب) نقطه کار از جهت نقطه کار معمولاً به انواع کلاس  $A$ ،  $B$ ،  $AB$  و  $C$  تقسیم‌بندی می‌شوند که هر کدام در عمل کاربرد خاصی دارند.

ج) کاربرد از نظر کاربرد معمولاً به تقویت‌کننده‌های ولتاژ، جریان و یا توان تقسیم می‌شوند.

در حالت کلی بار یک تقویت‌کننده امپدانس است که مهمترین آنها در کاربردهای معمول بار مقاومتی و مدار تشدید ( $RLC$ ) است. تقویت‌کننده‌های کلاس  $A$  در کاربردهای خطی و دامنه‌های کم سیگنال ورودی بکار می‌روند. انواع کلاس  $B$  و  $AB$  برای تقویت‌کننده‌های توان خطی و با بار مقاومتی مورد استفاده قرار می‌گیرند. تقویت‌کننده‌های کلاس  $C$  عموماً برای طبقات قدرت فرکانس بالا همراه با مدار تشدید به عنوان بار استفاده می‌شود که راندمان بالاتری دارند.

در تمام متن این کتاب تقویت‌کننده‌های سیگنال کوچک کلاس  $A$  با مقاومت اهمی بعنوان بار کلکتور مورد بحث قرار گرفته و پاسخ فرکانس آنها بررسی می‌شوند.

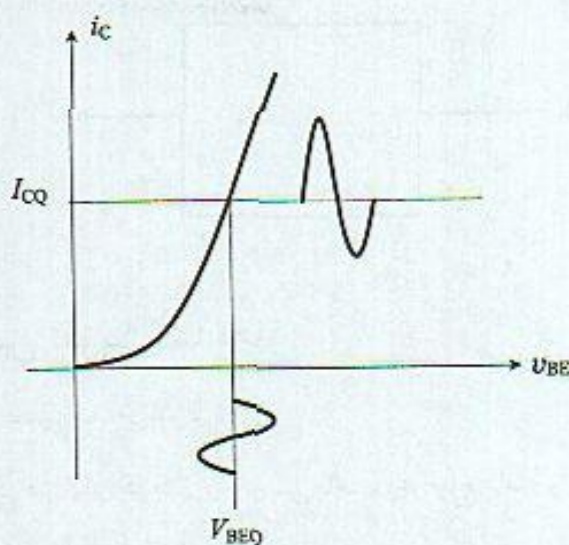
## ۲-۲ اعوجاج در تقویت‌کننده‌ها

پاسخ یک تقویت‌کننده ایده‌آل کلاس  $A$  به یک سیگنال سینوسی، یک موج سینوسی است. اما عملاً خروجی مشابه ورودی نیست و این بخاطر اعوجاجی است که ممکن است در تقویت سیگنال ورودی ایجاد شود. این اعوجاج می‌تواند در اثر خاصیت غیر خطی عنصر فعال و یا تاثیر خود مدار باشد. در این بخش انواع اعوجاجی که در تقویت‌کننده بوجود می‌آید مطرح می‌شود.

اعوجاج غیر خطی این اعوجاج ناشی از خاصیت غیر خطی عنصر فعال است که سبب می‌شود مولفه‌های فرکانسی جدیدی در خروجی ظاهر شود. به همین علت بعنوان اعوجاج هارمونیک نیز نامبرده می‌شود. بعنوان مثال ترانزیستور  $BJT$  که ورودی آن پیوند  $p-n$  است و در حالت عادی در یک نقطه کار ثابت بایاس می‌شود، دارای مشخصه جریان - ولتاژ بصورت نمایی است. وقتی سیگنال ولتاژ ورودی با دامنه بزرگ به آن اعمال می‌شود در سیکل مثبت بعلت شیب زیاد مشخصه نمایی، ترانزیستور جریان زیادی را هدایت می‌کند. برعکس در سیکل‌های منفی دامنه تغییرات جریان کلکتور، به علت عدم تقارن مشخصه نمایی، کمتر می‌باشد. بنابراین شکل موج خروجی از یک طرف کشیده شده و سیگنال خروجی دچار اعوجاج می‌شود که در شکل (۱-۲) ملاحظه می‌شود. در شرایط سیگنال کوچک که دامنه ورودی کوچک است از آثار غیر خطی مشخصه نمایی دیود بیس - امیتر می‌توان صرف‌نظر کرد و رابطه جریان کلکتور بر حسب ولتاژ بیس - امیتر را بصورت  $i_c = g_m v_{\pi}$  دانست که رابطه خطی و اعوجاج هارمونیک بوجود نمی‌آید.

اعوجاج دامنه و فاز بهره یک تقویت‌کننده در حالت کلی عددی مختلط است که فاز و قدر مطلق آن تابع فرکانس است. بنابراین چنانچه سیگنالی با مولفه‌های فرکانسی مختلف در ورودی تقویت‌کننده قرار گیرد مولفه‌های مختلف با بهره‌های متفاوتی تقویت و اعوجاج دامنه (amplitude distortion) را سبب می‌شوند.





شکل ۱-۲ اعوجاج غیر خطی در تقویت‌کننده

هم چنین مولفه‌های مختلف فرکانسی تاخیرهای مختلفی پیدا نموده و اعوجاج فاز (phase distortion) را بوجود می‌آورند.

چنانچه در تقویت‌کننده شکل (۲-۲) سیگنال ورودی شامل دو مولفه فرکانسی مختلف بصورت:

$$v_i(t) = V_1 \sin(\omega_1 t + \varphi_1) + V_2 \sin(\omega_2 t + \varphi_2)$$

قرار گیرد سیگنال خروجی در حالت کلی:

$$v_o(t) = A_1 V_1 \sin(\omega_1 t - \theta_1 + \varphi_1) + A_2 V_2 \sin(\omega_2 t - \theta_2 + \varphi_2) \quad (2-2 \text{ الف})$$

است. رابطه فوق را می‌توان بصورت (۲-۲ ب) نیز نشان داد.

$$v_o(t) = A_1 V_1 \sin\left[\omega_1 \left(t - \frac{\theta_1}{\omega_1}\right) + \varphi_1\right] + A_2 V_2 \sin\left[\omega_2 \left(t - \frac{\theta_2}{\omega_2}\right) + \varphi_2\right] \quad (2-2 \text{ ب})$$

در صورتی تقویت سیگنال بدون اعوجاج است که پاسخ مدار به ورودی  $v(t)$  بصورت  $A v(t - t_0)$  باشد. یعنی مقداری تقویت همراه با تاخیر، این حالت با فرض آن است که رابطه ورودی و خروجی خطی است و اعوجاج غیر خطی بوجود نمی‌آید. بنابراین هنگامی می‌توان گفت خروجی تقویت شده ورودی و بدون اعوجاج است که برای دو سیگنال سینوسی با دو فرکانس مختلف رابطه (۲-۳) برقرار باشد.

$$A_1 = A_2, \quad \frac{\theta_1}{\omega_1} = \frac{\theta_2}{\omega_2} = D \quad (2-3)$$

شرط  $A_1 = A_2$  به معنی آن است که قدر مطلق پاسخ فرکانس در تمام فرکانسها مقدار ثابت باشد. شرط دوم نشان می‌دهد چنانچه اختلاف فاز مدار متناسب به فرکانس باشد اعوجاج فاز در تقویت بوجود نمی‌آید و خروجی تقویت شده ورودی با مقدار تاخیر زمانی خواهد بود. هم چنین اگر تاخیر برای تمام فرکانسها ثابت باشد اعوجاج فاز نیز وجود ندارد.





شکل ۲-۲ تقویت کننده با ورودی

 $V_i(t)$  و خروجی  $V_o(t)$ 

## ۳-۲ تقسیم بندی باند فرکانس تقویت کننده ها

پاسخ فرکانس تقویت کننده به سه ناحیه تقسیم بند می شود:

**باند پایینی** در این باند راکتانس زیاد خازنهای کوپلاژ و بای پس باعث اعوجاج دامنه و فاز می شوند و خازنهای داخلی ترانزیستورها امپدانس بالایی دارند.

**باند میانی** در باند میانی فرکانس به اندازه کافی زیاد است بطوریکه اثر راکتانس های خازن کوپلاژ و بای پس ناچیز است و در عین حال فرکانس آنقدر کم است بطوریکه راکتانس خازنهای داخلی ترانزیستور زیاد می باشند. در این باند پاسخ فرکانس از نظر دامنه ثابت و تاخیر تمام مولفه های ثابت است و با فرض خطی بودن مشخصه عنصر فعال اعوجاجی وجود ندارد.

**باند بالایی** در باند بالایی خازنهای داخلی ترانزیستور امپدانس کمی پیدا کرده اعوجاج فرکانس و فاز را سبب می شوند.

## ۴-۲ مدار معادل تقویت کننده در باندهای فرکانسی مختلف

در فرکانس پایین یک تقویت کننده مانند فیلتر بالا گذر عمل می کند. شکل (۳-۲) یک فیلتر بالا گذر RC را بعنوان مدار معادل باند پایینی نشان می دهد که دارای تابع انتقال:

$$H(s) = \frac{V_o}{V_i} = \frac{s}{s + \frac{1}{R_1 C_1}} \quad (4-2)$$

است. تابع انتقال دارای یک صفر در  $s = 0$  و یک قطب در  $s = -\frac{1}{R_1 C_1}$  می باشد. قدر مطلق و فاز پاسخ فرکانس مدار با تعریف  $\omega_L = \frac{1}{R_1 C_1}$  بصورت:

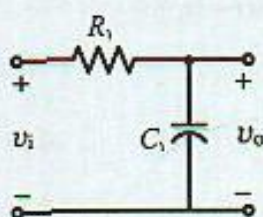
$$|H(j\omega)| = \frac{1}{\sqrt{1 + \left(\frac{\omega_L}{\omega}\right)^2}} \quad (5-2 \text{ الف})$$

$$\angle H(j\omega) = \tan^{-1}(\omega_L / \omega) \quad (5-2 \text{ ب})$$

می باشند. در فرکانس  $\omega = \omega_L$  امپدانس خازن با مقاومت R مساوی است. در این فرکانس نصف توان سیگنال ورودی به خروجی منتقل شود. از این جهت به  $f_L$  فرکانس قطع ۳ dB پایین گفته می شود.



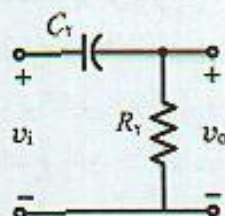
شکل ۲-۳ مدار معادل  
تقویت‌کننده در فرکانس پایین



$$f_L = \frac{1}{2\pi R_1 C_1} \quad (۲-۶)$$

در فرکانس بالا تقویت‌کننده مانند فیلتر پایین گذر عمل می‌کند و مدار معادل ساده شده در شکل (۲-۴) نشان داده شده است.

شکل ۲-۴ مدار معادل  
تقویت‌کننده در فرکانس بالا



تابع انتقال مدار معادل فرکانس بالا بصورت :

$$H(s) = \frac{V_o}{V_i} = \frac{1}{1 + R_1 C_1 s} \quad (۲-۷)$$

است و شامل یک قطب در  $s = -\frac{1}{R_1 C_1}$  می‌باشد. عبارت قدر مطلق و فاز این تابع انتقال :

$$|H(j\omega)| = \frac{1}{\sqrt{1 + \left(\frac{\omega}{\omega_H}\right)^2}} \quad (۲-۸ الف)$$

$$\angle H(j\omega) = \tan^{-1}(\omega / \omega_H) \quad (۲-۸ ب)$$

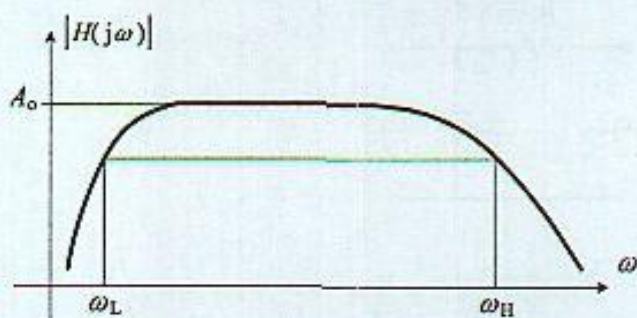
می‌باشند.  $\omega_H$  فرکانس قطع ۳ dB بالا نام داشته و از رابطه (۲-۸ ج) بدست می‌آید.

$$\omega_H = \frac{1}{R_1 C_1} \quad , \quad f_H = \frac{1}{2\pi R_1 C_1} \quad (۲-۸ ج)$$

قدر مطلق پاسخ فرکانس کامل یک تقویت‌کننده و فرکانسهای قطع بالا و پایین آن در شکل (۲-۵) نشان داده شده است.

پهنای باند تقویت‌کننده پهنای باند تقویت‌کننده عموماً تفاضل فرکانسهای قطع ۳ dB بالا و پایین تعریف می‌شود.





شکل ۵-۲ پاسخ فرکانس کامل  
(قدر مطلق) تقویت کننده

$$BW = f_H - f_L \quad (۹-۲)$$

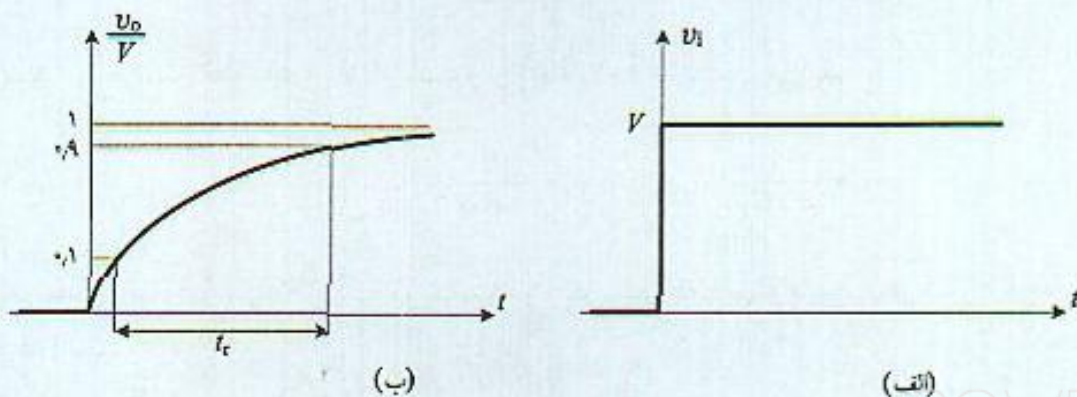
سیگنال‌هایی که در داخل محدوده پهنای باند قرار می‌گیرند بدون اعوجاج تقویت می‌شوند. ورودی‌هایی که دارای مولفه‌های فرکانسی حوالی  $f_L$  و  $f_H$  می‌باشند اعوجاج قابل ملاحظه‌ای پیدا می‌کنند. معمولاً تقویت کننده چنان طرح می‌شود که طیف فرکانس سیگنال ورودی در پهنای باند تقویت کننده واقع شود تا اعوجاجی در سیگنال خروجی وجود نداشته باشد.

## ۵-۲ پاسخ پله و پاسخ سیگنال مربعی تقویت کننده‌ها

یک معیار مهم کارایی تقویت کننده پاسخ آن به سیگنال پله است. در این بخش رابطه بین پهنای باند تقویت کننده و پاسخ پله آن برای حالتی که تقویت کننده دارای یک قطب فرکانس بالا و یا یک قطب فرکانس پایین است بدست می‌آید.

چنانچه تقویت کننده‌ای دارای یک قطب فرکانس بالا باشد در اینصورت می‌توان مدار معادل آنرا بصورت فیلتر بالاگذر شکل (۴-۲) در نظر گرفت. پاسخ این مدار به پله ورودی با دامنه  $V$  بصورت شکل (۶-۲ الف) سیگنال نمایی با رابطه (۱۰-۲) است و در شکل (۶-۲ ب) نشان داده شده است.

$$v_o(t) = V \left[ 1 - \exp \frac{-t}{R_T C_T} \right] \quad (۱۰-۲)$$



شکل ۶-۲ پاسخ پله یک تقویت کننده: الف) ورودی، ب) خروجی



زمان لازم برای رسیدن خروجی از ۰٫۱ مقدار نهایی به ۰٫۹ مقدار نهایی زمان صعود (rise time) نامیده می شود که نشان دهنده سرعت پاسخ تقویت کننده است. با استفاده از رابطه (۲-۹) می توان نشان داد که زمان لازم برای رسیدن به ۰٫۱ مقدار نهایی:

$$t_1 = 0.1 R_T C_T$$

هم چنین زمان رسیدن به ۰٫۹ مقدار نهایی:

$$t_2 = 2.3 R_T C_T$$

است و بنابراین زمان صعود  $t_r = t_2 - t_1 = 2.2 R_T C_T$  خواهد بود. با توجه به مقدار  $f_H = \frac{1}{2\pi R_T C_T}$  در نتیجه زمان صعود از رابطه (۲-۱۱) بدست می آید.

$$t_r = \frac{2.2}{2\pi f_H} = \frac{0.35}{f_H} \quad (2-11)$$

رابطه (۲-۱۱) نشان می دهد که  $t_r$  با عکس  $f_H$  متناسب است به این معنی که هر چه  $f_H$  بیشتر باشد، پاسخ پله سریعتر و هر چه  $f_H$  کمتر باشد پاسخ پله کندتر است. بنابراین اثر قطب فرکانس بالا بر پاسخ پله در سرعت پاسخ می باشد.

برای بررسی اثر قطب فرکانس پایین بر پاسخ سیگنال پله از مدار فیلتر پایین گذر شکل (۲-۳) استفاده می شود. پاسخ این مدار به سیگنال پله:

$$v_o(t) = V \exp\left(\frac{-t}{R_1 C_1}\right) \quad (2-12 \text{ الف})$$

است با فرض بزرگ بودن ثابت زمانی  $\tau = R_1 C_1$  با بسط تابع نمایی و در نظر گرفتن دو عبارت اول آن، تقریب خطی از خروجی بصورت رابطه (۲-۱۲ ب) بدست می آید که در شکل (۲-۷) نشان داده شده است.

$$v_o(t) = V \left(1 - \frac{t}{R_1 C_1}\right) \quad (2-12 \text{ ب})$$

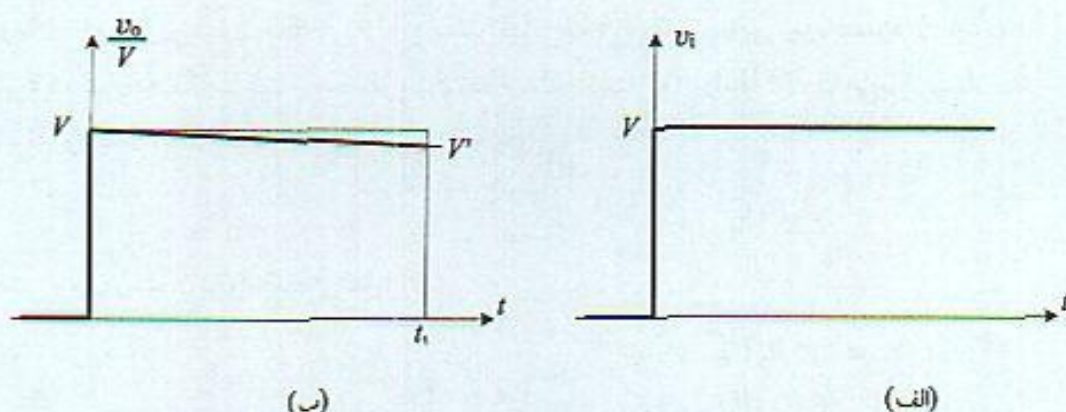
ملاحظه می شود اعوجاجی در خروجی وجود دارد که عموماً اعوجاج کجی (tilt) نامیده می شود. برای معرفی معیاری برای میزان کجی، مقدار کجی در مدت زمان مشخص  $T_1$  بصورت درصدی از حداکثر ولتاژ خروجی با رابطه (۲-۱۳ الف) بیان می شود.

$$P = 100 \frac{V - V'}{V} = 100 \frac{\Delta V}{V} = 100 \frac{T_1}{R_1 C_1} \quad (2-13 \text{ الف})$$

با توجه به رابطه  $\omega_L = \frac{1}{R_1 C_1}$ ، رابطه فوق را می توان بصورت رابطه (۲-۱۳ ب) نیز نوشت.

$$P = 100 T_1 \omega_L \quad (2-13 \text{ ب})$$

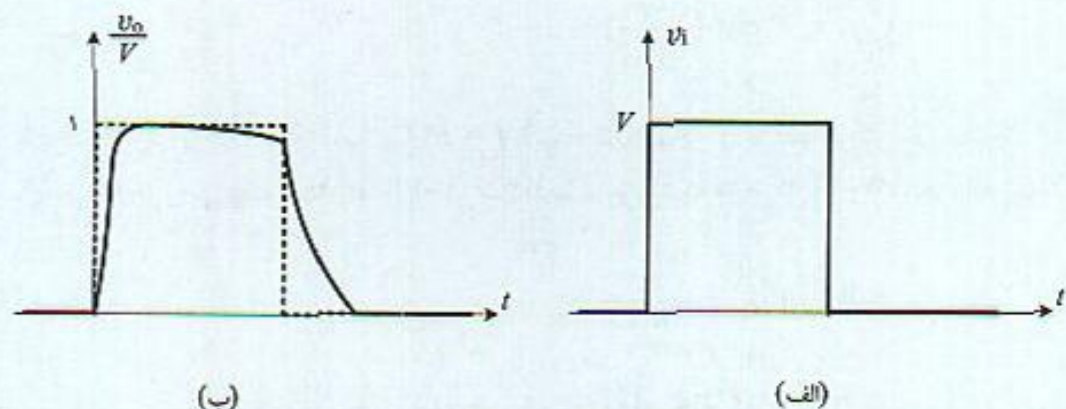




شکل ۲-۷ پاسخ پله تقویت‌کننده با قطب فرکانس پایین و اعوجاج کجی

این رابطه نشان می‌دهد اثر قطب فرکانس پایین در کجی موجود در پاسخ پله ظاهر شده و هر چه فرکانس قطع پایین بیشتر باشد میزان کجی حاصل نیز بیشتر خواهد بود.

پاسخ سیگنال مربعی چنانچه پالس مربعی در ورودی یک تقویت‌کننده با یک قطب فرکانس پایین و یک قطب فرکانس بالا واقع شود، قطب فرکانس بالا سبب می‌شود که پاسخ دارای حالت گذرا و دارای زمان صعود باشد. قطب فرکانس پایین سبب می‌شود در سطح پالس خروجی مقداری کجی بوجود آید. شکل (۸-۲) شکل موج خروجی را نشان می‌دهد. با اندازه‌گیری زمان صعود و مقدار کجی می‌توان مشخصات مدار مانند  $f_H$  و  $f_L$  را بدست آورد.

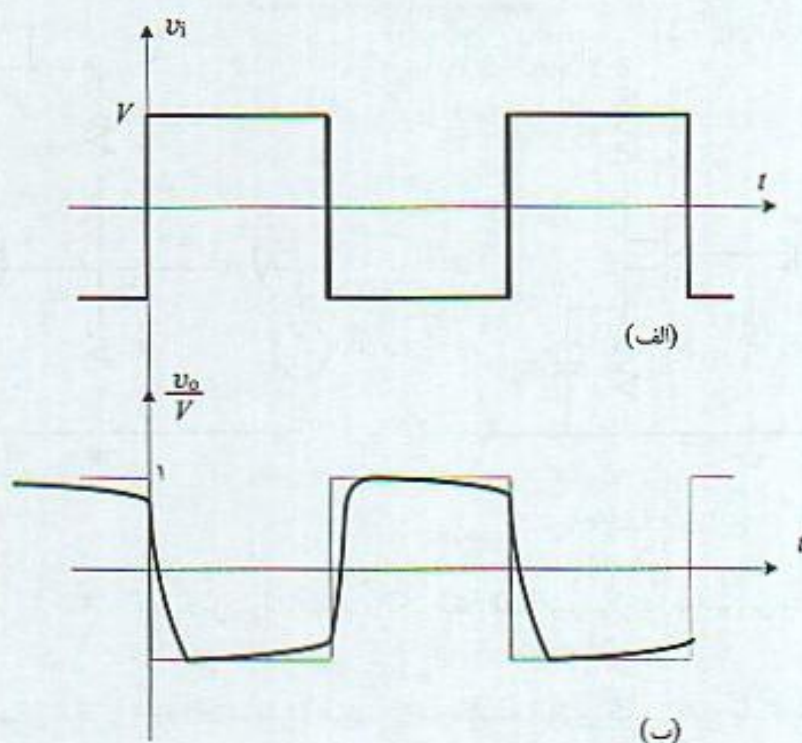


شکل ۸-۲ پاسخ تقویت‌کننده با یک قطب فرکانس پایین و بالا به پالس مربعی: الف) ورودی، ب) خروجی

آزمایش تقویت‌کننده با سیگنال مربعی یک آزمایش مهم در مورد تقویت‌کننده‌های باند وسیع، آزمایش آنها با سیگنال مربعی و اندازه‌گیری مشخصات تقویت‌کننده است. شکل (۹-۲) پاسخ کلی تقویت‌کننده را به سیگنال مربعی نشان می‌دهد که با اندازه‌گیری زمان صعود  $t_r$  و مقدار کجی  $P$  می‌توان قطب فرکانس بالا و پایین را بدست آورد و از آنجا پهنای باند تقویت‌کننده را محاسبه کرد.

مقدار در صد کجی برای سیگنال مربعی متناوب با فرکانس  $f = \frac{1}{T}$  و زمان کار (duty cycle) ۵۰٪، با





شکل ۲-۹ پاسخ کامل موج مربعی یک تقویت‌کننده به سیگنال مربعی

توجه به رابطه (۲-۱۳) و این نکته  $T_1 = \frac{T}{\gamma}$

$$P = 100 \frac{T_1}{R_1 C_1} = 100 \frac{T}{2R_1 C_1}$$

با توجه به رابطه  $f_L = \frac{1}{2\pi R_1 C_1}$ ، مقدار درصد کجی:

$$P = 100 \pi \frac{f_L}{f} \quad (2-14)$$

که  $f_L$  فرکانس قطع ۳ dB پایین و  $f$  فرکانس موج مربعی ورودی است. بنابراین فرکانس قطع ۳ dB بالا و پایین مدار از رابطه (۲-۱۵) بدست می‌آیند.

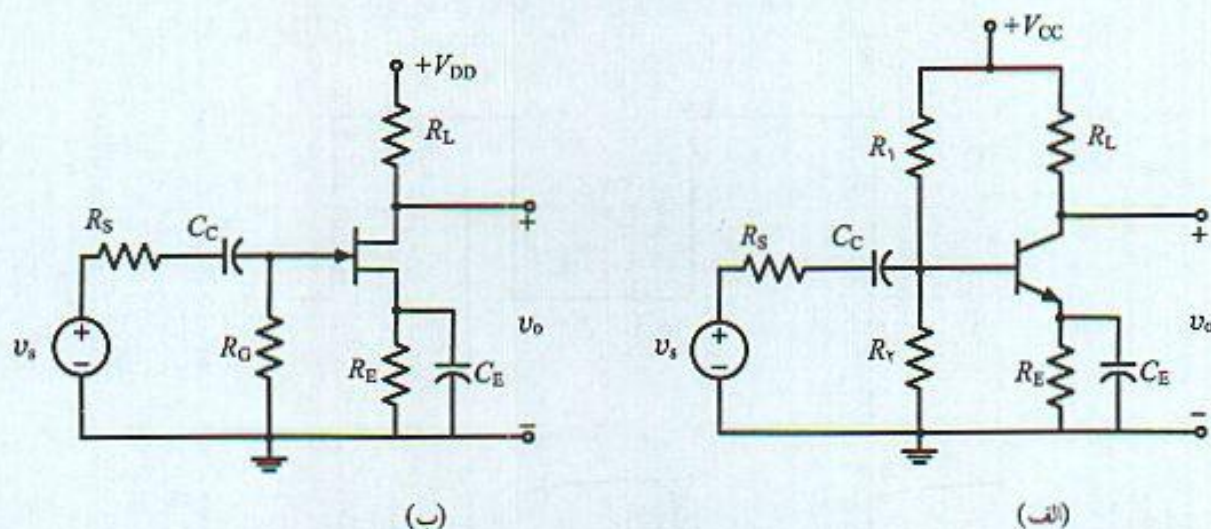
$$f_H = \frac{0.35}{t_r}, \quad f_L = \frac{f}{100 \pi} P \quad (2-15)$$

که در آن  $P$  درصد کجی و  $t_r$  زمان صعود می‌باشند.

## ۲-۶ پاسخ فرکانس تقویت‌کننده‌های یک طبقه

شکل (۲-۱۰) تقویت‌کننده یک طبقه امیتر مشترک و سورس مشترک کامل را نشان می‌دهد. بررسی کامل و دقیق این مدارها کار ساده‌ای نیست. زیرا اگر مدار معادل ترانزیستور BJT در تقویت‌کننده امیتر مشترک



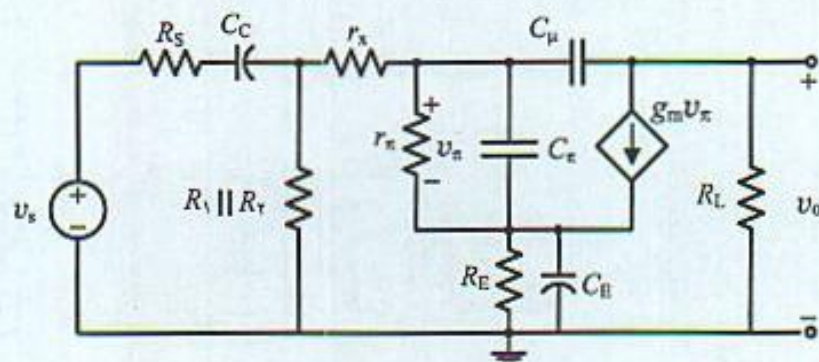


شکل ۲-۱۰ مدار کامل تقویت‌کننده‌های یک طبقه: (الف) امیتر مشترک، (ب) سورس مشترک

جایگزین شود مدار شکل (۲-۱۱)، شامل ۴ عنصر ذخیره‌کننده انرژی بدست می‌آید. تابع انتقال این مدار شامل چهار قطب و تعدادی صفر است. بررسی کامل و دقیق این مدارها و یافتن محل دقیق صفر و قطب‌ها به روش معمول مشکل و به محاسبات عددی نیاز است. اما کامپیوتر همیشه در دسترس نیست و علاوه بر آن روشهای کامپیوتری دید منطقی نسبت به مدار بدست نمی‌دهند. به عنوان مثال برای طراحی مشخص نمی‌کنند چه عاملی بر روی فرکانس قطع پایین یا بالا اثر تعیین‌کننده دارد. در عمل روشهای ساده‌تری باید بکار برد تا محاسبات آسانتر شده و به روابط و نکات ساده‌ای منجر شود تا در طرح مدار مفید باشند.

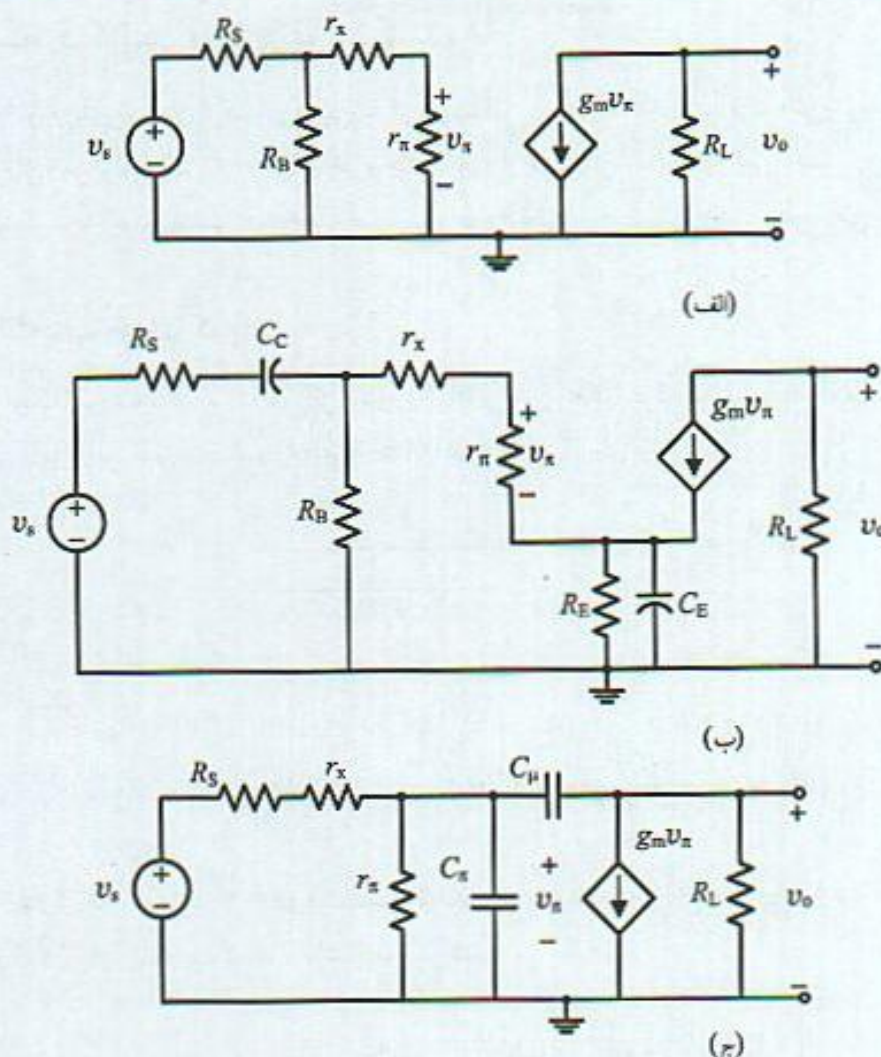
یکی از روشهای بررسی ساده کردن مدار است. همانطور که در بخش قبل مشخصه فرکانسی بهره تقویت‌کننده به ۳ باند مجزا تقسیم شد، این تقسیم‌بندی را برای مدارهای یاد شده نیز می‌توان بکار برد:

باند میانی در این باند، فرکانس کار آنقدر بالا است که خازنهای کوپلاژ و بای‌پس با امپدانس کم و بصورت اتصال کوتاه عمل می‌کنند. از طرف دیگر، فرکانس آنقدر زیاد نیست که خازنهای داخلی ترانزیستور امپدانس کمی داشته باشند. بنابراین از تمام خازنهای مدار می‌توان صرف‌نظر نمود و مدار معادل



شکل ۲-۱۱ مدار معادل کامل تقویت‌کننده امیتر مشترک





شکل ۱۲-۲ مدار معادل تقویت‌کننده امپتر مشترک در باندهای فرکانسی مختلف:

(الف) باند میانی، (ب) باند پایین، (ج) باند بالا

باند میانی را بصورت شکل (۱۲-۲ الف) بدست آورد. با این مدار معادل می‌توان بهره باند میانی تقویت‌کننده را بدست آورد.

باند پایین در فرکانسهای پایین خازنهای کوپلاژ و بای‌پس امپدانس زیاد و مقدار قابل ملاحظه‌ای دارند و از اثر خازنهای داخلی ترانزیستور می‌توان صرف‌نظر کرد. مدار معادل در این باند در شکل (۱۲-۲ ب) ملاحظه می‌شود. در طرح مدار لازم است مقادیر این خازنها را برای فرکانس قطع پایین مورد نظر انتخاب نمود.

باند بالا در فرکانسهای بالا می‌توان از اثر خازنهای کوپلاژ و بای‌پس صرف‌نظر نمود، اما خازنهای داخلی ترانزیستور دارای امپدانس کمی هستند. مدار معادل فرکانس بالای تقویت‌کننده امپتر مشترک در شکل (۱۲-۲ ج) ملاحظه می‌شود.

بررسی تقویت‌کننده‌ها در باند میانی در درس الکترونیک ۱ و الکترونیک ۲ بطور مفصل انجام می‌شود. در بخش‌های آینده بررسی پاسخ فرکانس تقویت‌کننده‌ها یک طبقه در باند پایینی و باند بالایی مطرح و نکات لازم در طراحی مدار مورد بحث قرار می‌گیرد.



## ۷-۲ پاسخ فرکانس پایین تقویت کننده‌ها

خازنهای کوپلاژ و بای‌پس در فرکانس پایین دارای راکتانس زیاد هستند و باعث می‌شوند مشخصات تقویت کننده مثل بهره، امپدانس ورودی و خروجی تابعی از فرکانس شوند. در این بخش روش بررسی و طراحی تقویت کننده‌ها برای داشتن مشخصه مناسب و مورد نظر در فرکانس پایین مطرح می‌شود.

### ۱-۷-۲ انتخاب خازن کوپلاژ

شکل (۱۳-۲) یک تقویت کننده ساده با ترانزیستور FET و مدار معادل فرکانس پایین آنرا نشان می‌دهد. تابع انتقال فرکانس پایین این تقویت کننده رابطه (۱۶-۲) است.

$$H_L(s) = \frac{V_o}{V_s} = A_o \frac{s}{s + \frac{1}{(R_S + R_B) C_C}} \quad (16-2)$$

و  $A_o$  بهره باند میانی:

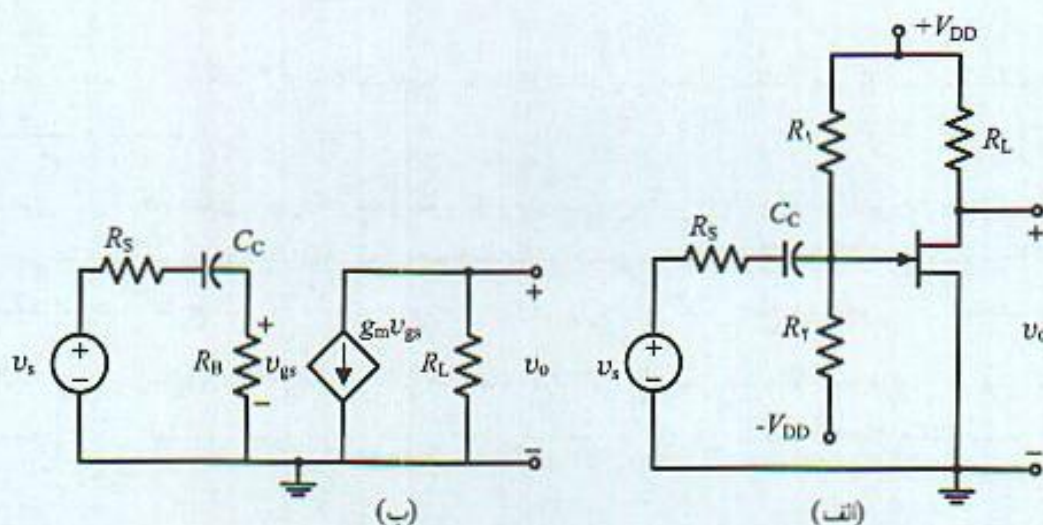
$$A_o = \frac{-R_B}{(R_S + R_B) C_C} g_m R_L \quad (17-1)$$

است.

تابع انتقال دارای یک صفر در  $s = 0$  و یک قطب فرکانس پایین در  $s_p = \frac{-1}{(R_B + R_S) C_C}$  است. این قطب فرکانس قطع ۳ dB پایین تقویت کننده را مشخص می‌کند.

$$\omega_L = |s_p| = \frac{1}{(R_B + R_S) C_C} \quad (18-2)$$

برای اینکه فرکانس قطع ۳ dB از مقدار خاصی کوچکتر باشد لازم است خازن کوپلاژ را حداقل مقدار



شکل ۱۳-۲ تقویت کننده سورس مشترک با عناصر FET: الف) مدار کامل، ب) مدار معادل فرکانس پایین



$$C_C \geq \frac{1}{2\pi f_L (R_S + R_B)} \quad (19-2)$$

انتخاب نمود.

### مثال ۱-۲

در تقویت‌کننده شکل (۱۳-۲) مقادیر زیر داده شده‌اند

$$R_S = 50 \text{ k}\Omega, R_B = R_1 \parallel R_2 = 500 \text{ k}\Omega, g_m = 3 \text{ m}\Omega^{-1}, R_L = 1 \text{ k}\Omega$$

الف) بهره باند میانی و خازن  $C_C$  را برای فرکانس قطع ۳ dB، ۵۰ Hz تعیین کنید.

ب) پاسخ فرکانس این تقویت‌کننده را رسم کنید.

ج) پاسخ پله مدار با دامنه ورودی ۱ mV را تعیین و رسم نمایید.

د) با استفاده از پاسخ پله، پاسخ موج مربعی این مدار را مشخص کنید.

الف) با توجه به روابط بدست آمده در بخش قبل بهره باند میانی و مقدار خازن:

$$A_o = - \frac{R_B}{R_S + R_B} g_m R_L = - 2.72$$

$$C_C = \frac{1}{2\pi f_L (R_S + R_B)} = \frac{1}{2\pi \times 50 \text{ (Hz)} \times 550 \text{ (k}\Omega)} = 0.8 \text{ nF}$$

و بنابراین تابع انتقال فرکانس پایین مدار:

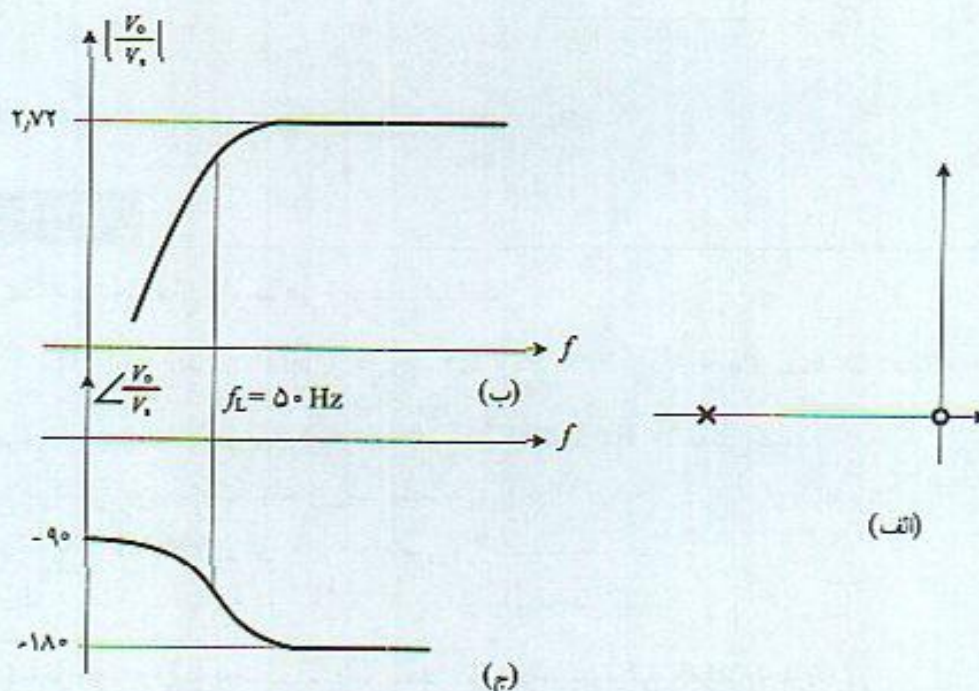
$$H_L(s) = - 2.72 \frac{s}{s + 314}$$

ب) محل صفر و قطب این تابع انتقال و پاسخ فرکانس مدار در شکل (۱۴-۲) نشان داده شده است.

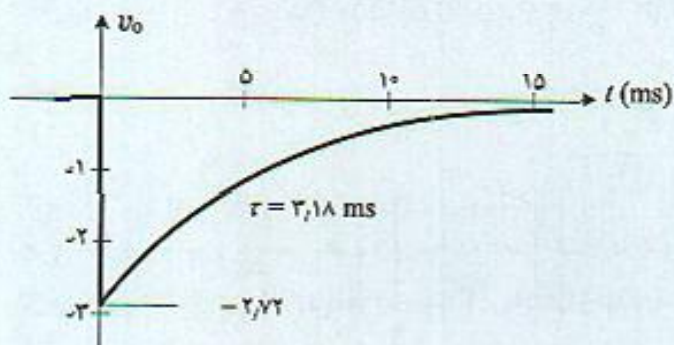
ج) برای بررسی عملکرد و کارایی تقویت‌کننده در میدان زمان، پاسخ پله آن محاسبه می‌شود. این پاسخ را با حل معادله دیفرانسیل مربوطه می‌توان بدست آورد. اما از طریق ذهنی می‌توان گفت که در لحظه  $t = 0$  که ورودی دارای پرش ناگهانی است، خازن اتصال کوتاه و این پرش در مقدار بهره باند میانی  $A_o$  ضرب شده و در خروجی ظاهر می‌شود. پس پله ورودی ۱ mV، در خروجی با دامنه  $2.72 \text{ mV}$  ظاهر می‌شود. مقدار نهایی ولتاژ خروجی نیز صفر است چون خازن بطور کامل شارژ شده و در نهایت قطع می‌شود. ثابت زمانی پاسخ پله  $\tau = \frac{1}{\omega_L} = \frac{1}{0.314} = 3.18 \text{ ms}$  است. این پاسخ در شکل (۱۵-۲) رسم شده است.

د) چنانچه یک سیگنال مربعی در ورودی این مدار واقع شود، اگر این موج دارای یک مقدار DC باشد پس از خاتمه حالت گذرا این مقدار DC حذف می‌شود. چون تقویت‌کننده بالاگذر است و فرکانسهای بالا را با ضریب  $2.72$  تقویت نموده و فرکانسهای پایین به علت فرکانس قطع  $\omega_L$  تضعیف می‌شوند. از این جهت کجی در موج مربعی حاصل می‌شود که در شکل (۱۶-۲) رسم شده است. قسمت میراثونده بصورت نمایی و با ثابت زمانی  $\tau = \frac{1}{\omega_L}$  است. با انتخاب مقدار خازن کوپلار  $C_C$  مناسب می‌توان تقویت‌کننده را چنان طراحی نمود که افت قابل ملاحظه‌ای در سیگنال مربعی خروجی بوجود نیاید.

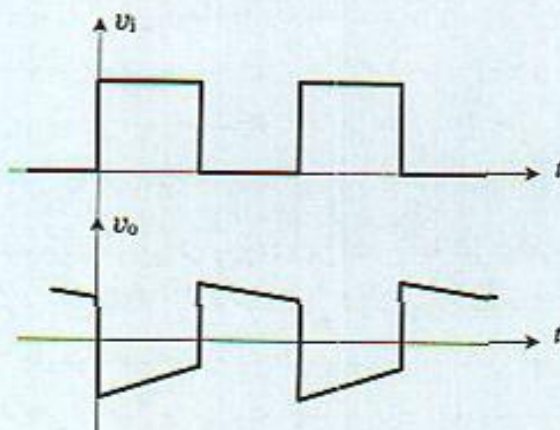




شکل ۲-۱۴ مشخصات تقویت کننده مثال (۱-۲) الف) محل صفر و قطب، ب) قدر مطلق و ج) فاز پاسخ فرکانس



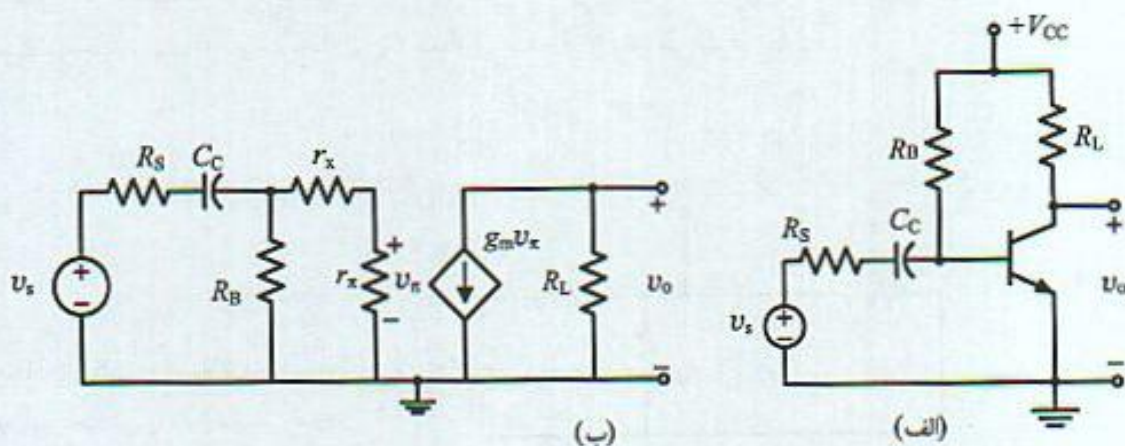
شکل ۲-۱۵ پاسخ پله تقویت کننده مثال ۱-۲ به پله ورودی



شکل ۲-۱۶ پاسخ سیگنال مربعی مدار مثال ۱-۲



انتخاب خازن کوپلاژ در تقویت‌کننده امپتر مشترک شکل (۱۷-۲) تقویت‌کننده ساده امپتر مشترک با خازن کوپلاژ  $C_C$  و مدار معادل فرکانس پایین آنرا نشان می‌دهد.



شکل ۱۷-۲ تقویت‌کننده امپتر مشترک ساده و مدار معادل آن در فرکانس پایین

مدار معادل فرکانس پایین دارای یک عنصر ذخیره‌کننده انرژی است پس تابع انتقال آن دارای یک فرکانس طبیعی و به عبارت دیگر دارای یک قطب است. در فرکانس صفر بهره این تقویت‌کننده صفر است (خازن اتصال باز) و همچنین در باند میانی خازن اتصال کوتاه و تقویت‌کننده دارای بهره محدودی است. بنابراین با توجه به این نکات تابع انتقال فرکانس پایین مدار

$$H_L(s) = \frac{V_o}{V_s} = A_0 \frac{s}{s + s_p} \quad (2-17)$$

است. برای محاسبه قطب تابع انتقال، شبکه کلی  $N$  در شکل (۱۸-۲) با تابع ادمیتانس ورودی:

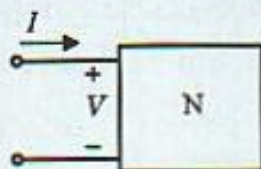
$$I = H(D) V$$

را در نظر گرفته، با تبدیل  $s$  به  $D$  (مشتق)، رابطه فوق را می‌توان به صورت:

$$H(s) = \frac{I}{V}$$

نوشت. با فرض اینکه شبکه تحت تاثیر فرکانسهای طبیعی (حالت گذرا) است و با توجه به اینکه این شرایط با صفر قرار دادن جریان ورودی  $I$  (اتصال باز ورودی) انجام می‌شود، بنابراین:

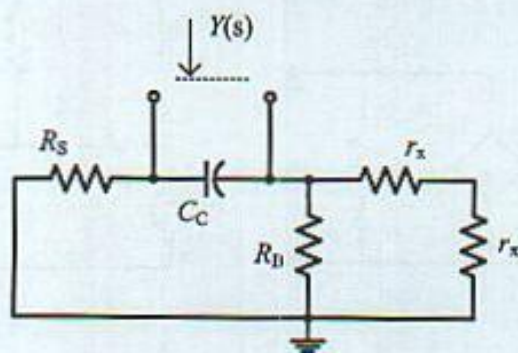
$$I = 0 \Rightarrow H(D) V = 0 \quad \text{یا} \quad H(s) = 0$$



شکل ۱۸-۲ شبکه کلی  $N$



رابطه  $H(s) = 0$  فرکانس طبیعی (قطبهای) مدار را مشخص می‌کند. بنابراین برای بدست آوردن فرکانس طبیعی از هر دو نقطه مدار، ادمیتانس ورودی از آن دو نقطه مساوی صفر قرار داده می‌شود. معادله حاصل را بر حسب  $s$  حل تا قطبهای شبکه بدست آید. در مدار معادل شکل (۲-۱۹) ورودی  $v_s = 0$  و عبارت ادمیتانس دیده شده از دو سر خازن  $C_C$  مساوی صفر قرار داده می‌شود.



شکل ۲-۱۹ مدار معادل برای محاسبه ادمیتانس ورودی دو سر خازن  $C_C$

عبارت  $Y(s)$  ادمیتانس از دو سر خازن  $C_C$  (در محل قطب) با توجه به مدار شکل (۲-۱۹):

$$Y(s) = s_p C_C + \frac{1}{R_B \parallel (r_x + r_{\pi}) + R_S} = 0$$

از رابطه فوق محل قطب فرکانس پایین تقویت‌کننده و از آنجا فرکانس قطع ۳ dB پایین مدار با توجه به رابطه (۲-۱۹):

$$\omega_L = |s_p| = \frac{1}{C_C [R_S + R_B \parallel (r_x + r_{\pi})]} \quad (21-2 \text{ الف})$$

بدست می‌آید. برای محاسبه بهره باند میانی  $A_o$  خازن  $C_C$  را اتصال کوتاه نموده و بهره مدار تعیین می‌شود. به سادگی می‌توان نشان داد:

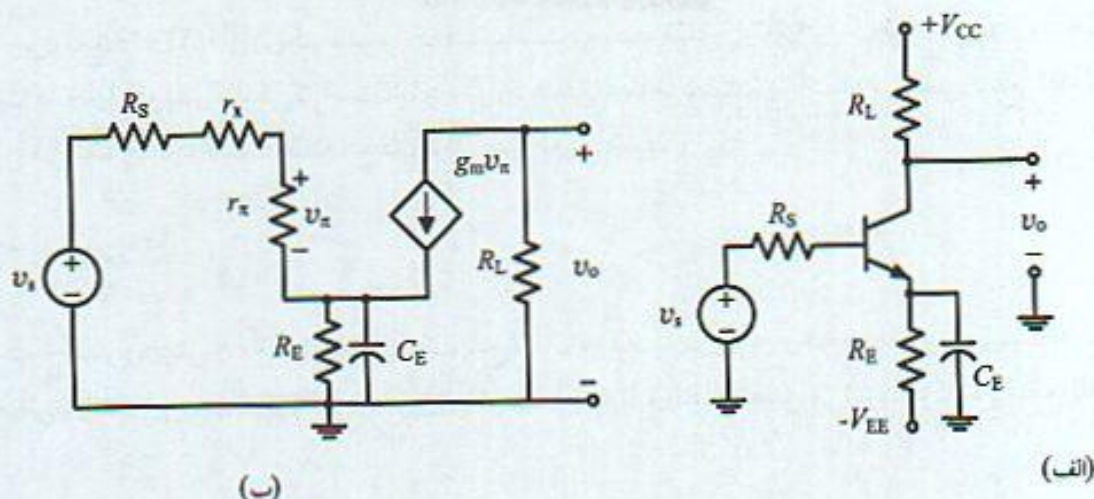
$$A_o = \left. \frac{V_o}{V_s} \right|_{\text{در باند میانی}} = \frac{-R_B}{R_B + R_S} \frac{\beta_o R_L}{r_x + r_{\pi} + (R_B + R_S)} \quad (21-2 \text{ ب})$$

## ۲-۷-۲ انتخاب خازنهای بای‌پس

اغلب لازم است به جهت پایداری نقطه کار مقاومتی به امیتر یا سورس ترانزیستور اضافه نمود و برای جلوگیری از کاهش تقویت مدار با خازن بای‌پس مناسب مقاومت امیتر و یا سورس را از نظر AC حذف و بای‌پس نمود. این خازن بر رفتار فرکانس پایین تقویت‌کننده اثر دارد.

تقویت‌کننده امیتر مشترک شکل (۲-۲۰) تقویت‌کننده‌ای با عناصر BJT و مدار معادل آنرا نشان می‌دهد. این مدار یک عنصر ذخیره‌کننده انرژی دارد و تابع انتقال آن دارای یک قطب است. چون دارای بهره محدود در باند میانی است و مدار فاقد خازن کوپلاژ می‌باشد، بنابراین شکل کلی تابع انتقال بصورت:





شکل ۲-۲۰ تقویت‌کننده امیتر مشترک با خازن پای‌پس: (الف) تقویت‌کننده، (ب) مدار معادل

$$H_L(s) = \frac{V_o}{V_s} = A_o \frac{s + s_z}{s + s_p} \quad (2-22)$$

می‌باشد. برای محاسبه قطب تابع انتقال  $s_p$ ، ادمیتانس دیده شده از دو سر خازن  $C_E$  مساوی صفر قرار داده می‌شود. از مدار معادل شکل (۳-۲۳) مقاومت دو سر این خازن  $R_T$ :

$$R_T = R_E \parallel \frac{R_S + r_x + r_{\pi}}{1 + \beta_o} \quad (2-23 \text{ الف})$$

است و بنابراین محل قطب مدار:

$$s_p C_E = \frac{1}{R_T} = 0 \Rightarrow s_p = -\frac{1}{R_T \times C_E} \quad (2-23 \text{ ب})$$

است.

صفر تابع انتقال معادل فرکانسی است که به ازاء آن خروجی مدار صفر می‌شود. برای صفر شدن ولتاژ خروجی در مدار شکل (۲-۲۵) لازم است جریان بیس صفر شود. این امر به معنی آن است که لازم است تقویت‌کننده دارای امپدانس ورودی بسیار بزرگ، بی‌نهایت، و یا ادمیتانس ورودی صفر باشد. بنابراین کل ادمیتانس موجود در امیتر (در محل صفر تابع انتقال) را معادل صفر قرار داده می‌شود. بنابراین صفر تابع انتقال مدار:

$$s_z C_E + \frac{1}{R_E} = 0 \Rightarrow s_z = -\frac{1}{R_E C_E} \quad (2-24 \text{ الف})$$

می‌باشد.  $A_o$  بهره باند میانی با اتصال کوتاه کردن خازن  $C_E$  بدست می‌آید.

$$A_o = \frac{-g_m r_{\pi}}{r_x + r_{\pi} + R_S} R_L \quad (2-24 \text{ ب})$$



چون تابع (۲-۲۳) دارای یک صفر و یک قطب است محاسبه مقدار  $C_E$  برای یک فرکانس قطع مشخص نسبت به خازن کوپلاژ مشکل تر است. اما در موارد عملی عموماً قطب تابع انتقال فرکانس قطع ۳ dB را تعیین می‌کند. چنانچه نسبت صفر و قطب برای مدار تعیین شود.

$$\frac{s_p}{s_z} = \frac{R_E}{R_T} \quad (2-25)$$

نسبت  $\frac{s_p}{s_z}$  همواره بیش از ۱۰ است. یعنی قطب تابع انتقال در فاصله دورتری از محور موهومی نسبت به صفر واقع می‌شود. از این جهت فرکانس قطع پایین توسط قطب تابع انتقال تعیین می‌شود. فرکانس قطع ۳ dB مدار:

$$\omega_L = |s_p| = \frac{1}{C_E R_T} \quad (2-26 \text{ الف})$$

و مقدار خازن برای فرکانس قطع مورد نظر از رابطه (۲-۲۶ ب) بدست می‌آید.

$$C_E \geq \frac{1}{R_T \omega_L} \quad (2-26 \text{ ب})$$

با توجه به مقدار کم مقاومت  $R_T$  مقدار خازن امیتر عموماً چند ده میکرو فاراد بدست می‌آید.

### مثال ۲-۲

در تقویت‌کننده امیتر مشترک شکل (۲-۲۰) با مقادیر

$$R_L = 1 \text{ k}\Omega, \quad R_B = 10 \text{ k}\Omega, \quad R_S = 0.6 \text{ k}\Omega, \quad R_E = 1.2 \text{ k}\Omega$$

$$r_x = 50 \Omega, \quad g_m = 100 \text{ m}\Omega^{-1}, \quad \beta_0 = 100$$

الف) خازن  $C_E$  را برای  $f_L = 50 \text{ Hz}$  تعیین کنید.

ب) محل صفر و قطب مدار را مشخص کنید.

ج) پاسخ فرکانس تقویت‌کننده و پاسخ پله آن را رسم کنید.

الف) در این مدار مقادیر بهره باند میانی:

$$A_0 = \frac{-\beta_0 R_L}{R_S + r_x + r_\pi} = -62.25$$

و مقاومت دیده شده دو سر خازن امیتر:

$$R_T = R_E \parallel \frac{R_S \parallel R_B + r_x + r_\pi}{1 + \beta_0} = 1.2 \parallel \frac{0.6 \parallel 10 + 1.05}{101} = 0.0157 \text{ k}\Omega$$

می‌باشند. با توجه به مقدار  $R_T$  نسبت محل صفر و قطب



$$\frac{s_p}{s_z} = \frac{R_E}{R_E} = \frac{1,2}{0,0157} = 76$$

است و فرکانس قطع ۳ dB مدار توسط قطب و با خازن  $C_E$  مشخص می‌شود:

$$C_E = \frac{1}{R_T \omega_L} = \frac{1}{2\pi (50 \text{ Hz})(0,0157 \times 10^3 \Omega)} = 202,75 \mu\text{F} \Rightarrow C_E = 220 \mu\text{F}$$

(ب) بنابراین محل صفر و قطب تابع انتقال:

$$s_p = -\frac{1}{C_E R_T} = -314 \text{ rad/s}, \quad s_z = -\frac{1}{C_E R_E} = -3,43 \text{ rad/s}$$

(ج) تابع انتقال کامل فرکانس پایین این تقویت‌کننده:

$$H_L(s) = -62,25 \frac{s + 3,43}{s + 314}$$

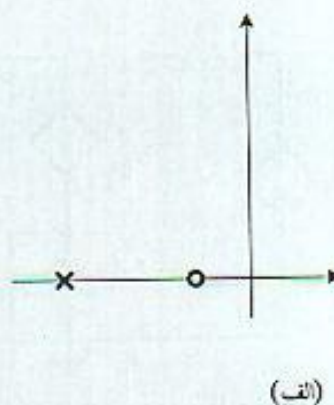
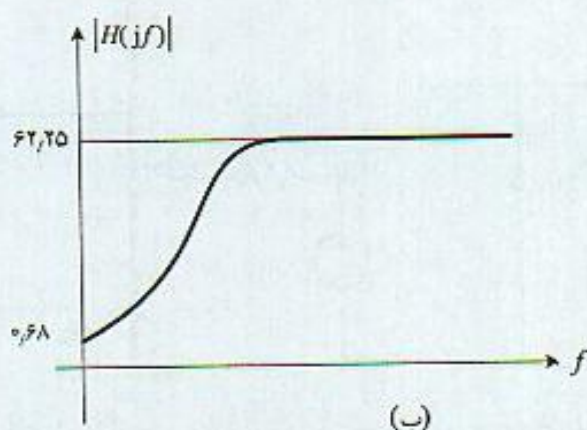
شکل (۲۱-۲) محل صفر و قطب و پاسخ فرکانس مدار را نشان می‌دهد. در فرکانس DC ( $f = 0$ ) به علت بای‌پس نشدن امپتر، تقویت‌کننده دارای بهره محدود:

$$H(0) = -62,25 \frac{3,43}{314} = -0,68$$

است.

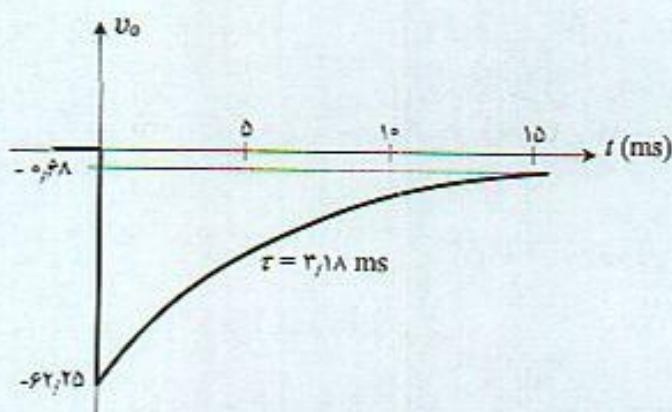
پاسخ پله این تقویت‌کننده را می‌توان به روش قبل بدست آورد. چنانچه پله ۱ mV در ورودی واقع شود چون در فرکانس صفر دارای بهره  $-0,68$  است پس مقدار نهایی خروجی  $-0,68 \text{ mV}$  خواهد بود و بنابراین خروجی بصورت نمایی با ثابت زمانی:

$$\tau = \frac{1}{\omega_L} = \frac{1}{|s_p|} = 3,18 \text{ ms}$$



شکل ۲۱-۲ مشخصات تقویت‌کننده مثال (۲-۲): (الف) محل صفر و قطب، (ب) پاسخ فرکانس





شکل ۲۲-۲ پاسخ پله تقویت کننده مثال مثال (۲-۲)

از مقدار اولیه  $-62.25$  به سمت مقدار  $-0.68$  میل می کند. شکل (۲۲-۲) پاسخ پله را نشان می دهد.

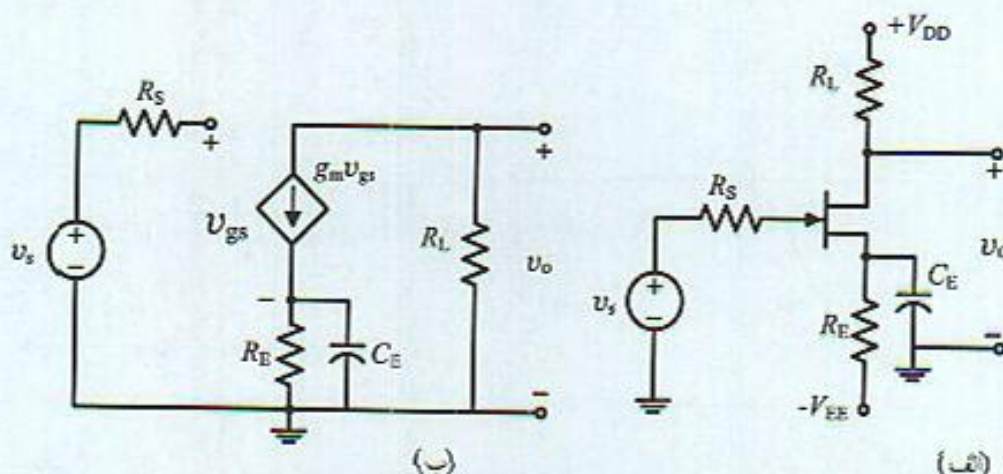
تقویت کننده سورس مشترک شکل (۲۳-۲) تقویت کننده JFET با دو منبع بایاس و مدار معادل آنرا نشان می دهد. مشابه تقویت کننده BJT تابع انتقال این مدار:

$$H_L(s) = \frac{V_o}{V_s} = A_o \frac{s + \frac{1}{R_E C_E}}{s + \frac{1}{R_T C_E}}, \quad A_o = -g_m R_L \quad (27-2)$$

است.  $R_T$  مقاومت دو سر خازن بای پس سورس است. برای محاسبه  $R_T$  می توان از منبع ولتاژ آزمایشی شکل (۲۴-۲) استفاده کرد. هدایت دیده شده دو سر خازن بای پس:

$$G_T = \frac{I_T}{V_T} = \frac{G_E V_T + g_m V_{gs}}{V_T} = G_E + g_m$$

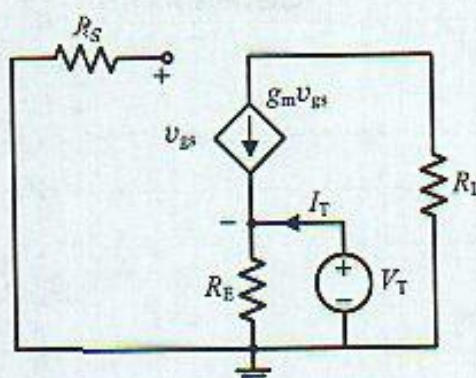
در نتیجه مقدار مقاومت و فرکانس قطع ۳ dB تقویت کننده مشابه با بحث قبل از رابطه (۲۸-۲) بدست می آید.



شکل ۲۳-۲ تقویت کننده سورس مشترک با FET و خازن بای پس



شکل ۲-۲۴ مدار معادل دو سر  
خازن بای‌پس در تقویت‌کننده شکل  
(۲۳-۲)

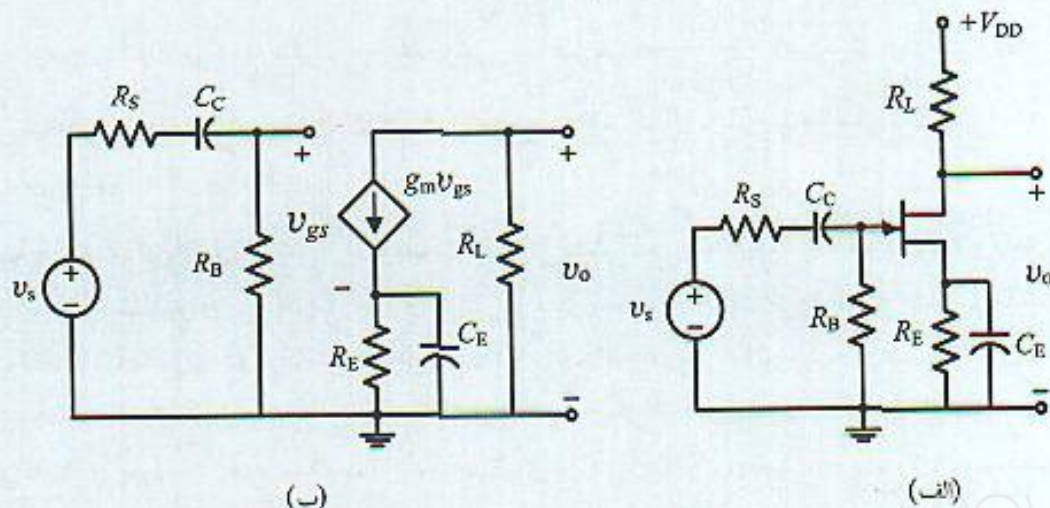


$$R_T = \frac{1}{G_E + g_m} = R_E \parallel \frac{1}{g_m}, \quad \omega_L = \frac{1}{R_T C_E} \quad (2-28)$$

### ۳-۷-۲ انتخاب خازنهای کوپلاژ و بای‌پس

تقویت‌کننده‌های یک طبقه از یک منبع تغذیه استفاده می‌کنند. بر این اساس در مدار کامل تقویت‌کننده دو خازن کوپلاژ و بای‌پس وجود دارد. وجود دو خازن در مدار، تابع انتقال باند پایین را پیچیده می‌کند بطوریکه فرکانس قطع ۳ dB مدار تابعی از هر دو خازن خواهد بود. راه حل ساده و آسان برای طراحی مقادیر خازن‌ها آن است که یکی از خازن‌ها مقدار  $\omega_L$  را تعیین نموده و خازن دیگر اثر چندانی بر فرکانس قطع نداشته باشد. در این بخش محاسبات این مدارها بررسی می‌شود.

انتخاب خازنهای کوپلاژ و بای‌پس در تقویت‌کننده سورس مشترک شکل (۲-۲۵) تقویت‌کننده سورس مشترک شامل خازنهای کوپلاژ و بای‌پس و مدار معادل آنرا نشان می‌دهد. این مدار شامل دو عنصر ذخیره کننده انرژی است و تابع انتقال آن دارای دو قطب است. در فرکانس صفر خازن کوپلاژ اتصال باز و بنابراین تابع انتقال دارای صفری در  $s = 0$  است. در باند میانی مدار دارای بهره محدودی است و لازم است تابع انتقال شامل صفر دیگری هم باشد، چه لازم است توان  $s$  در صورت و مخرج یکسان باشد. در نتیجه شکل کلی تابع انتقال مدار بصورت:



شکل ۲-۲۵ تقویت‌کننده کامل FET با دو خازن کوپلاژ و بای‌پس: (الف) تقویت‌کننده، (ب) مدار معادل



$$H_L(s) = \frac{V_o}{V_s} = A_o \frac{s(s + s_z)}{(s + s_{p1})(s + s_p)}, \quad A_o = - \frac{R_B}{R_B + R_S} g_m R_L \quad (2-29)$$

خواهد بود. JFET در فرکانسهای پایین دارای مقاومت ورودی نامحدود است. بنابراین مدار معادل تقویت کننده را می توان به دو جزء کاملاً مجزا تقسیم کرد. برای تعیین قطبها می توان هر یک از بخش ها را بطور مجزا در نظر گرفت و مشابه روش قبل عمل کرد. به عبارت دیگر هر قطب تابع انتقال فقط به یکی از خازن ها بستگی دارد. در نتیجه می توان نشان داد:

$$s_{p1} = - \frac{1}{(R_B + R_S) C_C}, \quad s_{p2} = - \frac{G_E + g_m}{C_E} \quad (2-30 \text{ الف})$$

صفر تابع انتقال در  $s = s_z$  متناظر با فرکانسی است که امپدانس سورس JFET بی نهایت شود. در این شرایط ولتاژ خروجی خروجی صفر شده و صفر تابع انتقال مشخص می شود. بنابراین:

$$s_z C_C + \frac{1}{R_E + C_C} = 0, \quad s_z = - \frac{1}{R_E C_C} \quad (2-30 \text{ ب})$$

روشهای بسیاری برای انتخاب مقادیر خازن ها وجود دارد تا مقدار مشخصی برای فرکانس قطع ۳ dB بدست آید. ساده ترین راه (گرچه ممکن است اقتصادی ترین روش نباشد) آن است که  $C_E$  چنان انتخاب شود که قطب حاصل از آن  $f_L$  را تعیین نماید. بنابراین:

$$C_E \geq \frac{G_E + g_m}{\omega_L} \quad (2-31 \text{ الف})$$

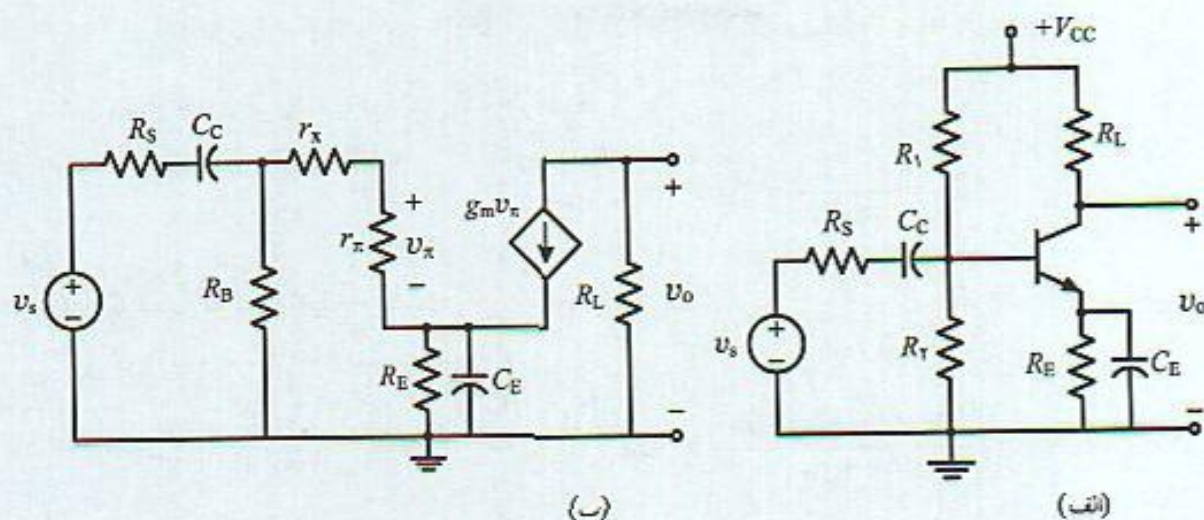
و  $C_C$  چنان انتخاب شود که قطب حاصل از آن  $s_{p1}$  حداقل یک دهه فرکانسی (decade) پایین تر از  $s_{p2}$  واقع شود. در نتیجه:

$$|s_{p2}| = \frac{|s_{p1}|}{10} = \frac{\omega_L}{10}, \quad C_C \geq \frac{10}{\omega_L (R_S + R_B)} \quad (2-31 \text{ ب})$$

مقایسه  $s_z$  و  $s_{p1}$  نشان می دهد صفر تابع انتقال همواره با ضریب  $\frac{G_E}{G_E + g_m}$  پایین تر از  $s_{p2}$  است. این روش طراحی شخص را مطمئن می سازد که در فرکانس قطع  $\omega_L$  تابع انتقال با تقریب مناسبی تک قطبی بوده و  $f_L$  تحت تاثیر قطب و صفر مربوط به  $C_C$  نیست.

انتخاب خازنهای کوپلاژ و بای پس در تقویت کننده امپتر مشترک شکل (۲-۲۶) تقویت کننده کامل امپتر مشترک با مقاومت امپتر و خازنهای کوپلاژ و بای پس و مدار معادل آنرا نشان می دهد. این مدار نیز مانند مدار تقویت کننده FET دارای دو فرکانس طبیعی است اما برخلاف آن نمی توان آنرا به دو قسمت مجزا تقسیم نمود. به عبارت دیگر هر یک از صفرها و یا قطبهای مدار به یکی از خازن ها وابسته نیست و به هر دو خازن بستگی دارد. بر این اساس محاسبه مقدار دقیق خازنهای  $C_E$  و  $C_C$  برای رسیدن به یک مقدار مشخص  $\omega_L$  ساده نیست.





شکل ۲-۲۶ تقویت‌کننده کامل امیتر مشترک با خازنهای بای‌پس و کوپلاژ

در روش تقریبی و ساده‌ای که اغلب در طرح و انتخاب خازنهای بیکار می‌رود فرض می‌شود که  $\omega_L$  تنها به یکی از خازنهای بستگی داشته فرکانس قطع ۳ dB را تعیین و در این شرایط خازن دیگر اتصال کوتاه است و تاثیر عمده‌ای بر  $\omega_L$  ندارد. به عبارت دیگر می‌توان روش محاسبات مدارهای شامل یک خازن را برای مدارهایی با دو یا چند خازن نیز بیکار برد. بنابراین با فرض اینکه خازن  $C_E$  فرکانس  $\omega_L$  را تعیین کند (خازن  $C_C$  اتصال کوتاه) و به روش قبل  $C_E$  محاسبه می‌شود. به همین ترتیب با فرض اینکه  $C_C$  بر  $\omega_L$  اثر تعیین‌کننده (خازن  $C_E$  اتصال کوتاه) دارد مانند مداری با یک خازن مقدار  $C_C$  محاسبه می‌شود. سئوالی که مطرح می‌شود آن است که برای برقراری شرایط اتصال کوتاه، خازن مربوطه تا چه مقدار بزرگ انتخاب شود؟ براساس این روش عموماً خازن بزرگتر را ثابت نگاه داشته و خازن کوچکتر ۱۰ برابر انتخاب می‌شود تا اثر قطب حاصل از آن در حوالی  $\omega_L$  قابل ملاحظه نباشد. مثال بعد این روش طراحی را مشخص می‌کند.

### مثال ۲-۳

در تقویت‌کننده امیتر مشترک شکل (۲-۲۶) و برای  $f_L = 50 \text{ Hz}$ ، با عناصر بایاس:

$$R_S = 0.6 \text{ k}\Omega, \quad R_E = 1.2 \text{ k}\Omega, \quad R_B = 10 \text{ k}\Omega$$

و نقطه کار  $V_{CE} = 5 \text{ V}$ ،  $I_{CQ} = 2.5 \text{ mA}$ ، مقادیر خازنهای بای‌پس و کوپلاژ را مشخص کنید. پارامترهای ترانزیستور:

$$\beta_0 = 100, \quad r_x = 50 \Omega, \quad g_m = \frac{I_{CQ}}{V_T} = 0.1 \Omega^{-1}, \quad r_\pi = \frac{\beta_0}{g_m} = 1 \text{ k}\Omega$$

می‌باشند. برای محاسبه مقادیر خازن‌ها ۲ حالت را باید در نظر گرفت:

**الف)  $C_C$  قطب موثر را تعیین می‌کند.** در این شرایط  $C_E$  اتصال کوتاه و خازن  $C_C$  برای  $f_L = 50 \text{ Hz}$  محاسبه می‌شود. مقاومت دو سر این خازن:



$$R_T = (r_x + r_{\pi}) \parallel (R_B + R_S) = (1.05 \text{ k}\Omega) \parallel 10 \text{ k}\Omega + 0.6 \text{ k}\Omega = 1.55 \text{ k}\Omega$$

است و مقدار خازن فوق برای فرکانس قطع مورد نظر:

$$C_C = \frac{1}{\omega_L R_T} = 2.053 \mu\text{F}$$

ب)  $C_E$  قطب موثر را تعیین میکند. در این شرایط  $C_C$  اتصال کوتاه و  $C_E$  برای  $f_L = 50 \text{ Hz}$  محاسبه می‌شود. برای اینکار مقاومت دو سر  $C_E$ :

$$R_T = R_E \parallel \frac{R_S + R_B + r_x + r_{\pi}}{1 + \beta_o} = 15.79 \Omega \Rightarrow C_E = \frac{1}{\omega_L R_T} = 201.5 \mu\text{F}$$

بر اساس روش تقریبی یکی از خازن‌ها را ۱۰ برابر نموده تا قطب حاصل از آن اثری بر فرکانس قطع نداشته باشد. برای اینکه طرح از نظر اقتصادی نیز مناسب و مدار حجم کمتری داشته باشد خازن بزرگ را ثابت نگاه داشته و خازن کوچک ۱۰ برابر و نزدیکترین خازن استاندارد به مقادیر محاسبه شده انتخاب می‌شود.

$$C_E = 201 \mu\text{F} \rightarrow 220 \mu\text{F}, \quad C_C = 20 \mu\text{F} \rightarrow 22 \mu\text{F}$$

بنابراین فرکانس قطع (قطب موثر) پایین مدار توسط خازن  $C_E$  مشخص می‌شود.

## ۲-۷-۴ انتخاب خازنهای $C_C$ و $C_E$ در سایر مدارها

تقویت‌کننده بیس مشترک شکل (۲-۲۷) یک تقویت‌کننده کامل بیس مشترک با یک منبع تغذیه را نشان می‌دهد. روش محاسبه خازنهای کوپلاژ و بای‌پس این مدار مشابه تقویت‌کننده‌های قبلی است که در بخشهای قبل به تفصیل مورد بحث قرار گرفت. در این مدار ابتدا خازن  $C_C$  برای فرکانس قطع پایین مورد نظر محاسبه می‌شود. در این حالت فرض بر آن است که  $C_B$  بقدر کافی بزرگ است بطوریکه تاثیر زیادی بر  $f_L$  ندارد. سپس با فرض بزرگ بودن  $C_C$  خازن  $C_B$  تعیین می‌شود. در انتها یکی از مقادیر  $C_C$  و  $C_B$  که کوچکتر است با ضریب ۱۰ زیاد می‌شود.

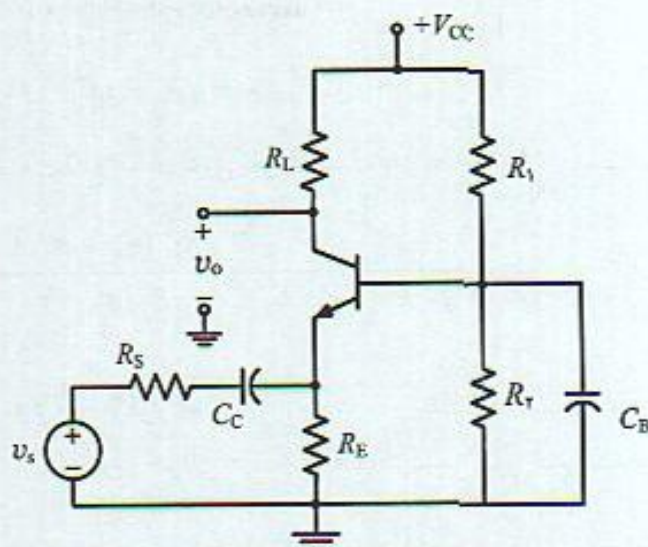
## ۲-۸ پاسخ فرکانس بالای تقویت‌کننده‌های یک طبقه

در این بخش پاسخ فرکانس بالای تقویت‌کننده‌های یک طبقه بررسی می‌شود. در فرکانس بالا پاسخ فرکانس بوسیله اجزای ترانزیستور تعیین و مقادیر خازنهای داخلی ترانزیستور فرکانس قطع بالای تقویت‌کننده  $f_H$  را مشخص می‌کنند. این بررسی ابتدا برای یک طبقه امیتر مشترک و با کمک مدار معادل ساده شده هاینرید  $\pi$  انجام می‌شود.

پاسخ فرکانس بالای تقویت‌کننده امیتر مشترک شکل (۲-۲۸) تقویت‌کننده امیتر مشترک و مدار معادل فرکانس بالای آن را نشان می‌دهد که در آن از مقاومت  $R_B$  در مقابل  $R_S$  صرف نظر شده است.



شکل ۲۷-۲ تقویت‌کننده کامل  
بیس مشترک با ۲ خازن



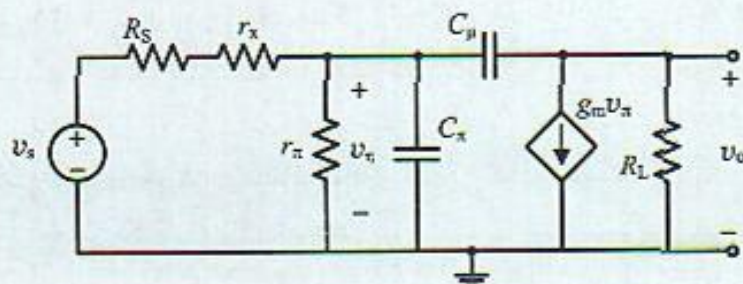
مدار معادل دارای دو عنصر ذخیره‌کننده انرژی مستقل و تابع انتقال آن دارای ۲ قطب است. در فرکانس‌های خیلی بالا که  $C_{\mu}$  اتصال کوتاه است و ولتاژ خروجی همان  $v_{\pi}$  است. بنابراین در فرکانسهای بالا ولتاژ خروجی بر حسب فرکانس تغییراتی بصورت  $\frac{1}{s}$  دارد. در نتیجه تابع انتقال دارای یک صفر است بطوریکه با دو قطب مخرج، رفتار فوق را در فرکانسهای بالا سبب شوند. شکل کلی تابع انتقال فرکانس بالای تقویت‌کننده امیتر مشترک:

$$H_{11}(s) = \frac{V_o}{V_s} = A_o \frac{(s + s_z)}{(s + s_{p1})(s + s_{p2})} \quad (32-2)$$

است. صفر تابع انتقال را به روش نظری می‌توان بدست آورد. در فرکانس  $s = s_z$  ولتاژ خروجی صفر می‌شود است و جریانی از مقاومت بار  $R_L$  نمی‌گذرد. بنابراین جریان خازن  $C_{\mu}$  همان جریان  $g_m \times v_{\pi}$  است:

$$s C_{\mu} v_{\pi} = g_m v_{\pi} \Rightarrow s_z = \frac{g_m}{C_{\mu}} \quad (33-2)$$

تابع انتقال به روش تجزیه و تحلیل گره می‌توان تابع انتقال مدار را بدست آورد. این مدار دارای ۲ گره است که دارای معادلات



شکل ۲۸-۲ مدار معادل فرکانس بالای تقویت‌کننده امیتر مشترک



$$V_s G's = [G's + g_{\pi} + s(C_{\pi} + C_{\mu})] V_{\pi} - s C_{\mu} V_o \quad \text{گروه ۱}$$

$$0 = (g_m - s C_{\mu}) V_{\pi} + (G_L + s C_{\mu}) V_o \quad \text{گروه ۲}$$

می‌باشند. با حذف ولتاژ  $V_{\pi}$  از معادلات فوق تابع انتقال کامل تقویت‌کننده با رابطه (۳۴-۲) بدست می‌آید.

$$H_H(s) = \frac{-G's R_L (g_m - s C_{\mu})}{G's + g_{\pi} + \{C_{\pi} + C_{\mu} [1 + R_L(g_m + G's)]\} s + C_{\pi} C_{\mu} R_L s^2} \quad (34-2)$$

مدار معادل هایپرید  $\pi$  تا فرکانس‌های حدود  $\frac{\omega_T}{3}$  برقرار است. اما آنچه در تقویت‌کننده اهمیت دارد و مورد استفاده قرار می‌گیرد تا فرکانس قطع ۳ dB است. در حوالی فرکانس قطع، فرکانس کار خیلی کمتر از  $\omega_T$  است و با توجه به رابطه  $\omega_T = \frac{g_m}{C_{\pi} + C_{\mu}}$ ، در نتیجه:

$$|s \ll g_m C_{\pi}|, |s C_{\mu}| \ll g_m$$

هم‌چنین به روشی مشابه می‌توان نتیجه گرفت:

$$|s^2 C_{\mu} C_{\pi} R_L| \ll |s C_{\mu} g_m R_L|$$

در اینصورت از عبارت  $C_{\pi} C_{\mu} R_L s^2$  در مخرج تابع انتقال (۳۴-۲) با تقریب خوب می‌توان در مقابل سایر مقادیر صرف‌نظر کرد. علاوه بر آن با توجه به اینکه صفر تابع انتقال در  $s_z = \frac{g_m}{C_{\pi}}$  واقع است که از  $\omega_T$  خیلی بیشتر است، از  $s C_{\mu}$  در مقابل  $g_m$  هم می‌توان صرف‌نظر کرد و به این ترتیب تابع انتقال تقریبی و یک قطبی تقویت‌کننده امیتر مشترک در رابطه (۳۵-۲) را بدست آورد.

$$H_H(s) = \frac{-G's R_L g_m}{G's + g_{\pi} + \{C_{\pi} + C_{\mu} [1 + R_L(g_m + G's)]\} s} \quad (35-2)$$

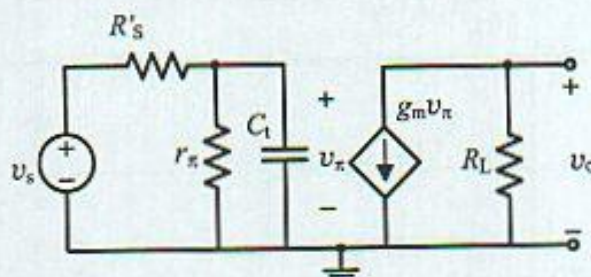
بدست می‌آید. می‌توان نشان داد که قطبی که از آن صرف‌نظر شده است همیشه از  $\omega_T$  خیلی بزرگتر و در محدوده فرکانسی مورد علاقه نمی‌باشد. در عبارت ساده شده تابع انتقال، خازن  $C_t$

$$C_t = C_{\pi} + C_{\mu} [1 + (g_m + G's) R_L] \quad (36-2)$$

ظاهر شده است. با توجه به این خازن می‌توان مدار معادل شکل (۲۹-۲) را برای تقویت‌کننده رسم نمود. بجای مدار شکل (۲۸-۲) می‌توان مدار معادل شکل (۲۹-۲) را جایگزین کرد. توجه شود این مدار، مدار معادل ترانزیستور نیست بلکه تقویت‌کننده امیتر مشترک در فرکانس‌های بالا و حوالی  $f_H$  بصورت ساده معادل سازی شده است. خازن  $C_t$  خازن معادل اثر میلر (Miller) نامیده می‌شود. از این مدار فقط برای محاسبه بهره و فرکانس قطع  $f_H$  می‌توان استفاده کرد. از آنجایی که در این مدار فیدبک خروجی به ورودی حذف شده است مدار معادل یک‌طرفه (unilateral) تقویت‌کننده امیتر مشترک نامیده می‌شود. البته در محاسبه امپدانس خروجی و بهره معکوس از این مدار نمی‌توان استفاده کرد. بطور خلاصه نکات زیر از مدار معادل ساده شده می‌توان نتیجه گرفت:



شکل ۲-۲۹ مدار معادل  
یک طرفه تقویت‌کننده امیتر مشترک



الف) در فرکانس‌های پایین که  $C_\pi$  و  $C_\mu$  و در نتیجه  $C_1$  امپدانس زیادی دارند، اثر آنها قابل صرف‌نظر و بهره باند میانی:

$$A_o = \frac{-G'_s}{G'_s + g_\pi} g_m R_L \quad (۳۷-۲)$$

است. بهره باند میانی را با صفر قرار دادن  $s$  در معادلات (۳۴-۲) و (۳۵-۲) نیز می‌توان بدست آورد.  
ب) فرکانس قطع ۳ dB بالای تقویت‌کننده امیتر مشترک مانند فرکانس قطع یک مدار یک قطبی است و بنابراین:

$$\omega_H = |s_p| = \frac{G'_s + g_\pi}{C_1} \quad (۳۸-۲)$$

ج) محدوده فرکانسی که در آن می‌توان تقریب یک قطبی را برای مدار امیتر مشترک بکار برد، به این ترتیب بدست می‌آید که در فرکانسهای خیلی بالاتر از  $\omega_H$  جمله  $s^2$  در مخرج تابع انتقال مهم خواهد بود. در فرکانسی مانند:

$$|s| = \frac{g_m}{10 C_\pi} = \frac{\omega_T}{10} \quad (۳۹-۲ \text{ الف})$$

جمله  $s^2$  در مخرج تابع انتقال (۳۵-۲) که در بررسی قبل صرف‌نظر شد برابر:

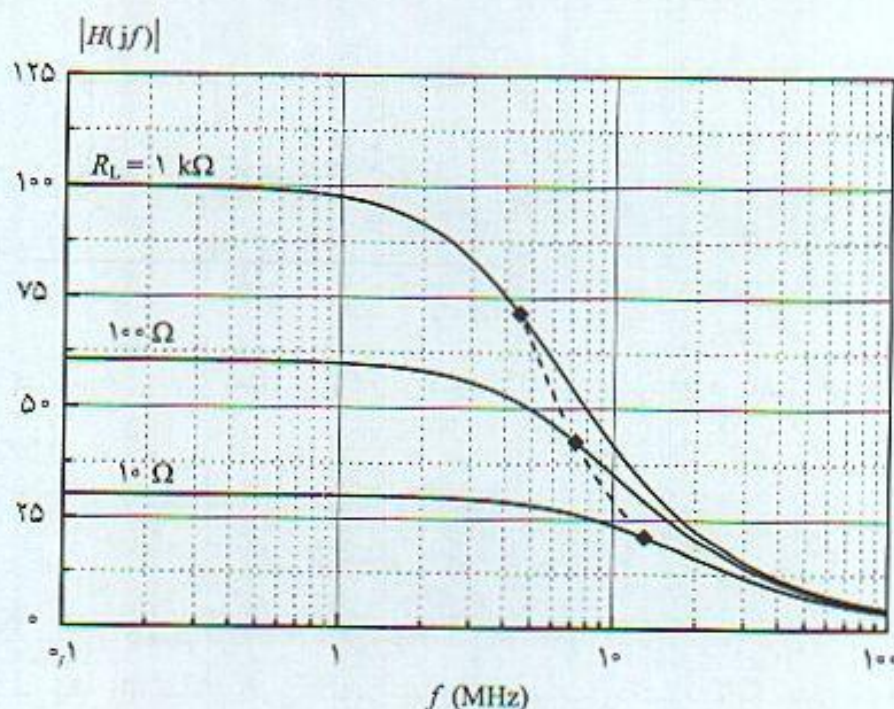
$$s^2 C_\pi C_\mu R_L = \frac{s C_\mu g_m R_L}{10} \quad (۳۹-۲ \text{ ب})$$

می‌باشد. در نتیجه در بدترین شرایط که عبارت  $s C_\mu g_m R_L$  در مخرج تعیین‌کننده است، از رابطه (۳۹-۲) ملاحظه می‌شود که از یک جمله مرتبه دوم در تابع انتقال کلی صرف‌نظر شده و این عبارت  $\frac{1}{10}$  عبارت تعیین‌کننده است. می‌توان نشان داد تا فرکانسهای  $|s| = \frac{\omega_T}{10}$  صرف‌نظر نمودن از عبارت  $s^2$  تنها باعث ۶۰ خطای فاز شده و هم چنین خطای قابل ملاحظه‌ای در مقدار قدر مطلق تابع انتقال حاصل نمی‌شود.

د) با کاهش  $R_L$  مقاومت بار،  $\omega_H$  افزایش می‌یابد و از طرف دیگر بهره تقویت‌کننده کم می‌شود. اما این رابطه مستقیم نیست. برای  $R_L$  های کوچک بهره صفر می‌شود و در این حال پهنای باند به مقدار حدی

$$\omega_H = \frac{G'_s + g_\pi}{C_\pi + C_\mu}, \quad (R_L = 0) \quad (۴۰-۲)$$





شکل ۲-۳ تغییرات بهره تقویت‌کننده امپتر مشترک بر حسب مقاومت بار

می‌رسد. رابطه تغییر بهره و پهنای باند بر حسب  $R_L$  در شکل (۲-۳) نشان داده شده است که در آن ترانزیستوری با مشخصات  $r_x = 50 \Omega$ ,  $C_\pi = 50 \text{ pF}$ ,  $C_\mu = 3 \text{ pF}$ ,  $g_m = 100 \text{ m}\Omega^{-1}$  و با مقاومت منبع  $R_S = 50 \Omega$  بکار رفته است. منحنی خط‌چین مکان نقاط فرکانس قطع ۳ dB تقویت‌کننده را نشان می‌دهد. رابطه (۲-۴) نشان می‌دهد که با کاهش  $R_S$  نیز می‌توان  $\omega_H$  را افزایش داد. مجانب فرکانس قطع بالا به ازاء  $R_L = R_S = 0$  با  $\omega_b$  نشان داده می‌شود:

$$\omega_b = \frac{g_x + g_\pi}{C_\pi + C_\mu} \approx \frac{g_x}{C_\pi + C_\mu}, \quad (R_L = R_S = 0) \quad (2-41)$$

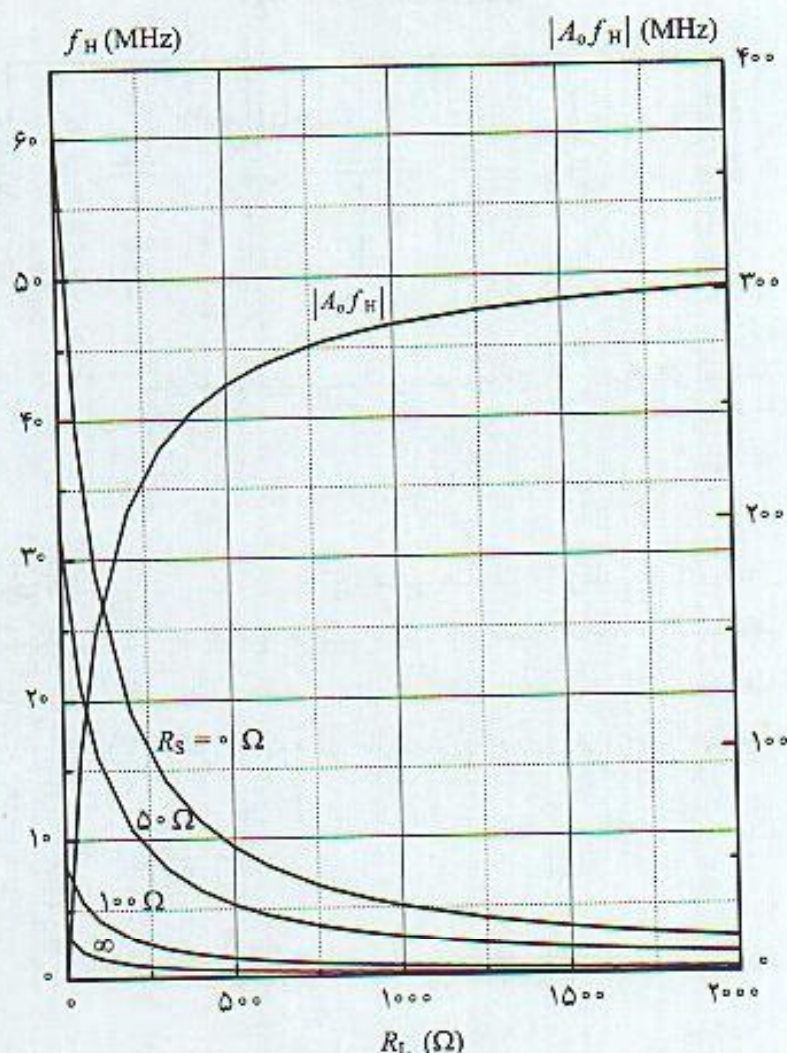
که فقط به پارامترهای ترانزیستور بستگی دارد. رابطه (۲-۴۱) نشان می‌دهد برای افزایش پهنای باند قابل استفاده در یک ترانزیستور باید  $g_x$  را زیاد و یا  $r_x$  مقاومت نیمه هادی ناحیه بیس را کم کرد. این نکته مهمی در ساخت ترانزیستورهای فرکانس بالا را نشان می‌دهد که لازم است ناخالصی نیمه هادی بیس را افزایش داد. البته باید توجه نمود که این مسئله  $\beta$  را کم می‌کند. از این جهت  $\beta$  ترانزیستورهای فرکانس بالا به مقدار حداکثر ۱۰۰ محدود می‌شود.

و) حاصلضرب بهره - پهنای باند با استفاده از تقریب یک قطبی تقویت‌کننده امپتر مشترک، حاصلضرب بهره ولتاژ و پهنای باند عبارت:

$$|A_{oFH}| = \frac{G'_S}{G'_S + g_\pi} g_m R_L \frac{G'_S + g_\pi}{2\pi C_1} = \frac{g_m}{2\pi C_1} \frac{R_L}{R_S + r_x}$$

است که می‌توان بصورت (۲-۴۲) ساده نمود.





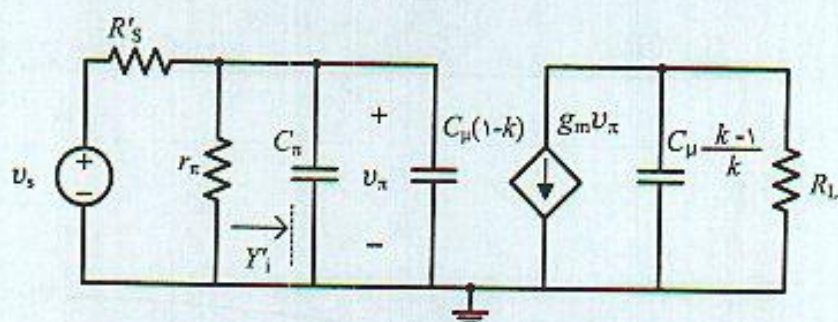
شکل ۳۱-۲ تغییرات فرکانس قطع بالا و حاصلضرب بهره-پهنای باند تقویت‌کننده امپتر مشترک بر حسب مقاومت بار  $R_L$  و مقادیر مختلف  $R_S$

$$|A_0 f_H| = \frac{f_T}{1 + 2\pi f_T R_L C_\mu} \frac{R_L}{R_S + r_x} \quad (۳۱-۲)$$

شکل (۳۱-۲) تغییرات  $f_H$  بر حسب  $R_L$  (تا مقدار  $2 \text{ k}\Omega$ ) برای چند مقدار  $R_S$  را نشان می‌دهد. هم‌چنین منحنی تغییرات  $|A_0 f_H|$  برای مقدار  $R_S = 50 \text{ }\Omega$  که مقاومت خروجی استاندارد منابع سیگنال فرکانس بالا است نیز ترسیم شده است. بالاترین منحنی  $f_H$  مربوط به منبع ایده‌آل با  $R_S = 0$  و پایین‌ترین منحنی مربوط به  $R_S = \infty$  منبع جریان ایده‌آل است. هم‌چنین مقدار بهره و لتاز برای مقاومت بار  $2 \text{ k}\Omega$  و مقادیر مختلف  $R_S$  مشخص شده است. برای مقاومت منبع بینهایت بهره و لتاز صفر و برای  $R_S = 0$  بهره و لتاز  $90/9$  است. مقاومت منبع  $100 \text{ }\Omega$  پهنای باند را با ضریب  $1/8$  کاهش می‌دهد. هم‌چنین از منحنی حاصلضرب بهره - پهنای باند می‌توان نتیجه گرفت که با افزایش  $R_L$  این حاصلضرب افزایش و با کاهش  $R_S$  نیز افزایش می‌یابد.

ز) امپدانس ورودی با استفاده از مدار معادل یک طرفه تقویت‌کننده امپتر مشترک در شکل (۳۳-۲) و با در نظر گرفتن  $G'_s = 0$  در عبارت  $C_i$ ، ادیتانس ورودی پس از مقاومت  $r_x$ :





شکل ۲-۳۲ مدار معادل تقویت‌کننده امیتر مشترک شکل (۲-۲۸) بر اساس قضیه میلر

$$Y_i = g_\pi + j\omega C_i = g_\pi + j\omega [C_\pi + C_\mu (1 + g_m R_L)] \quad (2-43)$$

می‌باشد. در رابطه فوق فرض بر آن است که بهره ترانزیستور مستقل از فرکانس و  $g_m R_L - 1$  است. در حالیکه این مسئله حقیقتاً صحیح نیست، چه با تغییر فرکانس بهره ترانزیستور تغییر می‌کند. به عبارت دیگر رابطه (۲-۴۳) تقریبی است. برای اینکه عبارت دقیق‌تری از ادمیتانس ورودی بدست آید در مدار معادل کامل تقویت‌کننده شکل (۲-۳۳) و بر اساس قضیه میلر خازن  $C_\mu$  را به ورودی و خروجی منتقل که مدار معادل شکل (۲-۳۷) بدست می‌آید.

با توجه به تعریف ضریب  $k$  در قضیه میلر:

$$k = \frac{V_o}{V_\pi} = \frac{-g_m}{j\omega C_\mu + G_L} = \frac{-g_m R_L}{1 + j\omega C_\mu R_L} \quad (2-43)$$

و بنابراین ادمیتانس  $Y'_i$  تعریف شده در شکل (۲-۳۷):

$$Y'_i = j\omega [C_\pi + C_\mu (1 + \frac{g_m R_L}{1 + j\omega C_\mu R_L})] \quad (2-44 \text{ الف})$$

است که شامل خازن  $C_i$  و مقاومت  $R_i$  می‌باشد.

$$Y_i = j\omega C_i + \frac{1}{R_i} \quad (2-44 \text{ ب})$$

با معادل قرار دادن روابط فوق

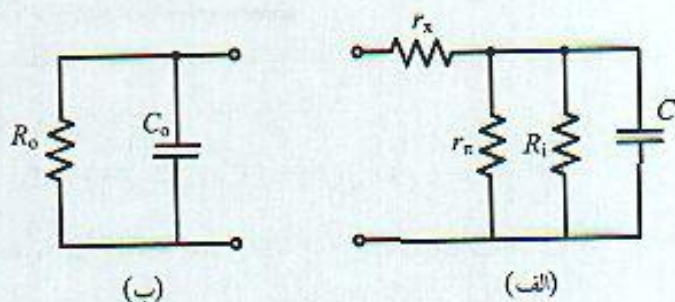
$$C_i = C_\pi + C_\mu + \frac{g_m R_L C_\mu}{1 + \omega^2 C_\mu^2 R_L^2} \quad (2-45 \text{ الف})$$

$$R_i = \frac{1}{g_m} (1 + \frac{1}{\omega^2 C_\mu^2 R_L^2}) \quad (2-45 \text{ ب})$$

و بنابراین مدار معادل ورودی یک تقویت‌کننده امیتر مشترک بصورت شکل (۲-۳۳ الف) است.



شکل ۲-۳۳ الف) مدار معادل  
امپدانس ورودی، ب) امپدانس خروجی  
تقویت‌کننده امیتر مشترک



برای فرکانس‌های  $f < f_H$ ، یعنی در پهنای باند تقویت‌کننده مقدار  $R_i \parallel C_{\mu} \omega^2$  کوچک و در عبارت  $C_i$  قابل صرف‌نظر است و بنابراین:

$$C_i = C_{\pi} + C_{\mu} (1 + g_m R_L) \quad (2-46)$$

در فرکانس صفر  $R_i$  مقدار زیادی است بطوریکه در مقابل  $r_{\pi}$  می‌توان از آن صرف‌نظر نمود. با افزایش فرکانس مقدار  $R_i$  کاهش می‌یابد، بطوریکه ممکن است در مقابل  $r_{\pi}$  مقدار غیر قابل صرف‌نظری داشته باشد.

ح) امپدانس خروجی از مدار معادل یک‌طرفه تقویت‌کننده امیتر مشترک نمی‌توان در محاسبه امپدانس خروجی استفاده کرد و لازم است از مدار دیگری استفاده نمود. با توجه به مدار معادل شکل (۲-۳۲) امپدانس خروجی مدار بصورت خازنی و  $\frac{k-1}{k} C_{\mu}$  است. برای اینکه عبارت دقیق‌تری از امپدانس خروجی بدست آید  $k$  را از رابطه (۲-۴۳) در نظر گرفته و عبارت خازن خروجی  $C_o$  محاسبه می‌شود.

$$C_o = C_{\mu} \frac{k-1}{k} = C_{\mu} \left(1 - \frac{1}{k}\right) = C_{\mu} \left(1 - \frac{1 + j\omega C_{\mu} R_L}{g_m R_L}\right)$$

و بنابراین عبارت دقیق‌تر خازن خروجی:

$$C_o = C_{\mu} \left(1 + \frac{1}{g_m R_L} + j\omega \frac{C_{\mu}}{g_m}\right)$$

است و ادمیتانس خروجی:

$$Y_o \approx j\omega C_{\mu} \left(1 + \frac{1}{g_m R_L} + j\omega \frac{C_{\mu}}{g_m}\right) = j\omega C_{\mu} \left(1 + \frac{1}{g_m R_L}\right) - \frac{\omega^2 C_{\mu}^2}{g_m}$$

این عبارت نشان می‌دهد که امپدانس خروجی شامل خازن  $C_o$  و مقاومت  $R_o$  است که در شکل (۲-۳۳) ب) نشان داده شده و مقادیر این عناصر

$$C_o = \frac{C_{\mu} + g_m R_L}{g_m R_L}, \quad R_o = -\frac{\omega^2 C_{\mu}^2}{g_m} \quad (2-47)$$

می‌باشند و مقاومت خروجی یک مقدار منفی است. البته این مقاومت تنها مقاومت خروجی ترانزیستور نیست. در مدار کامل هایبرید  $\pi$  مقاومت‌های  $r_o$  و  $r_{\mu}$  نیز وجود دارند که باعث می‌شوند مقاومت خروجی کل منفی نباشد.



## مثال ۲-۴

در یک تقویت‌کننده امیتر مشترک که در آن از ترانزیستوری با مشخصات

$$r_x = 50 \, \Omega, \beta_0 = 100, C_\mu = 3 \, \text{pF}, C_\pi = 50 \, \text{pF}$$

در نقطه کار  $I_{CQ} = 2.5 \, \text{mA}$  بایاس شده و با  $R_S = 600 \, \Omega$  و  $R_L = 1 \, \text{k}\Omega$  بکار رفته است:

الف) با استفاده از مدار یک‌طرفه و محاسبات دقیق فرکانس قطع بالای مدار را مشخص کنید.

ب) مقاومت و خازن ورودی را در فرکانس‌های صفر و  $\omega_H$  مشخص کنید.

ج) مدار معادل امپدانس خروجی را تعیین نمایید.

د) پاسخ فرکانس بالای تقویت‌کننده را از طریق نرم‌افزار spice بررسی و با محاسبات مقایسه کنید.

الف) در نقطه کار داده شده مشخصات ترانزیستور:

$$g_m = \frac{I_{CQ}}{V_T} = 0.1 \, \Omega^{-1} = 100 \, \text{m}\Omega^{-1}, \beta_0 = g_m r_\pi, r_\pi = 1 \, \text{k}\Omega$$

$$R'_S = r_x + R_S = 650 \, \Omega \Rightarrow G'_S = 1.53 \, \text{m}\Omega^{-1}$$

می‌باشند. مدار معادل یک قطبی در شکل (۲-۳۴) نشان داده شده است و بهره باند میانی:

$$A_0 = - \frac{\beta_0 R_L}{R_S + r_x + r_\pi} = -62.25$$

و خازن  $C_t$

$$C_t = C_\pi + C_\mu [1 + (g_m + G'_S) R_L] = 357.59 \, \text{pF}$$

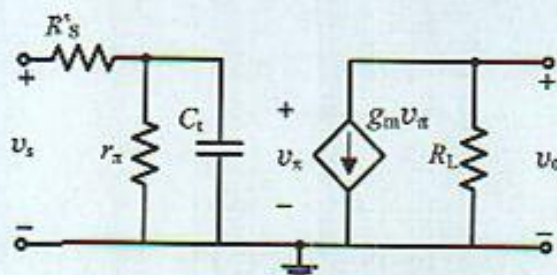
و بنابراین فرکانس قطع dB ۳ بالای تقویت‌کننده:

$$\omega_H = \frac{G'_S + g_\pi}{C_t} = 7.1 \, \text{Mrad/s}, f_H = 1.126 \, \text{MHz}$$

است.

محاسبات دقیق تابع انتقال با استفاده از رابطه (۲-۳۷) نشان می‌دهد:

$$H_{II}(s) = \frac{-1.53(100 - 3s)}{2.53 + 357.59s + 150s^2}$$



شکل ۲-۳۴ مدار معادل یک‌طرفه تقویت‌کننده مثال (۲-۴)



محل صفر و قطب تابع انتقال:

$$s_z = 33.3 \text{ (ns)}^{-1}, s_{p1} = -7.5 \times 10^{-3} \text{ (ns)}^{-1}, s_{p2} = 2.37 \times 10^5 \text{ (ns)}^{-1}$$

فرکانسهای متناسب با این صفر و قطب‌ها:

$$\omega_z = 33.3 \text{ Grad/s}, \omega_{p1} = 7.5 \text{ Mrad/s}, \omega_{p2} = 2.37 \text{ Grad/s}$$

می‌باشند. ملاحظه می‌شود  $s_{p2}$  خیلی بزرگتر از  $\omega_T$  و علاوه بر آن فاصله بین دو قطب خیلی زیاد است بطوریکه با تقریب بسیار خوب می‌توان گفت تقویت‌کننده دارای یک قطب موثر که فرکانس قطع ۳ dB بالای مدار را تعیین می‌کند.

$$\omega_H = |s_{p1}| = 7.5 \text{ Mrad/s}, f_H = 1.19 \text{ MHz}$$

ب) مقاومت و خازن ورودی در فرکانس صفر:

$$R_i = \infty, C_i = C_\pi + C_\mu (1 + g_m R_L) = 353 \text{ pF}$$

مدار معادل ادمیتانس ورودی در این فرکانس بعد از مقاومت  $r_x$  در شکل (۲-۳۵) نشان داده شده است. مدار معادل در فرکانس  $\omega_H$  با استفاده از محاسبات:

$$\omega^2 C_\mu^2 R_L^2 = 4.5 \times 10^{-2}$$

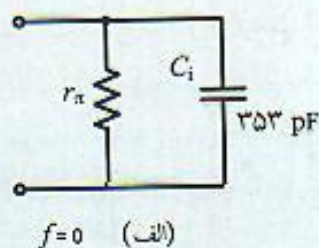
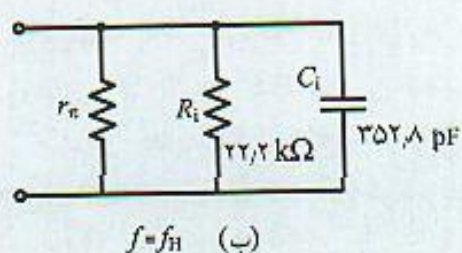
$$R_i = \frac{1}{g_m} \left( 1 + \frac{1}{\omega^2 C_\mu^2 R_L^2} \right) = 22.2 \text{ k}\Omega$$

$$C_i = C_\pi + C_\mu \left( 1 + \frac{g_m R_L}{1 + \omega^2 C_\mu^2 R_L^2} \right) = 352.8 \text{ pF}$$

در شکل (۲-۳۵) ب) نشان داده شده است که ملاحظه می‌شود تغییرات قابل ملاحظه‌ای در ادمیتانس ورودی حاصل نمی‌شود.

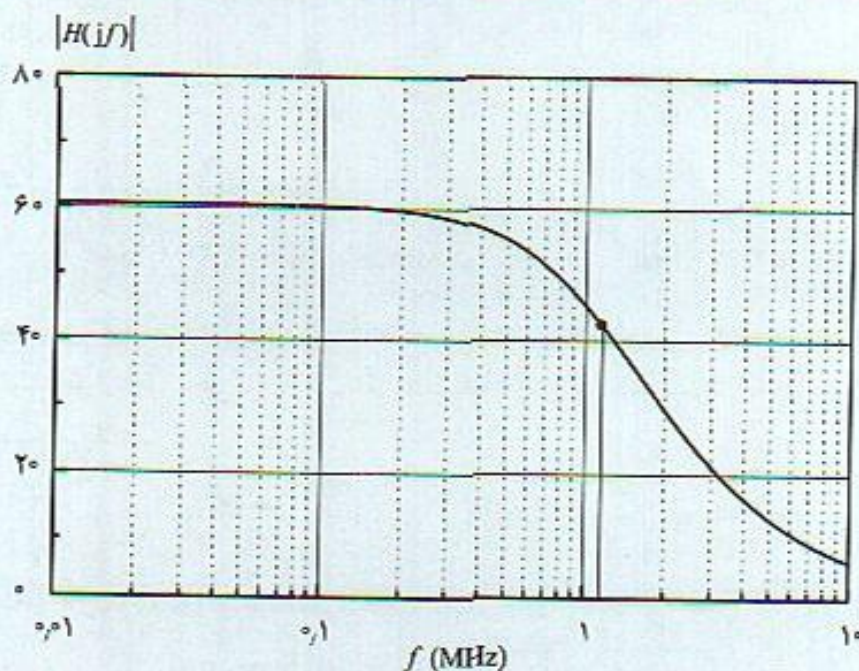
ج) مقدار خازن و مقاومت خروجی تقویت‌کننده با توجه به روابط (۲-۵۰)،  $R_o$  در فرکانس صفر خیلی زیاد و در  $\omega = \omega_H$  مقادیر:

$$C_o = C_\mu \frac{1 + g_m R_L}{g_m R_L} = 3.03 \text{ pF}, R_o = \frac{-g_m}{\omega^2 C_\mu^2} = -221.983 \text{ M}\Omega$$



شکل ۲-۳۵ مدار معادل ورودی ترانزیستور مثال (۲-۴) بعد از مقاومت  $r_x$





شکل ۲-۳۶ پاسخ فرکانس بهره ولتاژ تقویت‌کننده مثال (۲-۴) از نرم‌افزار spice

می‌باشند. ملاحظه می‌شود مقاومت خروجی منفی و مقدار بسیار بزرگی است که اگر چنانچه  $r_o$  مدار معادل هابیرید  $\pi$  را که در محاسبات صرف‌نظر شده در نظر گرفته شود، تاثیر این مقاومت منفی ناچیز خواهد بود. (د) شکل (۲-۳۶) پاسخ فرکانس مدار که از طریق نرم‌افزار spice محاسبه شده است را نشان می‌دهد که در آن مقادیر بهره باند میانی و فرکانس قطع ۳ dB بالای تقویت‌کننده مقادیر  $A_o = -60.6$  و  $f_H = 1.153$  MHz اندازه‌گیری شده‌اند.

## ۹-۲ نکاتی در مورد طرح مدار و انتخاب ترانزیستور

پارامترهای داده شده در کتاب‌های اطلاعاتی  $f_T$  و  $C_{\mu}$  و  $\beta_o$  می‌باشند که عموماً مقادیر حداقل و حداکثر  $\beta_o$  و  $f_T$  و مقدار نمونه  $C_{\mu}$  داده می‌شوند. برای ترانزیستورهای مرغوب  $C_{\mu}$  حدود ۱ pF و برای ترانزیستور معمولی و متوسط بین ۵ pF تا ۱۰ pF است. خازن  $C_{\mu}$  در ورودی و خروجی تقویت‌کننده مشترک است و در ورودی با ضریب (بهره ولتاژ +۱) ظاهر شده و در اغلب موارد علیرغم اینکه  $C_{\mu}$  خیلی کوچکتر از  $C_{\pi}$  است، اما باعث محدود شدن پهنای باند می‌شود.

انتخاب نوع ترانزیستور به عواملی مثل پهنای باند مورد نظر، بهره مورد نیاز و قیمت ترانزیستور دارد. معمولاً ترانزیستورهای با  $C_{\mu}$  کمتر، گرانتر می‌باشند. اگر پهنای باند خیلی زیاد مورد نظر است ترانزیستوری با  $C_{\mu}$  کم در حدود ۱ pF یا ۲ pF انتخاب می‌شود. چنانچه پهنای باند مورد نیاز کم است می‌توان  $C_{\mu}$  بیشتری انتخاب نمود. از طرف دیگر اگر ضریب تقویت زیاد است،  $C_{\mu}$  منعکس شده در ورودی زیاد و لازم است ترانزیستوری با  $C_{\mu}$  کم انتخاب شود.



## مثال ۲-۵

در مثال (۲-۴) چنانچه لازم باشد پهنای باند ترانزیستور به مقدار ۵ MHz بدون تغییر نوع ترانزیستور افزایش یافته و مقدار  $R_S$  ثابت باشد، مقدار  $R_L$  و بهره‌مدار را در این شرایط مشخص کنید.

روشهای مختلفی برای افزایش پهنای باند وجود دارد که یکی از آنها کاهش بهره و کاهش مقاومت بار است. قبل از محاسبات لازم است بررسی شود که آیا ترانزیستور می‌تواند پهنای باند ۵ MHz را تامین کند؟ با توجه به عبارت  $\omega_b$  در مورد این ترانزیستور

$$\omega_b = \frac{g_\pi + g_\pi}{C_\pi + C_\mu} = \frac{21}{53} = 0.396 \text{ Grad/s}, \quad f_b = \frac{\omega_b}{2\pi} = 63.06 \text{ MHz}$$

پس می‌توان به پهنای باند مورد نظر ۵ MHz دست یافت. در این شرایط لازم است:

$$\omega_H = \frac{G'_S + g_\pi}{C_t} \Rightarrow C_t = \frac{G'_S + g_\pi}{2\pi f_H} = \frac{1.53 + 1}{2\pi (0.005)} = 80.53 \text{ pF}$$

و مقدار مقاومت بار  $R_L$

$$C_t = C_\pi + C_\mu [1 + (g_m + G'_S) R_L]$$

$$80.53 = 50 + 3 [1 + (100 + 1.53) R_L] \Rightarrow R_L = 90.4 \Omega$$

بنابراین لازم است مقاومت بار را به  $90.4 \Omega$  کاهش داد که به این ترتیب بهره‌مدار میانی:

$$A_o = - \frac{G'_S g_m R_L}{G'_S + g_\pi} = - 5.467$$

است که نشان می‌دهد بهره به میزان زیادی کاهش یافته است.

## مثال ۲-۶

در مثال (۲-۵) کاهش  $R_L$  و تاثیر آن بر پهنای باند بررسی شد. در این مثال تغییر  $R_S$  و تاثیر آن بر پهنای باند مورد نظر می‌باشد. فرض کنید  $R_S = 50 \Omega$  کمترین مقدار مقاومت منبع ممکن که امپدانس خروجی منابع RF فرکانس بالا است.

الف) مقدار  $R_L$  را چنان مشخص کنید که پهنای باند ۵ MHz بدست آید.

ب) بهره تقویت‌کننده در این شرایط چقدر است.

در مورد این مدار:

$$R'_S = R_S + r_x = 100 \Omega, \quad G'_S = 10 \text{ m}\Omega^{-1}$$

و بنابراین:



$$C_t = \frac{G's + g_{\pi}}{2\pi f_H} = \frac{10 + 1}{2\pi (0,005)} = 350,14 \text{ pF}$$

$$C_t = C_{\pi} + C_{\mu} [1 + (g_m + G's) R_L]$$

$$350,14 = 50 + 3 [1 + (100 + 10) R_L] \Rightarrow R_L = 0,9 \text{ k}\Omega$$

در این حالت بهره باند میانی :

$$A_o = \frac{-G's g_m R_L}{G's + g_{\pi}} = -81,81$$

خواهد بود که در مقایسه با طرح اولیه افزایش محسوسی دارد.

### مثال ۲-۷

در مثال (۲-۴) با فرض همان نقطه کار و پارامترهای مقاومتی، مقاومت بار و نوع ترانزیستور را چنان انتخاب کنید که بهره باند میانی  $-120$  و  $f_H = 5 \text{ MHz}$  حاصل شود. ( $R_S = 50 \Omega$ )

در این مثال نوع ترانزیستور و مقاومت بار  $R_L$  مجهول است. ابتدا مقدار  $R_L$  برای بهره باند میانی مورد نظر محاسبه می شود.

$$R's = R_S + r_x = 100 \Omega, \quad G's = 10 \text{ m}\Omega^{-1}$$

$$A_o = \frac{-G's g_m R_L}{G's + g_{\pi}} = -120 \Rightarrow R_L = 120 \frac{G's + g_{\pi}}{G's g_m} = 1,32 \text{ k}\Omega$$

و برای  $f_H = 5 \text{ MHz}$  لازم است خازن مدار معادل یک طرفه  $C_t = 350,14 \text{ pF}$  باشد. از این نقطه به بعد انتخاب ترانزیستور مناسب مطرح است. فرض شود ترانزیستوری با  $C_{\mu} = 3 \text{ pF}$  انتخاب شود، پس لازم است مقدار خازن  $C_{\pi}$

$$C_t = C_{\pi} + C_{\mu} [1 + (g_m + G's) R_L]$$

$$C_{\pi} = 350,14 - 3 [1 + (100 + 10) 1,32]$$

است که مقدار منفی بدست می آید. این محاسبات نشان می دهد با ترانزیستوری با  $C_{\mu} = 3 \text{ pF}$  نمی توان مدار مناسب را طرح نمود و لازم است  $C_{\mu}$  را کم کرد. با انتخاب  $1,5 \text{ pF}$  برای  $C_{\mu}$ :

$$C_{\mu} = 1,5 \text{ pF} \Rightarrow C_{\pi} = 350,14 - 1,5 [1 + (100 + 10) 1,32] = 130,84 \text{ pF}$$

و در نتیجه مقدار  $f_T$ :

$$f_T = \frac{g_m}{2\pi (C_{\pi} + C_{\mu})} = \frac{100}{2\pi (1,5 + 130,84)} = 120,2 \text{ MHz}$$



خواهد بود. بنابراین لازم است ترانزیستوری به مشخصات  $f_T = 120 \text{ MHz}$  و  $\beta_0 = 100$ ،  $C_\mu = 1.5 \text{ pF}$  در نقطه کار  $I_C = 2.5 \text{ mA}$  انتخاب نمود.

## ۱۰-۲ پاسخ فرکانس کامل تقویت‌کننده امیتر مشترک

در بخش‌های قبل پاسخ فرکانس پایین و بالای تقویت‌کننده امیتر مشترک بصورت مجزا بررسی شد. تابع انتقال فرکانس پایین با تقریب قطب موثر بصورت:

$$H_L(s) = A_0 \frac{s}{s + s_L}$$

است. این تابع انتقال تا حوالی فرکانس  $\frac{\omega_L}{3}$  با تقریب خوب معتبر می‌باشد. در فرکانسهای پایین‌تر از این مقدار اثر سایر قطبها نیز موثر می‌شوند. پاسخ فرکانس بالای تقویت‌کننده امیتر مشترک نیز تابع انتقالی با یک قطب موثر و بصورت:

$$H_H(s) = A_0 \frac{s}{1 + \frac{s}{s_H}}$$

است که تا حوالی  $\frac{\omega_T}{10}$  معتبر است. بنابراین تابع انتقال کل این تقویت‌کننده حاصلضرب این دو تابع است که در رابطه (۴۷-۲) خلاصه شده است.

$$H(s) = A_0 \frac{s}{\left(1 + \frac{s}{s_H}\right)(s + s_L)} \quad (47-2)$$

این تابع انتقال براساس تقریب قطب موثر در فرکانس‌های بالا و پایین بوده، به کمک آن می‌توان پاسخ فرکانسی کامل و پاسخ پله تقویت‌کننده را بررسی نمود.

### مثال ۸-۲

با ترانزیستوری به مشخصات  $f_T = 200 \text{ MHz}$ ،  $C_\mu = 5 \text{ pF}$ ،  $r_x = 50 \Omega$ ،  $\beta_0 = 100$  در نقطه کار  $V_{CEQ} = 5 \text{ V}$  و  $I_{CQ} = 2.5 \text{ mA}$

الف) تقویت‌کننده‌ای با مشخصات  $f_L = 50 \text{ Hz}$  و  $f_H = 1 \text{ MHz}$  طرح کنید.

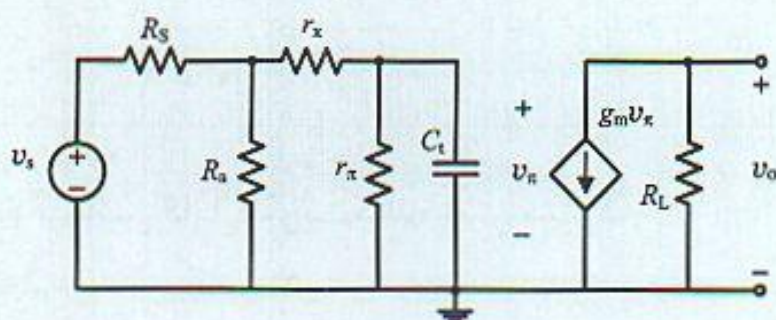
ب) پاسخ کامل فرکانس مدار را تعیین کنید. مدار را با نرم‌افزار spice بررسی و نتایج بدست آمده از پاسخ فرکانس را با تئوری مقایسه کنید.

ج) پاسخ پله تقویت‌کننده را مشخص و رسم کنید. (مقاومت منبع  $R_S = 600 \Omega$  فرض شود).

الف) محاسبات فرکانس پایین این مدار در مثال (۳-۲) ارائه شده است. مقادیر لازم عناصر برای فرکانس قطع پایین  $50 \text{ Hz}$ :

$$R_E = 0.3 \text{ k}\Omega, R_B = 10 \text{ k}\Omega, C_E = 220 \mu\text{F}, C_C = 22 \mu\text{F}$$





شکل ۲-۳۷ مدار معادل یکطرفه تقویت کننده مثال (۲-۸)

می باشند. خازنهای  $C_C$  و  $C_E$  در محاسبات فرکانس بالا ظاهر نمی شوند. امپدانس خازن  $C_C$  در فرکانس  $1 \text{ MHz}$ :

$$Z = \frac{1}{2\pi \times 10^6 \times 20 \times 10^{-6}} = 0.008 \Omega$$

بسیار کوچک و در باند میانی اتصال کوتاه است. مقادیر عناصر مدار معادل هایبرید  $\pi$  ترانزیستور بکار رفته

$$C_\mu = 5 \text{ pF}, C_\pi = \frac{g_m}{\omega_T} - C_\mu = 75 \text{ pF}, g_m = 0.1 \Omega^{-1}, r_\pi = 1 \text{ k}\Omega$$

می باشند. با استفاده از تقریب یک قطبی در محاسبات فرکانس بالا، مدار معادل شکل (۲-۴۳)، فرکانس قطع بالایی تقویت کننده:

$$\omega_H = \frac{G_t}{C_t}, G_t = g_\pi + \frac{1}{r_x + R_S \parallel R_B} = 1 + \frac{1}{0.005 + 0.6 \parallel 10} = 2.623 \text{ m}\Omega^{-1}$$

و بنابراین مقدار خازن  $C_t$  برای فرکانس قطع بالایی مورد نظر:

$$C_t = \frac{G_t}{\omega_H} = \frac{2.623 \text{ m}\Omega^{-1}}{2\pi (0.001 \text{ GHz})} = 417.5 \text{ pF}$$

بنابراین مقدار مقاومت بار  $R_L$  لازم برای فرکانس قطع  $f_H = 1 \text{ MHz}$  با استفاده از رابطه مربوط به خازن  $C_t$ :

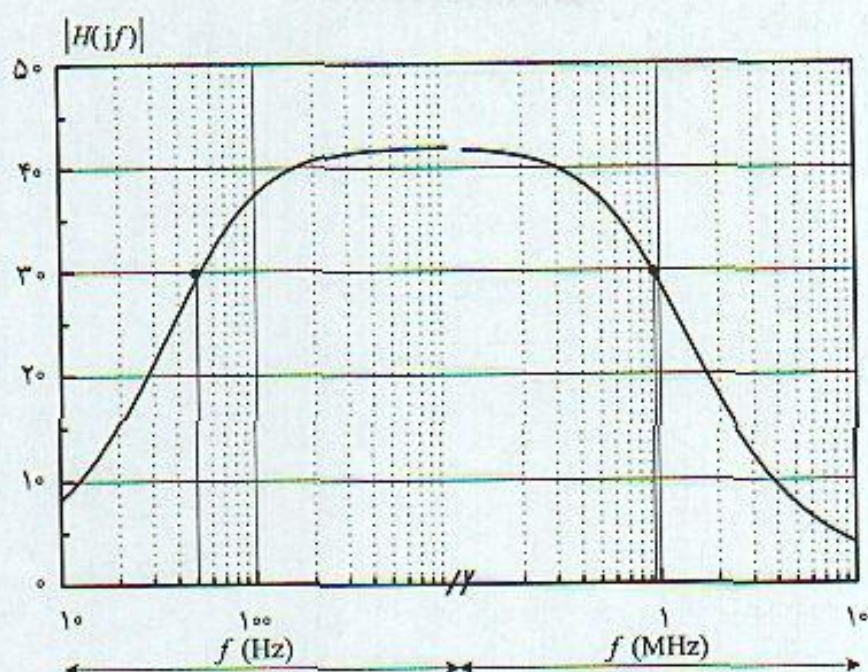
$$417.5 = 50 + 5 \left[ 1 + \left( 100 + \frac{1}{10 \parallel 0.6 + 0.005} \right) R_L \right] \Rightarrow R_L = 0.713 \text{ k}\Omega$$

خواهد بود که مقاومت استاندارد  $R_L = 720 \Omega$  انتخاب می شود.

ب) پاسخ فرکانس برای تعیین پاسخ فرکانس تقریبی این مدار پارامترهای مختلف رابطه (۲-۴۷) شامل بهره باند میانی:

$$A_o = - \frac{R_B}{R_B + R_S} \frac{r_\pi}{r_\pi + r_x + R_B \parallel R_S} g_m R_L = -41.62$$





شکل ۲-۳۸ پاسخ فرکانس تقویت‌کننده مثال (۲-۸) با استفاده از برنامه spice

$\omega_L$  فرکانس قطع ۳ dB پایین که توسط خازن  $C_E$  تعیین می‌شود و بنابراین قطب موثر فرکانس پایین:

$$s_L \approx -\omega_L = -314 \text{ s}^{-1}$$

$\omega_H$  فرکانس قطع ۳ dB بالای مدار و قطب متناظر با آن:

$$s_H \approx -\omega_H = -0.00628 \text{ (ns)}^{-1}$$

که عمده‌تاً توسط خازن  $C_{\mu}$  مشخص می‌شود. شکل (۲-۳۸) پاسخ فرکانسی کامل این تقویت‌کننده را نشان می‌دهد که از طریق برنامه spice بررسی شده و مقادیر  $f_H = 0.975 \text{ MHz}$ ،  $f_L = 50 \text{ Hz}$  و  $A_0 = -42.1$  بدست آمده را که به مقادیر مورد نظر نزدیک هستند نشان می‌دهد.

ج) پاسخ پله پاسخ پله این تقویت‌کننده با استفاده از تابع انتقال مجموع دو تابع نمایی بصورت:

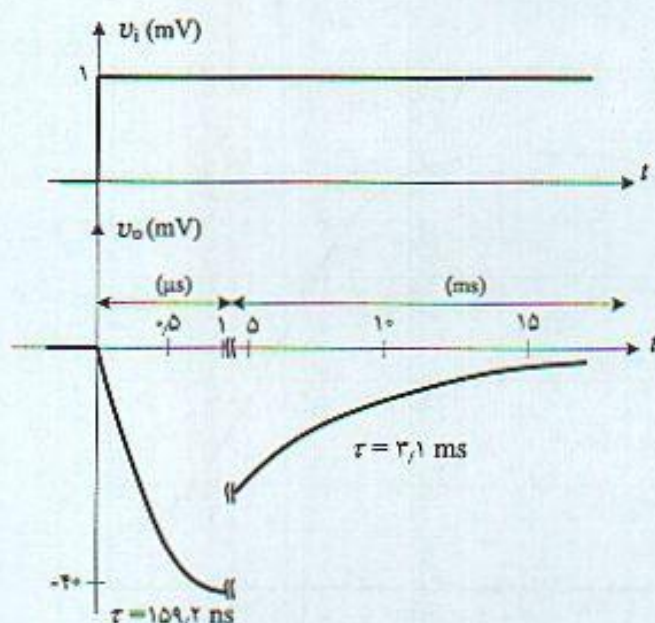
$$v_o(t) = k_1 e^{-s_L t} + k_2 e^{-s_H t}$$

است.  $k_1$  و  $k_2$  را می‌توان با در نظر گرفتن شرایط اولیه بدست آورد. با فرض شرایط اولیه صفر می‌توان نشان داد  $k_1 = -k_2$ . از طرف دیگر با توجه به فاصله زیاد بین قطب فرکانس بالا و پایین، تابع نمایی مربوط به فرکانس قطع بالا سریعاً به سمت صفر میل نموده و پس از مدت کوتاهی قطب فرکانس پایین در پاسخ پله موثر خواهد بود. با توجه به این نکات  $A_0 \approx |k_1|$  و عبارت کامل ولتاژ خروجی:

$$v_o(t) = -41.62 (e^{-6.28 \times 10^{-6} t} - e^{-314 t})$$

است. رسم این تغییرات روی یک شکل با مقیاس خطی امکان‌پذیر نیست. اولین تابع نمایی در مدت زمانی





شکل ۲-۳۹ پاسخ پله تقویت‌کننده مثال (۲-۸)

کوتاه حدود چند دهیم میکرو ثانیه از بین می‌رود. در حالیکه در این مدت عبارت دوم تنها دارای کمتر از ۱٪ تغییرات است. بنابراین مناسبتر است پاسخ پله روی محوری با دو مقیاس مختلف رسم شود که در شکل (۲-۳۹) برای ورودی پله ۱ mV ترسیم شده است. بخش اول متناظر با قطب با فرکانس قطع بالا با ثابت زمانی ns است.  $\tau_1 = \frac{1}{|s_{H1}|} = 159.2$  و بخش دوم متناظر با قطب فرکانس پایین با ثابت زمانی ms  $\tau_2 = \frac{1}{|s_{L1}|} = 3.1$  است. البته باید در نظر داشت مدار در حالت کلی دارای ۴ عنصر ذخیره‌کننده انرژی ( $C_C$  و  $C_E$ ,  $C_{\mu}$ ,  $C_{\pi}$ ) است و اساساً لازم است پاسخ پله شامل ۴ تابع نمایی باشد. در محاسبات فوق به علت در نظر گرفتن قطب‌های موثر، تنها دو تابع نمایی در پاسخ پله ظاهر شده است. از بخش‌هایی که در محاسبه تقریبی صرف‌نظر شده است مربوط به قطبی در فرکانس‌های بالاتر از  $\omega_T$  است که تابع نمایی متناظر به آن در چند نانو ثانیه ابتدایی حذف شود. هم چنین تابع نمایی دیگر مربوط به قطب فرکانس پایین و کوچکتر از  $\omega_L$  است که در مدت زمان مورد مطالعه ثابت و تغییر زیادی در شکل خروجی ایجاد نمی‌کند. می‌توان گفت که پاسخ پله براساس قطب‌های موثر برای چند نانو ثانیه اول و زمانهای بیش از ۱۰ ms دقیق نمی‌باشد. از این پاسخ می‌توان بعنوان یک روش عملی و مناسب جهت اندازه‌گیری مشخصات یک تقویت‌کننده استفاده کرد.

## ۲-۱۱ پاسخ فرکانس بالای تقویت‌کننده سورس مشترک

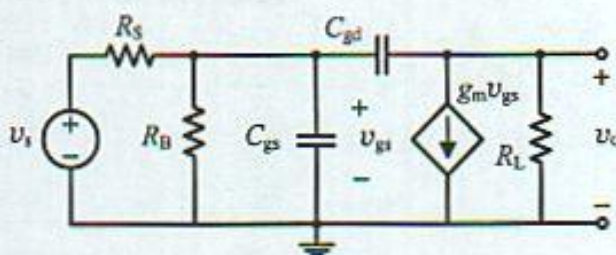
شکل (۲-۴۰) مدار معادل فرکانس بالای تقویت‌کننده کامل با عناصر FET را نشان می‌دهد. در این بخش محاسبات فرکانس بالای آن بررسی می‌شود. این مدار مشابه با تقویت‌کننده امیتر مشترک است با این تفاوت که تغییرات زیر را در آن بکار برد.

$$r_x = 0, \quad C_{gd} = C_{\mu}, \quad C_{gs} = C_{\pi}, \quad r_{\pi} = \infty$$

با بکار بردن تغییرات فوق در رابطه (۲-۳۴)، تابع انتقال تقویت‌کننده سورس مشترک با صرف‌نظر از مقاومت بایاس  $R_B$  از رابطه (۲-۴۸) بدست می‌آید.



شکل ۴۰-۲ مدار معادل فرکانس بالای تقویت‌کننده سورس مشترک با عنصر FET



$$H_H(s) = \frac{-G_S R_L (g_m - s C_{gd})}{G_S + \{C_{gs} + C_{gd} [1 + (g_m + G_S) R_L]\} s + C_{gs} C_{gd} R_L s^2} \quad (48-2)$$

مشابه با تقریبات بکار رفته در تقویت‌کننده امیتر مشترک، تقریب یک قطبی تابع انتقال فوق بصورت:

$$H_H(s) = \frac{-G_S R_L g_m}{G_S + \{C_{gs} + C_{gd} [1 + (g_m + G_S) R_L]\} s} \quad (49-2)$$

بدست می‌آید. با استفاده از تابع انتقال (۴۹-۲) می‌توان مدار معادل شکل (۴۱-۲) را رسم کرد که مدار معادل یک طرفه تقویت‌کننده و خازن اثر میلر  $C_t$  از رابطه (۵۰-۲) در ورودی قرار می‌گیرد.

$$C_t = C_{gs} + C_{gd} [1 + (g_m + G_S) R_L] \quad (50-2)$$

فرکانس قطع ۳ dB بالای مدار:

$$\omega_H = \frac{G_S}{C_t} \quad (51-2)$$

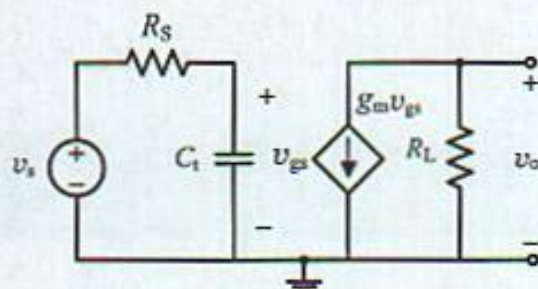
است.  $\omega_H$  با کاهش  $R_L$  و  $R_S$  زیاد می‌شود. برای مقادیر کوچک  $R_L$  پهنای باند به مقدار حدی:

$$\omega_H \rightarrow \frac{G_S}{C_{gd} + C_{gs}}, \quad (R_L \rightarrow 0) \quad (52-2)$$

خواهد رسید. هم‌چنین برای مقادیر کوچک  $R_S$  پهنای باند به مقدار حدی:

$$\omega_H \rightarrow \frac{1}{C_{gs} R_L}, \quad R_S \rightarrow 0 \quad (53-2)$$

شکل ۴۱-۲ مدار معادل یک طرفه تقویت‌کننده شکل (۴۰-۲)





مجاناب خواهد شد. از این مقادیر پهنای باند در روابط (۵۲-۲) و (۵۳-۲) برای بررسی این مسئله که آیا یک FET با پارامترهای مشخص می‌تواند پهنای باند مشخصی را تامین می‌کند یا خیر استفاده می‌شود.

### مثال ۲-۹

در تقویت‌کننده سورس مشترک از یک FET با مشخصات زیر استفاده شده است.

$$C_{gd} = C_{gs} = 5 \text{ pF}, R_S = 500 \Omega, R_L = 2.2 \text{ k}\Omega, R_G = 1 \text{ M}\Omega, g_m = 5 \text{ mS}^{-1}$$

الف) تابع انتقال کامل، محل صفر و قطب را مشخص و فرکانس قطع dB بالای مدار را تعیین کنید.

ب) با استفاده از مدل تقریبی یک قطبی فرکانس قطع بالا را تعیین و با فرض (الف) مقایسه کنید.

ج) مدار را از طریق برنامه spice بررسی و مشخصات آنرا تعیین کنید.

الف) در رابطه (۴۹-۲) بجای عناصر مقادیر بکار رفته را قرار داده و با صرف نظر از مقاومت بزرگ  $R_G$  در مقابل  $R_S$  تابع انتقال کامل مدار:

$$H_H(s) = - \frac{22(1-s)}{2 + 83.3s + 55s^2}$$

بدست می‌آید و نشان می‌دهد  $A_0 = -11$  است. محل صفر و قطب تابع انتقال:

$$s_z = 1 \text{ (ns)}^{-1}, s_1 = -0.0241 \text{ (ns)}^{-1}, s_2 = -1.493 \text{ (ns)}^{-1}$$

می‌باشند. صفر در سمت راست صفحه  $s$  و خیلی دور از محور  $j\omega$  و هم چنین قطب دوم در فاصله بسیار دور از محور  $j\omega$  نسبت به قطب اول قرار دارد. پس  $s_1$  قطب موثر مدار است و فرکانس قطع بالای مدار:

$$\omega_H = |s_1| = 0.0241 \text{ Grad/s}, f_H = 3.83 \text{ MHz}$$

می‌باشد.

ب) با استفاده از تقریب یک قطبی مقدار خازن اثر میلر  $C_t$  و فرکانس قطع

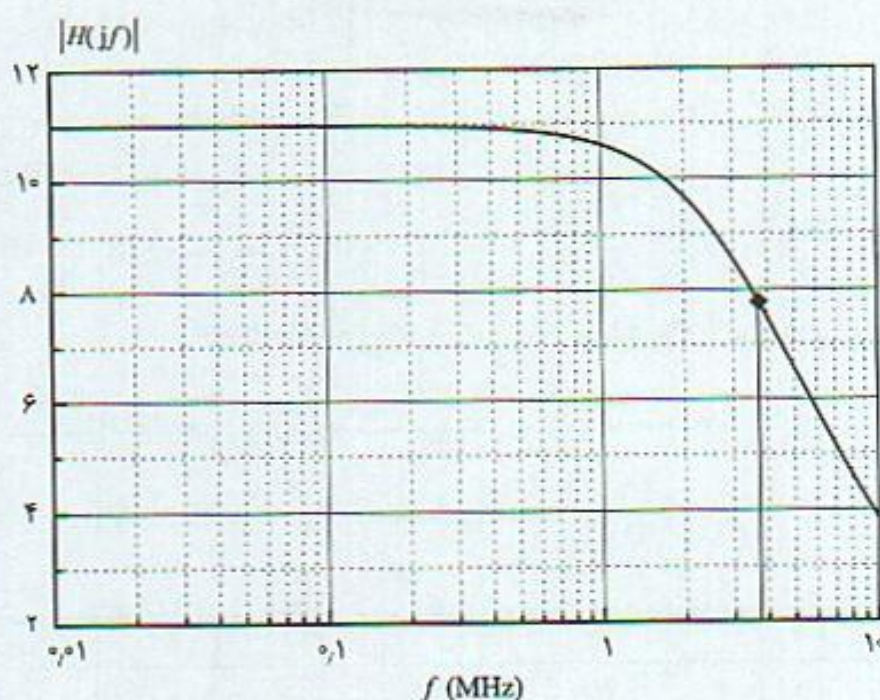
$$C_t = C_{gs} + C_{gd} [1 + (g_m + G_S) R_L] = 83.3 \text{ pF}$$

$$\omega_H = \frac{G_S}{C_t} = \frac{2}{83.3} = 0.024 \text{ Grad/s}, f_H = 3.819 \text{ MHz}$$

ملاحظه می‌شود با تقریب بسیار خوبی نتایج با فرض (الف) یکسان است.

ج) شکل (۴۲-۲) پاسخ فرکانس بالای این تقویت‌کننده را که از طریق برنامه spice بررسی شده است را نشان می‌دهد. نتایج حاصل  $A_0 = -11$  و  $f_H = 3.715 \text{ MHz}$  می‌باشد.





شکل ۲-۴۲ پاسخ فرکانس تقویت‌کننده مثال (۲-۹) محاسبه شده توسط برنامه spice

## مثال ۲-۱۰

با یک FET به مشخصات

$$y_{fs} = 5 \text{ m}\Omega^{-1}, \quad C_{iss} = 11 \text{ pF}, \quad C_{rss} = 2 \text{ pF}$$

الف) تقویت‌کننده‌ای مشابه مثال (۲-۵) با  $f_H = 5 \text{ MHz}$  طرح کنید. مقاومت منبع را  $600 \Omega$  فرض کنید.  
ب) با فرض  $R_S = 50 \Omega$  پهنای باند مدار چقدر خواهد بود.

با استفاده از نتایج فصل اول پارامترهای مدار معادل فرکانس بالای ترانزیستور:

$$g_m = 5 \text{ m}\Omega^{-1}, \quad C_{gs} = C_{iss} - C_{rss} = 9 \text{ pF}, \quad C_{gd} = C_{rss} = 2 \text{ pF}$$

بدست می‌آیند. رابطه (۲-۵۲) نشان می‌دهد که بیشترین پهنای باند که توسط این ترانزیستور بدست می‌آید:

$$\omega_H = \frac{G_S}{C_{gd} + C_{gs}} = \frac{2}{11} = 0.181 \text{ Grad/s}, \quad f_H = 28.93 \text{ MHz}, \quad (R_L = \infty) \quad (2-52)$$

بنابراین می‌توان به پهنای باند  $5 \text{ MHz}$  دست یافت. با توجه به رابطه  $\omega_H = \frac{G_S}{C_t}$  برای دست یابی به مقدار پهنای باند مورد نظر، لازم است مقدار خازن کل مدار:

$$C_t = \frac{G_S}{\omega_H} = \frac{2}{2\pi (0.181)} = 63.66 \text{ pF}$$

باشد. با توجه به عبارت خازن، مقاومت بار لازم:



$$۶۳,۶۶ = ۹ + ۲ [ ۱ + (۵ + ۱,۶۶) R_L ] \Rightarrow R_L = ۳,۹۵ \text{ k}\Omega$$

بهره باند میانی در این شرایط  $A_o = -g_m R_L = -۱۹,۷۶۷$  است. در مقایسه با تقویت کننده مشترک در مثال (۵-۲) مقاومت بار افزایش زیادی یافته است.

ب) با فرض  $R_S = ۵۰ \Omega$  و همان مقدار  $R_L$

$$C_t = C_{gs} + C_{gd} [ 1 + (g_m + G_S) R_L ] = ۲۱۰,۵ \text{ pF}$$

در مقایسه با حالت قبل مقدار خازن بزرگی بدست می آید و پهنای باند تقویت کننده:

$$\omega_H = \frac{G_S}{C_t} = \frac{۲۰}{۲۱۰,۵} = ۰,۰۹۵ \text{ Grad/s} \Rightarrow f_H = ۱۵,۱۲ \text{ MHz}$$

است. در این شرایط پهنای باند زیادی حاصل شده و بهره تقویت کننده همان مقدار قبل است.

## مسائل فصل دوم

(۱-۲) یک تقویت کننده در پاسخ سیگنال مربعی با فرکانس ۱ kHz با زمان صعود  $t_r = ۳۶۰ \text{ ns}$  و درصد کجی ۱۵٪ اندازه گیری شده است. پهنای باند تقویت کننده چقدر است.

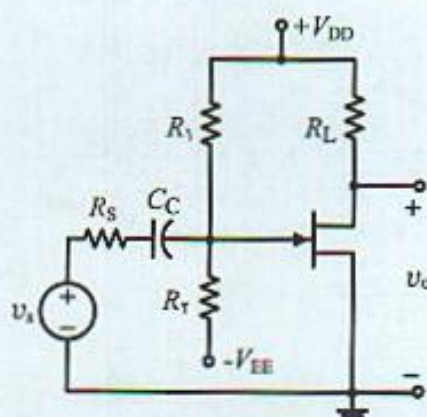
(۲-۲) مشخصات تقویت کننده ای را تعیین کنید که در پاسخ سیگنال مربعی با فرکانس ۲ kHz و با زمان کار ۵۰٪، دارای زمان صعود  $t_r = ۰,۱ \mu\text{s}$  و درصد کجی ۱۰٪ باشد.

(۳-۲) در تقویت کننده با عنصر FET در شکل (م ۳-۲):

الف) عبارتی برای خازن کوپلاژ  $C_C$  بدست آورید که دارای فرکانس قطع ۱۰۰ Hz باشد.

ب) با توجه به فرض الف درصد کجی آنرا در پاسخ سیگنال مربعی با فرکانس ۵۰ Hz و زمان کار ۵۰٪ را مشخص کنید.

$$R_B = ۵۰۰ \text{ k}\Omega, R_S = ۵۰ \Omega, g_m = ۳ \text{ m}\Omega^{-1}$$



شکل (م ۳-۲)



۴-۲ در تقویت‌کننده شکل (م ۲-۳):

الف) مقدار خازن کوپلاژ را برای اینکه پاسخ سیگنال مربعی با فرکانس ۵۰ Hz هرگز و زمان کار ۵۰٪ دارای مقدار کجی کمتر از ۱۰٪ باشد محاسبه کنید.

ب) در حالت (الف) فرکانس قطع پایین مدار چقدر است.

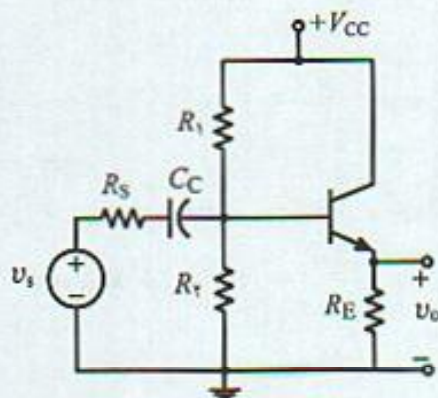
۵-۲ در تقویت‌کننده امیتر فالور شکل (م ۲-۵):

الف) عبارتی برای محاسبه فرکانس قطع ۳ dB پایین مدار  $f_L$  مشخص کنید.

ب) با مقادیر داده شده مقدار خازن را برای  $f_L = 100$  Hz محاسبه کنید.

ج) بهره باند میانی، مقاومت ورودی و خروجی را در باند میانی بدست آورید.

$$\beta_o = 100, g_m = 100 \text{ m}\Omega^{-1}, R_B = R_1 \parallel R_2 = 50 \text{ k}\Omega, R_S = 1 \text{ k}\Omega, R_E = 1.5 \text{ k}\Omega$$



شکل (م ۲-۵)

۶-۲ تابع انتقال فرکانس پایین مداری به صورت:

$$H_L(s) = A_o \frac{s}{s + s_p}$$

است. فرکانس قطع پایین مدار را مشخص کنید.

۷-۲ تابع انتقال فرکانس پایین مداری به صورت:

$$H_L(s) = A_o \frac{s + s_z}{s + s_p}$$

است.

الف) عبارت دقیق فرکانس پایین مدار را مشخص کنید.

ب) نشان دهید اگر فاصله قطب تا محور موهومی حداقل ۱۰ برابر بیش از فاصله صفر تا محور موهومی

باشد تقریب  $\omega_L = |s_p|$  خطای ناچیزی را سبب می‌شود.

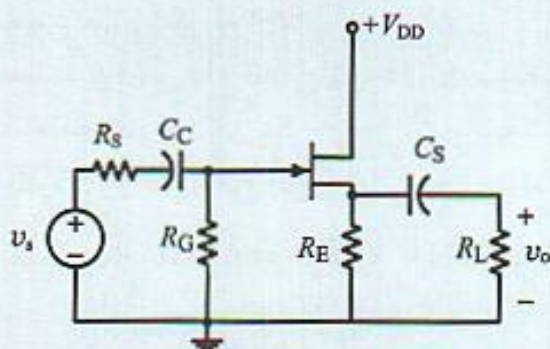
۸-۲ در تقویت‌کننده سورس فالور شکل (م ۲-۸) با مقادیر داده شده زیر:

الف) کدام خازن فرکانس قطع پایین را تعیین می‌کند و چرا؟



- (ب) مقادیر خازن‌ها را برای فرکانس قطع  $100$  هرتز تعیین کنید.  
 (ج) در حالت (ب) پاسخ تقویت‌کننده را به سیگنال مربعی با فرکانس  $50$  Hz تعیین نمایید.  
 (د) پاسخ فرکانس تقویت‌کننده را رسم کنید.

$$R_G = 1 \text{ M}\Omega, R_S = 50 \text{ }\Omega, g_m = 5 \text{ m}\Omega^{-1}, R_E = 1.2 \text{ k}\Omega, R_L = 1 \text{ k}\Omega$$

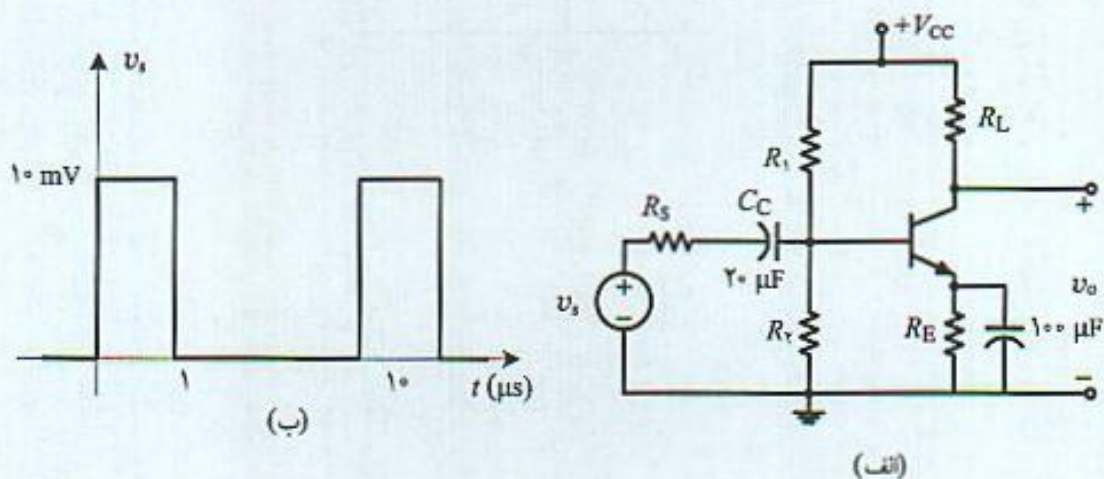


شکل (م ۸-۲)

- (۹-۲) در تقویت‌کننده شکل (م ۹-۲ الف) پاسخ مدار به سیگنال مربعی شکل (م ۹-۲ ب) را در هر یک از حالت‌های زیر بدقت رسم کنید.

الف) خروجی بدون خازن کوپلاژ، ب) خروجی شامل خازن کوپلاژ

$$I_{CQ} = 2.5 \text{ mA}, r_x = 50 \text{ }\Omega, \beta_o = 100, R_L = 2.7 \text{ k}\Omega, R_B = R_1 \parallel R_2 = 10 \text{ k}\Omega$$



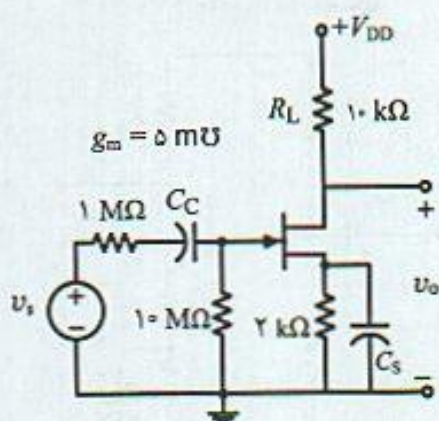
شکل (م ۹-۲)

- (۱۰-۲) در تقویت‌کننده سورس مشترک شکل (م ۱۰-۲) عناصر خازنی مدار را برای فرکانس  $100$  Hz طراحی نموده و بهره مدار در باند میانی را محاسبه کنید.

(۱۱-۲) در تقویت‌کننده شکل (م ۱۱-۲):

- الف) مقادیر خازن‌های بای‌پس و کوپلاژ را برای  $f_L = 100$  Hz محاسبه کنید.  
 ب) بهره باند میانی، تابع انتقال فرکانس پایین مدار و دیاگرام صفر و قطب آنرا مشخص کنید.





شکل (م ۲-۱۰)

ج) نمودار بد (Bode) تابع انتقال را رسم کنید.

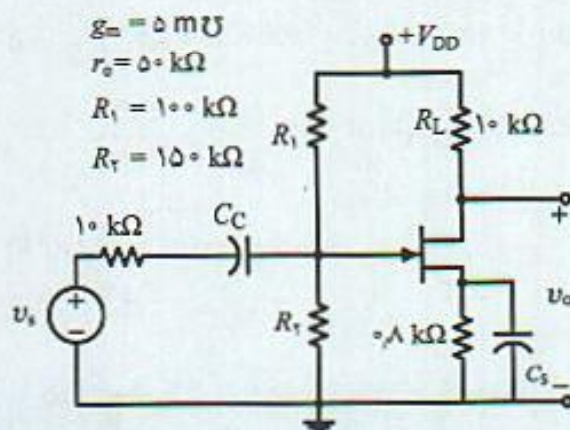
د) مدار با استفاده از برنامه spice بررسی و پاسخ فرکانس تقویت‌کننده را رسم کنید.

۲-۱۲) تقویت‌کننده شکل (م ۲-۱۱) با مقاومت منبع  $50 \Omega$  بصورت گیت مشترک بسته شده است.

الف) مقادیر خازنهای بای‌پس و کوپلاژ را برای  $f_L = 100 \text{ Hz}$  محاسبه کنید.

ب) تابع انتقال فرکانس پایین، محل صفر و قطب و بهره باند میانی را مشخص کنید.

ج) پاسخ فرکانس تقویت‌کننده را در فرکانس پایین رسم کنید.



شکل (م ۲-۱۱)

۲-۱۳) در تقویت‌کننده امیتر مشترک شکل (م ۲-۱۳):

الف) مقادیر خازنهای بای‌پس و کوپلاژ را برای فرکانس  $f_L = 100 \text{ Hz}$  محاسبه کنید.

ب) بهره باند میانی را مشخص و پاسخ فرکانس تقویت‌کننده را رسم کنید.

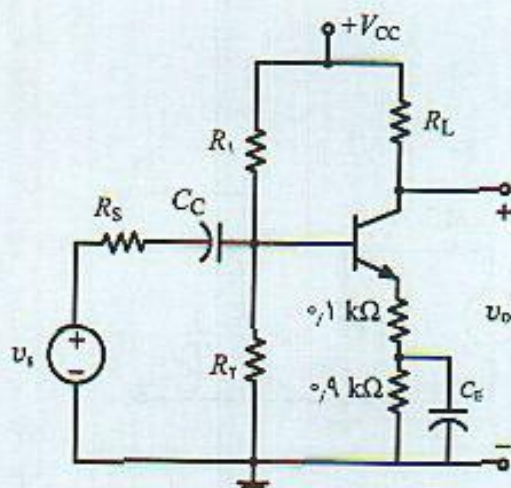
ج) مدار طراحی شده را با برنامه spice تحلیل کنید و مشخصات مدار را تعیین کنید.

د) طراحی انجام شده را در صورت لزوم اصلاح کنید.

۲-۱۴) از تقویت‌کننده مسئله (۲-۱۳) بصورت بیس مشترک و با مقاومت منبع  $50 \Omega$  استفاده شده است.

در این شرایط مسئله قبل را برای تقویت‌کننده تکرار کنید.





شکل (م ۲-۱۳)

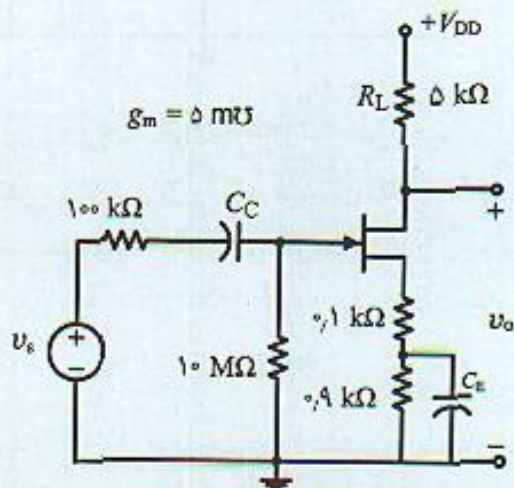
- ۲-۱۵) در تقویت‌کننده امیتر مشترک مسئله (۲-۱۳) که در آن بخشی از مقاومت امیتر بای پس شده است:
- الف) با مقادیر داده شده زیر فرکانس قطع ۳ dB پایین را محاسبه کنید.
  - ب) بهره باند میانی میانی را مشخص و پاسخ فرکانس تقویت‌کننده را رسم کنید.
  - ج) پاسخ مدار را به ورودی پله با دامنه ۱۰ mV رسم کنید.
  - د) مدار را با برنامه spice تحلیل کنید و بهره باند میانی و پاسخ فرکانس تقویت‌کننده را مشخص نمایید.

$$r_x = 500 \, \Omega, R_s = 1 \, \text{k}\Omega, C_E = 220 \, \mu\text{F}, C_C = 10 \, \text{nF}$$

$$R_L = 2.2 \, \text{k}\Omega, R_1 \parallel R_2 = 100 \, \text{k}\Omega, I_{CQ} = 5 \, \text{mA}$$

- ۲-۱۶) در تقویت‌کننده سورس مشترک شکل (م ۲-۱۶) که در آن بخشی از مقاومت سورس بای پس شده است:

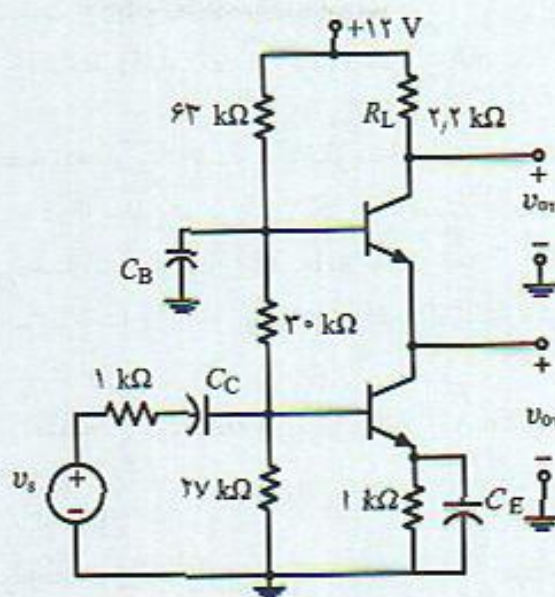
- الف) مقادیر خازنی را برای  $\omega_L = 100 \, \text{rad/s}$  محاسبه کنید.
- ب) بهره باند میانی را مشخص و پاسخ فرکانس تقویت‌کننده را رسم کنید.



شکل (م ۲-۱۶)

- ۲-۱۷) در تقویت‌کننده Cascode شکل (م ۲-۱۷):

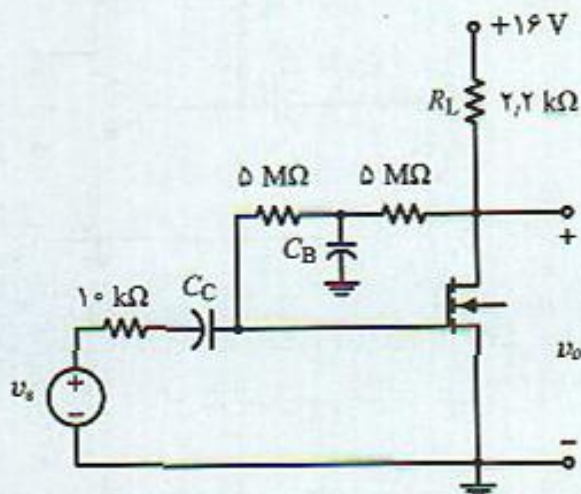




شکل (م ۲-۱۷)

- الف) ولتاژ و جریان نقطه کار هر یک از ترانزیستورها را تعیین کنید.  $V_{BE} = 0.7 \text{ V}$ ,  $\beta_0 = 100$ .  
 ب) بهره ولتاژ هر کدام از خروجی ها را به ورودی بدست آورید.  
 ج) مقادیر خازنهای مدار را برای  $f_L = 100 \text{ Hz}$  محاسبه کنید.

- ۲-۱۸) در تقویت کننده شکل (م ۲-۱۸) که از یک عنصر MOSFET با پارامترهای  $V_T = 4 \text{ V}$  و  $k = 0.25 \text{ mA/V}^2$  تشکیل شده است:  
 الف) نقطه کار و بهره باند میانی را محاسبه کنید.  
 ب) مقادیر خازنهای مدار را برای  $f_L = 50 \text{ Hz}$  محاسبه کنید.



شکل (م ۲-۱۸)

- ۲-۱۹) برای اندازه گیری پارامترهای مدار معادل هایبرید ساده شده  $\pi$  ترانزیستوری از یک تقویت کننده امیتر مشترک با مقاومت منبع  $50 \Omega$  استفاده شده است و دو آزمایش در مورد آن بکار رفته است:  
 ۱- با مقاومت بار  $1 \text{ k}\Omega$ ، بهره مدار  $-75$  و پهنای باند  $550 \text{ kHz}$   
 ۲- با مقاومت بار  $0.5 \text{ k}\Omega$ ، بهره مدار  $-92$  و پهنای باند  $400 \text{ kHz}$  اندازه گیری شده اند.



الف) عناصر مدار معادل را بدست آورید.

ب) فرکانس  $f_T$  ترانزیستور را مشخص کنید. نقطه کار ترانزیستور را  $I_{CQ} = 2.5 \text{ mA}$  فرض کنید.

۲-۲۰) برای اندازه گیری مشخصات مدار ساده شده  $\pi$  از تقویت کننده امیتر مشترک با مقاومت بار

$1 \text{ k}\Omega$  استفاده شده است و دو آزمایش در مورد آن بکار رفته است:

۱- با مقاومت منبع  $50 \Omega$ ، بهره مدار  $75-$  و پهنای باند  $500 \text{ kHz}$

۲- با مقاومت منبع  $600 \Omega$  اهم بهره مدار  $50-$  و پهنای باند  $350 \text{ kHz}$  اندازه گیری شده است.

الف) عناصر مدار معادل را بدست آورید.

ب) فرکانس  $f_T$  ترانزیستور را مشخص کنید. نقطه کار ترانزیستور را  $I_{CQ} = 2.5 \text{ mA}$  فرض کنید.

۲-۲۱) در تقویت کننده شکل (م ۲-۲۱):

الف) مدار معادل باندهای فرکانسی مختلف را رسم کنید.

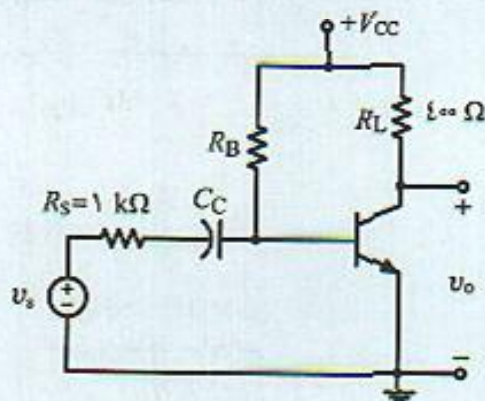
ب) برای مقادیر  $\omega_L = 100 \text{ rad/s}$ ،  $\omega_H = 10 \text{ Mrad/s}$  از ترانزیستوری به مشخصات زیر استفاده شده

است. مقدار خازن کوپلاژ را محاسبه نموده و نشان دهید با این ترانزیستور نمی توان به پهنای باند

مورد نظر دست یافت.

ج) بهره باند میانی در این شرایط چقدر است. مقاومت بایاس را بزرگ فرض کنید.

$$I_{CQ} = 5 \text{ mA}, \beta_0 = 100, r_x = 50 \Omega, C_{\mu} = 3 \text{ pF}, f_T = 500 \text{ MHz}$$



شکل (م ۲-۲۱)

۲-۲۲) در مسئله (۲-۲۱) مقاومت منبع را ثابت نگاه داشته و مقاومت بار کاهش داده می شود تا پهنای باند

مورد نظر حاصل شود. بهره مدار در این شرایط چقدر خواهد شد.

۲-۲۳) در مسئله (۲-۲۱) مقاومت بار ثابت نگاه داشته و مقاومت منبع کاهش داده می شود تا پهنای باند

مورد نظر حاصل شود. بهره مدار در این شرایط چقدر است.

۲-۲۴) در تقویت کننده امیتر مشترک شکل (م ۲-۲۴):

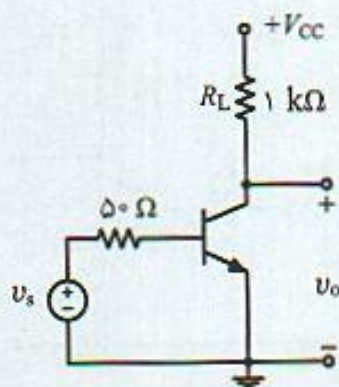
الف) تابع انتقال کامل فرکانس بالا و محل صفر و قطب آنرا مشخص کنید.

ب) بهره باند میانی و فرکانس قطع بالای مدار چقدر است.



ج) از تقریب تک قطبی تابع انتقال استفاده و فرکانس قطع بالا را محاسبه و با فرض (الف) مقایسه کنید.  
د) مدار معادل یکطرفه تقویت‌کننده را رسم و مقدار امپدانس ورودی ترانزیستور را پس از مقاومت  $r_x$  در فرکانس  $f_H$  محاسبه کنید.

$$I_{CQ} = 5 \text{ mA}, \beta_o = 100, r_x = 30 \Omega, C_\mu = 3 \text{ pF}, f_T = 500 \text{ MHz}$$



شکل (م ۲-۲۴)

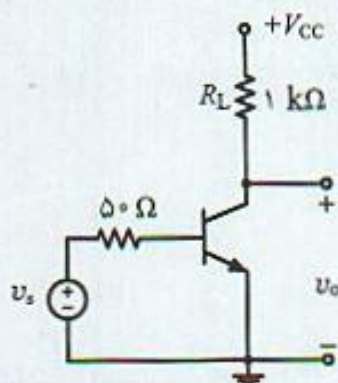
۲-۲۵) در تقویت‌کننده امیتر مشترک شکل (م ۲-۲۵):

الف) از تقریب تک قطبی تابع انتقال استفاده و فرکانس قطع بالا را محاسبه کنید.

ب) بهره باند میانی مدار چقدر است.

ج) برای دو برابر کردن پهنای باند مدار و همان بهره باند میانی چه تغییری در مدار بکار می‌برید. تغییرات لازم را بکار برده و محاسبات را انجام دهید.

$$I_{CQ} = 5 \text{ mA}, \beta_o = 100, r_x = 50 \Omega, C_\mu = 5 \text{ pF}, f_T = 500 \text{ MHz}$$



شکل (م ۲-۲۵)

۲-۲۶) در تقویت‌کننده شکل (م ۲-۲۶):

الف) عبارت دقیق ادmittانس ورودی پس از مقاومت  $r_x$  را مشخص کنید.

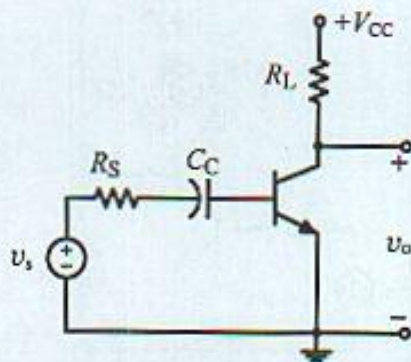
ب) برای مقادیر داده شده نمودار بد (Bode) ادmittانس ورودی را رسم کنید. خازن  $C_C$  خازن کوپلاژ است.

$$I_{CQ} = 5 \text{ mA}, \beta_o = 100, r_x = 30 \Omega, C_\mu = 3 \text{ pF}, C_\pi = 75 \text{ pF}, R_S = 50 \Omega, R_L = 1 \text{ k}\Omega$$



۲-۲۷) در تقویت‌کننده مسئله (۲-۲۶):

الف) عبارت دقیق ادمیتانس خروجی قبل از مقاومت  $R_L$  را مشخص کنید.  
ب) برای مقادیر داده شده و  $r_o = 80 \text{ k}\Omega$  نمودار بده (Bode) ادمیتانس خروجی را رسم کنید. خازن  $C_C$  خازن کوپلاژ است.



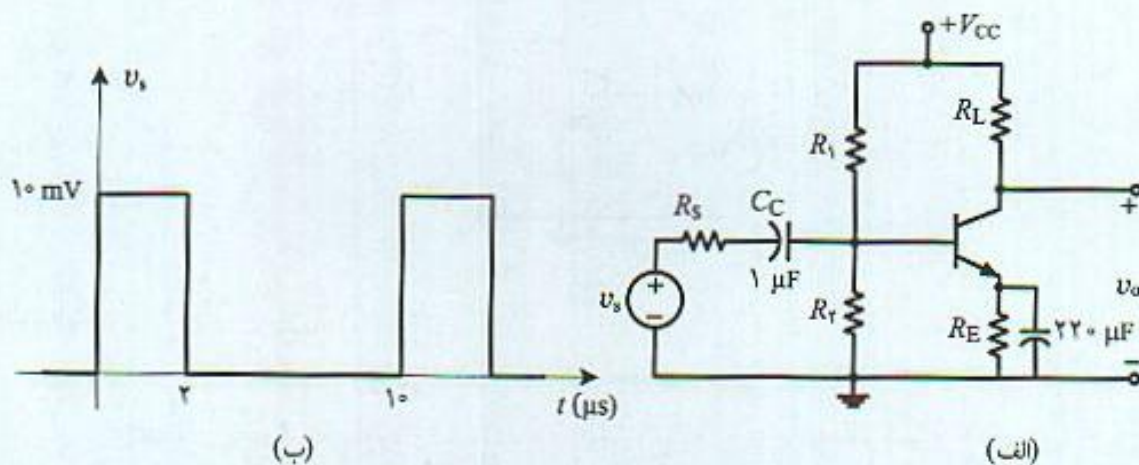
شکل (م ۲-۲۷)

۲-۲۸) در تقویت‌کننده شکل (م ۲-۲۸ الف):

الف) فرکانس قطع بالا، پایین و بهره مدار را تعیین کنید.  
ب) پاسخ مدار را به سیگنال مربعی شکل (م ۲-۲۸ ب) رسم و پارامترهای آن را روی شکل تعیین نمایید.  
ج) مدار را با برنامه spice بررسی و پاسخ مدار به سیگنال مربعی را تعیین و با جواب تئوری مقایسه کنید.

$$I_{CQ} = 5 \text{ mA}, \beta_o = 100, r_x = 50 \Omega, C_\mu = 5 \text{ pF}, C_\pi = 75 \text{ pF}$$

$$R_S = 50 \Omega, R_L = 2.2 \text{ k}\Omega, R_E = 1 \text{ k}\Omega$$



شکل (م ۲-۲۸ ب)

شکل (م ۲-۲۸ الف)



۲۹-۲) تقویت‌کننده شکل (م ۲۹-۲ الف) را چنان طرح کنید که پاسخ آن به سیگنال ورودی مربعی نشان داده شده در شکل (م ۲۹-۲ ب) دارای حداکثر کجی ۱۰٪ بوده و زمان صعود آن  $t_r = 0.35 \text{ ms}$  باشد.

مقدار بهره باند میانی را ۵۰- فرض کنید. نکات لازم در طرح مدار:

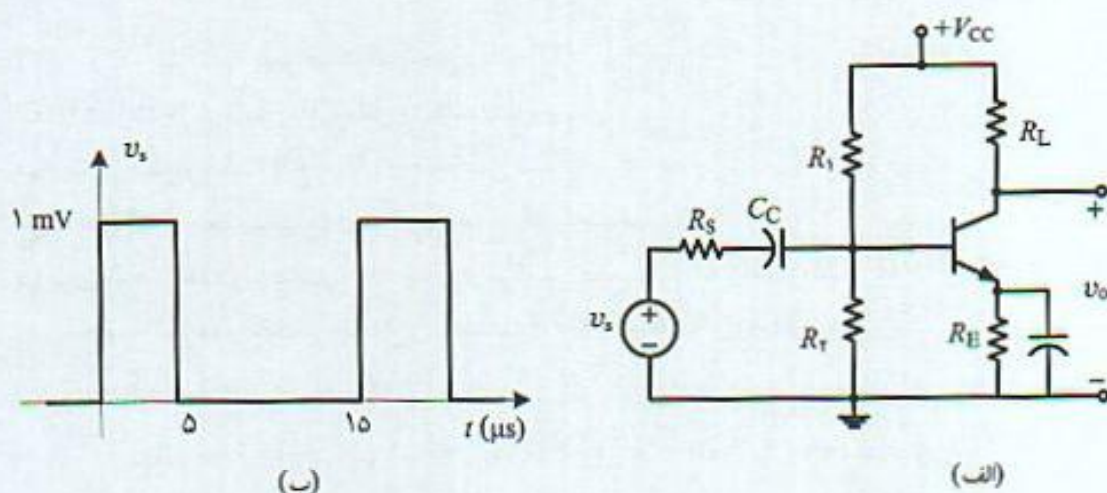
الف) فرض کنید ترانزیستورهایی با مشخصات زیر در دسترس می‌باشد.

$$\beta_0 = 100, r_x = 0.2 r_{\pi}, f_T \leq 400 \text{ MHz}$$

ب) طراحی را بطور کامل انجام و مقاومتهای بایاس مناسب را نیز انتخاب کنید.

ج) مدار طرح شده را با نرم‌افزار spice بررسی و مقادیر بدست آمده را با مقادیر طراحی مقایسه کنید.

د) در صورت لزوم اصلاحات لازم را در مدار بکار ببرید.



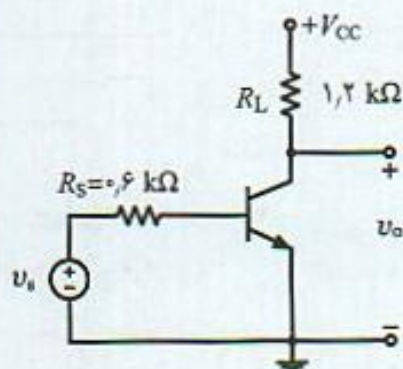
شکل (م ۲۹-۲)

۳۰-۲) در تقویت‌کننده شکل (م ۳۰-۲) که از عناصر بایاس صرفنظر شده است:

الف) تابع انتقال کامل مدار را مشخص و فرکانس قطع بالا را محاسبه کنید.

ب) با تقریبات قابل قبول تابع انتقال را ساده و فرکانس قطع بالا را مشخص کنید.

$$I_{CQ} = 5 \text{ mA}, \beta_0 = 100, r_x = 0 \Omega, C_{\mu} = 2.5 \text{ pF}, f_T = 600 \text{ MHz}$$



شکل (م ۳۰-۲)

۳۱-۲) خازن  $C_{\mu}$  در مدار معادل ترانزیستور را می‌توان با استفاده از قضیه میلر در ورودی و خروجی



تقویت‌کننده متغیر نمود. این کار را در مورد تقویت‌کننده شکل (م ۲-۳۰) انجام دهید و فرکانس قطع بالای تقویت‌کننده را تعیین و نتیجه را با مسئله قبل مقایسه کنید.

۲-۳۲) به تقویت‌کننده شکل (م ۲-۳۰) مقاومت  $R_F$  بین کلکتور و بیس اضافه می‌شود. مدار حاصل در شکل (م ۲-۳۲) نشان داده شده است. با فرض اینکه تغییری در نقطه کار مدار بوجود نیاید:

الف) تابع انتقال کل مدار را بدست آورید.

ب) فرکانس قطع بالا و بهره باند میانی را بر حسب  $R_F$  بدست آورید.

ج) به ازاء مقادیر  $10\text{ k}\Omega$ ،  $25\text{ k}\Omega$ ،  $50\text{ k}\Omega$  فرض (ب) را محاسبه کنید.

د) به نظر شما چرا با کاهش مقاومت  $R_F$  مقدار بهره کاهش و فرکانس قطع بالا زیاد می‌شود.

۲-۳۳) در تقویت‌کننده بیس مشترک شکل (م ۲-۳۳):

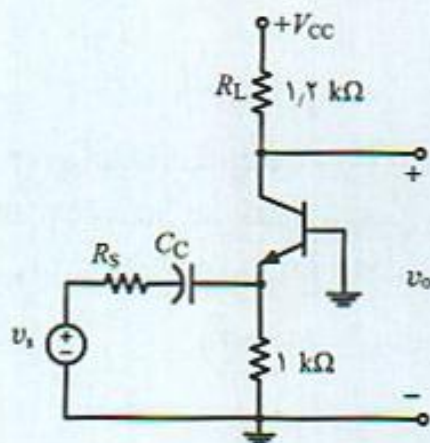
الف) عبارت کامل تابع انتقال مدار را بدست آورید.

ب) محل صفر و قطب تابع انتقال را مشخص کنید.

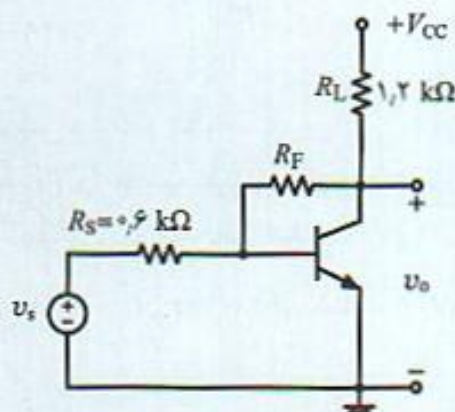
ج) با استفاده از محاسبات فوق فرکانس قطع بالا را مشخص کنید.

د) برای مقادیر عددی زیر بهره باند میانی و فرکانس قطع بالا را به ازاء دو مقدار  $600\text{ }\Omega$  و  $50\text{ }\Omega$   $R_S$  را محاسبه نموده و مقادیر حاصل را با مسئله (م ۲-۳۲) مقایسه و در کاربرد هر یک از تقویت‌کننده‌ها نتیجه‌گیری کنید.

$$I_{CQ} = 5\text{ mA}, \beta_o = 100, r_x = 0\text{ }\Omega, C_\mu = 2.8\text{ pF}, f_T = 600\text{ MHz}$$



شکل (م ۲-۳۳)



شکل (م ۲-۳۲)

۲-۳۴) در تقویت‌کننده سورس مشترک شکل (م ۲-۳۴):

الف) تابع انتقال کامل مدار را مشخص کنید.

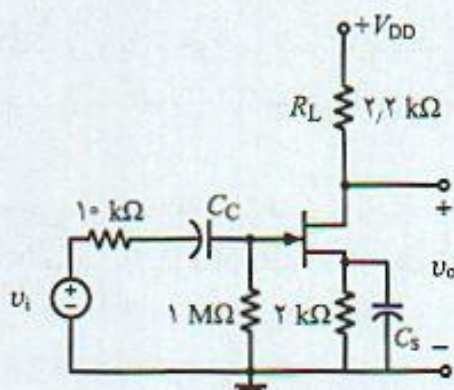
ب) نمودار صفر و قطب تابع انتقال را مشخص کنید.

ج) تقریب ساده شده‌ای از تابع انتقال را مشخص و مدار معادل یکطرفه تقویت‌کننده را رسم کنید.

د) بهره باند میانی را با مقادیر داده شده محاسبه کنید.



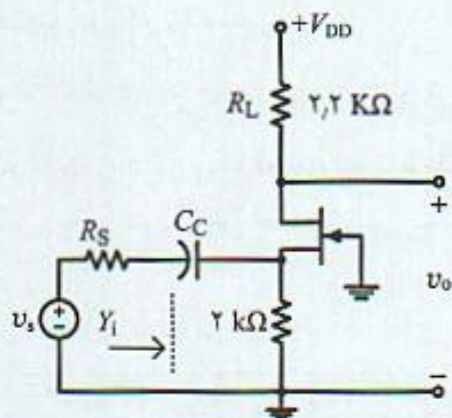
$$g_m = 5 \text{ m}\Omega^{-1}, C_{gs} = C_{gd} = 3 \text{ pF}, r_o = 50 \text{ k}\Omega$$



شکل (م ۲-۳۴)

۲-۳۵ در تقویت‌کننده مسئله (۲-۳۴) عبارتی برای حاصلضرب بهره و پهنای باند تقویت‌کننده بدست آورید و به ساده‌ترین صورت ممکن نشان دهید. تغییرات آنرا بر حسب مقاومت بار و به ازاء  $R_S = 50 \Omega$  رسم کنید.

۲-۳۶ تقویت‌کننده شکل (م ۲-۳۴) با همان ترانزیستور بصورت بیس مشترک و شکل (م ۲-۳۶) مورد استفاده قرار می‌گیرد. تابع انتقال کامل تقویت‌کننده را در این حالت بدست آورده و به ازاء دو مقدار مقاومت منبع  $600 \Omega$  و  $50 \Omega$  بهره ولتاژ و فرکانس قطع بالای مدار را مشخص و در مورد کاربرد این مدار توضیح دهید.



شکل (م ۲-۳۶)

۲-۳۷ در مسئله (۲-۳۶) عبارت کامل ادمیتانس ورودی را پس از مقاومت منبع مشخص و نمودار بد (Bode) آنرا برای مقادیر داده شده رسم نمایید.

۲-۳۸ در تقویت‌کننده امیتر فالور شکل (م ۲-۳۸):

الف) عبارت کامل تابع انتقال فرکانس بالا را محاسبه کنید.

ب) محل صفر و قطب تابع انتقال را مشخص و در صفحه  $s$  نمایش دهید.

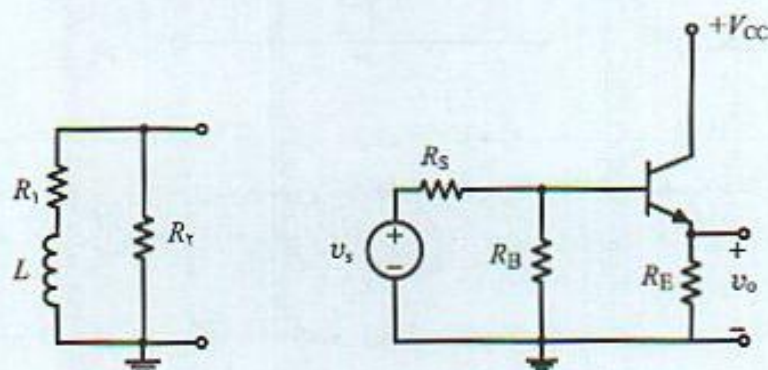
ج) آیا مدار دارای قطب موثر می‌باشد؟

د) بار رسم نمودار بد (Bode) فرکانس قطع بالا را تعیین کنید.



$$I_{CQ} = 5 \text{ mA}, \beta_0 = 100, r_x = 50 \Omega, C_\mu = 5 \text{ pF}, f_T = 200 \text{ MHz}$$

- (۳۹-۲) الف) عبارت کامل امپدانس ورودی و خروجی یک تقویت کننده امپتر فالور را محاسبه کنید.
- ب) مسئله را برای مقادیر عددی مسئله (۳۸-۲) ساده و نمودار بد (Bode) امپدانس ورودی را ترسیم کنید.
- ج) مدار معادل امپدانس خروجی تقویت کننده امپتر فالور را تعیین و مقادیر عناصر مدار معادل را برای مقادیر عددی مسئله (۳۸-۲) محاسبه کنید. نشان دهید مدار معادل بصورت شکل (م ۳۸-۲ ب) است.



شکل (م ۳۸-۲)

- (۴۰-۲) در یک تقویت کننده امپتر مشترک با امپتر بای پس شده با مقاومت منبع  $600 \Omega$  و بار  $2.2 \text{ k}\Omega$  ترانزیستوری به مشخصات زیر بکار رفته است:

$$I_{CQ} = 5 \text{ mA}, V_{CEQ} = 5 \text{ V}, \beta_0 = 100, r_x = 50 \Omega, C_\mu = 5 \text{ pF}, f_T = 500 \text{ MHz}$$

- با فرض جریان نقطه کار ثابت  $5 \text{ mA}$  و اینکه تغییر ولتاژ نقطه کار باعث تغییر خازن  $C_\mu$  شود جدول (م ۱-۲) را تکمیل و تغییرات فرکانس قطع بالا را بر حسب ولتاژ نقطه کار رسم کنید.

جدول (م ۱-۲) تغییرات فرکانس قطع بالا بر حسب ولتاژ نقطه کار

$V_{CEQ}$ (V)	۱	۲	۴	۵	۷.۵	۱۰	۱۲
$C_\mu$ (pF)				۵			
$f_H$							

- (۴۱-۲) در یک تقویت کننده امپتر مشترک با امپتر بای پس شده با مقاومت منبع  $600 \Omega$  و بار  $2.2 \text{ k}\Omega$  ترانزیستوری به مشخصات زیر بکار رفته است:

$$I_{CQ} = 5 \text{ mA}, V_{CEQ} = 5 \text{ V}, \beta_0 = 100, r_x = 50 \Omega, C_\mu = 5 \text{ pF}$$

$$f_T = 500 \text{ MHz}, V_T = 25 \text{ mV}, \tau_F = 150 \text{ ps}$$

- با فرض ولتاژ نقطه کار ثابت  $5 \text{ V}$  و اینکه تغییر جریان نقطه کار فقط باعث تغییر خازن  $C_\pi$  شود



جدول (م ۲-۲) را تکمیل و تغییرات فرکانس قطع بالا را بر حسب جریان نقطه کار رسم کنید. خازن دیود بیس امیتر مجموع دو خازن پیوند به مقدار ثابت  $5\text{ pF}$  و خازن انتشار است.

جدول (م ۲-۲) تغییرات فرکانس قطع بالا بر حسب جریان نقطه کار

$I_{CQ}$ (mA)	۱	۲	۴	۵	۷٫۵	۱۰	۲۰
$r_{\pi}$ (k $\Omega$ )				۰٫۵			
$C_{je}$ (pF)	۵	۵	۵	۵	۵	۵	۵
$C_d$ (pF)				۳۰			
$C_{\mu}$ (pF)				۵			
$f_H$							

(۴۲-۲) در تقویت‌کننده شکل (م ۲-۴۲) با فرض تابع انتقال یک قطبی تقویت‌کننده امیتر مشترک:

(الف) چه رابطه‌ای برقرار باشد تا پاسخ پله تقویت‌کننده مشابه ورودی با زمان صعود صفر باشد.

(ب) نشان دهید لازم است در شرایط فوق تابع انتقال ولتاژ خروجی به ولتاژ ورودی مستقل از فرکانس باشد.

(ج) با توجه به فرض (الف) عبارت امپدانس ورودی را مشخص کنید.

(د) چه کاربردهایی برای این مدار می‌توان در نظر گرفت.

(ه) آیا عملاً می‌توان به چنین پاسخی دست یافت؟ چه عوامل یا عواملی در این مسئله موثر واقع می‌شوند.

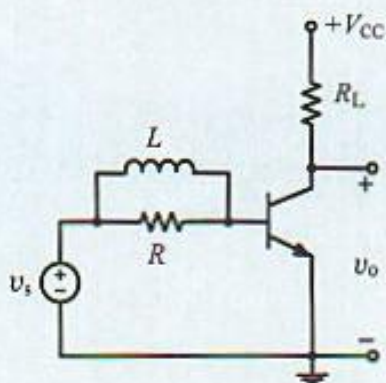
به خازنهای  $C_s$  خازنهای سرعت دهنده (speed up capacitor) گفته می‌شود که در مدارهای پالس اهمیت زیادی دارند.

(۴۳-۲) در مدار شکل (م ۲-۴۳) با فرض تابع انتقال یک قطبی تقویت‌کننده امیتر مشترک:

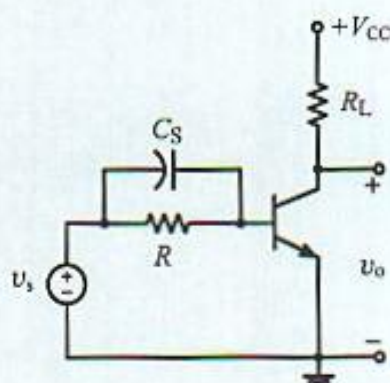
(الف) روابطی برای عناصر  $R$  و  $L$  را چنان بدست آورید که امپدانس ورودی مستقل از فرکانس باشد.

(ب) برای مقادیر عددی داده شده در مسئله (۲-۴۱) مقدار این عناصر را مشخص کنید.

(ج) به نظر شما کاربرد این مدار در چه مواردی است؟



شکل (م ۲-۴۳)



شکل (م ۲-۴۲)









## پاسخ فرکانس تقویت کننده های چند طبقه

### مقدمه

هنگامی که از بررسی تقویت کننده یک طبقه که در فصل قبل انجام شد، بررسی و طراحی تقویت کننده های چند طبقه مطرح می شود نکات و مسایل مهمی پیش می آید. بعنوان مثال با سری کردن چند طبقه امپدانس مشترک بهره بالایی حاصل می شود، اما در عین حال به علت افزایش تعداد خازنهای موجود در مدار تعداد فرکانس های طبیعی مدار افزایش یافته و پاسخ فرکانس مدار تحت تاثیر آنها خواهد بود. در این شرایط اولاً بدست آوردن تابع انتقال مشکل است. ثانیاً حل معادله مشخصه به روش معمول و دستی امکان پذیر نمی باشد. برای حل کامل و دقیق تقویت کننده چند طبقه لازم است از محاسبات عددی و کامپیوتر استفاده شود. محاسبات کامپیوتری گرچه نتایج کاملاً دقیق را بدست می دهد، اما باید در نظر داشت دید منطقی و عملی برای طرح تقویت کننده ها را نشان نمی دهد. بعنوان مثال عامل تعیین کننده بر پهنای باند را برای طراح مدار مشخص نمی کند. از این جهت روش های ساده تری لازم است که دید عملی و منطقی جهت طراحی معرفی نماید.

در این فصل ابتدا خصوصیات کلی تابع انتقال تقویت کننده چند طبقه بررسی و سپس روش ثابت زمانی برای تعیین فرکانس قطع تقویت کننده معرفی و با چند مثال نکات لازم در طراحی ذکر می شود.



### ۱-۳ تابع انتقال تقویت‌کننده چند طبقه

تابع انتقال تقویت‌کننده چند طبقه را می‌توان بصورت:

$$H(s) = A_o H_L(s) H_H(s) \quad (1-3)$$

نشان داد.  $A_o$  بهره باند میانی،  $H_L(s)$  تابع انتقال فرکانس پایین و  $H_H(s)$  تابع انتقال فرکانس بالا است. در باند میانی  $H(s) \approx A_o$  و بهره مدار مقدار ثابتی است. در فرکانس‌های خیلی بالاتر از  $f_L$  (فرکانس قطع ۳ dB پایین)  $H_L(s)$  به سمت  $0$  میل می‌کند. در فرکانس‌های خیلی پایین‌تر از  $f_H$ ،  $H_H(s)$  نیز به سمت  $0$  میل می‌کند.

تابع انتقال فرکانس پایین در حالت کلی  $H_L(s)$  به صورت

$$H_L(s) = \frac{(s + z_1)(s + z_2) \cdots (s + z_n)}{(s + p_1)(s + p_2) \cdots (s + p_m)} \quad (2-3)$$

است.  $p_i$  ها اعدادی مثبت و معرف قطب‌ها و  $z_i$  ها اعدادی مثبت، منفی و یا صفر که معرف صفرهای تابع انتقال می‌باشند. در باند میانی و فرکانس‌های بالاتر از فرکانس قطع پایین  $H_L(s)$  به سمت  $0$  میل می‌کند بنابراین لازم است تعداد صفرها و قطب‌های  $H_L(s)$  با هم برابر باشند به عبارت دیگر برای تابع انتقال فرکانس پایین  $n = m$  است.

تابع انتقال فرکانس بالا در حالت کلی  $H_H(s)$  به صورت

$$H_H(s) = \frac{\left(1 + \frac{s}{z_1}\right) \left(1 + \frac{s}{z_2}\right) \cdots \left(1 + \frac{s}{z_n}\right)}{\left(1 + \frac{s}{p_1}\right) \left(1 + \frac{s}{p_2}\right) \cdots \left(1 + \frac{s}{p_m}\right)} \quad (3-3)$$

است که  $z_i$  ها و  $p_i$  ها مشابه با تابع انتقال فرکانس پایین هستند. در فرکانس‌های پایین‌تر  $f_H$  و در باند میانی وقتی  $s \rightarrow 0$  لازم است تابع انتقال به سمت  $0$  میل کند. علاوه بر آن با توجه به اینکه در فرکانس بالا ( $s \rightarrow \infty$ ) بهره تقویت‌کننده کم می‌شود لازم است  $m \gg n$  یعنی تعداد قطب‌ها بیش از تعداد صفرها باشد.

**تعداد قطب‌ها و صفرها** تعداد قطب‌های یک تابع انتقال مساوی تعداد عناصر ذخیره‌کننده انرژی مستقل در مدار است. در تقویت‌کننده‌ها عموماً عنصر ذخیره‌کننده انرژی خازن است و خازنی مستقل است که بتوان به آن یک ولتاژ مستقل اختصاص داد. برای مثال دو خازن موازی مستقل نیستند چون ولتاژ هر دو یکسان است و بیش از یک ولتاژ مستقل نمی‌توان به آنها اختصاص داد و در مدار معادل هم می‌توان به جای دو خازن مجموع دو خازن را قرار داد. بطور مشابه دو خازن سری هم مستقل نیستند. چون مقدار بار الکتریکی ذخیره شده در هر دو خازن مساوی و نمی‌توان به هر خازن ولتاژ مستقلی اختصاص داد. هم‌چنین اگر در مدار حلقه‌ای فقط شامل خازن موجود باشد، چون مجموع ولتاژهای خازنهای حلقه صفر است بنابراین ولتاژ خازن‌ها مستقل از هم نیستند و در نتیجه تعداد قطب‌ها برابر تعداد خازن‌های منهای تعداد حلقه‌های موجود در مدار می‌باشد.



بطور خلاصه در مورد صفرها و قطب‌های یک تقویت‌کننده می‌توان گفت:

الف) در  $H_L(s)$  تعداد قطبها برابر تعداد عناصر مستقل ذخیره‌کننده انرژی و تعداد صفرهای آن مساوی تعداد قطبها می‌باشد.

ب) در  $H_H(s)$  تعداد قطبها برابر تعداد عناصر مستقل ذخیره‌کننده انرژی و تعداد صفرها با بررسی رفتار این تابع در فرکانسهای خیلی بالا ( $s \rightarrow \infty$ ) بدست می‌آید. چنانچه تابع انتقال فرکانس بالا وقتی  $s \rightarrow \infty$  به سمت  $\frac{1}{s}$  میل کند، در این صورت تعداد صفرهای محدود آن  $k$  عدد کمتر از تعداد قطبها خواهد بود.

### ۲-۳ تقریب قطب موثر تابع انتقال فرکانس بالا

رسم نمودار بد (Bode) تابع انتقال  $H_H(s)$  پاسخ فرکانس بالای تقویت‌کننده را مشخص می‌کند و به کمک آن می‌توان فرکانس قطع بالا را بدست آورد. در رسم این نمودار لازم است محل صفر و قطب مشخص باشند. در بسیاری از موارد عملی صفرهای تابع انتقال  $H_H(s)$  یا در بی‌نهایت هستند و یا آنقدر در فرکانسهای بالا قرار دارند که اثر مهمی بر فرکانس قطع مدار ندارند. علاوه بر آن اگر یکی از قطبهای فرکانس بالا مثل  $p_1$  خیلی کوچکتر از سایر قطبها باشد در این صورت پاسخ فرکانس بالای تقویت‌کننده توسط این قطب مشخص می‌شود بطوریکه:

$$H_L(s) = \frac{1}{1 + \frac{s}{p_1}} \quad (4-3)$$

این قطب بنام قطب موثر (dominant pole) و تقریب بکار رفته تقریب قطب موثر تابع انتقال فرکانس بالای تقویت‌کننده نامیده می‌شود. بنابراین فرکانس قطع  $\omega_H$  dB بالای مدار:

$$\omega_H = |p_1| \quad (5-3)$$

است. هر چه فاصله این قطب از سایر قطبها بیشتر باشد این تقریب دقیق‌تر خواهد بود. جهت بررسی دقت تقریب قطب موثر تابع انتقالی با ۲ قطب حقیقی بصورت:

$$H_L(s) = \frac{1}{\left(1 + \frac{s}{p_1}\right) \left(1 + \frac{s}{p_2}\right)} \quad (6-3 \text{ الف})$$

در نظر گرفته و فرکانس قطع آن بطور دقیق محاسبه می‌شود. رابطه (۶-۳ الف) را می‌توان بصورت

$$H_L(s) = \frac{1}{1 + a_1 s + a_2 s^2} \quad (6-3 \text{ ب})$$

ساده کرد که در آن رابطه (۷-۳) برقرار است.



$$a_1 = \frac{1}{p_1} + \frac{1}{p_2}, \quad a_2 = \frac{1}{p_1 p_2} \quad (7-3)$$

چنانچه فاصله بین دو قطب زیاد باشد،  $p_1 \ll p_2$ ، می توان تقریب های

$$p_1 \approx \frac{1}{a_1}, \quad a_2 \approx 0$$

بکاربرد و تقریب نسبتاً دقیق برای فرکانس قطع dB ۳ بالا با رابطه (۸-۳) بدست آورد.

$$\omega_H \approx \frac{1}{a_1}, \quad f_H \approx \frac{1}{2\pi a_1} \quad (8-3)$$

توجه شود  $a_1$  ضریب عبارت  $s$  در مخرج تابع انتقال  $H_H(s)$  است. برای محاسبه مقدار دقیق  $\omega_H$  تابع انتقال رابطه (۵-۳) را در نظر گرفته و با توجه به تعریف  $\omega_H$ ، از رابطه (۹-۳ الف):

$$|H_H(j\omega_H)| = \frac{1}{|1 + j\frac{\omega}{p_1}| |1 + j\frac{\omega}{p_2}|} = \frac{1}{\sqrt{2}} \quad (9-3 \text{ الف})$$

طرفین رابطه (۹-۳ الف) را به توان ۲ رسانده:

$$|H_H(j\omega_H)|^2 = \frac{1}{[1 + (\omega_H/p_1)^2][1 + (\omega_H/p_2)^2]} = \frac{1}{2} \quad (9-3 \text{ ب})$$

با ساده کردن رابطه فوق رابطه دقیق برای محاسبه فرکانس قطع بدست می آید.

$$\frac{\omega_H^2}{p_1^2 p_2^2} + \frac{p_1^2 + p_2^2}{p_1^2 p_2^2} \omega_H^2 = 1 \quad (9-3 \text{ ج})$$

رابطه (۹-۳ ج)  $\omega_H$  دقیق و بدون تقریب را مشخص می کند. اما در شرایطی که قطبها حقیقی باشند ضرایب رابطه فوق مثبت و با توجه به اینکه  $\omega_H$  کوچکتر از تک تک قطبها است ( $|p_1|$  و  $|p_2|$  و  $\omega_H < |p_1|$ )، در این صورت از جمله  $\omega_H^4$  می توان صرف نظر و تقریب دقیق تری از  $\omega_H$  با رابطه (۱۰-۳) را بدست آورد.

$$\frac{1}{\omega_H^2} = \frac{1}{p_1^2} + \frac{1}{p_2^2} \quad (10-3)$$

رابطه (۱۰-۳) کلی است و در مواردی که تقریب قطب موثر را نمی توان بکار برد، تقریب مناسبی از  $\omega_H$  را بدست می دهد. در حالت کلی برای چندین قطب رابطه (۱۱-۳) برقرار می باشد.

$$\frac{1}{\omega_H^2} = \frac{1}{p_1^2} + \frac{1}{p_2^2} + \frac{1}{p_3^2} + \dots \quad (11-3)$$

برای اینکه دقت تقریبات مختلف در روابطی که بدست آید مقایسه شود نتایج محاسبه فرکانس قطع در چند حالت خاص در جدول (۱-۳) خلاصه شده است. از این جدول می توان دید:



- در حالت  $p_2 = 10 p_1$  رابطه (۸-۳) دارای ۸٪ خطا و رابطه (۱۱-۳) بدون خطا است و تقریب قطب موثر  $\omega_H \approx p_1$  خطای قابل ملاحظه‌ای را سبب نمی‌شود.
- در سایر حالتها که  $p_2 < p_1$  است، رابطه (۱۱-۳) خطای کمی را باعث می‌شود و تقریب قطب موثر خطای زیادی دارد.
- در مواردی که فاصله قطبها بیش از یک دهه فرکانس (decade) است تقریب قطب موثر معتبر و در سایر موارد رابطه (۱۱-۳) مناسبتر می‌باشد.

جدول (۱-۳) فرکانس قطع ۳ dB برای توابع انتقال با ۲ قطب حقیقی به روشهای مختلف

وضعیت قطبها	مقدار دقیق $\omega_H$	مقدار تقریبی رابطه (۸-۳)		مقدار تقریبی رابطه (۱۱-۳)	
		خطا	$\omega_H$	خطا	$\omega_H$
$P_2 = 10 P_1$	$0.99 P_1$	-۸٪	$0.91 P_1$	۰	$0.99 P_1$
$P_2 = 4 P_1$	$0.95 P_1$	-۱۶٪	$0.8 P_1$	+۲٪	$0.97 P_1$
$P_2 = 2 P_1$	$0.84 P_1$	-۲۰٪	$0.67 P_1$	+۶٪	$0.89 P_1$
$P_2 = 1 P_1$	$0.64 P_1$	-۲۲٪	$0.5 P_1$	+۱۰٪	$0.7 P_1$

بطور خلاصه تقریب قطب موثر دارای محدودیتهای زیر است:

- تقریب قطب موثر برآوردی از  $f_H$  را بدست می‌دهد که همواره از مقدار واقعی آن کمتر است.
- فقط برای توابع انتقال با قطبهای حقیقی معتبر است.
- هر تعداد صفر موجود در تابع انتقال باید حداقل دو octave بالاتر از قطب موثر باشند.
- تقریب قطب موثر نتیجه صحیحی برای فاز تابع انتقال بدست نمی‌دهد.

### ۳-۳ رابطه فرکانس قطع و ضرایب معادله مشخصه

در اغلب تقویت‌کننده‌ها صفرهای تابع انتقال فرکانس بالا بزرگ و در سمت راست صفحه  $s$  قرار داشته و بر پهنای باند اثر قابل ملاحظه‌ای ندارند. در یک حالت خاص و عملی تابع انتقالی با ۴ قطب در نظر گرفته و رابطه  $\omega_H$  با ضرایب چند جمله‌ای معادله مشخصه بررسی می‌شود. تابع انتقال:

$$H_H(s) = \frac{1}{\left(1 + \frac{s}{p_1}\right) \left(1 + \frac{s}{p_2}\right) \left(1 + \frac{s}{p_3}\right) \left(1 + \frac{s}{p_4}\right)} \quad (الف \ ۱۲-۳)$$

رابطه فوق را می‌توان بصورت ساده شده (۱۲-۳ ب) نشان داد:

$$H_H(s) = \frac{K}{a_0 + a_1 s + a_2 s^2 + a_3 s^3 + s^4} \quad (ب \ ۱۲-۳)$$

که در آن روابط (۱۲-۳ ج) برقرار است.



$$a_0 = K = p_1 p_2 p_3 p_4 \quad (\text{حاصلضرب قطبها})$$

$$a_1 = \sum p_i p_j \quad (\text{مجموع حاصلضرب ۲ به ۲ قطبها}) \quad (۱۲-۳)$$

$$a_2 = \sum p_i p_j p_k \quad (\text{مجموع حاصلضرب ۳ به ۳ قطبها})$$

$$a_3 = p_1 + p_2 + p_3 + p_4 \quad (\text{مجموع قطبها})$$

قدر مطلق تابع انتقال  $H_H(s)$  در فرکانس قطع بالا:

$$|H_H(j\omega_H)| = \frac{K}{|a_0 - a_2 \omega_H^2 + \omega_H^4 + j(a_1 \omega_H - a_3 \omega_H^3)|} = 0.707K \quad (۱۲-۳)$$

با ساده کردن رابطه (۱۲-۳) و با صرفنظر از توانهای ۲ به بالای  $\omega_H$  می توان نشان داد:

$$(a_1^2 - 2a_0 a_2) \omega_H^2 = a_0^2$$

و بنابراین مقدار تقریبی  $\omega_H$  بر حسب ضرایب معادله مشخصه  $a_0$  و  $a_1$  از رابطه (۱۳-۳) بدست می آید.

$$\omega_H = \frac{1}{\sqrt{\left(\frac{a_1}{a_0}\right)^2 - 2 \frac{a_2}{a_0}}} \quad (۱۳-۳)$$

با توجه به روابط  $a_0$  و  $a_1$  در رابطه (۳-۶) نسبتهای  $\frac{a_1}{a_0}$  و  $\frac{a_2}{a_0}$  قابل محاسبه است.

$$\frac{a_1}{a_0} = \sum \frac{1}{p_i}, \quad \frac{a_2}{a_0} = \sum \frac{1}{p_i p_j} \quad (۱۴-۳)$$

در موارد عملی قطبها عموماً حقیقی و در فواصل پراکنده ای از هم قرار دارند بطوریکه نسبت  $\frac{a_2}{a_0}$  در مقایسه با  $\frac{a_1}{a_0}$  خیلی کوچکتر و بنابراین با صرفنظر از  $\frac{a_2}{a_0}$  در رابطه (۱۳-۳) فرکانس قطع بالای تابع انتقال  $\omega_H$  از رابطه (۱۵-۳) بدست می آید.

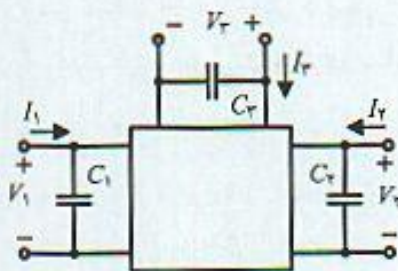
$$\omega_H \approx \frac{a_0}{a_1} = \frac{1}{\sum \frac{1}{p_i}} \quad (۱۵-۳)$$

این تقریب روش ساده با کاربرد زیاد برای محاسبه فرکانس قطع معرفی می کند. نسبت  $\frac{a_1}{a_0}$  به سادگی از طریق اجزاء مدار بدست می آید که در بخش بعد روابط لازم ارائه می شوند. توجه شود روابط (۱۴-۳) کاملاً دقیق هستند و هیچ تقریبی در آنها بکار نرفته است. وقتی محل قطبها معلوم باشند (که از طریق برنامه های کامپیوتری بدست می آید) نسبتهای  $\frac{a_1}{a_0}$  و  $\frac{a_2}{a_0}$  دقیقاً بدست می آیند.



### ۴-۳ روش ثابت زمانی برای محاسبه فرکانس قطع

محاسبه نسبت‌های  $\frac{a_1}{a_0}$  و  $\frac{a_{n+1}}{a_n}$  بر حسب اجزاء مدار در رابطه (۱۵-۳) ارتباط بین  $\omega_{11}$  و نسبت‌های  $\frac{a_1}{a_0}$  مشخص شد. برای اینکه رابطه کلی بین ضرایب معادله مشخصه و اجزاء مدار بدست آید شبکه خطی شامل ۳ خازن در شکل (۱-۳) را در نظر گرفته و ارتباط نسبت‌های فوق با عناصر مدار تعیین می‌شود.



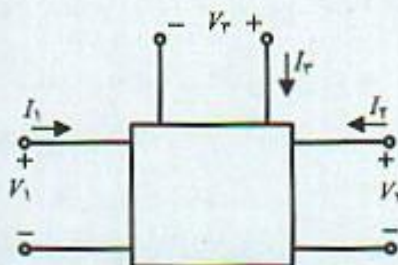
شکل ۱-۳ شبکه خطی شامل ۳ خازن

به هر یک از ورودی‌های این شبکه یک ولتاژ و جریان اختصاص داده و مشخصات زیر در مورد آن تعریف می‌شود.  
(الف) هدایت اتصال کوتاه هدایت اندازه‌گیری  $G_{is}$  شده در هر ورودی در شرایطی که سایر ورودی‌ها اتصال کوتاه می‌باشند.

(ب) مقاومت اتصال باز مقاومت اندازه‌گیری  $R_{io}$  شده در هر ورودی در شرایطی که ورودی‌های دیگر باز هستند.

برای بدست آوردن این مشخصات، شبکه‌ای که از حذف خازن‌ها بصورت شکل (۲-۳) در نظر گرفته و معادلات جریان هر گره آن بررسی می‌شود. در نوشتن این معادلات فرض می‌شود منابع مستقل در داخل شبکه صفر و اثر منابع وابسته در محاسبات منظور شده است. معادلات گره مدار:

$$\begin{aligned} I_1 &= g_{11} V_1 + g_{12} V_2 + g_{13} V_r \\ I_2 &= g_{21} V_1 + g_{22} V_2 + g_{23} V_r \\ I_r &= g_{31} V_1 + g_{32} V_2 + g_{33} V_r \end{aligned} \quad (۱۶-۳)$$



شکل ۲-۳ حذف خازن‌های آن شبکه شکل (۱-۳) با

برای محاسبه هدایت اتصال کوتاه  $G_{is}$  با توجه به اینکه روابط فوق بر مبنای پارامترهای ادمیتانس اتصال کوتاه هستند، هدایت یک ورودی در حالی که سایر ورودی‌ها اتصال کوتاه هستند و با رابطه (۱۷-۳) تعریف می‌شوند.

$$G_{is} = \left. \frac{I_1}{V_1} \right|_{V_2 = V_r = 0} = g_{11}$$



$$G_{1s} = \left. \frac{I_1}{V_1} \right|_{V_2=V_3=0} = g_{11} \quad (17-3)$$

$$G_{2s} = \left. \frac{I_2}{V_2} \right|_{V_1=V_3=0} = g_{22}$$

برای محاسبه مقاومت مدار باز  $R_{jo}$  هر ورودی نسبت  $\frac{V_j}{I_j}$  در حالتی که سایر ورودی‌ها دارای جریان صفر (اتصال باز) هستند محاسبه می‌شوند. برای سادگی در محاسبات و بیان ساده‌تر از ماتریس هدایت  $\Delta g$  استفاده می‌شود که طبق تعریف:

$$\Delta g = \begin{vmatrix} g_{11} & g_{12} & g_{13} \\ g_{21} & g_{22} & g_{23} \\ g_{31} & g_{32} & g_{33} \end{vmatrix} \quad (18-3 \text{ الف})$$

کوفاکتور (cofactor) هر عنصر  $g_{ij}$  ماتریس  $(18-3 \text{ الف})$  را با  $(\Delta g)_{ij}$  نشان داده:

$$(\Delta g)_{11} = \begin{vmatrix} g_{22} & g_{23} \\ g_{32} & g_{33} \end{vmatrix}, \quad (\Delta g)_{22} = \begin{vmatrix} g_{11} & g_{13} \\ g_{31} & g_{33} \end{vmatrix}, \quad (\Delta g)_{33} = \begin{vmatrix} g_{11} & g_{12} \\ g_{21} & g_{22} \end{vmatrix} \quad (18-3 \text{ ب})$$

با استفاده از این بیان و استفاده از قاعده کرامر ولتاژ و مقاومت مدار باز هر ورودی:

$$V_j = I_j \frac{(\Delta g)_{jj}}{\det(\Delta g)}, \quad R_{jo} = \frac{V_j}{I_j} = \frac{(\Delta g)_{jj}}{\det(\Delta g)} \quad (18-3 \text{ ج})$$

با اضافه شدن خازن‌ها در هر یک از ورودی‌ها روابط جریان هر گره بصورت

$$\begin{aligned} I_1 &= (g_{11} + sC_1) V_1 + g_{12} V_2 + g_{13} V_3 \\ I_2 &= g_{21} V_1 + (g_{22} + sC_2) V_2 + g_{23} V_3 \\ I_3 &= g_{31} V_1 + g_{32} V_2 + (g_{33} + sC_3) V_3 \end{aligned} \quad (18-3 \text{ د})$$

اصلاح می‌شوند. ماتریس ادمیتانس  $\Delta y$  با اضافه کردن سوسپتانس خازنی به عناصر قطر اصلی ماتریس  $\Delta g$  در رابطه  $(18-3 \text{ الف})$  بدست می‌آید.

$$\Delta y = \begin{vmatrix} g_{11} + sC_1 & g_{12} & g_{13} \\ g_{21} & g_{22} + sC_2 & g_{23} \\ g_{31} & g_{32} & g_{33} + sC_3 \end{vmatrix} \quad (19-3)$$

قطبهای شبکه ریشه‌های معادله  $\det(\Delta y) = 0$  است. فرم کلی دترمینان ماتریس ادمیتانس کل بصورت رابطه  $(20-3)$  است.



$$\det(\Delta y) = a_0 + a_1 s + a_2 s^2 + a_3 s^3 \quad (20-3)$$

اگر تمام قطبها دارای قسمت حقیقی منفی باشند مدار پایدار و  $\det(\Delta y)$  شامل تمام توانهای مختلف  $s$  خواهد بود. چنانچه خازن‌ها تشکیل یک حلقه بسته دهند مدار فقط شامل دو قطب و  $a_3 = 0$  است. همچنین اگر  $a_0$  و  $a_2$  مخالف صفر باشند  $a_1$  و  $a_3$  نیز غیر صفر خواهند بود. برای حل معادله  $\det(\Delta y) = 0$  باید ضرایب معادله مشخصه  $a_0, a_1, a_2, a_3$  را بدست آورد. این ضرایب از ماتریس  $\Delta y$  و کوفاکتور ضرایب  $(\Delta g)_{jj}$  بدست می‌آیند.

$a_0$ : از رابطه (20-3) مشخص است که  $a_0$  دترمینان ماتریس کل از (20-3) و به ازاء  $s = 0$  است.

$$a_0 = \det(\Delta y)|_{s=0}$$

$a_1$ : ضریب جمله  $s$  در رابطه (20-3) مجموع 3 عبارت (ضرایب  $s$  از دترمینان ماتریس  $\Delta y$ ) است. هر یک از این عبارت‌ها حاصلضرب خازن در کوفاکتور المان متناظر از ماتریس  $\Delta g$  است. بنابراین:

$$a_1 = C_1(\Delta g)_{11} + C_2(\Delta g)_{22} + C_3(\Delta g)_{33}$$

و در نتیجه نسبت  $\frac{a_1}{a_0}$

$$\frac{a_1}{a_0} = \frac{1}{\det(\Delta g)} [C_1(\Delta g)_{11} + C_2(\Delta g)_{22} + C_3(\Delta g)_{33}]$$

با توجه به رابطه (18-3) نسبت  $\frac{(\Delta g)_{jj}}{\det(\Delta g)}$  مقاومت مدار باز دیده شده توسط هر خازن  $C_j$  است پس:

$$\frac{a_1}{a_0} = C_1 R_{10} + C_2 R_{20} + C_3 R_{30}$$

با تعریف:

$$r_{j0} = C_j R_{j0} \quad (21-3)$$

$r_{j0}$  ثابت زمانی خازن  $j$ ام و در شرایطی است که سایر خازن‌ها اتصال باز هستند. بنابراین

$$\frac{a_1}{a_0} = \sum r_{j0} \quad (22-3)$$

$a_2$ : در حالت کلی ضریب جمله  $s^2$  و نتیجه حاصلضرب عباراتی از قطر اصلی ماتریس  $\Delta g$  است که در شبکه‌ای با سه ورودی:

$$a_2 = C_1 C_2 g_{33} + C_1 C_3 g_{22} + C_2 C_3 g_{11}$$

$a_2$ : این ضریب در حالت کلی ضریب  $s^2$  در عبارت دترمینان ماتریس  $\Delta g$  است.  $a_2$  حاصلضرب بخش سوپتانس عناصر قطر اصلی  $a_2 = C_1 C_2 C_3$  است و بنابراین نسبت  $\frac{a_2}{a_0}$ :



$$\frac{a_2}{a_3} = \frac{g_{11}}{C_1} + \frac{g_{22}}{C_2} + \frac{g_{33}}{C_3}$$

با تعریف  $\tau_{js} = R_{js} C_j$  ثابت زمانی اتصال کوتاه خازن  $j$ ام (سایر خازن‌ها اتصال کوتاه)، بنابراین:

$$\frac{a_2}{a_3} = \sum \frac{1}{\tau_{js}} \quad (23-3)$$

### ۳-۴-۱ فرکانس قطع بالا و ثابت زمانی مدار باز

در رابطه (۳-۱۳) ملاحظه شد  $\omega_H \approx \frac{a_0}{a_1}$ ، همچنین رابطه (۳-۲۲) این نسبت را بر حسب ثابت زمانی مدار باز مدار نشان می‌دهد. بنابراین فرکانس قطع بالای تابع انتقال بر حسب این ثابت زمانی‌ها:

$$\omega_H \approx \frac{a_0}{a_1} = \frac{1}{\sum \tau_{j0}} \quad (24-3)$$

رابطه (۳-۲۴) روش تقریبی و مفید محاسبه  $\omega_H$  بر حسب اجزاء مدار باز را بیان می‌کند.  $\omega_H$  عکس مجموع ثابت زمانی مدار باز خازن‌ها است. ثابت زمانی هر خازن حاصلضرب مقدار خازن و مقاومت دو سر آن در حالیکه سایر خازن‌ها اتصال باز هستند می‌باشد. نکته مهم در این محاسبات آن است که ثابت زمانی بزرگتر محدودیت بیشتری بر پهنای باند داشته و سبب کاهش آن می‌شود. با اطلاع از این نکته می‌توان خازنی را که دارای ثابت زمانی بزرگتر است شناسایی و روشهایی بکار برد تا ثابت زمانی آن کاهش یافته و پهنای باند بیشتری بدست آورد.

### ۳-۴-۲ فرکانس قطع پایین و ثابت زمانی اتصال کوتاه

با روش مشابه برای محاسبه  $\omega_H$ ، می‌توان  $\omega_L$  را بر حسب جملات مخرج تابع انتقال فرکانس پایین  $H_L(s)$  بدست آورد. رابطه (۳-۲) صورت کلی  $H_L(s)$  را نشان می‌دهد. اگر فاصله یکی از قطب‌ها از سایر قطب‌ها نسبت به محور  $j\omega$  خیلی دور باشد، در این شرایط تقریب قطب موثر فرکانس پایین را می‌توان بکار برد. همچنین عموماً صفرهای تابع انتقال فرکانس پایین از بزرگترین قطب که مشخص‌کننده فرکانس قطع ۳ dB است خیلی کوچکتر می‌باشند. با تقریب می‌توان این صفرها را در مبدا فرض کرد و تقریب مناسبی از تابع انتقال را بصورت (۳-۲۵) نشان داد.

$$H_L(s) = \frac{s^3}{(s + p_1)(s + p_2)(s + p_3)} \quad (3-25 \text{ الف})$$

می‌توان این تابع انتقال را بصورت:

$$H_L(s) = \frac{s^3}{a_0 + a_1 s + a_2 s^2 + a_3 s^3} \quad (3-25 \text{ ب})$$

نشان داد. به روش مشابه با بحث فرکانس بالا، می‌توان نشان داد که فرکانس قطع پایین  $\omega_L$  از رابطه (۳-۲۶) بدست می‌آید.



$$\omega_L = \frac{a_1}{a_r} = \sum \frac{1}{r_{js}} \quad (26-3)$$

بنابراین فرکانس قطع ۳ dB پایین تقویت‌کننده تقریباً مساوی مجموع عکس ثابت زمانی اتصال کوتاه همه خازنهای مدار است. برای محاسبه ثابت زمانی اتصال کوتاه هر خازن مقاومت دو سر هر خازن در شرایطی که سایر خازنهای اتصال کوتاه هستند محاسبه می‌شود. بر خلاف فرکانس قطع بالا، در این حالت کوچکترین ثابت زمانی تعیین‌کننده فرکانس قطع می‌باشد.

### ۳-۵ تقویت‌کننده سری امیتر مشترک

شکل (۳-۳) تقویت‌کننده دو طبقه که در آن دو تقویت‌کننده امیتر مشترک بصورت سری بدنبال هم واقع شده‌اند و بدون مدار بایاس نشان می‌دهد. مدار معادل فرکانس بالای آن در شکل (۳-۴) نشان داده شده است. مدار شامل چهار عنصر ذخیره‌کننده مستقل انرژی است و تابع انتقال فرکانس بالا شامل ۴ قطب است. در فرکانس‌های بالا  $C_{\mu 1}$  و  $C_{\mu 2}$  اتصال کوتاه شده و خازنهای  $C_{\pi 1}$  و  $C_{\pi 2}$  سبب می‌شوند  $\frac{1}{s^2}$  و در نتیجه تابع انتقال دارای دو صفر است. بنابراین تابع انتقال فرکانس بالای این مدار بصورت:

$$H_H(s) = \frac{\left(1 - \frac{s}{z_1}\right) \left(1 - \frac{s}{z_2}\right)}{\left(1 + \frac{s}{p_1}\right) \left(1 + \frac{s}{p_r}\right) \left(1 + \frac{s}{p_r}\right) \left(1 + \frac{s}{p_1}\right)} \quad (27-3 \text{ الف})$$

و  $A_0$  بهره باند میانی تقویت‌کننده:

$$A_0 = \frac{(\beta_1 R_{L1}) (\beta_2 R_{L2})}{(R_{S1} + r_{x1} + r_{\pi 1}) (R_{L1} + r_{x1} + r_{\pi 1})} \quad (27-3 \text{ ب})$$

صفرهای تابع انتقال در سمت راست صفحه  $s$  در فاصله خیلی دور از محور  $j\omega$  و در نقاط:

$$z_1 = \frac{g_{m1}}{C_{\mu 1}}, \quad z_2 = \frac{g_{m2}}{C_{\mu 2}} \quad (27-3 \text{ ج})$$

قرار دارند. ادامه بررسی مدار از این نقطه به بعد مشکل است و احتیاج به محاسبات کامپیوتری دارد. لازم است معادلات شبکه را نوشت تا محل قطب‌ها بدست آید و  $f_H$  تعیین شود.

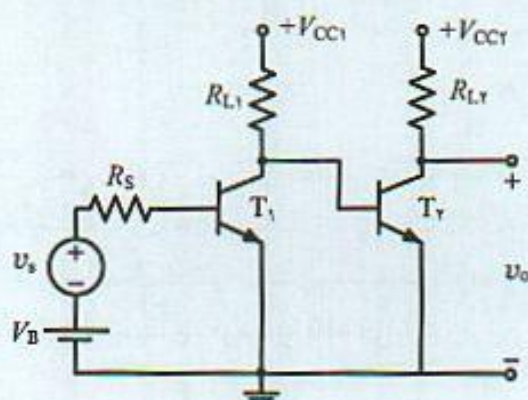
برای ساده شدن محاسبات از روش ثابت زمانی مدار باز استفاده می‌شود و ثابت زمانی مدار باز هر خازن محاسبه می‌شود.

$C_{\pi 1}$ : برای محاسبه ثابت زمانی مدار باز این خازن مقاومت مدار باز  $R_{10}$  دو سر آن از مدار معادل شکل (۳-۵) محاسبه می‌شود. از این مدار واضح است که مقاومت  $R_{10}$  و ثابت زمانی مربوط به  $C_{\pi 1}$ :

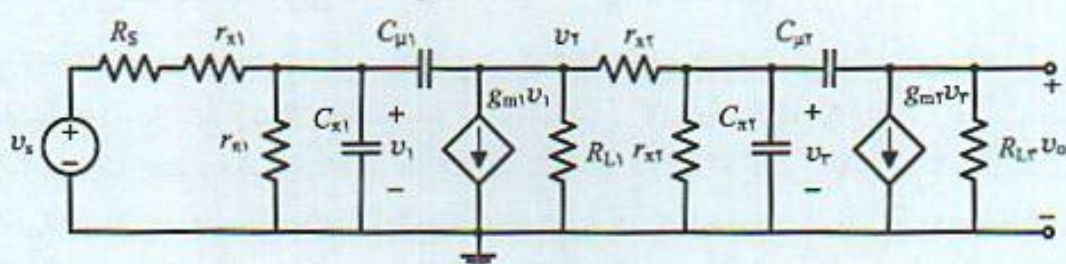
$$R_{10} = (R_S + r_{x1}) \parallel r_{\pi 1} \Rightarrow \tau_{10} = C_{\pi 1} R_{10} \quad (28-3)$$

می‌باشند.

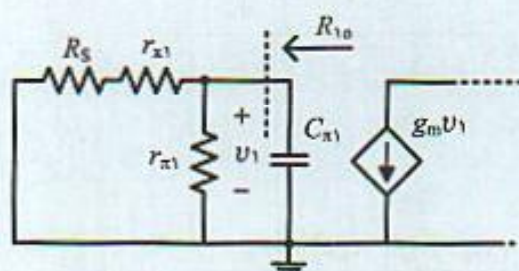




شکل ۳-۳ تقویت کننده دو طبقه شامل دو تقویت کننده سری امپتر مشترک



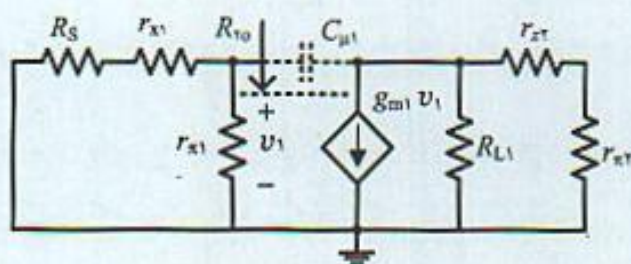
شکل ۴-۳ مدار معادل فرکانس بالای تقویت کننده شکل (۳-۳)



شکل ۵-۳ مدار معادل اطراف خازن  $C_{\pi 1}$  برای محاسبه  $R_{10}$

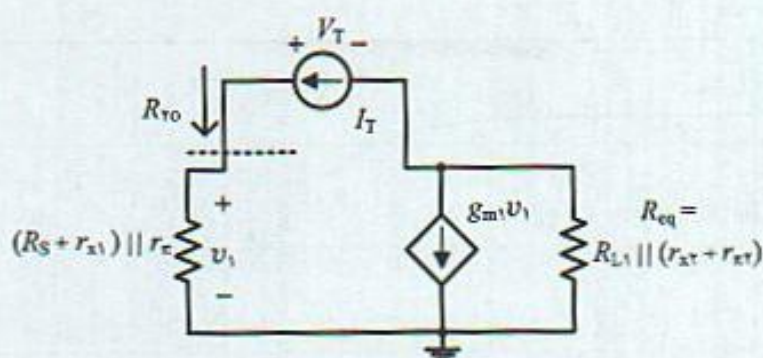
$C_{\mu 1}$ : مقاومت مدار باز دو سر خازن  $C_{\mu 1}$  از شکل (۶-۳) که ساده شده آن در شکل (۷-۳) نشان داده شده محاسبه می شود. برای این کار از منبع جریان آزمایشی  $I_T$  استفاده شده و نسبت  $\frac{V_T}{I_T}$  مقاومت  $R_{T0}$  را مشخص می کند. ولتاژ  $V_1$  دو سر مقاومت  $r_{\pi 1}$

$$V_1 = [(R_S + r_{x1}) \parallel r_{\pi 1}] I_T$$



شکل ۶-۳ مدار معادل برای محاسبه مقاومت مقاومت مدار باز  $R_{10}$





شکل ۳-۷ مدار ساده شده شکل (۳-۶)

با نوشتن رابطه KVL در حلقه شامل  $R_{eq}$ ، منبع  $I_T$  و ولتاژ  $V_1$  رابطه لازم برای محاسبه  $R_{T0}$  بدست می‌آید.

$$V_T = V_1 + (I_T + g_{m1} V_1) R_{eq} = R_{10} I_T + (1 + g_{m1} R_{10}) R_{eq} I_T$$

و بنابراین

$$R_{T0} = \frac{V_T}{I_T} = R_{10} + (1 + g_{m1} R_{10}) R_{eq} \quad (3-29 \text{ الف})$$

در رابطه (۳-۲۹ الف)  $R_{eq}$  مقاومت بار معادل طبقه اول  $R_{eq} = R_{L1} \parallel (r_{x2} + r_{\pi2})$  است و ثابت زمانی مربوط به آن:

$$\tau_{T0} = C_{\mu1} R_{T0} \quad (3-29 \text{ ب})$$

$C_{\pi2}$ : مشابه با خازن  $C_{\pi1}$  مقاومت دو سر این خازن و ثابت زمانی آن از رابطه (۳-۳۰) بدست می‌آید.

$$R_{T0} = r_{\pi2} \parallel (r_{x2} + R_{L1}) \Rightarrow \tau_{T0} = C_{\pi2} R_{T0} \quad (3-30)$$

$C_{\mu2}$ : مشابه با خازن  $C_{\mu1}$  مقدار مقاومت دو سر این خازن و ثابت زمانی آن:

$$R_{T0} = R_{T0} + (1 + g_{m2} R_{T0}) R_{L2} \Rightarrow \tau_{T0} = C_{\mu2} R_{T0} \quad (3-31)$$

با مشخص شدن ثابت زمانها فرکانس قطع بالای مدار از رابطه (۳-۳۲) بدست می‌آید.

$$\omega_H = \frac{1}{\sum \tau_{j0}} = \frac{1}{\tau_{10} + \tau_{T0} + \tau_{T0} + \tau_{T0}} \quad (3-32)$$

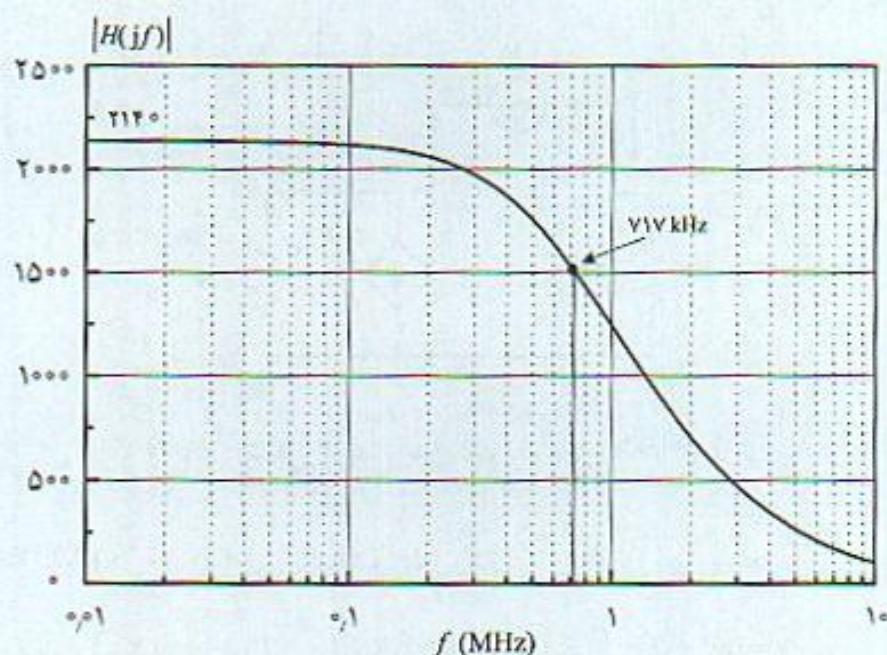
### مثال ۳-۱

در تقویت‌کننده دو طبقه شکل (۳-۳) با ترانزیستورهای یکسان و با مشخصات

$$R_S = 600 \text{ k}\Omega, R_{L1} = 1.5 \text{ k}\Omega, R_{L2} = 0.6 \text{ k}\Omega, I_{CQ} = 2.5 \text{ mA}$$

در این نقطه کار پارامترهای ترانزیستورها  $\beta_0 = 100$ ,  $r_x = 50 \text{ }\Omega$ ,  $C_{\pi} = 50 \text{ pF}$ ,  $C_{\mu} = 3 \text{ pF}$  می‌باشند.





شکل ۳-۸ پاسخ فرکانس بالای تقویت کننده مثال (۳-۱) از طریق spice

الف) بهره باند میانی مدار چقدر است؟

ب) پهنای باند تقویت کننده را به روش ثابت زمانی محاسبه کنید.

ج) نتایج حاصل را با محاسبات دقیق از طریق برنامه spice مقایسه کنید.

سایر پامترهای مورد نیاز  $g_m = \frac{I_C}{V_T} = 100 \text{ mS}$ ,  $r_\pi = 1 \text{ k}\Omega$  می باشند.

الف) بهره باند میانی با توجه به رابطه (۳-۲۷) ب)

$$A_0 = \frac{100 \times 1.5}{0.6 + 0.05 + 1} \frac{100 \times 0.6}{0.05 + 1 + 1.5} = +2139$$

ب) ثابت زمانهای مدار باز با توجه به روابط (۳-۲۸) الی (۳-۳۱):

$$C_{\pi 1}: R_{10} = (0.6 + 0.05) \parallel 1 \text{ k}\Omega = 0.394 \text{ k}\Omega$$

$$C_{\mu 1}: R_{eq} = (0.05 + 1) \parallel 1.5 = 0.617 \text{ k}\Omega \Rightarrow \tau_{10} = C_{\pi 1} R_{10} = 19.697 \text{ (ns)}^{-1}$$

$$R_{T0} = 0.394 + (1 + 100 \times 0.394) 0.617 = 25.32 \text{ k}\Omega \Rightarrow \tau_{T0} = C_{\mu 1} R_{T0} = 75.962 \text{ (ns)}^{-1}$$

$$C_{\pi 2}: R_{T0} = (1.5 + 0.05) \parallel 1 = 0.607 \text{ k}\Omega \Rightarrow \tau_{T0} = C_{\pi 2} R_{T0} = 30.392 \text{ (ns)}^{-1}$$

$$R_{T0} = 0.607 + (1 + 100 \times 0.607) 0.6 = 37.62 \text{ k}\Omega \Rightarrow \tau_{T0} = C_{\mu 2} R_{T0} = 112.881 \text{ (ns)}^{-1}$$

مجموع ثابت زمانی ها  $238.932 \text{ (ns)}^{-1}$  و بنابراین فرکانس قطع بالای تقویت کننده:

$$\omega_H = 4.185 \text{ Mrad/s} \Rightarrow f_H = 666 \text{ kHz}$$

بدست می آید.

ج) شکل (۳-۸) پاسخ فرکانس بالای این مدار که از طریق برنامه کامپیوتری spice بررسی شده است را



نشان می‌دهد. بهره و لثاژ مدار و پهنای باند به ترتیب  $214^\circ$  و  $f_H = 717 \text{ KHz}$  بدست آمده‌اند. مقایسه نتایج نشان می‌دهد روش ثابت زمانی با خطای  $6\%$  تقریب بسیار خوبی از فرکانس قطع بالای مدار را مشخص می‌کند. نکته مهم از محاسبات روش ثابت زمانی آن است که بیشترین ثابت زمانی مربوط به خازنهای  $C_{\mu 1}$  است که منطبق بر نتایج فصل دوم نیز می‌باشد. علاوه بر آن ثابت زمانی خازن  $C_{\mu 2}$  بیشترین مقدار است. بنابراین برای افزایش پهنای باند این مدار لازم است تغییراتی در اطراف این خازن بکاربرد. بعنوان مثال ترانزیستوری با  $C_{\mu}$  کمتر و یا مقاومت بار  $R_{L2}$  کوچکتر (کاهش بهره) پهنای باند مدار را افزایش می‌دهد.

### مثال ۲-۳

مشخصات هر یک از طبقات تقویت‌کننده مثال (۱-۳) را بدست آورده و با مشخصات (بهره و فرکانس قطع  $3 \text{ dB}$  بالا) تقویت‌کننده دو طبقه مقایسه کنید. برای هر طبقه فرض کنید  $R_S = 600 \Omega$  است.

الف)  $T_1$  تقویت‌کننده امیتر مشترک با  $R_L = 1.5 \text{ k}\Omega$ ،  $R_S = 600 \Omega$  است. با استفاده از روش ثابت زمانی و با ترانزیستور بکار رفته در مثال (۱-۳):

$$C_{\pi 1} : R_{10} = (R_S + r_{x1}) \parallel r_{\pi 1} = 0.394 \text{ k}\Omega \Rightarrow \tau_{10} = C_{\pi 1} R_{10} = 19.697 \text{ ns}$$

$$C_{\mu 1} : R_{20} = R_{10} + (1 + g_m R_{10}) R_{L1} = 60.994 \text{ k}\Omega \Rightarrow \tau_{20} = C_{\mu 1} R_{20} = 182.98 \text{ ns}$$

مجموع ثابت زمانیها  $199.68 \text{ (ns)}^{-1}$  و فرکانس قطع بالای تقویت‌کننده طبقه اول:

$$\omega_H = 4.933 \text{ Mrad/s} \Rightarrow f_H = 785 \text{ kHz}$$

است. هم‌چنین بهره طبقه اول  $90.9$  می‌باشد. در مقایسه با تقویت‌کننده دو طبقه مقدار ثابت زمانی  $\tau_{20}$  افزایش زیادی یافته است. در طبقه اول بعلاوه اثر بارگذاری طبقه دوم مقدار ثابت زمانی خازن  $C_{\mu 1}$  در تقویت‌کننده دو طبقه کمتر می‌باشد.

ب)  $T_2$  در این طبقه  $R_{L1} = R_S = 0.6 \text{ k}\Omega$  است و ثابت زمانی‌ها:

$$\tau_{10} = 19.697 \text{ ns} \quad \text{و} \quad \tau_{20} = 73.902 \text{ ns}$$

مجموع ثابت زمانی‌ها  $93.599 \text{ (ns)}^{-1}$  و فرکانس قطع بالای این طبقه  $f_H = 1.7 \text{ MHz}$  با بهره  $36.363$  است. مقایسه نتایج در مورد دو طبقه نشان می‌دهد:

- بهره طبقه دوم (با  $R_S$  مشابه) کمتر از بهره طبقه اول و در عین حال پهنای باند آن نیز بیشتر است.
- مقایسه هر یک از طبقات با تقویت‌کننده دو طبقه نشان می‌دهد اولاً بهره کل زیاد شده و ثانیاً هر یک از طبقات که دارای قطبهای موثری حوالی  $755 \text{ kHz}$  و  $1.7 \text{ MHz}$  هستند، اتصال سری آنها سبب می‌شود که مجموعه دارای قطب موثری حوالی  $666 \text{ kHz}$  باشد. می‌توان گفت که اتصال دو طبقه باعث شده است که یکی از قطبها به محور  $j\omega$  نزدیک‌تر شده پهنای باند را تعیین می‌کند و قطب دیگر (مربوط به طبقه دوم) از محور  $j\omega$  دور شود. این مسئله بنام جدا شدن قطبها (pole splitting) نامیده شده و در تقویت‌کننده‌های عملیاتی از این روش برای جبران پاسخ فرکانس استفاده می‌شود.



### ۳-۶ تقویت‌کننده کاسکود Cascode

شکل (۳-۹) تقویت‌کننده دو طبقه بنام کاسکود (Cascode) بدون عناصر بایاس را نشان می‌دهد. در این مدار  $T_1$  بصورت امیتر مشترک که بار آن  $T_2$  یک تقویت‌کننده بیس مشترک با پهنای باند زیاد و مقاومت ورودی کم است.

در این بخش ابتدا مدار معادل باند میانی این تقویت‌کننده را در نظر گرفته و بهره باند میانی آن محاسبه می‌شود. سپس مدار معادل فرکانس بالا به روش ثابت زمانی بررسی و  $\omega_{H1}$  محاسبه می‌شود. در انتها با اضافه کردن مدار مناسب بایاس محاسبات نقطه کار و فرکانس قطع پایین نیز انجام می‌شود.

#### ۳-۶-۱ بهره باند میانی

شکل (۳-۱۰) مدار معادل باند میانی تقویت‌کننده کاسکود را نشان می‌دهد. بهره باند میانی این مدار حاصل ضرب ۳ نسبت از رابطه (۳-۳۳):

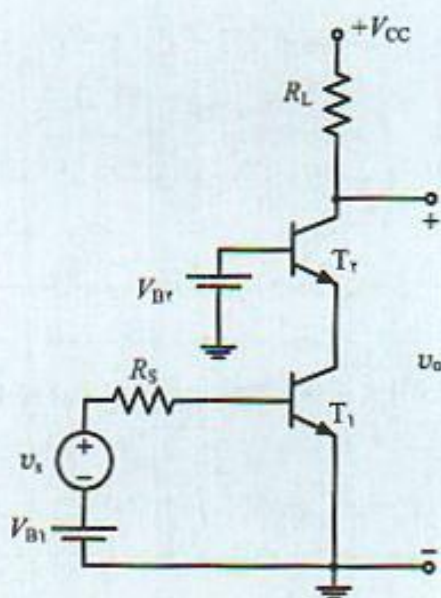
$$A_o = \frac{v_o}{v_i} = \frac{v_o}{v_b} \frac{v_b}{v_i} \quad (3-33)$$

بدست می‌آید. عبارت ولتاژ خروجی بصورت

$$v_o = -g_{m2} R_L v_r$$

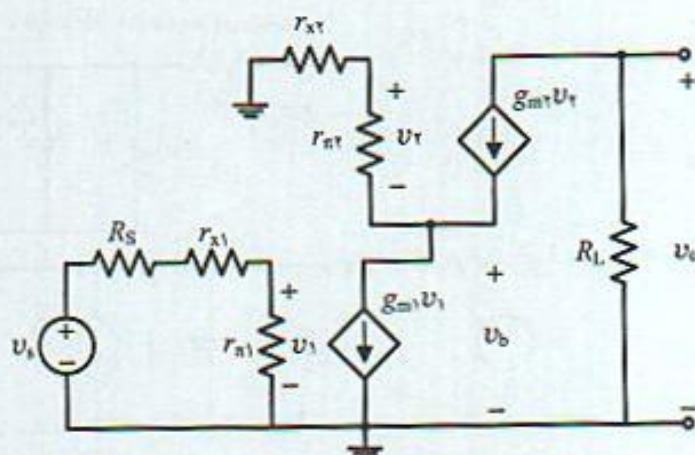
است و  $v_r$  بر حسب  $v_b$  از تقسیم ولتاژ  $v_b$  بین دو مقاومت  $r_{\pi 2}$  و  $r_{x2}$  بدست می‌آید. بنابراین:

$$v_r = -\frac{r_{\pi 2}}{r_{x2} + r_{\pi 2}} v_b \Rightarrow \frac{v_o}{v_b} = -\frac{\beta_2 R_L}{r_{x2} + r_{\pi 2}} \quad (3-34)$$



شکل ۳-۹ تقویت‌کننده کاسکود





شکل ۳-۱۰ مدار معادل باند میانی تقویت‌کننده کاسکود

نسبت بهره تقویت‌کننده امیتر مشترک  $T_1$  است که در آن مقاومت بار  $R_{L1}$  مقاومت ورودی تقویت‌کننده بیس مشترک است. بنابراین:

$$\frac{v_o}{v_i} = - \frac{\beta_1 R_{L1}}{R_S + r_{x1} + r_{\pi 1}} = - \frac{\beta_1 (r_{x2} + r_{\pi 2})}{(R_S + r_{x1} + r_{\pi 1})(1 + \beta_2)} \quad (35-3)$$

در رابطه (۳۵-۳) مقاومت بار طبقه اول از رابطه (۳۶-۳) استفاده شده است.

$$R_{L1} = \frac{r_{x2} + r_{\pi 2}}{1 + \beta_2} \quad (36-3)$$

با استفاده از روابط (۳۵-۳) و (۳۶-۳) بهره باند میانی مدار:

$$A_o = - \frac{\beta_1 \beta_2 R_L}{(R_S + r_{x1} + r_{\pi 1})(1 + \beta_2)} \quad (37-3)$$

با تقریبات قابل قبول رابطه (۳۷-۳) را می‌توان بصورت (۳۸-۳) ساده نمود.

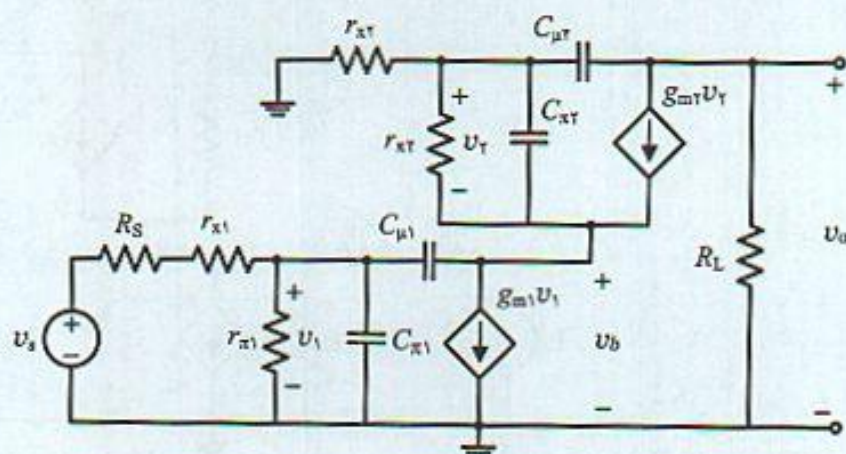
$$A_o \approx - \frac{\beta_1 R_L}{R_S + r_{x1} + r_{\pi 1}} \quad (38-3)$$

رابطه (۳۸-۳) نشان می‌دهد بهره باند میانی تقویت‌کننده کاسکود مساوی بهره یک تقویت‌کننده امیتر مشترک با همان مشخصات و مقاومت بار  $R_L$  یکسان و  $A_o$  مستقل از پارامترهای ترانزیستور  $T_2$  می‌باشد.

### ۳-۶-۲ محاسبات فرکانس بالا

شکل (۱۱-۳) مدار معادل فرکانس بالای تقویت‌کننده کاسکود را نشان می‌دهد که شامل چهار عنصر ذخیره‌کننده انرژی است و به هر یک می‌توان ولتاژ مستقلی اختصاص داد. بنابراین تابع انتقال مدار شامل ۴ قطب است. با توجه به اینکه در باند میانی دارای بهره محدودی است فاکتوری به صورت  $s$  در صورت تابع





شکل ۳-۱۱ مدار معادل فرکانس بالای تقویت کننده کاسکود

انتقال وجود ندارد. علاوه بر آن برای فرکانس های بالا که تمام خازن ها اتصال کوتاه می شوند تنها  $C_{\pi 1}$  سبب می شود بهره مدار صفر شود، یعنی وقتی  $s \rightarrow \infty$ ،  $H_{II}(s) \rightarrow \frac{1}{s}$  و این به معنی آن است که تعداد صفرهای تابع انتقال یکی کمتر از تعداد قطبها و در حالت کلی تابع انتقال فرکانس بالای مدار رابطه (۳-۳۹) می باشد.

$$H_L(s) = A_0 \frac{\left(1 + \frac{s}{z_1}\right) \left(1 + \frac{s}{z_2}\right) \left(1 + \frac{s}{z_3}\right)}{\left(1 + \frac{s}{p_1}\right) \left(1 + \frac{s}{p_2}\right) \left(1 + \frac{s}{p_3}\right) \left(1 + \frac{s}{p_4}\right)} \quad (3-39)$$

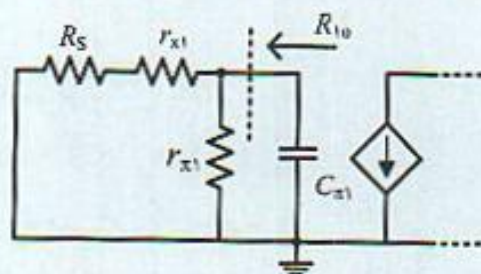
برای مشخص شدن صفرها و قطب ها لازم است مجموعه معادلات برای مدار نوشته شده (معادلات KCL برای چهار گره) و با حل دستگاه معادلات تابع انتقال  $\frac{V_o}{V_s}$  مشخص شود و از آنجا پاسخ فرکانس مدار معین شود. ادامه محاسبات بعلت وجود پارامترهای مختلف مشکل و نیاز به مثال عددی و محاسبات کامپیوتری است. بر این اساس برای محاسبه پهنای باند از روش ثابت زمانی مدار باز استفاده می شود.

### ۳-۶-۳ روش ثابت زمانی مدار باز در محاسبه فرکانس قطع بالا

برای محاسبه پهنای باند به روش ثابت زمانی مقدار مقاومت مدار باز هر خازن در حالیکه سایر خازن ها اتصال باز هستند مشخص می شود.

$C_{\pi 1}$  مقاومتی که خازن  $C_{\pi 1}$  مشاهده می کند  $R_{10}$  است و از مدار معادل شکل (۳-۱۲) بدست می آید.

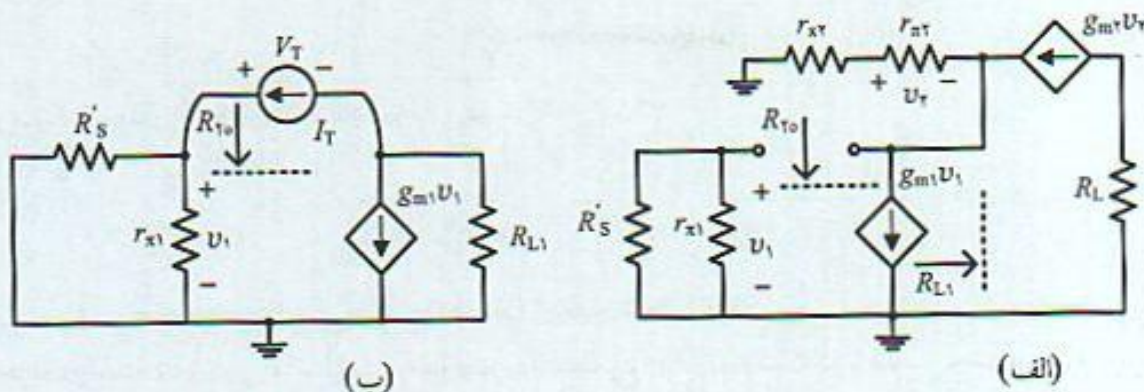
$$R_{10} = (R_S + r_{\pi 1}) \parallel r_{\pi 1} \Rightarrow \tau_{10} = C_{\pi 1} R_{10} \quad (3-40)$$



شکل ۳-۱۲ مدار معادل برای

محاسبه مقاومت  $R_{10}$  دو سر خازن  $C_{\pi 1}$





شکل ۱۳-۳ (الف) مدار معادل برای محاسبه مقاومت  $R_{TO}$  دو سر خازن  $C_{\mu 1}$ ، (ب) مدار ساده شده

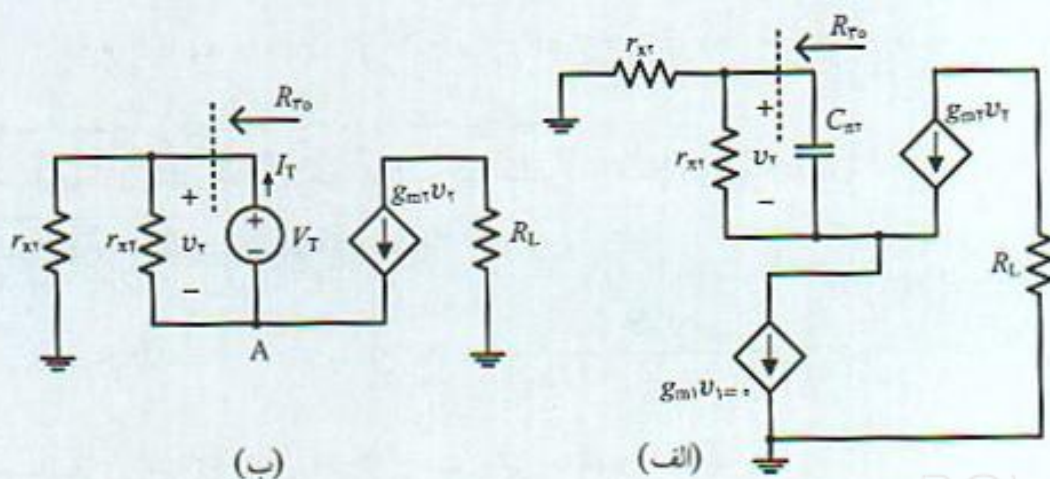
$C_{\mu 1}$  مقاومت مدار باز خازن از مدار معادل شکل (۱۳-۳ الف) محاسبه می‌شود. در این مدار  $R_{10}$ ، مقاومت ورودی ترانزیستور بیس مشترک از رابطه (۳۶-۳) بدست می‌آید. شکل (۱۳-۳ ب) مدار ساده شده برای محاسبه این مقاومت را نشان می‌دهد. با استفاده از مطالب بخش قبل در محاسبه مقاومت دو سر خازن  $C_{\mu 1}$ ، بنابراین:

$$R_{TO} = R_{10} + (1 + g_{m1} R_{10}) R_{L1}, \quad R_{L1} = \frac{r_{xt} + r_{\pi 1}}{1 + \beta_T} \quad (41-3)$$

و ثابت زمانی این خازن از رابطه (۴۲-۳) بدست می‌آید.

$$\tau_{TO} = C_{\mu 1} R_{TO} \quad (42-3)$$

$C_{\pi 2}$  مقاومت مدار باز دو سر خازن  $C_{\pi 2}$  است که از مدار معادل شکل (۱۴-۳ الف) محاسبه می‌شود. چون منبع ورودی  $v_i = 0$  است در نتیجه منبع جریان  $g_{m1} v_i$  نیز صفر شده که به معنی اتصال باز آن است. با قرار دادن منبع آزمایشی ولتاژ  $V_T$  با جریان  $I_T$  بجای خازن  $C_{\pi 2}$  شکل ساده شده (۱۴-۳ ب) بدست می‌آید که  $R_{TO}$  نسبت ولتاژ  $V_T$  به جریان  $I_T$  است. با نوشتن رابطه KCL در گره A:



شکل ۱۴-۳ (الف) مدار معادل دو سر خازن  $C_{\pi 2}$ ، (ب) مدار ساده شده شکل (الف)



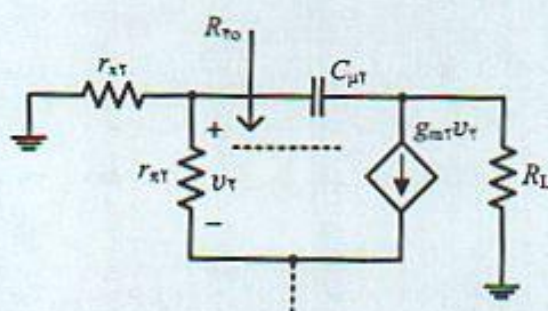
$$I_T = g_{m\pi} V_T + g_{m\tau} V_T$$

و بنابراین مقدار این مقاومت و ثابت زمانی دو سر خازن  $C_{\pi\tau}$ :

$$R_{\tau o} = \frac{V_T}{I_T} = \frac{1}{g_{m1} + g_{m\tau}} = r_{\pi\tau} \parallel \frac{1}{g_{m\tau}} \Rightarrow \tau_{\tau o} = C_{\pi\tau} R_{\tau o} \quad (43-3)$$

$C_{\mu\tau}$  مقاومت  $R_{\tau o}$  مربوط به خازن  $C_{\mu\tau}$  از مدار شکل (۳-۱۵) بدست می آید. چون مقاومت منبع جریان وابسته  $g_{m\tau} v_T$  به نهایت است، مقاومت  $R_{\tau o}$  مجموع  $R_L$  و  $r_{x\tau}$  است که با هم سری شده اند. بنابراین:

$$R_{\tau o} = R_L + r_{x\tau} \Rightarrow \tau_{\tau o} = C_{\mu\tau} R_{\tau o} \quad (44-3)$$



شکل ۳-۱۵ محاسبه مقاومت  $R_{\tau o}$

و فرکانس قطع ۳ dB بالای تقویت کننده از رابطه (۳-۴۵) بدست می آید.

$$\omega_H = \frac{1}{\tau_{1o} + \tau_{1\tau} + \tau_{\tau o} + \tau_{\tau\tau}} \quad (45-3)$$

### مثال ۳-۳

در تقویت کننده کاسکود با ترانزیستورهای مشابه با مشخصات داد شده زیر و در نقطه کار

$$V_{CEQ} = 8 \text{ V}, I_{CQ} = 2.5 \text{ mA}$$

$$r_x = 50 \, \Omega, \beta_o = 100, C_\mu = 3 \text{ pF}, C_\pi = 50 \text{ pF}, R_L = R_S = 600 \, \Omega$$

الف) بهره باند میانی و پهنای باند مدار را مشخص کنید.

ب) مقدار بهره و پهنای باند را با تقویت کننده امیتر مشترک با همان مشخصات مقایسه کنید.

الف) بهره باند میانی با استفاده از رابطه (۳-۳۷)

$$A_o = - \frac{100 \times 0.6 \text{ k}\Omega}{(0.6 + 0.05 + 1) \text{ k}\Omega} = -36.363$$

و با استفاده از روابط (۳-۴۰) الی (۳-۴۴) ثابت زمانی خازنهای مختلف:

$$C_{\pi 1} : R_{1o} = (0.6 + 0.05) \parallel 1 \text{ k}\Omega = 0.393 \text{ k}\Omega \Rightarrow \tau_{1o} = C_{\pi 1} R_{1o} = 19.697 \text{ ns}$$



$$C_{\mu 1} : R_{L1} = \frac{r_{x1} + r_{\pi 2}}{1 + \beta_T} = 10,4 \, \Omega$$

$$R_{T0} = 0,393 \, k\Omega + (1 + 100 \times 0,393) 10,4 \, \Omega = 0,812 \, k\Omega \Rightarrow \tau_{T0} = C_{\mu 1} R_{T0} = 2,236 \, ns$$

$$C_{\pi 2} : R_{T0} = 1 \, k\Omega \parallel (10 \, \Omega) = 9,9 \, \Omega \Rightarrow \tau_{T0} = C_{\pi 2} R_{T0} = 0,495 \, ns$$

$$C_{\mu 2} : R_{T0} = 1 \, k\Omega + 0,05 \, k\Omega = 1,05 \, k\Omega \Rightarrow \tau_{T0} = C_{\mu 2} R_{T0} = 3,15 \, ns$$

مجموع ثابت زمانهای مدار ۲۵,۷۸۸ ns و فرکانس قطع بالای تقویت‌کننده:

$$\omega_H = 0,0387 \, Grad/s, \quad \omega_H = 28,7 \, Mrad/s \Rightarrow f_H = 6,17 \, MHz$$

است.

ب) چنانچه محاسبات ثابت زمانی برای تقویت‌کننده امپتر مشترک با  $R_L = R_S = 600 \, \Omega$  و همان مشخصات انجام شود، ملاحظه می‌شود بهره باند میانی ۳۶,۳۶۳- که با تقویت‌کننده Cascode یکسان و ثابت زمانهای مربوط به دو خازن تقویت‌کننده امپتر مشترک:

$$C_{\pi 1} : \tau_{10} = 19,647 \, ns, \quad C_{\mu 1} : \tau_{10} = 73,902 \, ns$$

مجموع ثابت زمانهای مدار ۹۳,۵۴۹ ns و فرکانس قطع بالای تقویت‌کننده امپتر مشترک  $f_H = 1,7 \, MHz$  بدست می‌آید.

ملاحظه می‌شود بهره باند میانی دو تقویت‌کننده یکسان اما ثابت زمانی خازن  $C_{\mu 1}$  در تقویت‌کننده کاسکود بنحو قابل ملاحظه‌ای کاهش یافته و در واقع بهمین علت پهنای باند مدار به میزان زیادی افزایش داشته است. با توجه به اینکه عنصر  $T_1$  طبقه امپتر مشترک با مقاومت بار کم  $R_L = 10,4 \, \Omega$  است بهره آن خیلی کم و خازن اثر میلر آن مقدار کمی خواهد شد. در اینصورت قطب حاصل از آن نیز در فاصله بسیار دوری از محور  $j\omega$  قرار گرفته و اثر مهمی بر پهنای باند تقویت‌کننده کاسکود ندارد.

### مثال ۴-۳

الف) عامل محدودیت پهنای باند تقویت‌کننده کاسکود مثال (۳-۳) چیست؟

ب) در مورد نقش ترانزیستورهای  $T_1$  و  $T_2$  توضیح دهید.

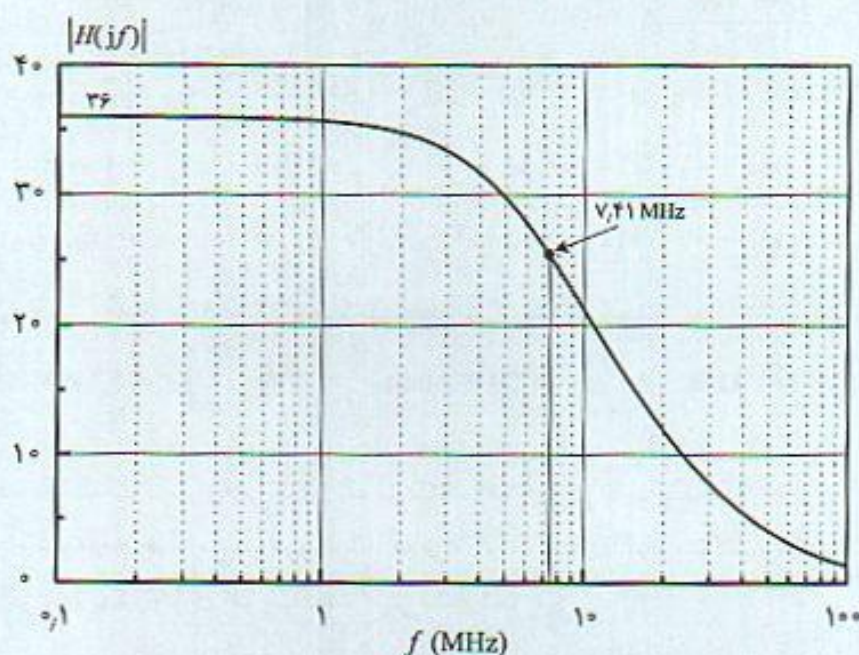
ج) مثال (۳-۳) را از طریق نرم‌افزار spice حل و نتایج حاصل را مقایسه کنید.

د) چه روشی برای افزایش هر چه بیشتر پهنای باند (با همان بهره) برای مدار پیشنهاد می‌کنید.

الف) محاسبات ثابت زمانی نشان می‌دهد بیشترین ثابت زمانی مربوط به خازن  $C_{\pi 1}$  است و مقادیر مقاومت‌های  $R_S$ ،  $r_{x1}$  و  $r_{\pi 1}$  در این ثابت زمانی موثرند. کاهش هر کدام از این مقادیر پهنای باند را زیادتر خواهد نمود. در حالیکه سایر خازنها خصوصاً  $C_{\mu 2}$  و  $C_{\pi 2}$  (مربوط به ترانزیستور  $T_2$ ) تاثیر زیادی بر پهنای باند مدار ندارد.

ب)  $T_1$  تقویت‌کننده امپتر مشترک با بهره کم و  $T_2$  تقویت‌کننده بیس مشترک با پهنای باند زیاد و بهره زیاد است. در واقع تقویت‌کننده اصلی در این مدار ترانزیستور  $T_2$  است و  $T_1$  بعنوان جداکننده مقاومت منبع  $R_S$  از تقویت‌کننده اصلی (بیس مشترک) بکار رفته است.





شکل ۳-۱۶ پاسخ فرکانس بالای تقویت‌کننده کاسکود مثال (۳-۳) از نرم‌افزار spice

ج) شکل (۳-۱۶) پاسخ فرکانس تقویت‌کننده مثال (۳-۳) که از طریق نرم‌افزار spice بدست آمده است را نشان می‌دهد و در آن  $f_H = 7.41$  MHz اندازه‌گیری شده است. در مقایسه با مقدار تقریبی ۶.۱۷ MHz به روش ثابت زمانی، می‌توان نتیجه گرفت روش ثابت زمانی با تقریب نسبتاً خوب برآورد کمتری از فرکانس قطع بالا را مشخص می‌کند.

د) مناسبترین روش برای افزایش پهنای باند از جدول (۳-۲) که در آن تغییرات  $f_H$  بر حسب ۲ مقدار خازنهای  $C_{\pi 1}$  و  $C_{\pi 2}$  دو ترانزیستور ارائه شده مشخص می‌شود. نتایج این جدول مربوط به بررسی دقیق مدار از نرم‌افزار spice است. این جدول نشان می‌دهد با نصف شدن خازن  $C_{\pi 1}$  پهنای باند تقریباً ۲ برابر می‌شود. اما چنانچه خازن  $C_{\pi 2}$  نصف شود تغییر قابل ملاحظه‌ای در پهنای باند مدار بدست نمی‌آید. در نتیجه بهترین روش برای افزایش پهنای باند مدار انتخاب ترانزیستور  $T_1$  با  $C_{\pi 1}$  کمتر و یا  $f_T$  بالاتر است.  $f_T$  ترانزیستور  $T_2$  تاثیر عمده‌ای بر پهنای باند تقویت‌کننده ندارد.

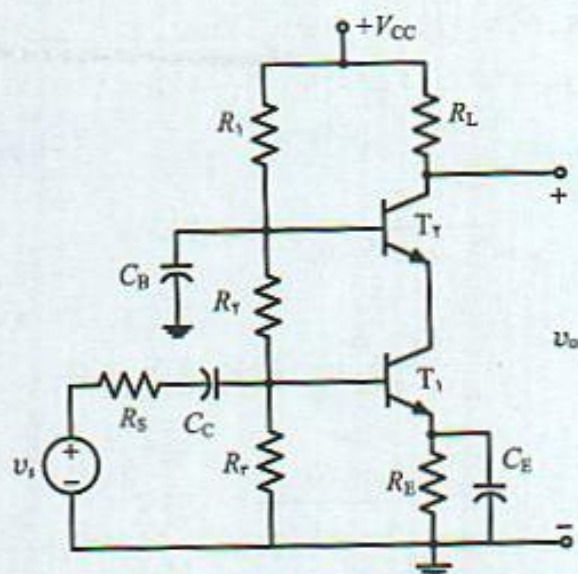
جدول ۳-۲ فرکانس قطع بالای تقویت‌کننده کاسکود بر حسب مقادیر مختلف  $C_{\pi 1}$  و  $C_{\pi 2}$

	$C_{\pi 1} = 50$ pF	$C_{\pi 1} = 25$ pF	$C_{\pi 1} = 50$ pF
	$C_{\pi 2} = 50$ pF	$C_{\pi 2} = 50$ pF	$C_{\pi 2} = 25$ pF
$f_H$	7.41 MHz	13.56 MHz	7.51 MHz

### ۳-۶-۴ محاسبات مدار بایاس تقویت‌کننده کاسکود

شکل (۳-۱۷) تقویت‌کننده کامل کاسکود شامل عناصر بایاس با استفاده از مقسم ولتاژ را نشان می‌دهد.





شکل ۱۷-۳ مدار کامل تقویت‌کننده کاسکود

خازن  $C_B$  برای اتصال کوتاه شدن بیس  $T_2$  در باند میانی بکار رفته است. از نقطه نظر پایداری حرارتی نقطه کار، این مدار نسبت به مدار امیتر مشترک با مقاومت امیتر پایدارتر است. چون علاوه بر مقاومت امیتر که باعث پایداری نقطه کار می‌شود جریان بیس ترانزیستورها از مقاومت بایاس  $R_1$  می‌گذرد و اگر در اثر عواملی (مانند حرارت یا تغییر  $\beta$ )  $I_{CQ}$  و در نتیجه  $I_B$  زیاد شوند، در اینصورت ولتاژ بیس  $T_2$  نیز افزایش یافته و جریان مقاومت  $R_1$  کاهش می‌یابد که خود باعث کاهش جریان بیس  $I_B$  و پایداری حرارتی بیشتر نقطه کار می‌شود. مثال (۵-۳) روش طرح مدار بایاس و نکات مهم آنرا نشان می‌دهد.

### مثال ۵-۳

با فرض  $V_{CEQ} = 8\text{ V}$ ،  $I_{CQ} = 2.5\text{ mA}$  و مشخصات ترانزیستور مثال (۲-۳)، عناصر مناسب بایاس تقویت‌کننده کاسکود را محاسبه و نکات مهم طراحی را ذکر کنید.

با انتخاب ولتاژ امیتر  $3\text{ V}$ ، برای نقطه کار  $I_{CQ} = 2.5\text{ mA}$  مقدار مقاومت امیتر:

$$R_E = \frac{3}{2.5\text{ mA}} = 1.2\text{ k}\Omega$$

و در نتیجه ولتاژ بیس ترانزیستور  $T_1$ ،  $V_{B1} = 3.7\text{ V}$  است.

با توجه به بهره کم ترانزیستور  $T_1$ ، تغییرات ولتاژ (voltage swing) کلکتور آن مقدار کمی است و در نتیجه می‌توان  $V_{CEQ1}$  را کم انتخاب نمود. کم شدن این ولتاژ سبب افزایش  $C_{\mu 1}$  می‌شود و ممکن است باعث کاهش  $f_H$  شود. اما با توجه به اینکه ثابت زمانی خازن  $C_{\mu 1}$  مقدار کمی است این خازن تاثیر عمده‌ای بر پهنای باند ندارد. برای مثال با انتخاب مقدار  $2\text{ V}$  برای این ولتاژ مقادیر سایر ولتاژها به شرح زیر است.

$$V_{CEQ1} = 2\text{ V} \Rightarrow V_{EQ2} = 5\text{ V} \Rightarrow V_{BQ2} = 5.7\text{ V}$$

با انتخاب  $V_{CC} = +15\text{ V}$  و با توجه به  $R_L = 600\text{ }\Omega$  و ولتاژهای انتخاب شده، مقدار  $V_{CEQ2} = 8.5\text{ V}$  می‌شود. این ولتاژ نقطه کار برای  $T_2$  تغییرات ولتاژ مناسبی در خروجی فراهم می‌آورد.



با صرف نظر از جریان بیس  $T_2$  مقاومتی که بیس  $T_1$  مشاهده می کند  $R_b = R_T \parallel (R_1 + R_T)$  است و برای پایداری حرارتی نقطه کار لازم است مقدار آن  $R_b = \frac{1}{10} \beta_0 R_E = 12 \text{ k}\Omega$  انتخاب شود. با توجه به ولتاژهای بیس  $T_1$  و  $T_2$  می توان ۳ رابطه با ۳ مجهول بصورت:

$$\frac{R_T}{R_1 + R_T + R_T} 15 = 3.7 \text{ V}$$

$$\frac{R_T + R_T}{R_1 + R_T + R_T} 15 = 5.7 \text{ V}$$

$$R_T \frac{R_1 + R_T}{R_1 + R_T + R_T} = 12 \text{ k}\Omega$$

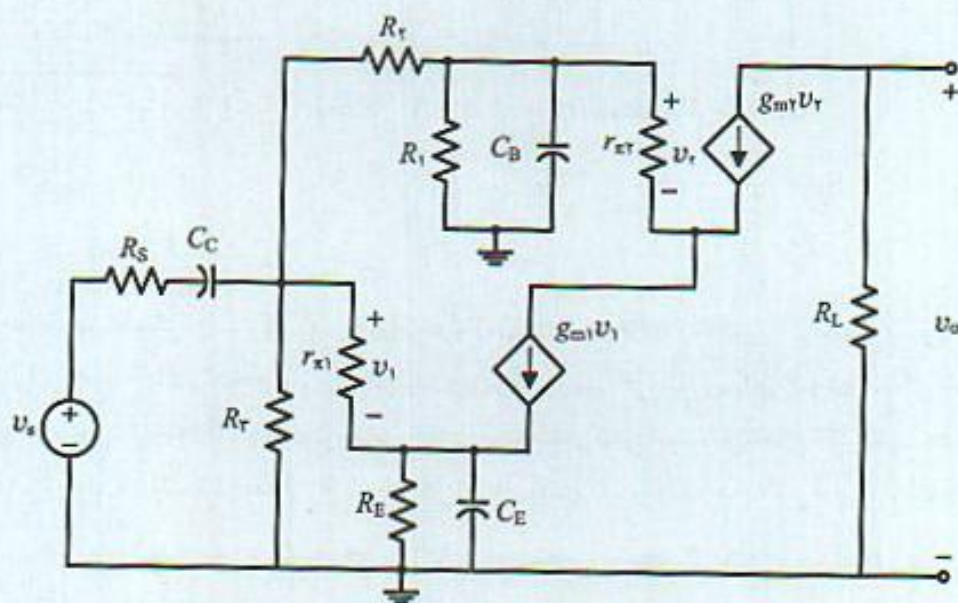
نوشت. با حل دستگاه معادلات مقادیر مقاومتها:

$$R_1 = 40 \text{ k}\Omega, \quad R_T = 8.6 \text{ k}\Omega, \quad R_T = 15.93 \text{ k}\Omega$$

بدست می آیند و نزدیک ترین مقاومت های استاندارد به مقادیر فوق و به ترتیب  $15 \text{ k}\Omega$  و  $8.6 \text{ k}\Omega$  و  $39 \text{ k}\Omega$  انتخاب می شوند.

### ۵-۶-۳ انتخاب خازن کوپلاژ و بای پس در تقویت کننده کاسکود

برای بررسی پاسخ فرکانس پایین تقویت کننده از مدار معادل شکل (۳-۱۸) استفاده شده و خازنهای بای پس و کوپلاژ محاسبه می شوند.



شکل ۳-۱۸ مدار معادل فرکانس پایین تقویت کننده کاسکود



مدار معادل فرکانس پایین دارای ۳ خازن است و تابع انتقال آن ۳ قطبی است. خازن  $C_C$  سبب می‌شود یک صفر در مبدا و در  $s = 0$  وجود داشته باشد و با توجه به اینکه بهره باند میانی مقدار ثابتی است صورت کلی تابع انتقال فرکانس پایین:

$$H_L(s) = A_0 \frac{s(s+z_1)(s+z_2)}{(s+p_1)(s+p_2)(s+p_3)} \quad (46-3)$$

با توجه به اینکه تعیین محل صفر و قطب مدار ساده نیست از روش ثابت زمانی اتصال کوتاه برای محاسبات فرکانس پایین استفاده می‌شود. مثال (۶-۳) روش طراحی این خازنها را برای  $\omega_L$  خاص معرفی می‌کند. در مدار معادل فرکانس پایین و محاسبات مربوط برای سادگی از مقاومت  $r_x$  صرف‌نظر شده است.

### مثال ۶-۳

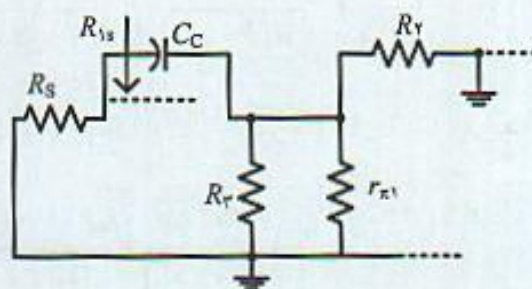
در تقویت‌کننده کامل کاسکود شکل (۱۷-۳) و با مقاومت‌های بایاس انتخاب شده در مثال (۵-۳) خازنهای کوپلاژ و بای‌پس را برای  $f_L = 100 \text{ Hz}$  محاسبه کنید. مشخصات ترانزیستورها:

$$r_x \approx 0, r_{\pi} = 1 \text{ k}\Omega, \beta_0 = 100, g_m = 100 \text{ m}\Omega^{-1}, R_L = R_S = 600 \Omega$$

می‌باشند.

با استفاده از روش ثابت زمانی اتصال کوتاه مقاومت اتصال کوتاه دو سر هر خازن محاسبه می‌شود. شکل (۱۹-۳) مدار معادل اطراف خازن  $C_C$  را نشان می‌دهد. از این مدار واضح است:

$$R_{1s} = R_S + [R_T \parallel R_T \parallel (r_x + r_{\pi})] = 1.48 \text{ k}\Omega \Rightarrow \tau_{1s} = 1.48 (\text{k}\Omega) C_C \quad (47-3)$$



شکل ۱۹-۳ محاسبه مقاومت اتصال کوتاه دو سر خازن  $C_C$

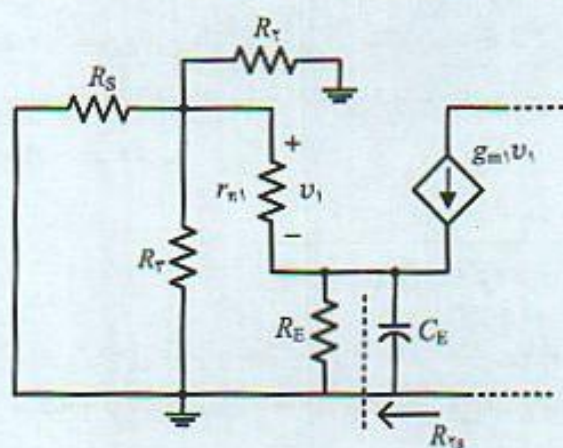
شکل (۲۰-۳) مدار معادل اطراف این خازن را نشان می‌دهد که مقاومت دیده شده دو سر آن

$$R_{Ts} = \frac{R_S \parallel R_T \parallel R_T + r_{\pi}}{1 + \beta_1} \parallel R_E = 15.75 \Omega \parallel 1.2 \text{ k}\Omega \approx 15.7 \Omega$$

و ثابت زمانی اتصال کوتاه این خازن از رابطه (۴۸-۳) بدست می‌آید.

$$\tau_{Ts} = 15.7 (\Omega) C_E \quad (48-3)$$





شکل ۳-۲۰ مدار معادل برای محاسبه مقاومت اتصال کوتاه دو سر خازن  $C_E$

شکل (۳-۲۱) مدار معادل اطراف خازن  $C_B$  برای محاسبه  $R_{T8}$  را نشان می‌دهد. در این مدار از منبع ولتاژ  $V_T$  استفاده شده با محاسبه جریان آن،  $R_{T8}$  تعیین می‌شود. با نوشتن رابطه KCL در گره A:

$$I_T = \frac{V_T}{R_1} + \frac{V_T}{R_T + R_{eq}} + I_{B_T}$$

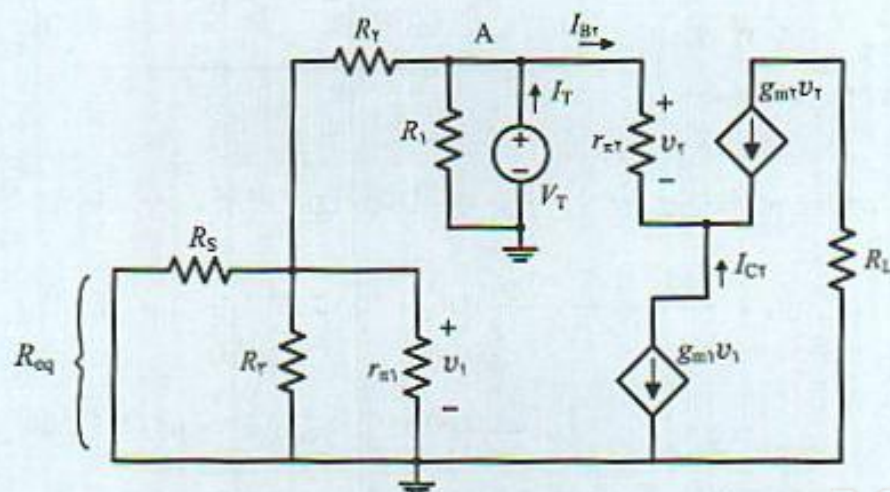
$I_{B_T}$  جریان بیس ترانزیستور  $T_T$  است که مساوی  $\frac{I_{C_T}}{1 + \beta_T}$  است و بنابراین:

$$I_{B_T} = \frac{I_{C_T}}{1 + \beta_T} = \frac{g_{m1} R_{eq}}{(1 + \beta_T)(R_{eq} + R_T)} V_T$$

در نتیجه:

$$I_T = \frac{V_T}{R_1} + \frac{V_T}{R_{eq} + R_T} + \frac{g_{m1} R_{eq}}{(1 + \beta_T)(R_{eq} + R_T)} V_T$$

در روابط فوق  $R_{eq} = R_S \parallel R_T \parallel r_{\pi}$  است. بنابراین هدایت دو سر خازن  $C_B$  از رابطه (۳-۴۹)



شکل ۳-۲۱ مدار معادل برای محاسبه مقاومت اتصال کوتاه دو سر خازن  $C_B$



$$I_T = \frac{1}{R_1} + \frac{1}{R_{eq} + R_T} + \frac{g_{m1} R_{eq}}{(1 + \beta_T)(R_{eq} + R_T)} \quad (49-3)$$

بدست می‌آید. با قرار دادن مقادیر عددی داده شده:

$$R_{eq} = 0,6 \parallel 1 \text{ k}\Omega \parallel 15 \text{ k}\Omega = 0,365 \text{ k}\Omega$$

$$G_{TS} = 0,1779 \text{ m}\Omega^{-1}, \quad R_{TS} = 5,62 \text{ k}\Omega \Rightarrow \tau_{TS} = 5,62 \text{ (k}\Omega) C_B \quad (50-3)$$

فرکانس قطع پایین تقویت‌کننده مجموع عکس ثابت زمانها که با توجه به  $f_L$  داده شده رابطه (51-3) بدست می‌آید.

$$\omega_L = \sum \frac{1}{\tau_{js}} = \frac{1}{1,48 \text{ (k}\Omega) C_C} + \frac{1}{15,7 \text{ (}\Omega) C_E} + \frac{1}{5,62 \text{ (k}\Omega) C_B} = 628 \text{ rad/s} \quad (51-3)$$

رابطه (51-3) شامل ۳ مجهول  $C_C$ ,  $C_E$  و  $C_B$  است و روشهای مختلفی برای انتخاب این خازنها می‌توان بکار برد که به چند روش اشاره می‌شود.

الف) خازنها چنان انتخاب شوند که ثابت زمانی ۳ خازن با هم مساوی باشند. در نتیجه:

$$\tau_{1s} = \tau_{2s} = \tau_{3s} = \frac{3}{\omega_L} = 4,77 \times 10^{-3} \text{ s} \Rightarrow RC = 4,77 \times 10^{-3} \text{ s}$$

و مقادیر خازنهای مختلف:

$$1,48 \text{ k}\Omega C_C = 4,77 \times 10^{-3} \text{ s} \Rightarrow C_C = 3,22 \mu\text{F}$$

$$15,7 \Omega C_E = 4,77 \times 10^{-3} \text{ s} \Rightarrow C_E = 303 \mu\text{F}$$

$$5,62 \text{ k}\Omega C_B = 4,77 \times 10^{-3} \text{ s} \Rightarrow C_B = 0,84 \mu\text{F}$$

ب) در این روش دیگر خازنها مساوی است. پس لازم است:

$$\frac{\tau_{1s}}{R_{1s}} = \frac{\tau_{2s}}{R_{2s}} = \frac{\tau_{3s}}{R_{3s}}$$

$$\frac{1}{\tau_{1s}} + \frac{1}{\tau_{2s}} + \frac{1}{\tau_{3s}} = 4,77 \times 10^{-3} \text{ s}$$

از ۳ معادله و ۳ مجهول فوق خازنهای مدار بدست می‌آیند. محاسبات نشان می‌دهد خازنهای لازم  $13,52 \text{ F}$  است که مقدار بزرگ و غیر عملی است. بنابراین روش (ب) روش مناسبی در طرح مدار نیست.

ج) با انتخاب خازن  $C_E = 330 \mu\text{F}$ , ثابت زمانی مربوط به آن:

$$\tau_{TS} = R_{TS} C_E = 5,181 \times 10^{-2} \text{ s}$$

و با انتخاب  $\tau_{1s} = \tau_{3s}$ , در اینصورت ظرفیت خازنهای لازم در این روش طرح مدار:

$$C_C = 3,1 \mu\text{F}, \quad C_E = 330 \mu\text{F}, \quad C_B = 0,81 \mu\text{F}$$

بدست می‌آیند. مقایسه ۳ روش ذکر شده نشان می‌دهد روش (ج) مقادیر مناسبی را برای خازنها بدست



می‌آید. بر این اساس خازنهای استاندارد زیر قابل انتخاب هستند.

$$C_E = 330 \mu F, \quad C_B = C_{B'} = 3.3 \mu F$$

در انتخاب خازنهای بای پس لازم است کوچک بودن خازنها، کم حجم بودن آنها و هزینه تمام شده طرح را در نظر گرفت. پس از آن مدار طراحی شده را با محاسبات دقیق بررسی و مقدار  $\omega_L$  دقیق تعیین می‌شود. چنانچه مقدار بدست آمده با مقدار مورد نظر اختلاف زیادی دارد لازم است طرح را اصلاح و مقادیر جدیدی برای خازنها انتخاب نمود.

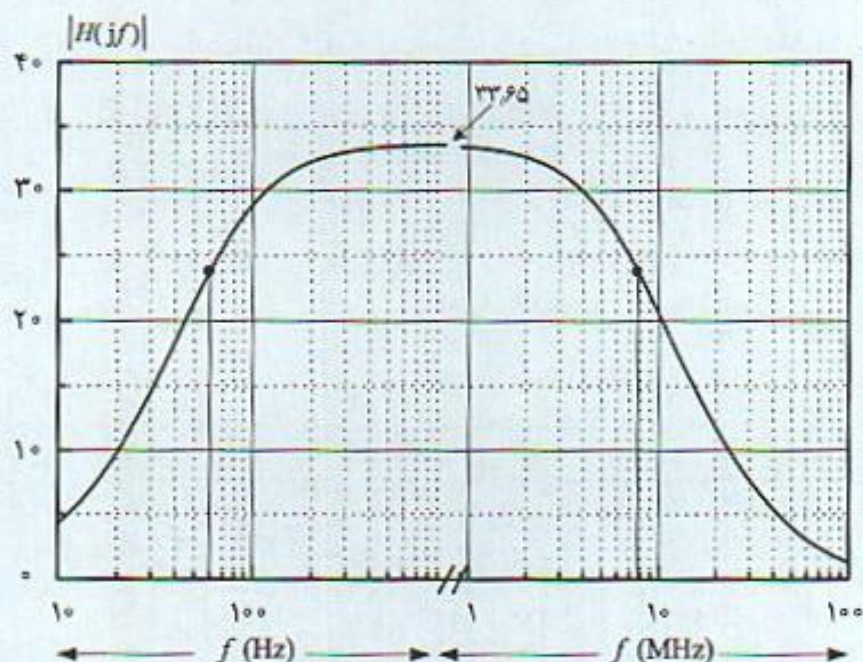
### مثال ۷-۳

تقویت‌کننده کامل کاسکود با مشخصات مثال (۶-۳) را با spice تحلیل و مقادیر  $A_o$ ،  $\omega_H$  و  $\omega_L$  را مشخص و با مقادیر طرح شده مقایسه کنید. در صورت لزوم مدار را اصلاح کنید.

پاسخ فرکانس بدست آمده توسط نرم‌افزار spice در شکل (۲۲-۳) نشان می‌دهد مشخصات اندازه‌گیری شده مدار:

$$A_o = 33.65, \quad f_H = 7.76 \text{ MHz}, \quad f_L = 60 \text{ Hz}$$

می‌باشند. فرکانس قطع پایین بدست آمده کمتر از ۱۰۰ Hz مقدار مورد نظر طراحی است و خازنهای انتخاب شده مناسب هستند. اثر بارگذاری مدار بایاس بهره مدار را مختصری کاهش داده و باعث شده پهنای باند بدست آمده افزایش یابد.

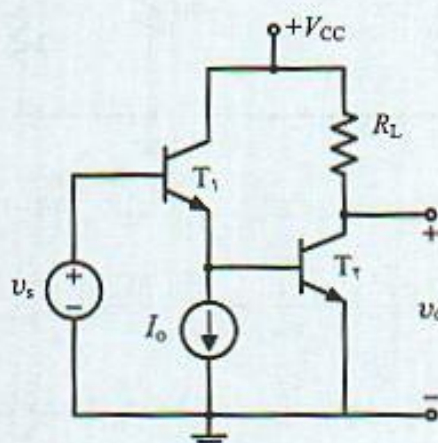


شکل ۲۲-۳ پاسخ فرکانس کامل تقویت‌کننده مثال (۶-۳)



### ۳-۶ تقویت‌کننده سری کلکتور مشترک - امیتر مشترک

شکل (۳-۲۳) یک تقویت‌کننده دو طبقه، ترکیب سری تقویت‌کننده کلکتور مشترک و امیتر مشترک را نشان می‌دهد. مهمترین خصوصیت تقویت‌کننده کلکتور مشترک آن است که دارای پهنای باند زیاد ولی با بهره کمتر از ۱ و مقاومت خروجی کمی است. چنانچه بدنبال آن یک تقویت‌کننده امیتر مشترک قرار گیرد که دارای بهره زیاد اما پهنای باند کم است، در اینصورت مدار امیتر مشترک با منبعی با مقاومت خروجی کم تغذیه شده و در مجموع پهنای باند نسبتاً زیادی بدست می‌آید.



شکل ۳-۲۳ تقویت‌کننده سری CC-CE

با توجه به اینکه در ترانزیستور  $T_1$  کلکتور از نظر سیگنال ورودی زمین است، خازن  $C_{\mu 1}$  بین کلکتور و زمین واقع شده و قطب حاصل از آن بزرگ خواهد بود.  $T_2$  در حالت امیتر مشترک و خازن  $C_{\mu 2}$  آن عموماً باعث محدودیت پهنای باند می‌شود. اما این طبقه توسط مقاومت خروجی طبقه کلکتور مشترک که مقدار کمی است تغذیه می‌شود و بنابراین قطب حاصل از  $C_{\mu 2}$  نیز بزرگ است. در مجموع این تقویت‌کننده دارای پهنای باند زیادی می‌باشد. در واقع در این مدار  $T_2$  نقش تقویت، و  $T_1$  نقش جداکننده مقاومت منبع  $R_S$  را از تقویت‌کننده اصلی بعهده دارد. شکل (۳-۲۴) مدار عملی این تقویت‌کننده را با عناصر بایاس نشان می‌دهد که در مثال (۳-۸) مشخصات آن محاسبه می‌شود.

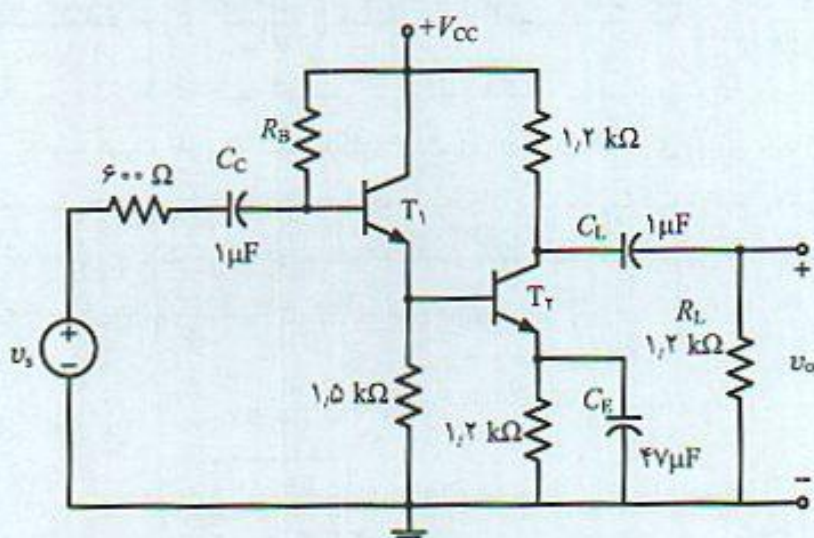
#### مثال ۳-۸

در تقویت‌کننده شکل (۳-۲۴) با فرض نقطه کار  $2.5 \text{ mA}$  با ترانزیستورهای یکسان و به مشخصات  $\beta_o = 100$ ،  $C_{\mu} = 3 \text{ pF}$ ،  $C_{\pi} = 50 \text{ pF}$ ،  $r_{\pi} = 50 \Omega$ ، مقادیر بهره باند میانی،  $\omega_L$  و  $\omega_H$  را مشخص و با نتایج محاسبات دقیق مقایسه کنید. برای سادگی فرض نمایید  $R_B$  بزرگ است. سایر مشخصات ترانزیستورها که در محاسبات مورد نیاز است:

$$g_m = \frac{I_{CQ}}{V_T} = 0.1 \Omega^{-1} = 100 \text{ m}\Omega^{-1}, \quad r_{\pi} = \frac{\beta_o}{g_m} = 1 \text{ k}\Omega$$

بهره باند میانی  $A_o$  حاصل ضرب ۳ نسبت با رابطه:





شکل ۳-۲۴ تقویت کننده سری CC-CE

$$A_o = \frac{v_o}{v_s} = \frac{v_o}{v_{b2}} \frac{v_{b2}}{v_{b1}} \frac{v_{b1}}{v_s}$$

است. نسبت بهره تقویت کننده امیتر مشترک با  $R_L = 0.6 \text{ K}\Omega$  و امیتر بای پس شده است. بنابراین:

$$\frac{v_o}{v_{b2}} = - \frac{\beta_o R_L}{r_x + r_{\pi}} = - 57.14$$

نسبت بهره طبقه کلکتور مشترک با مقاومت امیتر  $R_{eq} = 1.5 \text{ k}\Omega \parallel (r_{x2} + r_{\pi2})$  است و این نسبت:

$$R_{eq} = 0.617 \text{ k}\Omega$$

$$\frac{v_{b2}}{v_{b1}} = \frac{(1 + \beta_o) R_{eq}}{r_x + r_{\pi} + (1 + \beta_o) R_{eq}} = 0.982$$

نسبت  $\frac{v_{b1}}{v_s}$  از تقسیم ولتاژ منبع بین  $R_S$  و مقاومت ورودی  $R_{in} = 63.36 \text{ k}\Omega$  و  $r_x + r_{\pi} + (1 + \beta_o) R_{eq}$  بدست می آید:

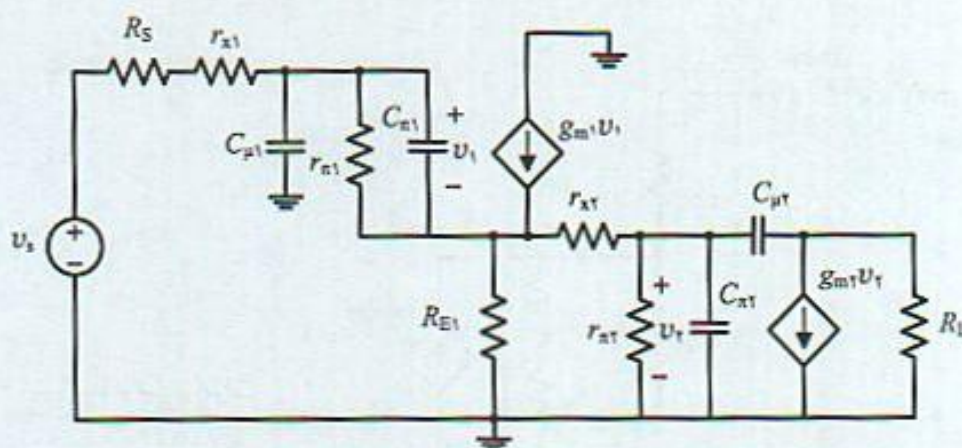
$$\frac{v_{b1}}{v_s} = \frac{R_{in}}{R_S + R_{in}} = 0.99$$

و در نتیجه بهره باند میانی این تقویت کننده  $A_o = -57.14 \times 0.982 \times 0.99 = -55.6$  است.

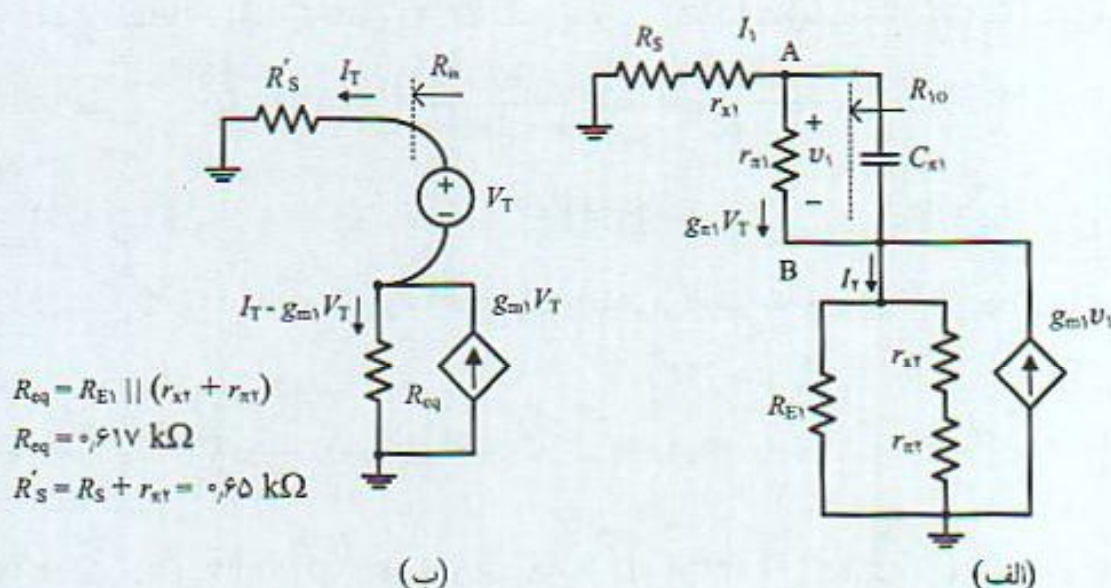
محاسبات فرکانس بالا شکل (۳-۲۵) مدار معادل فرکانس بالای تقویت کننده را نشان می دهد که با استفاده از آن ثابت زمانی های اتصال باز خازن ها محاسبه می شود.

شکل (۳-۲۶ الف) مدار معادل اطراف خازن  $C_{\pi1}$  را نشان می دهد. در این شکل ملاحظه می شود مقاومت  $R_{i0}$  ترکیب موازی مقاومت  $r_{\pi1}$  و  $R_{in}$  است.





شکل ۳-۲۵ مدار معادل فرکانس بالا تقویت کننده مثال (۳-۸)



شکل ۳-۲۶ مدار معادل اطراف \$C\_{\mu1}\$ و محاسبه مقاومت اتصال باز دو سر آن

$$R_{10} = r_{\pi1} \parallel R_{in} \quad (52-3)$$

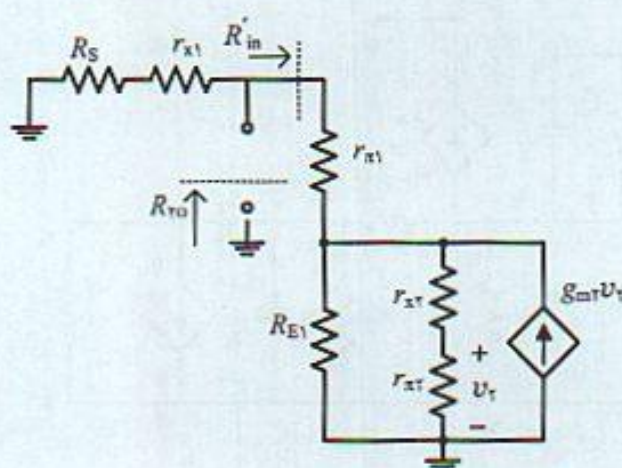
مدار معادل ساده شده برای محاسبه \$R\_{in}\$ در شکل (۳-۲۶) رسم شده است. با استفاده از منبع ولتاژ \$V\_T\$ این مقاومت تعیین می شود. با نوشتن رابطه ولتاژ در مسیر شامل مقاومت \$R'\_S\$ منبع \$V\_T\$ و مقاومت \$R\_{eq}\$ رابطه بین \$I\_T\$ و \$V\_T\$ بدست می آید.

$$-R'_S I_T + V_T + R_{eq} (g_{m2} V_T - I_T) = 0$$

و بنابراین مقاومت \$R\_{in}\$ در شکل (۳-۲۶) از رابطه (۳-۵۳) بدست می آید.

$$R_{in} = \frac{V_T}{I_T} = \frac{R'_S + R_{eq}}{1 + g_{m2} R_{eq}} \quad (53-3)$$





شکل ۳-۲۷ مدار معادل اطراف خازن  $C_{\mu 1}$  و محاسبه مقاومت مدار باز دو سر آن

در نتیجه با استفاده از روابط (۵۲-۳) و (۵۳-۳) مقدار مقاومت  $R_{10}$  و ثابت زمانی خازن  $C_{\pi 2}$  بدست می آید.

$$R_{10} = r_{\pi 1} \parallel \frac{R'_s + R_{eq}}{1 + g_{m1} R_{eq}} = 1 \text{ k}\Omega \parallel \frac{0.65 + 0.617}{1 + 100 \times 0.617} = 19.8 \text{ }\Omega \quad (3-54 \text{ الف})$$

$$\tau_{10} = R_{10} C_{\pi 1} = (19.8 \text{ }\Omega \times 50 \text{ pF}) = 0.99 \text{ ns} \quad (3-54 \text{ ب})$$

$C_{\mu 1}$ : شکل (۳-۲۷) مدار معادل اطراف خازن  $C_{\mu 1}$  را نشان می دهد و مقاومت دو سر این خازن:

$$R_{T0} = (R_S + r_{x1}) \parallel R'_{in}$$

بدست می آید.  $R'_{in}$  مقاومت ورودی تقویت کننده کلکتور مشترک با مقاومت امیتر  $R_{eq}$  است که  $r_x$  آن حذف شده است. بنابراین:

$$R'_{in} = r_{\pi} + (1 + \beta_0) R_{eq} = 63.317 \text{ k}\Omega \Rightarrow R_{T0} = 0.65 \text{ k}\Omega \parallel 63.317 \text{ k}\Omega = 0.643 \text{ k}\Omega$$

و ثابت زمانی خازن  $C_{\mu 1}$ :

$$\tau_{T0} = R_{T0} C_{\mu 1} = (0.643 \text{ k}\Omega \times 3 \text{ pF}) = 1.93 \text{ ns} \quad (3-55)$$

$C_{\pi 2}$ : مقاومت مدار باز این خازن با  $R_{T0}$  نشان داده شده و از مدار ساده شده شکل (۳-۲۸) محاسبه می شود. در این مدار  $R_0$  مقاومت خروجی طبقه کلکتور مشترک است. بنابراین:

$$R_0 = R_{E1} \parallel \frac{R'_s + r_{\pi 1}}{1 + \beta_0} = 1.5 \text{ k}\Omega \parallel \frac{(0.65 + 1) \text{ k}\Omega}{1 + 100} = 16.16 \text{ }\Omega$$

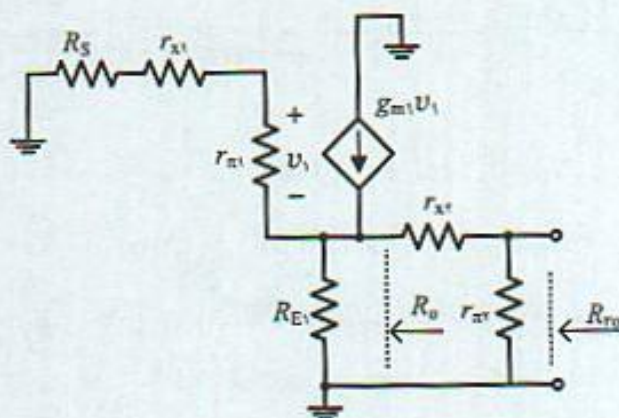
$$R_{T0} = (r_{x1} + R_0) \parallel r_{\pi 1} = 66.16 \text{ }\Omega \parallel 1 \text{ k}\Omega = 66.055 \text{ }\Omega$$

و ثابت زمانی این خازن:

$$\tau_{T0} = R_{T0} C_{\pi 2} = (66.055 \text{ }\Omega \times 50 \text{ pF}) = 3.102 \text{ ns} \quad (3-56)$$

است.





شکل ۲۸-۳ مدار معادل برای

محاسبه  $R_{T0}$  دوسر خازن  $C_{\pi 2}$

$C_{\mu 2}$ : مقاومت  $R_{T0}$  از مدار شکل (۲۹-۳) قابل محاسبه است که در آن:

$$R_{T0} = R_{T0} + (1 + g_m R_{T0}) R_{L1} = 4,385 \text{ k}\Omega$$

$$\tau_{T0} = R_{T0} C_{\mu 2} = (4,385 \text{ k}\Omega \times 2 \text{ pF}) = 13,156 \text{ ns} \quad (57-3)$$

با استفاده از روابط (۵۴-۳) الی (۵۷-۳) مجموع ثابت زمانها  $19,178 \text{ ns}$  و فرکانس  $f_H$ :

$$\omega_H = 52,143 \text{ Mrad/s}, \quad f_H = 8,3 \text{ MHz}$$

محاسبه می‌شود.

محاسبات فرکانس پایین با توجه به ۳ خازن کوپلاژ و بای پس موجود در مدار با استفاده از روش ثابت زمانی اتصال کوتاه فرکانس قطع پایین تقویت‌کننده  $\omega_L$  محاسبه می‌شود. با توجه به مدار شکل (۲۴-۳) مقاومت‌های اتصال کوتاه هر خازن و ثابت زمانی متناظر تعیین می‌شود.

خازن کوپلاژ  $C_C$

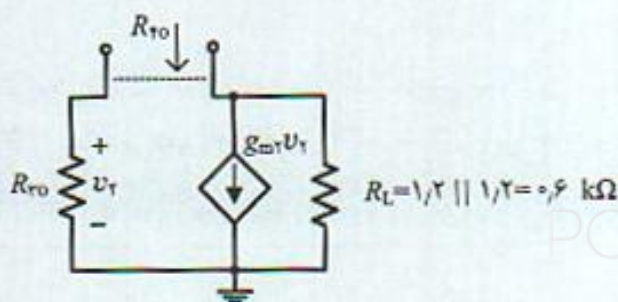
$$C_C: R_{1s} = R_S + R_{in} = (0,6 + 63,36) = 63,96 \text{ k}\Omega$$

$$\tau_{1s} = R_{1s} C_C = (63,96 \text{ k}\Omega)(1 \mu\text{F}) = 63,96 \text{ ms} \quad (58-3 \text{ الف})$$

خازن بای پس  $C_E$

$$C_E: R_{Ts} = \frac{R_{O1} + r_{x2} + r_{\pi 1}}{1 + \beta_T} \parallel R_{E2} = 10,55 \parallel 1,2 = 10,458 \text{ k}\Omega$$

$$\tau_{Ts} = R_{Ts} C_E = (10,458 \text{ k}\Omega)(47 \mu\text{F}) = 0,491 \text{ ms} \quad (58-3 \text{ ب})$$



شکل ۲۹-۳ محاسبه مقاومت

$R_{T0}$



در رابطه فوق  $R_{O1}$  مقاومت خروجی از امیتر طبقه اول و  $R_{E2}$  مقاومت امیتر ترانزیستور  $T_2$  است.

خازن کوپلاژ  $C_L$

$$C_L : R_{T3} = 1,2 \text{ k}\Omega + 1,2 \text{ k}\Omega = 2,4 \text{ k}\Omega$$

$$\tau_{T3} = R_{T3} C_L = (2,4 \text{ k}\Omega)(1 \mu\text{F}) = 2,4 \text{ ms} \quad (3-58 \text{ ج})$$

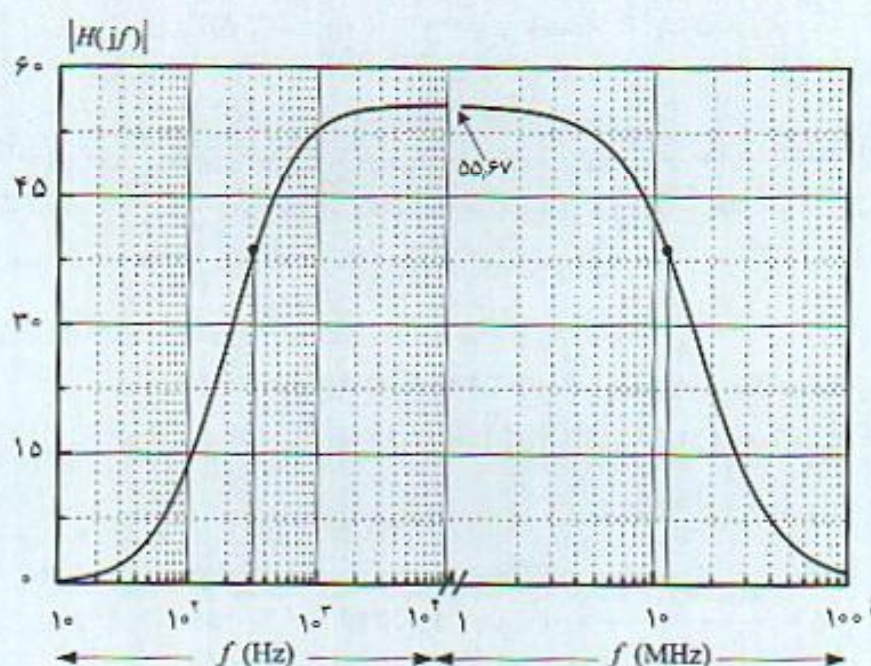
مجموع ثابت زمانی‌های اتصال کوتاه خازنهای مدار از روابط (۳-۵۸ الف) تا (۳-۵۸ ج)  $66,851 \text{ ms}$  و فرکانس قطع ۳ dB پایین مدار:

$$\omega_L = 2468,96 \text{ rad/s} \quad \Rightarrow \quad f_L = 393 \text{ Hz}$$

بدست می‌آید.

محاسبات دقیق شکل (۳-۳۰) پاسخ فرکانسی کامل این تقویت‌کننده را نشان می‌دهد که از طریق نرم‌افزار spice بررسی شده است. مشخصات اندازه‌گیری شده:

$$A_o = -55,67, \quad f_H = 11,8 \text{ MHz}, \quad f_L = 321,7 \text{ Hz}$$



شکل ۳-۳۰ پاسخ فرکانس کامل تقویت‌کننده شکل (۳-۲۴)

در مقایسه با محاسبات تقریبی انجام شده روش ثابت زمانی اتصال کوتاه تقریب بالانتری (۳۹۰ Hz) از فرکانس قطع پایین (مقدار دقیق ۳۲۱ Hz) را نشان می‌دهد. هم چنین روش ثابت زمانی مدار باز تقریب کمتری از فرکانس قطع ۳ dB بالای تقویت‌کننده را بدست می‌دهد.



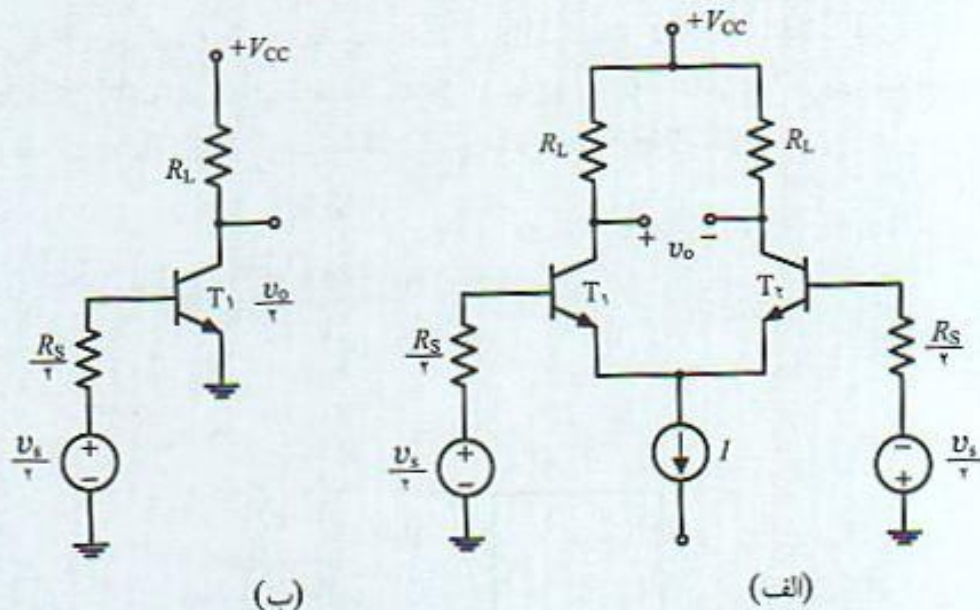
### ۸-۳ تقویت‌کننده تفاضلی

از مهمترین اجزاء مدارهای مجتمع آنالوگ، تقویت‌کننده تفاضلی (differential amplifier) است که در این بخش پاسخ فرکانس آن بررسی می‌شود. روش بررسی این مدار تا حدودی متفاوت با روش معمول بخش‌های قبل و مبتنی بر نتایجی است که تاکنون در مورد سایر مدارها بدست آمده است.

#### ۱-۸-۳ طبقه دیفرانسیل با ورودی متقارن

شکل (۳-۳۱ الف) تقویت‌کننده تفاضلی را نشان می‌دهد که در آن ورودی  $v_s$  بین دو سر ورودی + و - آن اعمال شده و خروجی آن نیز بصورت تفاضلی است. باید توجه داشت این حالت وقتی در عمل تحقق می‌یابد که این تقویت‌کننده توسط طبقه دیفرانسیل ماقبل تغذیه شود. با فرض مشابه بودن دو ترانزیستور و مقاومت‌های مدار، با توجه به اینکه سیگنال‌های ورودی نیز کاملاً متقارن می‌باشند، با استفاده از مدار معادل نیم مدار (half equivalent circuit)، می‌توان مدار معادل شکل (۳-۳۱ ب) را رسم نمود. در این شرایط گفته می‌شود تقویت‌کننده در شرایط تفاضلی و بهره مدار بهره تفاضلی  $A_{do}$  نامیده می‌شود. با توجه به نتایج بخش‌های قبل در بررسی تقویت‌کننده امیتر مشترک و با استفاده از مدار معادل، مقادیر  $A_{do}$  و  $\omega_H$ :

$$A_{do} = \frac{v_o}{v_s} = - \frac{\beta_o R_L}{r_x + r_{\pi} + R_S / 2}, \quad \omega_H = \frac{1}{R_T C_T} \quad (۳-۵۹ الف)$$



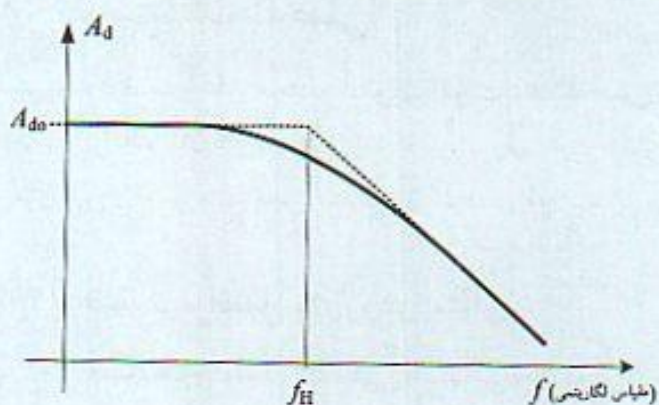
شکل ۳-۳۱ تقویت‌کننده تفاضلی با ورودی تفاضلی و متقارن: (الف) مدار، (ب) مدار معادل در حالت تفاضلی

که در آن روابط:

$$R_T = \left( \frac{R_S}{2} + r_x \right) \parallel r_{\pi}, \quad C_T = C_{\pi} + C_{\mu} [1 + (g_m + G'_s) R_L] \quad (۳-۵۹ ب)$$

برقرار می‌باشند. واضح است چون مدار فاقد خازن کوپلاژ است پاسخ فرکانس آن تا فرکانس صفر (DC) ادامه دارد و در شکل (۳-۳۲) ملاحظه می‌شود.





شکل ۳-۳۲ پاسخ فرکانس تقویت‌کننده تفاضلی با ورودی متقارن

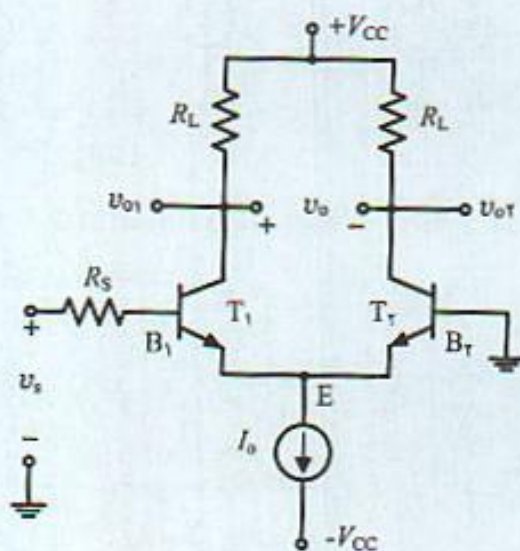
### ۳-۸-۲ طبقه دیفرانسیل با ورودی نامتقارن

شکل (۳-۳۳) طبقه دیفرانسیل را با ورودی نامتقارن نشان می‌دهد. پاسخ فرکانس مدار در این حالت با تقریب خوب مشابه با حالت متقارن است. برای اثبات این مطلب از مدار معادل فرکانس بالای تقویت‌کننده که در شکل (۳-۳۴) رسم شده استفاده می‌شود. با نوشتن رابطه KCL در گره X و با فرض مشابه بودن ترانزیستورها:

$$V_{\pi 1} (g_{\pi} + g_m + s C_{\pi}) + V_{\pi 2} (g_{\pi} + g_m + s C_{\pi}) = 0$$

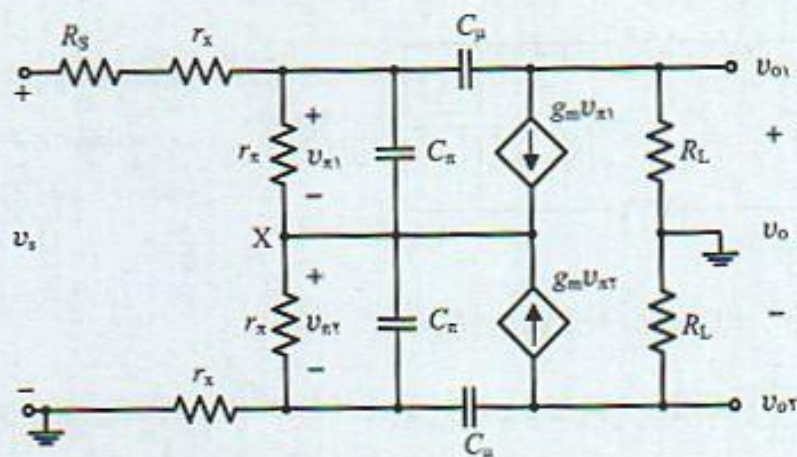
بنابراین می‌توان نتیجه گرفت  $v_{\pi 1} = -v_{\pi 2}$  و مدار معادل شکل (۳-۳۵ الف) را بدست آورد. مدار معادل شکل (۳-۳۵ الف) را با فرض اینکه جریان خازنهای  $C_{\pi}$  در مقایسه با جریان منبع جریان  $g_m v_{\pi}$  قابل صرف‌نظر هستند را می‌توان باز هم ساده‌تر نمود و مدار شکل (۳-۳۵ ب) را بدست آورد. در اینصورت:

$$\begin{aligned} v_{c1} &= -g_m R_L v_{\pi} \\ v_{c2} &= -g_m R_L v_{\pi} \end{aligned} \Rightarrow v_o = v_{c1} - v_{c2} = -2g_m R_L v_{\pi} \quad (3-60)$$

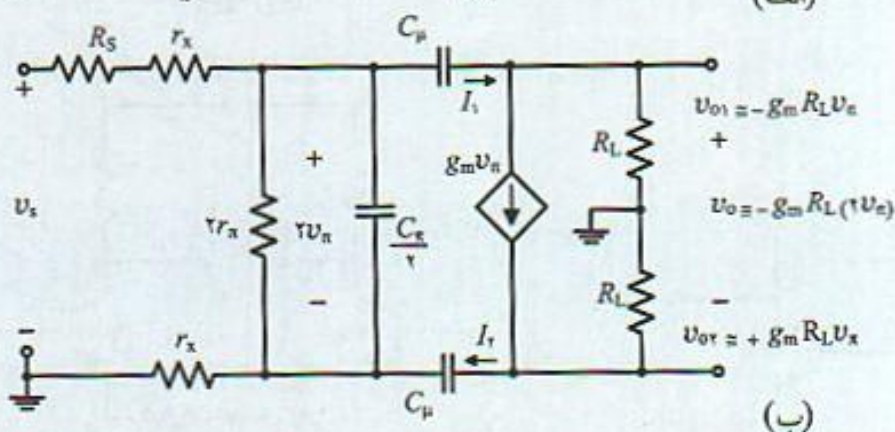
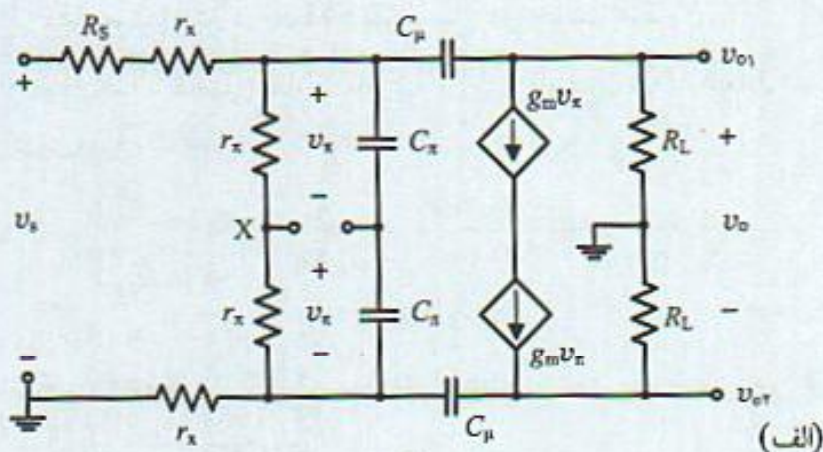


شکل ۳-۳۳ تقویت‌کننده تفاضلی با ورودی نامتقارن





شکل ۳-۳۴ مدار معادل کامل فرکانس بالای تقویت‌کننده تفاضلی با ورودی نامتقارن



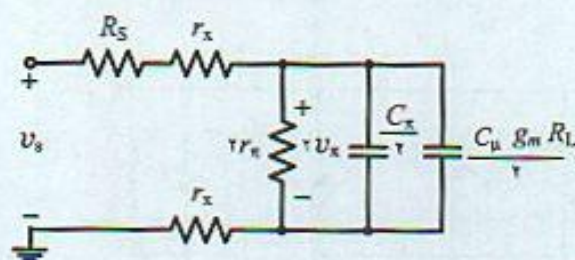
شکل ۳-۳۵ مدار معادل ساده شده تقویت‌کننده شکل (۳-۳۳) با ورودی نامتقارن

علاوه بر آن با توجه به اینکه مقاومت  $r_x$  کوچک و  $g_m R_L$  بهره هر یک از ترانزیستورها است، با استفاده از قضیه میلر می‌توان مدار معادل نهایی را بصورت شکل (۳-۳۶) در نظر گرفت. بنابراین فرکانس قطع ۳ dB بالای تقویت‌کننده تفاضلی با ورودی نامتقارن از روابط (۳-۶۰) بدست می‌آیند.

$$\omega_H = \frac{1}{R_T C_T}$$

(۳-۶۰ الف)





شکل ۳-۳۶ مدار معادل ساده شده تقویت‌کننده تفاضلی با ورودی نامتقارن

$$C_T = C_{\pi} + r_{\pi} [C_{\mu} (1 + (g_m + G'_s) R_L) R_T] \quad (۳-۶۰)$$

در روابط (۳-۶۰)،  $R'_s = r_x + \frac{R_s}{\beta}$  و  $R_T = r_{\pi} \parallel R'_s$  تعریف شده‌اند. این روابط نشان می‌دهند در حالت ورودی نامتقارن تقویت‌کننده تفاضلی پاسخ فرکانسی مشابهی با حالت متقارن دارد.

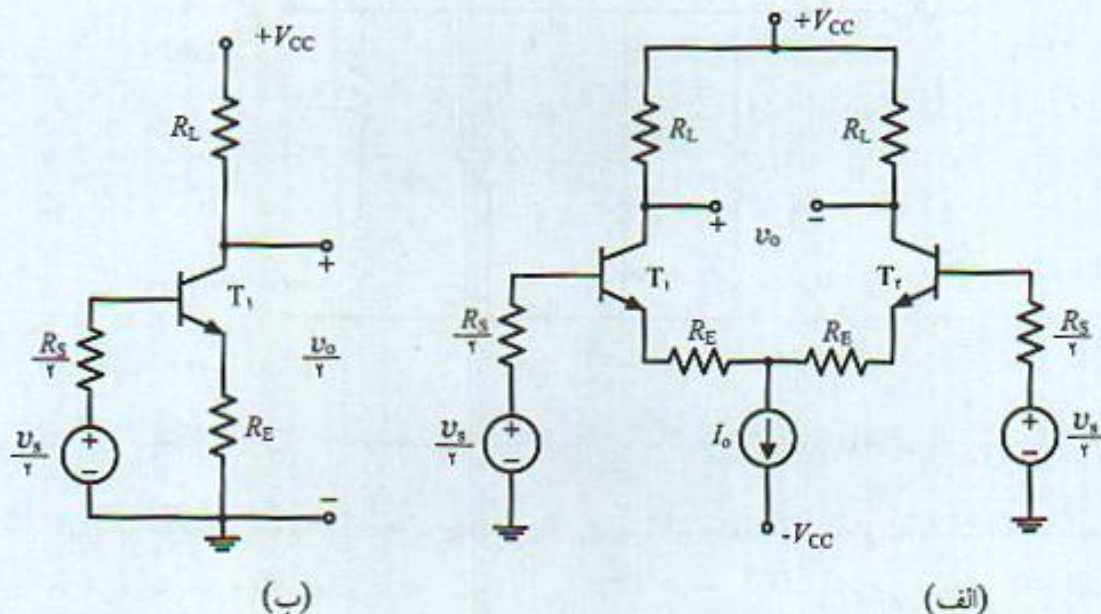
### ۳-۸-۳ اثر مقاومت امیتر در طبقه دیفرانسیل در حالت متقارن

شکل (۳-۳۷) تقویت‌کننده تفاضلی مقاومت امیتر و ورودی نامتقارن و مدار معادل نیم مدار آنرا نشان می‌دهد. مدار دارای بهره باند میانی:

$$A_{do} = - \frac{\beta_o R_L}{r_x + r_{\pi} + R_s / \beta + (1 + \beta) R_E} \quad (۳-۶۱)$$

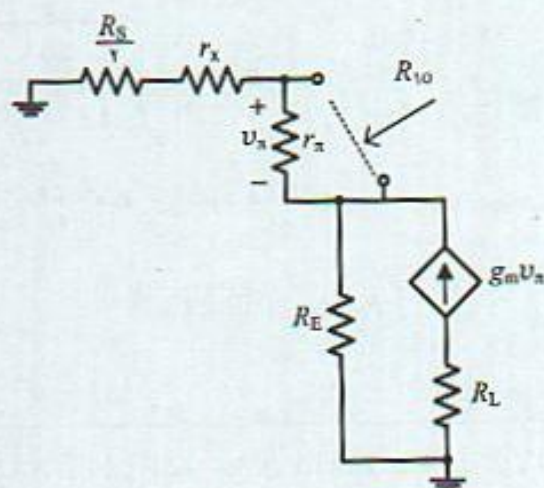
است.

برای محاسبه  $f_H$  از روش ثابت زمانی مدار باز استفاده می‌شود. مقاومت دو سر هر خازن در حالیکه سایر خازن‌ها اتصال باز است تعیین می‌شود.



شکل ۳-۳۷ (الف) تقویت‌کننده تفاضلی با ورودی نامتقارن، شامل مقاومت امیتر، (ب) مدار معادل نیم مدار آن





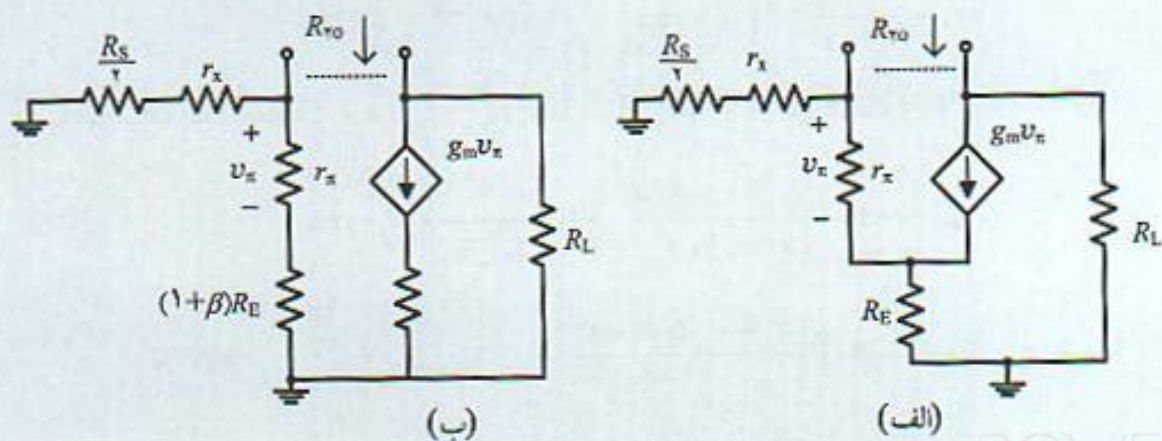
شکل ۳۸-۳ مدار معادل برای  
محاسبه مقاومت مدار باز دو سر خازن  
 $C_{\pi}$

$C_{\pi}$ : با استفاده از شکل (۳۸-۳) مقاومت دو سر این خازن  $R_{10}$  محاسبه می‌شود. این مقاومت مشابه مثال (۸-۳) و روابط (۵۲-۳) و (۵۳-۳) است که بصورت رابطه (۶۲-۳) اصلاح شده‌اند.

$$R_{10} = r_{\pi} \parallel \frac{R'_S + R_E}{1 + g_{mT} R_E}, \quad R'_S = \frac{R_S}{2} + r_x \quad (۶۲-۳)$$

$C_{\mu}$ : با استفاده از شکل‌های (۳۹-۳ الف) و ساده شده آن (۳۹-۳ ب) می‌توان مقاومت دو سر این خازن را بدست آورد. در مدار ساده شده مقاومت  $R_E$  به بیس و کلکتور ترانزیستور منتقل شده است. محاسبه  $R_{T0}$  از مدار شکل (۳۹-۳ ب) مشابه با محاسبه مقاومت دو سر خازن  $C_{\mu}$  در تقویت‌کننده امیتر مشترک است. البته مقاومت منتقل شده به کلکتور چون با منبع جریان بصورت سری است تأثیری در محاسبات ندارد. در مدار امیتر مشترک کل ولتاژ بیس نسبت به زمین در منبع وابسته کلکتور ظاهر می‌شود در حالیکه در این مدار بخشی از ولتاژ بیس در خروجی موثر است. این بخش از ولتاژ را با ضریب  $k$  در محاسبات دخالت داده و رابطه (۲۹-۳ الف) بصورت (۶۳-۳) اصلاح می‌شود و بنابراین  $R_{T0}$  از رابطه:

$$R_{T0} = R_{eq} + (1 + k g_m R_{eq}) R_L \quad (۶۳-۳)$$



شکل ۳۹-۳ مدار معادل اطراف خازن  $C_{\mu}$  برای محاسبه  $R_{T0}$



بدست می‌آید که در آن روابط زیر تعریف شده‌اند.

$$R_{eq} = \left( \frac{R_S}{2} + r_x \right) \parallel [r_\pi + (1 + \beta_0) R_E], \quad k = \frac{r_\pi}{r_\pi + R_{eq}}$$

فرکانس قطع ۳ dB بالای مدار از رابطه (۶۴-۳) تعیین می‌شود.

$$\omega_H = \frac{1}{R_{10} C_\pi} + \frac{1}{R_{10} C_\mu} \quad (۶۴-۳)$$

### مثال ۹-۳

در تقویت‌کننده تفاضلی و در حالت نامتقارن با بایاس منبع جریان ۵ mA و مشخصات ترانزیستورها:

$$r_x = 50 \, \Omega, \beta_0 = 100, C_\pi = 3 \, \text{pF}, C_\mu = 50 \, \text{pF}, R_L = R_S = 600 \, \Omega$$

الف) بهره باند میانی و فرکانس قطع ۳ dB بالای مدار را بدست آورید.

ب) مقاومت امیتر  $R_E = 25 \, \Omega$  به مدار اضافه می‌شود. در این حالت بهره باند میانی و فرکانس قطع ۳ بالا چقدر است.

سایر مقادیر لازم در محاسبات:

$$g_m = \frac{I_{CQ}}{V_T} = \frac{5.2}{25} = 0.21 \, \Omega^{-1} = 100 \, \text{m}\Omega^{-1}, \beta_0 = g_m r_\pi, r_\pi = 1 \, \text{k}\Omega$$

الف) بدون مقاومت امیتر و با توجه به روابط (۵۹-۳) و (۵۹-۴):

$$A_{do} = - \frac{\beta_0 R_L}{r_x + r_\pi + R_S / 2} = - \frac{100 \times 0.6}{0.3 + 0.05 + 1} = - 44.4$$

$$R_T = \left( \frac{R_S}{2} + r_x \right) \parallel r_\pi = (0.35 \, \text{k}\Omega) \parallel 1 \, \text{k}\Omega = 0.26 \, \text{k}\Omega$$

$$C_T \approx C_\pi + C_\mu (1 + g_m R_L) = 223 \, \text{pF}$$

$$\omega_H = \frac{1}{R_T C_T} = 16.5 \, \text{Mrad/s}, \quad f_H = 2.627 \, \text{MHz}$$

ب) با اضافه شدن مقاومت امیتر و با ورودی متقارن با استفاده از روابط بدست آمده:

$$A_{do} = - \frac{\beta_0 R_L}{r_x + r_\pi + R_S / 2 + (1 + \beta_0) R_E} = - 17.8$$

$$R_{10} = 1 \, \text{k}\Omega \parallel \frac{0.3 + 0.05 + 0.25}{1 + 100 \times 0.25} = 1 \, \text{k}\Omega \parallel (107 \, \Omega) = 96.775 \, \Omega$$

$$\tau_{10} = C_\pi R_{10} = (50 \, \text{pF})(96.775 \, \Omega) = 4.838 \, \text{ns}$$



با استفاده از رابطه (۳-۵۷) مقاومت مدار باز و ثابت زمانی خازن  $C_\mu$  با استفاده از مقادیر  $R_{eq}$  و  $k$  محاسبه می‌شود:

$$R_{eq} = 0.35 \parallel (1 + 2.252) = 0.318 \text{ k}\Omega, \quad k = \frac{r_\pi}{r_\pi + R_{eq}} = 0.758$$

$$R_{T0} = R_{eq} + (1 + k g_m R_{eq}) R_L = 15.38 \text{ k}\Omega, \quad \tau_{T0} = C_\mu R_{T0} = 46.14 \text{ ns}$$

مجموع ثابت زمانیها  $50.978 \text{ ns}$  و فرکانس قطع بالای تقویت‌کننده:

$$\omega_H = 19.616 \text{ Mrad/s}, \quad f_H = 3.122 \text{ MHz}$$

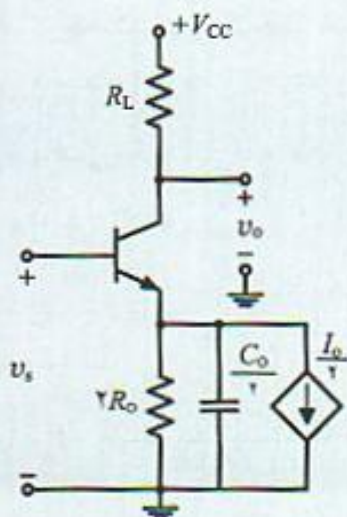
بدست می‌آید. در مقایسه با حالت بدون مقاومت امیتر پهنای باند افزایش مختصری داشته و بهره تقویت‌کننده نیز کاهش یافته است.

### ۳-۸-۴ پاسخ فرکانس ضریب حذف سیگنال وجه مشترک

از مشخصات مهم در تقویت‌کننده‌های تفاضلی نسبت بهره تفاضلی به بهره سیگنال وجه مشترک است. این نسبت عموماً ضریب حذف سیگنال وجه مشترک  $CMRR$  (Common Mode Rejection Ratio) نامیده می‌شود.

$$CMRR = \left| \frac{A_d}{A_c} \right| \quad (3-65)$$

برای داشتن  $CMRR$  بزرگ لازم است بهره سیگنال وجه مشترک کم باشد. اما از آنجایی که ممکن است سیگنال وجه مشترک دارای مولفه‌های فرکانسی مختلفی باشد لازم است این ضریب بررسی و تغییرات آن با فرکانس مطالعه شود. شکل (۳-۴۰) مدار معادل نیم مدار تقویت‌کننده تفاضلی را در حالت وجه مشترک نشان می‌دهد. منبع جریان بایاس طبقه تفاضلی با مقاومت و خازن معادل خروجی مدل شده است. در مدار معادل سیگنال وجه مشترک امپدانسها دو برابر می‌شوند.



شکل ۳-۴۰ مدار معادل نیم مدار تقویت‌کننده تفاضلی برای سیگنال وجه مشترک



بررسی کامل و دقیق پاسخ فرکانس این مدار تا حدی پیچیده است. اما با تقریب نسبتاً خوب می‌توان گفت مقاومت  $R_o$  مقاومت خروجی منبع جریان در مدارهای معمولی در حدود  $r_o$  ترانزیستور و برای منبع جریان کامل‌تر چند مگا اهم است. همچنین خازن خروجی  $C_o$  چند پیکو فاراد می‌باشد. برای مقادیر نمونه  $5\text{ M}\Omega$  و خازن  $2\text{ pF}$ ، ثابت زمانی  $\tau = R_o C_o = 10\text{ ms}$  و فرکانس متناظر با آن  $\frac{1}{2\pi R_o C_o} = 16\text{ kHz}$  است. این فرکانس به معنی آن است که در فرکانسهای خیلی کمتر از  $16\text{ kHz}$  مقاومت  $R_o$  امپدانس خروجی را تعیین می‌کند و برای فرکانسهای خیلی بالاتر از آن خازن  $C_o$  موثر است. پس با افزایش فرکانس امپدانس امیتر کاهش یافته و بهره و وجه مشترک افزایش می‌یابد و به این ترتیب  $CMRR$  کم می‌شود. در این مدار بهره تقریبی وجه مشترک از رابطه (۶۶-۳) بدست می‌آید که در آن  $Z_E$  امپدانس امیتر است.

$$A_e = -\frac{R_E}{Z_E}, \quad Z_E = \frac{2R_o}{1 + R_o C_o s} \quad (66-3)$$

و بنابراین:

$$A_e = -\frac{R_L}{2R_o} (1 + R_o C_o s) \quad (67-3)$$

رابطه (۶۷-۳) نشان می‌دهد که  $A_e$  دارای یک صفر در  $s = -\frac{1}{R_o C_o}$  است که سبب می‌شود برای فرکانسهای بالاتر از آن بهره سیگنال وجه مشترک افزایش یابد. با افزایش هر چه بیشتر فرکانس ابتدا  $A_e$  زیاد شده و به حداکثر مقدار خود برسد. سپس با موثر شدن خازنهای داخلی ترانزیستور مقدار آن کاهش می‌یابد. بهره تفاضلی  $A_d$ ، بهره سیگنال وجه مشترک  $A_e$  و ضریب  $CMRR$  بر حسب فرکانس در شکل (۴۱-۳) رسم شده‌اند.  $CMRR$  از فرکانس  $f = \frac{1}{2\pi R_o C_o}$  شروع به کاهش می‌یابد.

### مثال ۳-۱۰

در مورد تقویت‌کننده تفاضلی مثال (۹-۳)، فرض کنید منبع جریان بایاس دارای مقاومت خروجی  $1\text{ M}\Omega$  موازی با خازن  $10\text{ pF}$  و  $R_E = 0$  است.

الف) فرکانس قطع بالا، بهره تفاضلی و بهره وجه مشترک را مشخص کنید.

ب) تغییرات  $CMRR$  را بر حسب فرکانس با استفاده از نرم‌افزار spice بررسی و با تئوری مقایسه کنید.

با توجه به محاسبات مثال (۹-۳) بهره تفاضلی و فرکانس قطع آن:

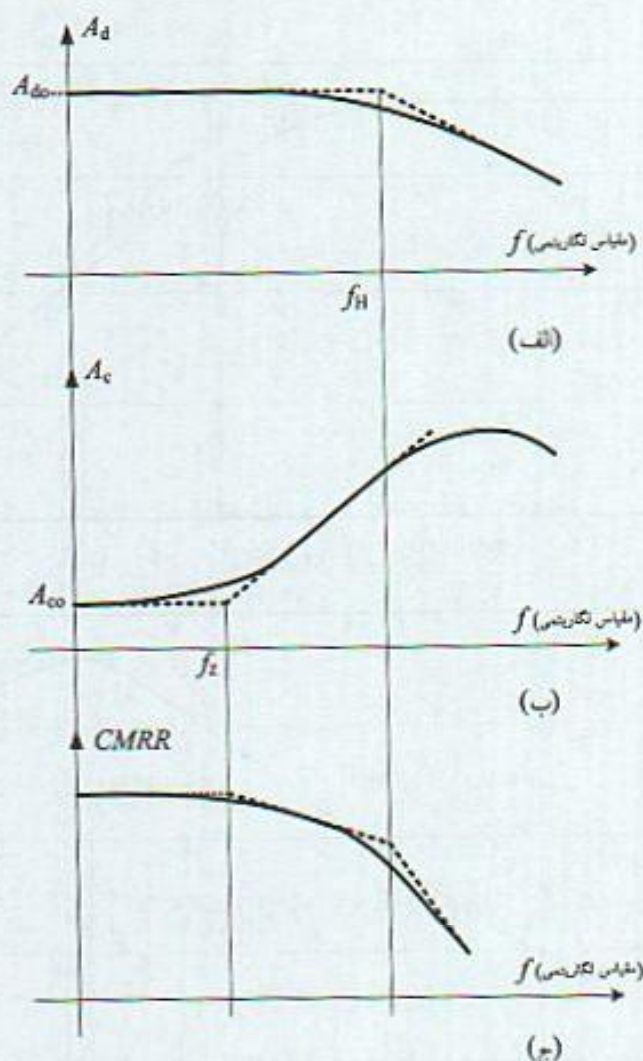
$$A_{d0} = -44.4, \quad f_H = 2.62\text{ MHz}$$

است. با منبع جریان ایده‌آل بهره وجه مشترک مساوی صفر است. اما با توجه به مدار معادلی که برای منبع جریان داده شده است بهره باند میانی وجه مشترک

$$A_e = -\frac{R_L}{2R_o} = -\frac{0.6\text{ k}\Omega}{2 \times 1\text{ M}\Omega} = -3 \times 10^{-4}$$

صفر تابع انتقال بهره سیگنال وجه مشترک در فرکانس:





شکل ۳-۴۱ پاسخ فرکانس بهره‌های تقویت‌کننده دیفرانسیل: الف)  $A_d$ ، ب)  $A_c$ ، ج)  $CMRR$

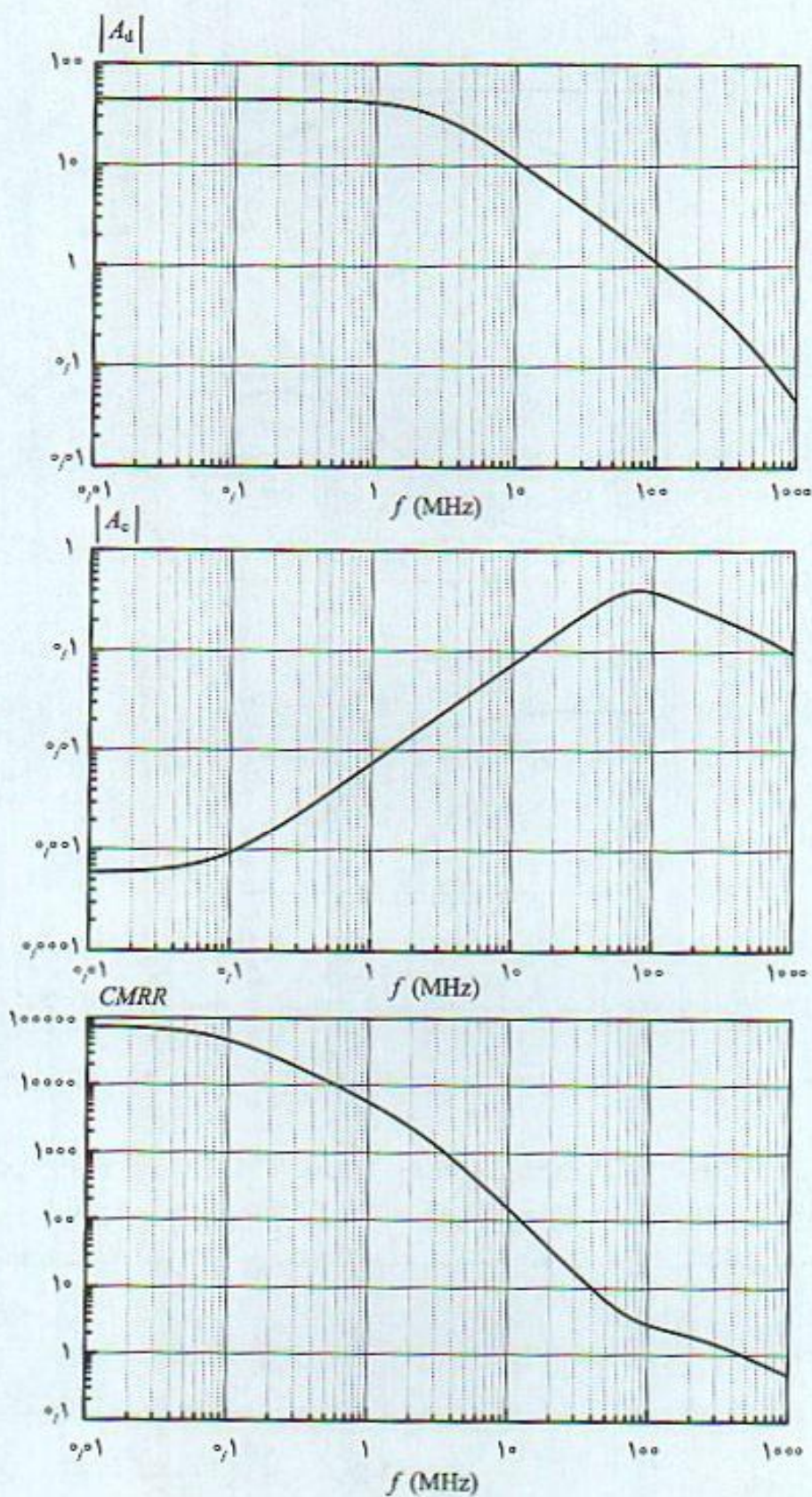
$$s_z = -\frac{1}{R_o C_o} = -1 \times 10^{-4} \text{ (ns)}^{-1}, \omega_z = |s_z| = 0.1 \text{ Mrad/s}, f_z = 15.92 \text{ kHz}$$

است. بنابراین بعد از فرکانس  $15.92 \text{ kHz}$  بهره  $A_c$  زیاد شده و نازمانیکه در اثر خازنهای داخلی ترانزیستور ظاهر نشده این افزایش ادامه می‌یابد. شکل (۳-۴۲) پاسخ فرکانس ضرایب بهره  $A_d$ ،  $A_c$  و  $CMRR$  که توسط نرم‌افزار spice بدست آمده را نشان می‌دهد. نتایج بدست آمده با تقریب خوبی به مقادیر محاسبه شده نزدیک هستند.

### ۳-۸-۵ تقویت‌کننده دیفرانسیل اصلاح شده

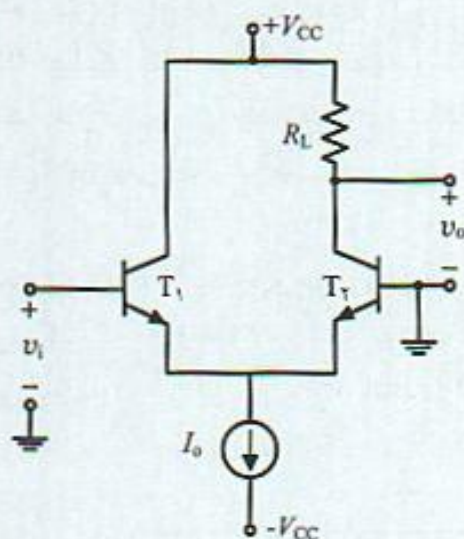
با تغییر جزئی در تقویت‌کننده دیفرانسیل متقارن مداری بصورت شکل (۳-۴۳) بدست می‌آید که دارای پهنای باند زیادی است. این کار با حذف مقاومت کلکتور  $T_1$  انجام می‌شود. این مدار در واقع ترکیب سری تقویت‌کننده کلکتور مشترک و بیس مشترک است که هر کدام پهنای باند زیادی دارند. تقویت‌کننده بیس مشترک توسط مداری با مقاومت خروجی کم تغذیه می‌شود. این عوامل موجب می‌شوند در مجموع پهنای





شکل ۳-۴۲ پاسخ فرکانس تقویت کننده تفاضلی مثال (۳-۱۰): الف)  $A_d$ ، ب)  $A_c$ ،  
و ج)  $CMRR$  از نرم افزار spice



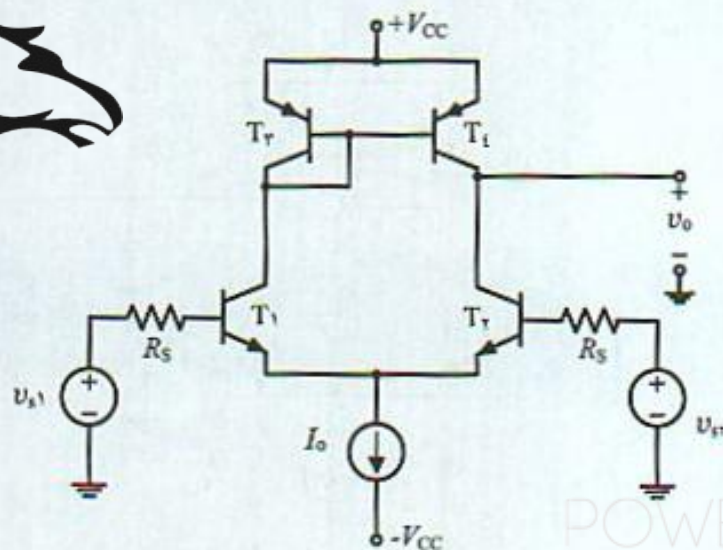


شکل ۳-۴۳ تقویت‌کننده تفاضلی  
اصلاح شده

باید این مدار زیاد باشد. بررسی و طراحی این مدار در بخش‌های بعد و پس از معرفی روش طراحی تقویت‌کننده‌های چند طبقه انجام می‌شود.

### ۹-۳ تقویت‌کننده تفاضلی با بار فعال

شکل (۳-۴۴) تقویت‌کننده تفاضلی با بار فعال را نشان می‌دهد که در بسیاری از تقویت‌کننده‌های عملیاتی به عنوان طبقه ورودی استفاده می‌شود. این مدار اساساً نامتقارن و خروجی آن بصورت تکی (single ended) می‌باشد. بررسی کامل و دقیق این مدار با توجه به تعداد خازن‌های زیاد موجود در مدار مشکل و به محاسبات پیچیده و طولانی نیاز دارد. اما با استفاده از نکات بدست آمده در مدارهای بررسی شده تاکنون روش ساده‌ای برای بررسی این مدار معرفی و پاسخ فرکانس مدار از طریق نرم‌افزار spice نیز ارائه می‌شود. از آنجایی که ترانزیستور  $T_2$  بصورت دیود بعنوان بار کلکتور  $T_1$  قرار دارد بنابراین تغییرات ولتاژ در



شکل ۳-۴۴ تقویت‌کننده تفاضلی  
با بار فعال



کلکتور  $T_1$  مقدار کمی است. در نتیجه خازنهای داخلی ترانزیستورهای  $T_1$  و  $T_2$  که به این نقطه متصل هستند اثر مهمی بر پاسخ فرکانس مدار ندارند. برای مقاومت‌های کوچک  $R_S$  و با فرض ایده‌آل بودن منبع جریان بایاس، می‌توان گفت امپدانس ترانزیستورهای  $T_1$  و  $T_2$ ، خصوصاً برای سیگنالهای تفاضلی از نظر ac زمین هستند. در نتیجه ثابت زمانی مربوط به خازنهای  $C_{\pi}$  ترانزیستورهای  $T_1$  و  $T_2$  نیز نقش مهمی در پاسخ فرکانس تقویت‌کننده ندارند.

با توجه به مطالب فوق کل خازنها و مقاومت‌هایی که در گره خروجی قرار دارند با تقریب خوب فرکانس قطع ۳ dB بالای تقویت‌کننده را مشخص می‌کنند که در رابطه (۳-۶۸ الف) خلاصه شده است. هم‌چنین اگر مقاومت بار  $R_L$  و خازن  $C_L$  در خروجی نسبت به زمین نیز قرار داشته باشند فرکانس قطع بالای مدار از رابطه (۳-۶۸ ب) بدست می‌آید.

$$f_{H1} \approx \frac{1}{2\pi (r_{o2} \parallel r_{o1}) (C_{\mu 2} + C_{\mu 1})} \quad (۳-۶۸ \text{ الف})$$

$$f_H \approx \frac{1}{2\pi (r_{o2} \parallel r_{o1} \parallel R_L) (C_{\mu 2} + C_{\mu 1} + C_L)} \quad (۳-۶۸ \text{ ب})$$

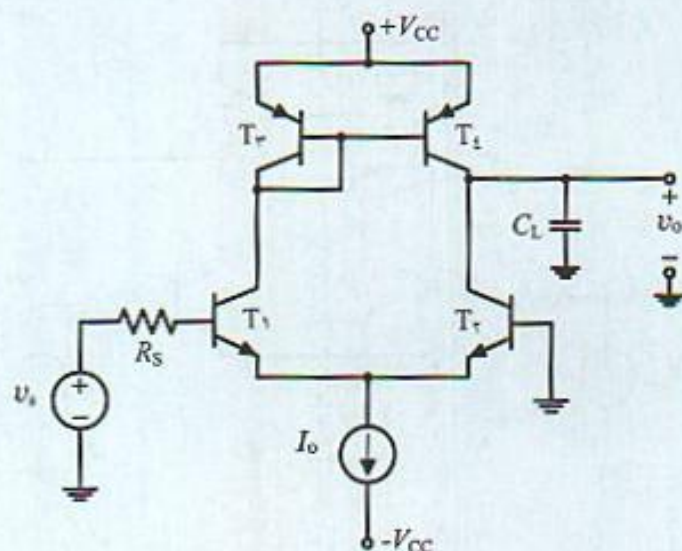
برای بررسی پاسخ فرکانس تقویت‌کننده تفاضلی با بار فعال و مقایسه نتایج آن با روابط ذکر شده مثال (۳-۱۲) ارائه می‌شود.

### مثال ۳-۱۲

برای تقویت‌کننده تفاضلی با بار فعال شکل (۳-۴۵) که از ترانزیستورهای NPN، PNP مشابه و با مشخصات زیر تشکیل شده است:

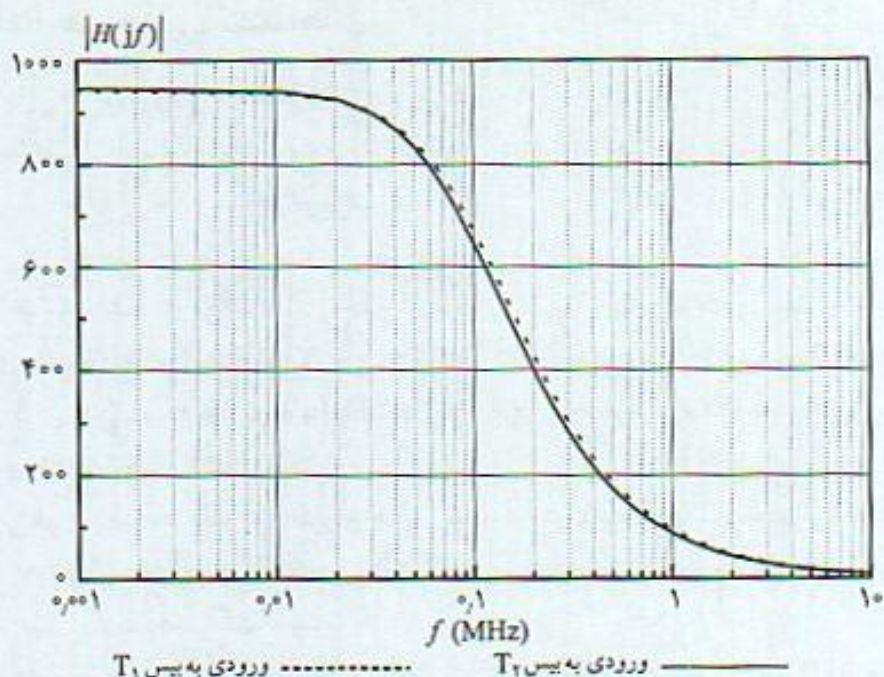
$$\beta_o = 100, \quad r_x = 62.5 \Omega, \quad V_A = 50 \text{ V}, \quad \tau_F = 1 \text{ ns}$$

$$C_{je0} = 0.45 \text{ pF}, \quad C_{\mu} = 2 \text{ pF}, \quad R_S = 100 \Omega$$



شکل ۳-۴۵ تقویت‌کننده تفاضلی با بار فعال مثال (۳-۱۲)





شکل ۳-۴۶ پاسخ فرکانس تقویت‌کننده تفاضلی با بار فعال در ۲ حالت مختلف

پاسخ فرکانس این تقویت‌کننده را بررسی و نتایج را با حل مدار با نرم‌افزار spice مقایسه کنید. فرض کنید خازن  $C_L = 10 \text{ pF}$  در خروجی قرار دارد. مدار توسط منبعی با مقاومت خروجی  $100 \Omega$  تغذیه می‌شود.

با توجه به جریان نقطه کار  $0.25 \text{ mA}$  برای هر ترانزیستور، عناصر مدار معادل هایبرید  $\pi$

$$g_m = \frac{I_{CQ}}{V_T} = 9.6 \text{ m}\Omega^{-1}$$

$$\beta_o = g_m r_{\pi}, \quad r_{\pi} = 10.4 \text{ k}\Omega$$

$$C_{\pi} = C_{jco} + r_F g_m = 10.5 \text{ pF}$$

$$C_{\mu\tau} = C_{\mu\tau} = 2 \text{ pF}$$

با توجه به رابطه (۳-۶۸) فرکانس قطع ۳ dB بالای مدار

$$f_H = \frac{1}{2\pi (200 \parallel 200) \text{ k}\Omega (2 + 2 + 10) \text{ pF}} = \frac{1}{2\pi \times 100 \times 14} = 113.8 \text{ kHz}$$

باید در نظر داشت به علت تقارن مدار، بسته به اینکه سیگنال ورودی به کدام یک از ترانزیستورها اعمال شود پاسخ‌های متفاوتی بدست می‌آید. شکل (۳-۴۶) پاسخ فرکانس تقویت‌کننده تفاضلی با بار فعال مثال (۳-۱۲) را با استفاده از نرم‌افزار spice نشان می‌دهد. این مشخصات با این فرض بدست آمده است که ورودی از طریق مقاومت منبع  $100 \Omega$  به بیس یکی از ترانزیستورها ( $T_1$  یا  $T_2$ ) اعمال شده، در حالیکه ورودی دیگری به زمین وصل شده است. این بررسی نشان می‌دهد وقتی سیگنال ورودی به بیس  $T_1$  اعمال می‌شود فرکانس قطع بالا ۹۸ kHz و وقتی به بیس  $T_2$  اعمال می‌شود مقدار ۶۸ kHz بدست می‌آید. حالت اول به مقدار محاسباتی نزدیک‌تر می‌باشد. البته با افزایش مقاومت منبع  $R_S$  و یا افزایش خازن بار  $C_L$  دقت روابط (۳-۶۸) کمتر خواهد شد.



### ۱۰-۳ طراحی تقویت‌کننده‌ها

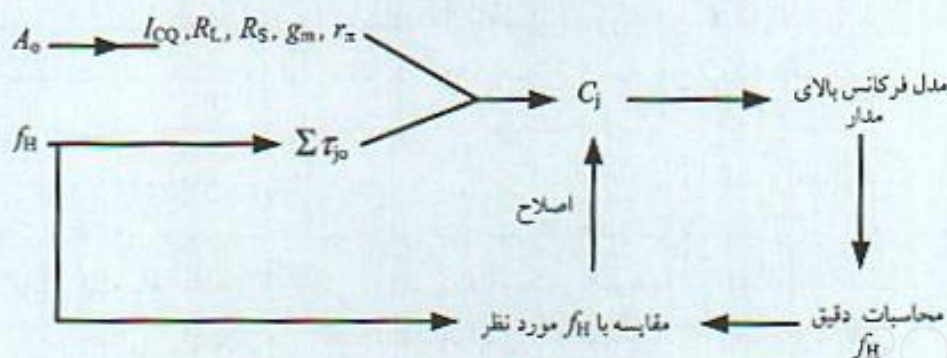
در بخش‌های قبل روش بررسی پاسخ فرکانس تقویت‌کننده مطرح شد. سئوالی که مطرح می‌شود آن است که چگونه یک تقویت‌کننده برای مشخصات موردنظر ( $A_0$ ,  $\omega_H$  و  $\omega_L$ ) طراحی می‌شود؟ در این بخش روشی ساده و مفید برای طرح این مدارها مطرح می‌شود.

- اولین مرحله از طرح یک تقویت‌کننده انتخاب نوع مدار است و بسته به بهره و پهنای باند موردنیاز مدار مناسب انتخاب می‌شود. این بخش از طراحی عمدتاً به تجربه متکی است. برای مثال چنانچه پهنای باند موردنظر زیاد است لازم است از تقویت‌کننده‌هایی مانند کاسکود (cascode) استفاده کرد. برای تقویت‌کننده‌ها با بهره زیاد باید تعداد طبقات را افزایش داد تا محدودیت پهنای باند هر یک از طبقات تعیین‌کننده نباشد.
- در این مرحله عناصر مقاومتی مدار و جریان نقطه کار ترانزیستورها (مشخصاتی مانند  $r_{\pi}$ ,  $g_m$ ,  $R_L$  و  $I_{CQ}$ ) برای رسیدن به بهره باند میانی  $A_0$  تعیین می‌شود. در یک طرح ممکن است مقاومت‌های بار  $R_L$  و منبع  $R_S$  مشخص شده باشند.
- با توجه به مشخص شدن مدار و عناصر مقاومتی آن، مدار معادل فرکانس بالا قابل رسم است. برای محاسبات فرکانس بالا می‌توان مقاومت‌های مدار باز تک‌تک خازن‌ها و ثابت زمانی هر کدام را برحسب مقدار خازن تعیین کرد. از طرف دیگر  $\omega_H$  موردنظر مجموع ثابت زمانیها را مشخص می‌کند.

$$\sum \tau_{j0} = \sum C_j R_{j0} = \frac{1}{\omega_H}$$

بنابراین می‌توان خازنهای ترانزیستور و در واقع نوع ترانزیستور را برای برقراری رابطه فوق انتخاب کرد. با انتخاب مقادیر خازنی ترانزیستورها، مشخصات لازم  $f_T$ ,  $C_{\mu}$  و  $\beta$  تعیین و از کتاب اطلاعاتی شماره ترانزیستور موردنیاز مشخص می‌شود.

- مرحله بعدی بررسی دقیق مدار طراحی شده و تعیین فرکانس قطع بالا است. این مرحله با استفاده از محاسبات کامپیوتری تقویت‌کننده بررسی و مقدار  $\omega_H$  مدار طراحی شده دقیقاً مشخص می‌شود. اگر این مقدار با  $\omega_H$  موردنظر اختلاف زیادی نداشته باشد طراحی فرکانس بالای مدار کامل شده است. در غیر اینصورت لازم است با تغییر نوع ترانزیستور، با تغییر خازن‌های  $C_{\mu}$  و  $C_{\pi}$ ، مدار طراحی شده را اصلاح نمود تا مقدار موردنظر  $\omega_H$  بدست آید. در عمل ممکن است در چند مرحله تغییر خازن‌ها و نوع ترانزیستور برای رسیدن به مشخصات موردنظر انجام پذیرد. شکل (۳-۴۷) روند کلی طراحی تقویت‌کننده‌ها در فرکانس بالا را نشان می‌دهد.



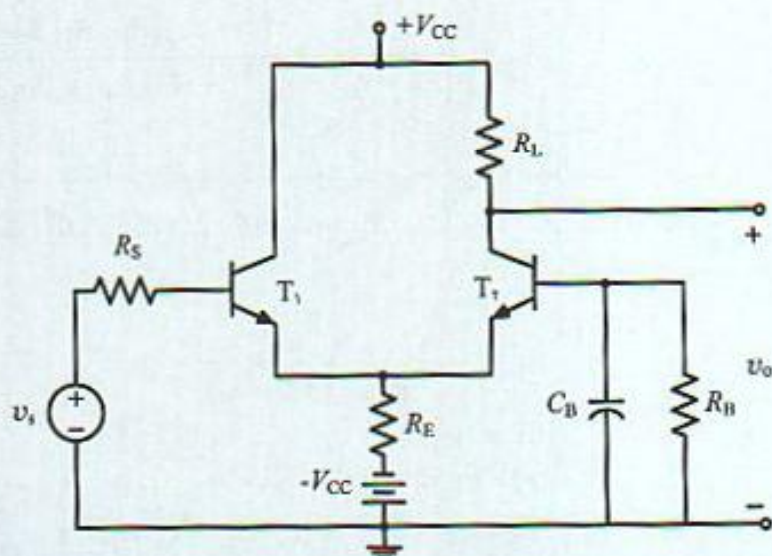
شکل ۳-۴۷ روند کلی طراحی تقویت‌کننده چند طبقه در فرکانس بالا



- آخرین مرحله محاسبات تقویت‌کننده طراحی مدار بایاس و انتخاب خازنهای بای‌پس و کوپلاژ است. روش کار در این قسمت مشابه با فرکانس بالا است تنها از ثابت زمانی اتصال کوتاه استفاده می‌شود. پس از طرح کامل مدار پاسخ فرکانسی کامل مدار طراحی شده از طریق محاسبات دقیق بررسی و چنانچه فرکانس قطع پایین مدار طرح شده با مقدار مورد نظر اختلاف قابل ملاحظه‌ای داشته باشد طرح اصلاح می‌شود. لازم به ذکر است طرح مدار در فرکانس پایین نسبت به فرکانس بالا ساده‌تر است و لازم نیست محاسبات پیچیده‌ای را در مورد آن بکار برد. چون آزمایش تقویت‌کننده در فرکانس پایین بر خلاف فرکانس بالا که به وسایل پیشرفته نیاز دارد به راحتی قابل انجام است. چنانچه با مقادیر مشخصی از خازنهای فرکانس قطع پایین مورد نظر بدست نیامده باشد با تغییر خازنهای و انجام آزمایش ساده می‌توان مدار را برای شرایط مورد نظر اصلاح نمود.

### مثال ۳-۱۳

تقویت‌کننده تفاضلی اصلاح شده شکل (۳-۴۸) شامل عناصر بایاس را برای بهره باند میانی ۳۲ و  $f_H = 8 \text{ MHz}$  طرح کنید. ترانزیستور موجود در نقطه کار  $I_{CQ} = 2.5 \text{ mA}$  و دارای  $r_{\pi} = 50 \Omega$  و  $\beta_0 = 100$  است. سایر مشخصات لازم ترانزیستور را تعیین کنید. ( $R_S = 600 \Omega$ )



شکل ۳-۴۸ تقویت‌کننده تفاضلی  
اصلاح شده مثال (۳-۱۲)

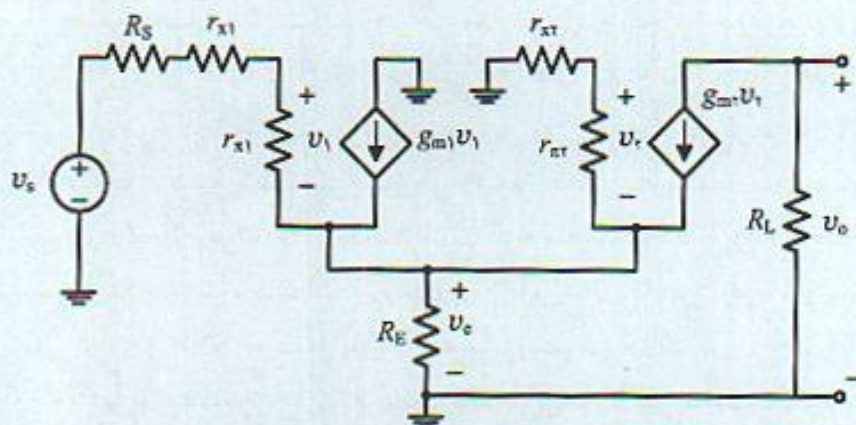
سایر پارامترهای ترانزیستور

$$g_m = \frac{I_{CQ}}{V_T} = 0.1 \Omega^{-1}, \beta_0 = g_m r_{\pi}, r_{\pi} = 1 \text{ k}\Omega$$

بهره باند میانی  $\Delta$  شکل (۳-۴۹) مدار معادل باند میانی تقویت‌کننده را نشان می‌دهد که در آن مقاومت ورودی طبقه بیس مشترک و در بیس آن مقاومت‌های  $r_{\pi 2}$  و  $r_{\pi 1}$  قرار دارند. کل مقاومت موجود در امیتر  $T_1$ ،  $R_1 = R_E \parallel R_i$  است. بنابراین بهره طبقه اول:

$$\frac{v_o}{v_i} = \frac{(1 + \beta_1)(R_E \parallel R_i)}{R_S + r_{\pi 1} + r_{\pi 2} + (1 + \beta_1)(R_E \parallel R_i)}$$





شکل ۳-۴۹ مدار معادل باند میانی تقویت‌کننده تفاضلی اصلاح شده مثال (۳-۱۱)

است. طبقه دوم تقویت‌کننده بیس مشترک و سیگنال ورودی آن  $v_e$  است. بهره این طبقه:

$$\frac{v_o}{v_e} = \frac{\beta_r R_L}{r_{x1} + r_{\pi 2}}$$

در نتیجه بهره باند میانی حاصل ضرب دو نسبت بدست آمده می‌باشد.

$$A_o = \frac{(1 + \beta_1)(R_E \parallel R_i) \beta_r R_L}{[R_S + r_{x1} + r_{\pi 1}] [1 + (1 + \beta_1)(R_E \parallel R_i)] [r_{x1} + r_{\pi 2}]}$$

در رابطه فوق  $R_i = \frac{r_{x2} + r_{\pi 2}}{1 + \beta_r}$  می‌باشد. عموماً بایاس تقویت‌کننده توسط منبع جریان انجام می‌شود که مقاومت خروجی معادل آن بزرگ است بطوریکه از مقاومت  $R_E$  در مقابل  $R_i$  می‌توان صرف‌نظر کرد. بنابراین عبارت ساده شده بهره باند میانی:

$$A_o = + \frac{\beta R_L}{R_S + 2(r_x + r_{\pi})}$$

بدست می‌آید. با مقادیر داده شده عناصر مدار و برای بهره باند میانی ۳۲ مقاومت  $R_L$  لازم:

$$100 = \frac{100 R_L}{0.6 \text{ k}\Omega + 2(1.05 \text{ k}\Omega)} \Rightarrow R_L = 0.864 \text{ k}\Omega$$

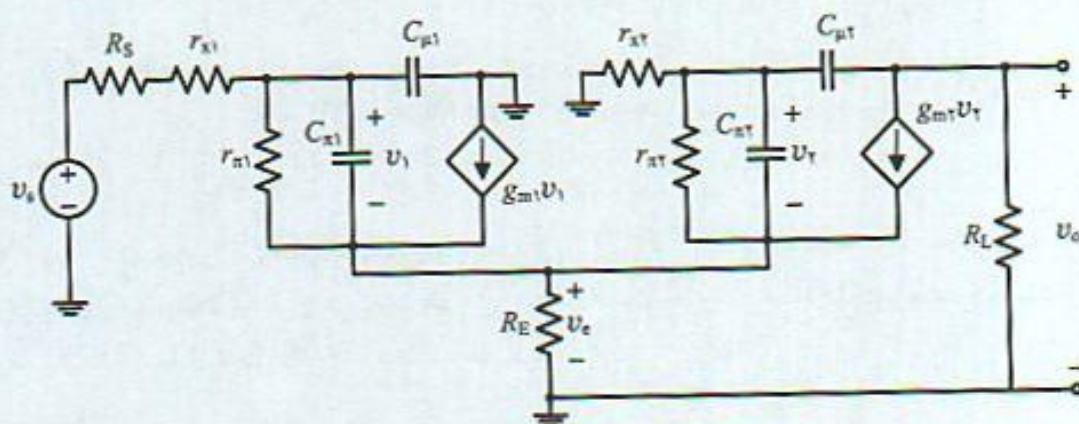
که مقاومت استاندارد ۸۶۰  $\Omega$  انتخاب می‌شود.

محاسبات فرکانس بالا شکل (۳-۵۰) مدار معادل فرکانس بالای تقویت‌کننده را نشان می‌دهد که با استفاده از آن مقاومت‌های مدار باز هر خازن محاسبه می‌شود.

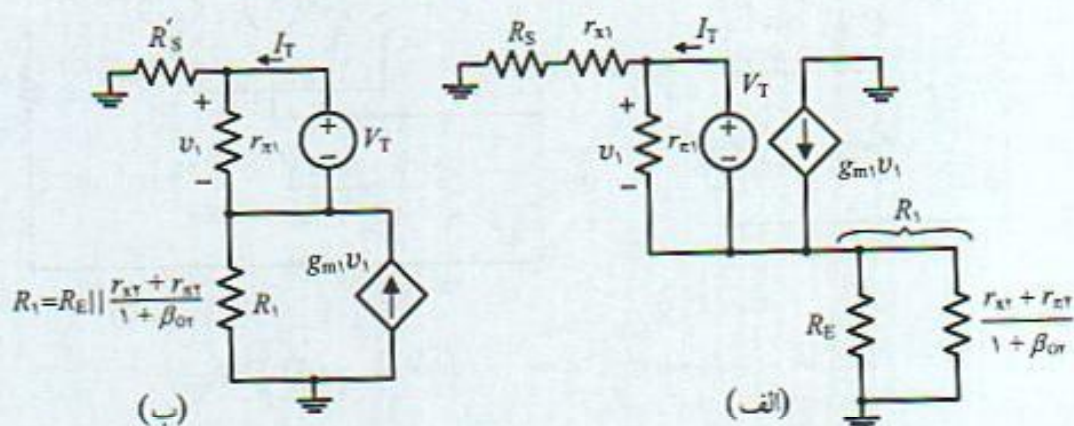
$C_{\pi 1}$ : مقاومت مدار باز خازن  $C_{\pi 1}$  از شکل (۳-۵۱) بدست می‌آید. این مقاومت مشابه مثال (۳-۸) با استفاده از روابط (۳-۵۳). (۳-۵۴) بدست می‌آید.

$$R_{10} = r_{\pi 1} \parallel \frac{R_S + r_{x1} + R_i}{1 + g_{m2} R_i} = 1 \parallel \frac{0.65 + 0.0104}{1 + 1.04} = 0.244 \text{ k}\Omega$$

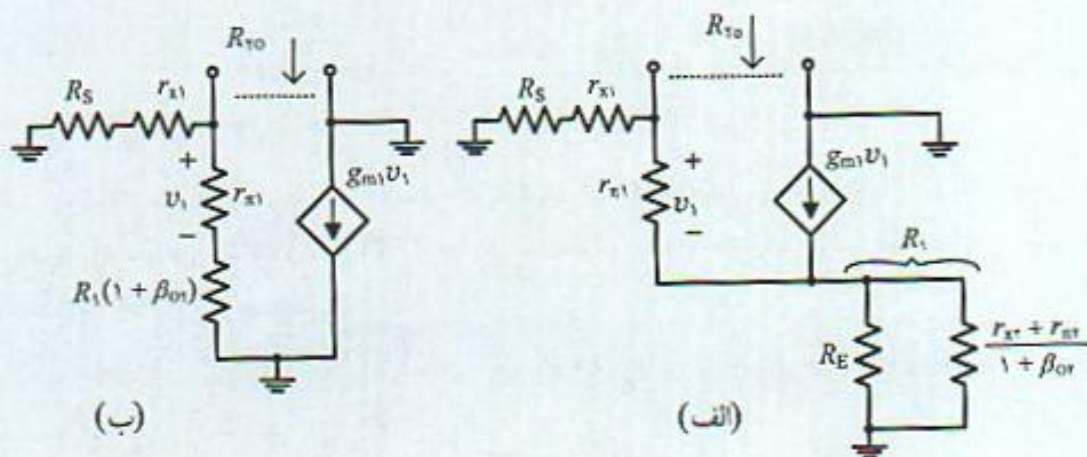




شکل ۳-۵۰ مدار معادل فرکانس بالای تقویت‌کننده تفاضلی اصلاح شده



شکل ۳-۵۱ مدار معادل برای محاسبه  $R_{10}$  دو سر  $C_{\pi1}$



شکل ۳-۵۲ مدار معادل دو سر خازن  $C_{\pi1}$  برای محاسبه  $R_{10}$

$$R_1 = R_E \parallel \frac{r_x + r_{\pi}}{1 + \beta_1} = 10.4 \, \Omega$$

شکل (۳-۵۲) مدار معادل اطراف خازن  $C_{\pi1}$  را نشان می‌دهد. با توجه به اینکه کلکتور  $T_1$  زمین شده است،  $R_{10}$  با توجه به مدار معادل ساده شده که در آن مقاومت موجود در امیتر به بیس منتقل شده است

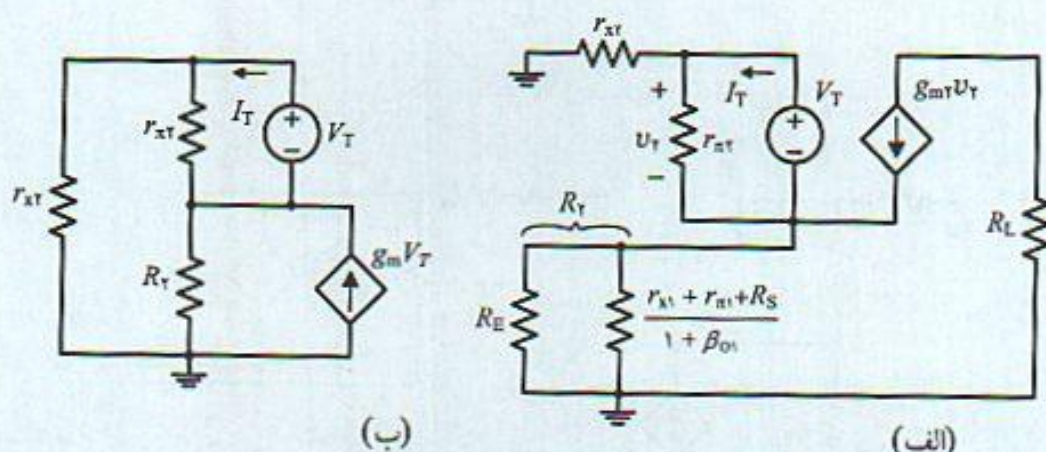


محاسبه می‌شود.

$$R_{T0} = (R_S + r_{x1}) \parallel [r_{\pi1} + (1 + \beta) R_1] = 0,493 \text{ k}\Omega$$

$$R_1 = 10,4 \text{ }\Omega$$

$C_{\pi2}$ : مقاومت دو سر این خازن مشابه  $R_{10}$  است. تنها با این فرق که در رابطه مربوط به  $R_{10}$  به جای مقاومت  $R_S + r_{x1}$  قرار می‌گیرد. همچنین  $R_T$  مقاومت خروجی طبقه کلکتور مشترک است و این مقاومت از مدار معادل شکل (۳-۵۳) محاسبه می‌شود.



شکل ۳-۵۳ مدار معادل برای محاسبه  $R_{T0}$  مقاومت دو سر خازن  $C_{\pi2}$

$$R_{T0} = r_{\pi2} \parallel \frac{r_{x1} + R_T}{1 + g_m R_T} = 1 \text{ k}\Omega \parallel \frac{(0,05 + 0,016336) \text{ k}\Omega}{1 + 1,6336} = 24,542 \text{ }\Omega$$

$$R_T = R_E \parallel \frac{R_S + r_x + r_{\pi}}{1 + \beta_1} \approx \frac{R_S + r_x + r_{\pi}}{1 + \beta_1} = 16,336 \text{ }\Omega$$

$C_{\mu2}$ :  $R_{T0}$  مقاومت دو سر خازن  $C_{\mu2}$  با توجه به شکل (۳-۵۴) تعیین می‌شود که در آن  $R_T$  کل مقاومت خروجی طبقه کلکتور مشترک  $R_T \approx 16,336 \text{ }\Omega$  است. با توجه به محاسبات بخش‌های قبل و با استفاده از رابطه مشابه (۳-۶۳) و از عبارت

$$R_{T0} = R_A + (1 + k g_m R_A k) R_L$$

بدست می‌آید که در آن مقادیر  $k$  و  $R_A$ :

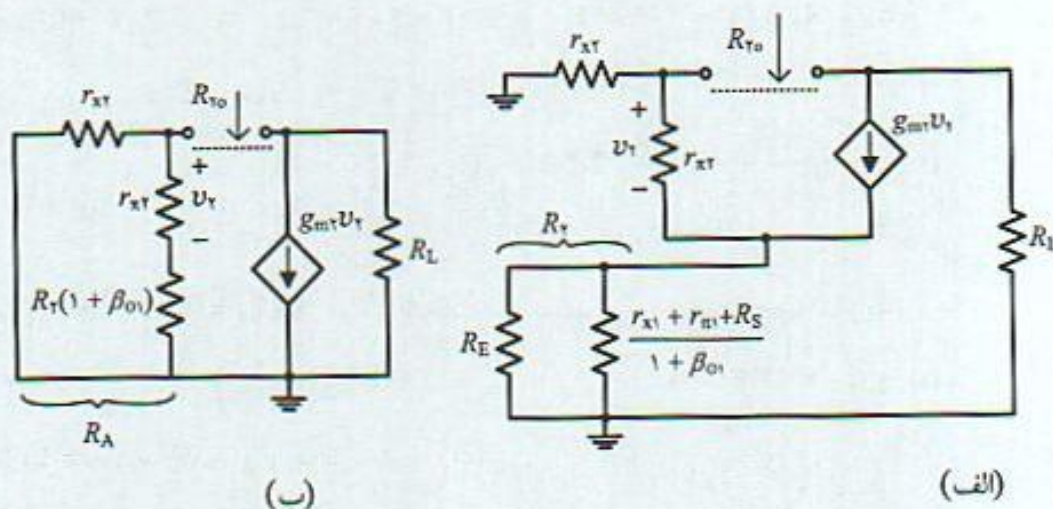
$$k = \frac{r_{\pi2}}{r_{\pi2} + (1 + \beta_2) R_T} = 0,377$$

$$R_A = r_{x2} \parallel [r_{\pi2} + (1 + \beta_2) R_T] = 0,049 \text{ k}\Omega$$

و بنابراین مقاومت  $R_{T0}$  دو سر خازن  $C_{\mu2}$

$$R_{T0} = 0,049 + (1 + 0,377 \times 0,1 \times 49) \times 0,86 = 2,5 \text{ k}\Omega$$





شکل ۵۴-۳ مدار معادل برای محاسبه  $R_{T0}$

نتیجه مهمی که از این محاسبات می‌توان بدست آورد آن است که بیشترین مقاومت  $R_{T0}$  است که اثر زیادی بر پهنای باند دارد. در عبارت مربوط به  $R_{T0}$  علاوه بر  $R_L$  که بهره مدار را تعیین می‌کند، مقاومت  $R_A$  نیز اهمیت دارد. در رابطه  $R_A$  مقاومت  $r_{x2}$  مهمترین عبارت است. هر چه  $r_{x2}$  کوچکتر باشد  $R_A$  کمتر و محدودیت بر پهنای باند کمتر خواهد بود. بنابراین مقاومت  $r_{x2}$  بر پهنای باند تقویت‌کننده اثر تعیین‌کننده دارد و از آنجایی که این مقاومت در ترانزیستور توسط جریان یا ولتاژ نقطه کار قابل کنترل نیست می‌توان نتیجه گرفت فرکانس قطع بالای تقویت‌کننده دیگرانسیل اصلاح شده به آسانی قابل تنظیم نمی‌باشد. بطور خلاصه مقاومت دو سر هر خازن و ثابت زمانی متناظر با آن بصورت:

$$\begin{aligned} R_{10} &= 0.244 \text{ k}\Omega & \Rightarrow & \tau_{10} = C_{\pi 1} R_{10} = 0.244 C_{\pi 1} \\ R_{T0} &= 0.493 \text{ k}\Omega & \Rightarrow & \tau_{T0} = C_{\mu 1} R_{T0} = 0.493 C_{\mu 1} \\ R_{T0} &= 24.542 \text{ }\Omega & \Rightarrow & \tau_{T0} = C_{\pi 2} R_{T0} = 0.0245 C_{\pi 2} \\ R_{T0} &= 2.5 \text{ k}\Omega & \Rightarrow & \tau_{T0} = C_{\mu 2} R_{T0} = 2.5 C_{\mu 2} \end{aligned}$$

می‌باشند.

از این نقطه به بعد انتخاب خازن‌های پیوند ترانزیستور  $C_j$  و در واقع انتخاب نوع ترانزیستور است. بدیهی است با توجه به چندین مجهول، مسئله دارای جواب‌های زیادی است و لازم است طرحی را انتخاب نمود که از نظر اقتصادی و هزینه تمام شده هم مناسب باشد. در این بخش دو طرح مختلف برای انتخاب ترانزیستورها معرفی می‌شود. با توجه به مقدار مورد نظر  $f_H = 8 \text{ MHz}$  مجموع ثابت زمانی‌ها:

$$\sum \tau_{j0} = \frac{1}{2\pi f_H} = 19.894 \text{ ns}$$

می‌باشد.

طرح (الف):  $C_{\mu 1} = C_{\mu 2} = 3 \text{ pF}$  با انتخاب این مقادیر مجموع ثابت زمانیهای مربوط به خازنهای  $C_{\mu}$ :

$$\tau_{T0} + \tau_{T0} = (R_{T0} + R_{T0}) C_{\mu} = (0.493 + 2.5) 3 = 8.979 \text{ ns}$$

باشد. در نتیجه لازم است مجموع ثابت زمانیهای مربوط به خازن‌های  $C_{\pi}$



$$\tau_{10} + \tau_{r0} = (R_{T0} + R_{r0}) C_{\pi} = (19,894 - 8,979) = 10,915 \text{ ns} \Rightarrow C_{\pi} = 40,65 \text{ pF}$$

و  $f_T$  لازم برای ترانزیستورها

$$f_T = \frac{g_m}{2\pi (C_{\pi} + C_{\mu})} = 364 \text{ MHz} \quad (I_{CQ} = 2,5 \text{ mA})$$

بدست می آید.

طرح (ب):  $C_{\mu 1} = C_{\mu 2} = 2 \text{ pF}$  با انتخاب این مقادیر برای خازنهای  $C_{\mu}$  ترانزیستورها:

$$\tau_{10} + \tau_{r0} = 13,908 \text{ ns}, \quad \tau_{10} + \tau_{r0} = 5,986 \text{ ns}$$

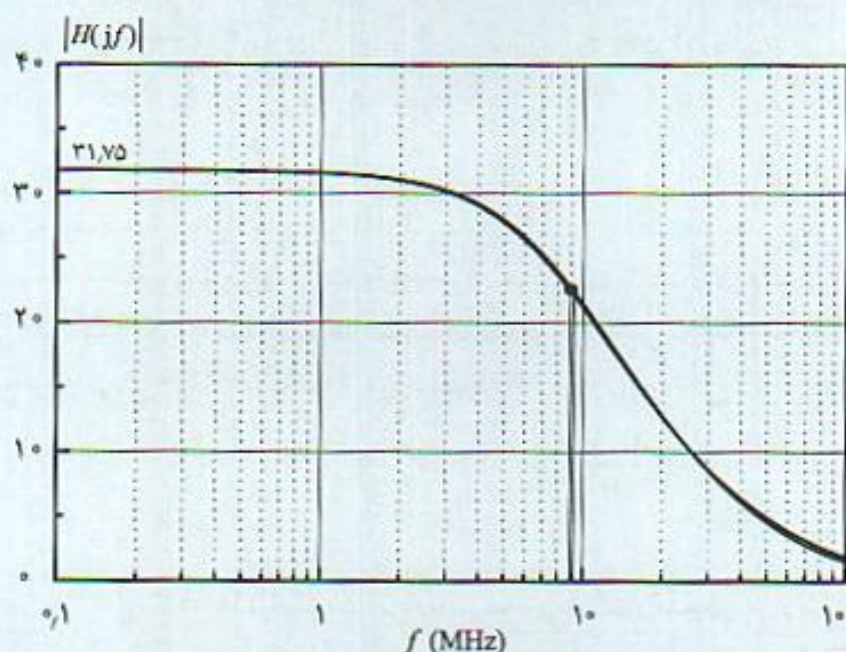
و بنابراین مقدار خازن  $C_{\pi}$  و  $f_T$  ترانزیستورها مقادیر

$$C_{\pi} = \frac{13,908}{0,244 + 0,0245} = 51,8 \text{ pF}$$

$$f_T = 296 \text{ MHz} \quad (I_{CQ} = 2,5 \text{ mA})$$

مقایسه دو روش نشان می دهد در طرح اول ترانزیستوری با  $C_{\pi}$  کمتر انتخاب شده است و طرح دوم به ترانزیستوری با  $f_T$  کمتر منجر شده است. فاکتور مهم دیگری که در انتخاب ترانزیستور در نظر گرفته می شود قیمت آن و قیمت تمام شده طرح خصوصاً در خط تولید می باشد. معمولاً ترانزیستور با  $C_{\mu}$  کمتر گرانتر می باشد. بنابراین از جهت قیمت تمام شده طرح اول مناسبتر است.

محاسبات دقیق شکل (۳-۵۵) پاسخ فرکانس مدار طراحی شده را با استفاده از نرم افزار spice برای هر یک از روشهای طراحی نشان می دهد. در روش (الف)  $f_H = 9,2 \text{ MHz}$  و در روش (ب)  $f_H = 8,95 \text{ MHz}$  بدست آمده اند که بیش از مقدار مورد نظر  $8 \text{ MHz}$  می باشد. در هر دو حالت بهره باند میانی  $31,75$  می باشد.



شکل ۳-۵۵ پاسخ فرکانس تقویت کننده طراحی شده در دو حالت مختلف با استفاده از spice



**اصلاح طرح** برای اصلاح مدار و رسیدن به مقدار پهنای باند مورد نظر، یک روش اصلاح مدار تغییر خازن‌های  $C_{\pi}$  (با همان مقادیر  $C_{\mu}$ ) است. برای این کار ابتدا مجموع ثابت زمانی تمام خازن‌ها را با نسبت  $\frac{9,2}{8}$  افزایش داده و با توجه به مشخص بودن خازن  $C_{\mu}$  مقدار مناسب خازن  $C_{\pi}$  جدید محاسبه می‌شود. ضریب فوق مربوط به میزان افزایش پهنای باند حاصل در طراحی انجام شده در مقایسه با مقدار مورد نظر می‌باشد. با انتخاب روش اول و  $C_{\mu} = 3 \text{ pF}$  به عنوان مبنای محاسبات:

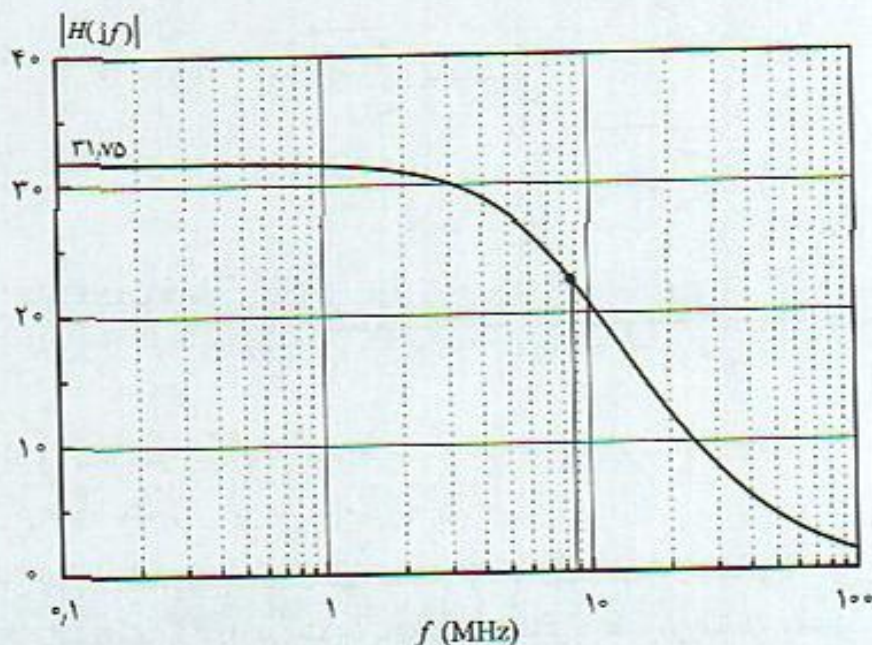
$$\sum \tau_{jo} = 19,894 \frac{9,2}{8} = 19,894 \times 1,15 = 22,878 \text{ ns} \quad \text{مجموع ثابت زمانی خازن‌ها}$$

مجموع ثابت زمانی خازن‌های  $C_{\mu} = 3 \text{ pF}$ ،  $10,915 \text{ ns}$  است. بنابراین لازم است مجموع ثابت زمانی خازن‌های  $C_{\pi}$  مقدار  $22,878 - 10,915 = 11,963 \text{ ns}$  باشد. در نتیجه:

$$C_{\pi} = \frac{11,963}{0,244 + 0,0245} = 44,555 \text{ pF}$$

$$f_T = \frac{100}{2\pi (44,555 + 3)} = 334,85 \text{ MHz} \quad (I_{CQ} = 2,5 \text{ mA})$$

شکل (۵۶-۳) پاسخ فرکانس تقویت‌کننده اصلاح شده را نشان می‌دهد که در آن  $f_{HI} = 8,7 \text{ MHz}$  بدست آمده است. با یک مرحله اصلاح دیگر در طرح می‌توان به مقدار مورد نظر  $8 \text{ MHz}$  دست یافت.



شکل ۵۶-۳ پاسخ فرکانس تقویت‌کننده مثال ۱۲-۳ با ترانزیستورهای اصلاح شده



### ۱۱-۳ طرح تقویت‌کننده با بهره حداقل ۷۰۰۰ و پهنای باند ۳ MHz

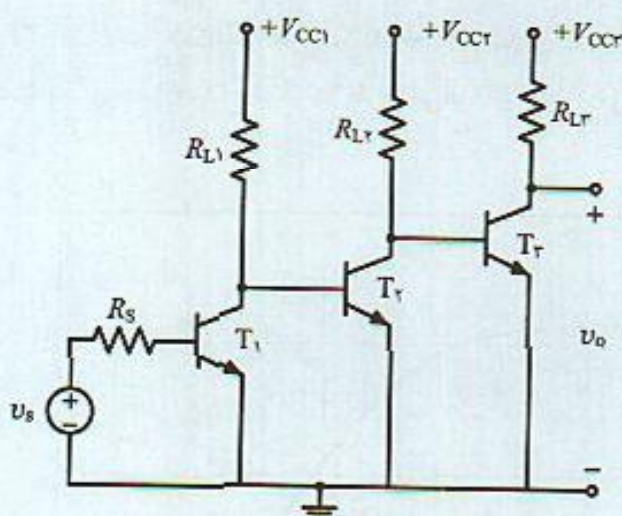
مثال دیگری که در این بخش مطرح می‌شود طرح تقویت‌کننده‌ای با بهره باند میانی ۷۰۰۰ و فرکانس قطع ۳ dB بالا حدود ۳ MHz است. این بهره زیاد را با یک طبقه تقویت‌کننده نمی‌توان بدست آورد. علاوه بر آن می‌توان نشان داد که با دو طبقه امیتر مشترک هم نمی‌توان به این پهنای باند زیاد دست یافت. چون لازم است هر کدام از طبقات دارای بهره ۸۵ باشند. این بهره زیاد سبب می‌شود ثابت زمانی مربوط به خازن  $C_{\mu}$  زیاد شده و ترانزیستور مناسبی برای این شرایط نمی‌توان تعیین کرد. از این جهت لازم است که یک تقویت‌کننده سه طبقه سری امیتر مشترک بکار برد که در مثال (۱۳-۳) طراحی کامل مدار تشریح شده است.

#### مثال ۱۳-۳

شکل (۵۷-۳) تقویت‌کننده سه طبقه امیتر مشترک را نشان می‌دهد. این مدار را با مشخصات

$$|A_0| \geq 7000, \quad f_H \geq 3 \text{ MHz}, \quad R_S = 50 \Omega$$

طراحی کنید. پاسخ فرکانس مدار طرح شده را با spice بررسی و در صورت لزوم طرح را اصلاح کنید.



شکل ۵۷-۳ تقویت‌کننده سه طبقه  
مثال (۱۳-۳)

مسئله شامل مجهولات زیادی است و می‌توان طرحهای متنوعی بکار برد. اما لازم است نکات مهمی را در طراحی در نظر گرفت که مهمترین این نکات عبارتند از:

**الف) نویز** در تقویت‌کننده‌ها نویز مساله مهم است و خصوصاً طبقات اول باید نویز کمی به مدار اضافه کنند. در مورد ترانزیستورهای BJT هر چه جریان نقطه کار کمتر باشد نویز آنها کمتر است. بنابراین برای کم شدن نویز در خروجی انتخاب نقطه کار بخصوص در طبقه اول مهم است. بر این اساس جریان نقطه کار ۱ mA برای ترانزیستور طبقه اول انتخاب می‌شود. البته کاهش جریان نقطه کار بهره ترانزیستور را کم می‌کند ولی می‌توان جریان طبقات بعدی را بیشتر انتخاب نمود تا کاهش بهره جبران شود.

**ب) پهنای باند** در تقویت‌کننده امیتر مشترک مقاومت دو سر خازن  $C_{\mu}$  و مقاومت  $R_L + (1 + g_m R_i) R_L$



عامل محدودیت پهنای باند و عبارت  $R_i R_L g_m$  مهم‌ترین بخش تعیین‌کننده آن است.  $R_i$  مقاومت ورودی تقویت‌کننده و  $R_L$  مقاومت بار آن است. در مورد طبقه خروجی  $R_L = R_{L2}$  و برای طبقه دوم  $R_L = R_{L2} \parallel (r_{x2} + r_{\pi2})$  و در طبقه اول  $R_L = R_{L1} \parallel (r_{x1} + r_{\pi1})$  است. بنابراین برای کم کردن عبارت  $R_i R_L g_m$  برای خازن  $C_{\mu}$  و در طبقات مختلف، لازم است رابطه:

$$R_{L2} < R_{L1} < R_{L3} \quad (69-3)$$

برقرار باشد تا محدودیت پهنای باند در طبقات مختلف به نحو مشابهی توزیع شود. زیرا برای طبقات اول و دوم کل مقاومت بار کوچکتر از  $R_{L1}$ ،  $R_{L2}$  است. در واقع برای اینکه مقدار  $R_i R_L g_m$  محدودیت زیادی ایجاد نکند باید سطح مقاومت بار را از  $T_1$  به سمت  $T_2$  کاهش داد.

ج) انتخاب نقطه کار در مورد  $T_1$  نقطه کار  $1 \text{ mA}$  با توجه به نویز انتخاب شد. برای سایر ترانزیستورها لازم است شرط  $(57-3)$  و هم چنین این نکته مهم که با کاهش جریان نقطه کار بهره ترانزیستور کم می‌شود را در نظر گرفت. براساس این نکات جریان نقطه کار  $T_2$  و  $T_3$  بترتیب  $5 \text{ mA}$  و  $10 \text{ mA}$  انتخاب می‌شوند. به این ترتیب می‌توان پارامترهای مختلف ترانزیستورها را بصورت جدول  $(3-3)$  خلاصه کرد. فرض شده است ترانزیستورها دارای  $\beta_0 = 100$  و در آنها  $r_{\pi} \approx 0.1 r_x$  می‌باشد.

جدول ۳-۳ مشخصات نقطه کار و پارامترهای ترانزیستورهای مدار شکل  $(57-3)$

	$T_1$	$T_2$	$T_3$
$I_{CQ} \text{ mA}$	۱	۵	۱۰
$g_m \text{ m}\Omega^{-1}$	۴۰	۲۰۰	۴۰۰
$r_{\pi} \text{ k}\Omega$	۲.۵	۰.۵	۰.۲۵
$r_x \text{ k}\Omega$	۰.۲	۰.۰۰۵	۰.۰۲۵

د) بهره تقویت‌کننده آخرین نکته لازم در طراحی بهره حداقل  $7000$  مدار است. عبارت بهره مدار

$$A_0 = - \frac{\beta_1 R_{L1}}{R_S + r_{x1} + r_{\pi1}} \times \frac{\beta_2 R_{L2}}{R_{L1} + r_{x2} + r_{\pi2}} \times \frac{\beta_3 R_{L3}}{R_{L2} + r_{x3} + r_{\pi3}}$$

است. با جایگزینی مقادیر مشخص شده در جدول  $(3-3)$  و مقاومت منبع، لازم است رابطه  $(70-3)$  برقرار باشد.

$$|A_0| = \frac{100^3 R_{L1} R_{L2} R_{L3}}{2.75 (R_{L1} + 0.55) (R_{L2} + 0.275)} \geq 7000 \quad (70-3)$$

مقادیر متنوعی می‌توان برای مقاومتها در نظر گرفت. با در نظر گرفتن رابطه  $(69-3)$  و با انتخاب مقادیر:

$$R_{L3} = 60 \Omega, \quad R_{L2} = 120 \Omega, \quad R_{L1} = 300 \Omega$$

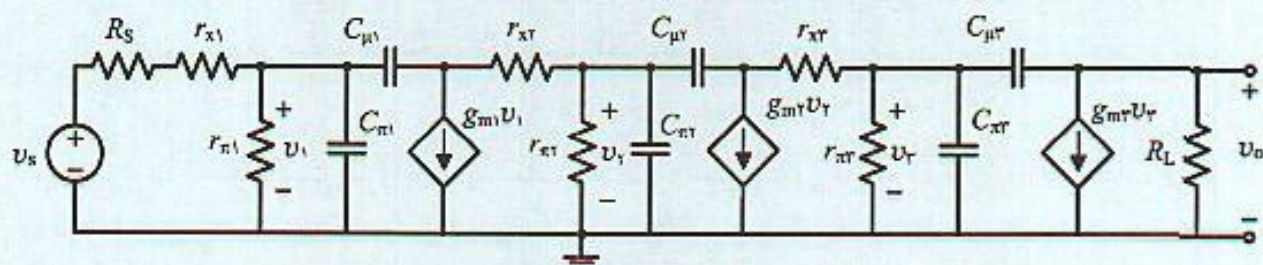
بهره مدار  $2340$  بدست می‌آید که کمتر از مقدار مورد نظر است. با انتخاب مقادیر از رابطه  $(71-3)$ :

$$R_{L3} = 100 \Omega, \quad R_{L2} = 200 \Omega, \quad R_{L1} = 500 \Omega \quad (71-3)$$



بهره مدار ۷۲۹۱- خواهد شد که بیش از مقدار موردنظر است.

محاسبات فرکانس بالا شکل (۵۸-۳) مدار معادل فرکانس بالای تقویت کننده ۳ طبقه را نشان می دهد که با



شکل ۵۸-۳ مدار معادل فرکانس بالای تقویت کننده مثال (۳-۱۳)

استفاده از آن مقاومت های مدار باز هر خازن قابل محاسبه است.

$$C_{\pi1} : R_{10} = (R_S + r_{x1}) \parallel r_{\pi1} = ۵,۲۲۸ \text{ k}\Omega$$

$$C_{\mu1} : R_{20} = R_{10} + (1 + g_{m1} R_{10}) [R_{L1} \parallel (r_{x2} + r_{\pi2})] = ۲,۵۵ \text{ k}\Omega$$

$$C_{\pi2} : R_{20} = r_{\pi2} \parallel (R_{L1} + r_{x2}) = ۵,۲۶۲ \text{ k}\Omega$$

$$C_{\mu2} : R_{30} = R_{20} + (1 + g_{m2} R_{20}) [R_{L2} \parallel (r_{x3} + r_{\pi3})] = ۶,۴۳ \text{ k}\Omega$$

$$C_{\pi3} : R_{30} = r_{\pi3} \parallel (R_{L2} + r_{x3}) = ۵,۱۱۸ \text{ k}\Omega$$

$$C_{\mu3} : R_{\phi0} = R_{30} + (1 + g_{m3} R_{30}) R_{L3} = ۴,۹۲ \text{ k}\Omega$$

انتخاب نوع ترانزیستور:

طرح (الف):  $C_{\mu} = ۳ \text{ pF}$  با انتخاب این خازن مجموع ثابت زمان های خازن های

$$\tau_{10} + \tau_{20} + \tau_{\phi0} = (R_{10} + R_{20} + R_{\phi0}) C_{\mu} = (۲,۵۵ + ۶,۴۳ + ۴,۹۲) ۳ = ۴۲,۶۹ \text{ ns}$$

باتوجه به  $f_H = ۳ \text{ MHz}$  مورد نیاز، کل ثابت زمانی  $\sum \tau_{j0} = \frac{1}{2\pi f_H} = ۵۳,۰۵ \text{ ns}$  و بنابر این مجموع ثابت زمانی خازن های  $C_{\pi}$ :

$$\tau_{10} + \tau_{20} + \tau_{\phi0} = (R_{10} + R_{20} + R_{\phi0}) C_{\pi} = (۵۳,۰۵ - ۴۲,۶۹) = ۱۰,۳۶ \text{ ns}$$

است. برای اینکه در طراحی به ترانزیستورهای یکسان در سه طبقه منجر شود این نکته را باید در نظر داشت که  $C_{\pi}$  تقریباً متناسب با نقطه کار است. چنانچه  $C_{\pi1}$  در جریان  $۱ \text{ mA}$  به عنوان مبنا در نظر گرفته شود بنابر این برای سایر ترانزیستورها می توان خازن های  $C_{\pi}$  را بر حسب  $C_{\pi1}$  نوشت.

$$C_{\pi2} = ۵ C_{\pi1}, \quad C_{\pi3} = ۱۰ C_{\pi1}$$

و در نتیجه مقدار خازن  $C_{\pi1}$  برای ترانزیستور  $T_1$  بدست می آید.

$$\sum R_{j0} C_{\pi j} = R_{10} C_{\pi1} + R_{20} ۵ C_{\pi1} + R_{\phi0} ۱۰ C_{\pi1} = ۱۰,۳۴۱ \text{ ns}$$

$$(R_{10} + ۵ R_{20} + ۱۰ R_{\phi0}) C_{\pi1} = ۱۰,۳۴۱ \text{ ns} \Rightarrow C_{\pi1} = ۳,۸۱۲ \text{ pF}$$



و در نتیجه مقادیر خازنهای  $C_{\pi}$  و  $f_T$  برای هر یک از ترانزیستورها در نقاط کار مربوطه:

$$T_1: C_{\pi 1} = 3,812 \text{ pF} \Rightarrow f_T = 1,1 \text{ GHz} \quad (I_{CQ} = 1 \text{ mA})$$

$$T_2: C_{\pi 2} = 19,06 \text{ pF} \Rightarrow f_T = 1,51 \text{ GHz} \quad (I_{CQ} = 5 \text{ mA})$$

$$T_3: C_{\pi 3} = 38,12 \text{ pF} \Rightarrow f_T = 1,58 \text{ GHz} \quad (I_{CQ} = 10 \text{ mA})$$

ملاحظه می‌شود در این طرح  $f_T$  بالایی بدست آمده و خازن  $C_{\pi 1}$  نیز مقدار کمی است و ممکن است این نوع ترانزیستور در دسترس نباشد.

طرح (ب):  $C_{\mu} = 2 \text{ pF}$  در این روش طراحی مدار خازن  $C_{\mu}$  ترانزیستورها 2 pF انتخاب می‌شود.

$$\tau_{T0} + \tau_{r0} + \tau_{f0} = (R_{T0} + R_{r0} + R_{f0}) C_{\mu} = 28,46 \text{ ns}$$

$$\tau_{10} + \tau_{r0} + \tau_{f0} = \Sigma \tau_{j0} - 28,46 = 53,03 - 28,46 = 24,5 \text{ ns}$$

بنابراین در این روش طرح تقویت‌کننده ترانزیستورهایی با مشخصات:

$$T_1: C_{\pi 1} = 9 \text{ pF} \Rightarrow f_T = 578 \text{ MHz} \quad (I_{CQ} = 1 \text{ mA})$$

$$T_2: C_{\pi 2} = 45 \text{ pF} \Rightarrow f_T = 677 \text{ MHz} \quad (I_{CQ} = 5 \text{ mA})$$

$$T_3: C_{\pi 3} = 90 \text{ pF} \Rightarrow f_T = 700 \text{ MHz} \quad (I_{CQ} = 10 \text{ mA})$$

با توجه به مقدار مناسب  $f_T$ ، بنابراین ترانزیستوری به مشخصات زیر در این تقویت‌کننده مورد نیاز است.

$$C_{\mu} = 2 \text{ pF}, \quad f_T = 700 \text{ MHz}, \quad \beta_0 = 100, \quad I_{CQ} = 10 \text{ mA}$$

محاسبات دقیق محاسبات دقیق مدار طرح شده در روش دوم و با استفاده از معادلات ولتاژ گره و حل آنها نشان می‌دهد مدار طرح شده دارای  $f_{H1} = 3,85 \text{ MHz}$  است که ۲۸٪ بیش از مقدار مورد نظر است.

اصلاح مدار و طرح (ج): ساده‌ترین روش برای اصلاح مدار کم کردن  $f_T$  با افزایش مقدار خازن  $C_{\pi}$  و  $C_{\mu} = 2 \text{ pF}$  است. برای این کار می‌توان مجموع ثابت زمانی‌ها را به نسبت  $\frac{3,85}{3}$  افزایش داد.

$$\Sigma \tau_{j0} = 53,03 \times \frac{3,85}{3} = 68,08 \text{ ns}$$

با همان خازنهای  $C_{\mu} = 2 \text{ pF}$ ، مجموع ثابت زمانی‌های خازنهای  $C_{\pi}$  مقدار:

$$\tau_{10} + \tau_{r0} + \tau_{f0} = \Sigma \tau_{j0} - 28,46 = 68,08 - 28,46 = 39,62 \text{ ns}$$

و مشابه روش قبل مقدار خازنهای  $C_{\pi}$  برای هر ترانزیستور:

$$C_{\pi 1} = 14,5 \text{ pF}, \quad C_{\pi 2} = 73 \text{ pF}, \quad C_{\pi 3} = 145 \text{ pF}$$

بنابراین ترانزیستوری با  $f_T = 430 \text{ MHz}$  در نقطه کار  $I_{CQ} = 10 \text{ mA}$  مورد نیاز می‌باشد. گرچه مقدار  $f_T$  در مقایسه با حالت (ب) قبل کم شده است اما باید در نظر داشت از نظر قیمت فرق چندانی با حالت قبل نمی‌کند. بطور خلاصه ترانزیستوری به مشخصات:

$$C_{\mu} = 2 \text{ pF}, \quad f_T = 430 \text{ MHz}, \quad \beta_0 = 100, \quad I_{CQ} = 10 \text{ mA}$$

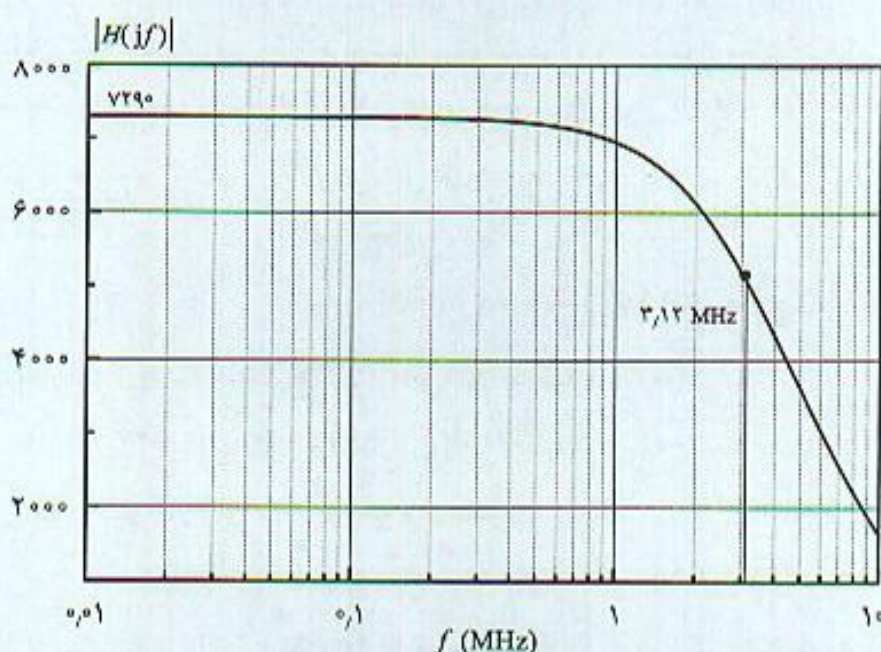
مورد نیاز می‌باشد.



محاسبات دقیق بررسی دقیق مدارهای طراحی شده در حالت (ب) و (ج) نشان می‌دهد که تقویت‌کننده دارای قطب‌هایی است که در جدول (۳-۴) خلاصه شده‌اند. این نتایج مبتنی بر حل معادلات ولتاژ و گره توسط برنامه کامپیوتری است. در طرح (ج)  $f_T = 3.12 \text{ MHz}$  بدست آمده که به مقدار مورد نظر نزدیک است. هم‌چنین پاسخ فرکانس تقویت‌کننده با ترانزیستورهای انتخاب شده که توسط نرم‌افزار spice بدست آمده در شکل (۳-۵۹) ملاحظه می‌شود. این بررسی نشان می‌دهد فرکانس قطع بالای تقویت‌کننده  $3.12 \text{ MHz}$  می‌باشد.

جدول ۳-۴ محاسبات دقیق محل قطب‌های تقویت‌کننده مثال (۳-۱۲)

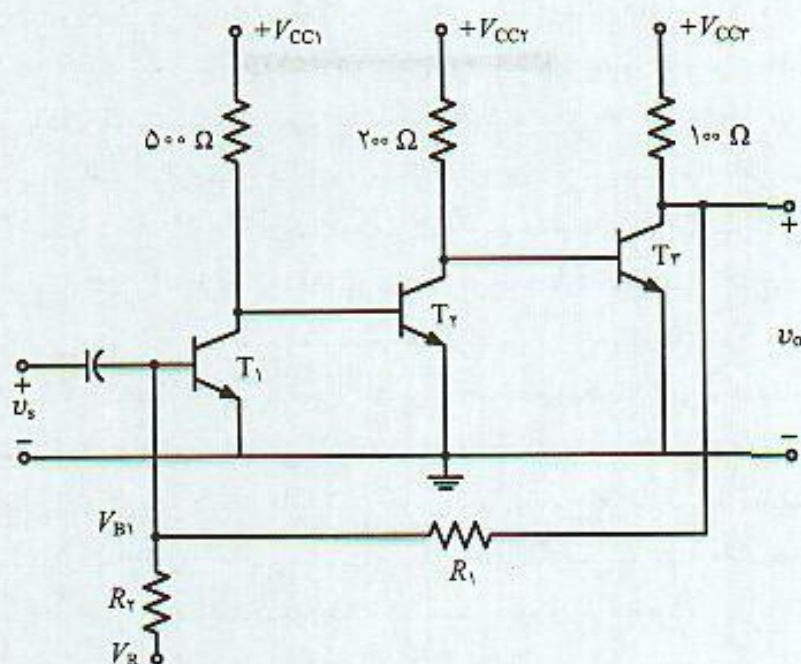
		طرح (ج)	طرح (ب)
$s_a$	$(\text{ns})^{-1}$	$-0.0251$	$-0.0205$
$s_b$	$(\text{ns})^{-1}$	$-0.0943$	$-0.0654$
$s_c$	$(\text{ns})^{-1}$	$-0.409$	$-0.270$
$s_d$	$(\text{ns})^{-1}$	$-9.55$	$-7.82$
$s_e$	$(\text{ns})^{-1}$	$-18.22$	$-15.50$
$s_f$	$(\text{ns})^{-1}$	$-28.56$	$-26.21$
$f_H$	$(\text{MHz})$	$3.12$	$3.85$



شکل ۳-۵۹ پاسخ فرکانس تقویت‌کننده ۳ طبقه بررسی شده با نرم‌افزار spice در حالت (ج)

مدار بایاس با استفاده از مدار مقسم ولتاژ می‌توان ترانزیستورهای تقویت‌کننده سه طبقه را در شرایط مورد نظر بایاس نمود. این روش به عناصر زیادی (خازن و مقاومت) نیاز دارد. از طرف دیگر چون امیتر





شکل ۳-۶۰ تقویت‌کننده سه طبقه با مدار بایاس مناسب

ترانزیستورها را نمی‌توان در فرکانسهای بالا بخوبی زمین کرد، ممکن است بهره مدار کاهش یافته و یا باعث ناپایداری تقویت‌کننده شود.

روش دیگر بایاس ترانزیستورها کوپلاژ مستقیم بین طبقات بصورت شکل (۳-۶۰) است و برای پایداری نقطه کار می‌توان از فیدبک (ولتاژ- موازی) استفاده کرد. مقاومت بزرگ  $R_1$  را بین ورودی و خروجی قرار داده از ولتاژ کلکتور  $T_2$  نمونه برداری و جریان بیس  $T_1$  کنترل می‌شود. اگر در اثر عواملی (مانند درجه حرارت و تغییر  $h_{fe}$ ) جریان کلکتور  $T_1$  افزایش یابد این تغییرات در  $\beta^2$  ضرب و در کلکتور  $T_2$  ظاهر شده و ولتاژ کلکتور  $T_2$  کاهش می‌یابد. با توجه به اینکه دو سر مقاومت  $R_2$  ولتاژ تقریباً ثابت است (یک سمت آن ولتاژ ثابت  $V_R$  و سمت دیگر  $V_{BE} = 0.7V$ )، بنابراین جریان مقاومت  $R_2$  تقریباً ثابت است و با کاهش ولتاژ کلکتور  $T_1$  جریان مقاومت  $R_1$  افزایش یافته باعث می‌شود، جریان بیس  $T_1$  که تفاضل جریان مقاومت‌های  $R_1$  و  $R_2$  است کم شده و این فیدبک باعث تثبیت نقطه کار می‌شود. با صرف نظر از جریان بیس  $I_{B1}$  می‌توان عبارت  $V_{CEQ3}$  را نوشت.

$$V_{CEQ3} = \frac{R_1 + R_2}{R_2} V_{B1} - \frac{R_1}{R_2} V_R$$

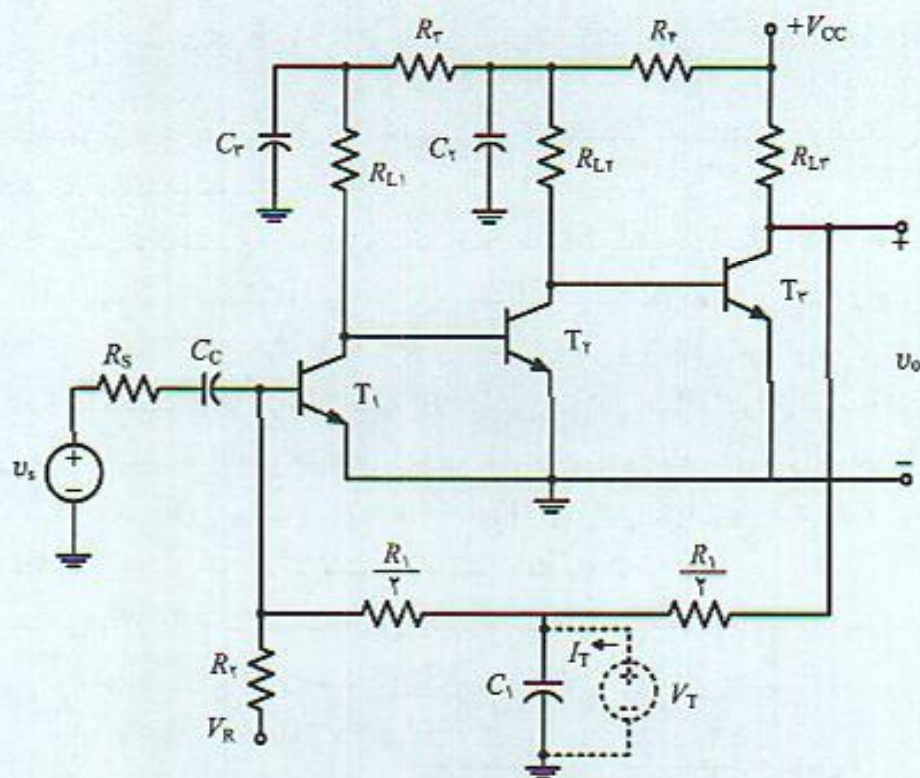
برای اینکه ولتاژ  $V_{CEQ3}$  مستقل از  $V_{B1}$  باشد باید اولاً  $V_R$  منفی باشد و ثانیاً در مقایسه با  $V_{B1} = 0.7V$  بزرگ باشد. با انتخاب مقادیر  $R_2 = 20k\Omega$ ,  $R_1 = 10k\Omega$ ,  $V_R = -10V$  در اینصورت:

$$V_{CEQ3} = 0.7 \left( \frac{30}{20} \right) + 10 \left( \frac{10}{20} \right) = 6V$$

بدست می‌آید که برای طبقه خروجی با تغییرات ولتاژ زیاد مقدار مناسبی است.



مهمترین اشکال این مدار بایاس آن است که ولتاژ  $V_{CEQ}$  ترانزیستورهای  $T_1$  و  $T_2$  حدود  $0.7V$  و نزدیک به ناحیه اشباع بایاس شده‌اند. این مسئله سبب می‌شود  $C_{\mu}$  ترانزیستورها بیش از مقدار متعارف باشد و بر پاسخ فرکانس بالای تقویت‌کننده اثر تعیین‌کننده داشته باشد. برای حل این مشکل می‌توان با قرار دادن دیودهای زبر مناسب در امیتر ترانزیستورهای  $T_1$  و  $T_2$  ولتاژ  $V_{CE}$  ترانزیستورها را افزایش داد. دو اشکال دیگر مدار شکل (۶۰-۳) آن است که اولاً به چند منبع تغذیه DC نیاز است و ثانیاً علاوه بر فیدبک DC توسط مقاومت  $R_1$ ، فیدبک AC نیز در مدار وجود دارد که باعث کاهش بهره مدار می‌شود. برای رفع مشکل اول و استفاده از یک منبع تغذیه، می‌توان بایاس ترانزیستورهای  $T_1$  و  $T_2$  را از طریق دو مقاومت  $R_2$  و  $R_3$  بصورت شکل (۶۱-۳) انجام داد. برای حذف فیدبک AC می‌توان مقاومت  $R_1$  را به دو بخش مساوی تقسیم کرد و با خازن بای‌پس  $C_1$  که بین این دو مقاومت و زمین مدار قرار داده می‌شود این نقطه از مدار را از نظر AC بای‌پس کرد. شکل (۶۱-۳) مدار کامل تقویت‌کننده ۳ طبقه را نشان می‌دهد. در مسائل تمرین انتهای فصل تعیین عناصر مناسب و مقدار خازن بای‌پس به عهده دانشجوین قرار داده شده است. در پایان بحث طراحی این تقویت‌کننده چند نکته مهم یادآوری می‌شود.



شکل ۶۱-۳ مدار کامل تقویت‌کننده سه طبقه امیتر مشترک مثال (۱۳-۳) با تمام عناصر بایاس

یادآوری ۱ برای تقویت‌کننده‌هایی با بهره زیاد مانند مدار شکل (۶۱-۳) لازم است برای اعمال  $V_{CC}$  مدارهای decoupling شامل  $R_F$ ،  $C_F$ ،  $R_E$  و  $C_E$  به مدار اضافه کرد. این مسئله به دو علت انجام می‌شود. اولاً اینکه ولتاژ DC برای ترانزیستورهای  $T_1$  و  $T_2$  از طریق یک منبع  $V_{CC}$  تامین شود و ثانیاً فیدبک‌های ناخواسته خروجی به ورودی (از طریق مقاومت‌ها  $R_F$ ،  $R_E$  و مقاومت خروجی منبع  $V_{CC}$ ) حذف شود. در



واقع این مدارها فیلترهای پایین‌گذر برای ترانزیستورهای  $T_1$  و  $T_2$  هستند تا نقاط موردنظر را از نظر AC اتصال کوتاه نمایند. البته لازم است این کار در محدوده وسیع فرکانسی انجام شود تا از نوسانات ناخواسته بعثت فیدبک ناخواسته جلوگیری شود.

**یادآوری ۲** اینکه مقدار خازن بای‌پس  $C_1$  چه مقدار باشد بسته به فرکانس قطع ۳ dB پایین موردنظر در مدار دارد که با محاسبه مقاومت اتصال کوتاه ( $R_{1s}$ ) دیده شده از دو سر آن طراحی می‌شود. ممکن است در نگاه اول تصور شود  $C_1$  خازن کوچکی است. اما چون بهره مدار زیاد است و دو سر مقاومت  $\frac{R_1}{\beta}$  ولتاژ بزرگی قرار می‌گیرد مقدار خازن  $C_1$  بزرگ خواهد بود. برای محاسبه  $R_{1s}$  از منبع ولتاژ آزمایشی در شکل (۳-۶۱) که بصورت خط چین نشان داده شده استفاده می‌شود. با فرض مدار معادل هاینرید  $\pi$  و فرض اینکه مقاومت بایاس  $R_2$  خیلی از  $R_S$  بزرگتر است، بنابراین:

$$I_{B1} = \frac{R_S}{R_S + r_{\pi}} \frac{V_T}{R_1 / \beta}$$

ولتاژ خروجی بر حسب منبع آزمایشی و با تقریبات مناسب:

$$V_o = \frac{R_S}{R_S + r_{\pi}} \frac{\beta R_{Lr}}{R_1 / \beta} V_T$$

بنابراین جریان منبع آزمایشی  $I_T$

$$I_T = \frac{R_S}{R_S + r_{\pi}} \frac{\beta R_{Lr}}{R_1 / \beta} V_T + \frac{V_T}{R_1}$$

در نتیجه هدایت اتصال کوتاه دو سر خازن  $C_1$  که نسبت  $V_T$  به  $I_T$  است از رابطه:

$$G_{1s} = \beta G_1 \left[ 1 + \frac{\beta R_S R_{Lr}}{R_1 (R_S + r_{\pi})} \right]$$

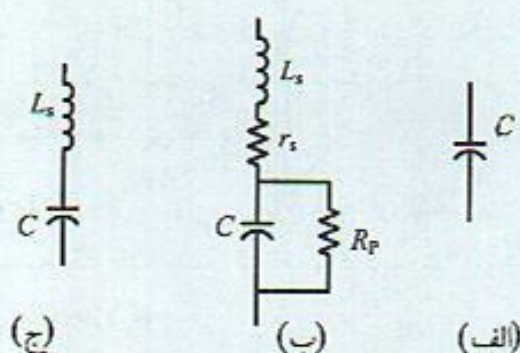
بدست می‌آید. با مقادیر انتخاب شده در بخش‌های قبل  $G_{1s} = 80 \text{ m}\Omega^{-1}$  و بنابراین  $R_{1s} = 12.5 \Omega$ ، ملاحظه می‌شود  $R_{1s}$  مقاومتی کوچک است و برای  $f_L = 100 \text{ Hz}$  خازن لازم  $C_1 = 127 \mu\text{F}$  می‌باشد.

**یادآوری ۳** در طرح مدار چاپی تقویت‌کننده با بهره زیاد باید دقت کافی نمود تا اثر هر گونه خازن پراکندگی در مدار که باعث فیدبک خروجی به ورودی می‌شود را حداقل نمود. تا اولاً بهره تقویت‌کننده کم نشود و مهم‌تر آنکه مدار نوسانی نشود. حتی ممکن است در مواردی کسری از پیکو فاراد خازن پراکندگی باعث تغییر مشخصه فرکانس بالای مدار شود. به این علت عموماً در طراحی تقویت‌کننده، فرکانس قطع بالای تقویت‌کننده بیش از مقدار مورد نیاز در طراحی در نظر گرفته می‌شود.

## ۱۲-۳ خازنهای بای‌پس و فیلترهای Decoupling

در طراحی تقویت‌کننده‌ها، غالباً لازم است که در یک پهنای باند وسیع مقاومت امپتر را بای‌پس و یا منبع





شکل ۳-۶۲ خازن واقعی و مدارهای معادل آن

تغذیه را از نظر سیگنال AC از تقویت کننده جدا نمود. این کارها بترتیب توسط خازن های بای پس و مدار decoupling انجام می شود. اما خازن واقعی شامل عناصر اضافی (parasitic) است. بنابراین برای دست یابی به بای پس کامل در پهنای باند مورد نظر لازم است نکات خاصی را در طرح مدار در نظر گرفت.

شکل (۳-۶۲) خازن واقعی و مدار معادل کامل آنرا نشان می دهد.  $r_s$  مقاومت سری سیم های خازن،  $R_p$  معرف جریان نشتی صفحات خازن و  $L_s$  اندوکتانس سری خازن (مربوط به پایه های خازن) می باشد. با تقریب مناسبی می توان با توجه به کوچک بودن  $r_s$  و بزرگ بودن  $R_p$  با تقریب خوب، مدار معادل یک خازن واقعی را به صورت مدار LC در نظر گرفت. در نتیجه خازن دارای فرکانس تشدید است که عموماً بنام فرکانس رزونانس خودی (self resonance) نامیده می شود. مقدار این فرکانس:

$$f_r = \frac{1}{2\pi\sqrt{L_s C}}$$

است. بعنوان مثال خازنهای بزرگ حدود  $10\ \mu F$  بسته به نوع و جنس دارای فرکانس رزونانس خودی از  $100\ kHz$  تا  $10\ MHz$  هستند. برای مثال چنانچه خازن  $10\ \mu F$  با  $f_r = 500\ kHz$  فرض شود، این خازن دارای  $L_s = 10\ nH$  خواهد بود. روشی که غالباً برای بای پس کردن در پهنای باند وسیع بکار می رود موازی کردن چندین خازن با هم می باشد. در این روش یک خازن با ظرفیت کوچک و فرکانس رزونانس خودی بالا موازی خازنی با ظرفیت بزرگ قرار داده می شود. هدف از این کار آن است که خازن کوچکتر در فرکانس های بالاتر از فرکانس تشدید خودی خازن بزرگتر عمل بای پس را انجام دهد. اما این کار در بعضی از موارد نتیجه صحیحی به همراه ندارد. مثال (۳-۱۴) این وضعیت را بخوبی نشان می دهد.

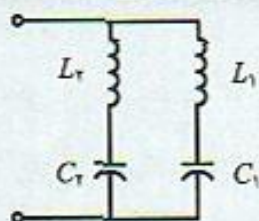
### مثال ۳-۱۴

یک خازن الکترولیت با ظرفیت  $10\ \mu F$  با فرکانس تشدید خودی  $500\ kHz$  موازی خازن کوچکی به مقدار  $10\ nF$  و از نوع پلی استر (polyester) با فرکانس رزونانس خودی  $20\ MHz$  بعنوان مدار بای پس در یک تقویت کننده بکار رفته است. امپدانس کل این خازن ها را مشخص و نشان دهید در چه پهنای باندی بای پس واقعی انجام می شود؟

مدل ساده برای ترکیب موازی ۲ خازن ذکر شده در شکل (۳-۶۳) نشان داده شده است. که در آن اندوکتانس مدار معادل خازن ها  $L_1 = 10\ nH$  و  $L_2 = 6.3\ nH$  برای خازن کوچکتر می باشند.

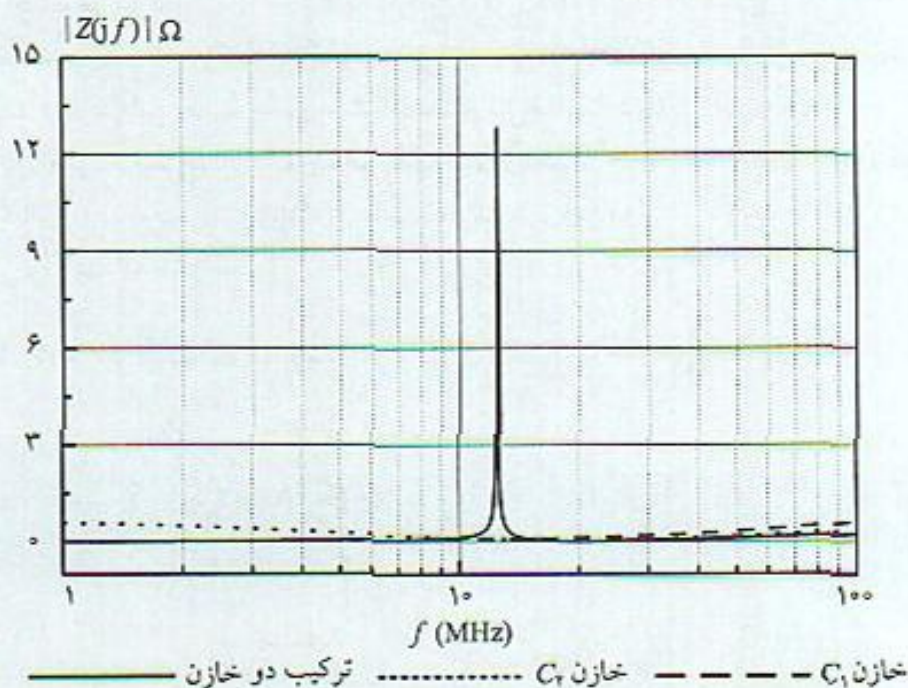


شکل ۳-۶۳ مدار معادل ترکیب موازی ۲ خازن



$$Z(j\omega) = \frac{(L_1\omega - \frac{1}{C_1\omega})(L_2\omega - \frac{1}{C_2\omega})}{j(L_1\omega - \frac{1}{C_1\omega}) + j(L_2\omega - \frac{1}{C_2\omega})}$$

مقدار قدر مطلق این امپدانس و هم چنین امپدانس هر خازن در شکل (۳-۶۴) نشان داده شده است. ملاحظه می‌شود امپدانس ورودی مدار در فرکانسی بین دو فرکانس تشدید خودی خازنها مقدار بزرگی است و به معنی آن است که ترکیب موازی خازنها در این فرکانس عمل بای‌پس را انجام نمی‌دهد. اگر از این ترکیب برای بای‌پس کردن در تقویت‌کننده‌ای با پهنای باند وسیع استفاده شود امپدانس زیاد در این فرکانس سبب کاهش بهره و ناپایداری می‌شود. با توجه به منحنی رسم شده برای امپدانس، در فرکانس‌های پایین و خیلی بالا بای‌پس بدرستی انجام می‌شود. اما در فرکانسی حدود ۱۲ MHz، یک قطب مربوط به تابع انتقال  $Z(f)$  وجود دارد که باعث می‌شود ترکیب موازی خازنها در این فرکانس امپدانس زیادی داشته باشد. البته این مثال به این معنی نیست که نمی‌توان دو خازن را در تقویت‌کننده با هم موازی نمود. اما تاکید بر این نکته است که دقت کافی در انتخاب نوع خازن‌ها صورت پذیرد تا در کل پهنای باند موردنظر هدف موردنظر از ترکیب موازی دو خازن حاصل شود.



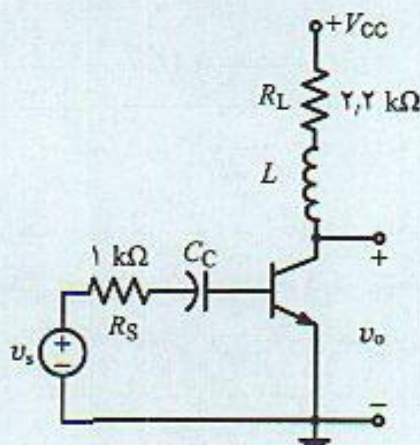
شکل ۳-۶۴ پاسخ فرکانس هر یک از خازنها و ترکیب موازی آنها از شکل (۳-۶۳)



### مسائل فصل سوم

(۱-۳) در تقویت کننده امیتر مشترک شکل (م ۱-۳) که با ترانزیستوری با مشخصات زیر بکار رفته است.

$$I_{CQ} = 2.5 \text{ mA}, r_x = 50 \Omega, \beta_0 = 100, C_\mu = 5 \text{ pF}, f_T = 400 \text{ MHz}, V_T = 25 \text{ mV}$$



شکل (م ۱-۳)

الف) با فرض  $L = 0$  (مدار بدون سلف) تابع انتقال ولتاژ خروجی به ورودی را بطور کامل مشخص و فرکانس قطع بالای مدار را تعیین کنید.

ب) با اضافه نمودن سلف در کلکتور ترانزیستور به طور کیفی توضیح دهید پهنای باند مدار زیاد می شود.

ج) در حالت (ب) تابع انتقال را بطور کامل مشخص کنید و نشان دهید یک صفر به تابع انتقال فرض (الف) اضافه می شود.

د) مقدار سلف را چنان تعیین کنید که صفر حاصل از اضافه شدن آن، کوچکترین قطب را خنثی کند.

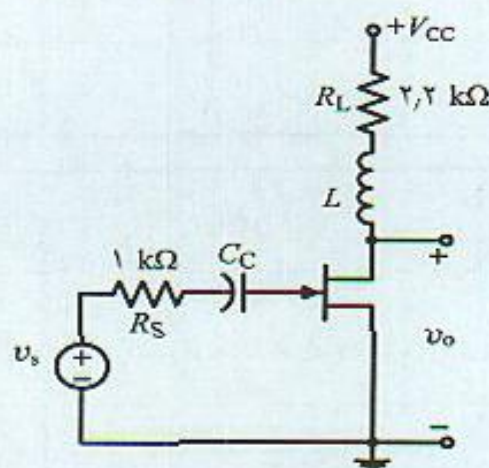
ه) پهنای باند مدار در این حالت چقدر است؟ با مقدار قبل مقایسه کنید.

به این روش افزایش پهنای باند جبران حذف صفر و قطب (pole zero cancelation) گفته شده و

اندوکتانس بکار رفته peaking coil نامیده می شود. از این مدار در تقویت سیگنال تصویر در

تلویزیون استفاده شده است.

(۲-۳) مسئله ۱-۳ را برای تقویت کننده سورس مشترک شکل (م ۲-۳) حل کنید.



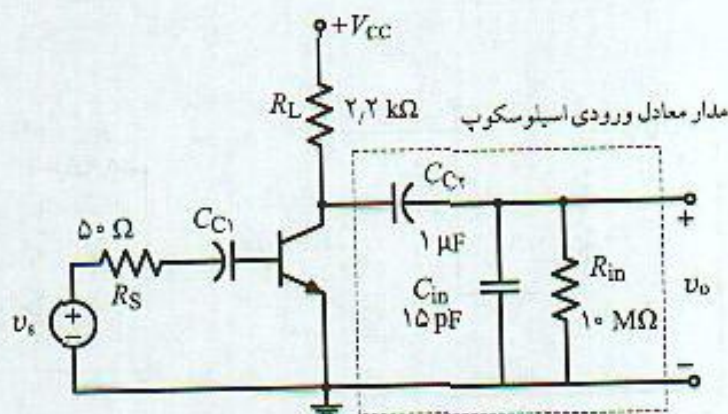
شکل (م ۲-۳)



$$g_m = 5 \text{ m}\Omega^{-1}, C_{gs} = C_{gd} = 5 \text{ pF}$$

(۳-۳) در این مسئله اثر بارگذاری اسیلوسکوپ بر پاسخ فرکانس یک تقویت‌کننده بررسی می‌شود. فرض کنید تقویت‌کننده امپتر مشترک شکل (م ۳-۳) با فرکانس قطع پایین  $\omega_L = 500 \text{ rad/s}$  با ترانزیستوری به مشخصات:

$$I_{CQ} = 5 \text{ mA}, r_x = 50 \Omega, \beta_o = 100, C_{\mu} = 5 \text{ pF}, f_T = 400 \text{ MHz}$$



شکل (م ۳-۳)

بکار رفته و برای اندازه‌گیری پاسخ فرکانس آن به اسیلوسکوپی وصل شده که مدار معادل آن در شکل نشان داده شده است.

(الف) اثر بارگذاری را در فرکانس پایین بر تقویت‌کننده بررسی کنید.

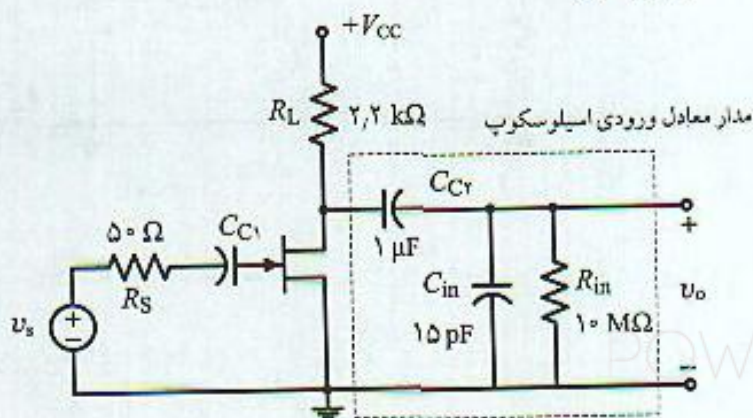
(ب) بدون در نظر گرفتن اثر بارگذاری با مشخص کردن تابع انتقال کامل تقویت‌کننده، بهره باند میانی و فرکانس قطع بالا را محاسبه کنید.

(ج) حال اثر بارگذاری را در فرکانسهای بالا بر تقویت‌کننده بررسی کنید و تابع انتقال کامل را مشخص کنید.

(د) چرا علیرغم اینکه مدار دارای ۳ عنصر ذخیره‌کننده انرژی است تابع انتقال شامل ۲ قطب می‌باشد.

(ه) با توجه به تابع انتقال بدست آمده فرکانس قطع بالا را بدست آورده و نتیجه را با مقدار بدست آمده بدون اثر بارگذاری مقایسه کنید.

(۴-۳) در تقویت‌کننده سورس مشترک شکل (م ۴-۳) اثر بارگذاری بار را بر پاسخ فرکانس تقویت‌کننده ارزیابی کنید.



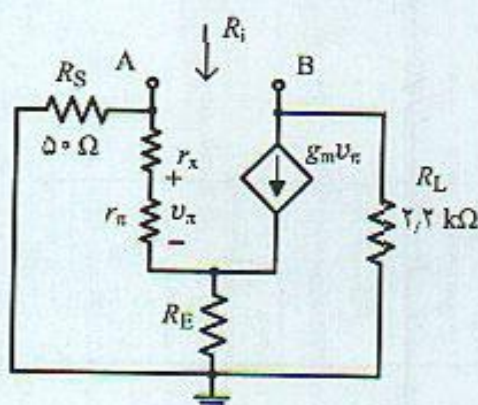
شکل (م ۴-۳)



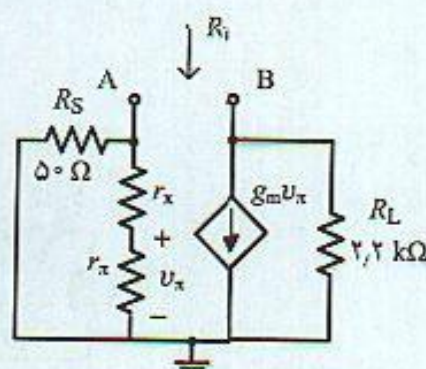
$$g_m = 5 \text{ m}\Omega^{-1}, \quad C_{gs} = 5 \text{ pF}, \quad C_{gd} = 3 \text{ pF}$$

(۵-۳) با قرار دادن منبع آزمایشی بین دو نقطه A و B مقاومت ورودی مدار شکل (م ۵-۳ الف) را محاسبه کنید. برای مقادیر عددی داده شده مقدار مقاومت را محاسبه کنید. همین محاسبات را برای شکل (م ۵-۳ ب) نیز تکرار کنید.

$$r_x = 50 \Omega, \quad r_{\pi} = 500 \Omega, \quad g_m = 200 \text{ m}\Omega^{-1}, \quad R_E = 0.1 \text{ k}\Omega$$



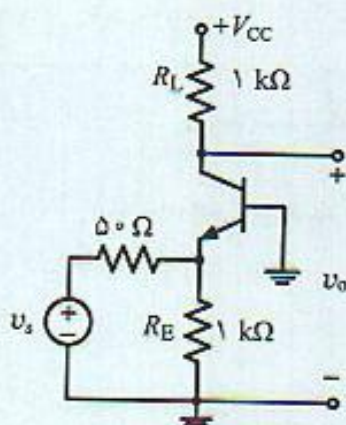
شکل (م ۵-۳ ب)



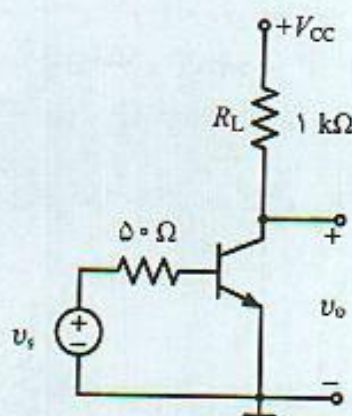
شکل (م ۵-۳ الف)

(۶-۳) فرکانس قطع بالای هر یک از تقویت کننده های شکل (م ۶-۳) را با استفاده از روش ثابت زمانی محاسبه کنید. در هر مورد توضیح دهید چه عاملی بطور موثر باعث محدود شدن پهنای باند می شود.

$$I_{CQ} = 5 \text{ mA}, \quad r_x = 50 \Omega, \quad \beta_o = 100, \quad C_{\mu} = 5 \text{ pF}, \quad f_T = 400 \text{ MHz}$$



(ب)



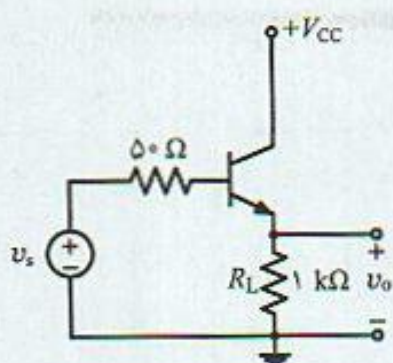
(الف)

شکل (م ۶-۳)

(۷-۳) مسئله (۶-۳) را برای تقویت کننده امیتر فالور شکل (م ۷-۳) و با همان ترانزیستور حل کنید.

(۸-۳) در تقویت کننده امیتر مشترک شکل (م ۷-۳) تابع انتقال تقویت کننده را بدست آورده و فرکانس



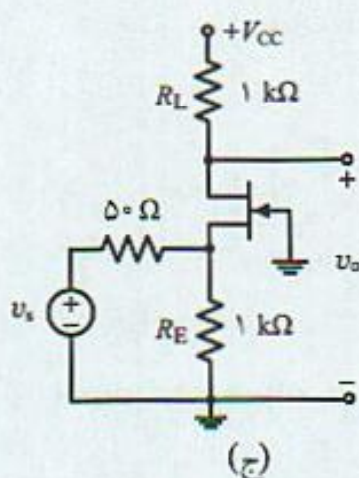


شکل (م ۳-۷)

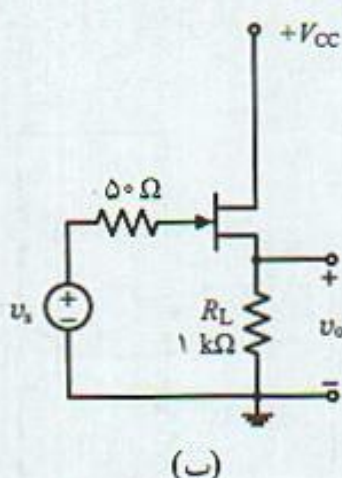
قطع بالا را محاسبه کنید. علت اختلاف زیاد در مقدار محاسبه شده چیست؟ در این مورد چه نتیجه‌ای در مورد روش ثابت زمانی می‌توان گرفت.

(۹-۳) در هر یک از تقویت‌کننده‌های شکل (م ۳-۹) فرکانس قطع بالایی تقویت‌کننده‌ها را مشخص کنید. در هر مورد توضیح دهید چه عاملی تعیین‌کننده پهنای باند است. در مورد تقویت‌کننده سورس فالور مسئله (۸-۳) را تکرار کنید.

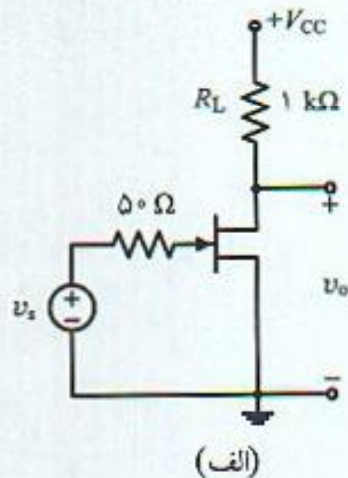
$$g_m = 5 \text{ mS}^{-1}, \quad C_{gs} = 5 \text{ pF}, \quad C_{gd} = 3 \text{ pF}$$



(ج)



(ب)



(الف)

شکل (م ۳-۹)

(۱۰-۳) یک تقویت‌کننده امپتر مشترک به مشخصات:

$$f_L \leq 100 \text{ Hz}, \quad f_H \geq 5 \text{ MHz}, \quad A_o \geq 100$$

طراحی کنید. فرض کنید ترانزیستورهای با مشخصات زیر و مقاومت بار و منبع در اختیار است.

$$\beta_o = 100, \quad C_\mu \geq 2 \text{ pF}, \quad R_S = 500 \Omega, \quad R_L = 1.5 \text{ k}\Omega$$

(الف) طرح کامل با عناصر بایاس در نظر گرفته و محاسبات را بر اساس روش ثابت زمانی انجام دهید.  
(ب) طراحی انجام شده را با نرم‌افزار spice بررسی و بهره‌باند میانی و فرکانسهای قطع را مشخص کنید.

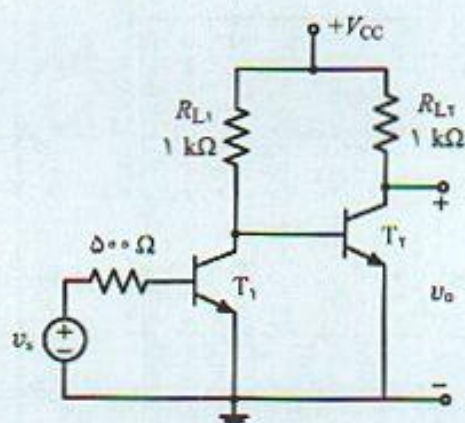


ج) چنانچه مقادیر حاصل بیش از ۱۰٪ با مقادیر مورد نظر اختلاف دارند طرح خود را اصلاح کنید.

۱۱-۳) در تقویت‌کننده دو طبقه شکل (۳-۱۱) از ترانزیستورهای بی‌شمخصات زیر استفاده شده است:

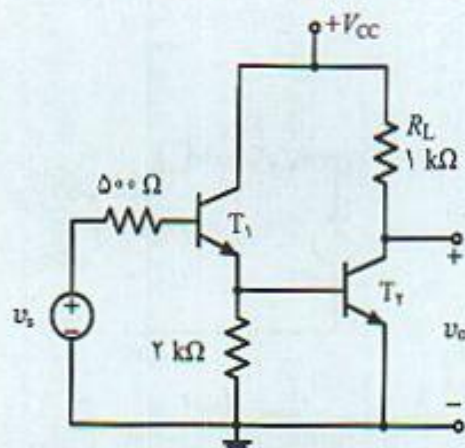
$$I_{CQ} = 5 \text{ mA}, \beta_o = 100, C_\mu = 2.5 \text{ pF}, r_x = 50 \Omega, f_T = 600 \text{ MHz}, V_T = 25 \text{ mV}$$

بهره باند میانی و فرکانس قطع بالا را به روش ثابت زمانی مشخص کنید.



شکل (۳-۱۱)

۱۲-۳) در تقویت‌کننده شکل (۳-۱۲) بهره ولتاژ و فرکانس قطع بالا را محاسبه کنید. دو ترانزیستور مشابه و مشخصات آنها مانند مسئله (۳-۱۱) می‌باشند.



شکل (۳-۱۲)

۱۳-۳) در تقویت‌کننده دو طبقه سری CC-CE شکل (۳-۱۳):

الف) مقاومت بایاس  $R_B$  را برای بایاس درست مدار تعیین کنید. فرض کنید نقطه کار ترانزیستور  $T_2$  جریان ۵ mA و ولتاژ  $V_{CEQ2} = 4 \text{ V}$  می‌باشد.

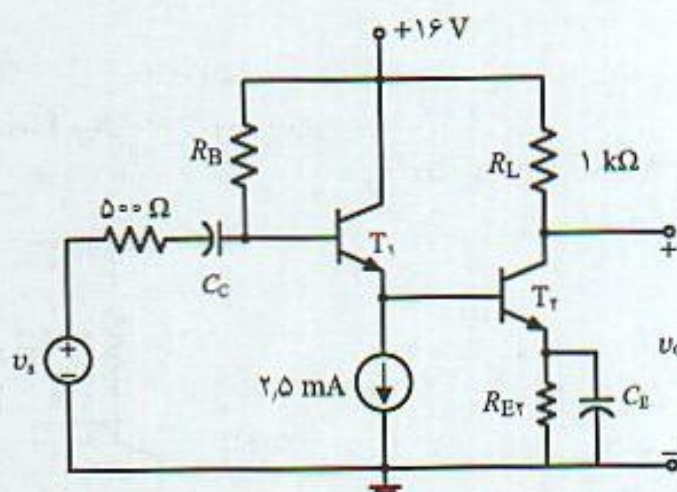
ب) بهره باند میانی مدار چقدر است؟

ج) چنانچه از ترانزیستوری به مشخصات زیر استفاده شود فرکانس قطع بالایی مدار چقدر است؟

$$I_{CQ} = 5 \text{ mA}, \beta_o = 100, C_\mu = 3 \text{ pF}, r_x = 50 \Omega, f_T = 600 \text{ MHz}, V_T = 25 \text{ mV}$$

(منبع جریان را ایده‌آل فرض کنید و از اثر ولتاژ نقطه کار بر پارامترها صرف‌نظر کنید.)





شکل (م ۳-۱۳)

۳-۱۴ در تقویت‌کننده شکل (م ۳-۱۳) منبع جریان ایده‌آل نیست و دارای مقاومت خروجی  $1\text{ M}\Omega$  موازی خازن  $10\text{ pF}$  است. اثر این منبع جریان را بر بهره باند میانی و فرکانس قطع بالای تقویت‌کننده ارزیابی کنید.

۳-۱۵ در تقویت‌کننده دو طبقه شکل (م ۳-۱۵):

الف) نقاط کار ترانزیستورها را مشخص کنید. ( $V_{BE} = 0.7\text{ V}$ )

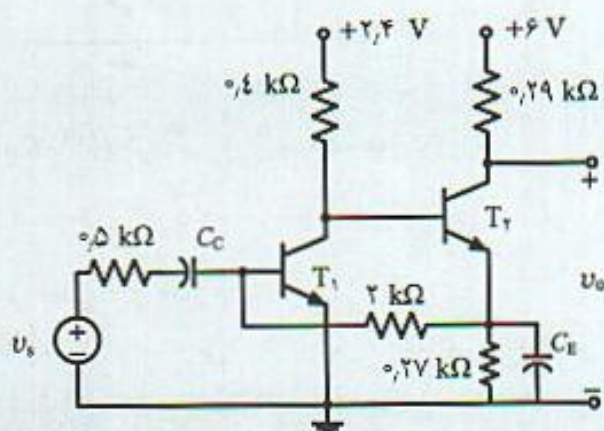
ب) مدار معادل فرکانس بالا و پایین را رسم کنید.

ج) با اصلاح مدار از نظر DC منبع تغذیه طبقه اول را حذف و تنها از منبع  $6\text{ V}$  استفاده نمایید.

ج) محاسبات دقیق تقویت‌کننده نشان می‌دهد محل قطبهای مدار بصورت زیر هستند.

$$s_1 = -0.0035\text{ (ns)}^{-1}, s_2 = -0.018\text{ (ns)}^{-1}, s_3 = -1.66\text{ (ns)}^{-1}, s_4 = -6.86\text{ (ns)}^{-1}$$

۵) فرکانس قطع بالای مدار چقدر است؟



شکل (م ۳-۱۵)

۳-۱۶ در تقویت‌کننده شکل (م ۳-۱۶):

الف) با فرض مقاومت امیتر صفر بهره باند میانی و فرکانس قطع بالا را به روش ثابت زمانی مدار باز

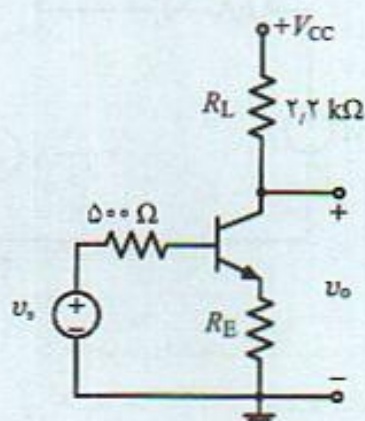


تعیین کنید.

(ب) با مقاومت  $R_E = 100 \Omega$  فرض الف را تکرار کنید.

(ج) به نظر شما چرا در فرض (ب) پهنای باند زیاد می شود.

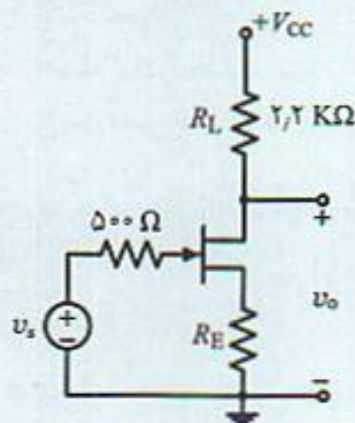
$$I_{CQ} = 2.5 \text{ mA}, r_x = 50 \Omega, \beta_o = 100, C_{\mu} = 5 \text{ pF}, f_T = 400 \text{ MHz}, V_T = 25 \text{ mV}$$



شکل (م ۳-۱۶)

۳-۱۷ مسئله (۳-۱۶) را برای مدار شکل (م ۳-۱۷) با عنصر FET به مشخصات زیر تکرار کنید.

$$g_m = 5 \text{ mS}, C_{gs} = 5 \text{ pF}, C_{gd} = 3 \text{ pF}$$



شکل (م ۳-۱۷)

۳-۱۸ در تقویت کننده شکل (م ۳-۱۸) با ترانزیستوری به مشخصات زیر:

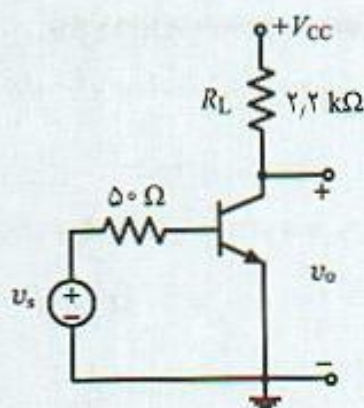
$$I_{CQ} = 2.5 \text{ mA}, \beta_o = 100, C_{\mu} = 5 \text{ pF}, r_x = 50 \Omega, f_T = 450 \text{ MHz}, V_T = 25 \text{ mV}$$

(الف) بهره باند میانی و فرکانس قطع بالای مدار چقدر است؟

(ب) ترانزیستور به صورت بیس مشترک بسته می شود. در این حالت بهره باند میانی و فرکانس قطع بالا را نیز محاسبه کنید.

(ج) به نظر شما چنانچه در تقویت کننده بیس مشترک اندوکتانس در کلکتور و به صورت سری با مقاومت بار اضافه شود پهنای باند مدار افزایش می یابد. چرا؟





شکل (م ۳-۱۸)

(۱۹-۳) در تقویت‌کننده Cascode شکل (م ۳-۱۹):

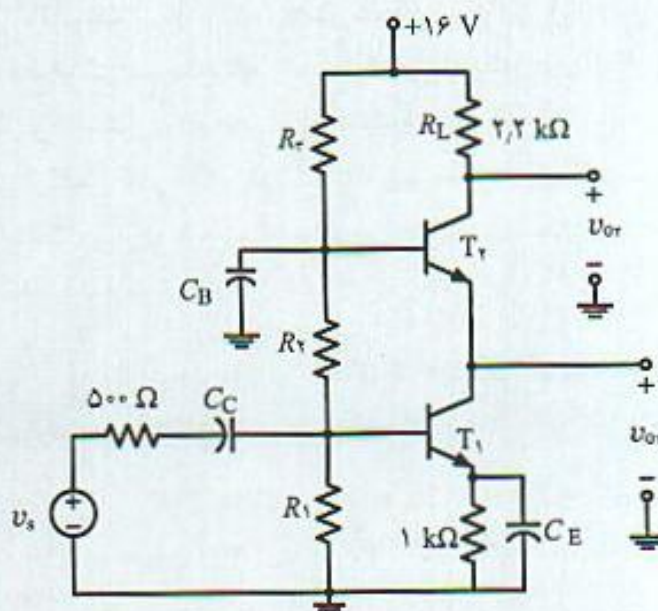
- (الف) عناصر بایاس را برای جریان و ولتاژ نقطه کار  $V_{CEQ1} = V_{CEQ2} = 4\text{ V}$  و  $2.5\text{ mA}$  طرح کنید.  
 (ب) عناصر خازنی کوپلاژ و بای پس مدار را برای  $\omega_L = 100\text{ rad/s}$  محاسبه کنید.  
 (ج) بهره ولتاژ باند میانی هر یک از خروجی‌ها را به ورودی محاسبه کنید.  
 (د) با ترانزیستوری به مشخصات زیر:

$$I_{CQ} = 2.5\text{ mA}, V_{BE} = 0.7\text{ V}, r_x = 50\text{ }\Omega, \beta_o = 100, C_\mu = 5\text{ pF}$$

$$f_T = 600\text{ MHz}, V_T = 25\text{ mV}$$

فرکانس قطع بالای تقویت‌کننده را مشخص کنید.

(ه) مدار را با عناصر بکار رفته با spice بررسی و مقادیر حاصل را با تئوری مقایسه کنید.



شکل (م ۳-۱۹)

- (۲۰-۳) در تقویت‌کننده کاسکود شکل (م ۳-۱۹) تنها بخشی از مقاومت امیتر بای پس می‌شود بطوریکه مقاومت  $1\text{ k}\Omega$  از نظر سیگنال ورودی در امیتر باقی مانده است. در این حالت:  
 (الف) بهره مدار چقدر است؟

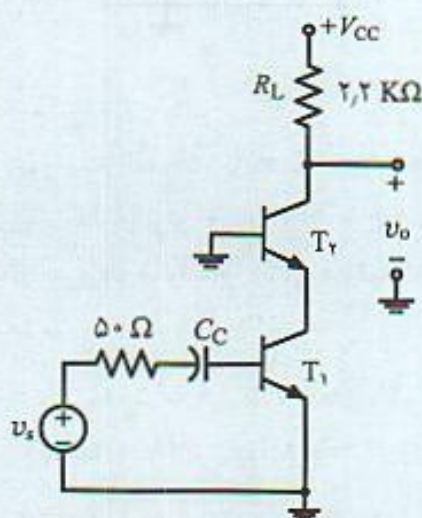


ب) فرکانس قطع بالای مدار را محاسبه کنید.

ج) مدار را با spice بررسی و نتایج را با محاسبات مقایسه کنید.

۲۱-۳) در تقویت کننده کاسکود شکل (م ۳-۲۱) که از عناصر بایاس صرف نظر شده است نقطه کار دو ترانزیستور  $V_{CEQ} = 5\text{ V}$ ,  $I_{CQ} = 5\text{ mA}$  و ترانزیستور بکار رفته دارای پارامترهای زیر می باشد:

$$I_{CQ} = 2.5\text{ mA}, \beta_o = 100, C_\mu = 2\text{ pF}, r_x = 50\ \Omega, f_T = 600\text{ MHz}, V_T = 25\text{ mV}$$



شکل (م ۳-۲۱)

الف) بهره باند میانی و فرکانس قطع بالا (به روش ثابت زمانی) با نقاط کار داده شده چقدر است؟  
ب) ولتاژ نقطه کار ترانزیستور  $T_2$  را ثابت نگاه داشته و ولتاژ نقطه کار  $T_1$  بین ۱ تا ۱۰ ولت تغییر داده می شود. تغییرات فرکانس قطع بالای تقویت کننده را بر حسب ولتاژ نقطه  $V_{CEQ1}$  کار رسم کنید.  
ج) در این حالت ولتاژ نقطه کار ترانزیستور  $T_1$  را ثابت نگاه داشته و ولتاژ نقطه کار  $T_2$  از ۱ تا ۱۰ ولت تغییر داده می شود. تغییرات فرکانس قطع بالای تقویت کننده را بر حسب  $V_{CEQ2}$  رسم کنید.  
د) چه نتیجه مهمی از این محاسبات می توان بدست آورد. (فرض کنید ولتاژ نقطه کار بر خازن  $C_\mu$  اثر قابل ملاحظه و بر سایر مشخصات تاثیر زیادی ندارد).

۲۲-۳) در تقویت کننده کاسکود با استفاده از عناصر BJT و JFET که در شکل (م ۳-۲۲) نشان داده شده است مشخصات ترانزیستورها به صورت:

$$\text{BJT: } I_{CQ} = 2.5\text{ mA}, \beta_o = 100, C_\mu = 2\text{ pF}, r_x = 50\ \Omega, f_T = 600\text{ MHz}$$

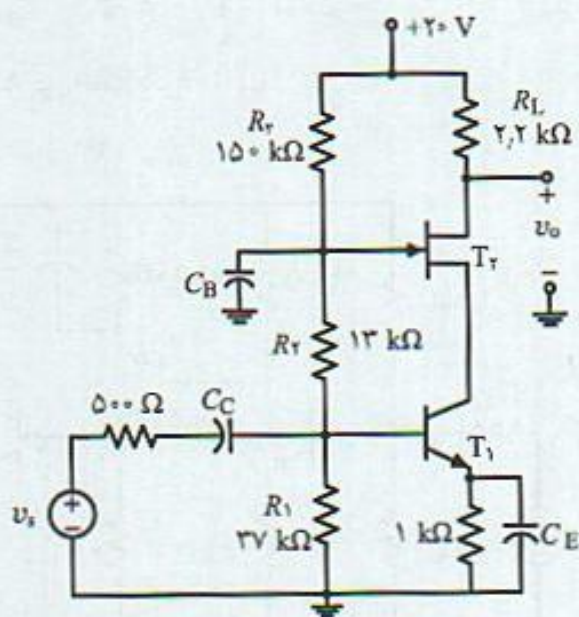
$$V_T = 25\text{ mV}, V_{CEQ} = 5\text{ V}, V_{BE} = 0.7\text{ V}$$

$$\text{JFET: } I_{DSS} = 12\text{ mA}, V_P = -4\text{ V}, C_{gs} = 5\text{ pF}, C_{gd} = 3\text{ pF}$$

الف) ولتاژ و جریان نقطه کار هر یک از ترانزیستورها را مشخص کنید.

ب) بهره باند میانی مدار چقدر است؟





شکل (م ۳-۲۲)

- ج) عناصر خازنی کوپلاژ و بای پس مدار را برای  $\omega_L = 500 \text{ rad/s}$  طراحی کنید.  
 د) فرکانس قطع بالای تقویت‌کننده را محاسبه کنید.  
 ه) مدار را با نرم‌افزار spice تحلیل و پاسخ فرکانس تقویت‌کننده را رسم کنید.  
 و) برای افزایش پهنای باند به اندازه ۲۰٪ (مقدار بدست آمده از محاسبات دقیق) چه طرحی بکار می‌برید. طرح خود را پس از طراحی با spice مورد بررسی قرار داده و تغییرات لازم را برای رسیدن به مقدار مورد نظر انجام دهید.

۳-۲۳) یک تقویت‌کننده کاسکود با مشخصات زیر طراحی کنید.

$$f_L \leq 100 \text{ Hz}, \quad f_H \geq 12 \text{ MHz}, \quad A_o \geq 100$$

فرض کنید ترانزیستورهای با مشخصات زیر و مقاومت بار و منبع در اختیار است.

$$\beta_o = 100, \quad C_\mu \geq 1.5 \text{ pF}, \quad R_S = 50 \Omega, \quad R_L = 2.2 \text{ k}\Omega$$

- الف) مدار کامل با عناصر بایاس را در نظر گرفته و محاسبات را بر اساس روش ثابت زمانی انجام دهید.  
 ب) طرح خود را با spice بررسی، مقادیر بهره باند میانی و فرکانسهای قطع را مشخص کنید.  
 ج) چنانچه مقادیر حاصل بیش از ۱۰٪ با مقادیر مورد نظر اختلاف دارند طرح را اصلاح تا مقادیر مورد نظر بدست آیند.

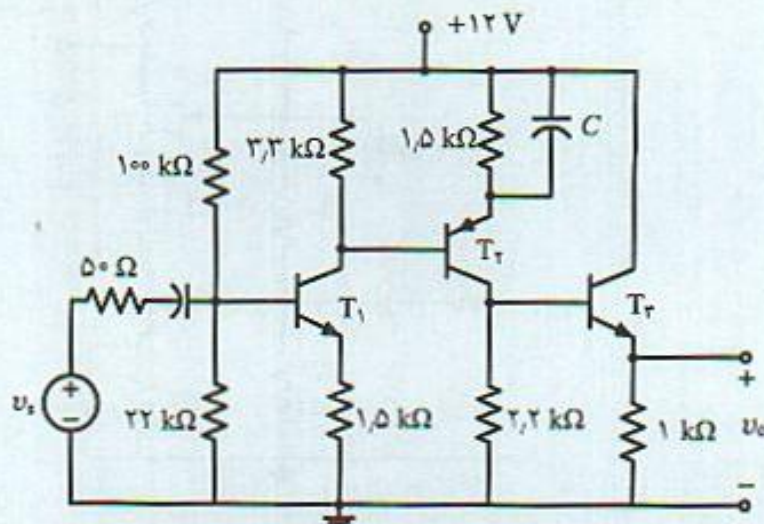
۳-۲۴) در تقویت‌کننده سه طبقه شکل (م ۳-۲۴) ترانزیستورها دارای مشخصات یکسان می‌باشند.

- الف) کدام ترانزیستور پهنای باند تقویت‌کننده را مشخص می‌کند.  
 ب) بهره مدار و فرکانس قطع بالا را با تقریبات قابل قبول مشخص کنید. در نقطه کار محاسبه شده مشخصات ترانزیستورها بصورت:



$$\beta_o = 100, \quad r_x = 50 \, \Omega, \quad C_\mu = 5 \, \text{pF}, \quad C_\pi = 75 \, \text{pF}$$

است و خازن  $C$  در فرکانس کار اتصال کوتاه است.



شکل (م ۳-۲۴)

۳-۲۵) در تقویت‌کننده تفاضلی اصلاح شده شکل (م ۳-۲۵):

الف) ولتاژ و جریان نقطه کار دو ترانزیستور را مشخص کنید.

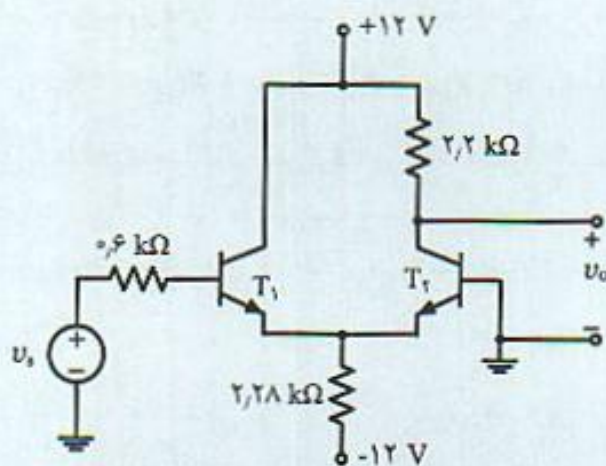
ب) بهره باند میانی را محاسبه کنید.

ج) با ترانزیستورهای به مشخصات داده شده زیر، فرکانس قطع بالای تقویت‌کننده را محاسبه کنید.

د) چنانچه به جای مقاومت بایاس امیتر، منبع جریانی به همان مقدار با مقاومت خروجی  $1 \, \text{M}\Omega$  موازی

با خازن  $10 \, \text{pF}$  قرار داده شود، اثر آنرا بر بهره باند میانی و فرکانس قطع بالا ارزیابی کنید.

$$\beta_o = 100, \quad C_\mu = 5 \, \text{pF}, \quad C_\pi = 75 \, \text{pF}, \quad r_x = 50 \, \Omega, \quad V_T = 25 \, \text{mV}, \quad V_{BE} = 0.6 \, \text{V}$$



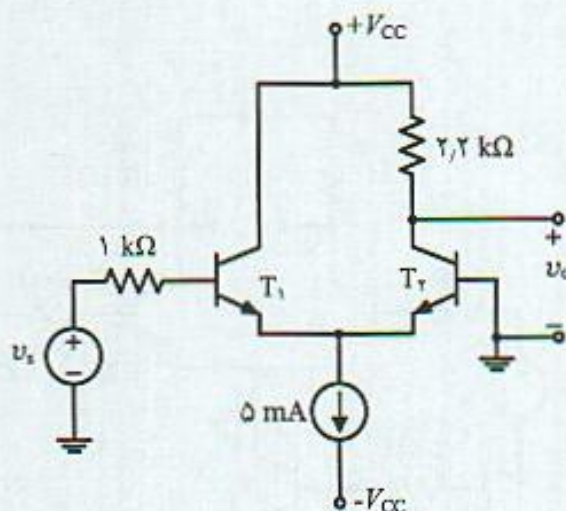
شکل (م ۳-۲۵)

۳-۲۶) در مدار شکل (م ۳-۲۶) و با استفاده از روش ثابت زمانی:

الف) برای چند مقدار مختلف مقاومت  $r_{x1}$  در ترانزیستور  $T_1$  تغییرات فرکانس قطع بالا را محاسبه و

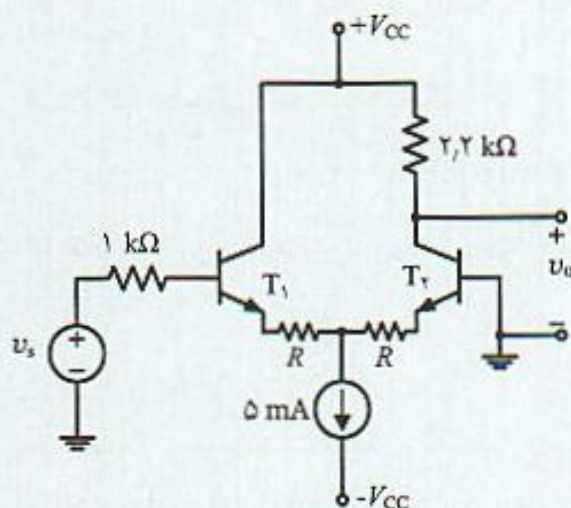


رسم کنید.  $r_{x2}$  ترانزیستور  $T_2$  را  $50 \Omega$  ثابت فرض کنید. ( $r_{x1} = 0, 10, 20, 30, 40, 50 \Omega$ )  
 (ب) در این فرض  $r_{x1}$  را ثابت و تغییرات فرکانس قطع را بر حسب  $r_{x2}$  رسم کنید.  
 (ج) چه نتیجه‌ای از این محاسبات می‌توان گرفت.



شکل (م ۳-۲۶)

۳-۲۷) در تقویت‌کننده اصلاح شده تفاضلی شکل (م ۳-۲۷) و با ترانزیستورهایی به مشخصات:  
 $\beta_o = 100$ ,  $C_\mu = 5 \text{ pF}$ ,  $C_\pi = 75 \text{ pF}$ ,  $r_x = 50 \Omega$ ,  $V_T = 25 \text{ mV}$ ,  $V_{BE} = 0.6 \text{ V}$   
 (الف) به ازاء  $R = 0$  بهره باند میانی و فرکانس قطع بالای تقویت‌کننده را مشخص کنید.  
 (ب) به ازاء  $R = 50 \Omega$  نیز مقادیر فوق را محاسبه کنید.  
 (ج) چرا در حالت (ب) پهنای باند مدار افزایش داشته است.

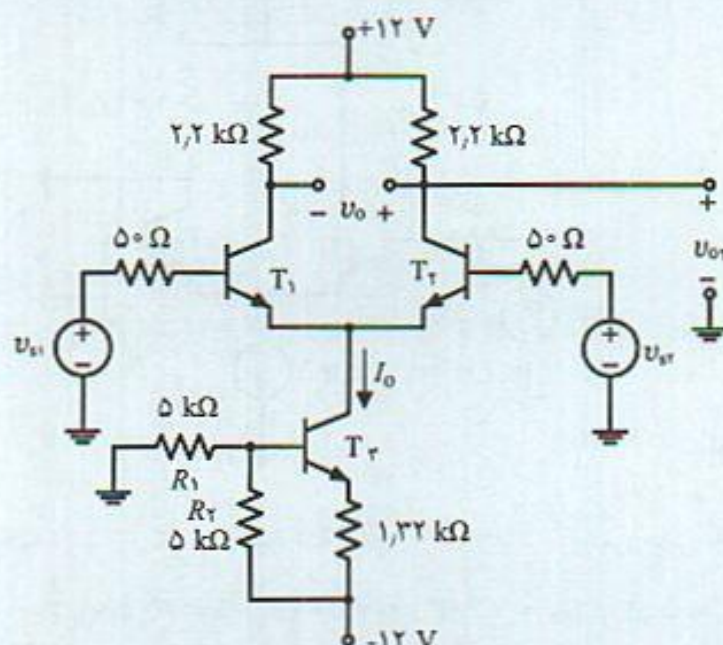


شکل (م ۳-۲۷)

۳-۲۸) در مدار شکل (م ۳-۲۸) و برای خروجی  $v_{o2}$ :  
 (الف) مقدار جریان منبع جریان و امپدانس خروجی آنرا مشخص کنید.  
 (ب) جریان و ولتاژ نقطه کار ترانزیستورهای دیگر را محاسبه کنید.  
 (ج) بهره تفاضلی و وجه مشترک باند میانی تقویت‌کننده را مشخص کنید.



- (د) فرکانس قطع بالای بهره تفاضلی و وجه مشترک را تعیین کنید.
- (ه) با توجه به فرض (د) ضریب حذف سیگنال وجه مشترک (CMRR) را مشخص کنید.
- (و) مدار توسط برنامه spice بررسی و نتایج حاصل را با مقادیر بدست آمده مقایسه کنید.
- (ز) فرض (د) را برای خروجی  $v_o$  تکرار کنید.



شکل (م ۳-۲۸)

$$I_{CQ} = 2.5 \text{ mA}, \beta_o = 100, r_x = 50 \Omega, r_o = 50 \text{ k}\Omega, C_\mu = 5 \text{ pF}, f_T = 500 \text{ MHz}$$

$$V_T = 25 \text{ mV}, V_{BE} = 0.6 \text{ V}$$

۳-۲۹) یک تقویت کننده تفاضلی اصلاح شده با عناصر BJT به مشخصات

$$f_H \geq 10 \text{ MHz}, A_o \approx 120$$

طراحی کنید. طرح خود را با spice بررسی و در صورت لزوم تغییرات مناسب را برای دست یابی به مشخصات مورد نظر اعمال کنید.

۳-۳۰) در تقویت کننده تفاضلی با عناصر JFET شکل (م ۳-۳۰):

الف) بهره تفاضلی و وجه مشترک باند میانی را محاسبه کنید. منبع جریان با مقاومت خروجی  $1 \text{ M}\Omega$  است.

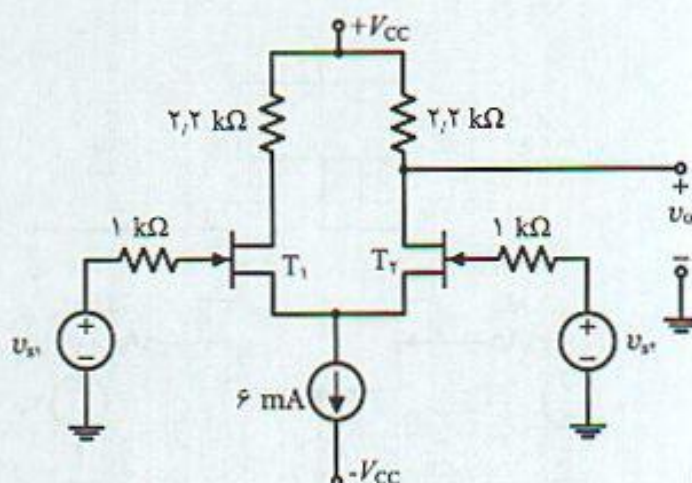
ب) اگر منبع جریان شامل خازن موازی  $10 \text{ pF}$  با مقاومت فوق نیز باشد، فرض (الف) را تکرار و ضریب CMRR را بر حسب فرکانس رسم کنید.

ج) مدار را با نرم افزار spice بررسی و نتایج را مقایسه کنید.

د) ترانزیستور JFET یکسان و با پارامترهای زیر می باشد.

$$g_m = 5 \text{ m}\Omega^{-1}, r_d = 20 \text{ k}\Omega, C_{gs} = 5 \text{ pF}, C_{gd} = 3 \text{ pF}$$





شکل (م ۳-۳۰)

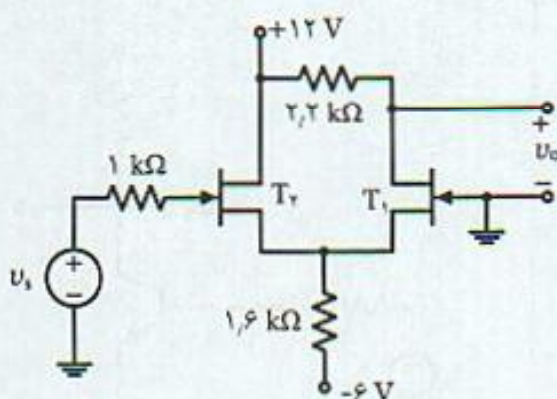
۳-۳۱ در تقویت‌کننده اصلاح شده تفاضلی شکل (م ۳-۳۱) با عناصر JFET

(الف) نقطه کار و بهره باند میانی را محاسبه کنید

(ب) فرکانس قطع بالای مدار را محاسبه کنید. عناصر بکار رفته دارای پارامترهای زیر می‌باشند

$$T_1: I_{DSS} = 12 \text{ mA}, V_P = -4 \text{ V}, C_{gs} = 5 \text{ pF}, C_{gd} = 3 \text{ pF}$$

$$T_2: I_{DSS} = 8 \text{ mA}, V_P = -4 \text{ V}, C_{gs} = 5 \text{ pF}, C_{gd} = 3 \text{ pF}$$



شکل (م ۳-۳۱)

۳-۳۲ در تقویت‌کننده تفاضلی با عناصر MOSFET شکل (م ۳-۳۲)

(الف) عبارت ساده‌ای برای فرکانس قطع بالای مدار با فرضهای معقول بدست آورید.

(ب) مدار را با spice بررسی و دقت رابطه بدست آمده در فرض (الف) را تحقیق کنید.

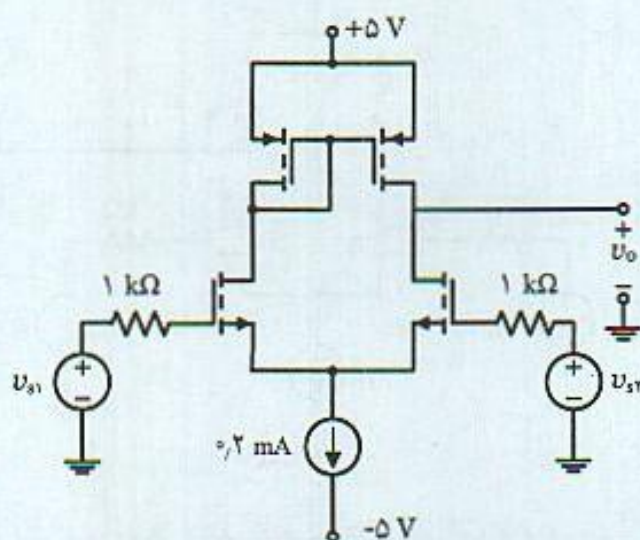
تمامی ترانزیستورها مشابه و دارای پارامترهای زیر می‌باشند. خازن خروجی تا زمین را  $10 \text{ pF}$  فرض کنید.

$$k = 0.1 \text{ mA/V}^2, r_o = 120 \text{ k}\Omega, C_{gs} = 5 \text{ pF}, C_{gd} = 3 \text{ pF}$$

۳-۳۳ در تقویت‌کننده امیتر مشترک شکل (م ۳-۳۳) که در آن ترانزیستوری به مشخصات زیر بکار رفته است.

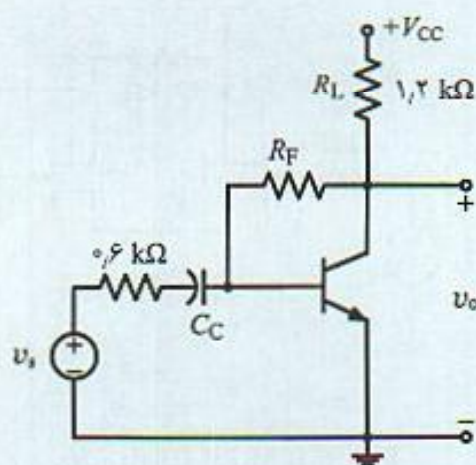
$$\beta_o = 100, C_\mu = 2.5 \text{ pF}, r_x = 50 \text{ }\Omega, I_{CQ} = 5 \text{ mA}, f_T = 600 \text{ MHz}$$





شکل (م ۳-۳۲)

الف) با استفاده از روش ثابت زمانی فرکانس قطع بالای مدار را برای مقادیر مختلف  $R_F$  محاسبه کنید.  
ب) نتایج حاصل از این بررسی را با نتایج دقیق از محاسبات تابع انتقال در مسئله (۳-۳۲) مقایسه کنید.  
ج) چرا با کاهش  $R_F$  فرکانس قطع بالا افزایش می‌یابد. مقاومت را مقادیر  $10\text{ k}\Omega$ ,  $25\text{ k}\Omega$ ,  $50\text{ k}\Omega$  در نظر بگیرید.



شکل (م ۳-۳۳)

۳-۳۴) در تقویت‌کننده ۳ طبقه در متن این فصل که مدار کامل آن در شکل (۳-۶۱) نشان داده شده است.  
الف) مقاومت‌های بایاس  $R_F$  و  $R_F$  را برای بایاس مناسب مدار تعیین کنید.  
ب) خازنهای بای پس لازم در مدار را برای  $f_L = 100\text{ Hz}$  تعیین کنید.  
ج) مدار کامل طرح شده را با spice تحلیل و پاسخ فرکانس بدست آمده را با مقادیر موردنظر مقایسه کنید.





## تقویت کننده‌های فیدبک در باند میانی

### مقدمه

کاربرد فیدبک اولین بار توسط یک مهندس الکترونیک بنام هارولد بلاک (Harold Black) در سال ۱۹۲۸ در ساخت تکرارکننده‌های تلفنی مطرح شد و از آن پس استفاده از آن گسترش یافت بطوریکه امروزه مدار الکترونیکی که در آن از فیدبک استفاده نشده باشد قابل تصور نیست. علاوه بر آن کاربرد فیدبک در سایر رشته‌های مهندسی و غیر مهندسی نیز تعمیم یافته است.

مدارهای فیدبک را می‌توان به روش معمول و با نوشتن معادلات ولتاژ KVL و جریان KCL حل نمود. این روش در مدارهایی با تعداد عناصر زیاد به وقت زیاد و استفاده از کامپیوتر نیاز دارد. اما در بعضی از وضعیت‌های خاص می‌توان مسئله را ساده نمود و با استفاده از روش فیدبک مدار را حل کرد. علاوه بر آنکه در این روش بررسی مدار ساده و به وقت کمتری احتیاج است نکات مهمی نیز بدست می‌دهد که در طراحی تقویت‌کننده‌ها مفید می‌باشد.

فیدبک عموماً به دو نوع منفی و مثبت تقسیم می‌شود. در فیدبک منفی بخشی از سیگنال خروجی به ورودی فیدبک شده و از سیگنال ورودی کم می‌شود. عدم حساسیت به مشخصات عناصر فعال، کاهش آثار غیر خطی، افزایش پهنای باند، کاهش نویز در شرایط خاص و تغییر در امپدانس ورودی و خروجی مهمترین مزایایی است که استفاده از فیدبک منفی به همراه دارد. کاهش بهره و ناپایداری در تقویت‌کننده‌ها از مهمترین معایب فیدبک منفی می‌باشد. در فیدبک مثبت سیگنال برگشت داده شده با ورودی جمع می‌شود. از فیدبک

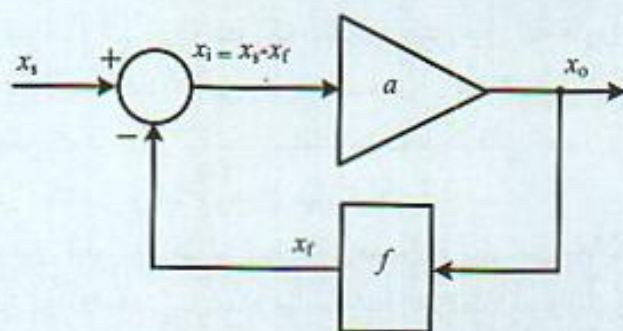


مثبت غالباً در طراحی و ساخت نوسان‌سازها استفاده می‌شود. در این فصل ابتدا مفاهیم اساسی فیدبک منفی و مزایا و معایب آن بررسی می‌شود. سپس انواع تقویت‌کننده‌هایی که در عمل مورد استفاده قرار می‌گیرند معرفی و فیدبک‌های مختلفی را که می‌توان در آنها بکار برد ارائه می‌شوند. همچنین روشهای کلی برای بررسی اینگونه تقویت‌کننده‌ها و محاسبات بهره، مقاومت ورودی و خروجی در شرایطی که مدار فیدبک ایده‌آل است معرفی می‌شوند. برای بررسی دقیق مدارهای فیدبک و در نظر گرفتن تقریبات بکار رفته در حل اینگونه مدارها، انواع مختلف فیدبک را در نظر گرفته و محاسبات دقیق آنها با استفاده از معادلات ولتاژ و جریان انجام و نتایج بررسی با روش تقریبی فیدبک مقایسه می‌شوند.

#### ۱-۴ ساختمان تقویت‌کننده‌های فیدبک

شکل (۱-۴) شمای کلی تقویت‌کننده با فیدبک را نشان می‌دهد که در آن برای معرفی سیگنالها بجای مقادیر معمول ولتاژ و جریان از نمودار جریان سیگنال (signal flow graph) استفاده شده است.  $x_s$  منبع ورودی،  $x_i$  سیگنال ورودی تقویت‌کننده و  $x_o$  خروجی آن است. این مدار شامل یک تقویت‌کننده بنام تقویت‌کننده اصلی و مدار فیدبک است که از سیگنال خروجی نمونه برداری می‌کند. سیگنال فیدبک شده  $x_f$  در مقایسه‌کننده از سیگنال منبع کم شده و سیگنال خطا که تفاضل سیگنال منبع ورودی و فیدبک است در ورودی تقویت‌کننده اصلی واقع می‌شود. فیدبک منفی اساساً سیگنال ورودی در تقویت‌کننده اصلی را نسبت به سیگنال منبع ورودی کاهش می‌دهد. در شکل (۱-۴) روابط زیر را می‌توان نوشت:

$$x_i = x_s - x_f, \quad x_f = f x_o, \quad x_o = a x_i \quad (۱-۴)$$



شکل ۱-۴ شمای کلی تقویت‌کننده با فیدبک

$a$  بهره تقویت‌کننده اصلی و  $f$  ضریب مدار فیدبک است که نشان می‌دهد چه مقدار از سیگنال خروجی به ورودی فیدبک می‌شود. بهره تقویت‌کننده مدار بسته و یا مدار با فیدبک  $A$  است:

$$A = \frac{x_o}{x_i} = \frac{a}{1 + a f} \quad (۲-۴)$$

چنانچه بهره تقویت‌کننده اصلی بزرگ باشد در این صورت برای مقادیر معمولی فیدبک حاصلضرب  $a$  و  $f$  بزرگ است و با صرف نظر از "۱" در مقابل  $a f$  در رابطه (۲-۴) بهره تقویت‌کننده با فیدبک:



$$A \approx \frac{1}{f} \quad (3-4)$$

است. رابطه (۳-۴) نتیجه مهمی در مدارهای با فیدبک است که نشان می‌دهد بهره تقویت‌کننده مدار بسته در شرایط خاص مستقل از  $a$ ، بهره تقویت‌کننده اصلی است و تنها به مدار فیدبک بستگی دارد. از آنجایی که مدار فیدبک از عناصر غیر فعال نظیر مقاومت، سلف و خازن تشکیل می‌شود که اولاً می‌توان آنها را دقیق انتخاب نمود و ثانیاً این عناصر تغییرات قابل ملاحظه‌ای با عواملی ناخواسته مانند درجه حرارت ندارند، بنابراین بهره تقویت‌کننده با فیدبک تقریباً ثابت است. این خصوصیت در شرایطی است که مشخصات عناصر فعال بکار رفته در تقویت‌کننده اصلی با عوامل مختلف و ناخواسته تغییر می‌یابند. لذا گرچه بهره تقویت‌کننده اصلی با این عوامل تغییر می‌یابند، اما بهره تقویت‌کننده مدار بسته فقط به مدار فیدبک بستگی دارد و در اثر عوامل ناخواسته تغییر زیادی پیدا نمی‌کند. به عبارت دیگر بهره تقریباً ثابت مانده و به مشخصات تقویت‌کننده اصلی حساس نمی‌باشد.

## ۲-۴ خواص فیدبک

### ۱-۲-۴ عدم حساسیت

در بخش (۲-۴) مفهوم عدم حساسیت تقویت‌کننده مدار بسته به مشخصات تقویت‌کننده اصلی مطرح شد. برای اینکه معیاری برای بیان عدم حساسیت نسبت به تغییرات بدست آید ضریب عدم حساسیت  $D$  که نسبت تغییرات بهره تقویت‌کننده به تغییرات تقویت‌کننده اصلی تعریف می‌شود:

$$D = \frac{\Delta A}{\Delta a} \quad (3-4)$$

برای تغییرات کوچک مشخصات تقویت‌کننده این نسبت به مشتق میل می‌کند و می‌توان نشان داد:

$$D = \frac{dA}{da} = \frac{1}{(1 + af)^2} \quad (5-4)$$

با در نظر گرفتن نسبت  $\frac{da}{a}$  بعنوان تغییرات نسبی بهره تقویت‌کننده اصلی، تغییرات نسبی بهره تقویت‌کننده با فیدبک:

$$\frac{dA}{A} = \frac{1}{(1 + af)^2} \frac{da}{a} \quad (6-4)$$

خواهد بود. رابطه (۶-۴) نشان می‌دهد که میزان مشخصی از تغییرات  $a$  بر  $1 + af$  تقسیم و تغییرات بهره مدار بسته  $A$  بدست می‌آید. به این علت به  $D = 1 + af$  ضریب عدم حساسیت گفته می‌شود.



## مثال ۱-۴

به یک تقویت‌کننده با بهره ۵۰۰ سیگنال فیدبکی با ضریب فیدبک ۰/۰۵ اعمال می‌شود.  
الف) بهره تقویت‌کننده مدار بسته چقدر است.

ب) چنانچه بهره تقویت‌کننده اصلی به اندازه ۲۰٪ + تغییر یابد، بهره  $A$  چقدر تغییر می‌کند.

ج) چنانچه ضریب فیدبک ۲۰٪ کاهش یابد، بهره تقویت‌کننده مدار بسته  $A$  چقدر تغییر می‌نماید.

$$a = 500, \quad f = 0.05, \quad D = 1 + af = 26$$

$$A = \frac{a}{1 + af} = 19.23$$

$$\frac{dA}{A} = \frac{1}{(1 + af)^2} \times \frac{da}{a} = \frac{20\%}{26^2} = 2.96\%$$

پس اگر بهره تقویت‌کننده اصلی ۲۰٪ تغییر کند بهره تقویت‌کننده مدار بسته فقط ۲/۹۶٪ تغییر خواهد نمود. برای محاسبه حساسیت  $A$  نسبت به تغییرات ضریب فیدبک، لازم است ابتدا  $S_f$  حساسیت بهره تقویت‌کننده مدار بسته نسبت به  $f$  را بدست آورد که در رابطه (۷-۴) نشان داده شده است.

$$S_f = \frac{(dA/A)}{(df/f)} = \frac{dA}{df} \times \frac{f}{A} = - \frac{fA}{1 + fA} \quad (7-4)$$

بنابراین با کاهش ۲۰٪ در مقدار ضریب فیدبک بهره تقویت‌کننده اصلی به اندازه :

$$\frac{dA}{A} = - \frac{fA}{1 + fA} \times \frac{df}{f} = - \frac{19.23 \times 0.05}{1 + 19.23 \times 0.05} (-20\%) = 19.2\%$$

۱۹/۲٪ + تغییر خواهد نمود. این مثال نشان می‌دهد که بهره تقویت‌کننده به مدار فیدبک وابستگی زیادی دارد و لازم است از عناصر غیر فعال ساخته شود.

## ۲-۲-۴ کاهش بهره

رابطه (۲-۴) نشان می‌دهد بهره تقویت‌کننده مدار بسته در مقایسه با تقویت‌کننده اصلی با ضریب  $1 + af$  کاهش می‌یابد. به عبارت دیگر به همان میزانی که حساسیت به تغییرات کم می‌شود به همان میزان بهره تقویت‌کننده با فیدبک نیز کاهش می‌یابد. در حقیقت کاهش بهره بهایی است که در مقابل عدم حساسیت و سایر مزایای فیدبک داده می‌شود.

## ۳-۲-۴ افزایش پهنای باند

چنانچه تقویت‌کننده با بهره باند میانی  $a_0$  و دارای یک قطب فرکانس بالا بعنوان تقویت‌کننده اصلی در شکل (۱-۴) بکار رود، تابع انتقال تقویت‌کننده اصلی :



$$a(s) = \frac{a_o}{1 + \frac{s}{s_a}} \quad (4-8 \text{ الف})$$

است. تابع انتقال تقویت‌کننده مدار بسته در حالت کلی به صورت:

$$A(s) = \frac{A_o}{1 + \frac{s}{s_1}} \quad (4-8 \text{ ب})$$

است که در آن

$$A_o = \frac{a_o}{1 + a_o f}, \quad s_1 = (1 + a_o f) s_a \quad (4-8 \text{ ج})$$

می‌باشند. رابطه (4-8 ج) نشان می‌دهد که مدار با فیدبک دارای فرکانس قطع ۳ dB بالای:

$$\omega_{HF} = |s_1| = |s_a| (1 + a_o f) \quad (4-8 \text{ د})$$

است. این رابطه نشان می‌دهد متناسب با ضریب عدم حساسیت، پهنای باند تقویت‌کننده مدار بسته افزایش می‌یابد. علاوه بر آن می‌توان نشان داد چنانچه تقویت‌کننده دارای فرکانس قطع پایین  $\omega_L$  و شامل یک قطب فرکانس پایین باشد، با اعمال فیدبک  $\omega_L$  کاهش خواهد یافت. بررسی این مسئله بعنوان تمرین انتهای فصل به عهده دانشجویان واگذار می‌شود.

#### ۴-۲-۴ تغییرات امپدانس ورودی و خروجی

از مهمترین مزایای فیدبک کنترل امپدانس ورودی و خروجی تقویت‌کننده است. بسته به نوع فیدبک انتخاب شده می‌توان امپدانس ورودی یا خروجی تقویت‌کننده را افزایش و یا کاهش داد و تقویت‌کننده را به سمت یک تقویت‌کننده ایده‌آل نزدیک نمود. در بخش‌های بعد روابط مربوط به امپدانس ورودی و خروجی برای هر یک از انواع فیدبک تعیین و تاثیر فیدبک بر این مشخصات مدار بدقت بررسی می‌شود.

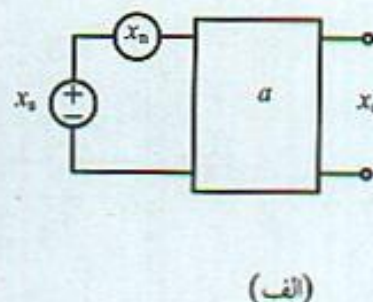
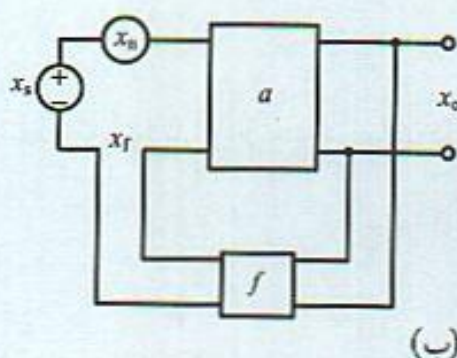
#### ۴-۲-۵ کاهش نویز و سیگنالهای اضافی

از مزایای مهم فیدبک کاهش نویز و سیگنالهای اضافی در بعضی از مدارهای فیدبک است. شکل (۴-۲ الف) تقویت‌کننده‌ای را نشان می‌دهد که در ورودی آن علاوه بر سیگنال ورودی، سیگنال اضافی نیز وجود دارد. واضح است که در این حالت سیگنال ورودی و نویز به یک میزان تقویت شده و در صورتی که تقویت‌کننده نویزی به مجموعه اضافه نکند نسبت سیگنال به نویز ورودی در ورودی و خروجی یکسان است.

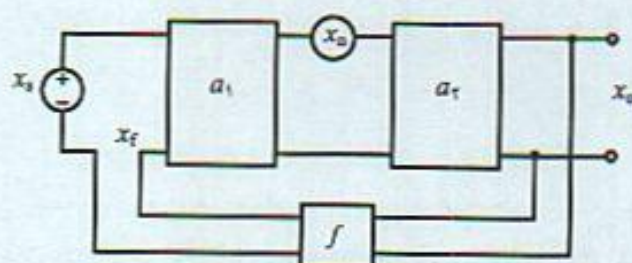
$$\left(\frac{S}{N}\right)_o = \left(\frac{S}{N}\right)_i = \left(\frac{x_i}{x_n}\right)^2 \quad (4-9)$$

در وضعیت شکل (۴-۲ ب) نیز از تقویت‌کننده با بهره  $a$  در مدار فیدبک استفاده شده است، واضح است که سیگنال و نویز بطور یکسان در ورودی تقویت‌کننده با فیدبک واقع شده‌اند. در این حالت نیز نسبت سیگنال به نویز در ورودی و خروجی یکسان و رابطه (۴-۹) برقرار است.





شکل ۴-۲ نویز در ورودی تقویت کننده: (الف) بدون فیدبک، (ب) با فیدبک



شکل ۳-۴ نویز در تقویت کننده های فیدبک با ۲ طبقه و نویز در ورودی طبقه دوم

اما در وضعیت شکل (۳-۴) تقویت کننده اصلی شامل دو بخش با بهره های  $a_1$  و  $a_2$  است و نویز در ورودی تقویت کننده دوم واقع شده است. در این حالت می توان نشان داد سیگنال خروجی شامل دو بخش سیگنال اصلی و نویز با رابطه (۴-۱۰) است.

$$x_o = \frac{a_1 \times a_2}{1 + a_1 \times a_2} x_i + \frac{a_2}{1 + a_1 \times a_2} x_n \quad (۴-۱۰)$$

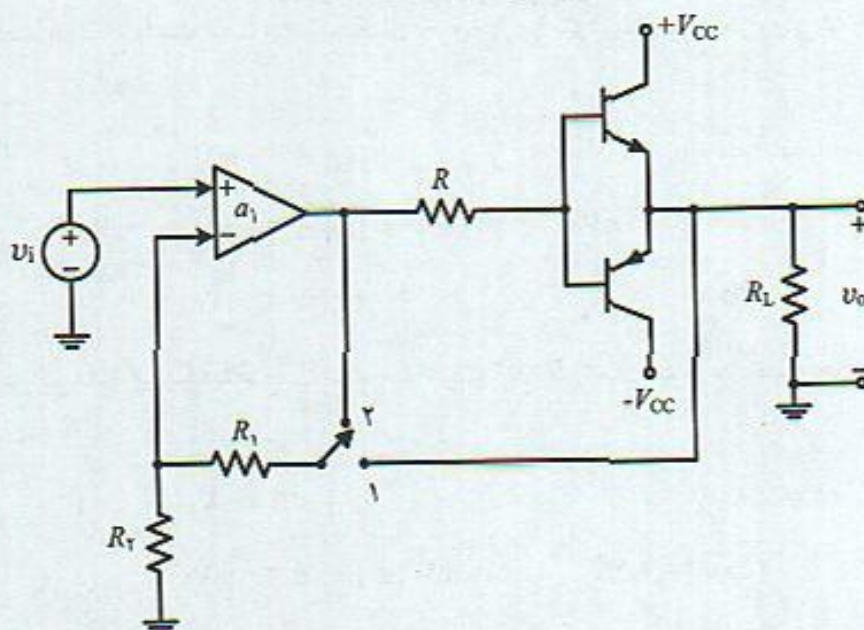
و نسبت سیگنال به نویز در خروجی:

$$\left(\frac{S}{N}\right)_o = a_1 \frac{x_i}{x_o} = a_1 \left(\frac{S}{N}\right)_i \quad (۴-۱۱)$$

خواهد بود که نشان می دهد در این شرایط نسبت سیگنال به نویز در خروجی به اندازه بهره تقویت کننده اول در مقایسه با حالت های قبلی بهبود یافته است.

به عنوان مثال از کاربرد بحث فوق، در تقویت کننده های قدرت صوتی و در طبقه آخر آن مسئله نویز منبع تغذیه اهمیت خاصی دارد. در این موارد یک منبع تغذیه تثبیت شده با جریان بالا مورد نیاز است که مدار نسبتاً پیچیده و با توجه به توان بالا هزینه زیادی دارد. برای اینکه از مدار تثبیت کننده ولتاژ ساده تری استفاده شود، کاری که در عمل انجام می شود استفاده از یک منبع تغذیه ساده با هزینه کم (با استفاده از یکسوساز دیودی و خازن صافی) است که خروجی آن دارای مقداری تضرار (ripple) می باشد. از آنجایی که تقویت کننده قدرت دارای یک پیش تقویت کننده هست با مدار مناسبی می توان بخشی از سیگنال خروجی تقویت کننده را به ورودی پیش تقویت کننده فیدبک نمود. در این صورت تضرار موجود در منبع ولتاژ را می توان بعنوان نویزی در نظر گرفت که در بین دو مدار و مشابه شکل (۳-۴) به مدار اضافه می شود. استفاده





شکل ۴-۴ تقویت‌کننده قدرت کلاس B بدون بایاس و حذف اعوجاج عبور از صفر در خروجی با فیدبک

از فیدبک سبب می‌شود تاثیر این نویز در خروجی به اندازه قابل ملاحظه‌ای کم شود. مثال مهم دیگری که در این رابطه می‌توان در نظر گرفت، یک تقویت‌کننده کلاس B بدون بایاس است که در شکل (۴-۴) نشان داده شده است. در شرایط معمول و بدون فیدبک، سیگنال خروجی دارای اعوجاج عبور از صفر (cross over distotion) است. با استفاده از فیدبک در این مدار می‌توان به نحو موثری مقدار آنرا در خروجی کاهش داد. در شکل (۴-۴) اگر کلید S در وضعیت ۲ قرار داشته باشد فیدبکی از خروجی به ورودی در مدار وجود ندارد و خروجی دارای اعوجاج است. اما اگر کلید در وضعیت ۱ قرار گیرد، بخشی از سیگنال خروجی که همراه با اعوجاج است به ورودی بازگردانده می‌شود. این اعوجاج را می‌توان به عنوان نویزی در نظر گرفت که همانند شکل (۳-۴) بین دو جزء مدار اضافه شده است. در نتیجه با توجه به رابطه (۱۱-۴) استفاده از فیدبک اثر اعوجاج در خروجی را کاهش می‌دهد. واضح است که هر چه بهره طبقه تغذیه کننده، طبقه اول، بیشتر باشد، میزان اعوجاج خروجی کمتر خواهد بود. در مدار شکل (۴-۴) می‌توان با تنظیم مقاومتهای  $R_1$  و  $R_T$ ، مقدار فیدبک خروجی به ورودی را کنترل و مدار را برای کمترین اعوجاج خروجی تنظیم نمود.

#### ۴-۲-۶ کاهش اعوجاج غیر خطی

نکاتی که تا این بخش در خصوصیات فیدبک در تقویت‌کننده‌ها مطرح شد بر مبنای این فرض است که مشخصه خروجی به ورودی تقویت‌کننده اصلی خطی است. اما عناصر فعال دارای مشخصه غیر خطی هستند. در دامنه‌های کم رابطه ورودی و خروجی یک مشخصه خطی است و با افزایش دامنه مقدار بهره کاهش می‌یابد. با استفاده از فیدبک می‌توان تا حدودی آثار غیر خطی را کم نمود.

بعنوان مثال شکل (۵-۴) مشخصه غیر خطی تقویت‌کننده‌ای را نشان می‌دهد که در سیگنالهای کوچک (تا دامنه ۱۰ mV) دارای بهره ۱۰۰۰ و در دامنه‌های بزرگتر دارای بهره ۵۰۰ است. هم‌چنین در دامنه‌های خیلی



بزرگ شرایط قطع و اشباع باعث ثابت شدن سیگنال خروجی می‌شود. مشخصه خروجی بر حسب ورودی بصورت:

$$v_o = 1000 v_i \quad |v_i| \leq 10 \text{ mV}$$

$$500 v_i + 10 \text{ V} \quad 10 \text{ mV} \leq |v_i| \leq 30 \text{ mV}$$

$$25 \text{ V} \quad |v_i| \geq 30 \text{ mV}$$

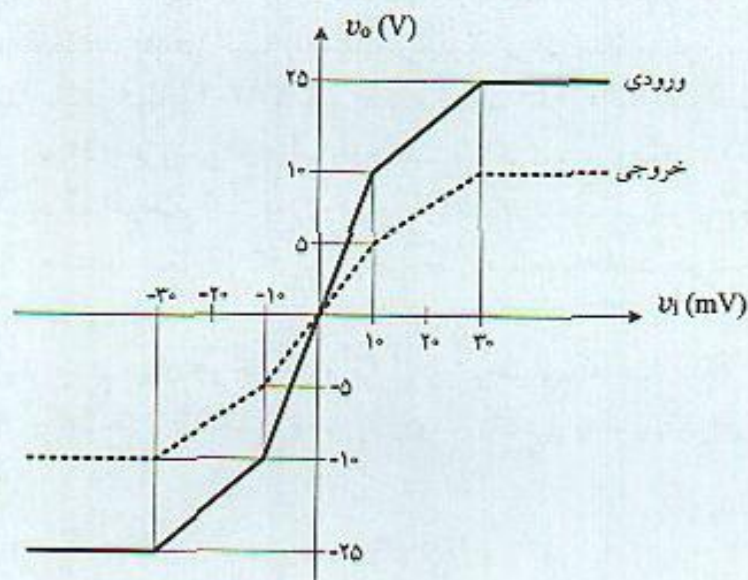
است. چنانچه به این مدار فیدبک با ضریب عدم حساسیت  $D = 2$  اعمال شود، مشخصه خروجی بر حسب ورودی بصورت:

$$v_o = 500 v_i \quad |v_i| \leq 10 \text{ mV}$$

$$250 v_i + 2.5 \text{ V} \quad 10 \text{ mV} \leq |v_i| \leq 30 \text{ mV}$$

$$10 \text{ V} \quad |v_i| \geq 30 \text{ mV}$$

ملاحظه می‌شود با اضافه شدن فیدبک، شیب مشخصه انتقال دو ناحیه به هم نزدیک شده شرایط غیر خطی تقویت‌کننده کمتر می‌شود. مشخصه انتقال در شکل (۴-۵) ترسیم شده است. البته این امر به قیمت کاهش بهره انجام پذیرفته است. باید در نظر داشت استفاده از فیدبک در شرایط قطع و اشباع مدار تاثیری ندارد.



شکل ۴-۵ کاهش آثار غیر خطی تقویت‌کننده‌ها با استفاده از فیدبک

### ۳-۴ انواع تقویت‌کننده‌ها و فیدبک

تقویت‌کننده‌ها از جهات مختلف، به انواع متفاوتی دسته‌بندی می‌شوند. یک نوع از این تقسیم‌بندی بر اساس نوع کمیت ورودی (ولتاژ یا جریان) و نوع سیگنال خروجی (ولتاژ و یا جریان) است. بر این اساس تقویت‌کننده‌ها به چهار دسته تقسیم می‌شوند که در هر یک فیدبک خاصی را می‌توان بکار برد.

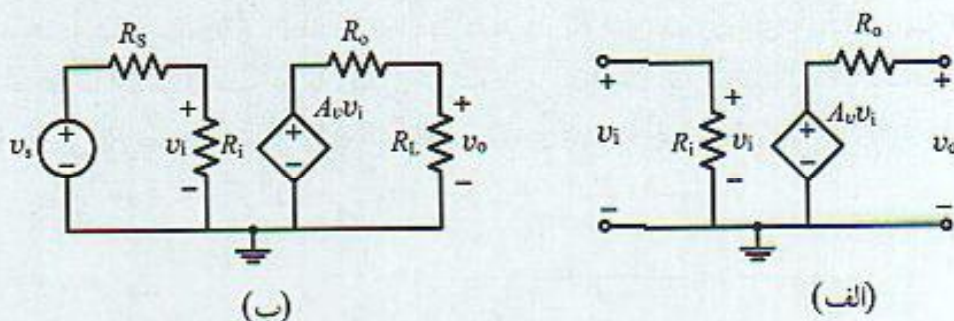


### ۱-۳-۴ تقویت‌کننده ولتاژ

در تقویت‌کننده‌های ولتاژ سیگنال ورودی و خروجی ولتاژ است. شکل (۴-۶) مدار معادل این نوع تقویت‌کننده‌ها را نشان می‌دهد که در آن مدار معادل تونن (Thevenin) در خروجی بکار رفته است. در مدار معادل،  $R_i$  مقاومت ورودی،  $R_o$  مقاومت خروجی و منبع وابسته منبع کنترل شونده با ولتاژ است. چنانچه منبعی با مقاومت  $R_S$  این تقویت‌کننده را تغذیه کند و در خروجی مقاومت بار  $R_L$  قرار داشته باشد، بهره ولتاژ کل مدار با در نظر گرفتن اثر بارگذاری بار و منبع رابطه (۴-۱۲) خواهد بود.

$$A_V = \frac{v_o}{v_s} = \frac{R_L}{R_L + R_o} \frac{R_i}{R_i + R_S} A_v \quad (4-12)$$

در رابطه (۴-۱۲) بهره ولتاژ داخلی تقویت‌کننده است. در یک تقویت‌کننده ولتاژ ایده‌آل مقاومت ورودی بسیار بزرگ (بینهایت) و مقاومت خروجی بسیار کم (تقریباً صفر) است. در این شرایط بهره کل با بهره داخلی مساوی و اثر بارگذاری مقاومت‌های بار و منبع قابل صرف‌نظر می‌باشد. علاوه بر آن چنانچه در مداری بتوان تقریبهای  $R_o \gg R_L$  و  $R_S \ll R_i$  را بکار برد در این صورت می‌توان تقریب  $A_V \approx A_v$  را با خطای کم و قابل قبولی بکار برد.

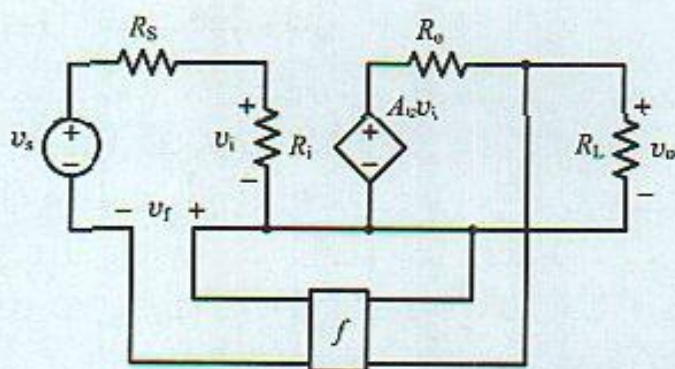


شکل ۴-۶ (الف) مدار معادل تقویت‌کننده ولتاژ، (ب) تقویت‌کننده ولتاژ با منبعی با مقاومت  $R_S$  و مقاومت بار  $R_L$

از آنجایی که در این نوع تقویت‌کننده خروجی ولتاژ است، مدار فیدبکی که به این تقویت‌کننده وصل می‌شود لازم است از ولتاژ خروجی نمونه برداری کند. هم‌چنین چون منبع ورودی بصورت ولتاژ است لازم است سیگنال فیدبک شده در ورودی بصورت ولتاژ باشد تا بصورت سری از منبع ورودی کم شود. به این علت فیدبکی که به این تقویت‌کننده می‌توان اعمال کرد فیدبک ولتاژ-سری نامیده می‌شود. شکل (۴-۷) این نوع فیدبک را در تقویت‌کننده ولتاژ نشان می‌دهد. از جهت نوع اتصال لازم در ورودی و خروجی باید گفت برای بدست آوردن بخشی از خروجی بعنوان فیدبک، لازم است اتصال خروجی بصورت موازی باشد. علاوه بر آن برای کم شدن سیگنال فیدبک از سیگنال ورودی اتصال مورد نیاز در ورودی بصورت سری است. از این جهت این نوع فیدبک به نام فیدبک موازی-سری نامیده می‌شود.

این نوع فیدبک باعث تثبیت بهره ولتاژ مدار شده، امپدانس ورودی را افزایش و امپدانس خروجی را کاهش می‌دهد و مدار را به تقویت‌کننده ولتاژ ایده‌آل نزدیک می‌کند. توجه شود فرض کم شدن سیگنال





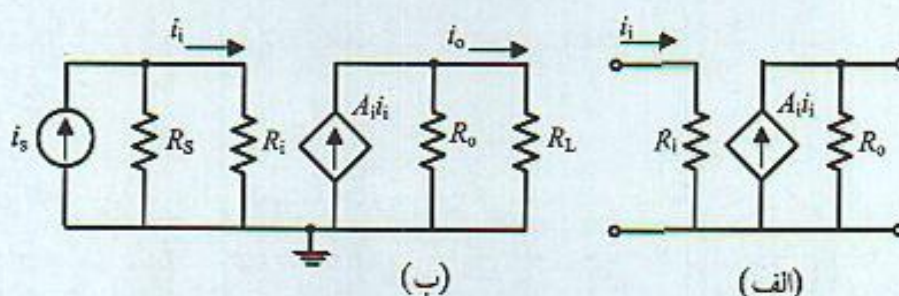
شکل ۷-۴ تقویت‌کننده ولتاژ با فیدبک ولتاژ سری

فیدبک از سیگنال ورودی به علت افت ولتاژ دو سر مقاومت منبع دقیق نیست. از این جهت در بررسی تقریبی مدارهای فیدبک، عموماً در ابتدا  $R_s = 0$  در نظر گرفته شده و با در نظر گرفتن مدار معادل تقویت‌کننده، اثر بارگذاری مقاومت منبع منظور می‌شود.

#### ۲-۳-۴ تقویت‌کننده جریان

در این نوع تقویت‌کننده‌ها سیگنالهای ورودی و خروجی، هر دو جریان هستند. مدار معادل این تقویت‌کننده‌ها در شکل (۸-۴) نشان داده شده است که در آن  $R_i$  مقاومت ورودی،  $R_o$  مقاومت خروجی و منبع خروجی در مدار معادل، منبع جریان کنترل شونده با جریان است. این تقویت‌کننده با یک منبع جریان با مقاومت خروجی  $R_s$  بصورت شکل (۸-۴ ب) تغذیه شده و در خروجی به مقاومت بار  $R_L$  وصل می‌شود. بهره کل مدار با در نظر گرفتن اثر بارگذاری بار و منبع رابطه (۱۳-۴) است.

$$A_I = \frac{i_o}{i_s} = \frac{R_o}{R_L + R_o} \frac{R_s}{R_i + R_s} A_i \quad (13-4)$$



شکل ۸-۴ الف) مدار معادل تقویت‌کننده جریان، ب) تقویت‌کننده جریان با منبعی با مقاومت  $R_s$  و مقاومت بار  $R_L$

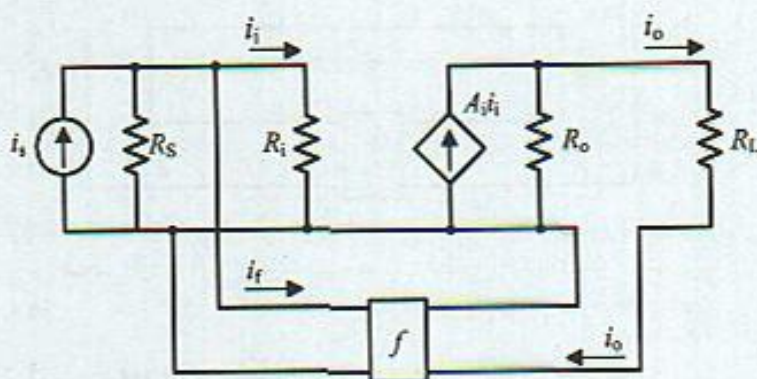
در رابطه (۱۳-۴)  $A_i$  بهره جریان داخلی تقویت‌کننده است. در تقویت‌کننده جریان ایده‌آل مقاومت ورودی بسیار کم (تقریباً صفر) و مقاومت خروجی بسیار زیاد (بی‌نهایت) است. چنانچه در این تقویت‌کننده‌ها بتوان تقریبهای  $R_o \gg R_L$  و  $R_s \gg R_i$  را در نظر گرفت در این صورت با تقریب قابل قبول می‌توان از اثر بارگذاری مقاومت بار و منبع صرف‌نظر و تقریب  $A_I \approx A_i$  را بکار برد. این رابطه نشان می‌دهد بهره جریان کل



تقویت‌کننده مساوی بهره جریان داخلی است.

مدار فیدبکی که به خروجی وصل می‌شود دارای اتصال سری است چون سیگنال خروجی مدار از نوع جریان است. هم‌چنین سیگنال فیدبک شده در ورودی باید بصورت جریان باشد تا از منبع ورودی با اتصال موازی کم شود. بر این اساس به این نوع فیدبک، فیدبک جریان-موازی و از جهت نوع اتصال خروجی و ورودی بنام سری-موازی نامیده می‌شود. این نوع فیدبک در شکل (۹-۴) نشان داده شده است.

فیدبک جریان موازی باعث تثبیت جریان شده، کاهش امپدانس ورودی و افزایش امپدانس خروجی را به همراه دارد و تقویت‌کننده را به تقویت‌کننده جریان ایده‌آل نزدیک می‌نماید. توجه شود فرض کم شدن سیگنال فیدبک از سیگنال ورودی به علت جریان موجود در مقاومت منبع دقیق نمی‌باشد. از این جهت در بررسی این نوع مدارهای فیدبک عموماً  $R_S = \infty$  در نظر گرفته می‌شود.

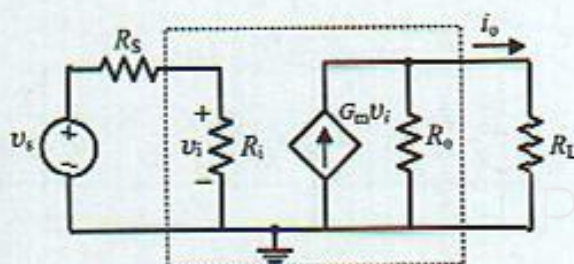


شکل ۹-۴ تقویت‌کننده جریان با فیدبک جریان-موازی

### ۳-۳-۴ تقویت‌کننده هدایت انتقالی

در این نوع تقویت‌کننده‌ها سیگنال خروجی از نوع جریان و ولتاژ است. ضریب بهره داخلی تقویت‌کننده بهره هدایت انتقالی و با  $G_m$  نشان داده می‌شود. شکل (۱۰-۴) مدار معادل این نوع تقویت‌کننده‌ها را نشان می‌دهد. بهره قابل تعریف در این مدار جریان خروجی به ولتاژ ورودی است که با در نظر گرفتن اثر بارگذاری بار و منبع بصورت رابطه (۱۴-۴) است. در یک تقویت‌کننده ایده‌آل هدایت انتقالی مقاومت ورودی و خروجی بسیار زیاد (بی‌نهایت) می‌باشد.

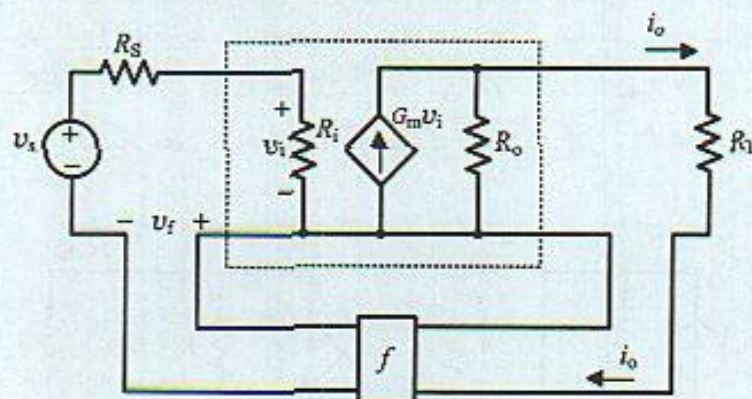
$$G_M = \frac{R_L}{R_L + R_o} \frac{R_i}{R_i + R_S} G_m \quad (14-4)$$



شکل ۱۰-۴ تقویت‌کننده هدایت انتقالی با مقاومت بار و منبع



فیدبکی که در این نوع تقویت‌کننده‌ها می‌توان بکار برد فیدبک جریان-سری است که در آن مدار فیدبک از جریان خروجی نمونه برداری می‌کند و سیگنالی در ورودی بصورت ولتاژ بدست می‌آید که از منبع ولتاژ ورودی کم می‌شود. در نتیجه مدار فیدبک مبدل جریان به ولتاژ با واحد اهم (از جنس مقاومت) است. شکل (۱۱-۴) شمای کلی این نوع فیدبک را نشان می‌دهد. این نوع فیدبک باعث تثبیت بهره هدایت انتقالی، افزایش مقاومت ورودی و خروجی می‌شود. از جهت نوع اتصال فیدبک سری-سری نامیده می‌شود.



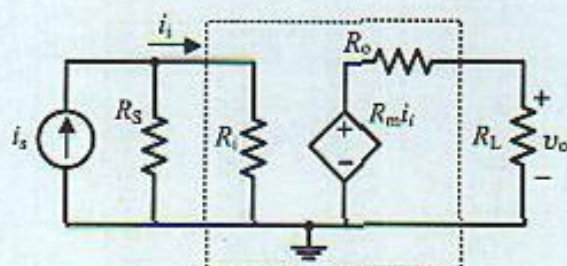
شکل ۱۱-۴ تقویت‌کننده هدایت انتقالی با فیدبک جریان سری

#### ۴-۳-۴ تقویت‌کننده مقاومت انتقالی

شکل (۱۲-۴) یک تقویت‌کننده مقاومت انتقالی با بهره داخلی  $R_m$  را نشان می‌دهد که در آن سیگنال خروجی ولتاژ، ورودی جریان و مدار معادل منبع ورودی مدار معادل نورتن (Norton) است. بهره کل این تقویت‌کننده:

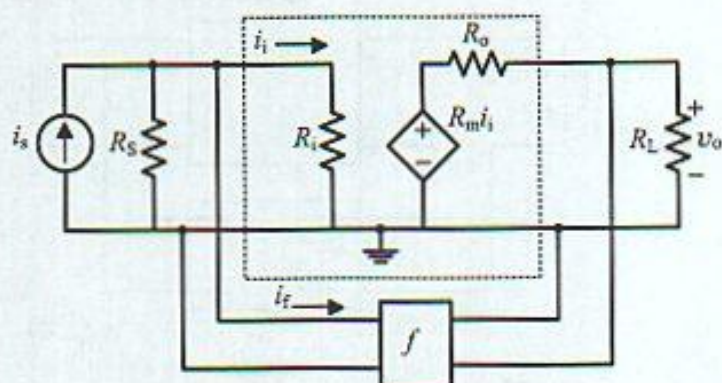
$$R_M = \frac{v_o}{i_s} = \frac{R_L}{R_L + R_o} \frac{R_s}{R_i + R_s} R_m \quad (۱۵-۴)$$

است. تقویت‌کننده‌ای از این نوع ایده‌آل است که دارای مقاومت ورودی و خروجی صفر باشد. در این حالت اثر بارگذاری قابل صرف‌نظر و بهره کل مدار مساوی بهره داخلی تقویت‌کننده می‌باشد. فیدبکی که در این نوع تقویت‌کننده‌ها می‌توان اعمال نمود فیدبک ولتاژ-موازی است که در شکل (۱۳-۴) نشان داده شده است. مدار فیدبک از ولتاژ خروجی نمونه برداری می‌کند و در ورودی سیگنالی فراهم می‌آورد که از منبع جریان ورودی کم می‌شود. بر اساس نوع اتصال ورودی و خروجی به این نوع فیدبک موازی-موازی نیز گفته می‌شود.



شکل ۱۲-۴ تقویت‌کننده مقاومت انتقالی با مقاومت بار و منبع





شکل ۴-۱۳ تقویت‌کننده  
مقاومت انتقالی و فیدبک ولتاژ موازی

#### ۴-۴ بررسی تقویت‌کننده‌های فیدبک ایده‌ال

در بخش‌های قبل مفهوم فیدبک منفی، محاسن فیدبک و هم‌چنین انواع مختلف آن مورد بحث و بررسی قرار گرفت. در این بخش تقویت‌کننده‌های فیدبک با فرض ایده‌ال بودن مدار فیدبک تحلیل، روابط مربوط به انواع مختلف فیدبک و هم‌چنین تاثیر آن بر امپدانس ورودی و خروجی مدار بررسی می‌شود.

##### ۴-۴-۱ فیدبک ولتاژ سری

برای طرح یک تقویت‌کننده که در آن بهره ولتاژ مقدار تثبیت شده و مستقل از پارامترهای تقویت‌کننده اصلی باشد لازم است بخشی از ولتاژ خروجی را از طریق مدار فیدبک از منبع ولتاژ ورودی کم نمود. این تقویت‌کننده با در نظر گرفتن مدار ایده‌ال برای شبکه فیدبک، در شکل (۴-۱۴) الف نشان داده شده است که در آن منبعی با  $R_S = 0$  تقویت‌کننده را تغذیه می‌کند. در این مدار رابطه (۴-۱۶) را می‌توان نوشت.

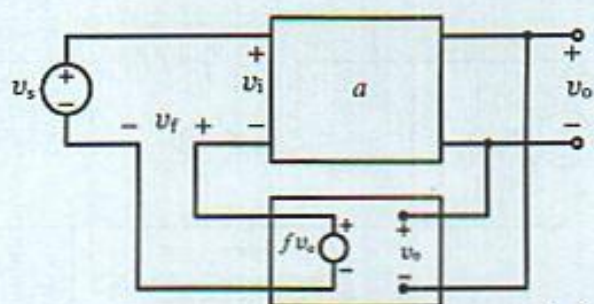
$$v_o = a(v_s - v_f), \quad v_f = f v_o \Rightarrow A = \frac{v_o}{v_s} = \frac{a}{1 + a f} \quad (4-16)$$

$a$  بهره تقویت‌کننده اصلی و  $A$  بهره تقویت‌کننده مدار بسته است. چنانچه این تقویت‌کننده توسط منبعی با مقاومت  $R_S$  در شکل (۴-۱۴) ب تغذیه شود، در این صورت بهره ولتاژ خروجی به ولتاژ  $v'_s$  تثبیت می‌شود. در این شرایط:

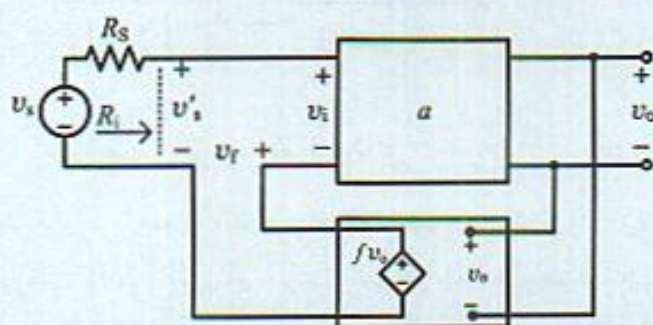
$$v'_s = \frac{R_i}{R_S + R_i} v_s \quad (4-17)$$

است.  $R_i$  مقاومت ورودی مدار در شکل (۴-۱۲) ب است. رابطه (۴-۱۷) نشان می‌دهد ولتاژ  $v'_s$  به مقاومت منبع و مقاومت  $R_i$  بستگی دارد. بنابراین بهره ولتاژ کل مدار  $\frac{v_o}{v_s}$  تثبیت نخواهد شد. باید در نظر داشت برای استفاده از مزیت فیدبک ولتاژ سری و برای تثبیت بهره ولتاژ، لازم است منبعی که تقویت‌کننده را تغذیه می‌کند دارای مقاومت بسیار کمتری در مقایسه با مقاومت ورودی تقویت‌کننده مدار بسته (بافیدبک) باشد. به این جهت عموماً در بررسی این نوع فیدبک شرایط ایده‌ال با فرض  $R_S = 0$  در نظر گرفته شده و سپس اثر بارگذاری مقاومت منبع منظور می‌شود.





(الف)



(ب)

شکل ۴-۱۴ تقویت‌کننده با  
فیدبک ولتاژ سری و مدار ایده‌آل  
فیدبک: الف) مقاومت منبع صفر،  
ب) مقاومت منبع غیر صفر

شکل (۴-۱۵) تقویت‌کننده با فیدبک ولتاژ سری را نشان می‌دهد که در آن مدار معادل تقویت‌کننده اصلی با مشخصات مقاومت ورودی، مقاومت خروجی و بهره ولتاژ داخلی مشخص شده و به منبعی با مقاومت صفر متصل شده است. مدار فیدبک ایده‌آل با مقاومت سری صفر (در ورودی) و مقاومت موازی بی‌نهایت (در خروجی) می‌باشد. با توجه به رابطه (۴-۱۲) بهره ولتاژ کل تقویت‌کننده اصلی در این شرایط به علت بارگذاری مقاومت بار:

$$a = A_V = \frac{v_o}{v_i} = \frac{R_L}{R_L + R_o} A_v \quad (۴-۱۸)$$

می‌باشد. و با استفاده از روابط موجود در مدار:

$$v_o = A_V (v_s - v_f), \quad v_f = f v_o$$

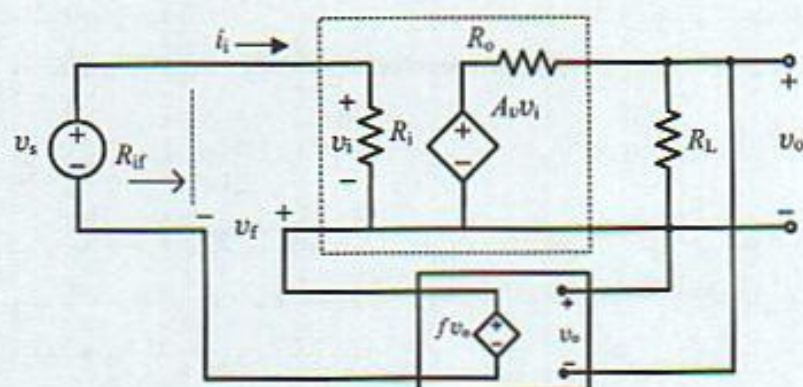
به آسانی می‌توان نشان داد که بهره ولتاژ تقویت‌کننده مدار بسته  $A_{Vf}$  (با فیدبک) بر حسب بهره ولتاژ تقویت‌کننده اصلی  $A_V$  از رابطه (۴-۱۹) بدست می‌آید.

$$A_{Vf} = \frac{v_o}{v_s} = \frac{A_V}{1 + f A_V} \quad (۴-۱۹)$$

برای بررسی اثر فیدبک منفی بر مقاومت ورودی تقویت‌کننده، مقاومت  $R_{if}$  که مقاومت ورودی تقویت‌کننده با فیدبک است و در شکل (۴-۱۵) نشان داده شده محاسبه می‌شود. این مقاومت نسبت ولتاژ منبع ورودی به جریان ورودی است. بنابراین:

$$R_{if} = \frac{v_s}{i_i} = \frac{v_i + f v_o}{i_i} = \frac{v_i + f A_V v_i}{i_i} = (1 + f A_V) \frac{v_i}{i_i} = R_i (1 + f A_V) \quad (۴-۲۰)$$





شکل ۴-۱۵ تقویت‌کننده ولتاژ با فیدبک ولتاژ سری تغذیه شده با منبعی با مقاومت صفر

است. رابطه (۴-۲۰) نشان می‌دهد فیدبک ولتاژ سری باعث افزایش مقاومت ورودی می‌شود. برای محاسبه مقاومت خروجی تقویت‌کننده پس از مقاومت بار  $R_L$ ، ابتدا منبع ورودی را صفر نموده و منبع آزمایشی  $V_T$  را در خروجی قرار داده و نسبت ولتاژ  $V_T$  به جریان  $I_T$  در مدار شکل (۴-۱۶) محاسبه می‌شود. با توجه به روابط:

$$v_i + f v_o = 0, \quad I_T = \frac{V_T A_v v_i}{R_o}$$

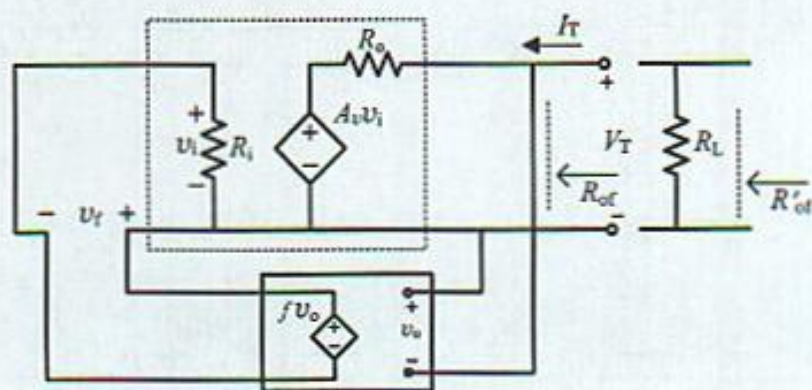
و مقاومت خروجی  $R_{of}$ :

$$R_{of} = \frac{V_T}{I_T} = \frac{R_o}{1 + f A_v} \quad (۴-۲۱ الف)$$

رابطه (۴-۲۱ الف) نشان می‌دهد استفاده از این نوع فیدبک باعث کاهش مقاومت خروجی می‌شود. واضح است بعد از مقاومت بار، مقاومت خروجی کل:

$$R'_{of} = R_{of} \parallel R_L \quad (۴-۲۱ ب)$$

است.



شکل ۴-۱۶ تقویت‌کننده ولتاژ با فیدبک ولتاژ سری و محاسبه مقاومت خروجی



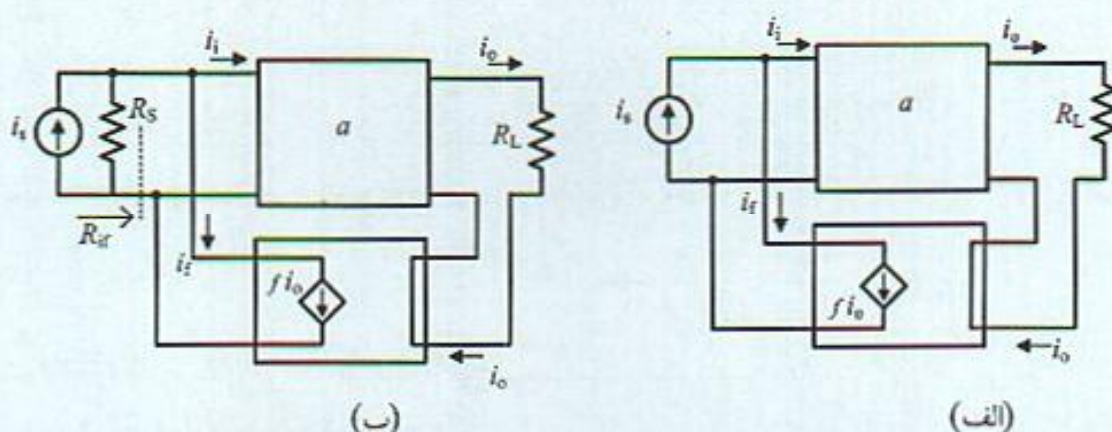
بطور خلاصه استفاده از فیدبک ولتاژ سری در تقویت‌کننده‌های ولتاژ باعث تثبیت بهره ولتاژ، افزایش مقاومت ورودی و کاهش مقاومت خروجی می‌شود.

#### ۲-۴-۴ فیدبک جریان موازی

در این نوع فیدبک که بهره جریان تقویت‌کننده تثبیت می‌شود از جریان خروجی نمونه برداری شده و در ورودی نیز بصورت یک سیگنال جریان از منبع ورودی کم می‌شود. شکل (۱۷-۴) این نوع فیدبک را نشان می‌دهد. مشابه با فیدبک نوع قبل می‌توان گفت بهره جریان  $\frac{i_o}{i_s}$  در شکل (۱۷-۴) ب) تثبیت می‌شود اما با توجه به رابطه:

$$i'_s = \frac{R_s}{R_s + R_i} i_s \quad (۲۲-۴)$$

بهره جریان کل تقویت‌کننده به علت وابستگی به مقاومت ورودی تثبیت نخواهد شد. اما چنانچه مقاومت منبع خیلی بزرگتر از مقاومت ورودی مدار باشد تقریب  $i'_s \approx i_s$  مناسب و می‌توان گفت که بهره جریان کل تثبیت می‌شود. از این جهت اثر بارگذاری مقاومت منبع در حالت ایده‌آل صرفنظر می‌شود.



شکل ۱۷-۴ تقویت‌کننده فیدبک جریان سری و شبکه‌ایده‌آل فیدبک: (الف) مقاومت منبع بی‌نهایت، (ب) مقاومت  $R_s$

برای در نظر گرفتن اثر فیدبک بر مشخصات تقویت‌کننده مدار معادل کامل این نوع فیدبک را بصورت شکل (۱۸-۴) در نظر گرفت و روابط (۲۳-۴) را در مورد آن نوشت:

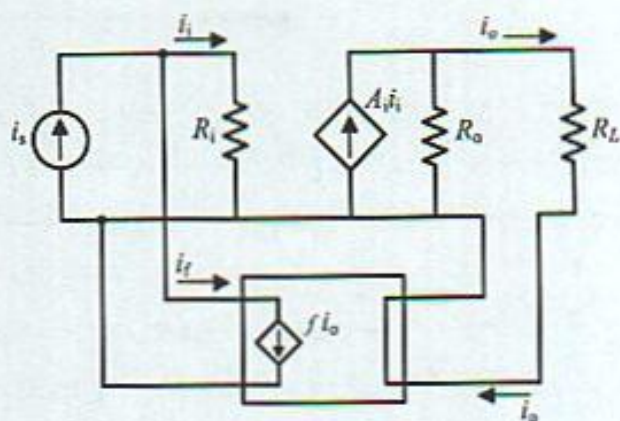
$$i_o = A_1 (i_s - i_t), \quad i_t = f i_o \quad (۲۳-۴)$$

در رابطه (۲۳-۴)  $A_1$  از رابطه (۱۳-۴) و با فرض مقاومت منبع صفر تعریف شده است. با تعریف بهره جریان و مقاومت ورودی تقویت‌کننده مدار بسته، می‌توان نشان داد:

$$A = A_{if} = \frac{i_o}{i_s} = \frac{i_o}{i_i + i_t} = \frac{A_1 i_i}{i_i + f i_o} = \frac{A_1 i_i}{i_i + f A_1 i_i} = \frac{A_1}{1 + f A_1} \quad (۲۴-۴)$$

$$R_{if} = \frac{v_i}{i_s} = \frac{v_i}{i_i + i_t} = \frac{v_i}{i_i + f i_o} = \frac{v_i}{i_i + f A_1 i_i} = \frac{v_i}{(1 + f A_1) i_i} = \frac{R_i}{1 + f A_1}$$





شکل ۴-۱۸ تقویت‌کننده با  
فیدبک جریان موازی تغذیه شده با منبع  
جریانی با مقاومت بی‌نهایت

هم‌چنین به روش مشابه با فیدبک قبل، با صفر کردن منبع ورودی و قرار دادن یک منبع آزمایشی در خروجی می‌توان مقاومت خروجی تقویت‌کننده مدار بسته را بدست آورد. می‌توان نشان داد استفاده از فیدبک جریان موازی باعث افزایش مقاومت شده مقدار آن از رابطه (۴-۲۵) بدست می‌آید.

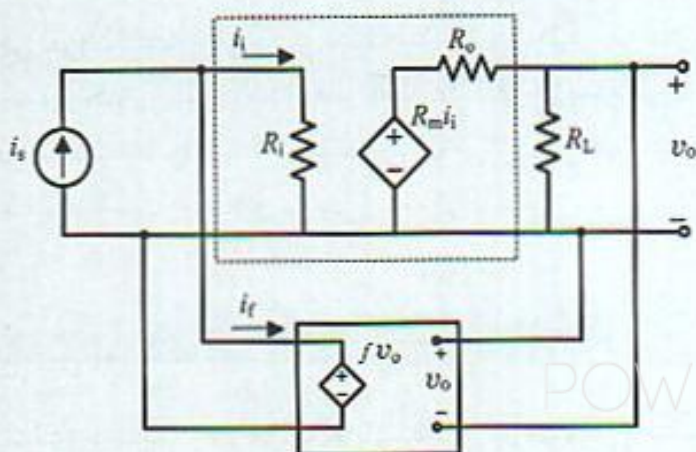
$$R_{of} = R_o (1 + f A_f) \quad (۴-۲۵)$$

#### ۴-۳-۴ فیدبک ولتاژ موازی

در فیدبک ولتاژ موازی بهره مقاومت انتقالی تقویت‌کننده تثبیت می‌شود. شکل (۴-۱۹) شمای کلی این تقویت‌کننده با فیدبک ایده‌آل که از طریق منبعی با مقاومت بی‌نهایت تغذیه می‌شود را نشان می‌دهد. تقویت‌کننده اصلی با بهره  $R_M$  با واحد اهم مشخص می‌شود. ضریب فیدبک با واحد هدایت (عکس اهم) می‌باشد. به روش مشابه فیدبکهای قبل می‌توان نشان داد مشخصات این تقویت‌کننده‌ها از روابط (۴-۲۶) بدست می‌آیند.

$$R_{Mf} = \frac{v_o}{i_s} = \frac{R_M}{1 + f R_M}, \quad R_{if} = \frac{v_i}{i_s} = \frac{R_i}{1 + f R_M}, \quad R_{of} = \frac{R_o}{1 + f R_M} \quad (۴-۲۶)$$

ملاحظه می‌شود استفاده از فیدبک ولتاژ در این نوع فیدبک مشابه ولتاژ سری باعث کاهش مقاومت خروجی می‌شود. هم‌چنین در این نوع فیدبک مشابه فیدبک جریان موازی مقاومت ورودی کاهش می‌یابد.



شکل ۴-۱۹ تقویت‌کننده با  
فیدبک ولتاژ موازی و مدار فیدبک  
ایده‌آل



#### ۴-۴-۴ فیدبک جریان سری

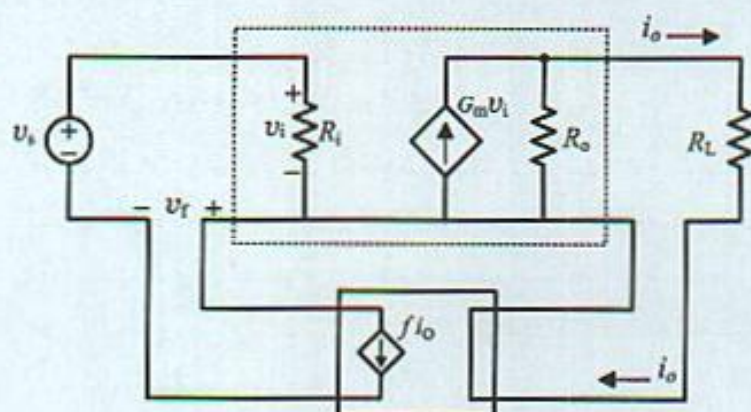
شکل (۴-۲۰) تقویت کننده با فیدبک جریان سری را نشان می دهد. در این نوع مدارها از جریان خروجی نمونه برداری شده و در مدار فیدبک ولتاژی بدست می آید که از منبع ورودی کم می شود. مدار معادلی که برای تقویت کننده اصلی یکار می رود تقویت کننده هدایت انتقالی با واحد مهو  $mho$  (عکس مقاومت) است. هم چنین ضریب مدار فیدبک با واحد اهم می باشد.

بهره کل تقویت کننده مدار بسته، جریان خروجی به ولتاژ ورودی است که مشابه سایر انواع فیدبک با ضریب عدم حساسیت کاهش می یابد. در این نوع فیدبک بهره مدار و سایر مشخصات:

$$G_{Mf} = \frac{i_o}{i_s} = \frac{G_M}{1 + f G_M} \quad (۴-۲۷)$$

$$R_{if} = R_i (1 + f G_M), \quad R_{of} = R_o (1 + f G_M)$$

می باشد.



شکل ۴-۲۰ تقویت کننده با فیدبک جریان سری و شبکه فیدبک ایده آل

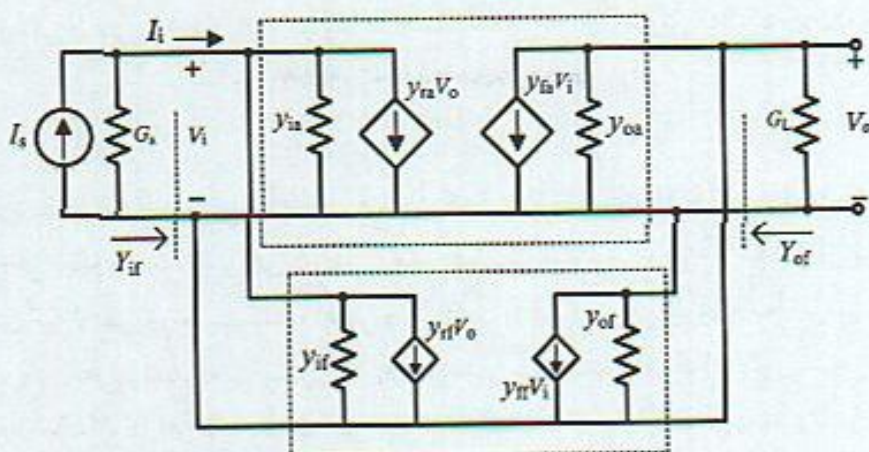
#### ۴-۵ بررسی دقیق تقویت کننده های فیدبک و اثر بارگذاری مدار فیدبک

در بحث های انجام شده تاکنون مدار فیدبک ایده آل و اثر بارگذاری آن بر تقویت کننده اصلی صرف نظر شده است. اما در عمل مدار فیدبک از عناصر غیر فعال ساخته می شود و ممکن است امپدانس قابل ملاحظه ای بطور سری یا موازی در ورودی و خروجی تقویت کننده اصلی داشته باشد. برای بررسی مدارهای با فیدبک و در نظر گرفتن اثر بارگذاری شبکه فیدبک، این تقویت کننده ها را بصورت کلی در نظر گرفته و روابط دقیق مداری در مورد آنها نوشته می شود. بر اساس چند تقریب قابل قبول می توان این معادلات را ساده و روش تقریبی برای حل شبکه های فیدبک بدست آورد. این بررسی ابتدا برای ساده ترین نوع فیدبک، فیدبک ولتاژ موازی ارائه می شود.

#### ۴-۵-۱ بررسی دقیق فیدبک ولتاژ-موازی

شکل (۴-۲۱) مدار معادل کامل تقویت کننده ای با فیدبک ولتاژ موازی و با استفاده از پارامترهای ادیتانس





شکل ۲۱-۴ مدار معادل تقویت‌کننده با فیدبک ولتاژ موازی با استفاده از پارامترهای  $y$

اتصال کوتاه را نشان می‌دهد. در این مدار مشخصات تقویت‌کننده  $y_{ia}$ ,  $y_{ra}$ ,  $y_{fa}$  و  $y_{oa}$  و پارامترهای شبکه فیدبک نیز  $y_{if}$ ,  $y_{ff}$ ,  $y_{rf}$  و  $y_{of}$  پارامترهای ادمیتانس  $y$  در نظر گرفته می‌شوند. باید در نظر داشت که در خروجی مدار تمام عناصر در یک گره مشترک هستند. علاوه بر آن سیگنال ورودی جریان و کلیه عناصر ورودی نیز در یک گره مشترک می‌باشند. در این شرایط پارامترهای ادمیتانس ساده‌ترین معادلات برای بیان روابط دقیق مدار را معرفی می‌کنند.

در تقویت‌کننده شکل (۲۱-۴) معادلات جریان گره (KCL)، در گره‌های ورودی و خروجی بصورت:

$$(G_S + y_{ia} + y_{if}) V_i + (y_{ra} + y_{rf}) V_o = I_s$$

$$(y_{fa} + y_{ff}) V_i + (G_L + y_{oa} + y_{of}) V_o = 0$$

می‌باشند. با حل دستگاه معادلات و محاسبه بهره مقاومت انتقالی کل، این بهره از رابطه (۲۸-۴ الف) بدست می‌آید.

$$\frac{V_o}{I_s} = - \frac{y_{fa} + y_{ff}}{Y_i Y_o (y_{fa} + y_{ff}) (y_{ra} + y_{rf})} \quad (۲۸-۴ \text{ الف})$$

که در آن:

$$Y_i = G_S + y_{ia} + y_{if}, \quad Y_o = G_L + y_{oa} + y_{of} \quad (۲۸-۴ \text{ ب})$$

رابطه (۲۸-۴ الف) را می‌توان بصورت رابطه (۲۹-۴) مرتب کرد.

$$\frac{V_o}{I_s} = - \frac{\frac{y_{fa} + y_{ff}}{Y_i Y_o}}{1 + (y_{ra} + y_{rf}) \left( - \frac{y_{fa} + y_{ff}}{Y_i Y_o} \right)} \quad (۲۹-۴)$$

مقایسه رابطه (۲۹-۴) با رابطه کلی فیدبک در (۲-۴) نشان می‌دهد با فرض روابط (۳۰-۴) برای



تقویت‌کننده اصلی و ضریب مدار فیدبک، تقویت‌کننده شکل (۴-۲۱) دارای فیدبک جریان موازی است.

$$a = - \frac{y_{fa} + y_{ff}}{Y_i Y_o}, \quad f = y_{ra} + y_{rf} \quad (۴-۳۰)$$

در عبارت بهره تقویت‌کننده اصلی  $a$  پارامترهای شبکه فیدبک دخالت دارند. به عبارت دیگر بخشی از سیگنال خروجی، تقویت شده ورودی از طریق مدار فیدبک است. علاوه بر آن بخشی از سیگنال فیدبک شده به ورودی نیز از طریق تقویت‌کننده اصلی و پارامتر  $y_{ra}$  صورت می‌گیرد. با سه تقریب اساسی و قابل قبول می‌توان به روابطی رسید که بر مبنای آنها بررسی مدار ساده شده و می‌توان از روابط مربوطه به فیدبک در حالت ایده‌آل استفاده کرد و مشخصات تقویت‌کننده را بدست آورد. این فرضها عبارتند از:

- تقویت سیگنال از ورودی به خروجی تنها از طریق تقویت‌کننده اصلی انجام می‌شود. مدار فیدبک در مسیر مستقیم نقشی در تقویت سیگنال ورودی ندارد. این فرض به معنی آن است که پارامتر بهره تقویت‌کننده اصلی خیلی بزرگتر از بهره مدار فیدبک در جهت مستقیم است. به عبارت دیگر:

$$|y_{fa}| \gg |y_{rf}| \Rightarrow a \approx - \frac{y_{fa}}{(G_S + y_{ia} + y_{if})(G_L + y_{oa} + y_{of})} \quad (۴-۳۱)$$

- فیدبک موجود در تقویت‌کننده فقط از طریق مدار فیدبک اعمال می‌شود و فیدبک داخلی تقویت‌کننده در مقایسه با شبکه فیدبک کم و قابل صرف‌نظر است. به عبارت دیگر:

$$|y_{rf}| \gg |y_{ra}| \Rightarrow f \approx y_{rf} \quad (۴-۳۲)$$

- با توجه به فرض دوم که مقدار سیگنال فیدبک شده در ورودی از طریق تقویت‌کننده در مقایسه با مدار فیدبک خیلی کمتر می‌باشد، بنابراین اثر سیگنال خروجی در محل ورودی (از مسیر تقویت‌کننده) کمتر از سیگنال ورودی می‌باشد. بنابراین:

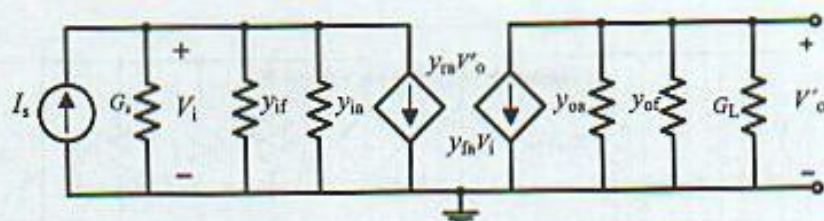
$$|y_{fa} y_{ra} Y_o V_i| \ll |Y_i V_i| \ll Y_i Y_o \quad (۴-۳۳)$$

به عبارت دیگر می‌توان گفت با تقریب نسبتاً خوب تقویت‌کننده یک طرفه (unilateral) است به این معنی که تغییرات امپدانس بار (منبع) تاثیری بر امپدانس ورودی (خروجی) ندارد. با توجه به این فرضها از روابط (۴-۳۱) و (۴-۳۲) می‌توان دید که در عبارت  $a$  فقط پارامترهای ادیتانس ورودی و خروجی شبکه فیدبک  $y_{of}$  و  $y_{if}$  (اثر بارگذاری شبکه فیدبک) دخالت می‌کنند. هم‌چنین ضریب مدار فیدبک  $f$  فقط به مدار فیدبک بستگی داشته و مستقل از تقویت‌کننده اصلی است.

برای اینکه روش ساده و عملی برای محاسبات تقویت‌کننده به روش فیدبک بدست آید مداری را که از صفر قرار دادن  $y_{rf}$  و  $y_{ff}$  در شکل (۴-۲۱) بدست می‌آید و در شکل (۴-۲۲) نشان داده شده است در نظر بگیرید. خروجی این مدار با  $v_o'$  نشان داده شده است. این مدار دارای انتقال با رابطه (۴-۳۴) است.

$$\frac{v_o'}{I_s} = - \frac{y_{fa}}{(G_S + y_{ia} + y_{if})(G_L + y_{oa} + y_{of})} \quad (۴-۳۴)$$





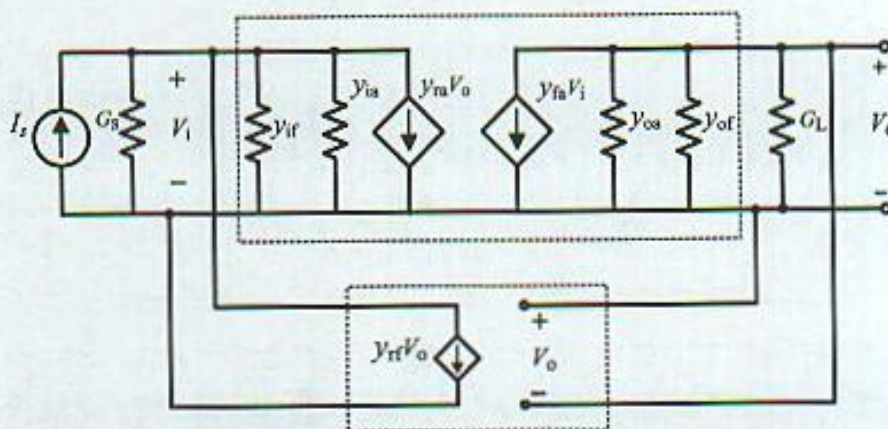
شکل ۴-۲۲ مدار معادل تقویت‌کننده شکل ۴-۲۱ با حذف مدار فیدبک و اضافه شدن اثر بارگذاری آن در ورودی و خروجی

رابطه (۴-۳۵) نشان می‌دهد مدار معادل تقویت‌کننده اصلی و یا تقویت‌کننده بدون فیدبک (تقویت‌کننده با فیدبک صفر) با قرار دادن ادمیتانس ورودی مدار فیدبک  $y_{if}$  در ورودی تقویت‌کننده و قرار دادن ادمیتانس خروجی مدار فیدبک  $y_{of}$  در خروجی تقویت‌کننده بدست می‌آید. به این ترتیب اثر بارگذاری شبکه فیدبک بر تقویت‌کننده اصلی اضافه می‌شود.

با اضافه شدن اثر مدار فیدبک در شکل (۴-۲۲) مدار شکل (۴-۲۳) بدست می‌آید که مشابه تقویت‌کننده شکل (۴-۱۹) است که در آن شبکه فیدبک ایده‌آل است. بنابراین از روابط بخش (۴-۳) می‌توان استفاده کرد و مشخصات تقویت‌کننده مدار بسته (با فیدبک) را با استفاده از مشخصات تقویت‌کننده اصلی (مدار بدون فیدبک) بدست آورد.

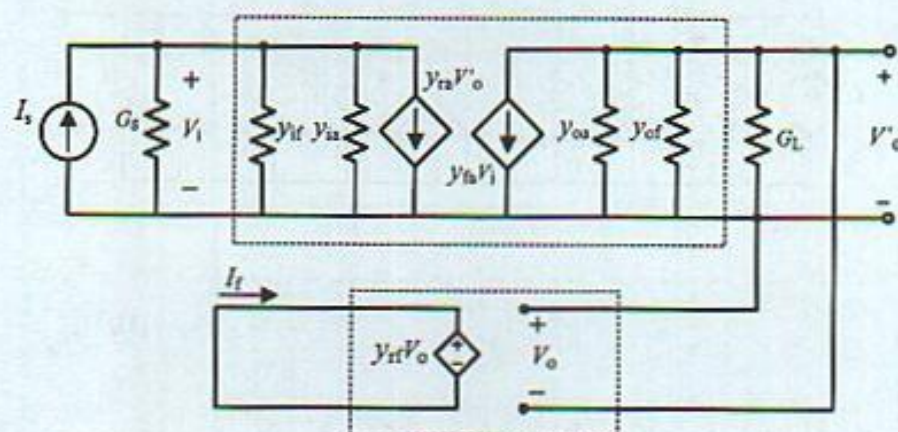
از پارامترهای مهم تقویت‌کننده‌های فیدبک ضریب عدم حساسیت  $1 + af$  است که می‌توان برای مقادیر بزرگ  $af$ ، تقریب  $D \approx af$  را بکار برد. توجه شود که در فیدبک منفی برای تثبیت مشخصات تقویت‌کننده لازم است  $D \gg 1$  باشد. بنابراین با توجه به اینکه  $D$  کمیتی بدون واحد است، لازم است اولاً واحدهای بکار رفته برای  $a$  و  $f$  عکس هم بوده و ثانیاً هر دو مثبت و یا هر دو منفی باشند. ضریب عدم حساسیت را می‌توان با استفاده از رابطه (۴-۳۵) محاسبه نمود.

$$D = af = \frac{V_o}{I_s} \frac{I_f}{V_o} \Rightarrow D = \frac{I_f}{I_s} = \frac{y_{ia} y_{fa}}{(G_s + y_{ia} + y_{if})(G_L + y_{oa} + y_{of})} \quad (4-35)$$



شکل ۴-۲۳ مدار معادل تقویت‌کننده شکل (۴-۲۱) با در نظر گرفتن اثر بارگذاری مدار فیدبک در ورودی و خروجی و شبکه فیدبک ایده‌آل





شکل ۴-۲۴ مدار معادل تقویت‌کننده شکل ۴-۲۱ یا در نظر گرفتن اثر بارگذاری مدار فیدبک در ورودی و خروجی تقویت‌کننده اصلی و شبکه فیدبک ایده‌آل

مفید است مدار معادلی ساده برای بدست آوردن تابع انتقال فوق مشخص کرد. شکل (۴-۲۴) مداری را نشان می‌دهد که دارای تابع انتقال با رابطه (۴-۳۵) است که در آن اثر بارگذاری شبکه فیدبک بر تقویت‌کننده اصلی در نظر گرفته شده و مدار فیدبک ایده‌آل است. در این مدار تقویت‌کننده اصلی و شبکه فیدبک به صورت سری قرار گرفته‌اند و تابع انتقال آن حاصل ضرب بهره تقویت‌کننده اصلی  $a$  و ضریب مدار فیدبک  $f$  است. از این جهت بهره حلقه نامیده شده و از مشخصات مهم تقویت‌کننده‌های فیدبک است. برای در نظر گرفتن اثر فیدبک بر ادمیتانس ورودی و بعد از مقاومت منبع، از شکل (۴-۲۱) نسبت جریان به ولتاژ ورودی تقویت‌کننده را می‌توان محاسبه کرد:

$$I_i = (y_{ia} + y_{if}) V_i + y_{fa} V_o, \quad V_o = \frac{y_{fa}}{G_L + y_{oa} + y_{of}} V_i$$

با توجه به روابط فوق عبارت ادمیتانس ورودی:

$$Y_{in} = \frac{I_i}{V_i} = (y_{ia} + y_{if}) \frac{y_{fa} y_{fa}}{G_L + y_{oa} + y_{of}} \quad (۴-۳۶)$$

با توجه به رابطه بهره حلقه از (۴-۳۵):

$$Y_{in} = (y_{ia} + y_{if}) (1 + af) \quad (۴-۳۷)$$

بنابراین ادمیتانس ورودی تقویت‌کننده با فیدبک  $1 + af$  برابر حالتی است که مدار دارای فیدبک نباشد. در نوشتن رابطه (۴-۳۷) و استفاده از (۴-۳۵) مقدار  $G_s = 0$  منظور شده است و این به علت آن است که ادمیتانس ورودی پس از مقاومت منبع مورد نیاز بوده است. برای محاسبه ادمیتانس خروجی از یک منبع آزمایشی در خروجی استفاده می‌شود. به روش مشابه می‌توان نشان داد که ادمیتانس خروجی پس از مقاومت بار  $G_L$  که در شکل (۴-۲۴) نشان داده شده است:

$$Y_o = (y_{oa} + y_{of}) (1 + af) \quad (۴-۳۸)$$



که نشان می‌دهد ادمیتانس خروجی نیز با ضریب عدم حساسیت افزایش یافته است. با توجه به بحث فوق، در مورد حل مدارها با فیدبک ولتاژ موازی لازم است مراحل زیر را بکار برد:

**الف) تعیین تقویت‌کننده اصلی (بدون فیدبک)** برای این کار لازم است ابتدا ولتاژ خروجی را صفر، خروجی اتصال کوتاه، و به ورودی مدار نگاه کرد. تمام عناصری از شبکه فیدبک که در مدار باقی می‌مانند را در ورودی تقویت‌کننده قرار داد. در این صورت فیدبک خروجی به ورودی از طریق فیدبک  $(V_o \text{ و } V_{if})$  صفر شده و اثر بارگذاری مدار فیدبک در ورودی اضافه می‌شود. در مرحله دوم ورودی تقویت‌کننده را اتصال کوتاه نموده تا ارتباط بین ورودی و خروجی از طریق شبکه فیدبک حذف شود. عناصر باقی مانده در مدار (از مدار فیدبک) بعنوان اثر بارگذاری شبکه فیدبک در خروجی تقویت‌کننده اصلی قرار داده می‌شود.

**ب) مشخص کردن ضریب مدار فیدبک و مدار معادل شبکه فیدبک** در مرحله دوم از بخش (الف) که ورودی تقویت‌کننده اتصال کوتاه شده است، مدار معادل شبکه فیدبک بدست می‌آید که ولتاژ خروجی در یک سمت آن قرار دارد. از این مدار ضریب فیدبک تعیین می‌شود. ساده‌ترین مداری که این نوع فیدبک را می‌توان بکار برد تقویت‌کننده یک طبقه امیتر مشترک است که بین کلکتور و بیس مقاومتی قرار داده شود. بررسی کامل این تقویت‌کننده در مثال (۴-۲) انجام می‌شود.

#### مثال ۴-۲

در تقویت‌کننده شکل (۴-۲۵) که از مدار بایاس صرف‌نظر شده است و با مشخصات داده شده:

- الف)** به روش فیدبک مدار را حل بهره مقاومت انتقالی، مقاومت خروجی و ورودی آنرا محاسبه کنید.  
**ب)** مدار را با استفاده از معادلات دقیق حل نموده و مشخصات آنرا با فرض (الف) مقایسه کنید.  
**ج)** مدار را با نرم‌افزار spice بررسی و نتایج آنرا با فرض (الف) مقایسه کنید.  
**د)** مدار معادل مناسبی برای تقویت‌کننده مشخص نمایید.

$$r_x = 50 \Omega, \beta_o = 100, I_{CQ} = 2.5 \text{ mA}, V_T = 25 \text{ mV}, R_F = 20 \text{ k}\Omega, R_L = 2.2 \text{ k}\Omega$$

سایر مشخصات مورد نیاز در محاسبات:

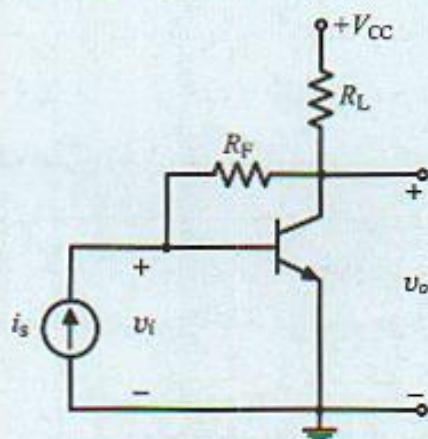
$$g_{mQ} = \frac{I_{CQ}}{V_T} = 0.1 \Omega^{-1} = 100 \text{ m}\Omega^{-1}, r_\pi = 1 \text{ k}\Omega$$

می‌باشند.

**الف) حل به روش فیدبک** با توجه به اینکه بهره تقویت‌کننده منفی است بنابراین ولتاژ خروجی با ورودی  $180^\circ$  اختلاف فاز دارد. بنابراین در مقاومت  $R_F$ ، که ارتباطی بین ورودی و خروجی برقرار نموده است، جریانی متناسب با ولتاژ خروجی از آن می‌گذرد. این جریان از منبع ورودی کم شده و تفاضل این دو جریان به بیس ترانزیستور اعمال می‌شود. لذا اولاً مدار دارای فیدبک است و ثانیاً فیدبک آن از نوع ولتاژ موازی است.

مدار معادل تقویت‌کننده اصلی و مدار فیدبک در شکل (۴-۲۶) نشان داده است که با اتصال کوتاه در ورودی و خروجی بدست می‌آید. اثر بارگذاری شبکه فیدبک مقاومت  $R_F$  در خروجی و ورودی اضافه شده





شکل ۴-۲۵ تقویت کننده یک طبقه امپتر مشترک با فیدبک ولتاژ موازی

است. توابع انتقال مورد نظر در این مدار بهره مقاومت انتقالی برای تقویت کننده اصلی و ضریب مدار فیدبک با واحد مهو می باشد. مقدار ضریب فیدبک با استفاده از مدار معادل:

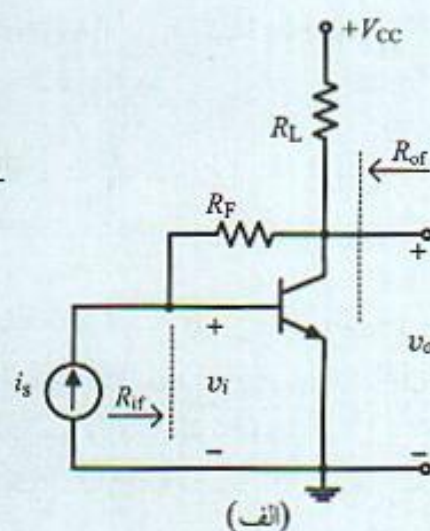
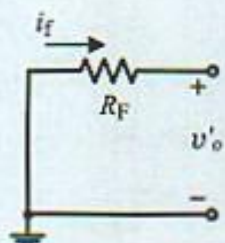
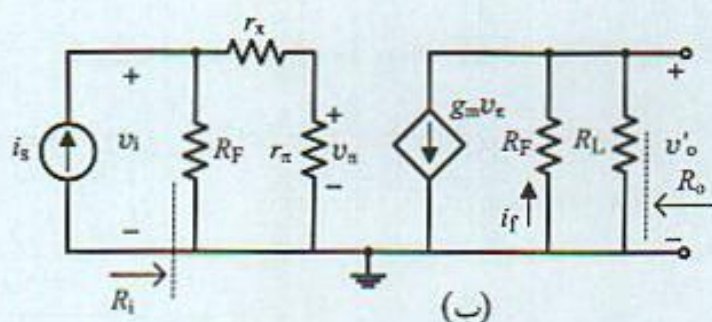
$$f = \frac{i_f}{v'_o} = - \frac{1}{R_F} = - G_F = - 0.05 \text{ m}\Omega^{-1}$$

بهره مقاومت انتقالی تقویت کننده با استفاده از مدار معادل تقویت کننده اصلی:

$$R_M = \frac{v'_o}{i_s} = - \frac{g_m v_\pi (R_F \parallel R_L)}{i_s}, \quad v_\pi = r_\pi i_b = r_\pi \frac{R_F}{R_F + r_x + r_\pi} i_s$$

و بنابراین مقدار بهره مقاومت انتقالی:

$$R_M = - \beta (R_F \parallel R_L) \frac{R_F}{R_F + r_x + r_\pi} = - 188.31 \text{ k}\Omega$$



شکل ۴-۲۶ (الف) تقویت کننده امپتر مشترک با فیدبک ولتاژ موازی، (ب) تقویت کننده اصلی، (ج) مدار فیدبک



مقاومت ورودی و خروجی تقویت‌کننده اصلی:

$$R_i = R_F \parallel (r_x + r_\pi) = 0.997 \text{ k}\Omega$$

$$R_o = r_o \parallel R_F \parallel R_L = \infty \parallel 20 \parallel 2.2 = 1.981 \text{ k}\Omega$$

و با استفاده از روابط تقویت‌کننده‌های فیدبک:

$$D = 1 + af = 1 + (0.005) (184.37) = 10.21$$

$$R_{Mf} = \frac{a}{D} = \frac{184.37}{10.21} = -18.43 \text{ k}\Omega$$

$$R_{if} = \frac{R_i}{D} = \frac{0.997 \text{ k}\Omega}{10.21} = 97.63 \Omega$$

$$R_{of} = \frac{R_o}{D} = \frac{1.981 \text{ k}\Omega}{10.21} = 193.87 \Omega$$

و بهره ولتاژ تقویت‌کننده با فیدبک:

$$A_{Vf} = \frac{v_o}{v_i} = \frac{v_o}{i_s R_{if}} = \frac{A}{R_{if}} = -188.76$$

ب) حل به روش مستقیم مدار معادل شکل (۴-۲۷ الف) را در نظر گرفته دو معادله KCL در گره ورودی و خروجی نوشته مجهولات لازم محاسبه می‌شوند. این معادلات:

$$\frac{v_i}{r_x + r_\pi} + \frac{v_i - v_o}{R_F} = i_s$$

$$\frac{v_i - v_o}{R_F} - \frac{v_o}{R_L} - g_m v_\pi = 0 \quad \Rightarrow \quad \begin{aligned} 1.002 v_i - 0.005 v_o &= i_s \\ 95.18 v_i - 0.005 v_o &= 0 \end{aligned}$$

$$v_\pi = r_\pi i_b = \frac{R_F v_i}{R_F + r_x + r_\pi}$$

از حل دستگاه معادلات فوق بهره ولتاژ و مقاومت ورودی:

$$A_V = \frac{v_o}{v_i} = -188.67, \quad R_i = \frac{v_i}{i_s} = 95.83 \Omega$$

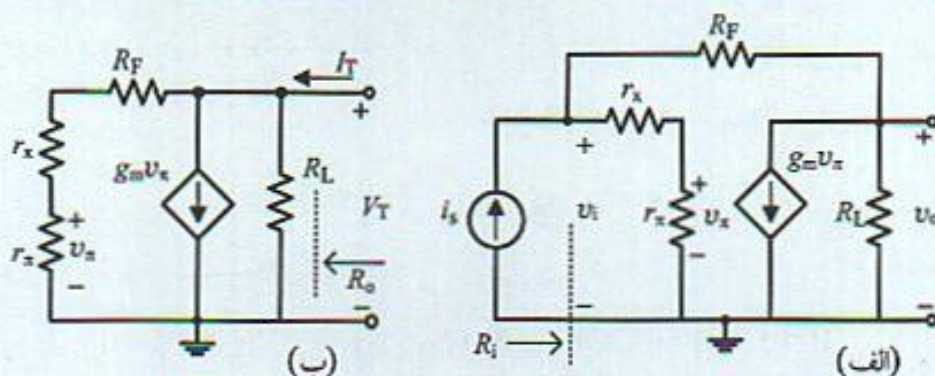
بدست می‌آیند. برای محاسبه مقاومت خروجی مدار، از شکل (۴-۲۷ ب) یک عبارت KCL در خروجی نوشته و نسبت ولتاژ آزمایشی  $V_T$  به جریان  $I_T$  و مقاومت خروجی دقیق مدار حاصل می‌شود.

$$I_T = \frac{V_T}{R_L} + \frac{V_T}{R_L + r_x + r_\pi} + g_m v_\pi \quad \Rightarrow \quad G_o = \frac{I_T}{V_T} = G_L + \frac{1 + \beta_o}{R_F + r_x + r_\pi} = 5.25 \text{ m}\Omega^{-1}$$

$$v_\pi = \frac{r_\pi}{R_F + r_x + r_\pi} V_T$$

و مقاومت خروجی  $R_o = 190.4 \Omega$  بدست می‌آید.





شکل ۴-۲۷ الف) مدار معادل تقویت‌کننده شکل (۴-۲۵)، ب) مدار معادل برای محاسبه مقاومت خروجی

ج) حل مدار با نرم‌افزار spice مدار شکل (۴-۲۵) از طریق spice بررسی و نتایج حاصل از آن و هم‌چنین نتایج سایر روشها در جدول (۴-۱) خلاصه شده‌اند. ملاحظه می‌شود نتایج حاصل به روش فیدبک به مقادیر دقیق نزدیک هستند. گرچه این تقویت‌کننده یک طبقه و مدار ساده‌ای است که می‌توان به روش مستقیم نیز آنرا حل کرد اما در تقویت‌کننده‌های چند طبقه روش فیدبک بسیار ساده‌تر و عملی‌تر است.

جدول ۴-۱ خلاصه نتایج حل مسئله (۴-۳) به روشهای مختلف

	روش مستقیم	روش فیدبک	نرم‌افزار spice
$a$ (k $\Omega$ )	-	-۱۸۸,۳۳	-۱۷۷,۶۵
$A$ (k $\Omega$ )	-	-۱۸,۴۳	-۱۷,۶۴۷
$A_v$	-۱۸۸,۶۷	-۱۷,۷۶	-۱۷۶,۶۴۷
$R_{in}$ ( $\Omega$ )	۹۵,۸۳	۹۷,۳۶	۱۷۶,۲۶۷
$R_{out}$ ( $\Omega$ )	۱۹۰,۴	۱۹۳,۸۷	۱۹۸,۲

### مثال ۳-۴

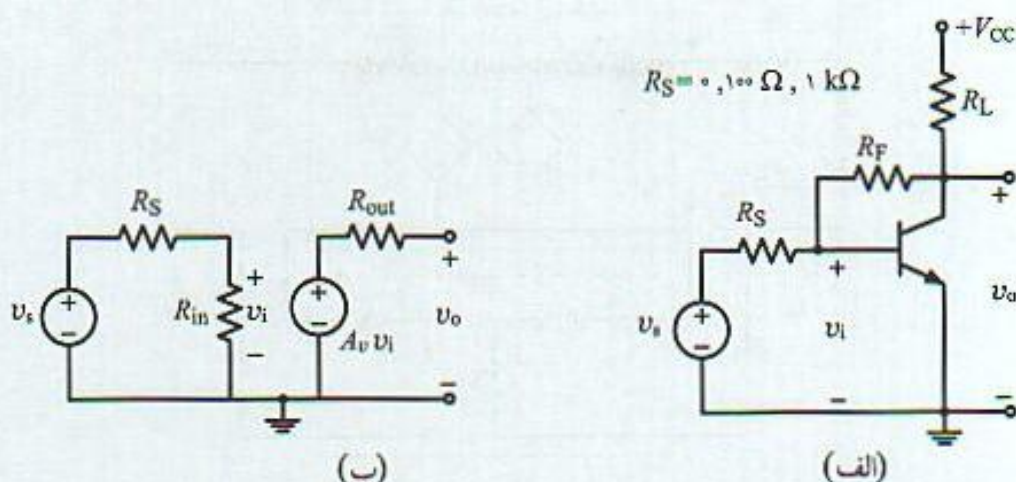
در مثال (۴-۲) تقویت‌کننده آمپتر مشترک با منبع جریان تغذیه شده است. در این مثال تقویت‌کننده به یک منبع ولتاژ با مقاومت خروجی  $R_S$ ، شکل (۴-۲۸ الف)، متصل شده است. بهره ولتاژ خروجی به ولتاژ منبع را برای مقادیر مختلف مقاومت منبع محاسبه و نتیجه گیری کنید.

شکل (۴-۲۸ ب) مدار معادل تقویت‌کننده را نشان می‌دهد که مشخصات آن بهره ولتاژ، مقاومت ورودی و خروجی در مثال (۴-۲) تعیین شده است. در حالت  $R_S = 0$  مدار دارای فیدبک نیست چون در این حالت منبع ولتاژ ورودی مستقیماً به ترانزیستور اعمال می‌شود. اما در حالتی که  $R_S \neq 0$  است مدار دارای فیدبک است. بنابراین به ازاء هر یک از مقادیر مقاومت منبع، بهره ولتاژ کل تقویت‌کننده:

$$A_{Vs} = \frac{v_o}{v_s} = \frac{v_o}{v_i} \frac{v_i}{v_s} = \frac{v_o}{v_i} \frac{R_{in}}{R_S + R_{in}} = \frac{R_{in}}{R_S + R_{in}} A_{vI}, \quad R_{in} = 97,36 \Omega$$

با توجه به نتایج مثال (۴-۲) برای مقادیر مختلف مقاومت منبع:





شکل ۲۸-۴ الف) تقویت‌کننده امپنر مشترک تغذیه شده با منبعی با مقاومت خروجی  $R_S$   
ب) مدار معادل شکل (الف)

$$R_S = 0 \Omega : A_{V_S} = -188.76$$

$$R_S = 100 \Omega : A_{V_S} = -93.11$$

$$R_S = 1 \text{ k}\Omega : A_{V_S} = -0.17$$

ملاحظه می‌شود بهره ولتاژ تقویت‌کننده بستگی به مقاومت منبع دارد. با افزایش مقاومت منبع از مقدار  $R_{in}$  بهره ولتاژ کل به شدت افت می‌کند. در نتیجه این نوع تقویت‌کننده‌ها در مواردی بکار می‌روند که منبع ورودی یک منبع جریان با مقاومت خروجی بزرگ در مقایسه با  $R_{in}$  است.

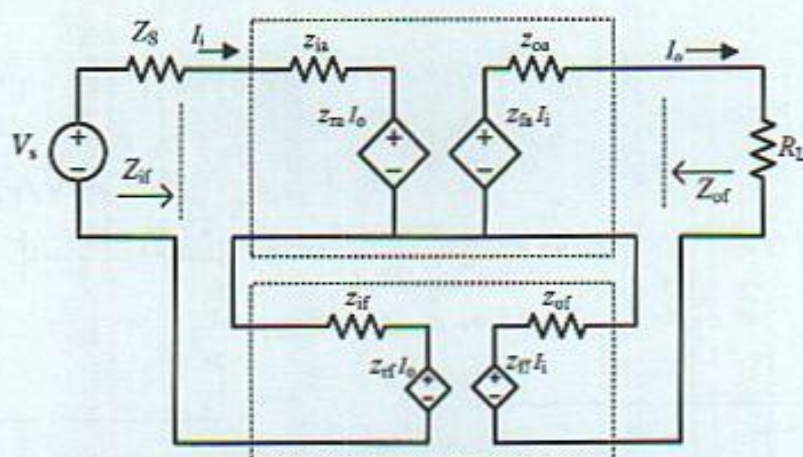
مثال (۲-۴) مهمترین کاربرد فیدبک ولتاژ موازی را در تقویت‌کننده یک طبقه امپنر مشترک نشان می‌دهد. برای اینکه از این نوع فیدبک بتوان در تقویت‌کننده‌هایی با تعداد طبقات بیشتر استفاده کرد، باید در نظر داشت لازم است سیگنال فیدبک شده به بیس اولین طبقه اعمال شده تا بصورت سیگنال جریان از منبع ورودی کم شود. بر این اساس لازم است ولتاژ خروجی تقویت‌کننده با ورودی  $180^\circ$  اختلاف فاز داشته باشد. در نتیجه این نوع فیدبک در تقویت‌کننده‌های سری امپنر مشترک با تعداد طبقات فرد کاربرد دارد.

#### ۲-۵-۴ بررسی دقیق فیدبک جریان - سری

برای بررسی دقیق این نوع فیدبک که در واقع دوگان فیدبک ولتاژ موازی است، می‌توان از نتایج فیدبک ولتاژ موازی استفاده کرد. شکل (۲۹-۴) مدار معادل این نوع فیدبک را نشان می‌دهد که در آن از پارامترهای امپدانس اتصال باز  $z$  برای مشخص شدن هر یک از مدارهای تقویت‌کننده اصلی و شبکه فیدبک استفاده شده است. با توجه به اینکه از جریان خروجی بصورت سری نمونه‌برداری شده و کم شدن سیگنال فیدبک در ورودی نیز بصورت سری است، این پارامترها ساده‌ترین نوع برای بیان روابط مدار می‌باشند. با نوشتن دو رابطه KVL در حلقه ورودی و خروجی بصورت (۲۹-۴ الف):

$$(Z_S + z_{ia} + z_{if}) I_i + (z_{ra} + z_{rf}) I_o = V_S \quad (29-4 \text{ الف})$$





شکل ۴-۲۹ الف) مدار معادل تقویت‌کننده با فیدبک جریان سری با استفاده از پارامترهای امیدانسی اتصال باز

$$(z_{fa} + z_{ff}) I_i + (Z_L + z_{oa} + z_{of}) V_o = 0$$

می‌توان نسبت بهره هدایت انتقالی مدار را بصورت رابطه (۴-۳۹) بدست آورد.

$$\frac{I_o}{V_s} = - \frac{- \frac{z_{fa} + z_{ff}}{Z_i Z_o}}{1 + (z_{ra} + z_{rf}) \left( - \frac{z_{fa} + z_{ff}}{Z_i Z_o} \right)} \quad (۴-۳۹)$$

که در آن روابط  $Z_i = Z_s + z_{ia} + z_{if}$  و  $Z_o = Z_L + z_{oa} + z_{of}$  برقرار است.

مشابه با فیدبک ولتاژ موازی، فرضهای زیر را می‌توان به کار برد و حل مدار را به نحو موثری ساده نمود:

- تقویت‌کننده در مسیر مستقیم تقویت می‌کند.
- فیدبک مدار توسط شبکه فیدبک انجام می‌شود.
- تقویت‌کننده اصلی یک طرفه است.

فرضهای فوق معادل روابط (۴-۴۰) است.

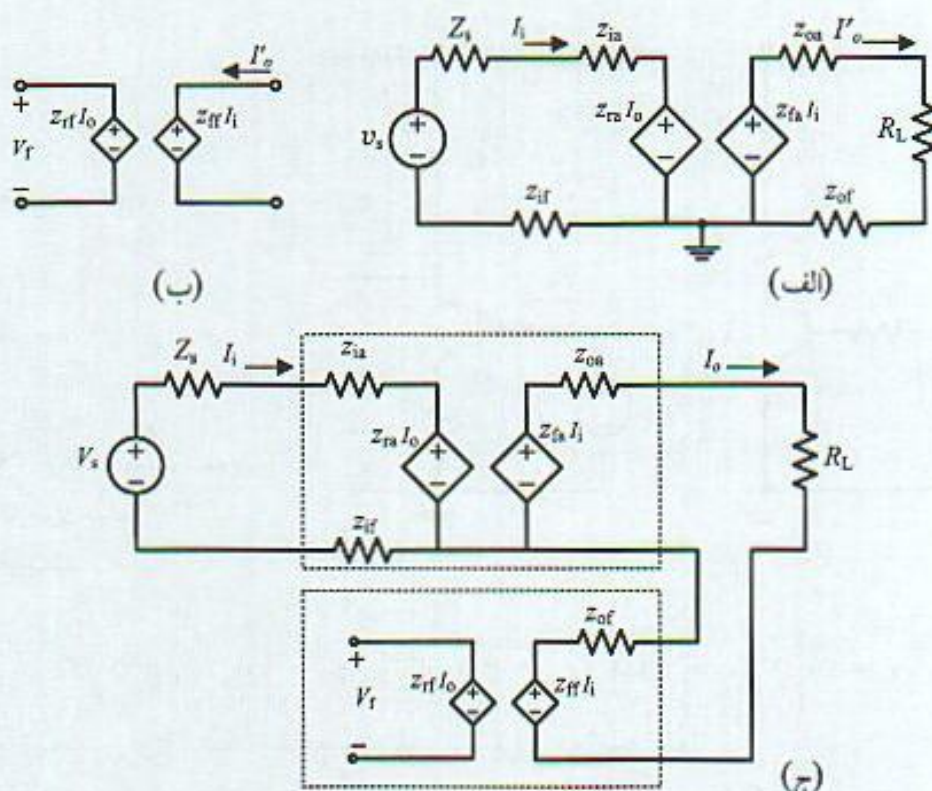
$$|z_{fa}| \gg |z_{ff}|, \quad |z_{ra}| \ll |z_{rf}|, \quad |z_{fa} z_{ra}| \ll |Z_i Z_o| \quad (۴-۴۰)$$

بنابراین با تقریبات قابل قبول فوق می‌توان شبکه معادل فیدبکی بصورت شکل (۴-۳۰) با پارامترهای  $a$  و  $f$  از رابطه (۴-۴۱) در نظر گرفت که در آن  $a$  با تابع انتقال هدایت انتقالی با واحد مهو (mho) و  $f$  با واحد اهم می‌باشند.

$$G_M = \frac{I_o}{V_s} \approx - \frac{z_{fa}}{Z_i Z_o}, \quad f \approx z_{rf} \quad (۴-۴۱)$$

به این منظور و برای تشکیل مدار تقویت‌کننده اصلی، کافی است اثر بار گذاری شبکه فیدبک را به





شکل ۴-۳ (الف) تقویت‌کننده اصلی، (ب) مدار فیدبک، (ج) مدار معادل محاسبه بهره حلقه

تقویت‌کننده اضافه کرد. برای این کار  $z_{if}$  در ورودی و  $z_{of}$  در خروجی تقویت‌کننده اصلی اضافه می‌شوند. با توجه به تعریف پارامترهای امپدانس این‌کار با اتصال باز شدن ورودی و خروجی تقویت‌کننده قابل انجام است. بنابراین:

- خروجی اتصال باز مدار ورودی مشخص می‌شود.
- ورودی اتصال باز و مدار خروجی به دست می‌آید.

برای مشخص نمودن مدار فیدبک و تعیین ضریب  $f$  از مدار شکل (۴-۳) (ب) می‌توان استفاده کرد. شبکه فیدبک مداری منبع ولتاژ ایده‌آل وابسته و فاقد عنصر مقاومتی است. مدار لازم برای محاسبه بهره حلقه با قطع نمودن سیگنال فیدبک در محل ورودی تقویت‌کننده بدست می‌آید که در شکل (۴-۳) (ج) نشان داده شده است.

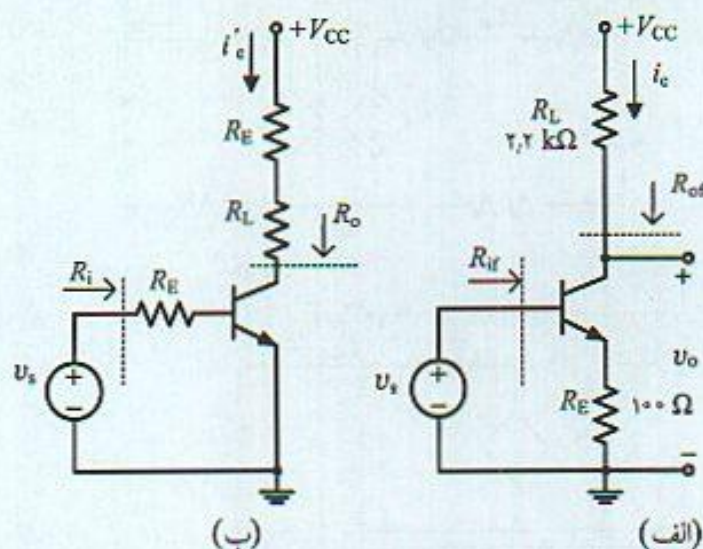
هم چنین می‌توان نشان داد اثر فیدبک بر امپدانس ورودی و خروجی با ضریب عدم حساسیت در مقایسه با امپدانس تقویت‌کننده اصلی افزایش می‌یابد که در رابطه (۴-۴۲) مشخص شده است. این مطلب به عنوان تمرین در انتهای فصل به عهده دانشجویان واگذار می‌شود.

$$Z_{if} = (z_{ia} + z_{if}) (1 + af), \quad Z_{of} = (z_{oa} + z_{of}) (1 + fa) \quad (4-42)$$

#### مثال ۴-۴

در تقویت‌کننده شکل (۴-۳۱) (الف) که ترانزیستوری با مشخصات زیر به کار رفته است:





شکل ۴-۳۱ الف) تقویت‌کننده با  
فیدبک جریان سری مثال (۴-۴) ب)  
مدار معادل تقویت‌کننده اصلی

$$r_x = 50 \, \Omega, \quad r_{\pi} = 1 \, \text{k}\Omega, \quad g_m = 100 \, \text{m}\Omega^{-1}, \quad \beta_0 = 100, \quad r_o = 50 \, \text{k}\Omega$$

الف) با تشخیص نوع فیدبک مشخصات تقویت‌کننده را محاسبه کنید.  
ب) مدار را به روش معمول حل و نتایج حاصل را به روش فیدبک مقایسه کنید.  
ج) چنانچه این مدار با منبعی به مقاومت  $R_S = 2 \, \text{k}\Omega$  تغذیه شود بهره ولتاژ تقویت‌کننده حاصل را مشخص کنید.

الف) برای سیگنال منبع ورودی و در نیم سیکل‌های مثبت آن ولتاژ کلکتور با ورودی در فاز مخالف است بنابراین جریانی در کلکتور ترانزیستور با جهت نشان داده شده به وجود می‌آید. از آنجایی که جریان امیتر با کلکتور تقریباً مساوی است این جریان بعنوان خروجی، ولتاژی دو سر مقاومت  $R_E$  بوجود می‌آورد که با ولتاژ منبع ورودی هم فاز است. پس دو سر مقاومت امیتر ولتاژی متناسب با جریان خروجی وجود دارد که از منبع ورودی کم می‌شود، لذا مدار دارای فیدبک جریان سری است.

مدار تقویت‌کننده اصلی با قطع کردن خروجی (کلکتور) و ورودی (بیس) بدست می‌آید. در هر حالت مقاومت  $R_E$  در مدار باقی می‌ماند (دو سر آن اتصال کوتاه نمی‌شود) و از آنجایی که این مقاومت به جهت حذف فیدبک باید از امیتر خارج شود، لذا مدار معادل تقویت‌کننده اصلی به صورت شکل (۴-۳۱ ب) خواهد بود. ولتاژ فیدبک شده در ورودی مدار متناسب با جریان خروجی است و ضریب فیدبک:

$$v_f = f i_o = R_E i_o, \quad f = R_E$$

است. بنابراین پارامترهای تقویت‌کننده اصلی:

$$G_M = \frac{I'_o}{V_s} = g_m \frac{v_{\pi}}{v_s} \Rightarrow G_M = \frac{\beta_0}{r_x + r_{\pi} + R_E} = \frac{100}{1.15 \, \text{k}\Omega} = 86.96 \, \Omega^{-1}$$

$$v_{\pi} = \frac{r_{\pi}}{r_x + r_{\pi} + R_E} v_s$$



مشخصات تقویت‌کننده اصلی، مقاومت ورودی و خروجی آن:

$$R_o = r_o = 50 \text{ k}\Omega, \quad R_i = r_x + r_\pi + R_E = 11.15 \text{ k}\Omega$$

ضریب فیدبک تقویت‌کننده  $f = R_E = 0.1 \text{ k}\Omega$  و مقدار ضریب عدم حساسیت مدار:

$$D = 1 + af = 1 + (86.95 \Omega^{-1})(0.1 \text{ k}\Omega) = 9.69$$

بنابراین با استفاده از روابط فیدبک مشخصات تقویت‌کننده مدار بسته:

$$A = G_{Mf} = \frac{i_o}{v_s} = \frac{a}{1 + af} = \frac{86.96}{9.69} = 8.97$$

$$R_{if} = R_i (1 + af) = 11.15 \text{ k}\Omega$$

$$R_{of} = R_o (1 + af) = 50 \times 9.69 = 484.5 \text{ k}\Omega \Rightarrow R_o = R_{of} \parallel R_L = 2.2 \text{ k}\Omega$$

$$A_{Vf} = \frac{v_o}{v_s} = - \frac{R_L i_o}{v_s} = - R_L \times A = -19.73$$

ب) محاسبات این تقویت‌کننده را می‌توان مستقیماً از روابط ولتاژ و جریان در مدار انجام داد. با توجه به اینکه تقویت‌کننده آمپتر مشترک با مقاومت آمپتر است:

$$A_V = - \frac{\beta_o R_L}{r_x + r_\pi + (1 + \beta_o) R_E} = - \frac{220}{11.15} = -19.73$$

$$R_i = r_x + r_\pi + (1 + \beta_o) R_E = 1.05 + 101 \times 0.1 = 11.15 \text{ k}\Omega$$

که نشان می‌دهد نتایج با روش فیدبک کاملاً یکسان می‌باشند. برای محاسبه مقاومت خروجی می‌توان از مدار معادل شکل (۴-۳۲) استفاده کرد. منبع ولتاژ آزمایشی را در خروجی قرار داده و جریان مدار محاسبه می‌شود. با نوشتن معادلات ولتاژ در حلقه ورودی و خروجی:

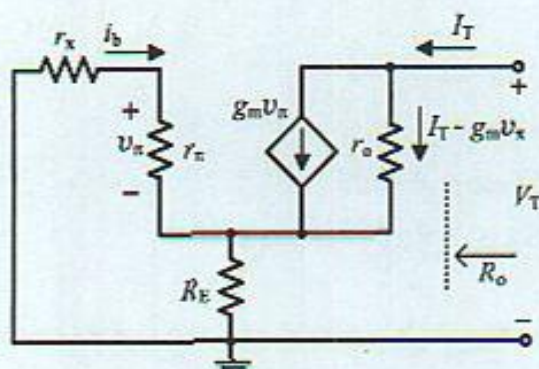
$$\begin{aligned} V_T &= -r_o(I_T - g_m v_\pi) + (I_T + i_b)R_E \\ &\Rightarrow R_o = r_o \left( 1 + \frac{\beta_o R_E}{r_x + r_\pi + R_E} \right) - \frac{R_E^*}{r_x + r_\pi + R_E} \\ i_b &\approx \frac{-R_E I_T}{r_x + r_\pi + (1 + \beta_o) R_E} \end{aligned}$$

در رابطه بدست آمده با تقریب خوب می‌توان از عبارت دوم صرف‌نظر نمود و مقاومت خروجی مدار را از رابطه:

$$R_o = \frac{V_T}{I_T} = r_o \left( 1 + \frac{\beta_o R_E}{r_x + r_\pi + R_E} \right)$$

بدست آورد. در این مثال با توجه به مقادیر عددی،  $R_o = 484.5 \text{ k}\Omega$  بدست می‌آید که با مقدار حاصل به روش فیدبک اختلاف چندانی ندارد.





شکل ۴-۳۲ مدار معادل برای مقاومت خروجی به روش مستقیم

ج) چنانچه این تقویت‌کننده با منبعی به مقاومت  $2\text{ k}\Omega$  تغذیه شود، در اینصورت بهره ولتاژ کل:

$$A_{Vs} = A_{Vf} \times \frac{R_{if}}{R_S + R_{if}} = -19.73 \times \frac{11.15}{11.15 + 2} = -16.73$$

بدست می‌آید.

#### ۳-۵-۴ بررسی دقیق فیدبک ولتاژ - سری

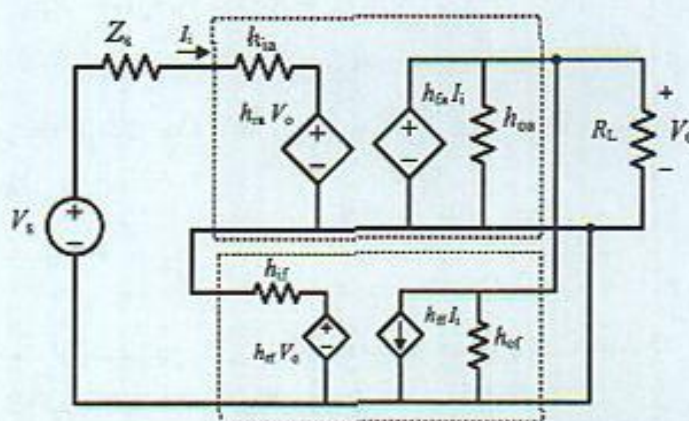
برای بررسی دقیق این نوع فیدبک لازم است برای تقویت‌کننده اصلی و مدار فیدبک، مدار معادل پارامترهای هایبرید  $h$  را در نظر گرفت. شکل (۴-۳۳) شمای کلی این نوع فیدبک را نشان می‌دهد. در مورد این شبکه رابطه KVL در حلقه ورودی و KCL در گره خروجی به صورت:

$$(Z_S + h_{ia} + h_{if}) I_i + (h_{ra} + h_{rf}) V_o = V_S \quad (۴-۴۳ \text{ الف})$$

$$(h_{fa} + h_{ff}) I_i + (Y_L + h_{oa} + h_{of}) V_o = 0$$

پارامترهای  $h_{ia}$ ،  $h_{ra}$ ،  $h_{fa}$  و  $h_{oa}$  پارامترهای  $h$  تقویت‌کننده و  $h_{if}$ ،  $h_{rf}$ ،  $h_{ff}$  و  $h_{of}$  پارامترهای  $h$  شبکه فیدبک هستند. با فرضهای مشابه با فیدبک‌های قبل  $|h_{ra}| \ll |h_{rf}|$  و  $|h_{fa}| \gg |h_{ff}|$  و می‌توان بهره ولتاژ مدار را از رابطه (۴-۳۴ ب) بدست آورد:

$$\frac{V_o}{V_S} = - \frac{\frac{h_{fa}}{Z_i Y_o}}{1 + h_{rf} \frac{-h_{fa}}{Z_i Y_o}} \quad (۴-۳۴ \text{ ب})$$



شکل ۴-۳۳ تقویت‌کننده فیدبک ولتاژ سری با مدار معادل پارامترهای  $h$



که در آن روابط (۴-۴۳) تعریف شده‌اند.

$$Z_i = Z_S + h_{in} + h_{if}, \quad Y_o = Y_L + h_{oa} + h_{of} \quad (۴-۴۳)$$

رابطه (۴-۴۳ الف) را می‌توان مشابه یک شبکه کلی فیدبک، رابطه (۴-۲)، در نظر گرفت که در آن بهره تقویت‌کننده اصلی و ضریب مدار فیدبک:

$$a \approx -\frac{h_{fa}}{Z_i Y_o}, \quad f \approx h_{if} \quad (۴-۴۴)$$

می‌باشند. برای بدست آوردن تقویت‌کننده اصلی:

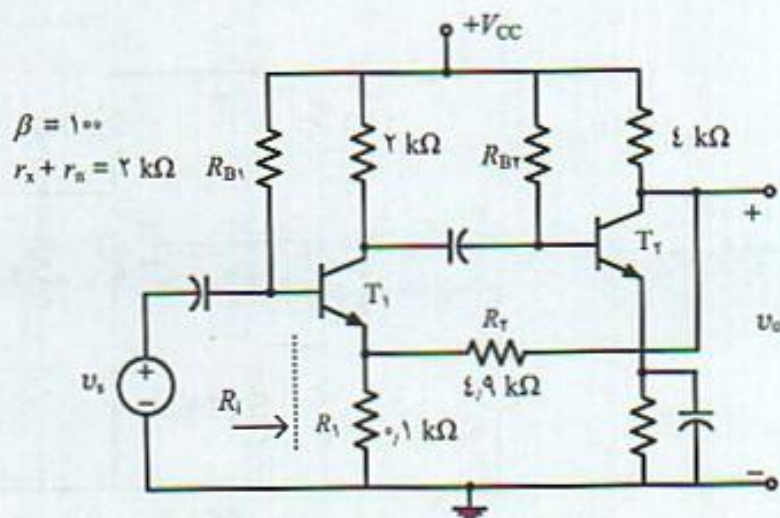
- خروجی تقویت‌کننده اتصال کوتاه، مدار معادل ورودی تقویت‌کننده اصلی مشخص می‌شود.
- ورودی تقویت‌کننده اتصال باز، مدار خروجی تعیین می‌شود.

به این ترتیب اثر بارگذاری شبکه فیدبک بر تقویت‌کننده اصلی اضافه شده و تقویت‌کننده اصلی بدست می‌آید. با محاسبه مشخصات این تقویت‌کننده (بهره و ولتاژ، امپدانس ورودی و خروجی) مشخصات تقویت‌کننده فیدبک را از روابط مربوط به این نوع فیدبک بدست می‌آیند. این نوع فیدبک امپدانس ورودی افزایش و امپدانس خروجی کاهش می‌یابد. فیدبک ولتاژ سری را در تقویت‌کننده‌های یک طبقه نمی‌توان بکار برد. ساده‌ترین مثال این نوع فیدبک تقویت‌کننده دو طبقه امیتر مشترک است که در مثال (۴-۵) بررسی می‌شود.

#### مثال ۴-۵

در تقویت‌کننده دو طبقه شکل (۴-۳۴) بهره و ولتاژ، مقاومت ورودی و خروجی را محاسبه کنید. از مدار بایاس تقویت‌کننده صرف‌نظر و  $r_x = r_{\pi} = 2 \text{ k}\Omega$  فرض می‌شود.

در این مدار ولتاژ خروجی با سیگنال منبع ورودی هم فاز است. از طریق مقسم مقاومتی  $R_1$  و  $R_2$  بخشی از سیگنال ولتاژ خروجی به امیتر ترانزیستور  $T_1$  فیدبک شده از منبع ورودی کم می‌شود. بنابراین مدار



شکل ۴-۳۴ تقویت‌کننده دو طبقه امیتر مشترک با فیدبک ولتاژ سری



دارای فیدبک ولتاژ سری است. ضریب فیدبک مدار با توجه به مقسم مقاومتی در مدار فیدبک:

$$f = \frac{v_f}{v'_o} = \frac{R_1}{R_1 + R_f} = \frac{0.1}{4.9 + 0.1} = 0.02$$

پارامترهای تقویت‌کننده بدون فیدبک شامل:

$$A_V = \frac{v'_o}{v_s} = \beta_o \frac{4 \text{ k}\Omega \parallel 5 \text{ k}\Omega}{r_x + r_\pi} \beta_o \frac{2 \text{ k}\Omega \parallel (r_x + r_\pi)}{R_i} = 918.27$$

$$R_i = r_x + r_\pi + (1 + \beta_o)(R_1 \parallel R_f) = 2 + 101(0.1) = 12.1 \text{ k}\Omega$$

$$R_o = 4 \text{ k}\Omega \parallel 5 \text{ k}\Omega = 2.22 \text{ k}\Omega$$

بنابراین ضریب عدم حساسیت مدار:

$$D = 1 + f A_V + 1 + 0.02 \times 918.273 = 19.365$$

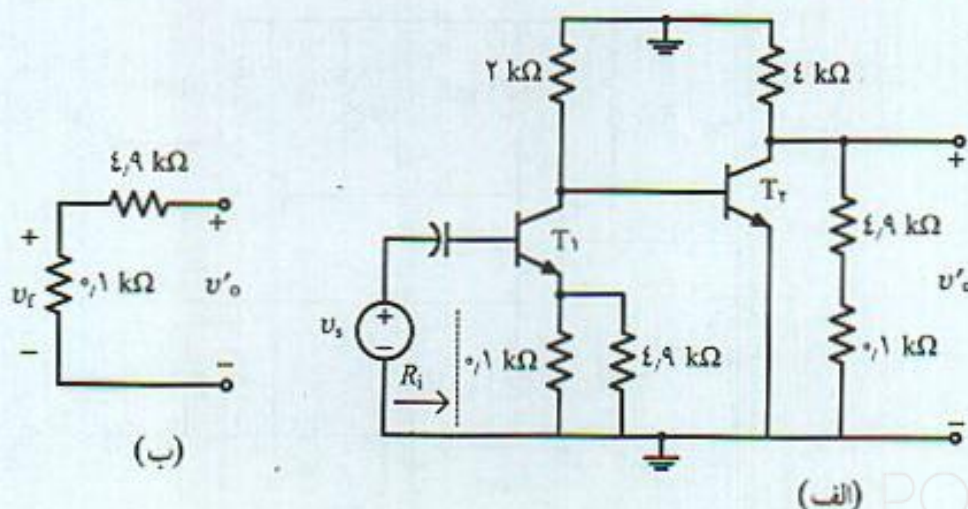
و مشخصات تقویت‌کننده با فیدبک با استفاده از روابط مربوط به فیدبک ولتاژ سری:

$$A = A_{Vf} = \frac{a}{1 + af} = \frac{a}{D} = \beta_o \frac{2 \parallel (r_x + r_\pi)}{R_i} = 47.42$$

$$R_{if} = R_i \times D = 12.1 \times 19.365 = 233.1 \text{ k}\Omega$$

$$R_{of} = \frac{R_o}{D} = \frac{2.22}{19.365} = 0.1146 \text{ k}\Omega$$

ملاحظه می‌شود بهره ولتاژ به میزان زیادی کاهش یافته و تثبیت می‌شود. هم‌چنین مقاومت ورودی تقویت‌کننده کننده نیز افزایش زیادی دارد. لازم است توجه نمود مدار بایاس اضافه شده تا محدودی مقاومت ورودی را کاهش خواهد داد.



شکل ۴-۳۵ مدار معادل تقویت‌کننده اصلی و مدار فیدبک تقویت‌کننده شکل (۴-۳۴)



#### ۴-۵-۴ بررسی دقیق فیدبک جریان - موازی

برای بررسی دقیق این نوع فیدبک که سیگنال ورودی و خروجی جریان می‌باشند، ساده‌ترین نوع پارامترها، پارامترهای  $g$  شبکه‌های دو قطبی است. شکل (۴-۳۶) مدار معادل این نوع تقویت‌کننده‌های فیدبک را نشان می‌دهد. با نوشتن یک رابطه KCL در گره و یک رابطه KVL در حلقه ورودی:

$$(Y_S + g_{ia} + g_{if}) V_i + (g_{ra} + g_{rf}) V_o = I_S$$

$$(g_{fa} + g_{ff}) V_i + (Z_L + g_{oa} + g_{of}) I_o = 0$$

با فرضهای مشابه با فیدبک‌های قبل  $|g_{ra}| \ll |g_{rf}|$  و  $|g_{fa}| \gg |g_{ff}|$  و بهره جریان مدار از رابطه (۴-۴۵):

$$\frac{I_o}{I_S} = - \frac{-\frac{g_{fa}}{Y_i Z_o}}{1 + g_{rf} \frac{-g_{fa}}{Y_i Z_o}} \quad (4-45)$$

$$Z_i = Z_S + h_{ia} + h_{if}, \quad Y_o = Y_L + h_{oa} + h_{of}$$

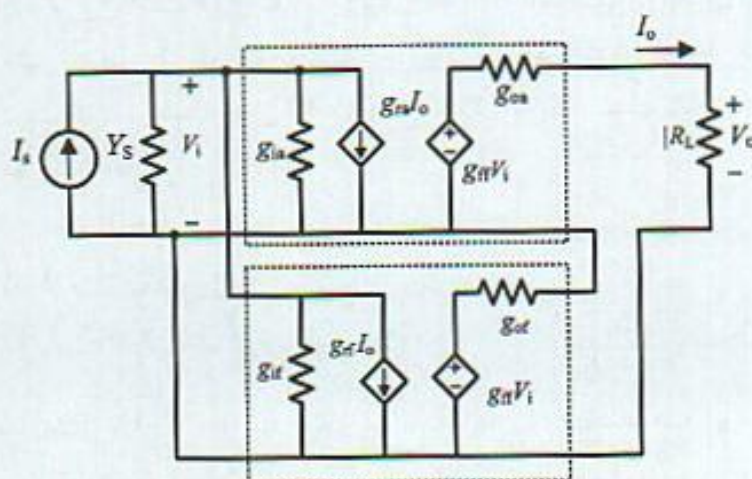
بدست می‌آید. با تقریبات قابل قبول و مشابه سایر تقویت‌کننده‌های فیدبک می‌توان نشان داد بهره تقویت‌کننده اصلی و ضریب مدار فیدبک:

$$a = \frac{I_o}{I_S} = - \frac{g_{fa}}{Y_i Z_o}, \quad f = g_{rf} \quad (4-46)$$

می‌باشند. در این نوع فیدبک برای بدست آوردن تقویت‌کننده اصلی:

- خروجی تقویت‌کننده اتصال باز، مدار معادل ورودی تقویت‌کننده اصلی مشخص می‌شود.
- ورودی تقویت‌کننده اتصال کوتاه، مدار معادل خروجی بدست می‌آید.

به این ترتیب اثر ابرگذاری شبکه فیدبک بر تقویت‌کننده اصلی اضافه شده و تقویت‌کننده اصلی بدست می‌آید. با محاسبه مشخصات تقویت‌کننده اصلی و استفاده از روابط فیدبک پارامترهای تقویت‌کننده بدست



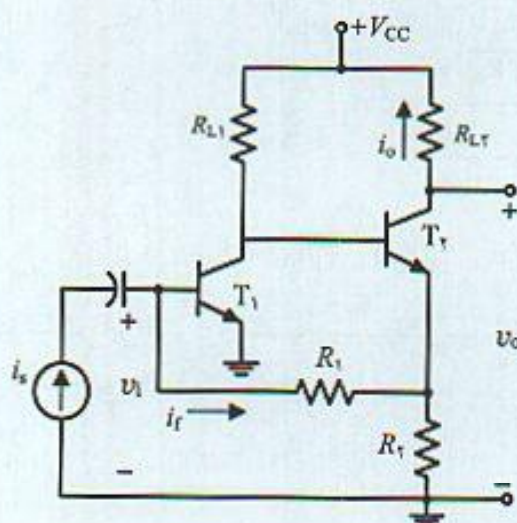
شکل ۴-۳۶ مدار معادل تقویت‌کننده با فیدبک جریان موازی با استفاده از پارامترهای  $g$



می آید. این نوع فیدبک امپدانس ورودی را کاهش و امپدانس خروجی را افزایش می دهد. ساده ترین نوع مدار برای این نوع فیدبک، تقویت کننده دو طبقه با اعمال فیدبک از امیتر طبقه دوم به بیس طبقه اول می باشد. با توجه به وضعیت فاز ولتاژهای خروجی و ورودی در تقویت کننده های چند طبقه سری امیتر مشترک، می توان گفت این نوع فیدبک در تقویت کننده هایی با تعداد طبقات زوج بکار می رود.

#### مثال ۴-۶

در تقویت کننده دو طبقه شکل (۴-۳۷) با تشخیص نوع فیدبک، مدار معادل تقویت کننده بدون فیدبک، مدار معادل فیدبک و مدار مناسب برای محاسبه بهره حلقه را مشخص نمایید.



شکل ۴-۳۷ تقویت کننده دو طبقه  
امیتر مشترک یا فیدبک جریان موازی

در این مدار ولتاژ خروجی (ولتاژ کلکتور) با ولتاژ ورودی هم فاز است. بنابراین در نیم سیکل مثبت سیگنال ورودی، جریان خروجی (کلکتور  $T_2$ ) با جهت نشان داده شده در شکل (۴-۳۷) است. با توجه به اینکه جریان کلکتور با امیتر مساوی و هم جهت است در این صورت در مدار مقسم جریان  $R_1$  و  $R_2$  بخشی از جریان خروجی به بیس ترانزیستور  $T_1$  فیدبک شده و از منبع جریان ورودی کم می شود. در نتیجه مدار دارای فیدبک جریان - موازی است. مدار معادل ورودی تقویت کننده اصلی از اتصال باز شدن خروجی بدست می آید. هم چنین با اتصال کوتاه ورودی مدار خروجی مشخص می شود. مدار معادل تقویت کننده اصلی و مدار فیدبک بترتیب در شکل های (۴-۳۸ الف) و (۴-۳۸ ب) نشان داده شده اند. مشخصات تقویت کننده بدون فیدبک شامل:

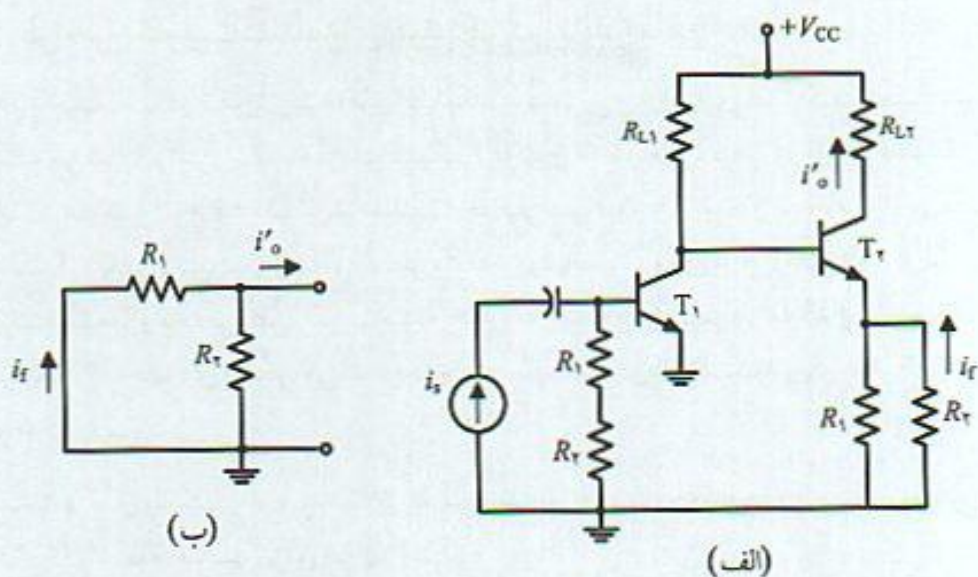
$$a = \frac{i_o'}{i_s}, \quad R_i, \quad R_o$$

و ضریب فیدبک مدار از مدار مقسم جریان:

$$f = \frac{R_2}{R_1 + R_2}$$

است. مشخصات مدار شکل (۴-۳۷) با استفاده از مشخصات مدار بدون فیدبک و روابط فیدبک بدست می آید. بهره حلقه مدار از مدار شکل (۴-۳۸ ب) با محاسبه نسبت جریان فیدبک به جریان منبع ورودی بدست می آید.





شکل ۴-۳۸ (الف) مدار معادل تقویت‌کننده اصلی، (ب) مدار معادل فیدبک

مشخصات انواع تقویت‌کننده‌ای فیدبک در جدول (۴-۲) خلاصه شده است. در این جدول روابط کلی زیر برقرار است.

$$A = \frac{a}{1 + af}, \quad D = 1 + af$$

جدول ۴-۲ خلاصه مشخصات تقویت‌کننده‌های فیدبک

جریان-موازی	ولتاژ-موازی	جریان-سری	ولتاژ-سری	
$g$	$y$	$z$	$h$	پارامترهای شبکه دو قطبی
جریان	ولتاژ	جریان	ولتاژ	سیگنال خروجی
جریان	جریان	ولتاژ	ولتاژ	سیگنال ورودی
$a = \frac{i_o}{i_s}$	$a = \frac{v_o}{i_o}$	$a = \frac{i_o}{v_s}$	$a = \frac{v_o}{v_s}$	تابع انتقال تقویت‌کننده
$f = \frac{i_s}{i_o}$	$f = \frac{i_f}{v_o}$	$f = \frac{v_f}{i_o}$	$f = \frac{v_f}{v_o}$	تابع انتقال فیدبک
$A = \frac{i_o}{i_s}$	$A = \frac{v_o}{i_s}$	$A = \frac{i_o}{v_s}$	$A = \frac{v_o}{v_s}$	تابع انتقال تقویت‌کننده با فیدبک
$\frac{R_i}{D}$	$\frac{R_i}{D}$	$R_i \times D$	$R_i \times D$	مقاومت ورودی $R_{if}$
$R_o \times D$	$\frac{R_o}{D}$	$R_o \times D$	$\frac{R_o}{D}$	مقاومت خروجی $R_{of}$
خروجی اتصال باز	خروجی اتصال کوتاه	خروجی اتصال باز	خروجی اتصال کوتاه	تعیین ورودی تقویت‌کننده اصلی
ورودی اتصال کوتاه	ورودی اتصال کوتاه	ورودی اتصال باز	ورودی اتصال باز	تعیین خروجی تقویت‌کننده اصلی



## ۴-۶ طراحی تقویت‌کننده‌های فیدبک در باند میانی

ضریب عدم حساسیت در تقویت‌کننده‌های فیدبک، مهمترین پارامتری است که باعث تثبیت بهره تقویت‌کننده می‌شود. بر این اساس ضریب فیدبک  $f$  فاکتور مهم و مورد نظر در طرح یک تقویت‌کننده فیدبک است. هم‌چنین نوع فیدبک نیز از اهمیت خاصی برخوردار است و انتخاب آن در یک کاربرد مشخص بستگی به نوع تثبیت کمیت مورد نظر و مقدار امپدانس ورودی و خروجی دارد. از نکات مهم در طرح تقویت‌کننده‌ها وابستگی بهره تقویت‌کننده اصلی به شبکه فیدبک در اثر بارگذاری است که طراحی مدار با فیدبک را تا حدودی مشکل می‌کند. یک روش مناسب برای تقویت‌کننده‌های فیدبک را می‌توان به شرح زیر خلاصه نمود.

- ۱- انتخاب مدار مناسب و نوع فیدبک بر اساس امپدانس ورودی و خروجی مورد نیاز در طرح، جدول (۲-۴) راهنمای مناسبی برای این کار است.
  - ۲- حذف فیدبک در مدار و بدست آوردن تقویت‌کننده اصلی
  - ۳- تعیین مشخصات تقویت‌کننده اصلی، بهره مدار باز، امپدانس ورودی و خروجی با صرف نظر از اثر بارگذاری شبکه فیدبک
  - ۴- تعیین مقدار فیدبک برای دست‌یابی به بهره مدار بسته، ضریب عدم حساسیت، امپدانس ورودی و خروجی مورد نظر
  - ۵- مشخص نمودن عناصر لازم برای شبکه فیدبک
  - ۶- محاسبه مجدد مشخصات تقویت‌کننده اصلی با در نظر گرفتن اثر بارگذاری مدار فیدبک
  - ۷- تعیین ضریب فیدبک جدید و اصلاح مدار فیدبک
  - ۸- بازگشت به مرحله ۴ و تکرار مراحل ۴ به بعد تا دست‌یابی به مشخصات مورد نظر
- برای آشنایی با این روش مثالهای (۴-۷) و (۴-۸) در این بخش مطرح می‌شوند.

### مثال ۴-۷

در تقویت‌کننده دو طبقه شکل (۴-۳۹) با مقادیر داده شده برای ترانزیستورها، عناصر مدار فیدبک را برای ضریب عدم حساسیت ۲۱ طرح نمایید. مدار طراحی شده را با استفاده از نرم‌افزار spice بررسی و نتایج بدست آمده را مقایسه کنید. از مدار بایاس صرف نظر شده است.

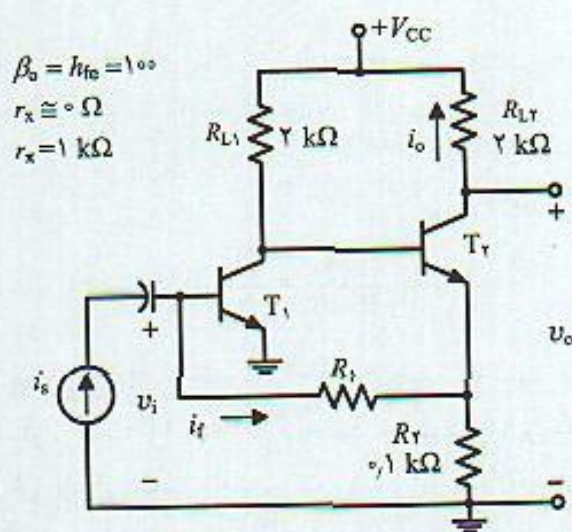
نوع فیدبک این مدار در مثال (۴-۶) مطرح شد. با توجه به اینکه مدار فیدبک مجهول است، ابتدا با صرف نظر از اثر بارگذاری شبکه فیدبک و با فرض  $R_T \gg r_\pi$ ، در اینصورت اولین تقریب مشخصات تقویت‌کننده اصلی با مدار معادل شکل (۴-۳۸ الف):

$$A_1 = \frac{i'_o}{i_s} = \beta_o \frac{i_{bT}}{i_s} = \beta_o \frac{R_{L1}}{R_{L1} + R_{inT}} \Rightarrow A_1 = 1526.71$$

$$R_{inT} = r_\pi + (1 + \beta_o) R_1 = 11.1 \text{ k}\Omega$$

$$R_1 = 1 \text{ k}\Omega, R_o = \infty$$





شکل ۴-۳۹ تقویت‌کننده مثال (۷-۴)

برای ضریب عدم حساسیت ۲۱ لازم است:

$$D = 1 + af = 21 \Rightarrow f = 0.0131$$

و بنابراین مقاومت مدار فیدبک:

$$f = \frac{R_f}{R_1 + R_f} \Rightarrow R_1 = 7.533 \text{ k}\Omega$$

با مشخص شدن مدار فیدبک می‌توان اثر بارگذاری را در محاسبات منظور نمود، بهره جریان مدار باز تقویت‌کننده در این شرایط:

$$A_1 = \frac{i_o'}{i_s} = \beta_o \frac{R_{L1}}{R_{L1} + R_{in2}} \frac{R_1 + R_f}{R_1 + R_f + r_{\pi}} = 1349.87$$

$$R_i = 1 \parallel 7.533 \text{ k}\Omega = 0.822 \text{ k}\Omega, \quad R_o = \infty$$

در محاسبات فوق با توجه به بزرگی بودن مقاومت  $R_f$  در مقایسه با  $R_1$ ، کل مقاومت امیتر ترانزیستور  $T_2$  برابر  $0.1 \text{ k}\Omega$  فرض شده است. حال برای ضریب عدم حساسیت مورد نظر و اصلاح محاسبات:

$$D = 1 + A_1 f = 21 \Rightarrow f = 0.0148 \Rightarrow R_1 = 6.66 \text{ k}\Omega$$

و به این ترتیب تقریب دقیق‌تری از عناصر مدار فیدبک بدست می‌آید. چنانچه با مقدار جدید بدست آمده برای مقاومت مدار فیدبک بار دیگر محاسبات تکرار شود:

$$A_1 = 1329.86 \Rightarrow D = 1 + A_1 f = 21 \Rightarrow f = 0.01504 \Rightarrow R_1 = 6.548 \text{ k}\Omega$$

و با تکرار یک مرحله دیگر محاسبات فوق نتایج زیر حاصل می‌شوند:

$$A_1 = 1327.55 \Rightarrow D = 1 + A_1 f = 21 \Rightarrow f = 0.01506 \Rightarrow R_1 = 6.54 \text{ k}\Omega$$

بنابراین عناصر مدار فیدبک به اعداد ثابتی همگرا شده‌اند و مشخصات تقویت‌کننده اصلی:

$$A_1 = 1327.556, \quad R_i = 0.767 \text{ k}\Omega, \quad R_o = \infty$$



با این مقادیر مشخصات تقویت‌کننده مدار بسته :

$$A_{If} = \frac{i_o}{i_i} = \frac{A_1}{D} = 63,217, \quad R_{if} = \frac{R_i}{D} = 36,523 \Omega, \quad R_{of} = \infty$$

و بهره ولتاژ تقویت‌کننده :

$$A_{Vf} = \frac{v_o}{v_i} = \frac{R_{Lr}}{R_{if}} \frac{i_o}{i_i} = \frac{R_{Lr}}{R_{if}} A_1 = 3461,1$$

نتایج بررسی این مدار با استفاده از نرم‌افزار spice در جدول (۳-۴) خلاصه شده است. ملاحظه می‌شود که نتایج حاصل با استفاده از دو روش بسیار نزدیک می‌باشند. لازم به تذکر است که در این مدار بهره جریان تقویت‌کننده تثبیت شده و مقاومت خروجی بزرگی بدست آمده است. بهره ولتاژ مدار مقدار زیادی است که با توجه به مقاومت بینهایت منبع جریان حاصل شده است. مقاومت‌های محدود منبع باعث کاهش قابل ملاحظه‌ای در بهره ولتاژ می‌شود.

جدول ۳-۴ نتایج بررسی تقویت‌کننده فیدبک مثال ۲-۷ به روش تقریبی و نرم‌افزار spice

پارامتر	روش محاسباتی	spice
بهره جریان	۶۳,۲۱	۶۱,۶۵
بهره ولتاژ	۳۴۶۱,۱	۳۲۶۹,۷
مقاومت ورودی	۳۶,۵۲۳ kΩ	۴۶,۸۹ kΩ
مقاومت خروجی	∞	۱,۱۳ MΩ

#### مثال ۴-۸

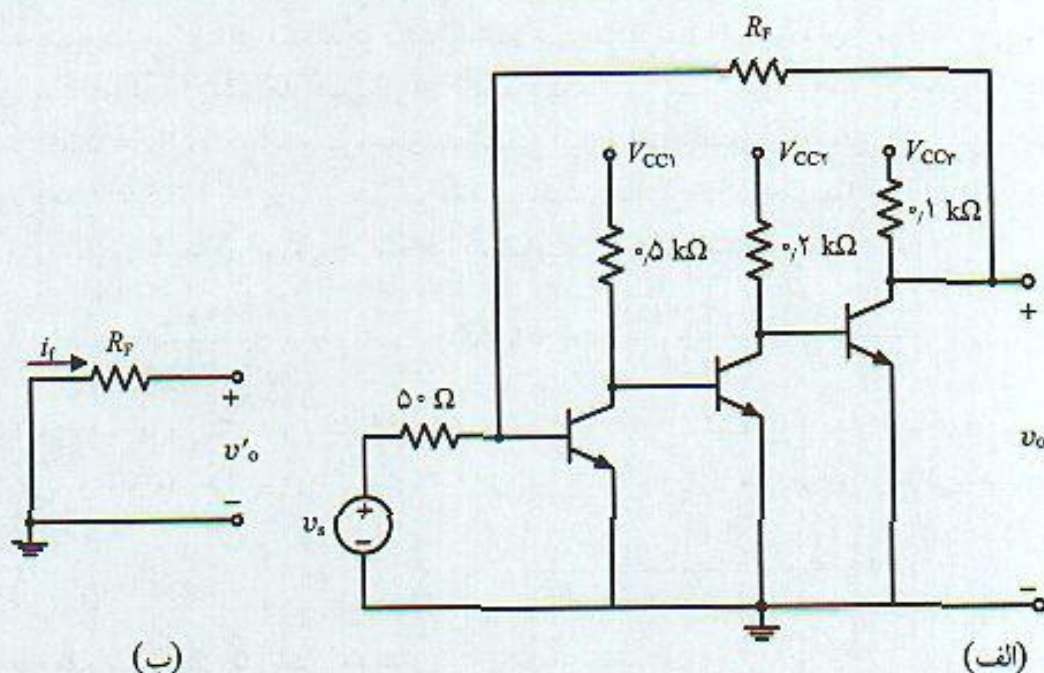
به تقویت‌کننده سه طبقه مثال (۱۱-۳) فصل سوم که با بهره ولتاژ باند میانی ۷۰۰۰- و پهنای باند ۳ MHz طرح و محاسبات آن انجام شد، فیدبک ولتاژ موازی بصورت مدار شکل (۴-۴۰ الف) اعمال می‌شود. مدار فیدبک لازم برای ضریب عدم حساسیت ۷۱ تعیین و اثر آنرا بر تقویت‌کننده اصلی ارزیابی کنید. مشخصات ترانزیستورها و نقاط کار آنها در جدول (۳-۳) خلاصه شده است.

مدار معادل تقویت‌کننده اصلی با اتصال کوتاه ورودی و خروجی بدست می‌آید. بنابراین مقاومت فیدبک  $R_F$  در ورودی و خروجی ظاهر شده و در حالت کلی بر مدار تقویت‌کننده اصلی اثر بارگذاری دارد. در اولین مرحله با فرض :

$$R_F \gg r_{\pi 1} + r_{\pi 2} = 2,7 \text{ k}\Omega$$

اثر بارگذاری قابل اغماض است. در این مدار ضریب فیدبک  $G_F = -f$  و تابع انتقال تقویت‌کننده از نوع مقاومت انتقالی است. با توجه به مدار معادل تقویت‌کننده اصلی در شکل (۴-۴۱) و بهره ولتاژ ۷۲۰۰- برای تقویت‌کننده اصلی :





شکل ۴-۴ الف) تقویت‌کننده سه طبقه فیدبک ولتاژ موازی مثال (۴-۸) ب) مدار معادل فیدبک

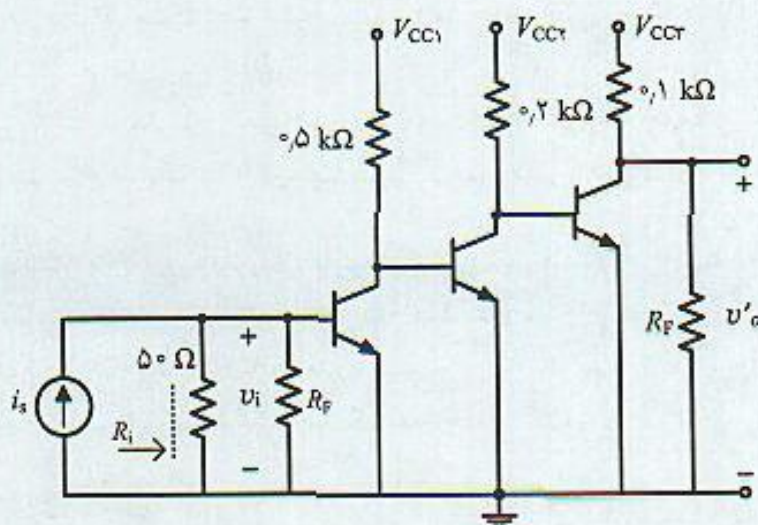
$$G_M = \frac{v'_o}{i_i} = \frac{v'_o}{v_i} \frac{v_i}{i_i} = - 7200 R_i$$

$$\Rightarrow G_M = - 360 \text{ k}\Omega$$

$$R_i = R_S \parallel (r_{x1} + r_{\pi1}) \parallel R_F \approx R_S = 50 \Omega$$

بنابراین در گام اول و با صرف‌نظر از اثر بارگذاری، برای ضریب عدم حساسیت ۷۱ لازم است مقاومت شبکه فیدبک:

$$D = 1 + G_M f = 71 \Rightarrow f = - 0.194 \text{ m}\Omega^{-1} \Rightarrow R_F = 5.15 \text{ k}\Omega$$



شکل ۴-۴۱ مدار معادل تقویت‌کننده اصلی با اثر شبکه فیدبک و مدار معادل نورتن منبع ورودی



مقدار محاسبه شده برای مقاومت شبکه فیدبک نشان می‌دهد تقریب عدم بارگذاری در خروجی تقریب مناسبی است، اما در ورودی مدار صرفنظر از  $R_F$  تقریب مناسبی نیست. برای اصلاح طرح یا انتخاب مقاومت  $R_F = 5 \text{ k}\Omega$ ، با محاسبه بهره مقاومت انتقالی تقویت‌کننده اصلی با در نظر گرفتن اثر بارگذاری نشان می‌دهد  $G_M = -354 \text{ k}\Omega$  و ضریب عدم حساسیت حاصل  $D = 1 + G_M f = 71.8$  که بیش از مقدار موردنظر می‌باشد. در این شرایط مشخصات تقویت‌کننده مدار بسته:

$$G_{Mf} = \frac{a}{1 + G_M f} = \frac{-354 \text{ k}\Omega}{71.8} = -4.94 \text{ k}\Omega, \quad A_{Vf} \approx \frac{-4.94 \text{ k}\Omega}{50 \Omega} = -99$$

که نشان می‌دهد بهره ولتاژ مدار بسته ۹۹- بدست می‌آید و به این ترتیب طرح مدار فیدبک در باند میانی تکمیل می‌شود. توجه شود بهره ولتاژ مدار بسته این تقویت‌کننده را از رابطه زیر نیز می‌توان بدست آورد:

$$A_{Vf} = \frac{v_o}{v_s} = \frac{v_o}{R_S i_s} = \frac{G_{Mf}}{R_S}$$

$G_{Mf}$  بهره مقاومت انتقالی تقویت‌کننده مدار بسته و مقدار تقریبی آن:

$$G_{Mf} = \frac{G_M}{1 + f G_M} \approx \frac{1}{f}$$

و با توجه به مقدار ضریب فیدبک  $f$ ، در نتیجه:

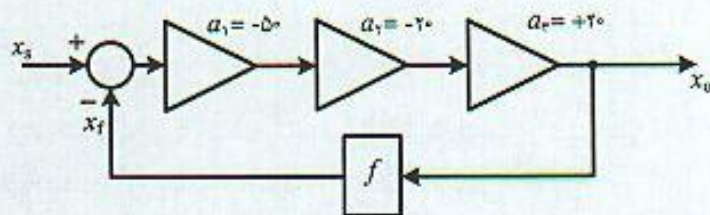
$$A_{Vf} = \frac{v_o}{v_s} = -\frac{R_F}{R_S}$$

این رابطه مشابه رابطه تقویت‌کننده‌های معکوس‌کننده با تقویت‌کننده‌های عملیاتی است و در مواردی که بهره تقویت‌کننده مدار باز زیاد است با تقریب خوب برقرار می‌باشد.

## مسائل فصل چهارم

- ۴-۱) بهره مدار باز یک تقویت‌کننده با فیدبک منفی  $a = 100$  و ضریب فیدبک  $f = 0.1$  می‌باشد.
  - الف) بهره تقویت‌کننده مدار بسته چقدر است.
  - ب) اگر بهره تقویت‌کننده اصلی ۱۵٪ تغییر کند، بهره تقویت‌کننده مدار بسته چه مقدار تغییر خواهد نمود.
  - ج) چنانچه ضریب مدار فیدبک ۲۰٪ تغییر کند، تغییرات بهره مدار با فیدبک چه مقدار می‌باشد.
- ۴-۲) یک تقویت‌کننده دارای بهره مدار باز (با اثر بارگذاری مدار فیدبک)  $a = 100 \pm 10\%$  است. برای اینکه بهره تقویت‌کننده مدار بسته کمتر از ۰.۵٪ باشد:
  - الف) مقدار فیدبک لازم در تقویت‌کننده چقدر است.
  - ب) ضریب عدم حساسیت و بهره ولتاژ با فیدبک مدار چقدر است.
- ۴-۳) در تقویت‌کننده سه طبقه شکل (م ۴-۳) مقدار ضریب فیدبک را برای بهره تقویت‌کننده مدار بسته ۱۰۰- تعیین کنید. چنانچه بهره هر کدام از تقویت‌کننده‌ها به اندازه ۲۰٪ تغییر نماید، بهره مدار باز و مدار بسته چه مقدار تغییر خواهد نمود.





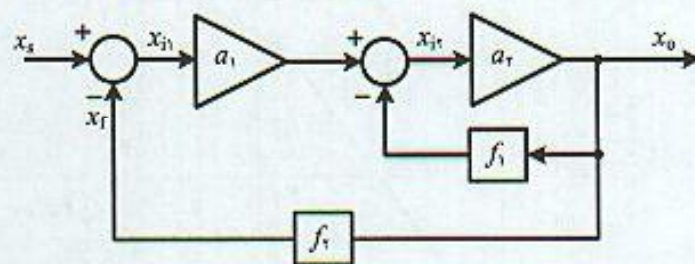
شکل (م ۳-۴)

شکل (م ۴-۴) تقویت‌کننده‌ای با دو حلقه فیدبک را نشان می‌دهد. خروجی هر یک از مقایسه‌کننده‌ها را بر حسب سیگنال ورودی و خروجی نوشته و نشان دهید بهره کل مدار از رابطه زیر بدست می‌آید. هم‌چنین با استفاده از رابطه بدست آمده روشی برای حل مدار با استفاده از فیدبک ارائه نمایید.

$$A = \frac{x_o}{x_s} = \frac{a_1 \times a_2}{1 + f_2 a_1 + f_1 a_1 a_2}$$

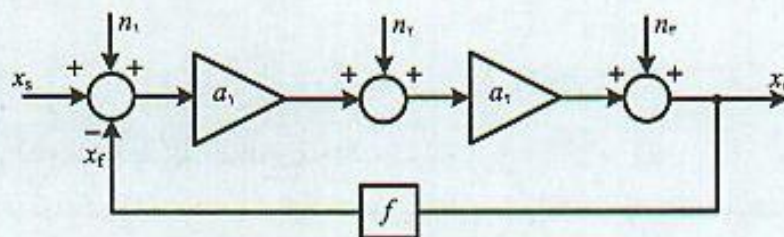
راهنمایی: رابطه بهره کل را بصورت عبارت زیر نوشته و نتیجه‌گیری کنید. بهره تقویت‌کننده مدار بسته قسمت دوم مدار است.

$$A = \frac{a_1 A_2}{1 + a_1 A_2 f_2}$$



شکل (م ۴-۴)

در تقویت‌کننده فیدبک شکل (م ۵-۴) که سیگنال نویز در طبقه ورودی، میانی و در محل خروجی به مدار وارد می‌شود، عبارت کامل خروجی را بدست آورده و نویز خروجی را به ازاء هر بخش به تفکیک مشخص کنید. به نظر شما کدام نویز در تقویت‌کننده مهمتر است. برای کاهش سایر مولفه‌های نویز خروجی چه تمهیدی در مدار باید بکار برد.

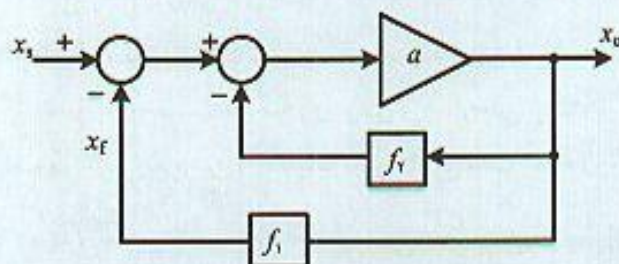


شکل (م ۵-۴)

در تقویت‌کننده فیدبک شکل (م ۶-۴) که از دو مسیر فیدبک استفاده شده است:

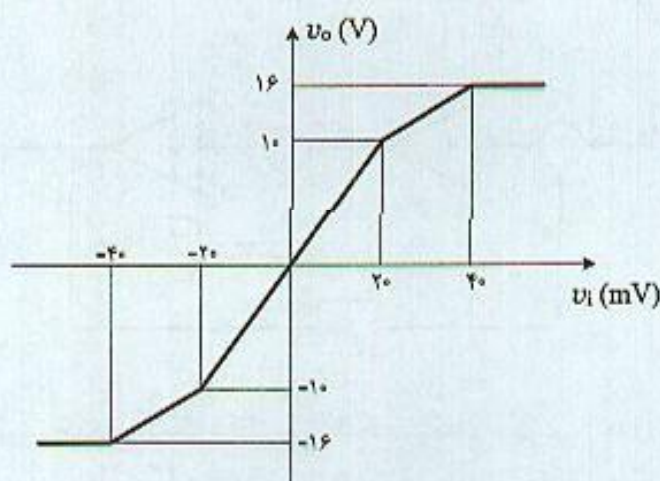


- الف) بهره ورودی به خروجی را مشخص کنید.
- ب) روشی برای تحلیل این مدارها مشخص کنید.
- ج) با فرض اینکه یکی از ضرایب فیدبک (برای مثال  $f_2$ ) منفی باشد، در اینصورت بخشی از مدار فیدبک مثبت خواهد بود. شرایطی بدست آورید که فیدبک کل مجموعه منفی باشد.



شکل (م ۴-۶)

- ۷-۴) مشخصه انتقال یک تقویت کننده ولتاژ در شکل (م ۴-۷) نشان داده شده است. اگر از این تقویت کننده در مدار فیدبکی با ضریب فیدبک ۰٫۱ استفاده شود، مشخصه انتقال مدار با فیدبک را ترسیم نمایید.



شکل (م ۴-۷)

- ۸-۴) یک تقویت کننده دارای تابع انتقال فرکانس بالای:

$$H(s) = \frac{1000}{1 + \frac{s}{10}}$$

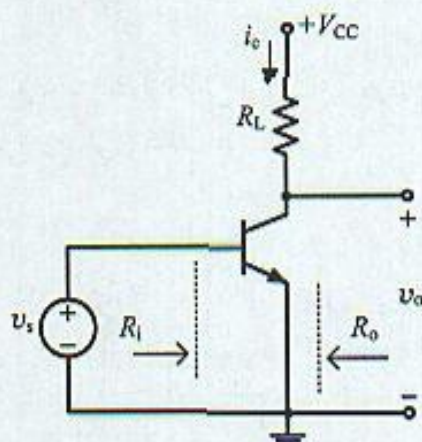
- و در آن  $s$  با واحد  $(\mu s)^{-1}$  است.
- الف) فرکانس قطع بالای تقویت کننده را محاسبه کنید.
- ب) از این مدار در یک تقویت کننده فیدبک با ضریب فیدبک ۰٫۱ استفاده شده است. بهره باند میانی و فرکانس قطع بالای تقویت کننده با فیدبک چقدر است.
- ج) حاصلضرب بهره - پهنای باند مدار چقدر است.
- د) چنانچه از این تقویت کننده در مدار فیدبکی با بهره باند میانی ۱۰ استفاده شود پهنای باند چقدر خواهد بود.



۹-۴ یک تقویت‌کننده با بهره باند میانی  $a_0$  و فرکانس قطع پایین  $\omega_L$  را در نظر گرفته که در یک مدار فیدبک با ضریب  $f$  بکار رفته است. فرکانس قطع پایین تقویت‌کننده با فیدبک چقدر خواهد بود.

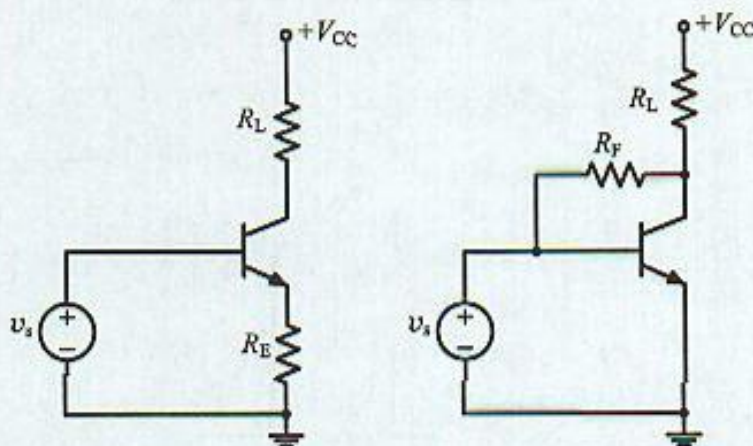
۱۰-۴ در یک تقویت‌کننده امپتر مشترک به صورت شکل (م ۴-۱۰) پارامتر  $h_{re}$  را می‌توان فیدبک خروجی به ورودی در نظر گرفت.

الف) با تعیین نوع فیدبک بهره ولتاژ، مقاومت ورودی و خروجی تقویت‌کننده را بدست آورید.  
ب) اگر از این تقویت‌کننده با منبعی به مقاومت  $R_s$  تغذیه شود، مشخصات تقویت‌کننده را با در نظر گرفتن اثر بارگذاری منبع محاسبه کنید.



شکل (م ۴-۱۰)

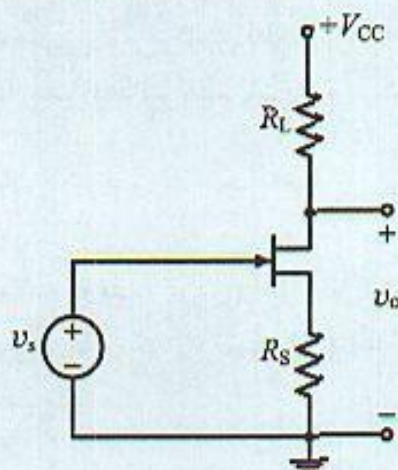
۱۱-۴ با استفاده از روش فیدبک نشان دهید قضیه میلر Miller در مورد هر یک از مدارهای شکل (م ۴-۱۱) برقرار است.



شکل (م ۴-۱۱)

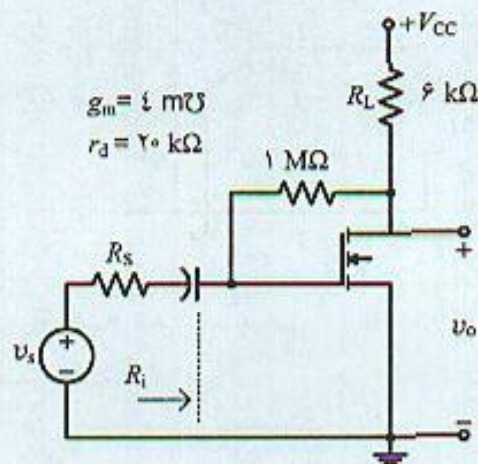
۱۲-۴ در تقویت‌کننده شکل (م ۴-۱۲) با استفاده از عنصر FET با مشخصات  $g_m$  و  $r_o = \infty$ ، با تشخیص نوع فیدبک مشخصات کامل تقویت‌کننده را مشخص کنید.





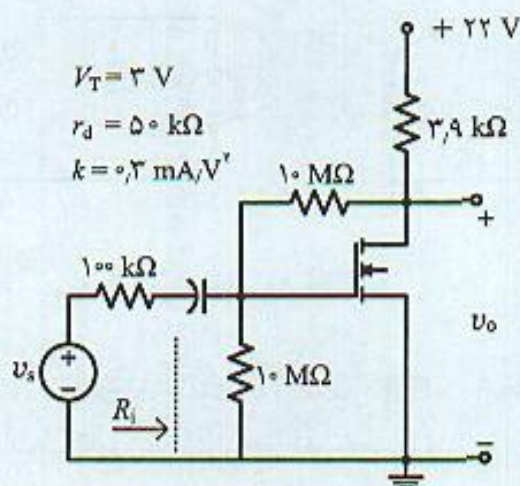
شکل (م ۴-۱۲)

۱۳-۴ در مدار شکل (م ۴-۱۳) و با استفاده از روش فیدبک بهره ولتاژ و مقاومت ورودی را محاسبه کنید. عنصر MOSFET از نوع ارتقائی با کانال n است.



شکل (م ۴-۱۳)

۱۴-۴ در تقویت کننده شکل (م ۴-۱۴) از یک عنصر MOSFET ارتقائی با کانال n تشکیل شده است. الف) نقطه کار ترانزیستور را مشخص کنید.



شکل (م ۴-۱۴)

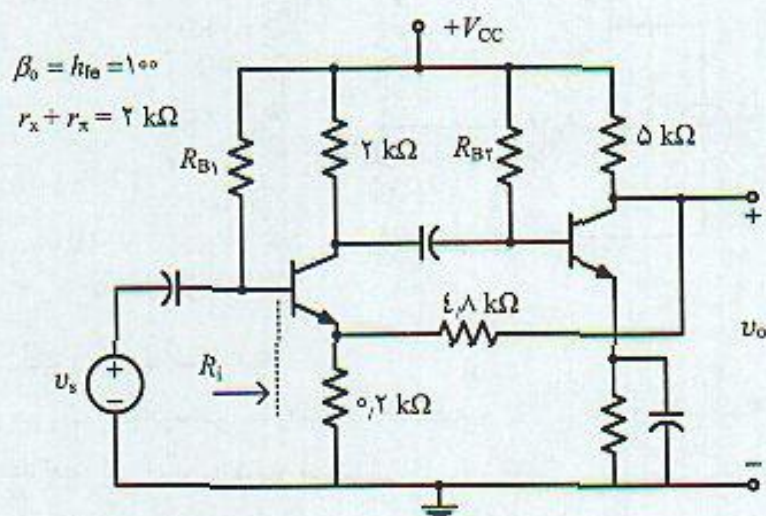


(ب) آیا نقطه کار ترانزیستور پایدار است.

(ج) به روش مستقیم مشخصات مدار شامل بهره ولتاژ، مقاومت ورودی و خروجی را مشخص کنید.

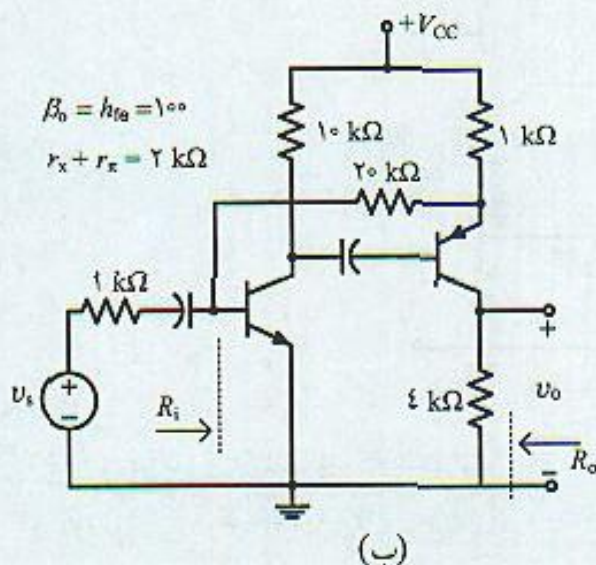
(د) با روش فیدبک مقادیر فرض (ج) را تکرار و مقادیر حاصل را با مقادیر قبل مقایسه کنید.

۱۵-۴ در مدار شکل (م ۴-۱۵) با تعیین نوع فیدبک بهره ولتاژ، مقاومت ورودی و مقاومت خروجی را مشخص کنید. اگر این تقویت‌کننده با منبعی به مقاومت ۱۰ کیلو اهم تغذیه شود، بهره ولتاژ کل چه مقدار خواهد بود. مقاومت‌های بایاس را بزرگ فرض کنید.

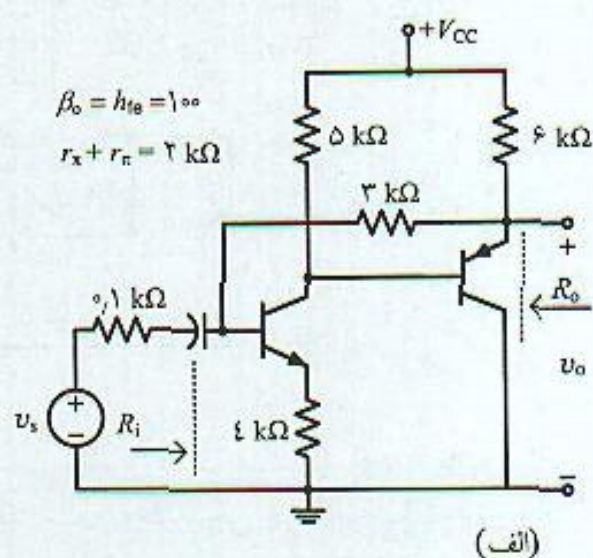


شکل (م ۴-۱۵)

۱۶-۴ در هر یک از مدارهای شکل (م ۴-۱۶) با مشخصات داده شده برای ترانزیستورها، پارامترهای تقویت‌کننده مدار بسته را مشخص کنید.



(ب)

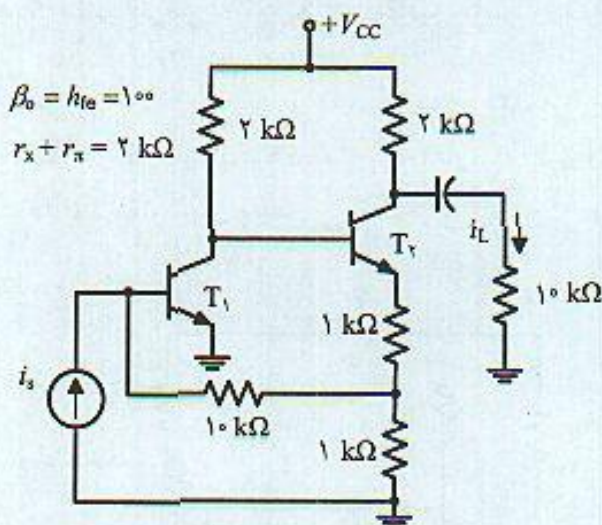


(الف)

شکل (م ۴-۱۶)

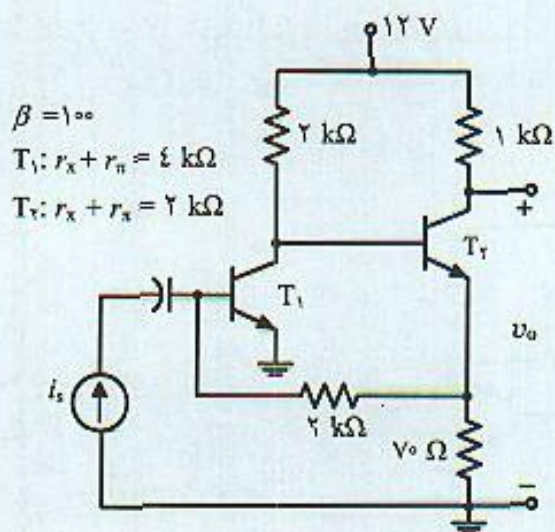


۱۷-۴ در تقویت‌کننده شکل (م ۱۷-۴) بهره جریان خروجی (جریان بار) به جریان منبع ورودی را مشخص کنید.



شکل (م ۱۷-۴)

۱۸-۴ در تقویت‌کننده فیدبک شکل (م ۱۸-۴):  
الف) نقطه کار هر یک از ترانزیستورها را مشخص کنید.  
ب) توضیح دهید نقطه کار چگونه پایدار می‌شود.  
ج) بهره ولتاژ مدار را محاسبه کنید.  
د) اگر منبع جریان ورودی با منبع ولتاژی با مقاومت  $50 \Omega$  جایگزین شود، بهره ولتاژ کل مدار چقدر است.



شکل (م ۱۸-۴)

۱۹-۴ در تقویت‌کننده فیدبک شکل (م ۱۹-۴) که شامل دو نوع فیدبک است، با استفاده از نتایج مسئله (۶-۴) تقویت‌کننده را بررسی و بهره ولتاژ، مقاومت ورودی و خروجی را بر حسب پارامترهای ترانزیستور مشخص کنید.

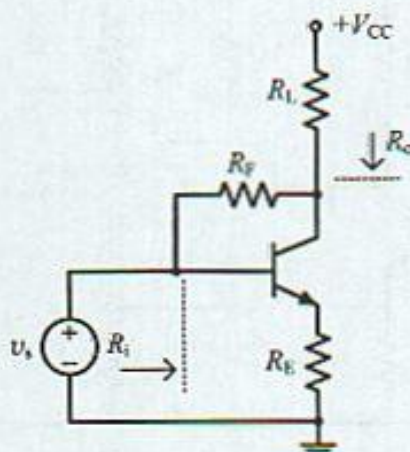


۲۰-۴) تقویت‌کننده شکل (م ۴-۱۹) را مستقیماً و با استفاده از معادلات ولتاژ و جریان بررسی کنید و نتایج حاصل را با نتایج مسئله (۴-۱۹) مقایسه کنید.

۲۱-۴) در تقویت‌کننده شکل (م ۴-۱۹) چه شرایطی لازم است در نظر گرفت که:

$$R_i = r_x + r_\pi, \quad R_o = r_o$$

مقاومت خروجی ترانزیستور  $r_o$  است.



شکل (م ۴-۱۹)

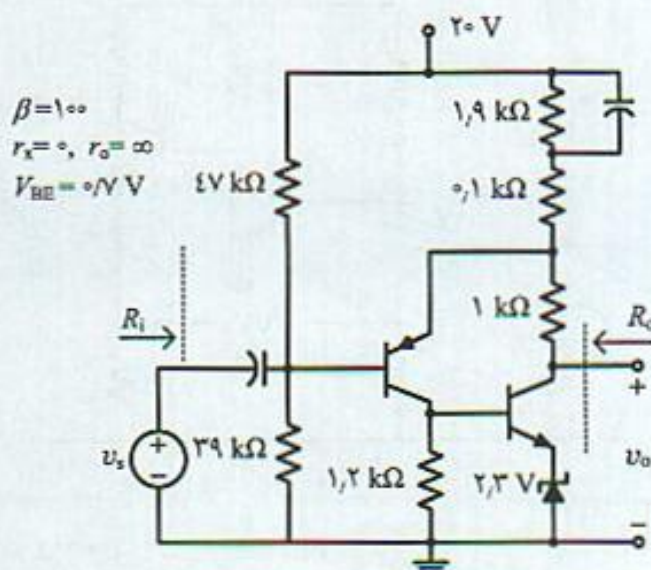
۲۲-۴) در تقویت‌کننده فیدبک شکل (م ۴-۲۲):

الف) ولتاژ و جریان نقطه کار دو ترانزیستور را تعیین کنید.

ب) نشان دهید نقطه کار ترانزیستور پایدار است.

ج) با تعیین نوع فیدبک مدار، بهره ولتاژ، مقاومت ورودی و خروجی را محاسبه کنید.

د) زنبک‌کار رفته با جریان محاسبه شده در مدار در ناحیه شکست بایاس شده و مقاومت دینامیک آن ناچیز و خازن‌ها اتصال کوتاه هستند.



شکل (م ۴-۲۲)

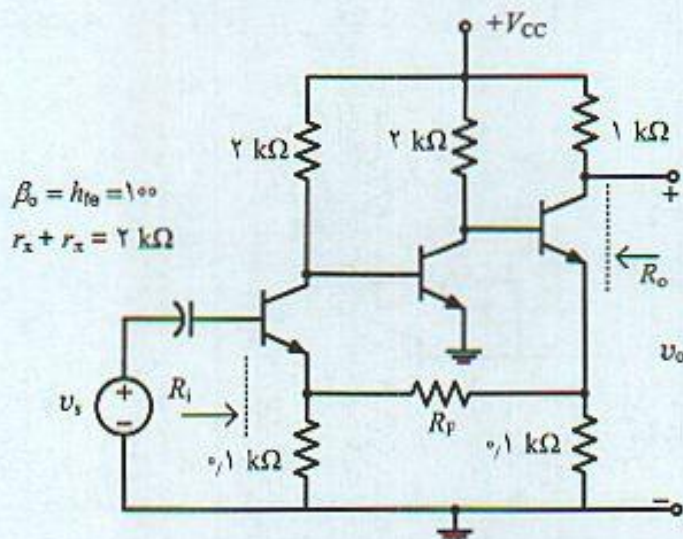


۲۳-۴) در تقویت‌کننده سه طبقه شکل (م ۴-۲۳):

الف) نوع فیدبک و مدار معادل تقویت‌کننده اصلی و فیدبک را تعیین کنید.

ب) مقاومت  $R_F$  را برای بهره ولتاژ مدار بسته ۵۰ محاسبه کنید.

ج) با فرض  $\beta_o = 100$  و  $r_x + r_\pi = 2 \text{ k}\Omega$  برای تمام ترانزیستورها، مقدار بهره ولتاژ دقیق، مقاومت ورودی و خروجی را محاسبه کنید.



شکل (م ۴-۲۳)

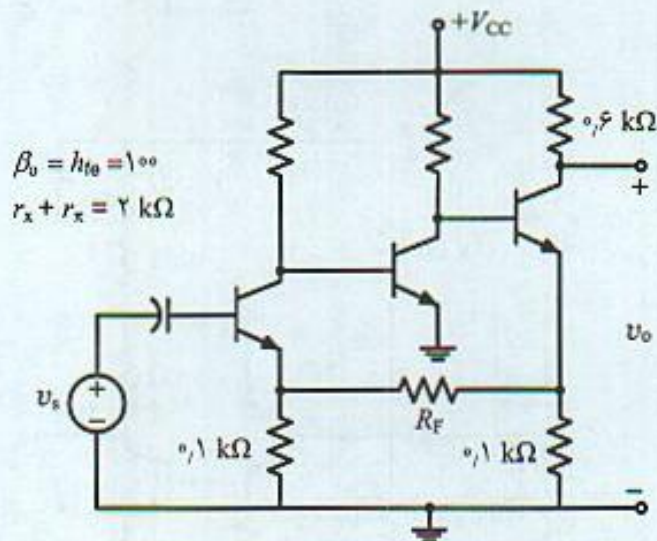
۲۴-۴) در مدار شکل (م ۴-۲۴) بهره ولتاژ تقویت‌کننده اصلی با فرض بزرگ بودن مقاومت فیدبک  $R_F$  و

$$|A_v| = \frac{v_o}{v_s} = 6000 \text{ است.}$$

الف) مقدار مقاومت  $R_F$  را برای بهره ولتاژ مدار بسته ۱۰۰ تعیین کنید.

ب) مقاومت ورودی تقویت‌کننده چقدر است.

ج) اگر این مدار توسط منبعی با مقاومت  $10 \text{ k}\Omega$  تغذیه شود، بهره کل چه مقدار خواهد بود.

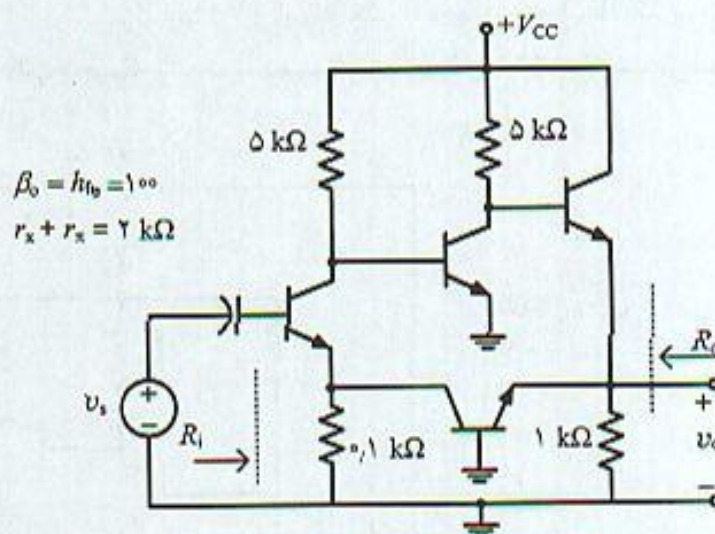


شکل (م ۴-۲۴)

۲۵-۴) در تقویت‌کننده شکل (م ۴-۲۵) و با مقادیر داده شده:

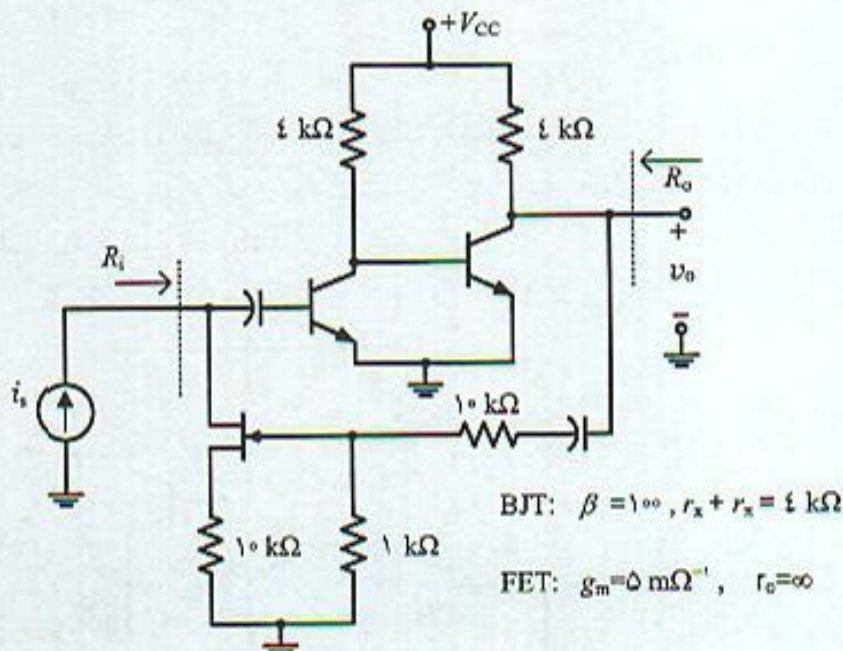


الف) نوع فیدبک، مدار معادل تقویت‌کننده اصلی و مقدار ضریب فیدبک را تعیین نمایید.  
ب) مشخصات تقویت‌کننده را محاسبه کنید.



شکل (م ۴-۲۵)

۴-۲۶) در متن بحث تقویت‌کننده فیدبک مشخص شد می‌توان فیدبک ولتاژ موازی را در تقویت‌کننده‌ای چند طبقه معمول امیتر مشترک که تعداد طبقات فرد است بکار برد. با استفاده از عناصر فعال می‌توان این نوع فیدبک را با طبقات زوج نیز بکار برد. شکل (م ۴-۲۶) یک نمونه از این مدارها را نشان می‌دهد. در مورد این تقویت‌کننده نشان دهید:

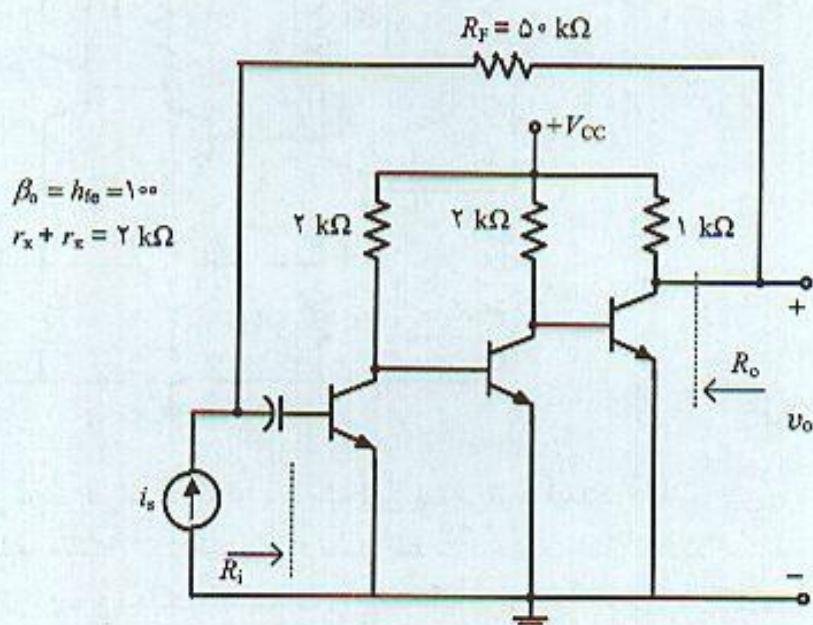


شکل (م ۴-۲۶)

الف) این مدار دارای فیدبک ولتاژ موازی است.  
ب) با مقادیر داده شده برای ترانزیستورها مشخصات تقویت‌کننده اصلی شامل بهره، مقاومت ورودی و خروجی را تعیین کنید.  
ج) مشخصات تقویت‌کننده مدار بسته و بهره ولتاژ آنرا محاسبه کنید.

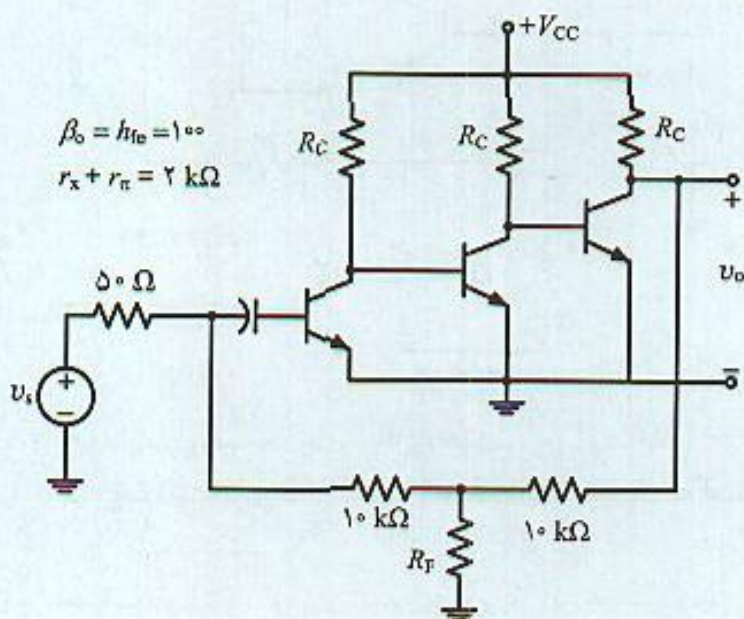


(۲۷-۴) مدار شکل (م ۲۷-۴) تقویت کننده سه طبقه با فیدبک را نشان می دهد.  
الف) با مقادیر داده شده، مشخصات مدار را با استفاده از تقویت کننده مدار باز محاسبه کنید.  
ب) چنانچه  $\beta_o$  ترانزیستورها ۲ برابر شوند و با فرض اینکه تغییری در مقدار  $r_{\pi}$  ایجاد نشود، مشخصات تقویت کننده را در این حالت محاسبه و توضیح دهید چه مشخصه ای از مدار تثبیت می شود.



شکل (م ۲۷-۴)

(۲۸-۴) در تقویت کننده سه طبقه شکل (م ۲۸-۴):  
الف) نوع فیدبک، مدار معادل تقویت کننده اصلی و ضریب فیدبک را مشخص کنید.  
ب) با فرض اینکه در تقویت کننده اصلی بهره ولتاژ تقویت کننده ۷۰۰۰- باشد، مقاومت  $R_F$  را چنان مشخص کنید که بهره ولتاژ مدار بسته ۱۰۰- باشد.



شکل (م ۲۸-۴)

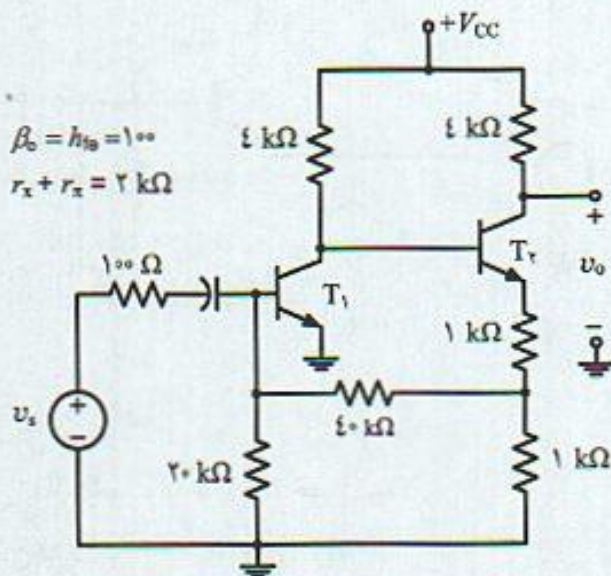


ج) در این شرایط ضریب عدم حساسیت و مقاومت ورودی تقویت‌کننده چقدر است.

۴-۲۹) در تقویت‌کننده شکل (م ۴-۲۹) و با مقادیر داده شده برای ترانزیستورها:

الف) بهره ولتاژ و مقاومت ورودی را مشخص کنید.

ب) چنانچه  $\beta_o$  ترانزیستورها ۲ برابر شود بهره ولتاژ مدار بسته چقدر تغییر می‌کند. فرض کنید  $r_{\pi}$  ثابت می‌ماند.

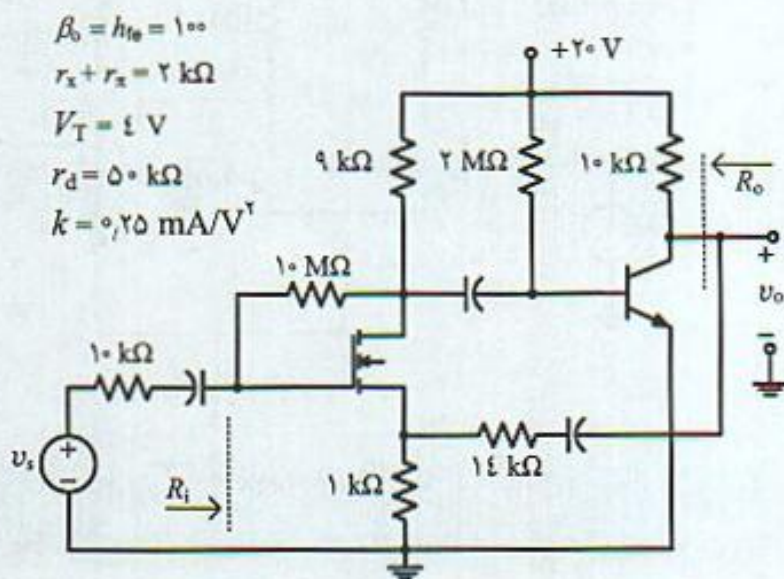


شکل (م ۴-۲۹)

۴-۳۰) در مدار شکل (م ۴-۳۰) و با مشخصات داده شده برای عنصر MOSFET ارتقائی:

الف) نقطه کار عنصر FET را مشخص کنید.

ب) بهره ولتاژ کل مدار، مقاومت ورودی و خروجی را محاسبه نمایید. مشخصات ترانزیستور در نقطه کار محاسبه شده است.

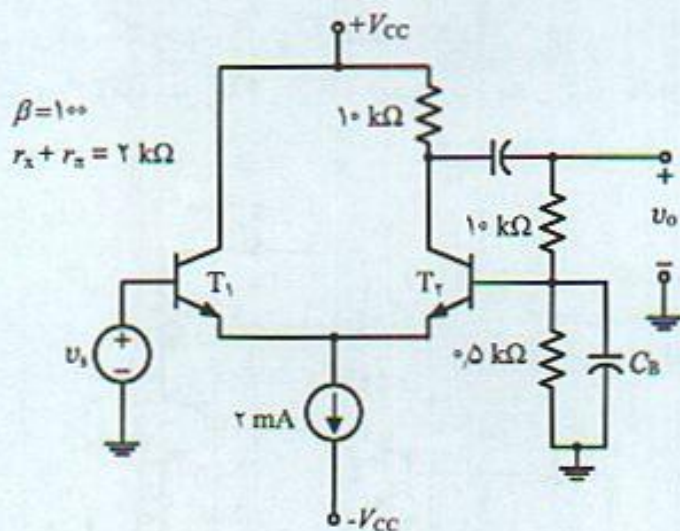


شکل (م ۴-۳۰)

۴-۳۱) در مدار شکل (م ۴-۳۱):



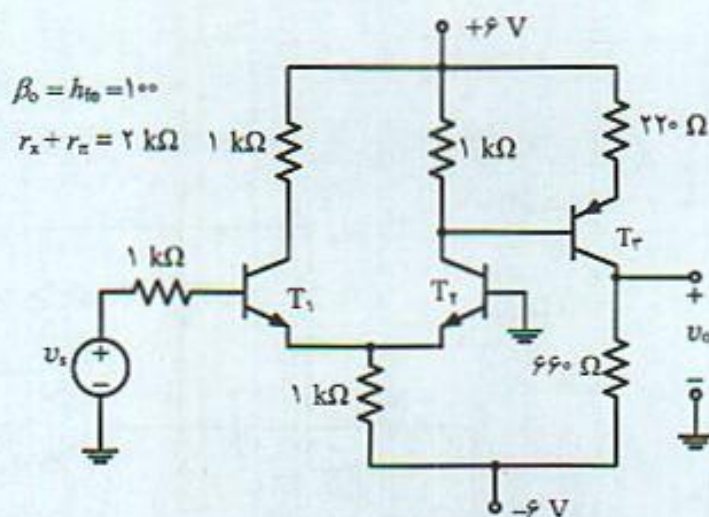
الف) با فرض اینکه در فرکانس کار خازن  $C_B$  اتصال کوتاه است بهره ولتاژ مدار را محاسبه کنید.  
ب) با فرض قطع بودن این خازن بهره ولتاژ و مقاومت ورودی مدار را مشخص کنید.



شکل (م ۴-۳۱)

۳۲-۴ در تقویت کننده DC شکل (م ۴-۳۲):

الف) ولتاژ و جریان نقاط کار تمام ترانزیستورها را مشخص کنید.  
ب) بهره ولتاژ خروجی به منبع ورودی را محاسبه کنید.  
ج) با قرار دادن مقاومت  $R_F$  بین خروجی و بیس  $T_1$ ، فیدبکی با ضریب عدم حساسیت ۱۱ برقرار نمایید.  
د) بهره ولتاژ مدار را در حالت (ج)، مقاومت ورودی و خروجی مدار را تعیین کنید.

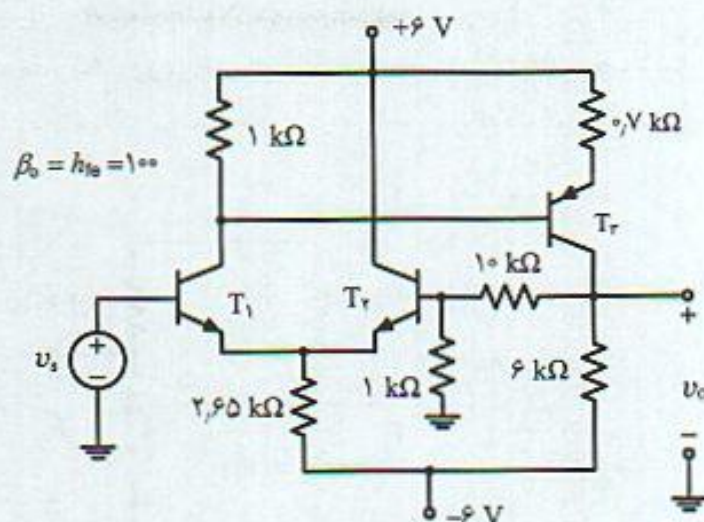


شکل (م ۴-۳۲)

۳۳-۴ در تقویت کننده فیدبک شکل (م ۴-۳۳) که منبع ورودی فاقد ولتاژ DC است:

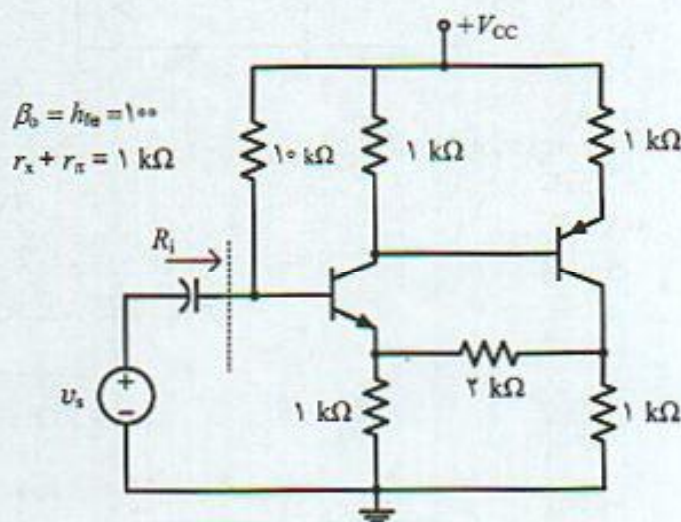
الف) نقطه کار ترانزیستورها را مشخص کنید.  
ب) نوع فیدبک بکار رفته در مدار را مشخص نمایید.  
ج) مشخصات تقویت کننده مدار بسته را محاسبه کنید.





شکل (م ۴-۳۳)

۴-۳۴ در تقویت‌کننده فیدبک شکل (م ۴-۳۴) مقاومت ورودی تقویت‌کننده را محاسبه کنید.



شکل (م ۴-۳۴)

۴-۳۵ نشان دهید روابط (۴-۴۱) در مورد امپدانس ورودی و خروجی تقویت‌کننده فیدبک جریان سری برقرار است.

۴-۳۶ عبارات امپدانس ورودی و خروجی تقویت‌کننده با فیدبک ولتاژ سری در شکل (۴-۳۳) را بدست آورید و نشان دهید امپدانس ورودی افزایش و امپدانس خروجی کاهش می‌یابد.

۴-۳۷ مدار معادلی برای محاسبه بهره حلقه در فیدبک جریان مولاری معرفی و با استفاده از شکل (۴-۳۶) و پارامترهای  $g$  تقویت‌کننده، عبارتهای امپدانس ورودی و خروجی را بدست آورید.

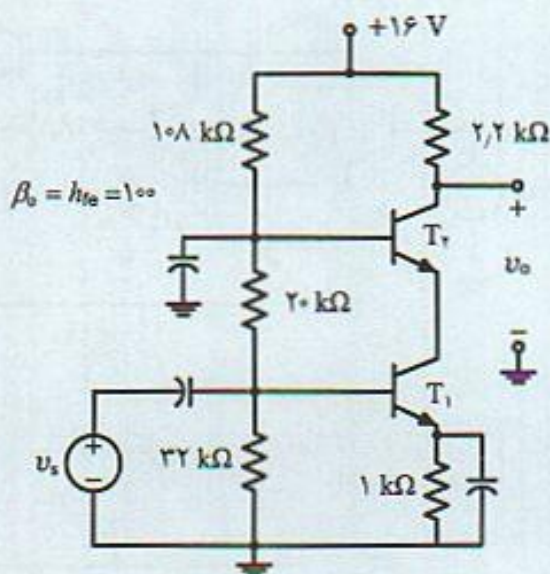
۴-۳۸ در تقویت‌کننده کاسکود (Cascode) شکل (م ۴-۳۸):

الف) ولتاژ و جریان نقطه کار هر یک از ترانزیستورها را تعیین کنید.

ب) بهره ولتاژ خروجی به منبع ورودی را بدست آورید.



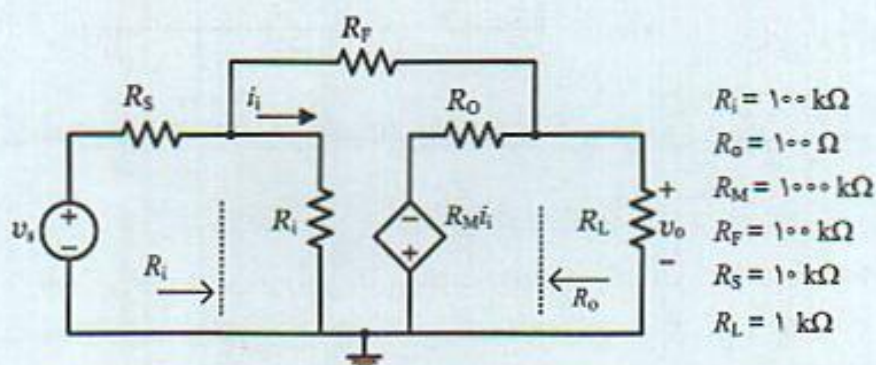
ج) چه نوع فیدبک یا فیدبک‌هایی به این تقویت‌کننده می‌توان اعمال نمود.  
د) فیدبکی را انتخاب کنید که مقاومت ورودی بزرگی را سبب شده و ضریب عدم حساسیت ۱۱ بدست آید. مدار لازم و عناصر آنرا محاسبه کنید. (تمام خازنها در فرکانس کار اتصال کوتاه فرض می‌شوند).



شکل (م ۴-۳۸)

۴-۳۹ در تقویت‌کننده مقاومت انتقالی شکل (۴-۳۹) و با مشخصات داده شده برای آن و با فرض مقاومت منبع  $R_S = 0 \Omega$ :

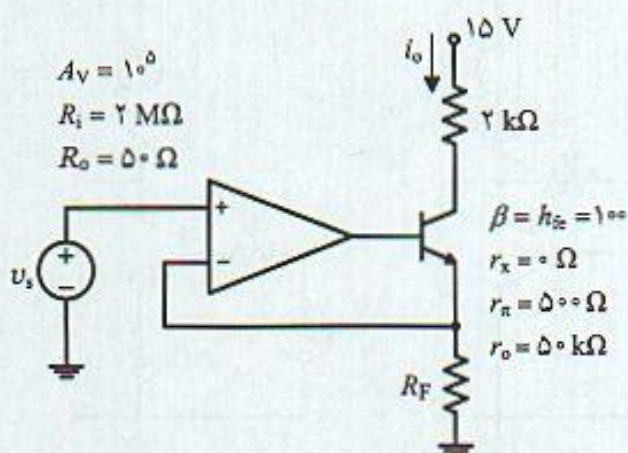
- الف) مقاومت دیده شده توسط منبع ورودی چقدر است.  
ب) مقاومت خروجی تقویت‌کننده را محاسبه کنید.  
ج) بهره ولتاژ مدار چقدر است.  
د) فرض ج را برای  $R_S = 1 \text{ k}\Omega$  تکرار کنید.



شکل (م ۴-۳۹)

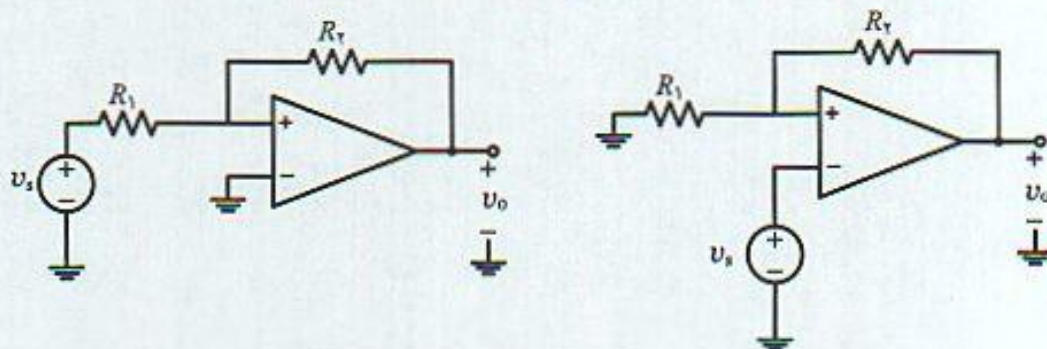
۴-۴۰ در تقویت‌کننده هدایت انتقالی شکل (۴-۴۰):  
الف) مقدار مقاومت فیدبک  $R_F$  را چنان تعیین کنید که بهره هدایت انتقالی مدار  $5 \text{ mA/V}$  باشد.  
ب) مقاومت خروجی تقویت‌کننده از دو سر  $R_L$  را محاسبه نمایید.





شکل (م ۴-۴۰)

۴-۴۱) در هر یک از تقویت‌کننده‌های شکل (م ۴-۴۱) که از تقویت‌کننده عملیاتی با بهره ولتاژ  $A_v$  مقاومت ورودی  $R_i$  و مقاومت خروجی  $R_o$  تشکیل شده است و باروش فیدبک:



شکل (م ۴-۴۱)

الف) بهره ولتاژ خروجی به ورودی، مقاومت ورودی (دیده شده توسط منبع) و مقاومت خروجی تقویت‌کننده با فیدبک را محاسبه کنید.

ب) مقادیر حاصل در فرض الف) را برای هر کدام از تقویت‌کننده‌ها و با  $A_v$  بزرگ ساده کنید.

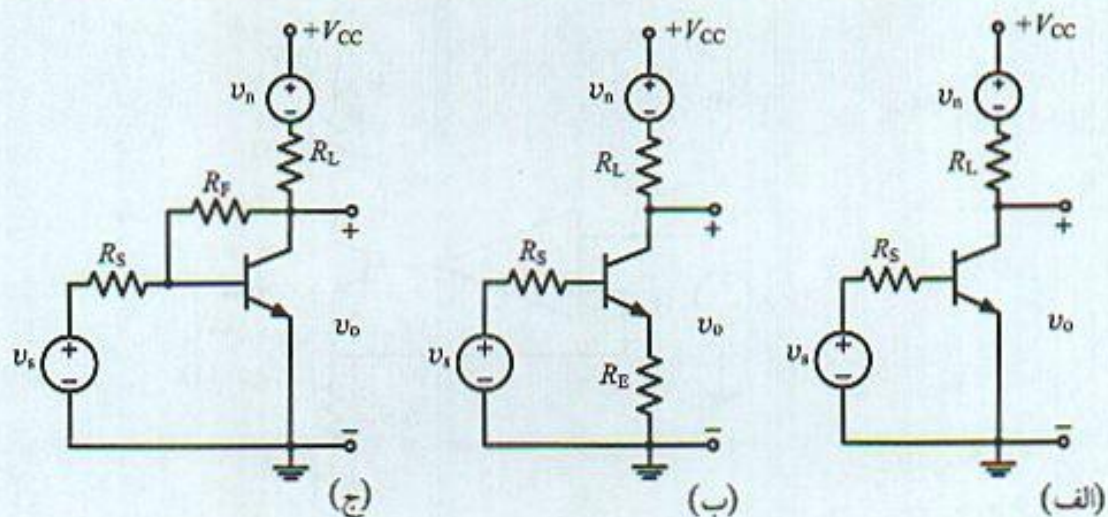
۴-۴۲) در تقویت‌کننده شکل (م ۴-۴۲ الف) فرض نمایید ولتاژ تغذیه دارای سیگنال اضافی است که به صورت منبع سری با تغذیه در نظر گرفته شده است.

الف) در این مدار نسبت خروجی  $v_{o1}$  به  $v_{o2}$  را بدست آورید.  $v_{o1}$  سیگنال خروجی در اثر منبع ورودی وقتی سیگنال اضافی صفر است و  $v_{o2}$  سیگنال خروجی در اثر منبع  $v_n$  است (سیگنال ورودی در این حالت صفر است).

ب) این نسبت را برای مدار شکل (م ۴-۴۲ ب) نیز بدست آورید و نشان دهید نسبت به حالت الف) بهبود یافته است.

۴-۴۳) مسئله (۴-۴۲) را برای مدار شکل (م ۴-۴۲ ج) تکرار کنید.





شکل (م ۴-۴۲)





## ناپایداری تقویت کننده‌های فیدبک

### مقدمه

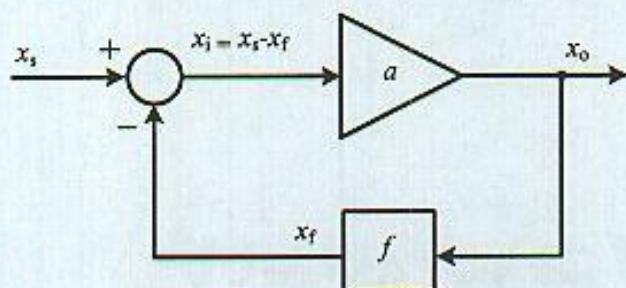
در فصل قبل اثر فیدبک بر مشخصات تقویت کننده‌ها در باند میانی بررسی شد. استفاده از فیدبک منفی باعث تثبیت بهره، عدم حساسیت به مشخصات عناصر فعال، کاهش اعوجاج، تغییر امپدانس ورودی و خروجی می‌شود. هم‌چنین اشاره مختصری به مساله ناپایداری در این تقویت کننده‌ها شد. در مورد اینکه چرا تقویت کننده‌ای ممکن است ناپایدار شود باید گفت اساساً طرح تقویت کننده‌های فیدبک در باند میانی است و از اثر خازنهای ترانزیستور در این باند صرف‌نظر می‌شود. اما در فرکانسهای بالا بعلت وجود این خازنها، علاوه بر فیدبک موجود توسط شبکه فیدبک، این خازنها نیز مسیر فیدبک دیگری در تقویت کننده بوجود می‌آورند بطوریکه فیدبک کل به فیدبک مثبت تبدیل شده و باعث ناپایداری مدار می‌شود.

بررسی دقیق مساله پایداری در حالت کلی کار مشکلی است و لازم است جوابهای دقیق با استفاده از کامپیوتر بررسی شوند. بعلت محدودیت استفاده از کامپیوتر، به موازات آن روش تقریبی لازم است تا نکات عملی در طرح مدار مشخص شود. ابزارهایی که در بررسی تقریبی مدارهای فیدبک استفاده می‌شود مکان هندسی ریشه‌ها (Root locus) و نمودارهای پد (Bode Plots) هستند. در این فصل اثر فیدبک منفی بر روی پاسخ فرکانسی مدار و خصوصاً مساله ناپایداری بررسی می‌شود. در فصل‌های بعدی روش جبران و چگونگی حل مساله ناپایداری مطرح خواهد شد.



## ۱-۵ ناپایداری تقویت‌کننده‌های فیدبک

شکل (۱-۵) شمای کلی تقویت‌کننده فیدبک منفی را نشان می‌دهد که در آن سیگنال فیدبک شده در ورودی از سیگنال ورودی کم می‌شود.



شکل ۱-۵ شمای کلی تقویت‌کننده فیدبک

$a(s)$  تابع انتقال تقویت‌کننده اصلی و  $f_o$  تابع انتقال مدار فیدبک و این توابع انتقال مستقل از هم قرض می‌شوند. در چند حالت خاص تابع انتقال  $a(s)$ ، اثر فیدبک منفی بر مشخصات تقویت‌کننده اصلی بررسی می‌شود. در این بررسی ضریب فیدبک  $f_o$  مستقل از فرکانس فرض می‌شود.

### ۱-۱-۵ تقویت‌کننده اصلی با یک قطب

بعنوان اولین مثال فرض می‌شود تقویت‌کننده اصلی دارای یک قطب در  $s_a$ ، در سمت چپ محور حقیقی و با بهره باند میانی  $a_o$  است. بنابراین تابع انتقال تقویت‌کننده اصلی:

$$a(s) = \frac{a_o}{1 + \frac{s}{s_a}}$$

است. تابع انتقال کلی تقویت‌کننده با فیدبک (مدار بسته):

$$A(s) = \frac{a(s)}{1 + a(s)f_o} \quad (۱-۵ \text{ الف})$$

است که می‌توان آنرا بصورت

$$A(s) = \frac{A_o}{1 + \frac{s}{s_1}} \quad (۱-۵ \text{ ب})$$

نشان داد که در آن

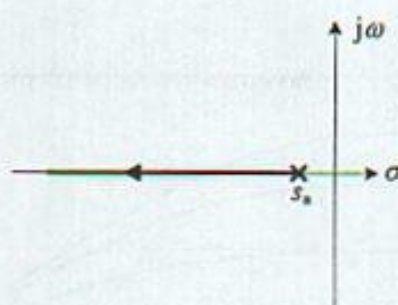
$$A_o = \frac{a_o}{1 + a_o f_o}, \quad s_1 = s_a (1 + a_o f_o) \quad (۱-۵ \text{ ج})$$

از روابط فوق نتایج زیر را می‌توان دید:

- بهره باند میانی با ضریب  $D_o = 1 + a_o f_o$  کاهش یافته است.
- پهنای باند تقویت‌کننده با فیدبک:

$$\omega_{HF} = |s_1| = (1 + a_o f_o) |s_a| = D_o \omega_H \quad (۲-۵)$$





شکل ۲-۵ مکان هندسی  
ریشه‌های تقویت‌کننده فیدبک یک  
قطبی با تغییر فیدبک

$\omega_H$  پهنای باند تقویت‌کننده اصلی است.

- با افزایش مقدار فیدبک قطب تابع انتقال مدار بسته از مبدا دور و پهنای باند افزایش می‌یابد. شکل (۲-۵) مکان هندسی قطب تابع انتقال مدار بسته را با افزایش فیدبک نشان می‌دهد.
- اعمال فیدبک قطب را به سمت راست صفحه  $s$  نمی‌برد. برای تمام مقادیر  $f$  تقویت‌کننده پایدار است.
- حاصلضرب بهره-پهنای باند GB (Gain-Bandwidth product) تقویت‌کننده با فیدبک با توجه به مقادیر بهره باند میانی و پهنای باند:

$$GB = A_o \omega_{HF} = a_o \omega_H \quad (۳-۵)$$

است. این حاصلضرب مقدار ثابتی است که فقط به تقویت‌کننده اصلی بستگی داشته و مستقل از مقدار فیدبک است.

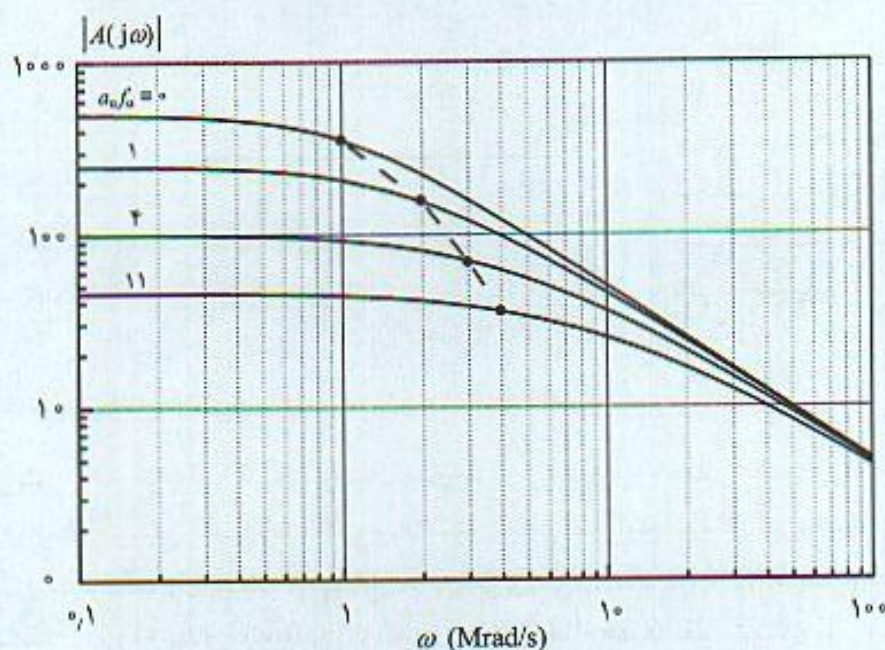
- شکل (۳-۵) پاسخ فرکانس  $A(j\omega)$  را برای مقادیر مختلف فیدبک برای تقویت‌کننده اصلی با بهره  $a_o = 1000$  و قطبی در  $|s_a| = 1$  نشان می‌دهد. ملاحظه می‌شود با افزایش فیدبک بهره کم شده و پهنای باند اضافه می‌شود.
- مساله عدم حساسیت تقویت‌کننده با فیدبک تا فرکانسی مطرح است که ضریب تقویت  $a(j\omega)$  بزرگ باشد بطوریکه بتوان از ۱ در مقابل  $af$  صرف‌نظر کرد. اما با افزایش فرکانس،  $a(j\omega)$  کم می‌شود و بنابراین عدم حساسیت مدار نسبت به پارامترهای تقویت‌کننده اصلی در فرکانسهای بالا نیز کم می‌شود. از شکل (۳-۵) ملاحظه می‌شود  $A(j\omega)$  برای فیدبکهای مختلف و در فرکانسهای بالا به یک مجانب ختم شده‌اند. در نتیجه می‌توان گفت تقویت‌کننده فیدبک در فرکانس بالا مانند تقویت‌کننده اصلی عمل می‌کند. علت آن است که با افزایش فرکانس  $a(j\omega)$  کم شده و در حد وقتی  $s \rightarrow \infty$ ،  $A(s)$  نیز به سمت  $a(s)$  میل می‌کند.

## ۲-۱-۵ تقویت‌کننده اصلی با دو قطب

با فرض دو قطب حقیقی در تقویت‌کننده اصلی، تابع انتقال آن بصورت:

$$a(s) = \frac{a_o}{\left(1 + \frac{s}{s_a}\right) \left(1 + \frac{s}{s_b}\right)}$$





شکل ۵-۳ پاسخ فرکانس تقویت‌کننده فیدبک با یک قطب

است. با اعمال فیدبک مقاومتی با ضریب  $f_0$ ، تابع انتقال تقویت‌کننده مدار بسته:

$$A(s) = \frac{a_0}{(1 + a_0 f_0) + a_1 s + a_2 s^2} = \frac{a_0}{T_0 + a_1 s + a_2 s^2} \quad (4-5)$$

که در آن

$$a_1 = \frac{1}{s_a} + \frac{1}{s_b}, \quad a_2 = \frac{1}{s_a s_b}, \quad T_0 = 1 + a_0 f_0$$

رابطه (۴-۵) را می‌توان بصورت:

$$A(s) = \frac{A_0}{1 + \frac{a_1}{T_0} s + \frac{a_2}{T_0} s^2} \quad (5-5)$$

نوشت که در آن  $A_0$  بهره باند میانی از رابطه (۵-۱) بدست می‌آید. قطب‌های تابع انتقال مدار بسته ریشه‌های معادله مشخصه می‌باشند.

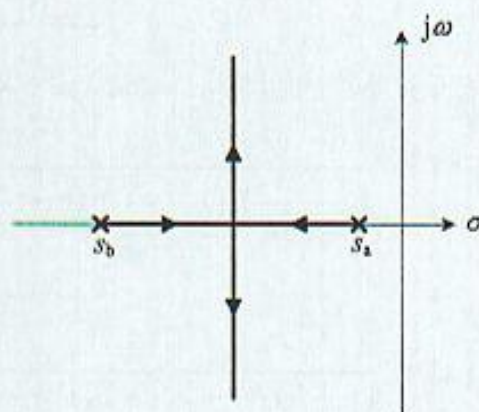
$$s^2 + \frac{a_1}{a_2} s + \frac{T_0}{a_2} = 0$$

تابع انتقال دارای دو ریشه  $s_1$  و  $s_2$  است که از رابطه (۵-۶) بدست می‌آیند.

$$s_1, s_2 = \frac{-a_1 \pm \sqrt{a_1^2 - 4 a_2 T_0}}{2 a_2} \quad (6-5)$$

به ازاء  $f_0 = 0$ ، مدار بدون فیدبک، قطب‌های  $s_1$  و  $s_2$  همان قطب‌های تقویت‌کننده اصلی  $s_a$  و  $s_b$  هستند. اما





شکل ۴-۵ مکان هندسی  
ریشه‌های تقویت‌کننده ۲ قطبی با تغییر  
فیدبک

با افزایش مقدار فیدبک ریشه‌های معادله فوق مختلط و مزدوج می‌شوند. شکل (۴-۵) مکان هندسی ریشه‌ها را برای مقادیر مختلف فیدبک نشان می‌دهد. از مکان هندسی ریشه‌های تابع انتقال مدار بسته ملاحظه می‌شود قطب‌ها به ازاء تمام مقادیر فیدبک در سمت چپ صفحه قرار گرفته و مدار با فیدبک همواره پایدار است.

تابع انتقال (۴-۵) را می‌توان به فرم سیستم‌های مرتبه دوم بصورت (۷-۵) نشان داد.

$$A(s) = \frac{A_0}{1 + \frac{1}{Q} \frac{s}{\omega_0} + \left(\frac{s}{\omega_0}\right)^2} \quad (7-5)$$

که در آن

$$\omega_0^2 = \frac{T_0}{a_r} = s_a s_b (1 + a_0 f_0), \quad Q = \frac{a_r}{a_1} (1 + a_0 f_0) \quad (8-5)$$

$\omega_0$  فرکانس نوسانات غیر میرا و  $Q$  فاکتور کیفیت (quality factor) نامیده می‌شود. رابطه  $Q$  با فاکتور میرایی  $\xi$  (damping factor) که عموماً در سیستم‌های کنترل بکار می‌رود بصورت (۹-۵) است.

$$Q = \frac{1}{2\xi} \quad (9-5)$$

محل قطب‌ها نیز از رابطه (۱۰-۵) :

$$s_1, s_2 = -\frac{\omega_0}{2Q} (1 \pm \sqrt{1 - 4Q^2}) \quad (10-5 \text{ الف})$$

بدست می‌آید. بسته به مقدار  $Q$  ریشه‌ها می‌توانند حقیقی و یا مختلط باشند. با توجه به رابطه (۱۰-۵) به ازاء  $Q \leq 0.5$  قطب‌ها همواره حقیقی هستند. به ازاء مقادیری از  $f_0$  که  $Q > 0.5$  شود، قطب‌ها مختلط و همواره دارای قسمت حقیقی  $\alpha$  و قسمت موهومی  $\beta$  هستند که از رابطه (۱۰-۵ ب) بدست می‌آید.

$$\alpha = -\frac{\omega_0}{2Q}, \quad \langle \beta \rangle = \frac{\omega_0}{2Q} \sqrt{4Q^2 - 1} \quad (10-5 \text{ ب})$$



### ۳-۱-۵ تقویت‌کننده اصلی با سه قطب

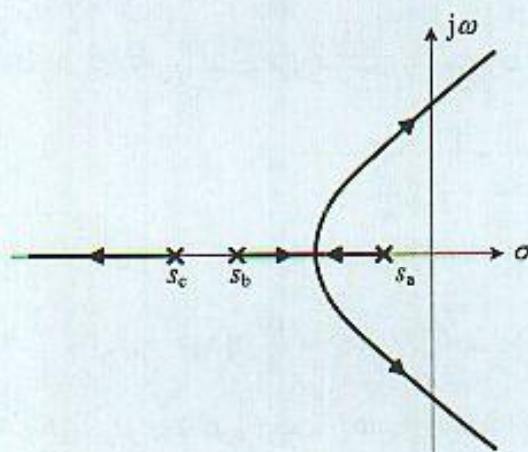
به عنوان آخرین مثال فرض شود تابع انتقال تقویت‌کننده اصلی دارای ۳ قطب و با رابطه (۱۱-۵) است.

$$a(s) = \frac{a_0}{\left(1 + \frac{s}{s_a}\right) \left(1 + \frac{s}{s_b}\right) \left(1 + \frac{s}{s_c}\right)} \quad (11-5)$$

با فرض فیدبک مقاومتی  $f_o$ ، تابع انتقال مدار بسته :

$$A(s) = \frac{a_0}{(1 + a_0 f_o) + a_1 s + a_2 s^2 + a_3 s^3} \quad (12-5)$$

این تابع انتقال همواره دارای یک قطب حقیقی است. دو قطب دیگر ممکن است حقیقی و یا مختلط باشند. برای مقادیر بزرگ  $a_0 f_o$  این ۲ قطب مختلط شده و مکان هندسی بصورت شکل (۵-۵) خواهد بود. از این شکل مشخص است که برای مقادیر فیدبک زیاد ممکن است قطب‌ها به سمت راست صفحه  $s$  منتقل شده و تقویت‌کننده ناپایدار شود.



شکل ۵-۵ مکان هندسی ریشه‌های تقویت‌کننده فیدبک با تقویت‌کننده اصلی شامل ۳ قطب حقیقی

### ۲-۵ مکان هندسی ریشه‌ها با تغییر فیدبک

با توجه به بحث بخش قبل و مثالهای مطرح شده مشخص است که  $f_o$  و به عبارت دیگر بهره حلقه در باند میانی  $T_o = a_0 f_o$ ، تاثیر مهمی بر محل قطب‌های تقویت‌کننده مدار بسته دارد. بنابراین محل قطب‌ها و پاسخ فرکانس به مقدار فیدبک بستگی دارد. مساله مهم در طرح تقویت‌کننده‌ها آن است که چگونه تقویت‌کننده اصلی و ترکیب مدار فیدبک طراحی شوند تا در عین حال که ضریب عدم حساسیت به اندازه کافی بزرگ است، پاسخ فرکانس مناسب و قابل قبول نیز بدست آید. روش مهم در طرح تقویت‌کننده‌ها استفاده از مکان هندسی ریشه‌ها (root locus) مبتنی بر محل قطب‌های تابع انتقال مدار بسته  $A(s)$  بر حسب  $f_o$  در صفحه اعداد مختلط است. به کمک این روش مساله ناپایداری نیز مشخص می‌شود. با توجه به مکان قطب‌ها می‌توان بیشترین مقدار فیدبک  $f_{o(max)}$  که به ازاء آن قطب‌های مدار بسته به سمت راست صفحه  $s$  منتقل می‌شود را محاسبه کرد. در این شرایط مرز ناپایداری بدست می‌آید. در این بخش روش رسم مکان هندسی و قواعد لازم برای آن معرفی می‌شوند.



## ۵-۲-۱ قواعد رسم مکان هندسی

تابع انتقال تقویت‌کننده مدار بسته در حالت کلی

$$A(s) = \frac{a(s)}{1 + af(s)} = \frac{a(s)}{1 + T(s)} \quad (۱۳-۵)$$

است. قطب‌های تابع انتقال  $A(s)$  از حل معادله مشخصه  $1 + T(s) = 0$  بدست می‌آیند. برای رسم مکان هندسی لازم است این معادله به ازاء مقادیر مختلف فیدبک شود. حل معادله مشخصه فوق با توجه به اینکه مرتبه این معادله معمولاً بیش از ۲ است کار مشکلی است. از این جهت عمدتاً از قواعد ساده‌ای که برای رسم مکان هندسی وجود دارد استفاده می‌شود.

### ۱- نقاط شروع و پایان مکان هندسی

تابع انتقال (۱۳-۵) را می‌توان بصورت

$$A(s) = \frac{a_0 g(s)}{1 + a_0 f_0 g(s)} \quad (۱۴-۵)$$

نشان داد که در آن چند جمله‌ای  $g(s)$  یا بهره باند میانی  $1$  و  $a_0 f_0$  عدد حقیقی مثبت که بهره حلقه در باند میانی است. قطب‌های تابع انتقال  $A(s)$  ریشه‌های معادله  $a_0 f_0 g(s) = -1$  هستند. در دو حالت حدی شرایط زیر را می‌توان در نظر گرفت:

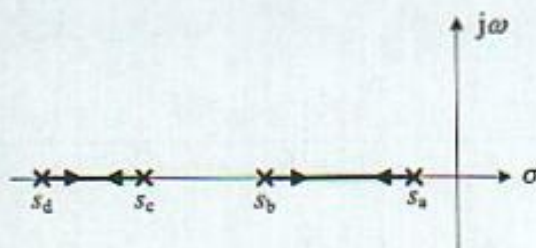
- برای مقادیر کوچک و مثبت  $a_0 f_0$  (مقادیر کم فیدبک)، در محل قطب  $A(s)$  لازم است  $g(s)$  خیلی بزرگ باشد. این مطلب به معنی آن است که مکان هندسی در محل قطب‌های  $g(s)$  است.
- برای مقادیر بزرگ  $f_0$  (فیدبک زیاد)، در محل قطب  $A(s)$  لازم است  $g(s)$  عدد کوچکی باشد. این مطلب به مفهوم آن است که مکان هندسی در این شرایط صفرهای چند جمله‌ای  $g(s)$  است.

بنابراین نقاط شروع مکان هندسی، قطب‌های  $g(s)$  است و نقاط پایانی مکان هندسی صفرهای تابع  $g(s)$  هستند.

### ۲- مکان هندسی روی محور حقیقی

بخش‌هایی از محور حقیقی که در سمت راست آنها تعدادی فرد صفر و قطب تابع بهره حلقه  $T(s)$  قرار دارد جزء مکان هندسی می‌باشند. شکل (۵-۶) مثالی از این قاعده را نشان می‌دهد.

شکل ۵-۶ مکان هندسی  
ریشه‌های روی محور اعداد حقیقی



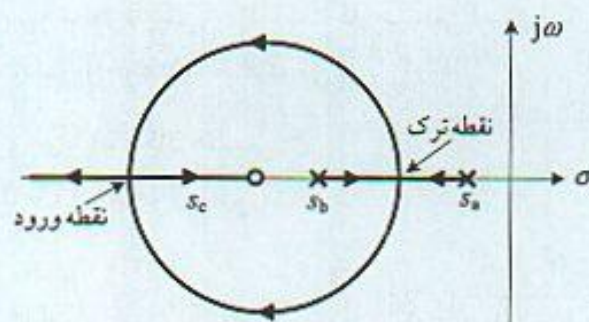


### ۳- تقارن نسبت به محور حقیقی

مکان هندسی نسبت به محور حقیقی متقارن است چون قطب‌های مختلط بصورت مزدوج ظاهر می‌شوند.

### ۴- تشکیل قطب‌های مختلط

بخش‌هایی از مکان هندسی روی محور حقیقی که بین دو قطب (دو صفر)  $T(s)$  واقع هستند، از نقاطی بنام نقاط ترک (نقاط ورود) و با زاویه خاصی از محور حقیقی جدا (وارد) می‌شود. شکل (۷-۵) مثالی از این قاعده را نشان می‌دهد. این نقاط در محل‌هایی واقعند که مجموع عکس بردارهای قطب  $T(s)$  تا این نقطه برابر مجموع عکس بردارهای صفر  $T(s)$  تا این نقاط باشند.



شکل ۷-۵ تشکیل قطب‌های مختلط در مکان هندسی ریشه‌ها

### ۵- تعداد مجانبهای مکان هندسی

مکان هندسی ریشه‌ها در بی‌نهایت به خطوط ثابتی بنام مجانب میل می‌کند. تعداد مجانبها  $N_p - N_z$  است که  $N_p$  تعداد قطب‌ها و  $N_z$  تعداد صفرهای  $T(s)$  می‌باشند. زاویه هر یک از مجانبها با محور حقیقی از رابطه

$$\frac{(2n-1)\pi}{N_p - N_z} \quad (۱۵-۵)$$

بدست می‌آید.

### ۶- فاصله متوسط قطب‌ها از محور موهومی

در بسیاری از تقویت‌کننده‌ها تعداد صفرها از تعداد قطب‌ها کمتر است و درجه تابع انتقال حداقل ۲ واحد کمتر از درجه مخرج آن است. به عبارت دیگر شکل کلی تابع انتقال مدار بسته :

$$A(s) = \frac{a(s)}{1 + a_0 f_0 \frac{b_0 s^{n-2} + b_1 s^{n-3} + b_2 s^{n-4} + \dots}{a_n s^n + a_{n-1} s^{n-1} + a_{n-2} s^{n-2} + \dots}} \quad (۱۶-۵ \text{ الف})$$

است و می‌توان آنرا بصورت رابطه (۱۶-۵) مرتب نمود.

$$A(s) = \frac{a(s)}{a_n s^n + a_{n-1} s^{n-1} + (a_{n-2} + b_0 f_0) s^{n-2} + \dots + (1 + a_0 f_0)} \quad (۱۶-۵ \text{ ب})$$

معادله مشخصه، مخرج تابع انتقال (۱۶-۵) ب) چند جمله‌ای مرتبه  $n$  با ضرایب ثابت است. بنابراین



مجموع قطب‌های تقویت‌کننده مدار بسته که مجموع ریشه‌های معادله مشخصه است از رابطه (۵-۱۷ الف) بدست می‌آید.

$$\text{مجموع ریشه‌ها} = \sum S_j = - \frac{a_{n-1}}{a_n} \quad (۵-۱۶ ب)$$

ملاحظه می‌شود به ازاء تمام مقدار فیدبک مجموع قطب‌ها ثابت و مستقل از  $f_0$  است. از آنجایی که قطب‌های مختلط مزدوج هم هستند در اینصورت مجموع قطب‌ها، مجموع بخش‌های حقیقی قطب‌ها خواهد بود.

$$\text{مجموع ریشه‌ها} = \sum \text{Re} [S_j] = - \frac{a_{n-1}}{a_n} \quad (۵-۱۶ ب)$$

معمولاً رابطه فوق بصورت مقدار متوسط نوشته می‌شود. با تقسیم طرفین رابطه فوق بر  $n$ ، تعداد قطب‌ها، در این صورت:

$$\frac{1}{n} \sum \text{Re} [S_j] = - \frac{a_{n-1}}{a_n} \quad (۵-۱۶ ب)$$

رابطه (۵-۱۶ ب) نشان می‌دهد متوسط قطب‌ها از محور  $j\omega$  مقداری است ثابت و مستقل از مقدار فیدبک و فقط به تقویت‌کننده اصلی بستگی دارد. به این نقطه که محل برخورد مجانبهای مکان هندسی نیز می‌باشد مرکز ثقل مکان هندسی (root locus centre) اطلاق می‌شود.

#### ۷- ثابت ماندن قطب‌های بزرگ

قاعده مهم در محاسبات مدارهای فیدبک، ثابت ماندن قطب‌های بزرگ است. به این معنی اگر قطب‌های تقویت‌کننده اصلی حقیقی و در نقاط پراکنده‌ای با فاصله نسبتاً زیاد از هم واقع باشند، با اعمال فیدبک به آن قطب‌های بزرگ تقریباً ثابت باقی و تغییرات زیادی نخواهند کرد. این قاعده همان مفهومی است که در بخش‌های قبل بحث شد. در فرکانسهای بالا با کاهش بهره تقویت‌کننده اصلی،  $af \ll 1$  و با توجه به رابطه فیدبک (۵-۱)، از  $af$  در مقابل "۱" می‌توان صرف‌نظر کرد. بنابراین در این محدوده فرکانسی  $A(s)$  به سمت  $a(s)$  میل می‌کند. این مطلب به مفهوم ثابت ماندن قطب‌های بزرگ تقویت‌کننده با تغییر فیدبک می‌باشد. باید توجه داشت در باند میانی و فرکانس‌های پایین که بهره  $a$  زیاد است از "۱" در مقابل  $af$  می‌توان صرف‌نظر نمود و  $A(s) \rightarrow \frac{1}{f_0}$  که نشان می‌دهد تثبیت مشخصات تقویت‌کننده فقط در این محدوده فرکانسی انجام می‌پذیرد.

#### مثال ۵-۱

در یک تقویت‌کننده با فیدبک مقاومتی ( $f_0$  مستقل از فرکانس) تابع انتقال تقویت‌کننده اصلی:

$$a(s) = \frac{100}{\left(1 + \frac{s}{s_a}\right) \left(1 + \frac{s}{s_b}\right) \left(1 + \frac{s}{s_c}\right)}$$

است که در آن  $s_c = 4 (\mu s)^{-1}$  و  $s_b = 2 (\mu s)^{-1}$ ،  $s_a = 1 (\mu s)^{-1}$  است.



الف) مکان هندسی ریشه‌های تقویت‌کننده‌های فیدبک را رسم کنید.

ب) در مورد ناپایداری آن بحث کنید.

تابع انتقال بهره حلقه مدار:

$$T(s) = \frac{100 f_0}{\left(1 + \frac{s}{1}\right) \left(1 + \frac{s}{2}\right) \left(1 + \frac{s}{4}\right)}$$

است که در آن  $s$  با واحد  $(\mu s)^{-1}$  است. تابع انتقال ۳ قطبی و فاقد صفر است. بنابراین مکان هندسی ریشه‌های تقویت‌کننده با فیدبک از ۳ قطب تقویت‌کننده اصلی شروع می‌شود. مکان هندسی دارای ۳ مجانب است که با استفاده از قواعد ذکر شده در بخش قبل دارای زوایای  $\pm 60^\circ$  و  $180^\circ$  با محور حقیقی هستند. با استفاده از قاعده ۶ رسم مکان هندسی، محل برخورد مجانبها و یا مرکز ثقل مکان هندسی:

$$\frac{1}{n} \sum \text{Re} [s_j] = - \frac{s_a + s_b + s_c}{3} = - \frac{7}{3} = - 2,33 (\mu s)^{-1}$$

است. برای بدست آوردن نقطه ترک مکان هندسی از قاعده ۴ استفاده می‌شود. با فرض اینکه این نقطه در  $\sigma$  باشد چون  $T(s)$  فاقد صفر است لازم است مجموع عکس بردار قطب‌های آن تا  $\sigma$  صفر باشد. بنابراین:

$$\frac{1}{\sigma + 1} + \frac{1}{\sigma + 2} + \frac{1}{\sigma + 4} = 0$$

حل این معادله نشان می‌دهد که در  $\sigma = -1,45 (\mu s)^{-1}$  مکان هندسی از محور حقیقی جدا می‌شود. با استفاده از نکات فوق می‌توان مکان هندسی را با دقت مناسبی رسم نمود که در شکل (۵-۸) ترسیم شده است. برای بررسی شرایط پایداری مقداری از فیدبک  $\nu_{(max)}$  که مکان هندسی محور  $j\omega$  را قطع و پس از آن قطب‌ها دارای قسمت حقیقی مثبت می‌شوند، مرز ناپایداری تقویت‌کننده، تعیین می‌شود. قطب‌های تابع انتقال مدار بسته ریشه‌های معادله مشخصه است.

بنابراین:

$$1 + T(s) = 1 + \frac{100 f_0}{\left(1 + \frac{s}{1}\right) \left(1 + \frac{s}{2}\right) \left(1 + \frac{s}{4}\right)} = 0$$

و معادله مشخصه:

$$(1 + s) \left(1 + \frac{s}{2}\right) \left(1 + \frac{s}{4}\right) + 100 f_0 = 0$$

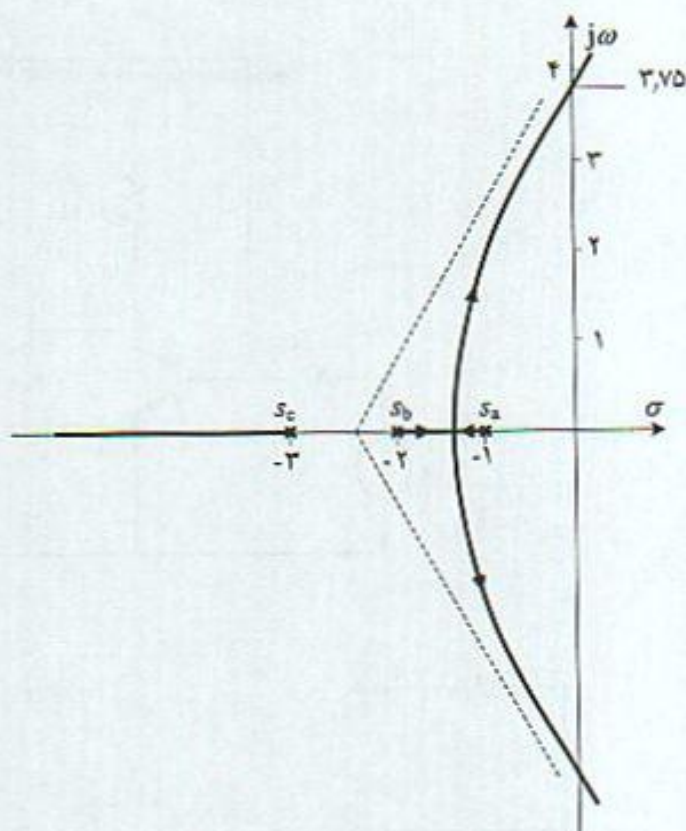
با ساده کردن معادله فوق رابطه:

$$s^3 + 7s^2 + 14s + 8(1 + 100 f_0) = 0$$

بدست می‌آید. با قرار دادن  $s = j\omega$  در معادله مشخصه، نقطه برخورد مکان هندسی با محور  $j\omega$  و به عبارت بهتر مرز پایداری مدار بدست می‌آید.

$$-j\omega^3 - 7\omega^2 + j14\omega + 8(1 + 100 f_0) = 0$$





شکل ۸-۵ مکان هندسی  
ریشه‌های مثال (۱-۵)

با صفر قرار دادن بخش‌های موهومی و حقیقی معادله فوق:

$$-j\omega^2 + j14\omega = 0 \Rightarrow \omega = 0, \omega = 3.741 \text{ Mrad/s}$$

$$-7\omega^2 + 8(1 + 100f_o) = 0 \Rightarrow f_o = 0.1125$$

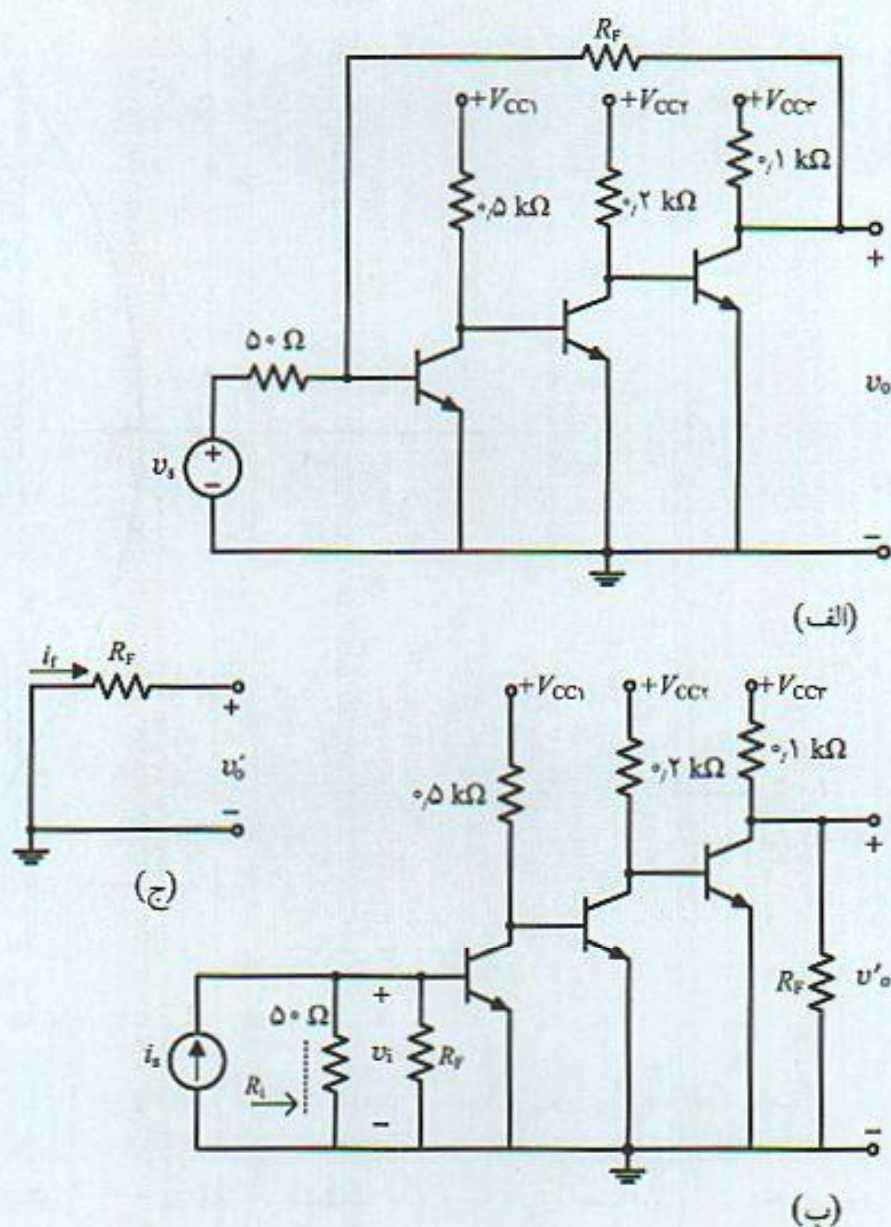
در نتیجه به ازاء  $f_o(\max) = 0.1125$  تقویت‌کننده مدار بسته دارای قطب‌هایی روی محور  $j\omega$  و گفته می‌شود مدار در مرز ناپایداری واقع شده است. چنانچه مقدار فیدبک دقیقاً مقدار  $0.1125$  قرار داده شود مدار دارای نوساناتی با فرکانس  $\omega = 3.741 \text{ Mrad/s}$  خواهد بود. حداکثر ضریب عدم حساسیت ممکن در این تقویت‌کننده  $D_o(\max) = a_o f_o(\max) = 11.25$  است. در حل معادلات فوق ۲ جواب برای  $\omega$  بدست آمده است و  $\omega = 0$  جزء مکان هندسی نیست. به همین علت در محاسبات بعدی در نظر گرفته نشده است.

#### مثال ۲-۵

شکل (۹-۵) تقویت‌کننده سه طبقه با فیدبک ولتاژ-موازی را نشان می‌دهد. طرح این تقویت‌کننده در باند میانی در فصل چهارم و در مثال (۱۰-۴) مطرح شد. مشخص شد برای ضریب حساسیت ۷۱ لازم است مقدار فیدبک  $f_o = -0.2 \text{ m}\Omega^{-1}$  انتخاب شود. در این مثال شرایط ناپایداری آن بررسی می‌شود.

محاسبات کامپیوتری دقیق در مورد تقویت‌کننده اصلی نشان می‌دهد که دارای قطب‌هایی در نقاط:





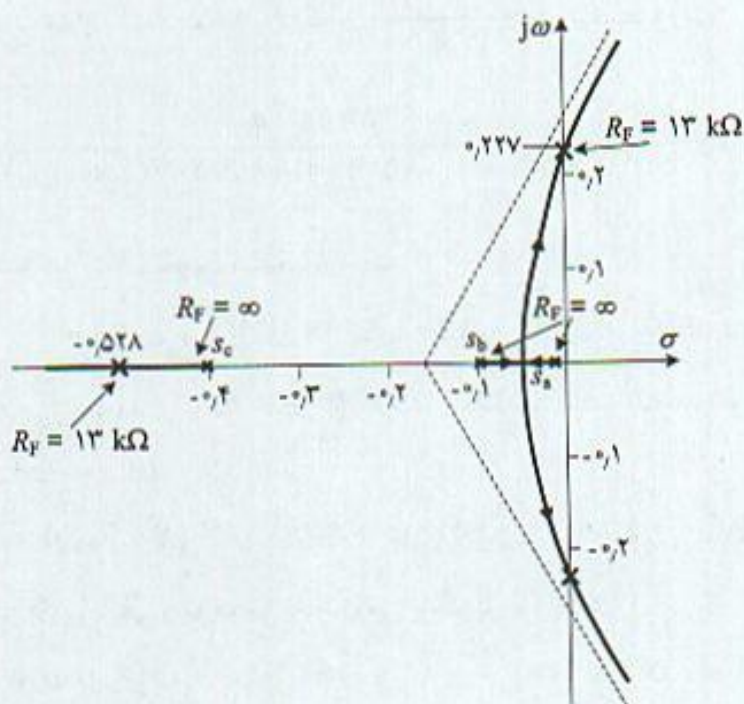
شکل ۹-۵ تقویت کننده ۳ طبقه با فیدبک ولتاژ- موازی: (الف) مدار با فیدبک، (ب) تقویت کننده بدون فیدبک، (ج) مدار معادل فیدبک

$$s_a = -0.0251 \text{ (ns)}^{-1}, \quad s_b = -0.946 \text{ (ns)}^{-1}, \quad s_c = -0.409 \text{ (ns)}^{-1}$$

$$s_d = -9.58 \text{ (ns)}^{-1}, \quad s_e = -18.22 \text{ (ns)}^{-1}, \quad s_f = -28.56 \text{ (ns)}^{-1}$$

و با بهره باند میانی  $a_0 = -354 \text{ k}\Omega$  است. هم چنین دارای ۳ صفر در  $s_{zi} = \frac{g_{mi}}{C_{pi}}$  و در سمت راست صفحه  $s$  است که در فاصله بسیار دور از محور  $j\omega$  قرار دارند. این صفرها در باند فرکانس مورد نظر تاثیر عمده ای ندارند و عموماً در محاسبات از آنها صرف نظر می شود. مدار معادل تقویت کننده اصلی و مدار فیدبک بترتیب در شکل های (۹-۵ ب) و (۹-۵ ج) نشان داده شده اند.





شکل ۱۰-۵ مکان هندسی ریشه‌های تقویت‌کننده با فیدبک مثال (۲-۵)

از آنجایی که فاصله قطب‌ها زیاد است با استفاده از قاعده ۷ و برای مقادیر معمولی فیدبک می‌توان گفت قطب‌های بزرگ  $s_a$ ،  $s_b$  و  $s_c$  تغییرات زیادی نخواهند داشت. بنابراین می‌توان مکان هندسی را تنها برای ۳ قطب کوچکتر که تأثیر بیشتری داشته و تغییرات آنها با فیدبک قابل ملاحظه است را در نظر گرفت. نکته لازم به ذکر آن است که در این محاسبات مقدار مقاومت  $R_F$  مشخص نیست. در رسم مکان هندسی تغییرات محل قطب‌ها بر حسب  $R_F$  رسم می‌شود اما با توجه به شکل (۹-۵) مقاومت  $R_F$  در ورودی و خروجی تقویت‌کننده اثر بارگذاری دارد. بنابراین محل قطب‌ها و بهره باند میانی با  $R_F$  تا حدودی تغییر می‌کند و محاسبات با خطای جزئی همراه است. اما با فرض:

$$R_F \gg R_{Lr}, \quad R_F \gg r_{x1} + r_{\pi1}$$

اثر بارگذاری مقاومت فیدبک بر تقویت‌کننده اصلی قابل صرف‌نظر است و می‌توان مکان قطب‌ها را با این فرض و برای ۳ قطب کوچکتر رسم نمود. مقدار متوسط ۳ قطب موثر  $(ns)^{-1}$   $-0.176$  است. از آنجایی که قطب  $s_2$  روی محور حقیقی و به سمت چپ حرکت می‌کند، لازم است برای ثابت بودن متوسط قطب‌ها، دو قطب دیگر  $s_1$  و  $s_2$  به سمت راست حرکت کنند. در نتیجه با توجه به قواعد مطرح شده در مورد مکان هندسی، مکان قطب‌ها بصورت شکل (۱۰-۵) رسم می‌شود. با توجه به ۳ قطب کوچکتر، تابع انتقال تقویت‌کننده اصلی:

$$a(s) = \frac{a_0}{\left(1 + \frac{s}{0.0251}\right) \left(1 + \frac{s}{0.0943}\right) \left(1 + \frac{s}{0.409}\right)}, \quad a_0 = -354 \text{ k}\Omega$$



تابع انتقال تقویت‌کننده مدار بسته با توجه به رابطه  $A(s) = \frac{a(s)}{1 + a f_o(s)}$  بصورت:

$$A(s) = \frac{9,68 \times 10^{-2} a_o}{s^3 + 0,528 s^2 + 0,0516 s + 9,68 \times 10^{-2} (1 + a_o f_o)}$$

است. معادله مشخصه تابع انتقال تقویت‌کننده با فیدبک:

$$s^3 + 0,528 s^2 + 0,0516 s + 9,68 \times 10^{-2} (1 + a_o f_o) = 0$$

می‌باشد. برای تعیین مرز ناپایداری با قرار دادن  $s = j\omega$  در معادله مشخصه نقاط برخورد مکان هندسی با محور  $j\omega$  تعیین می‌شود. بنابراین:

$$-j\omega^3 - 0,528 \omega^2 + 0,0516 j\omega + 9,68 \times 10^{-2} (1 + a_o f_o) = 0$$

دو معادله برای بخش‌های حقیقی و موهومی بدست می‌آید که با حل آنها:

$$-j\omega^3 + 0,0516 \omega = 0 \quad \Rightarrow \quad \omega^2 = 0,0516, \quad \omega = 0,227 \text{ Grad/s}$$

$$-0,528 \omega^2 + 9,68 \times 10^{-2} D_o = 0 \quad \Rightarrow \quad D_o = 28,15$$

بنابراین به ازاء ضریب عدم حساسیت ۲۸,۱۵ تقویت‌کننده در مرز ناپایداری واقع می‌شود. دو قطب روی محور  $\omega$  و قطب سوم روی محور حقیقی و در  $s_3 = -0,528$  قرار می‌گیرد. در این شرایط ضریب عدم حساسیت و فیدبک  $f_o(\max)$ :

$$D_o(\max) = 28,151, \quad a_o f_o(\max) = D_o - 1 = 27,15, \quad f_o(\max) = \frac{27,15}{a_o} = -0,0767 \text{ m}\Omega^{-1}$$

مقاومت لازم به ازاء این مقدار فیدبک با توجه به مقدار بهره باند میانی  $-354 \text{ k}\Omega$ :

$$R_F = -\frac{1}{f_o} = -\frac{1}{-0,0767 \text{ m}\Omega^{-1}} = 13 \text{ k}\Omega$$

بدست می‌آید. بنابراین به ازاء مقاومت فیدبک  $13 \text{ k}\Omega$  تقویت‌کننده در مرز ناپایداری قرار می‌گیرد و این مقدار حداقل مقاومتی است که می‌توان در تقویت‌کننده بکار برد. بر مبنای ضریب عدم حساسیت مورد نظر ۷۱ که به ازاء مقاومت فیدبک  $R_F = 5 \text{ k}\Omega$  بدست می‌آید اساساً تقویت‌کننده ناپایدار و قطب‌ها سمت راست صفحه  $s$  قرار می‌گیرد. برای اطمینان از محاسبات فوق می‌توان از طریق برنامه‌های کامپیوتری محل قطب‌های تابع انتقال مدار بسته  $A(s)$  را برای مقادیر مختلف  $G_F$  بدست آورد. جدول (۵-۱) محل قطب‌های تقویت‌کننده را در این شرایط نشان می‌دهد. با توجه به قطب‌های  $s_+$ ،  $s_0$  و  $s_-$  می‌توان گفت که قطب‌های بزرگتر بدون تغییر مانده‌اند.



جدول ۱-۵ محل قطب‌های تقویت‌کننده مثال (۲-۵) با تغییر فیدبک

$G_F (\Omega^{-1})$	$R_F (k\Omega)$	$s_1$	$s_2$	$s_3$	$s_4$	$s_5$	$s_6$
۰	$\infty$	-۰٫۰۲۵۱	-۰٫۰۹۴	-۰٫۴۰۹	-۹٫۵۵	-۱۸٫۲۲	-۲۸٫۵۶
۰٫۰۰۰۱	۱۰۰۰	-۰٫۰۴۵	-۰٫۰۷۱	-۰٫۴۱۲	-۹٫۵۵	-۱۸٫۲۲	-۲۸٫۵۶
۰٫۰۰۲۵	۴۰۰	-۰٫۰۵۶	$\pm j۰٫۰۳۶$	-۰٫۴۱۷	-۹٫۵۵	-۱۸٫۲۲	-۲۸٫۵۶
۰٫۰۰۵	۲۰۰	-۰٫۰۵۲	$\pm j۰٫۰۶۱$	-۰٫۴۲۴	-۹٫۵۵	-۱۸٫۲۲	-۲۸٫۵۶
۰٫۰۰۹۳	۱۰۷٫۵	-۰٫۰۴۷	$\pm j۰٫۰۸۷$	-۰٫۴۳۵	-۹٫۵۵	-۱۸٫۲۲	-۲۸٫۵۶
۰٫۰۴۶	۲۱٫۷	-۰٫۰۱۲	$\pm j۰٫۱۸۴$	-۰٫۵۰۴	-۹٫۵۵	-۱۸٫۲۲	-۲۸٫۵۶

### ۳-۵ بررسی ناپایداری در میدان فرکانس

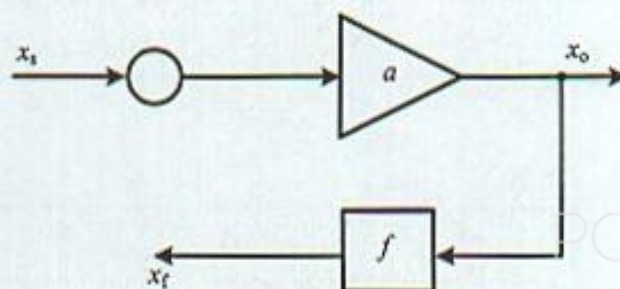
در بخش‌های قبل مساله ناپایداری تقویت‌کننده‌های فیدبک با استفاده از مکان هندسی ریشه‌ها بررسی شد. محدودیت مهم این روش آن است که لازم است محل صفر و قطب تابع انتقال  $a(s)$  و یا  $T(s)$  معلوم باشند تا بتوان مکان هندسی را رسم و پایداری را بررسی نمود. روش دیگری که عموماً برای بررسی ناپایداری بکار می‌رود استفاده از پاسخ فرکانس بهره حلقه  $T(j\omega)$  است. با رسم نمودارهایی مانند نایکویست (Nyquist) و یا بد (Bode) در حالت دائمی سینوسی بررسی پایداری تقویت‌کننده انجام می‌شود. مهمترین خصوصیت این روش آن است که نیازی به دانستن محل صفر و قطب نیست و با اندازه‌گیری پاسخ فرکانس تقویت‌کننده در آزمایشگاه می‌توان محاسبات را انجام داد. تابع انتقال تقویت‌کننده فیدبک را بار دیگر در رابطه (۱۸-۵) در نظر گرفته:

$$A(s) = \frac{a(s)}{1 + a f(s)} \quad (18-5)$$

و تابع انتقال بهره حلقه مدار باز تقویت‌کننده بصورت:

$$T(s) = \frac{X_F(s)}{X_i(s)} = a f(s) \quad (19-5)$$

است. رابطه (۱۹-۵) نشان دهنده نسبت مقدار سیگنال فیدبک به سیگنال ورودی است در حالی که حلقه فیدبک در ورودی باز شده و اثر بارگذاری مدار فیدبک بر تقویت‌کننده اصلی در نظر گرفته شده باشد. شکل (۱۱-۵) این شرایط و تعریف بهره حلقه مدار باز را نشان می‌دهد.



شکل ۱۱-۵ تقویت‌کننده فیدبک با حلقه باز شده



در حالت کلی بهره حلقه در فرکانس  $s = j\omega$  عددی مختلط شامل قدر مطلق و فاز با رابطه (۲۰-۵) است.

$$T(j\omega) = a(j\omega) f(j\omega) = |a(j\omega) f(j\omega)| \angle a(j\omega) f(j\omega) \quad (20-5)$$

فرکانسی را در نظر بگیرید که در آن زاویه فاز بهره حلقه  $\pm 180^\circ$  شود، این فرکانس عموماً با  $\omega_c$  نشان داده شده و phase cross over frequency نامیده می‌شود. در این فرکانس عبارت بهره حلقه مدار:

$$\angle a(j\omega) f(j\omega) = \pm 180^\circ \quad |T(j\omega_c)| = -|a(j\omega) f(j\omega)| \quad (21-5)$$

عددی حقیقی و منفی است. در فرکانس  $\omega_c$  سیگنال فیدبک  $x_f$  مضربی از سیگنال ورودی و  $180^\circ$  با آن اختلاف فاز دارد. از آنجایی که در تقویت‌کننده اصلی سیگنال فیدبک از سیگنال ورودی کم می‌شود، بنابراین اساساً سیگنال فیدبک با ورودی هم فاز شده و فیدبک منفی به فیدبک مثبت تبدیل می‌شود. از رابطه (۱۸-۵) مشخص است اگر  $|T(j\omega_c)| < 1$  باشد در نتیجه بهره تقویت‌کننده مدار بسته مقداری بیش از بهره تقویت‌کننده اصلی خواهد بود.

$$|A(j\omega_c)| > |a(j\omega_c)|$$

چون در مخرج رابطه (۱۸-۵) قدر مطلق  $T(j\omega)$  از  $1^\circ$  کمتر می‌شود. بنابراین بهره تقویت‌کننده مدار بسته عددی بزرگتر از بهره تقویت‌کننده اصلی و البته مقداری محدود است. اما در شرایطی که در فرکانس  $\omega_c$  بهره حلقه  $T(j\omega)$  دقیقاً مساوی  $1^\circ$  شود، در اینصورت با توجه به رابطه (۱۸-۵)، بهره تقویت‌کننده مدار بسته  $A(j\omega)$  نامحدود می‌شود. سیگنال خروجی تقویت‌کننده:

$$X_o(s) = X_i(s) A(j\omega_c) \quad (22-5)$$

است. با توجه به نامحدود شدن بهره تقویت‌کننده با فیدبک در فرکانس بحرانی  $\omega_c$ ، حتی بدون سیگنال ورودی، خروجی می‌تواند سیگنال سینوسی با دامنه قابل ملاحظه باشد. در این شرایط تقویت‌کننده نوسانی شده و مدار به نوسان‌ساز (oscillator) تبدیل می‌شود.

برای بررسی چگونگی ایجاد نوسان در یک مدار با فیدبک، باید در نظر داشت علاوه بر سیگنال ورودی، در ورودی تقویت‌کننده نویز نیز وجود دارد. این نویز بنام نویز سفید (white noise) نامیده شده و در اثر منبع تغذیه و نویز عناصر فعال در مدار ایجاد می‌شود. این نویز دارای پهنای باند وسیع و از جمله دارای مولفه‌هایی حوالی فرکانس  $\omega_c$  است. این مولفه‌ها در تقویت‌کننده اصلی تقویت شده و از طریق مدار فیدبک به ورودی تقویت‌کننده برگشت داده می‌شوند و چون هم فاز با نویز اولیه هستند با آن جمع شده بار دیگر در تقویت‌کننده اصلی تقویت شده و به ورودی فیدبک می‌شوند. این سیکل بسته آنقدر ادامه می‌یابد تا نوساناتی پایدار در خروجی بوجود آید.

سوالی که مطرح می‌شود آن است که اگر بهره حلقه بیش از  $1^\circ$  شود چه اتفاقی می‌افتد؟ در این مورد باید گفت در این شرایط و در ابتدای کار که منبع تغذیه به مدار وصل می‌شود نوسانات با فرکانس  $\omega_c$  شروع شده



و دامنه آن رفته رفته زیاد می‌شود. این افزایش دامنه تا زمانی که خواص غیر خطی عناصر فعال مدار بوجود نیامده و در عبارت ساده (۵-۱۸) در نظر گرفته نشده است ادامه می‌یابد. با ایجاد شرایط غیر خطی و کاهش بهره عناصر فعال بهره حلقه مدار کم شده و در نهایت بهره حلقه به مقدار  $1^*$  محدود می‌شود.

### مثال ۵-۵

در تقویت‌کننده‌ای با فیدبک تابع انتقال تقویت‌کننده اصلی بصورت زیر و در آن  $s$  با واحد  $s^{-1}$  است.

$$A(s) = \frac{1000}{\left(1 + \frac{s}{10^4}\right)^3}$$

الف) فرکانس  $\omega_c$  را مشخص کنید.

ب) با فرض فیدبک  $f_0$  مقادیری از فیدبک را مشخص کنید که تقویت‌کننده پایدار باشد.

الف) بهره حلقه در مورد این تقویت‌کننده :

$$T(s) = a f_0(s) = \frac{1000 f_0}{\left(1 + \frac{s}{10^4}\right)^3}$$

و عبارت زاویه بهره حلقه :

$$\angle T(j\omega) = \angle 1000 f_0 - \angle \left(1 + \frac{j\omega}{10^4}\right)^3$$

در مدارها با فیدبک منفی زاویه عبارت بهره حلقه در باند میانی مساوی صفر است،  $\angle a_0 f_0 = 0$ ، بنابراین عبارت ساده شده فاز بهره حلقه :

$$\angle T(j\omega) = -3 \angle 1 + \frac{j\omega}{10^4} = -3 \tan^{-1} \frac{\omega}{10^4}$$

فرکانسی که در آن زاویه بهره حلقه  $\pm 180^\circ$  شود فرکانس  $\omega_c$  است. بنابراین :

$$-3 \tan^{-1} \frac{\omega_c}{10^4} = -180^\circ \Rightarrow \omega_c = \sqrt{3} \times 10^4 \text{ rad/s}$$

ب) به ازاء مقادیری از فیدبک تقویت‌کننده پایدار است که مقدار بهره حلقه در فرکانس  $\omega_c$  کوچکتر از  $1^*$  باشد. در نتیجه :

$$|T(j\omega_c)| = |a f_0(j\omega_c)| = \left| \frac{1000 f_0}{\left(1 + \frac{j\omega_c}{10^4}\right)^3} \right| \Rightarrow f_0 < 0.0008$$

به ازاء فیدبک مقاومتری کمتر از  $0.0008$  تقویت‌کننده پایدار و به ازاء  $f_0 \geq 0.0008$  تقویت‌کننده ناپایدار است.



## ۴-۵ معیارهای پایداری در میدان فرکانس

### ۱-۴-۵ حاشیه بهره

از معیارهای مهم در میدان فرکانس برای بیان وضعیت ناپایداری مدار با فیدبک، حاشیه بهره (Gain Margin) است و با  $GM$  نشان داده می‌شود. طبق تعریف:

$$GM = \frac{1}{|T(j\omega_c)|} \quad (23-5)$$

و بر حسب دسیبل (dB):

$$GM_{dB} = -20 \log |T(j\omega_c)| \quad (24-5)$$

$\omega_c$  فرکانسی است که در آن زاویه بهره حلقه  $\pm 180^\circ$  شده، فیدبک منفی به مثبت تبدیل می‌شود. معیار  $GM$  نشان می‌دهد که چه مقدار قدر مطلق بهره حلقه  $|T(j\omega_c)|$  در فرکانس بحرانی  $\omega_c$  به  $1$  نزدیک است. هرچه  $GM$  بزرگتر باشد مدار از مرز پایداری دورتر و تقویت‌کننده پایدارتر است. برعکس هر چه  $GM$  به  $1$  نزدیک‌تر باشد مدار به شرایط ناپایداری نزدیک‌تر خواهد بود.

### ۲-۴-۵ حاشیه فاز

معیار دیگری که برای بیان وضعیت ناپایداری بکار می‌رود حاشیه فاز (phase margin) است. قبل از تعریف این پارامتر فرکانسی را در نظر بگیرید که در آن بهره حلقه  $|T(j\omega)| = 1$  شود، این فرکانس با  $\omega_g$  نشان داده می‌شود و طبق تعریف:

$$\omega_g: |T(j\omega_g)| = 1 \text{ یا } 0 \text{ dB} \quad (25-5)$$

به فرکانس  $\omega_g$  phase cross over frequency گفته می‌شود. چنانچه در این فرکانس زاویه فاز  $180^\circ$  شود تقویت‌کننده ناپایدار است. چون در این شرایط فیدبک منفی به مثبت تبدیل شده و تقویت‌کننده در مرز ناپایداری قرار می‌گیرد. چنانچه زاویه فاز در فرکانس  $\omega_g$  کمتر از  $180^\circ$  باشد تقویت‌کننده پایدار است. معیار  $PM$  نشان دهنده اختلاف فاز زاویه فاز در فرکانس  $\omega_g$  با مقدار  $180^\circ$  است. طبق تعریف:

$$PM = 180^\circ + \phi, \quad \phi = \angle T(j\omega_g), \quad |T(j\omega_g)| = 1 \quad (26-5)$$

واضح است هر چه مقدار  $PM$  بیشتر باشد تقویت‌کننده پایدارتر است و شرایط پایداری مدار:

$$GM > 0 \text{ dB}, \quad PM > 0^\circ \quad (27-5)$$

است.



## مثال ۵-۶

در مورد مثال (۵-۵):

الف) با مقدار فیدبک مقاومتی  $f_0 = 0.004$  مقادیر  $PM$  و  $GM$  را محاسبه کنید.

ب) نشان دهید با  $f_0 = 0.008$  تقویت‌کننده ناپایدار است.

الف) در مثال قبل نشان داده شد که  $\omega_c = 1.71 \times 10^4 \text{ rad/s}$  است. مقدار بهره حلقه در این فرکانس:

$$|T(j\omega_c)| = |a f_0(j\omega_c)| = \left| \frac{1000 f_0}{(1 + \frac{j\omega_c}{10^4})^3} \right| = \frac{1}{2}$$

و بنابراین حاشیه بهره:

$$GM = 2, \quad GM = 6 \text{ dB}$$

به ازاء فیدبک  $f_0 = 0.004$  تقویت‌کننده پایدار است. برای محاسبه  $PM$  ابتدا لازم است  $\omega_g$  فرکانسی که در آن بهره حلقه  $|T(j\omega_g)| = 1$  محاسبه شود:

$$|T(j\omega_g)| = 1 \Rightarrow \left| \frac{1000 \times 0.004}{(1 + j \frac{\omega_g}{10^4})^3} \right| = \frac{4}{|1 + j \frac{\omega_g}{10^4}|^3} = 1$$

با حل معادله فوق  $\omega_g = 1.23 \times 10^4 \text{ rad/s}$  بدست می‌آید. در این فرکانس مقدار بهره حلقه به ازاء  $f_0 = 0.004$  مقدار "۱" می‌شود. فاز بهره حلقه در این فرکانس:

$$\phi = -3 \tan^{-1} \left( \frac{\omega_g}{10^4} \right) = -51^\circ$$

و مقدار حاشیه فاز به ازاء فیدبک  $f_0 = 0.004$

$$PM = 180^\circ + \phi = 129^\circ$$

چون  $GM > 0$  و  $PM > 0$  پس تقویت‌کننده پایدار است.

ب) به ازاء فیدبک  $f_0 = 0.008$ :

$$T(j\omega) = a f_0(j\omega) = \frac{8}{(1 + j \frac{\omega}{10^4})^3}$$

با توجه به مقدار  $\omega_c = 1.71 \times 10^4 \text{ rad/s}$  در این صورت  $|T(j\omega_c)| = 1$  و مقدار حاشیه بهره

$$GM = 1 \quad \text{یا} \quad 0 \text{ dB}$$

که نشان می‌دهد در فرکانس  $\omega_c$  بهره حلقه برابر "۱" است و تقویت‌کننده در مرز ناپایداری است. برای بدست



آوردن مقدار حاشیه فاز به ازاء  $f_0 = 0.008$  ابتدا لازم است فرکانس  $\omega_g$  به ازاء این مقدار فیدبک تعیین شود به آسانی می توان نشان داد  $\omega_g = 1.71 \times 10^4 \text{ rad/s}$  و در اینصورت  $\phi = -180^\circ$

$$PM = 180 + \phi = 0$$

که نشان می دهد تقویت کننده ناپایدار و در مرز ناپایداری واقع است.

### مثال ۵-۷

تقویت کننده ای با سه قطب در نقاط داده شده زیر و در سمت چپ صفحه  $s$  فیدبک اعمال می شود.

$$s_a = 2\pi(0.1 \text{ MHz}), \quad s_b = 2\pi(1 \text{ MHz}), \quad s_c = 2\pi(10 \text{ MHz})$$

بهره باند میانی  $a_0 = 100 \text{ dB}$  است.

الف) نمودار بد (Bode) تابع انتقال تقویت کننده را رسم کنید.

ب) به ازاء  $f_0 = 5.6 \times 10^{-5}$  وضعیت پایداری را بررسی کنید.

ج) چنانچه لازم باشد بهره باند میانی تقویت کننده با فیدبک  $50 \text{ dB}$  شود فیدبک لازم را تعیین و

مشخص کنید تقویت کننده پایدار است یا خیر؟

د) حداکثر مقدار فیدبک را چنان مشخص کنید که تقویت کننده در مرز ناپایداری باشد.

الف) تابع انتقال تقویت کننده بصورت:

$$a(s) = \frac{10^5}{\left(1 + \frac{s}{2\pi(0.1)}\right) \left(1 + \frac{s}{2\pi(1)}\right) \left(1 + \frac{s}{2\pi(10)}\right)}$$

است که در آن  $s$  با واحد  $(\mu s)^{-1}$  است. شکل (۵-۱۲) نمودار بد (Bode) این تابع انتقال را نشان می دهد و در آن محور افقی بر حسب فرکانس و با واحد  $\text{MHz}$  مدرج شده است. چون فاصله بین قطب ها یک دهه فرکانسی (decade) است و در نمودار بد (Bode) مجانب پاسخ فرکانس رسم می شود، بنابراین زاویه فاز در محل قطب اول  $-45^\circ$ ، در محل قطب دوم  $-135^\circ$  و در قطب سوم تقریباً  $-225^\circ$  است.

ب) با فیدبک مقاومتی  $f_0$ ، تابع انتقال بهره حلقه:

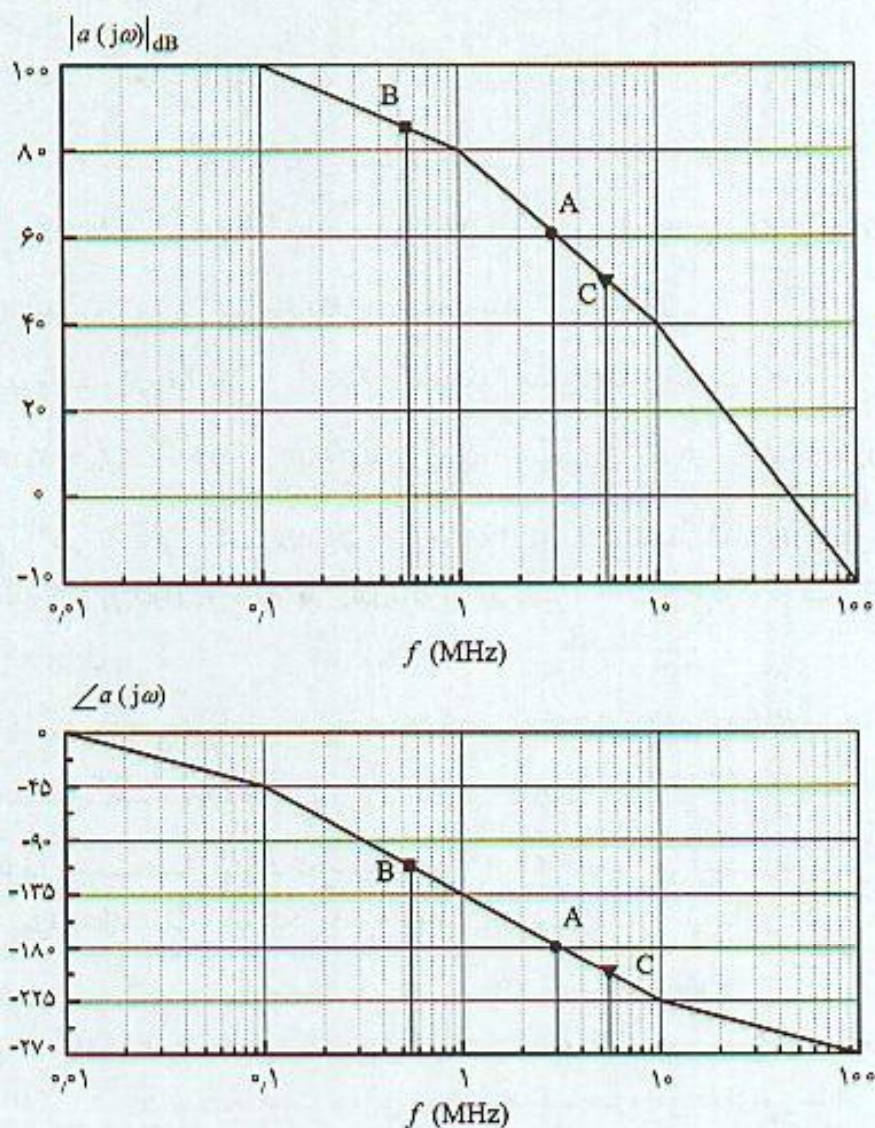
$$T(s) = \frac{10^5 f_0}{\left(1 + \frac{s}{2\pi(0.1)}\right) \left(1 + \frac{s}{2\pi(1)}\right) \left(1 + \frac{s}{2\pi(10)}\right)}$$

است. برای بررسی پایداری لازم است نمودار بد (Bode) بهره حلقه  $T(j\omega)$  رسم شود. با توجه به اینکه:

$$20 \log |T(j\omega)| = 20 \log |a(j\omega)| = 20 \log f_0$$

است. پس برای رسم نمودار بد (Bode) بهره حلقه لازم است به نمودار پاسخ فرکانس تقویت کننده اصلی  $a(j\omega)$  مقدار  $20 \log f_0$  را اضافه کرد. با توجه به اینکه  $f_0$  ثابت و مستقل از فرکانس است تغییری در عبارت فاز بوجود نمی آید و فقط در عبارت قدر مطلق پاسخ فرکانس تغییر ایجاد می شود. به عبارت دیگر با فیدبک





شکل ۱۲-۵ نمودار بد (Bode) تقویت‌کننده مثال (۷-۵)

مقاومتی فاز بهره حلقه عبارت فاز بهره تقویت‌کننده اصلی است. بنابراین فرکانس بحرانی  $\omega_c$  مستقل از فیدبک است. فرکانس  $f_c$  فرکانسی است که در آن زاویه فاز توییت‌کننده اصلی  $-180^\circ$  شود. با توجه به شکل (۱۲-۵)  $f_c = 13 \text{ MHz}$  بدست می‌آید که با نقطه A در شکل مشخص شده است. به ازاء فیدبک  $f_c = 5.62 \times 10^{-5}$  که بر حسی دسیبل (dB):

$$20 \log f_c = 20 \log (5.62 \times 10^{-5}) = -85 \text{ dB}$$

است برای بدست آوردن پاسخ فرکانس  $|T(j\omega)|$ ، به نمودار  $|a(j\omega)|$  مقدار  $-85 \text{ dB}$  را جمع نمود. در اینصورت بهره باند میانی تقویت‌کننده مدار بسته  $A_0 = +85 \text{ dB}$  خواهد بود. برای بررسی ناپایداری در این مقدار فیدبک نقطه B محل برخورد  $|a(j\omega)|$  و مقدار  $20 \log f_c = +85 \text{ dB}$  را در نظر بگیرید. در این فرکانس قدر مطلق بهره حلقه  $|T(j\omega)| = 1$  و بنابراین این فرکانس  $\omega_g$  است. با توجه به تعریف  $PM$  و با



استفاده از منحنی فاز :

$$\phi = -112^\circ \Rightarrow PM = 180^\circ - 112^\circ = 68^\circ \quad (f_0 = 5.62 \times 10^{-5})$$

همچنین در این مقدار فیدبک مقدار  $GM$  از رابطه (۵-۲۴) :

$$GM|_{dB} = -20 \log |T(j\omega_c)| = -20 \log |a(j\omega_c)| + 20 \log f_0 = 25 \text{ dB}$$

در نتیجه به ازاء فیدبک  $f_0 = 5.62 \times 10^{-5}$  تقویت کننده پایدار است.

(ج) برای بهره باند میانی  $A_0 = 50 \text{ dB}$  تقویت کننده مدار بسته ، مقدار فیدبک لازم :

$$A_0 \approx \frac{1}{f_0} \Rightarrow A_0 = -20 \log f_0 = 50 \text{ dB} \Rightarrow f_0 = 3.16 \times 10^{-3}$$

می باشد. برای بررسی ناپایداری، خط  $20 \log f_0 = 50 \text{ dB}$  را رسم تا نمودار  $|a(j\omega)|$  را در محل C قطع کند، در این نقطه  $|T(j\omega_c)| = 1$  و مقدار فاز  $a(j\omega)$  در این فرکانس  $\phi \approx -200^\circ$  که در شکل (۵-۱۲) نشان داده شده است. بنابراین :

$$PM = 180^\circ + \phi = 180^\circ - 200^\circ = -20^\circ$$

که نشان می دهد تقویت کننده ناپایدار است.

(د) در آخرین قسمت مقدار فیدبک در مرز پایداری  $PM = 0^\circ$  تعیین می شود. در فرکانس  $f_c = 3 \text{ MHz}$

مقدار بهره  $a(j\omega)$  با توجه به شکل ۶۰ dB است. بنابراین در مرز ناپایداری :

$$20 \log f_0 = -60 \text{ dB} \Rightarrow f_{0(\max)} = 1 \times 10^{-3}$$

که حداکثر مقدار فیدبکی است که می توان به این تقویت کننده اعمال نمود. در این شرایط ضریب عدم حساسیت  $D_{0(\max)} = 101$  (۲۰dB) است. در این مقدار فیدبک، خروجی دارای نوساناتی در فرکانس ۳ MHz می باشد.

## ۵-۵ ارتباط بهره حلقه با پاسخ تقویت کننده در حوزه زمان و فرکانس

در یک تقویت کننده وقتی فیدبک منفی وجود دارد که سیگنال برگشت داده شده از منبع ورودی کم شود. این کار سبب می شود بهره مدار کم شده و سیگنال خروجی نیز کم شود. این شرایط در باند میانی برای تقویت کننده های فیدبک برقرار است. اما پاسخ فرکانس تقویت کننده باعث می شود بهره حلقه از نظر مقدار و فاز با فرکانس تغییر کند و چنانچه فاز بهره حلقه به  $\pm 180^\circ$  برسد در این صورت فیدبک منفی به مثبت تبدیل شده و ممکن است باعث ناپایداری شود.

یک تقویت کننده فیدبک مشابه یک سیستم کنترل با فیدبک است. در سیستمهای کنترل از نمودار نایکوئیست (Nyquist) برای بررسی پایداری استفاده می شود. در عین حال ارتباط مشخصی بین مشخصات سیستم در حوزه زمان، فرکانس و محل قطب های تقویت کننده وجود دارد. این ارتباط در شکل (۵-۱۳) نشان داده شده است. در این شکل نمودارهای محل قطب، پاسخ حالت گذرا، پاسخ فرکانس تقویت کننده



مدار بسته، نمودارهای بد (Bode) و نایکوئیست (Nyquist) در شرایط مختلف ترسیم شده است.

در حالت (الف) و (ب) تقویت‌کننده پایدار است. مقایسه دو حالت نشان می‌دهد در حالت (ب)  $GM$  و  $PM$  مقدار کمتری دارند و برآمدگی در پاسخ فرکانس بیشتر است. پاسخ حالت گذرای آن نیز دارای بالازدگی بیشتری می‌باشد. در طراحی تقویت‌کننده‌ها لازم است پاسخ فرکانسی مسطح (flat) و بدون برآمدگی باشد.

پاسخ فرکانس در حالت ناپایداری دارای برآمدگی نامحدود است. در این حالت پاسخ حالت گذرا دارای دامنه‌ای است که با زمان در حال افزایش است. در حالت (ج) تقویت‌کننده در مرز ناپایداری است و مدار حالت نوسانی دارد. نمودار نایکوئیست از نقطه  $0 + j - 1$  می‌گذرد و تقویت‌کننده دارای قطب‌هایی روی محور  $j\omega$  است و خروجی تقویت‌کننده دارای نوسانات پایدار با دامنه ثابت است.

### مسائل فصل پنجم

۱-۵) مکان هندسی ریشه‌های تقویت‌کننده فیدبکی که تابع انتقال بهره حلقه مدار باز آنها داده شده است را برای مقادیر مثبت  $a_0 f_0$  رسم و مقدار فیدبک در مرز ناپایداری و فرکانس ناپایداری را تعیین کنید.

$$T(s) = \frac{a_0 f_0}{\left(1 + \frac{s}{5}\right) \left(1 + \frac{s}{3}\right) (1 + s)} \quad \text{(الف)}$$

$$T(s) = \frac{a_0 f_0 \left(1 + \frac{s}{3}\right)}{\left(1 + \frac{s}{5}\right) \left(1 + \frac{s}{3}\right) (1 + s)} \quad \text{(ب)}$$

$$T(s) = \frac{a_0 f_0 \left(1 + \frac{s}{3}\right)}{\left(1 + \frac{s}{10}\right) \left(1 + \frac{s}{3}\right) (1 + s)} \quad \text{(ج)}$$

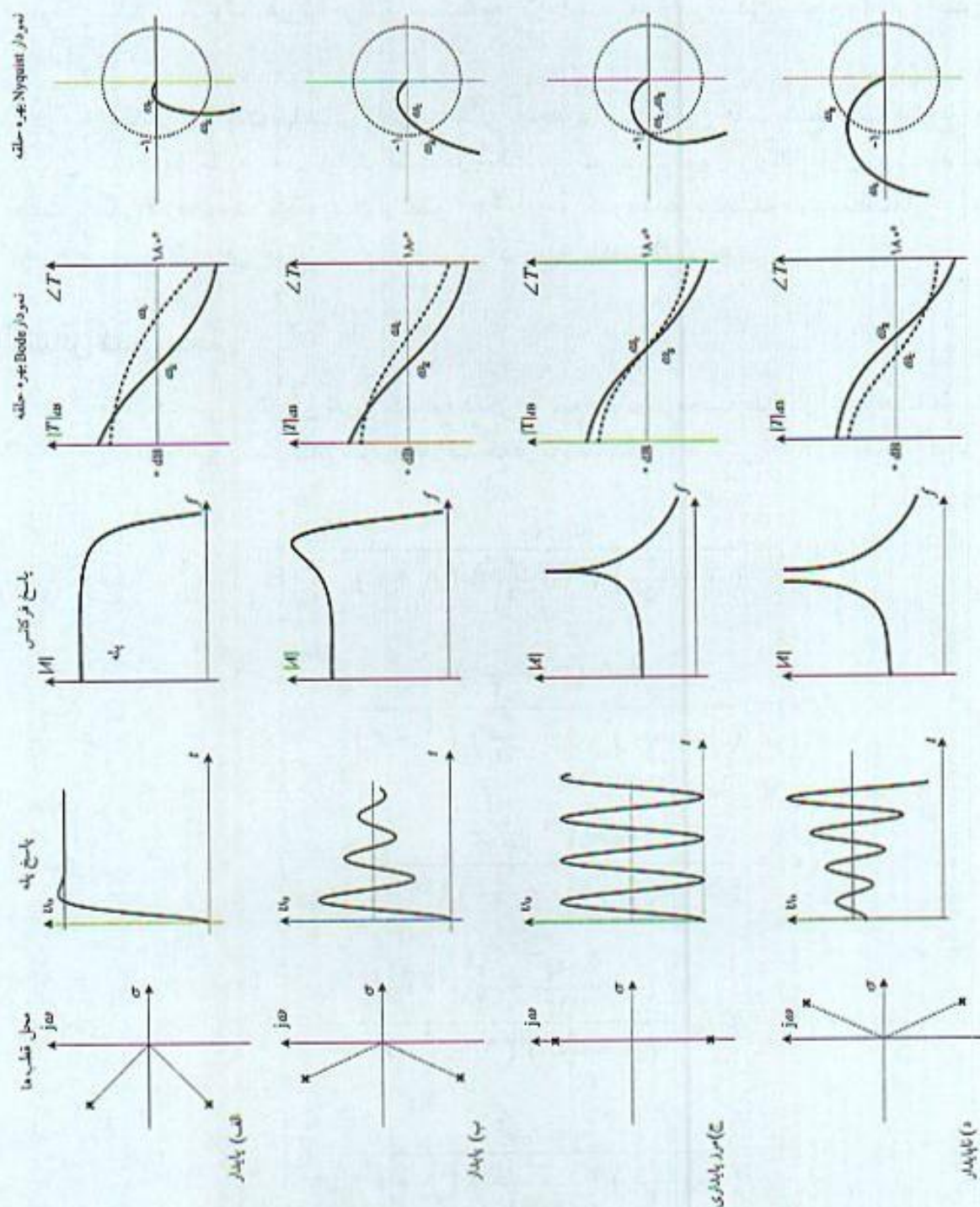
$$T(s) = a_0 f_0 \frac{1 - \frac{2s}{26} + \frac{s^2}{26}}{\left(1 + \frac{s}{3}\right) \left(1 + \frac{s}{5}\right)} \quad \text{(د)}$$

$$T(s) = \frac{-a_0 f_0 s^2}{\left(1 + \frac{s}{3}\right) \left(1 + \frac{s}{3}\right) (1 + s)} \quad \text{(ه)}$$

۲-۵) تابع انتقال بهره حلقه یک تقویت‌کننده فیدبک که در آن  $s$  با واحد  $(\mu s)^{-1}$  است بصورت زیر است.

$$T(s) = \frac{a_0 f_0}{\left(1 + \frac{s}{5}\right) \left(1 + \frac{s}{4}\right) (1 + s)}, \quad a_0 = 1000$$





شکل ۵-۱۳ نمودارهای نایکوئیست (Nyquist) بده Bode، پاسخ فرکانس، پاسخ حالت گذرا و محل قطب‌ها در شرایط مختلف



- الف) حداکثر ضریب عدم حساسیت که می‌توان با این مدار بدست آورد چقدر است.
- ب) مکان هندسی ریشه‌ها را با تغییر فیدبک رسم کنید.
- ج) اگر صفری در  $s = -3 \text{ (}\mu\text{s)}^{-1}$  به تابع انتقال تقویت‌کننده اضافه شود در این حالت نشان دهید به ازاء تمام مقادیر فیدبک مدار پایدار است.
- د) مکان قطب‌ها را در حالت (ج) رسم و با فرض (ب) مقایسه کنید.
- ۳-۵) در یک تقویت‌کننده فیدبک با فیدبک مقاومتی  $f_o$  که در آن:

$$a(s) = \frac{1000}{\left(1 + \frac{s}{4}\right) \left(1 + \frac{s}{10}\right)}, \quad s: (\text{ns})^{-1}$$

- الف) پهنای باند تقویت‌کننده اصلی چقدر است.
- ب) مقدار فیدبک را چنان تعیین کنید که تقویت‌کننده دارای دو قطب مساوی باشد در این حالت پهنای باند چقدر است.
- ج) مقدار فیدبک را چنان تعیین کنید که تقویت‌کننده دارای ۲ قطب مختلط موهومی با  $\frac{\sqrt{2}}{4}$  باشد پهنای باند در این شرایط چقدر است با حالت (الف) و (ب) مقایسه کنید.
- د) با فرض  $f(s) = f_o \left(1 + \frac{s}{z_o}\right)$  و  $z_o = 15 (\text{ns})^{-1}$  مکان هندسی ریشه‌ها را رسم کنید.
- ۴-۵) تقویت‌کننده‌ای با بهره باند میانی  $5000+$  و ۳ قطب در  $f = 3 \text{ MHz}$  در نظر بگیرید.
- الف) تابع انتقال تقویت‌کننده را مشخص کنید.
- ب) فرکانس قطع  $3 \text{ dB}$  بالای آن چقدر است.
- ج) با فرض فیدبک مقاومتی، مکان هندسی ریشه‌ها را رسم و در شرایط ناپایداری بحث و حداکثر ضریب عدم حساسیت را مشخص کنید.
- د) اگر یکی از قطب‌ها به محل  $f = 200 \text{ kHz}$  منتقل شود در این صورت به ازاء  $f_{o(\text{max})}$  که در حالت (ج) مدار ناپایدار است، آیا تقویت‌کننده جدید پایدار است یا خیر؟
- ه) چه نتیجه‌ای از فرض "د" می‌توان گرفت.

- ۵-۵) در یک تقویت‌کننده با بهره باند میانی  $500+$  و ۲ قطب در محل‌های  $s_1 = -8 (\text{ns})^{-1}$  و  $s_2 = -8 (\text{ns})^{-1}$  فیدبک مقاومتی اعمال می‌شود.
- الف) پهنای باند تقویت‌کننده اصلی چقدر است.
- ب) مکان هندسی ریشه‌های تقویت‌کننده با فیدبک را رسم کنید.
- ج) مقدار فیدبک را چنان تعیین کنید که تقویت‌کننده مدار بسته دارای دو قطب رویهم باشد. ضریب عدم حساسیت و پهنای باند چقدر است. مقدار پهنای باند را با فرض (الف) مقایسه کنید.
- د) مقدار فیدبک را چنان مشخص کنید که تقویت‌کننده مدار بسته دارای ۲ قطب مختلط با زاویه  $\pm 45^\circ$  باشد. ضریب عدم حساسیت چقدر است.
- ه) به ازاء ضریب عدم حساسیت ۲ برابر نسبت به فرض (د) محل قطب‌های تقویت‌کننده را مشخص کنید.



و) برای جبران تقویت‌کننده در حالت (ه) یک صفر در محل  $s_0 < s_c$  به تابع انتقال  $af_0(s)$  اضافه می‌شود. در این حالت مکان هندسی ریشه‌ها را رسم کنید و محل صفر  $s_0$  و مقدار  $f_0$  را چنان تعیین کنید که ضریب عدم حساسیت دو برابر فرض (د) شود.

۵-۶) یک تقویت‌کننده دارای بهره باند میانی  $5000 +$  دارای یک قطب در فرکانس  $10^4 \text{ rad/s}$  و دو قطب مضاعف در فرکانس  $10^5 \text{ rad/s}$  می‌باشد. به این تقویت‌کننده فیدبک مقاومتی اعمال می‌شود. الف) مکان هندسی ریشه‌های تقویت‌کننده فیدبک را رسم کنید. ب) به ازاء چه مقدار از فیدبک این مدار ناپایدار می‌شود.

۵-۷) تابع انتقال بهره حلقه یک تقویت‌کننده با فیدبک

$$T(s) = \frac{a_0 f_0}{\left(1 + \frac{s}{\omega_1}\right) \left(1 + \frac{s}{\omega_2}\right) \left(1 + \frac{s}{\omega_3}\right)}$$

است که در آن  $\omega_3 = 10 \text{ Mrad/s}$  و  $\omega_2 = 1 \text{ Mrad/s}$ ،  $\omega_1 = 0.1 \text{ Mrad/s}$ ،  $T_0 = a_0 f_0 = 100$  می‌باشد. مشخص کنید که به ازاء این مقدار  $T_0$  تقویت‌کننده پایدار است یا خیر؟

۵-۸) عبارت بهره حلقه فرکانس پایین یک تقویت‌کننده بصورت

$$T(s) = \frac{2 \times 10^3 s^2}{\left(1 + \frac{s}{1000}\right) \left(1 + \frac{s}{100}\right) (1 + s)}$$

است. ضریب عدم حساسیت در باند میانی چقدر است. آیا تقویت‌کننده مدار بسته پایدار است؟

۵-۹) تابع انتقال بهره حلقه یک تقویت‌کننده با فیدبک

$$T(s) = \frac{2 \times 10^{-3} s^2}{\left(1 + \frac{s}{1000}\right) \left(1 + \frac{s}{100}\right) (1 + s)}$$

و بهره باند میانی تقویت‌کننده اصلی  $a_0 = 10^5$  است.

الف) مکان هندسی ریشه‌های تقویت‌کننده با فیدبک را رسم کنید.

ب) به این مدار فیدبکی به مقدار  $f_0 = 0.01$  اعمال شده است، آیا تقویت‌کننده پایدار بدست می‌آید.

ج) تابع انتقال شبکه فیدبک بصورت عبارت داده شده زیر اصلاح می‌شود، در این حالت در شرایط پایداری تقویت‌کننده بحث کنید.

$$f(s) = \frac{0.01}{1 + \frac{s}{2\pi \times 10^2}}$$



۱۰-۵) تقویت‌کننده‌ای با بهره  $1000$  و دو قطب در فرکانسهای  $1 \text{ MHz}$  و  $5 \text{ MHz}$  در نظر بگیرید. الف) نمودار بد (Bode) آن را رسم کنید.

ب) چنانچه به آن فیدبک اعمال شود در مورد مقدار حاشیه بهره  $GM$  چه می‌توان گفت.

ج) مقدار فیدبک مقاومتی را چنان تعیین کنید که  $PM = 60^\circ$  بدست می‌آید.

د) به ازاء ضریب عدم حساسیت  $D_0 = 21$  مقدار  $PM$  چقدر است؟

۱۱-۵) در مسئله (۷-۵) و با فرض همان قطب‌ها بهره حلقه را نظر بگیرید.

الف) نمودار بد (Bode) بهره حلقه را رسم کنید.

ب) فرکانس  $\omega_c$  را مشخص کنید.

ج) به ازاء  $T_0 = 1000$  وضعیت پایداری چگونه است. مقادیر  $GM$  و  $PM$  را مشخص کنید.

۱۲-۵) تقویت‌کننده‌ای با بهره باند میانی  $10^4$  - و با ۳ قطب در فرکانس  $5 \text{ MHz}$  در نظر بگیرید.

الف) تابع انتقال تقویت‌کننده را مشخص کنید.

ب) فرکانس قطع  $3 \text{ dB}$  مدار چقدر است.

ج) فرکانس  $\omega_c$  این تقویت‌کننده را با فرض فیدبک مقاومتی تعیین کنید.

د) در مورد شرایط ناپایداری تقویت‌کننده بحث کنید و  $f_{0(\max)}$  را مشخص کنید.

ه) به ازاء  $f_0 = 0.5 f_{0(\max)}$ ، وضعیت پایداری تقویت‌کننده را مشخص و مقادیر  $GM$  و  $PM$  را تعیین کنید.

و) یکی از قطب‌ها به  $f = 500 \text{ kHz}$  منتقل می‌شود. در مورد شرایط ناپایداری این تقویت‌کننده بحث و

نشان دهید به ازاء  $f_{0(\max)}$  فرض (د) این تقویت‌کننده پایدار است.

۱۳-۵) تقویت‌کننده‌ای با بهره  $10^{-2}$  - و شامل ۳ قطب در فرکانسهای  $1 \text{ MHz}$ ،  $3 \text{ MHz}$  و  $10 \text{ MHz}$  در

نظر بگیرید. از این تقویت‌کننده در مدار فیدبک با ضریب  $f_0$  و مستقل از فرکانس استفاده می‌شود.

الف) نمودار بد (Bode) تقویت‌کننده را رسم و نقاط مهم و شیب خطوط آن را مشخص کنید.

ب) با استفاده از مفاهیم  $PM$  و  $GM$  در مورد شرایط ناپایداری بحث کنید.

ج) مقدار  $f_0$  که در آن نوسان اتفاق می‌افتد را مشخص و فرکانس نوسان را تعیین کنید.

د) چنانچه  $f_0$  بیش از مقدار فرض شده (ج) باشد چه حالتی اتفاق می‌افتد.

۱۴-۵) در یک تقویت‌کننده با فیدبک که عبارت بهره حلقه آن بصورت

$$T(s) = \frac{2 \times 10^2}{\left(1 + \frac{s}{\omega_1}\right) \left(1 + \frac{s}{\omega_2}\right) \left(1 + \frac{s}{\omega_3}\right)}$$

و  $\omega_1 = 0.2 \text{ Mrad/s}$ ،  $\omega_2 = 40 \text{ Mrad/s}$  و  $\omega_3 = 200 \text{ Mrad/s}$  هستند.

الف) نمودار بد (Bode) بهره حلقه را رسم و در شرایط پایداری مدار بحث کنید.

ب) مقادیر  $PM$  و  $GM$  را مشخص کنید.

ج) تقویت‌کننده اصلی و یا فیدبک مدار چنان اصلاح می‌شود که عبارت بهره حلقه مدار جبران شده



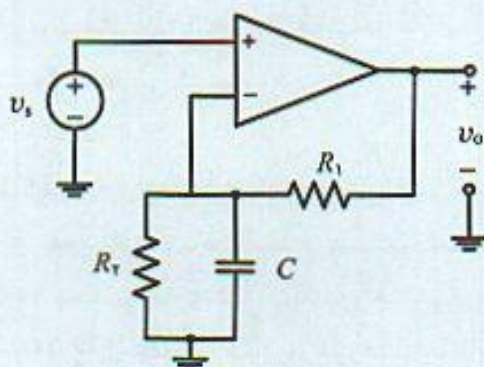
$$T(s) = \frac{2 \times 10^4}{\left(1 + \frac{s}{\omega_A}\right) \left(1 + \frac{s}{\omega_r}\right)}$$

بدست می‌آید. مقدار  $\omega_A$  قطب اضافه شده را برای  $PM = 60^\circ$  مشخص کنید.

۱۵-۵) در مدار شکل (م ۵-۱۵) تقویت‌کننده عملیاتی دارای پاسخ فرکانس

$$a(s) = \frac{V_o}{V_e} = \frac{2 \times 10^4}{\left(1 + \frac{s}{\omega_A}\right) \left(1 + \frac{s}{\omega_r}\right)}, \quad V_e = V_+ - V_-$$

که در آن  $a_0 = 10^4$ ،  $\omega_1 = 2\pi \times 10^4$  rad/s و  $\omega_r = 2\pi \times 10^6$  rad/s می‌باشند. سایر مشخصات آن ایده‌آل فرض می‌شود.



شکل (م ۵-۱۵)

الف) نمودار بد (Bode) تقویت‌کننده را رسم کنید.

ب) تابع انتقال شبکه فیدبک را بدست آورید.

ج) اگر مدار فیدبک دارای قطبی در فرکانس ۱ kHz با بهره DC ۰٫۰۱ باشد.  $GM$  و  $PM$  را مشخص کنید.

د) آیا تقویت‌کننده پایدار است؟

۱۶-۵) تابع انتقال بهره حلقه یک تقویت‌کننده با فیدبک

$$T(s) = \frac{5 \times 10^3}{\left(1 + \frac{s}{\omega_1}\right) \left(1 + \frac{s}{\omega_r}\right)}$$

که در آن  $\omega_1 = 2\pi \times 10^4$  rad/s و  $\omega_r = 2\pi \times 10^5$  rad/s می‌باشند.

الف) نمودار بد (Bode) بهره حلقه را رسم و فرکانس  $\omega_c$  را مشخص کنید.

ب)  $GM$  و  $PM$  را مشخص کنید.

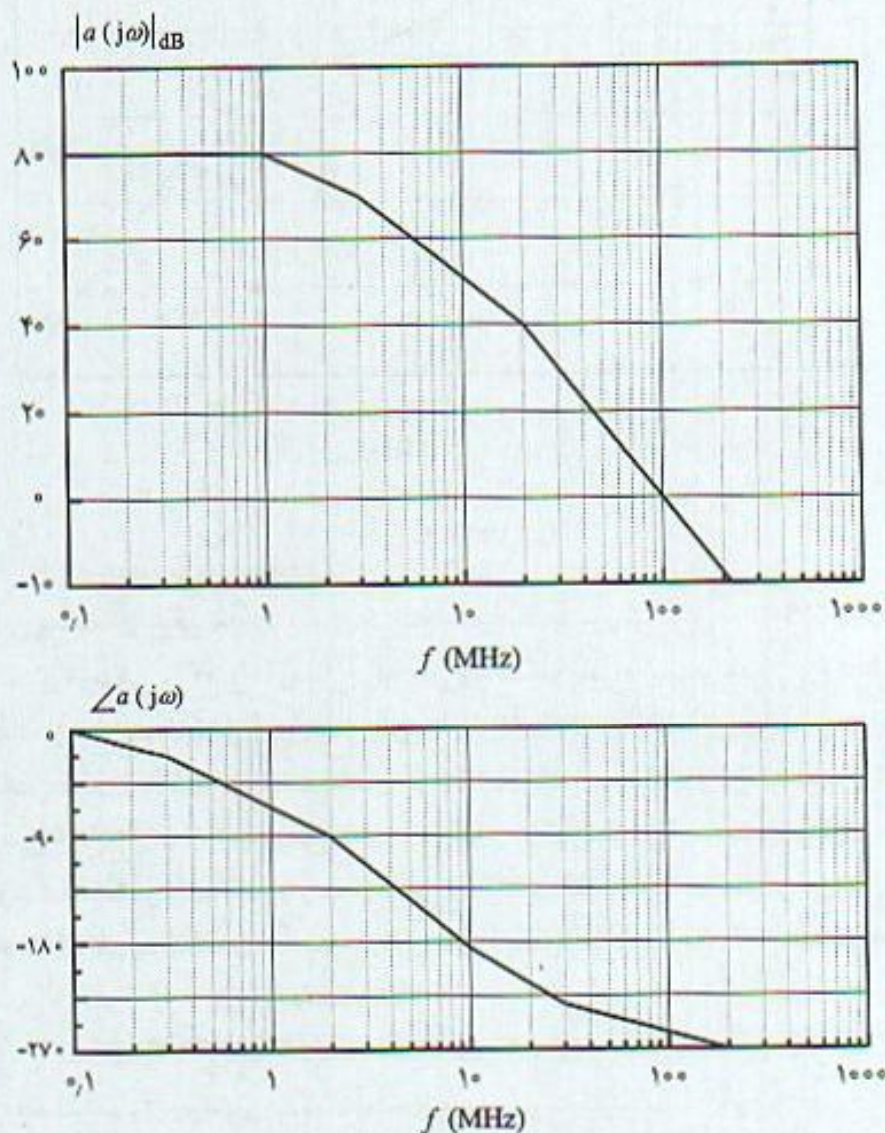
ج) در مورد شرایط پایداری تقویت‌کننده فوق بحث کنید.

۱۷-۵) پاسخ فرکانس یک تقویت‌کننده با فیدبک منفی بصورت شکل (م ۵-۱۷) است. در این

تقویت‌کننده فیدبک مقاومتی و مستقل از فرکانس است.



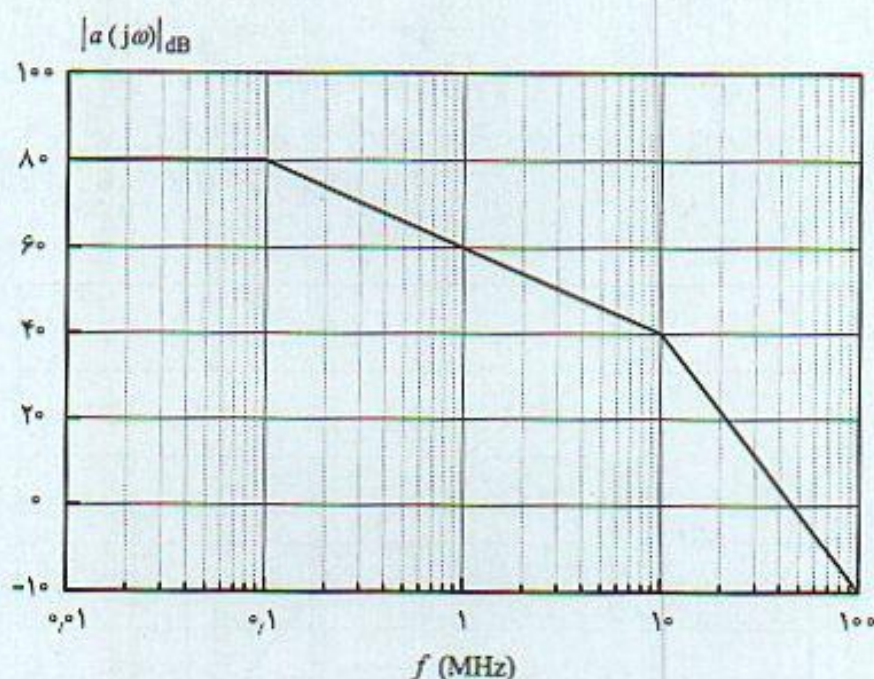
- الف) حداکثر مقدار فیدبک  $f_{o(max)}$  را مشخص کنید.  
 ب) حداقل مقدار بهره باند میانی تقویت‌کننده مدار بسته و پایدار را مشخص کنید.  
 ج) برای حاشیه فاز  $PM = 60^\circ$  بهره باند میانی تقویت‌کننده مدار بسته چقدر است.  
 د) در حالت (ج) مقدار  $GM$  چقدر است.



شکل (م ۵-۱۷)

- ۵-۱۸) نمودار بد (Bode) قدر مطلق پاسخ فرکانس یک تقویت‌کننده بصورت شکل (م ۵-۱۸) است.  
 الف) نمودار بد (Bode) فاز را کامل نمایید.  
 ب) با فرض فیدبک مقاومتی حداکثر ضریب عدم حساسیت چقدر است.  
 ج) مقدار فیدبک را برای  $GM = 10 \text{ dB}$  مشخص کنید. در این حالت  $PM$  چقدر است.  
 د) مقدار فیدبک برای  $PM = 60^\circ$  چقدر است. در این حالت  $GM$  چقدر است.





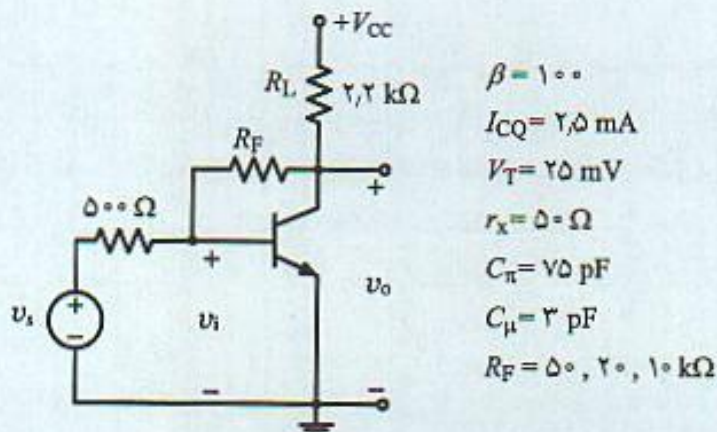
شکل (م ۵-۱۸)

۵-۱۹) در این مسئله بار دیگر تقویت‌کننده یک طبقه با فیدبک بصورت شکل (م ۵-۱۹) را در نظر بگیرید. روشهای مختلفی در فصل‌های قبل برای حل این مسئله مطرح شد. در فصل دوم مسئله (۲-۳۱) با استفاده از تابع انتقال کامل و در فصل سوم مسئله (۳-۳۳) با استفاده از روش ثابت زمانی محاسبه فرکانس قطع ۳ dB این تقویت‌کننده مطرح شد. در این مسئله با روش فیدبک این تقویت‌کننده بررسی و نتایج آن با روشهای قبل مقایسه می‌شود. در این تقویت‌کننده با صرف‌نظر از اثر بارگذاری مقاومت فیدبک و با استفاده از رابطه اساسی فیدبک در (۵-۱) و با در نظر گرفتن نوع فیدبک: الف) تابع انتقال تقویت‌کننده را بدست آورده و به ازاء مقادیر مختلف  $R_F$  محل صفر و قطب مدار را مشخص و جدول (م ۵-۱۹) را تکمیل کنید.

ب) فرکانس قطع ۳ dB بالای تقویت‌کننده را مشخص کنید.

ج) نتایج بدست آمده از روشهای بدست آمده را با هم مقایسه کنید.

د) با کاهش بیشتر مقاومت  $R_F$  آیا محاسبات فیدبک از دقت کافی برخوردار است؟



شکل (م ۵-۱۹)



جدول (م ۵-۱۹)

پارامتر	(۱)	تابع انتقال كامل			روش فيديك		
	$R_F = \infty$	$50\text{ k}\Omega$	$20\text{ k}\Omega$	$10\text{ k}\Omega$	$50\text{ k}\Omega$	$20\text{ k}\Omega$	$10\text{ k}\Omega$
$A_0$							
$s_z$							
$s_1$							
$s_2$							
$f_H$							





[PowerEn.ir](http://PowerEn.ir)





## جبران تقویت‌کننده‌های فیدبک با مکان هندسی ریشه‌ها

### مقدمه

در فصل پنجم در مورد ناپایداری تقویت‌کننده‌های فیدبک با استفاده از مکان هندسی ریشه‌ها در صفحه مختلط  $s$  و همچنین در حوزه فرکانس با بررسی پاسخ فرکانس تابع انتقال بهره حلقه بحث شد. ملاحظه شد با تغییر مقدار فیدبک، محل صفرها و قطب‌های تقویت‌کننده تغییر می‌یابند. همچنین معیارهای پایداری تقویت‌کننده در میدان فرکانس شامل حاشیه فاز و حاشیه بهره با فیدبک تغییر نموده و در نتیجه پاسخ فرکانس تقویت‌کننده نیز تغییر خواهد نمود. بنابراین می‌توان مشخصات تقویت‌کننده‌ها را با تغییر فیدبک کنترل نمود. در طرح یک تقویت‌کننده فیدبک عموماً مقدار فیدبک برای پاسخ فرکانس مناسب انتخاب می‌شود. دو سوال اساسی در مورد تقویت‌کننده‌های فیدبک آن است که:

- منظور از پاسخ فرکانس مناسب در حوزه زمان و فرکانس چیست؟
- چه محدودیتهایی بر روی محل قطب‌ها در صفحه  $s$  باید در نظر گرفت تا پاسخ مناسب حاصل شود.

در مورد سوال اول باید گفت که پاسخ مناسب بستگی به نوع کاربرد تقویت‌کننده دارد. برای مثال در تقویت‌کننده اسیلوسکوپ لازم است در تمام پهنای باند مورد نیاز پاسخ فرکانس مسطح باشد تا کلیه مولفه‌های فرکانسی سیگنال به یک میزان تقویت شوند. اما در تقویت‌کننده‌ای که در یک سیستم کنترل بکار می‌رود لازم است پاسخ تقویت‌کننده در حوزه زمان سریع باشد. از این جهت می‌توان در این نوع کاربردها مقداری برآمدگی در پاسخ فرکانس در نظر گرفت و در عین حال پاسخ پله شامل مختصری بالازدگی باشد تا



پاسخ مدار به سیگنالهای ورودی سریع باشد. بنابراین با مشخص شدن نوع کاربرد می توان محدودیت لازم بر محل قطب ها و هم چنین معیارهای طراحی در حوزه فرکانس را تعیین نمود و بر اساس آن تقویت کننده را طراحی نمود.

در اغلب موارد برای بدست آوردن پاسخ فرکانس مناسب لازم است با عناصری که به تقویت کننده اضافه می شوند تقویت کننده را جبران (compensate) نمود. در مورد هدف از جبران تقویت کننده باید گفت به دو علت این کار انجام می شود:

- تقویت کننده پایدار شود.
- پاسخ فرکانس مناسب برای تقویت کننده حاصل شود.

جبران تقویت کننده ها را می توان با استفاده از مکان هندسی ریشه ها و یا پاسخ فرکانس بهره حلقه انجام داد. در این فصل ابتدا مشخصات یک سیستم مرتبه دوم را در نظر گرفته و محل قطب ها، پاسخ فرکانس و پاسخ حالت گذرای آن به ورودی پله بدقت بررسی می شود. سپس توابع انتقالی که دارای پاسخ فرکانس مسطح هستند معرفی و معیارهای طراحی تقویت کننده برای بدست آوردن پاسخ مسطح ارائه می شوند. هم چنین روشهای مختلف جبران تقویت کننده ها در صفحه مختلط  $s$  بررسی می شوند. در فصل هفتم معیارهای طراحی و روشهای مختلف جبران در حوزه فرکانس معرفی خواهند شد.

## ۱-۶ بررسی مشخصات سیستم مرتبه دوم

یک تابع انتقال فرکانس بالای مرتبه دوم شامل دو قطب و فاقد صفر با رابطه (۱-۶) را در نظر بگیرید:

$$H(s) = \frac{a_0}{1 + \frac{1}{Q} \frac{s}{\omega_0} + \left(\frac{s}{\omega_0}\right)^2} = \frac{\omega_0^2 a_0}{s^2 + \frac{\omega_0}{Q} s + \omega_0^2} \quad (1-6)$$

در رابطه (۱-۶)  $a_0$  بهره باند میانی،  $Q$  ضریب کیفیت (Quality factor) و  $\omega_0$  فرکانس طبیعی غیر میرا (natural undamped frequency) نامیده می شود. محل قطب های تابع انتقال ریشه های مخرج رابطه (۱-۶) می باشند:

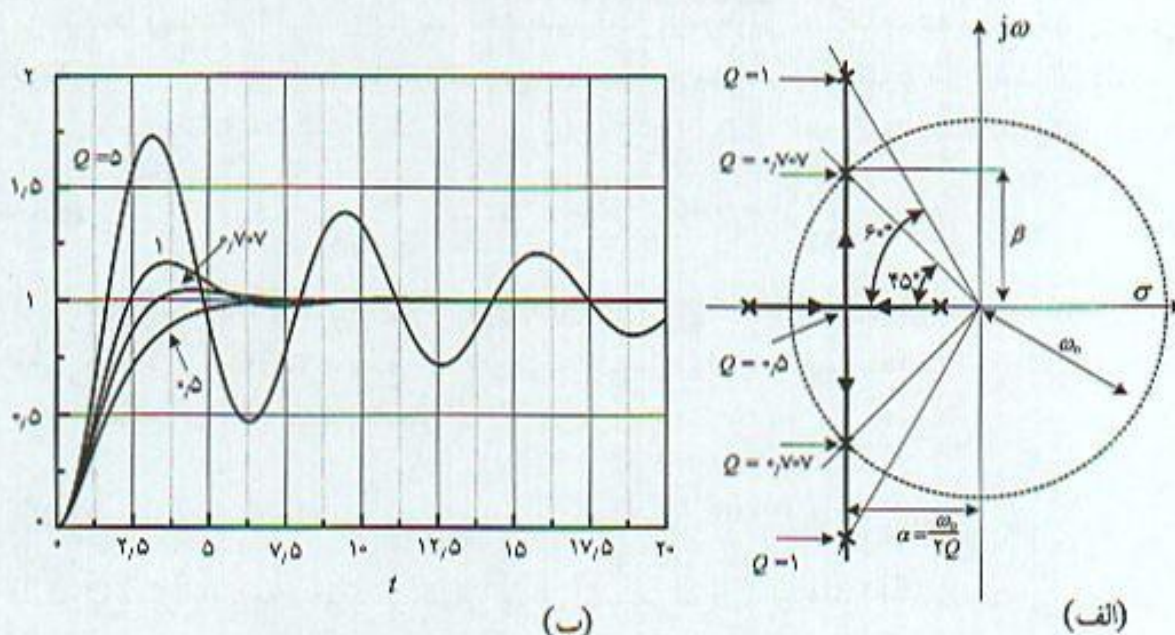
$$s_1, s_2 = -\frac{\omega_0}{2Q} (1 \pm \sqrt{1 - 4Q^2}) \quad (2-6)$$

برای مقادیر  $Q < 0.5$  دو ریشه حقیقی و متمایز از هم وجود دارد. هم چنین در حالت  $Q = 0.5$  تابع انتقال دارای دو ریشه حقیقی و مضاعف (دو قطب رویهم) است. برای مقادیر  $Q > 0.5$  دو ریشه مختلط با قسمت حقیقی  $\alpha$  و موهومی  $\beta$  موجود است:

$$s_1, s_2 = \alpha \pm j\beta, \quad \alpha = -\frac{\omega_0}{2Q}, \quad \beta = \frac{\omega_0}{2Q} \sqrt{4Q^2 - 1} \quad (3-6 \text{ الف})$$

ملاحظه می شود بخش حقیقی قطب های موهومی ثابت و به  $Q$  بستگی دارد. شکل (۱-۶ الف) محل قطب ها





شکل ۱-۶ مشخصات تابع انتقال مرتبه دو: (الف) محل قطب‌ها بر حسب  $Q$ ، (ب) پاسخ پله به ازاء مقادیر مختلف  $Q$

رایر حسب  $Q$  نشان می‌دهد. با تعریف زاویه  $\theta$ ، زاویه قطب‌های موهومی با محور حقیقی می‌توان نشان داد:

$$Q = \frac{1}{2 \cos \theta} = \frac{1}{2 \zeta}, \quad Q = \frac{\alpha}{\omega_0} = \frac{2\alpha}{\sqrt{\alpha^2 + \beta^2}} \quad (۳-۶)$$

به ازاء  $Q = \infty$  بخش حقیقی قطب‌ها صفر است و به معنی آن است که قطب‌ها روی محور  $j\omega$  قرار گرفته‌اند. این حالت در بررسی ناپایداری و طرح نوسان‌ساز مورد استفاده قرار می‌گیرد.

### ۱-۱-۶ پاسخ پله سیستم مرتبه دوم

شکل (۱-۶) پاسخ پله یک سیستم مرتبه دوم را برای مقادیر مختلف  $Q$  نشان می‌دهد. برای حالتی که مدار فقط شامل دو قطب حقیقی است پاسخ پله مجموع دو تابع نمایی است و بنابراین فاقد بالازدگی (overshoot) است. در حالت  $Q = 0.5$  و دو قطب روی گفته می‌شود مدار در حالت میرایی بحرانی (critically damped) قرار دارد و فرم کلی پاسخ پله بصورت:

$$v_0(t) = 1 - e^{-\alpha t} (1 + \omega_0 t) \quad t \geq 0 \quad (۴-۶ \text{ الف})$$

است. برای مقادیری از  $Q$  که قطب‌ها مختلط هستند، عبارت کامل پاسخ پله:

$$v_0(t) = 1 - \frac{e^{-\alpha t}}{\sqrt{1 - \frac{1}{4Q^2}}} \sin(\beta t + \tan^{-1} \sqrt{4Q^2 - 1}) \quad t \geq 0 \quad (۴-۶ \text{ ب})$$



می‌باشد. در رابطه (۴-۶)  $\alpha$  و  $\beta$  برتریب بخش‌های حقیقی و موهومی قطب‌ها هستند. به  $\beta$  فرکانس طبیعی میرا (damped natural frequency) نیز گفته می‌شود. مهم‌ترین مشخصه پاسخ پله در این حالت بالازدگی در پاسخ پله است. مقدار ماکزیمم درصد بالازدگی  $M_{pT}$  و زمان آن  $T_p$  از رابطه (۵-۶) بدست می‌آید.

$$M_{pT} = 100 e^{-(\alpha/\beta)\pi}, \quad T_p = \frac{\pi}{\beta} \quad (5-6)$$

درصد بالازدگی به ازاء  $Q = 0.707$  و  $Q = 1$  به ترتیب ۴.۳٪ و ۱۵٪ می‌باشد. در شرایطی که قطب‌ها روی محور موهومی واقع می‌شوند پاسخ پله دارای نوسانات غیر میرا و با فرکانس  $\omega_0$  است. این حالت به ازاء  $Q = \infty$  بدست می‌آید و پاسخ پله بصورت:

$$v_o(t) = 1 - \cos(\omega_0 t) \quad (6-6)$$

است و به همین جهت به  $\omega_0$  فرکانس طبیعی غیر میرا گفته می‌شود.  $\omega_0$  از رابطه (۷-۶) بدست می‌آید. در این حالت پاسخ پله دارای ۱۰۰٪ بالازدگی است.

$$\omega_0^2 = \alpha^2 + \beta^2 \quad (7-6)$$

## ۲-۱-۶ پاسخ فرکانس سیستم مرتبه دوم

پاسخ فرکانس  $H(j\omega)$  یک سیستم مرتبه دوم با استفاده از رابطه (۱-۶) بصورت:

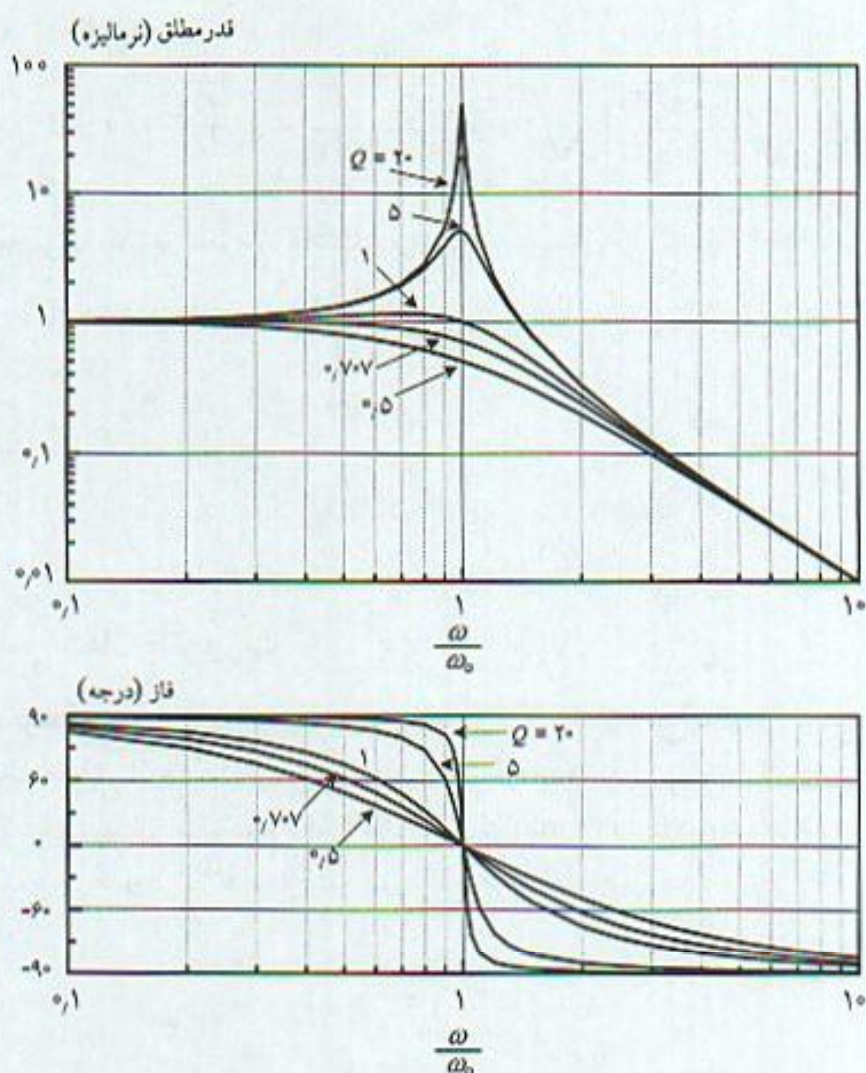
$$H(j\omega) = \frac{a_0}{1 - \left(\frac{\omega}{\omega_0}\right)^2 + j \frac{\omega}{Q\omega_0}} \quad (8-6)$$

است. شکل (۲-۶) قدر مطلق نرمالیزه شده و فاز پاسخ فرکانس سیستم مرتبه دوم را برای مقادیر مختلف  $Q$  نشان می‌دهد. ملاحظه می‌شود برای مقادیر بزرگ  $Q$  پاسخ فرکانس دارای برآمدگی (peak) است. برآمدگی‌ها در فرکانس  $\omega_r$  اتفاق می‌افتد. مقدار برآمدگی  $M_{pF}$  و فرکانس  $\omega_r$  از روابط (۸-۶) بدست می‌آید. فرکانس تشدید سیستم مرتبه دوم نامیده می‌شود.

$$\omega_r = \omega_0 \sqrt{1 - \frac{1}{2Q^2}}, \quad M_{pF} = \frac{2Q^2}{\sqrt{4Q^2 - 1}} \quad (9-6)$$

برای مقادیر  $Q < 0.707$  فرکانس  $\omega_r$  حقیقی نیست و بنابراین برآمدگی وجود ندارد. برای  $Q = 0.707$  نیز پاسخ فرکانس بدون برآمدگی و مسطح (flat) است که در طرح تقویت‌کننده‌ها اهمیت خاصی دارد. واقع این وضعیت حالت خاصی از توابع انتقال مسطح با حداکثر پهنای باند ممکن است که در بخش بعد بررسی می‌شوند. برای مقادیر بزرگ ضریب کیفیت،  $M_{pF} \approx Q$  و به ازاء  $Q = 1$ ،  $M_{pF} = 1.57$  است. برآمدگی پاسخ فرکانس پایداری نسبی سیستم را نشان می‌دهد. مقادیر  $M_{pF}$  نشان‌دهنده آن است که یک زوج مختلط نزدیک محور موهومی وجود دارد و پاسخ گذرای مناسبی بدست نمی‌آید.  $M_{pF}$  کم به معنی وجود سیستمی با میرایی خوب است. در سیستمهای عملی  $M_{pF}$  و  $\omega_r$  قابل اندازه‌گیری هستند و برای بررسی و





شکل ۲-۶ پاسخ فرکانس سیستم مرتبه ۲ بر حسب  $Q$ : الف) قدر مطلق، ب) فاز

مقایسه نتایج تجربی و نظری بسیار مفیدند. البته برای مسائل طراحی و بیان درجه میرایی سیستم از حاشیه فاز و حاشیه بهره بیشتر استفاده می‌شود. در مورد فاز پاسخ فرکانس باید گفت در فرکانسهای خیلی پایین‌تر از  $\omega_0$  تغییرات آن تقریباً به صورت خطی است و شیب آن به  $Q$  بستگی دارد. در فرکانس  $\omega_0$  و به ازاء تمام مقادیر  $Q$  مقدار فاز  $0^\circ$  و برای فرکانسهای  $\omega \gg \omega_0$  فاز به  $-90^\circ$  می‌گردد.

### ۳-۱-۶ پهنای باند سیستم‌های مرتبه دوم

با استفاده از رابطه (۸-۶) می‌توان فرکانس قطع  $3\text{ dB}$  پاسخ فرکانس سیستم مرتبه ۲ را محاسبه نمود. نتیجه این محاسبات در رابطه (۱۰-۶) خلاصه شده است.

$$\omega_H = \frac{\omega_0}{Q} \sqrt{\frac{2Q^2 - 1}{2}} \left[ 1 + \sqrt{1 + \frac{2Q^2}{(2Q^2 - 1)^2}} \right]^{0.5} \quad Q > 0.5$$



$$= \omega_0 \quad Q = 0.5 \quad (10-6 \text{ الف})$$

$$= \frac{\omega_0}{Q} \sqrt{\frac{1-2Q^2}{2}} \left[ \sqrt{1 + \frac{4Q^2}{(1-2Q^2)^2}} - 1 \right]^{0.5} \quad Q < 0.5$$

در حالت‌های خاصی که غالباً در عمل مورد استفاده قرار می‌گیرد پهنای باند از رابطه (۱۰-۶ ب) بدست می‌آید.

$$\omega_H = 1.272 \omega_0 \quad Q = 1$$

$$= \omega_0 \quad Q = 0.707 \quad (10-6 \text{ ب})$$

$$= 0.645 \omega_0 \quad Q = 0.5$$

## ۲-۶ توابع انتقال باترورث

در بخش قبل مشخص شد در توابع انتقال مرتبه ۲ و به ازاء  $Q = 0.707$  پاسخ فرکانس مسطح است. برای در نظر گرفتن حالت کلی‌تر لازم است توابع انتقالی را در نظر گرفت که دارای پاسخ فرکانس مسطح و ماکزیمم (maximally flat) باشند. این توابع بنام توابع انتقال باترورث (Butterworth) نامیده می‌شوند. برای یک تابع انتقال باترورث پایین‌گذر مرتبه  $n$  مربع قدر مطلق پاسخ فرکانس به صورت:

$$|H_n(j\omega)|^2 = \frac{1}{1 + \left(\frac{\omega}{\omega_0}\right)^{2n}} \quad (11-6 \text{ الف})$$

است. بنابراین مقدار قدر مطلق این توابع انتقال:

$$|H_n(j\omega)| = \frac{1}{\left[1 + \left(\frac{\omega}{\omega_0}\right)^{2n}\right]^{0.5}} \quad (11-6 \text{ ب})$$

پاسخ فرکانس توابع انتقال باترورث برای چند مقدار  $n$  در شکل (۱۱-۶ الف) نشان داده شده است. این توابع دارای خصوصیات کلی زیر هستند.

- برای تمام مقادیر  $n$  تابع انتقال نرمالیزه شده  $|H_n(j0)| = 1$  است.
- فرکانس قطع ۳ dB فرکانس  $\omega_0$  است.
- می‌توان نشان داد مشتق‌های تا مرتبه  $n-1$  پاسخ فرکانس  $|H_n(j\omega)|$  در فرکانس  $\omega = 0$  مساوی صفر هستند که به معنی آن است که پاسخ فرکانس در فرکانس صفر به صورت مسطح است. در واقع توابع انتقال باترورث بر اساس همین خصوصیت بدست آمده‌اند.
- برای فرکانسهای بالاتر از  $\omega_0$  پاسخ فرکانس  $|H_n(j\omega_0)|$  مشابه یک تابع انتقال فرکانس بالا با  $n$  عدد قطب است.
- با افزایش مرتبه تابع انتقال شیب پاسخ فرکانس در ناحیه گذر افزایش می‌یابد.



با جایگزینی  $\omega = \frac{s}{j}$  در رابطه (۱۱-۶) الف) می‌توان تابع انتقال باترورث مرتبه  $n$  را بر حسب فرکانس مختلط  $s$  به صورت (۱۲-۶) نشان داد:

$$|H_n(s)|^2 = \frac{1}{|1 + (-1)^n \left(\frac{s}{\omega_0}\right)^{2n}|} \quad (12-6)$$

قطب‌های تابع انتقال (۱۲-۶) به صورت:

$$s = \omega_0 (-1)^{\frac{1-n}{2n}} \quad (13-6)$$

هستند که ریشه‌های مختلف عدد  $1-n$  و تمام آنها دارای قدر مطلق  $\omega_0$  می‌باشند. به عبارت دیگر قطب‌ها روی دایره‌ای بنام دایره باترورث قرار دارند. البته ریشه‌هایی از معادله (۱۳-۶) که در سمت چپ صفحه  $s$  واقع می‌شوند قطب‌های تابع انتقال باترورث موردنظر می‌باشند. عبارت مخرج رابطه (۱۲-۶) را می‌توان حاصلضرب دو تابع به صورت:

$$|D_n(s) D_n(-s)|^2 = |1 + (-1)^n \left(\frac{s}{\omega_0}\right)^{2n}| \quad (14-6)$$

در نظر گرفت که  $D_n(s)$  چند جمله‌ای از  $s$  با ریشه‌هایی سمت چپ صفحه  $s$  با قسمت حقیقی منفی است. هم‌چنین  $|D_n(s)| = |D_n(-s)|$  و ریشه‌هایی از رابطه (۱۳-۶) که در سمت راست صفحه  $s$  قرار می‌گیرند متعلق به  $D_n(-s)$  هستند. قطب‌های توابع انتقال باترورث در چند حالت خاص در شکل (۳-۶) نشان داده شده‌اند.

## ۱-۲-۶ تابع انتقال باترورث مرتبه اول

به ازاء  $n = 1$  در رابطه (۱۱-۶) که به صورت:

$$|H_1(s)|^2 = \frac{1}{|1 - \left(\frac{s}{\omega_0}\right)^2|} \quad (15-6)$$

ساده می‌شود. با بسط عبارت مخرج رابطه (۱۵-۶) بر حسب توابع  $D_n(s)$  و  $D_n(-s)$ :

$$|H_1(s)|^2 = \frac{1}{\left| \left(1 - \frac{s}{\omega_0}\right) \left(1 + \frac{s}{\omega_0}\right) \right|} = \frac{1}{D_1(s) D_1(-s)}$$

بنابراین می‌توان نتیجه گرفت:

$$D_1(s) = \frac{1}{1 + \frac{s}{\omega_0}}, \quad D_1(-s) = \frac{1}{1 - \frac{s}{\omega_0}}$$



و تابع انتقال نرمالیزه باترورث مرتبه اول از رابطه (۶-۱۶) بدست می‌آید و قطب آن در  $s = -\omega_0$  و مشابه تابع انتقال مدار RC پایین گذر است.

$$H_1(s) = \frac{\omega_0}{s + \omega_0} \quad (۶-۱۶)$$

## ۶-۲-۲ تابع انتقال باترورث مرتبه ۲

در این حالت به ازاء  $n = 2$  و با فرض  $\omega_0 = 1$  تابع انتقال نرمالیزه شده:

$$|H_2(s)|^2 = \frac{1}{|1 + s^2|}$$

است و با توجه به بسط رابطه فوق می‌توان نشان داد:

$$D_1(s) D_2(-s) = 1 + s^2 = \left(s - \frac{-1-j}{\sqrt{2}}\right) \left(s - \frac{-1+j}{\sqrt{2}}\right) \left(s - \frac{1-j}{\sqrt{2}}\right) \left(s - \frac{1+j}{\sqrt{2}}\right)$$

و بنابراین چند جمله‌ای که دارای قطب‌هایی سمت چپ صفحه  $s$ ،  $D_2(s)$  بصورت:

$$D_2(s) = s^2 + \sqrt{2}s + 1$$

و بنابراین تابع انتقال باترورث مرتبه ۲ نرمالیزه با  $\omega_0 = 1$ :

$$H_2(s) = \frac{1}{s^2 + \sqrt{2}s + 1}$$

و در نتیجه تابع انتقال باترورث مرتبه ۲ در شرایط کلی رابطه (۶-۱۶) می‌باشد.

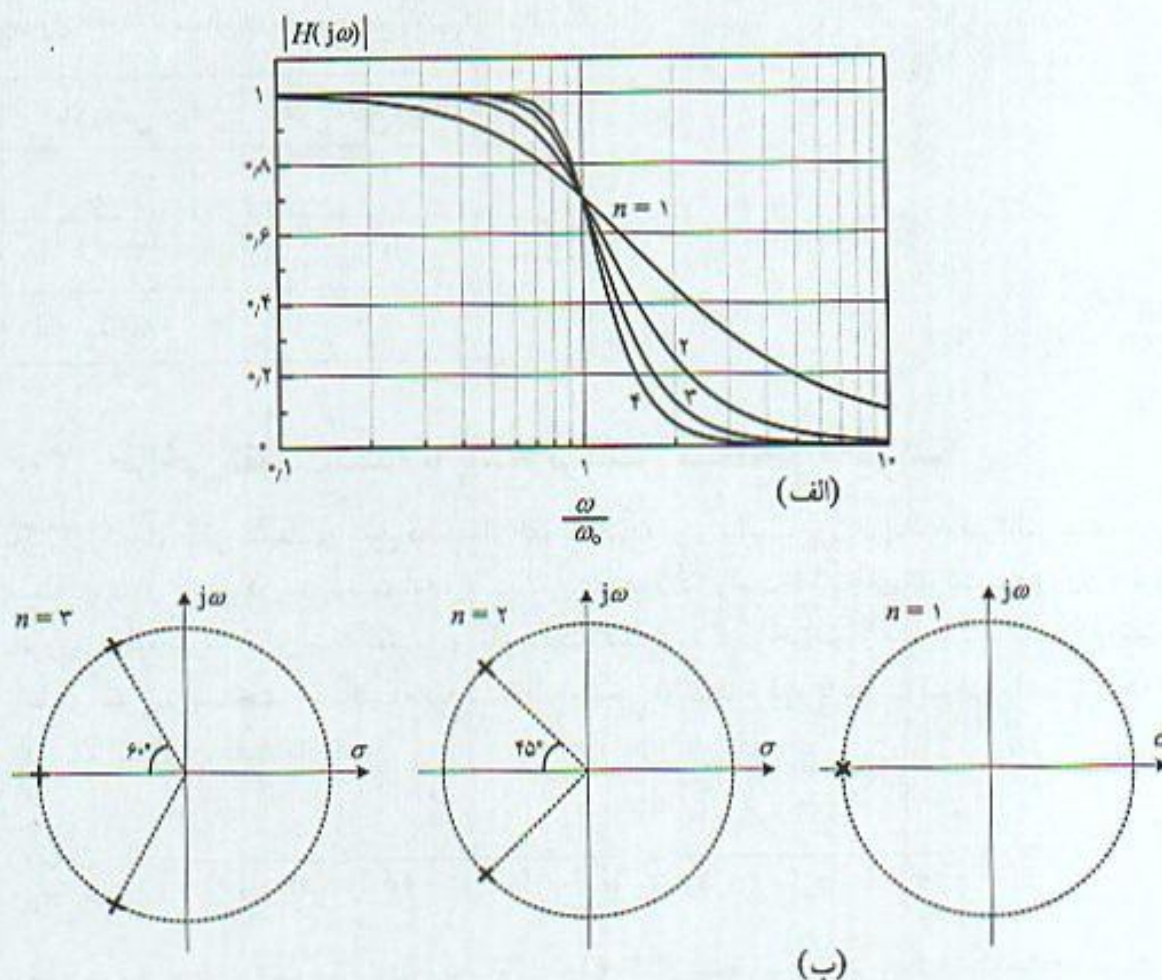
$$H_2(s) = \frac{\omega_0}{s^2 + \sqrt{2}\omega_0 s + \omega_0^2} \quad (۶-۱۷ الف)$$

این تابع انتقال مشابه تابع انتقال سیستم مرتبه دوم با  $Q = 0.707$  است که در بخش قبل مشخصات آن بررسی شد. به همین ترتیب می‌توان نشان داد برای تابع انتقال باترورث مرتبه سوم پایین گذر:

$$H_3(s) = \frac{\omega_0^3}{s^3 + 2\omega_0 s^2 + 2\omega_0^2 s + \omega_0^3} \quad (۶-۱۷ ب)$$

اثبات این رابطه در مسائل انتهای فصل بعهدہ دانشجویان واگذار می‌شود. شکل (۶-۳ ب) محل قطب‌های توابع انتقال باترورث نرمالیزه شده مرتبه ۱، ۲ و ۳ را نشان می‌دهد. این قطب‌ها روی دایره‌ای بشعاع ۱ قرار گرفته‌اند. برای حالت غیر نرمالیزه شده بشعاع دایره باترورث  $\omega_0$  است. عموماً در طرح تقویت‌کننده‌ها حالت‌های ۲ و ۳ مورد استفاده قرار می‌گیرند.





شکل ۳-۶ توابع انتقال باترورث: (الف) قدر مطلق پاسخ فرکانس نرمالیزه شده، (ب) محل قطب‌ها

### ۳-۲-۶ پهنای باند توابع انتقال باترورث

پاسخ فرکانس توابع انتقال باترورث نرمالیزه شده در شکل (۳-۶ الف) نشان می‌دهد به ازاء تمام مقادیر  $n$  فرکانس قطع شعاع دایره قطب‌ها و مقدار  $1^\circ$  است. در حالت کلی که قطب‌ها روی دایره باترورث و به شعاع  $\omega_0$  قرار دارند، فرکانس قطع ۳ dB مقدار  $\omega_0$  است.

$$\omega_H = \omega_0 = \text{شعاع دایره باترورث} \quad (۱۸-۶)$$

### ۴-۲-۶ پاسخ پله توابع انتقال باترورث

شکل (۱-۶) پاسخ پله فیلتر باترورث را در دو حالت خاص نشان می‌دهد. هم‌چنین در جدول (۱-۶) مقدار بالازدگی موجود در پاسخ پله در چند حالت خلاصه شده است. در مورد باترورث مرتبه ۳ مقدار بالازدگی ۸.۱۵٪ است که در مقایسه با سیستم مرتبه ۲ که فاقد قطب حقیقی سوم است حدود ۳٪ کاهش دارد.



جدول ۶-۱ مقدار بالازدگی در پاسخ پله تابع انتقال باترورث

مرتبۀ تابع انتقال $n$	بالازدگی $M_{pT}$
۱	٪۵
۲	٪۴٫۳
۳	٪۸٫۱۵

### ۶-۳ طراحی تقویت‌کننده با پاسخ فرکانس مسطح و ماکزیمم

تاکنون ایده‌های کلی نسبت به محل قطب‌های تقویت‌کننده برای بدست آوردن پاسخ فرکانس مناسب، مسطح و پهنای باند ماکزیمم بدست آمده است. به این منظور لازم است قطب‌های تقویت‌کننده روی دایره باترورث واقع شوند. برای اینکه قطب‌های تقویت‌کننده دارای ترکیب خاص و مناسبی باشد، لازم است رابطه‌ای بین ضرایب چند جمله‌ای معادله مشخصه و محل قطب‌ها برقرار باشد. با فرض رابطه (۶-۱۹) برای تابع انتقال در حالت کلی:

$$H(s) = \frac{K}{s^3 + b_2 s^2 + b_1 s + b_0} = \frac{K}{(s - \gamma)(s - \alpha - j\beta)(s - \alpha + j\beta)} \quad (6-19)$$

با مساوی قرار دادن ضرایب عبارت‌های مخرج رابطه (۶-۱۹)، ارتباط بین مقادیر  $\alpha$ ،  $\beta$  و  $\gamma$  (محل قطب‌ها) با ضرایب معادله مشخصه  $b_0$ ،  $b_1$  و  $b_2$  در شرایط خاص و موردنظر بدست می‌آید. در رابطه (۶-۱۹) صفری برای تابع انتقال در نظر گرفته نشده است که عموماً در تقویت‌کننده‌ها این وضعیت وجود دارد. جدول (۶-۲) ارتباط بین ضرایب چند جمله‌ای بر حسب محل قطب‌ها را در شرایط خاص و مهم نشان می‌دهد. هم‌چنین در بعضی از مسائل لازم است روابط بین محل قطب‌ها و ضرایب معادله مشخصه باشد که در جدول (۶-۳) این روابط خلاصه شده‌اند. از این جدول‌ها در طراحی تقویت‌کننده‌ها مورد استفاده قرار می‌گیرند که در مثال‌های بعد مطرح می‌شود. در حالت باترورث مرتبه سوم تابع انتقال بصورت:

$$H(s) = \frac{K}{(s - \gamma)(s - \alpha - j\sqrt{3}\alpha)(s - \alpha + j\sqrt{3}\alpha)} \quad (6-20)$$

است. در این حالت قطب‌های مختلط با زاویه  $\pm 60^\circ$  نسبت به بخش منفی محور حقیقی و بصورت شکل (۶-۳ب) روی دایره قرار می‌گیرند. سطر چهارم جدول‌های (۶-۲) و (۶-۳) روابط لازم بین ضرایب معادله مشخصه و محل قطب‌ها را نشان می‌دهد.



جدول ۶-۲ روابط بین ضرایب چند جمله‌ای و محل قطب‌ها در رابطه (۶-۱۷)

$b_0$	$b_1$	$b_2$	زاویه با محور حقیقی	خصوصیت ویژه	قطب‌های مختلط $Q$
$-a^2\gamma$	$a(a + 2\gamma)$	$-(2\alpha + \gamma)$	$0^\circ$	۲ قطب روی هم	$0.5$
$-2a^2\gamma$	$2a(a + \gamma)$	$-(2\alpha + \gamma)$	$\pm 45^\circ$	باترورت مرتبه ۲	$0.707$
$-4a^2\gamma$	$2a(2\alpha + \gamma)$	$-(2\alpha + \gamma)$	$\pm 60^\circ$	-	$1$
$-4a^3$	$4a^2$	$-4\alpha$	$\pm 60^\circ$	باترورت مرتبه ۳	$1$
$-\gamma\beta^2$	$\beta^2$	$-\gamma$	$\pm 90^\circ$	مرز ناپایداری	$\infty$

جدول ۶-۳ روابط بین محل قطب‌ها و ضرایب چند جمله‌ای در رابطه (۶-۱۷)

$\gamma$	$\beta$	$\alpha$	زاویه با محور حقیقی	خصوصیت ویژه	قطب‌های مختلط $Q$
$-b_1 - 2\alpha$	$0$	$2\alpha^2 + 2b_2\alpha + b_1 = 0$	$0^\circ$	۲ قطب روی هم	$0.5$
$-b_1 - 2\alpha$	$\alpha$	$\alpha^2 + b_2\alpha + 0.5b_1 = 0$	$\pm 45^\circ$	باترورت مرتبه ۲	$0.707$
$-b_1 - 2\alpha$	$\sqrt{3}\alpha$	$-\frac{b_1}{2b_2}$	$\pm 60^\circ$	-	$1$
$2\alpha$	$\sqrt{3}\alpha$	$-\frac{b_2}{4}$	$\pm 60^\circ$	باترورت مرتبه ۳	$1$
$-b_2$	$\sqrt{b_1}$	$0$	$\pm 90^\circ$	مرز ناپایداری	$\infty$

### مثال ۶-۱

بار دیگر تقویت‌کننده سه طبقه که در مثال (۳-۱۳) فصل سوم طرح، در فصل چهارم مثال (۴-۸) محاسبات باند میانی و در مثال (۵-۲) فصل پنجم بررسی ناپایداری آن انجام شد را در نظر بگیرید. با فرض تابع انتقال بدست آمده در مثال (۵-۲) و بر اساس قطب‌های ارائه شده در جدول (۳-۴) فرض‌های زیر را در مورد آن بررسی کنید.

- مقدار مقاومت فیدبک در مرز ناپایداری را مشخص کنید.
- مقدار مقاومت فیدبک را چنان تعیین کنید که قطب‌های موهومی با  $Q = 1$  باشند. در این حالت بهره باند میانی، ضریب عدم حساسیت و پهنای باند تقویت‌کننده چقدر است.
- در حالت (ب) و با تقریب مناسب مقدار بالازدگی پاسخ پله چقدر است.
- نتایج بدست آمده را با محاسبات دقیق مقایسه کنید.
- با استفاده از برنامه spice مدار طرح شده را بررسی و نتایج حاصل در مورد پاسخ فرکانس را مقایسه کنید.

الف) در تقویت‌کننده سه طبقه طرح شده در فصل سوم با پهنای باند ۳ MHz و با بهره ولتاژ حدود ۷۲۰۰-، فیدبک ولتاژ موازی اعمال شده و با استفاده از مثال (۵-۲) دارای تابع انتقال مدار بسته:



$$A(s) = \frac{9,67 \times 10^{-2} a_0}{s^3 + 0,528 s^2 + 0,0516 s + 9,68 \times 10^{-2} (1 + a_0 f_0)}$$

که در آن  $f_0 = -G_F$  و  $a_0 = -354 \text{ k}\Omega$  است. رابطه فوق با فرض عدم بارگذاری مدار فیدبک بر تقویت‌کننده اصلی بدست آمده است. هم‌چنین با استفاده از قواعد رسم مکان هندسی ریشه‌ها در فصل پنجم می‌توان تغییرات محل قطب‌ها را بر حسب فیدبک رسم نمود که در شکل (۴-۶) نشان داده شده است. در این شکل قطب‌های تقویت‌کننده اصلی با  $s_b$  و  $s_c$  و قطب‌های تقویت‌کننده با فیدبک با  $s_1$ ،  $s_2$  و  $s_3$  مشخص شده‌اند.

مرز ناپایداری در این حالت لازم است قطب‌ها روی محور  $j\omega$  واقع شده و  $Q$  قطب‌های مختلط بی‌نهایت می‌شود. بنابراین با استفاده از سطر آخر جدول (۲-۶) روابط زیر بین ضرایب معادله مشخصه و محل قطب‌ها برقرار است:

$$\gamma = -b_1 = -0,528$$

$$\beta^2 = b_1 = 0,0516$$

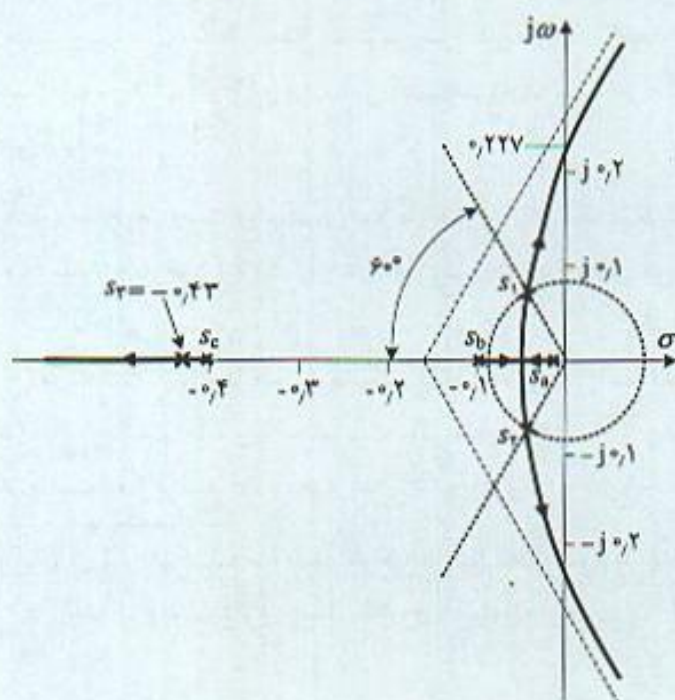
$$\Rightarrow D_{O(xax)} = (1 + a_0 f_0) = 28,2$$

$$-\gamma\beta^2 = b_0 = 9,76 \times 10^{-2} (1 + a_0 f_0)$$

بنابراین حداکثر ضریب عدم حساسیت ممکن در مرز ناپایداری و با فیدبک مقاومتی  $D_{O(xax)} = 28,2$  است. با توجه به مقدار بهره باند میانی، مقاومت فیدبک لازم در این شرایط:

$$G_F = -f_0 = -\frac{27,2}{a_0} = 0,07655 \text{ m}\Omega^{-1}, \quad R_F = 13 \text{ k}\Omega$$

از مکان هندسی ریشه‌ها ملاحظه می‌شود با  $R_F = 13 \text{ k}\Omega$  مکان هندسی محور موهومی را قطع می‌کند (از مکان هندسی ریشه‌ها ملاحظه می‌شود با  $R_F = 13 \text{ k}\Omega$  مکان هندسی محور موهومی را قطع می‌کند). هم‌چنین قطب سوم از  $-0,409$  به  $-0,43$  تغییر یافته که تغییر کمی است و بنابراین قطب‌های بزرگ تقویت‌کننده تغییرات محسوسی نخواهند داشت.



شکل ۴-۶ مکان هندسی ریشه‌های تقویت‌کننده مثال (۱-۶) با تغییر فیدبک مقاومتی



ب) مقدار فیدبک برای ضریب کیفیت ۱: در این حالت قطب‌های مختلط  $Q = 1$  و با زاویه  $\pm 60^\circ$  نسبت به محور اعداد حقیقی هستند. مقاومت فیدبک را باید مقدار مناسبی انتخاب نمود تا روابط سطر سوم جدول (۲-۶) برقرار باشد:

$$\begin{aligned} (-2\alpha + \gamma) &= b_1 = -0.528 & \alpha &= -0.49 \text{ (ns)}^{-1} \\ 2\alpha (\gamma + \alpha) &= b_1 = 0.516 & \Rightarrow \gamma &= -0.43 \text{ (ns)}^{-1} \\ -4\alpha^2\gamma &= b_0 = 9.76 \times 10^{-4} (1 + a_0 f_0) & D_0 &= (1 + a_0 f_0) = 4.3 \end{aligned}$$

با توجه به نتایج بدست آمده محل قطب‌ها  $s_1, s_2$  و  $s_3$  در شکل (۴-۶) با زاویه  $\pm 60^\circ$  مشخص شده‌اند. در این حالت گرچه دو قطب مختلط روی دایره قرار دارند اما با توجه به اینکه قطب سوم در فاصله نسبتاً دوری از محور  $j\omega$  است، ۳ قطب تقویت‌کننده نمی‌توانند حالت باترورث مرتبه ۳ را ایجاد نمایند. در بخش بعد نشان داده می‌شود برای این کار و بدست آوردن حداکثر پهنای باند مسطح لازم است تقویت‌کننده را جبران نمود. محاسبات فوق نشان می‌دهد با  $Q = 1$  برآمدگی کمی در پاسخ فرکانس وجود دارد و در عین حال ضریب عدم حساسیت کم ۴/۳ نیز بدست آمده است. مقدار مقاومت لازم فیدبک در مدار:

$$G_F = -f_0 = -\frac{3.3}{a_0} = 0.93 \times 10^{-4} \text{ m}\Omega^{-1}, \quad R_F = 104 \text{ k}\Omega$$

با این مقدار فیدبک، پهنای باند تقویت‌کننده با استفاده از رابطه (۶-۷) ب):

$$\omega_H = 0.12 \text{ Grad/s}, \quad f_H = 19 \text{ MHz}$$

بدست می‌آید که در مقایسه با پهنای باند تقویت‌کننده اصلی، ۳ MHz، پهنای باند به مقدار مثری افزایش یافته است.

ج) مقدار بالازدگی پاسخ پله: با فیدبک مقاومتی  $R_F = 104 \text{ k}\Omega$  پاسخ فرکانس تقریباً مناسب و بابرآمدگی کم ( $Q = 1$ )، ضریب عدم حساسیت ۴/۳ و پاسخ پله دارای بالازدگی ۱۵.۴۷٪ می‌باشد. بعنوان نتیجه مهم از بررسی فوق می‌توان گفت با فیدبک مقاومتی، حداکثر ضریب عدم حساسیت مقدار بسیار محدودی است و در مقایسه با مقدار موردنظر طراحی ۷۱ تفاوت زیادی دارد و از این جهت لازم است تقویت‌کننده را جبران نمود تا با داشتن ضریب عدم حساسیت بالا پاسخ فرکانس مناسب نیز بدست آید.

د) مقایسه با مقادیر دقیق: برای اطمینان از محاسبات تقریبی فوق می‌توان با استفاده از محاسبات دقیق، محل قطب‌ها را برای مقادیر مختلف مقاومت فیدبک تعیین کرد. جدول (۴-۶) محاسبات دقیق محل قطب‌ها را برای مقادیر مختلف  $R_F$  نشان می‌دهد. نتایج مهمی که از این جدول می‌توان گرفت به شرح زیر است:

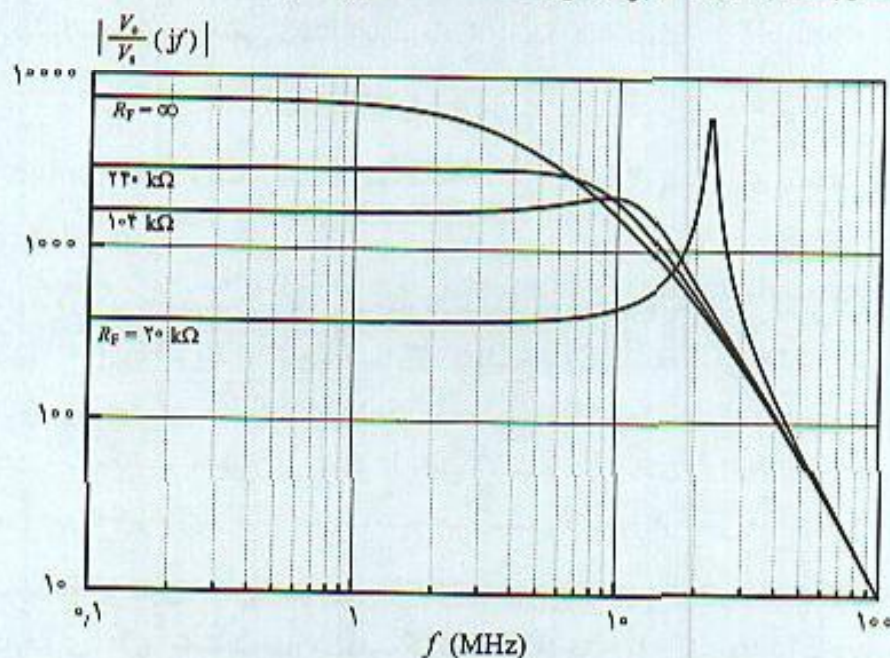
- با اِزاء  $R_F = 104 \text{ k}\Omega$  ( $G_F \approx 0.93 \times 10^{-4} \text{ m}\Omega^{-1}$ ) که محاسبات تقریبی بر اساس آن است تفاوت محل قطب‌های تقریبی و محاسبات دقیق ناچیز است.
- ۳ قطب بزرگتر تقویت‌کننده با تغییر  $R_F$  تغییرات زیادی ندارند.
- فرض عدم بارگذاری  $R_F$  بر مشخصات تقویت‌کننده اصلی فرض قابل قبولی است.



جدول ۴-۶ محل دقیق قطب‌های تقویت‌کننده مثال (۱-۶) با محاسبات دقیق

$G_F (m\Omega^{-1})$	$R_F (k\Omega)$	$s_1$	$s_2$	$s_3$	$s_4$	$s_5$	$s_6$
۰	$\infty$	-۰,۰۲۵۱	-۰,۰۹۴	-۰,۴۰۹	-۹,۵۵	-۱۸,۲۲	-۲۸,۵۶
۰,۰۰۰۰۱	۱۰۰۰	-۰,۰۴۵	-۰,۰۷۱	-۰,۴۱۲	-۹,۵۵	-۱۸,۲۲	-۲۸,۵۶
۰,۰۰۰۲۵	۴۰۰	-۰,۰۵۶ ± j۰,۰۳۶	-۰,۴۱۷	-۹,۵۵	-۱۸,۲۲	-۲۸,۵۶	
۰,۰۰۰۵	۲۰۰	-۰,۰۵۲ ± j۰,۰۶۱	-۰,۴۲۴	-۹,۵۵	-۱۸,۲۲	-۲۸,۵۶	
۰,۰۰۰۹۳	۱۰۷,۵	-۰,۰۴۷ ± j۰,۰۸۷	-۰,۴۳۵	-۹,۵۵	-۱۸,۲۲	-۲۸,۵۶	
۰,۰۰۴۶	۲۱,۷۳	-۰,۰۱۲ ± j۰,۱۸۴	-۰,۵۰۴	-۹,۵۵	-۱۸,۲۲	-۲۸,۵۶	

د) محاسبات با نرم‌افزار spice مدار کامل این تقویت‌کننده از طریق نرم‌افزار spice بررسی و پاسخ فرکانس آن در چند حالت مختلف بررسی شد. نتایج حاصل در شکل (۵-۶) به ازاء چند مقدار  $R_F$  خلاصه شده است. به ازاء مقاومت فیدبک  $104 k\Omega$ ، پاسخ فرکانس دارای برآمدگی به مقدار ۲۷٪ و پهنای باند حاصل ۱۶ MHz است. روش سعی و خطا نشان می‌دهد با مقاومت  $240 k\Omega$  پاسخ مسطح برای تقویت‌کننده بدست می‌آید. در این حالت پهنای باند ۹,۵ MHz و ضریب عدم حساسیت ۲,۴۸ می‌باشد. هم‌چنین به ازاء ضریب عدم حساسیت ۸,۷ که با مقاومت  $20 k\Omega$  بدست می‌آید برآمدگی زیادی در پاسخ فرکانس وجود دارد. این حالت در بحث بعدی که جبران تقویت‌کننده است اهمیت دارد.



شکل ۵-۶ پاسخ فرکانس تقویت‌کننده مثال (۱-۶) با نرم‌افزار spice به ازاء چند مقدار مقاومت مدار فیدبک

#### ۴-۶ جبران تقویت‌کننده‌ها با مکان هندسی ریشه‌ها

در بخش قبل در مورد مکان مناسب قطب‌های تقویت‌کننده با فیدبک برای بدست آوردن پاسخ مناسب



(مسطح با پهنای باند ماکزیمم) بحث و مشخص شد برای بدست آوردن پاسخ مناسب باید قطب‌ها روی دایره باترورث قرار داشته باشند. هم چنین مثال (۶-۱) نشان داد با فیدبک مقاومتی، حداکثر ضریب عدم حساسیت مقدار بسیار محدودی است. بنابراین لازم است به نحو مناسبی تقویت‌کننده را اصلاح کرد تا پاسخ مناسب با ضریب عدم حساسیت بالا بدست آید. اساس این کار اصلاح مدار فیدبک، اصلاح مدار تقویت‌کننده اصلی و یا اصلاح همزمان دو مدار است. به این روش عموماً جبران (compensate) تقویت‌کننده گفته می‌شود و با اضافه کردن مدار جبران‌کننده (compensator) شامل عناصر غیر فعال (سلف و خازن) انجام می‌پذیرد. در این بخش روشهای مختلف جبران با استفاده از مکان هندسی ریشه‌ها معرفی می‌شود.

### ۶-۴-۱ جبران تقویت‌کننده با اصلاح مدار فیدبک

یکی از روشهای مهم جبران اصلاح مدار فیدبک است. با اضافه کردن عناصر راکتیو به مدار فیدبک می‌توان مکان هندسی ریشه‌ها را به نحو مناسبی تغییر داد بطوری‌که قطب‌های تقویت‌کننده مدار بسته روی دایره باترورث قرار گرفته و حداکثر پهنای باند مسطح (maximally flat) را بدست آورد. در مثال (۶-۲) این روش جبران در مورد تقویت‌کننده ۳ طبقه معرفی می‌کند.

#### مثال ۶-۲

در مثال (۶-۱) تقویت‌کننده ۳ طبقه با فیدبک مقاومتی به طور کامل بررسی شد. در این مثال برای جبران تقویت‌کننده از طریق اصلاح مدار فیدبک، خازن  $C_F$  به موازات  $R_F$  اضافه می‌شود.

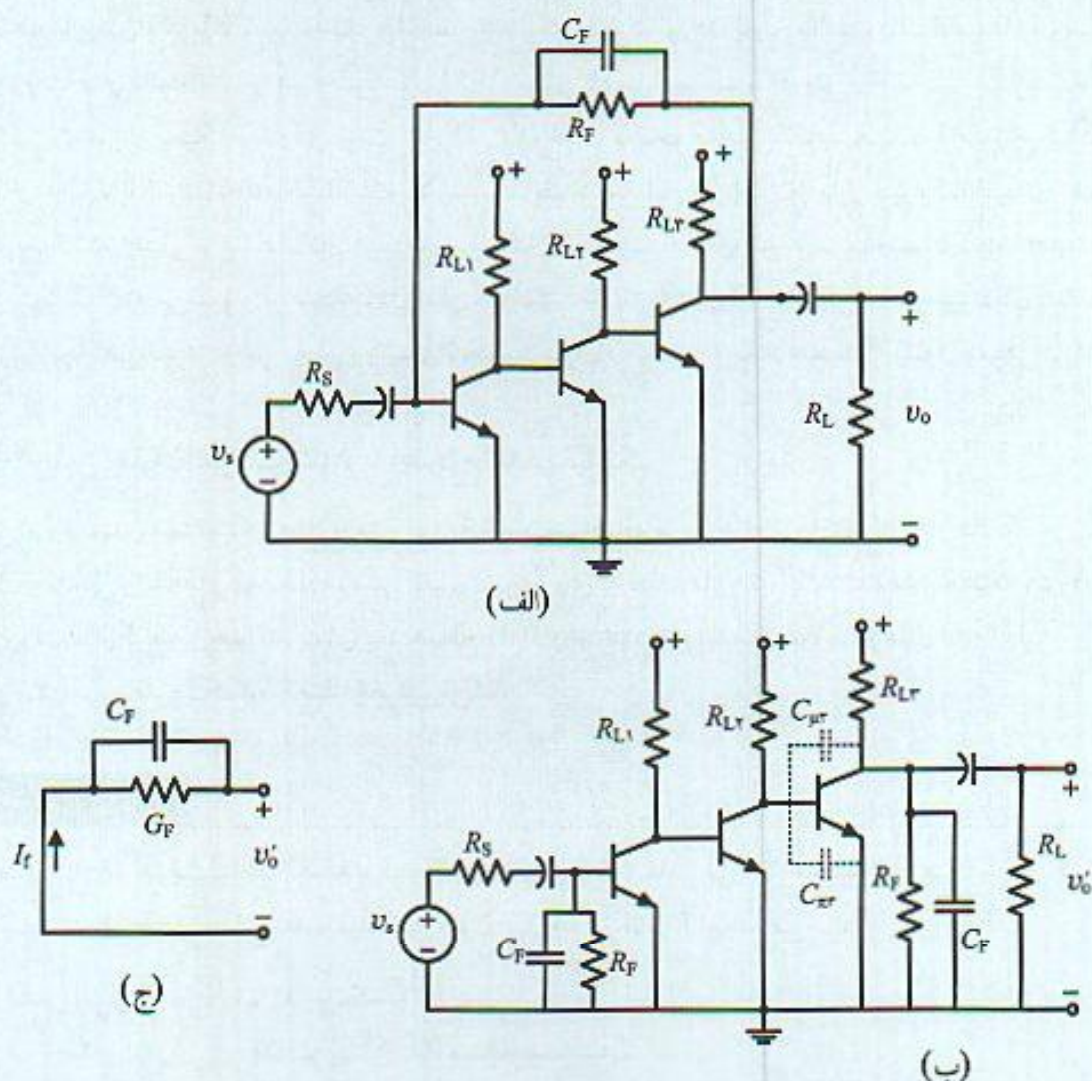
الف) اثر این خازن را بر تقویت‌کننده بررسی کنید.

ب) مقدار آن را برای حداکثر پهنای باند مسطح محاسبه کنید.

الف) شکل (۶-۶) تقویت‌کننده جبران شده، تقویت‌کننده اصلی و مدار معادل شبکه فیدبک را نشان می‌دهد. تقویت‌کننده اصلی شامل ۸ خازن است که خازنهای طبقه خروجی یک حلقه خازنی را تشکیل می‌دهند. بنابراین تعداد عناصر مستقل ذخیره‌کننده انرژی مدار ۷ و بنابراین تعداد قطب‌ها نیز ۷ خواهد بود. با ۳ فرض اساسی و قابل قبول می‌توان محاسبات تقریبی را در مورد مدار انجام داد:

- اثر بارگذاری مقاومت فیدبک  $R_F$  در تقویت‌کننده اصلی قابل صرف‌نظر است.
  - در ادامه محاسبات مشخص می‌شود که مقدار خازن فیدبک  $C_F$  کسری از پیکو فاراد است. بنابراین قطب حاصل از آن بزرگ است و با توجه به اصل ثابت ماندن قطب‌های بزرگ، با تغییر فیدبک قطب حاصل از آن نیز تغییر زیادی نمی‌کند.
  - اضافه شدن خازن در مدار فیدبک تغییری در محل قطب‌های تقویت‌کننده اصلی بوجود نمی‌آورد.
- در واقع با این فرض‌ها است که می‌توان بر اساس مکان هندسی ریشه‌های تابع انتقال تقویت‌کننده مدار بسته حل مسئله را ادامه داد. چون با توجه به مجهول بودن مقدار مقاومت و خازن حل مسئله عملی نخواهد بود. با این فرضیات تقریبی از مقادیر مناسب این عناصر بدست می‌آید. مقادیر دقیق این عناصر را با روشهای دقیق که با محاسبات دقیق کامپیوتری انجام می‌شود، بدست می‌آید.





شکل ۶-۶ تقویت‌کننده مثال (۲-۶): (الف) تقویت‌کننده با فیدبک، (ب) مدار معادل تقویت‌کننده اصلی، (ج) مدار معادل فیدبک

با توجه به بحث فوق تابع انتقال تقویت‌کننده اصلی با فرض ۳ قطب کوچکتر به عنوان قطب‌های مهم و موثر مدار:

$$A(s) = \frac{9.67 \times 10^{-4} a_0}{(s + 0.025)(s + 0.0943)(s + 0.409)} \quad (۲۱-۶)$$

با استفاده از مدار معادل فیدبک، تابع انتقال شبکه فیدبک:

$$f(s) = \frac{I_F}{V_O} = -(G_F + s C_F) \quad (۲۲-۶ \text{ الف})$$

که می‌توان آنرا به صورت رابطه (۲۲-۶ ب) نیز نشان داد:

$$f(s) = f_0 \left( 1 + \frac{s}{s_z} \right) \quad (۲۲-۶ \text{ ب})$$



که در آن:

$$f_0 = -G_F \quad \text{و} \quad s_z = \frac{1}{R_F C_F} \quad (۲۲-۶ \text{ ج})$$

در رابطه (۲۲-۶) مقدار فیدبک در باند میانی با اندیس پریم نشان داده شده است که با مثال (۱-۶) اشتباه نشود. بنابراین با توجه به روابط فوق عبارت بهره حلقه تقویت‌کننده جبران شده:

$$T(s) = \frac{9.67 \times 10^{-2} a_0 f_0 \left(1 + \frac{s}{s_z}\right)}{(s + 0.025)(s + 0.0943)(s + 0.409)} \quad (۲۳-۶)$$

ب) عبارت بهره حلقه نشان می‌دهد یک صفر در  $s = -s_z$  به تابع انتقال اضافه شده است که به کمک آن می‌توان بطور موثری مکان هندسی ریشه‌ها را تغییر داد و پاسخ فرکانس مناسب بدست آورد. با توجه به اضافه شدن صفر در مدار فیدبک به این نوع جبران، جبران صفر در مدار فیدبک (feedback zero compensation) گفته می‌شود.

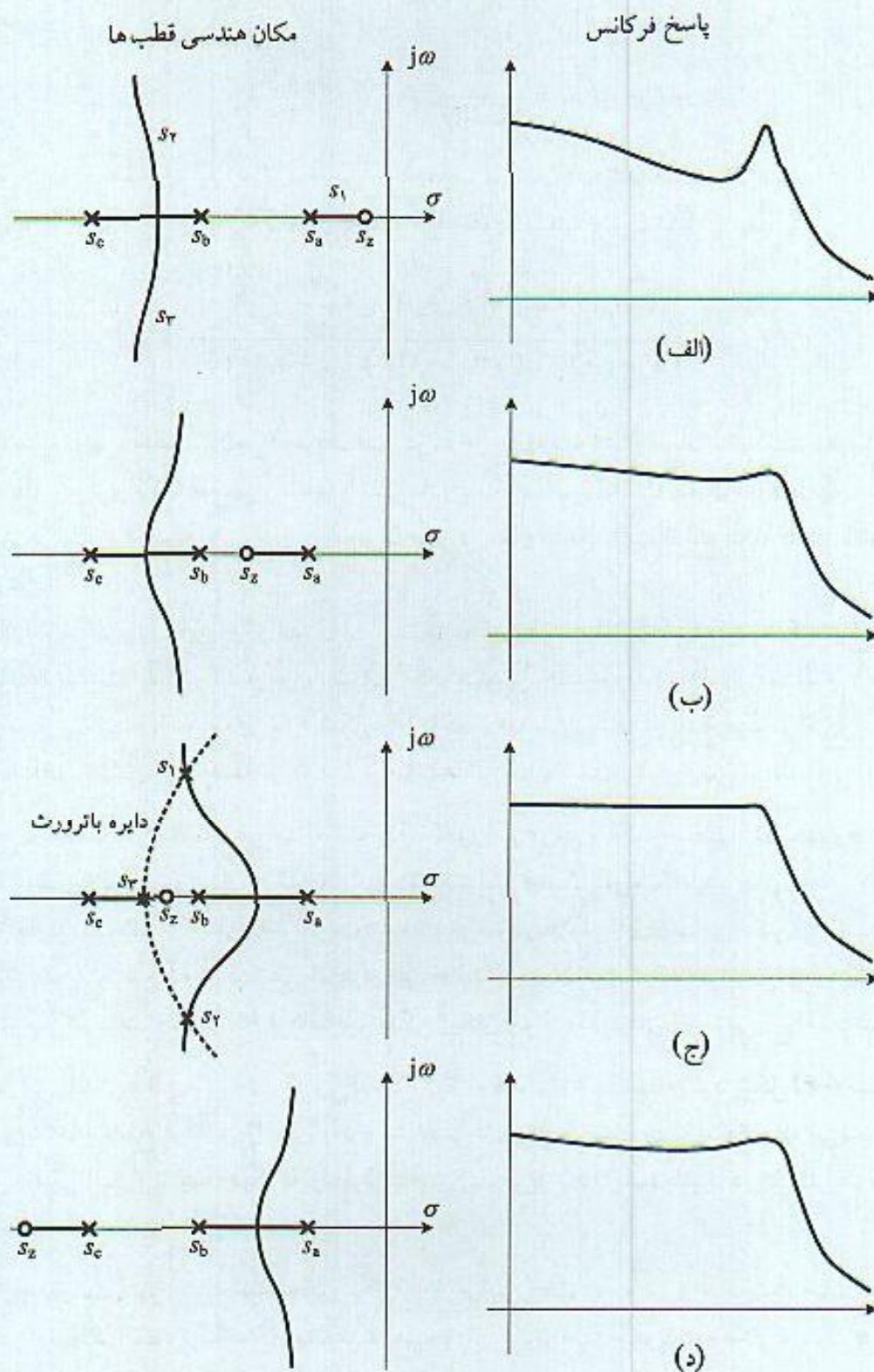
سوال اساسی در مورد این روش جبران آن است که محل صفر تابع انتقال شبکه فیدبک کجا واقع شود تا پاسخ مسطح بدست آید؟ در پاسخ به این سوال، مکان هندسی ریشه‌ها را برای مقادیر مختلف  $s_z$  در نظر گرفته و محل مناسب آن انتخاب می‌شود. شکل (۷-۶) مکان هندسی ریشه‌ها و پاسخ فرکانس مربوط را برای مقادیر مختلف  $s_z$  نشان می‌دهد که در هر یک از حالت‌ها اثر اضافه شدن صفر بررسی می‌شود.

الف) در ساده‌ترین حالت صفر اضافه شده بین محور موهومی و اولین قطب  $s_1$  بصورت شکل (۷-۶ الف) قرار داده می‌شود. در این شرایط به ازاء تمام مقادیر فیدبک تقویت‌کننده پایدار و قطب کوچکتز به محور  $j\omega$  نزدیک شده و پهنای باند تقویت‌کننده کم می‌شود. علاوه بر آن قطب کوچکتز می‌تواند بعنوان قطب موثر تقویت‌کننده با فیدبک تلقی شود. در این حالت از مزیت فیدبک که افزایش پهنای باند است استفاده‌ای نمی‌شود. هم‌چنین پاسخ فرکانس برآمدگی زیادی حوالی قطب‌های موهومی خواهد داشت.

ب) در این حالت فرض می‌شود صفر بین قطب اول  $s_1$  و قطب دوم  $s_2$  اضافه شود. شکل (۷-۶ ب) مکان هندسی ریشه‌ها و پاسخ فرکانس را برای مقدار مشخصی از محل  $s_z$  نشان می‌دهد. ملاحظه می‌شود قطب کوچکتز حقیقی است و ۲ قطب دیگر به ازاء فیدبک‌های زیاد می‌توانند مختلط باشند. در این شرایط حداکثر پهنای باند مسطح بدست نمی‌آید.

ج) در این حالت صفر اضافه شده مطابق شکل (۷-۶ ج) بین قطب دوم و سوم اضافه شده است. ملاحظه می‌شود در این حالت نقطه ترک مکان ریشه‌ها به قطب  $s_2$  نزدیک‌تر است و دو شاخه مکان هندسی به سمت چپ صفحه  $s$  متمایل می‌شوند. از آنجایی که مکان هندسی دارای دو مجانب است شاخه‌های مکان به موازات محور موهومی قرار خواهند داشت. در این حالت تقویت‌کننده فیدبک به ازاء تمام مقادیر فیدبک پایدار است و مهم‌تر آنکه با انتخاب مناسب محل صفر می‌توان پاسخ فرکانس مناسب و حداکثر پهنای باند مسطح را بدست آورد.





شکل ۶-۷ مکان هندسی ریشه‌ها و پاسخ فرکانس تقویت‌کننده مثال (۶-۲) به ازاء مقادیر مختلف صفر اضافه شده در مدار



د) در این حالت صفر اضافه شده سمت چپ قطب سوم  $s_0$  قرار گرفته که در شکل (۶-۷) نشان داده شده است. در این شرایط یکی از شاخه‌های مکان هندسی از این قطب شروع شده و به محل صفر اضافه شده ختم می‌شود. ۲ شاخه دیگر از  $s_0$  و  $s_0$  شروع و از نقطه‌ای از محور حقیقی جدا و به مجانبهای مکان که با زاویه  $\pm 90^\circ$  هستند میل می‌کنند. از آنجایی که قطب سوم به سمت چپ صفحه  $s$  حرکت می‌کند برای ثابت ماندن متوسط قطب‌ها، لازم است نقطه ترک مکان هندسی به قطب  $s_0$  نزدیکتر باشد. هم‌چنین دو شاخه مکان هندسی به محور موهومی نزدیک شده و به موازات آن ادامه می‌یابند. در این حالت با انتخاب مناسب محل صفر می‌توان به ازاء تمام مقادیر فیدبک را پایدار نمود. اما واضح است که برای مقادیر بزرگ ضریب عدم حساسیت،  $Q$  قطب‌های موهومی زیاد شده و پاسخ فرکانس مناسب بدست نمی‌آید.

از بحث فوق به وضوح ملاحظه می‌شود بهترین حالت جبران روش (ب) است که صفر حاصل از مدار فیدبک جایی بین قطب دوم و سوم اضافه شده و با انتخاب مناسب محل صفر می‌توان سه قطب کوچکتر را روی دایره باترورث قرار داد و یک فیلتر فعال باترورث مرتبه ۳ با حداکثر پهنای باند مسطح را بدست آورد. برای انجام محاسبات و تعیین محل صفر، با توجه به رابطه (۶-۱۸) و (۶-۲۱) تابع انتقال مدار بسته:

$$A(s) = \frac{9.67 \times 10^{-2} a_0}{s^2 + 0.528 s^2 + (0.516 + 9.76 \times 10^{-2} a_0 f_0) s + 9.76 \times 10^{-2} (1 + a_0 f_0)} \quad (24-6)$$

برای ایجاد شرایط پاسخ مسطح و ماکزیمم از معادله مشخصه مخرج رابطه (۶-۲۴) است و با استفاده از سطر چهارم جدول (۶-۲) و (۶-۳):

$$b_2 = -4\alpha = 0.528 \Rightarrow \alpha = -0.132 \text{ (ns)}^{-1}$$

$$b_1 = 4\alpha^2 \Rightarrow \gamma = -0.264 \text{ (ns)}^{-1}$$

و بنابراین:

$$b_0 = -8\alpha^2 \Rightarrow 9.76 \times 10^{-2} (1 + a_0 f_0 / s_z) = 18.4 \times 10^{-2}$$

از رابطه فوق می‌توان ضریب عدم حساسیت و مقدار  $s_z$  را بدست آورد.

$$D_0 = 19.2, \quad s_z = -0.2 \text{ (ns)}^{-1}$$

محاسبات فوق نشان می‌دهد صفر اضافه شده در  $s_z = -0.2 \text{ (ns)}^{-1}$  و بین قطب دوم و سوم است. ضریب عدم حساسیت بدست آمده ۱۹.۲ می‌باشد. از روابط (۶-۲۰) و مقدار بهره باند میانی  $a_0 = -254 \text{ k}\Omega$  عناصر مناسب مدار جبران بدست می‌آیند.

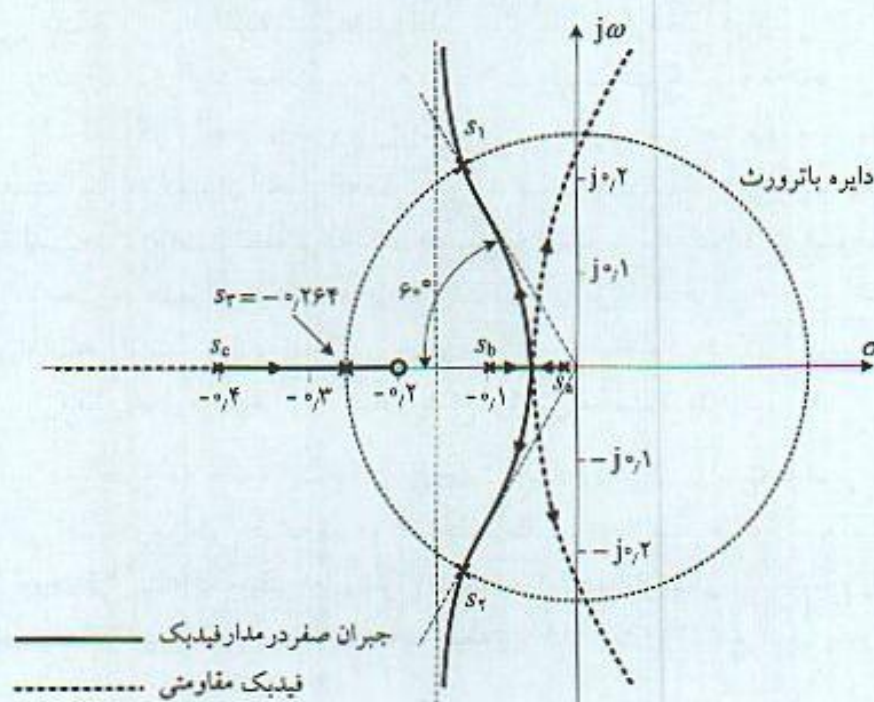
$$f_0 = -G_F = -0.51 \text{ m}\Omega^{-1} \Rightarrow R_F = 20 \text{ k}\Omega$$

(۶-۲۵)

$$s_z = -0.2 = -\frac{1}{R_F C_F} \Rightarrow C_F = 0.255 \text{ pF}$$

در این شرایط قطب‌های تقویت‌کننده مدار بسته:





شکل ۶-۸ مکان هندسی ریشه‌های تقویت‌کننده ۳ طبقه جبران شده با اصلاح مدار فیدبک

$$s_1, s_2 = -0.1323 (\text{ns})^{-1} \pm j 0.228 \text{ Grad/s}, \quad s_r = \gamma = 2\alpha = -0.264 (\text{ns})^{-1} \quad (26-6)$$

پهنای باند تقویت‌کننده در این شرایط شعاع دایره باترورث و قدر مطلق محل قطب سوم است، بنابراین:

$$\omega_H = |\gamma| = |2\alpha| = 0.264 \text{ Grad/s} \Rightarrow f_H = 41 \text{ MHz} \quad (27-6)$$

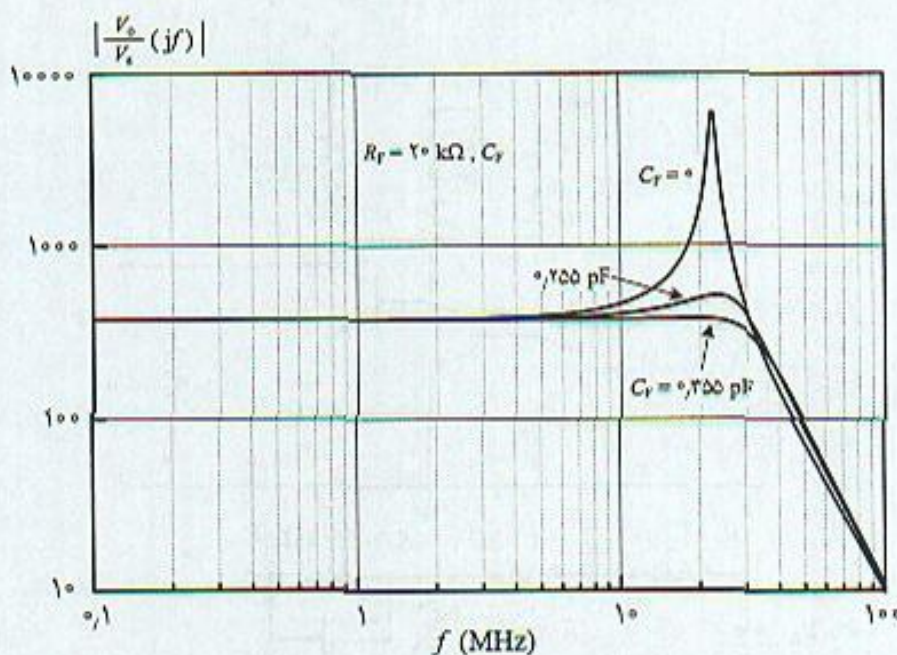
مقایسه این روش جبران با مثال (۶-۱) نشان می‌دهد جبران صفر در مدار فیدبک در مقایسه با فیدبک مقاومتی، ضریب عدم حساسیت را از ۴٫۳ به ۱۹٫۲ و پهنای باند را از ۱۹ MHz به ۴۱ MHz افزایش داده است. شکل (۶-۸) مکان هندسی ریشه‌های تقویت‌کننده جبران شده را نشان می‌دهد.

برای اطمینان از محاسبات انجام شده تقویت‌کننده کامل با مدار جبران با محاسبات دقیق بررسی شده است. جدول (۶-۵) محل دقیق قطب‌ها را نشان می‌دهد. با مقایسه با روش تقریبی بکار رفته، می‌توان دید فرض اولیه (طراحی بر اساس ۳ قطب) تقریب مناسبی بوده است. هم‌چنین قطب‌های بزرگتر با حضور خازن مدار فیدبک تغییرات قابل ملاحظه‌ای ندارند.

جدول ۶-۵ محل دقیق قطب‌های تقویت‌کننده ۳ طبقه با جبران صفر در مدار فیدبک با محاسبات دقیق

$G_F \text{ m}\Omega^{-1}$	$C_F \text{ pF}$	$s_1$	$s_2$	$s_3$	$s_4$	$s_5$	$s_6$	$s_7$
۰	۰	$-0.025 - 0.094j$	$-0.409$	$-9.55$	$-18.22$	$-28.56$	۰	۰
۰٫۰۱	۰٫۰۵۱	$-0.075 \pm j0.082$	$-0.274$	$-9.32$	$-18.22$	$-28.56$	$-503.5$	
۰٫۰۵۱	۰٫۲۵۵	$-0.121 \pm j0.24$	$-0.26$	$-8.45$	$-18.82$	$-28.56$	$-112.3$	
۰٫۱۰۲	۰٫۵۱	$-0.123 \pm j0.282$	$-0.255$	$-7.48$	$-18.14$	$-28.56$	$-64.3$	



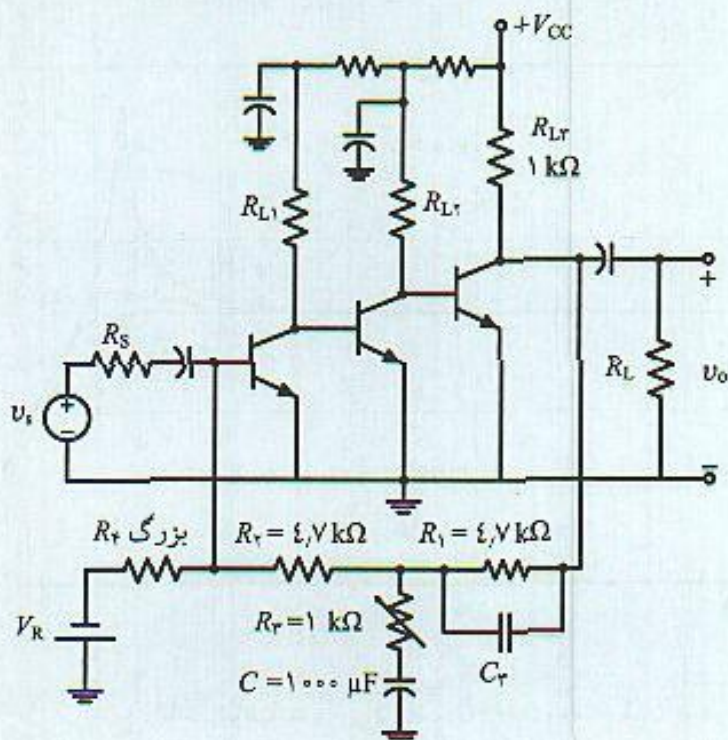


شکل ۹-۶ پاسخ فرکانس تقویت‌کننده جبران شده مثال (۲-۶) با اضافه شدن صفر در مدار فیدبک در ۳ حالت مختلف از spice

نتایج بررسی تقویت‌کننده جبران شده با نرم‌افزار spice در شکل (۹-۶) نشان داده شده است. ملاحظه می‌شود تقویت‌کننده مدار بسته دارای بهره و لنتاژ  $379.05 -$  در باند میانی، پهنای باند  $34.95$  MHz و برآمدگی پاسخ فرکانس  $36.4\%$  است. برای کاهش این مقدار برآمدگی مقدار خازن را افزایش داده و باروش سعی و خطا بهترین مقدار آن برای پاسخ مسطح  $0.255$  pF بدست می‌آید. در این شرایط پهنای باند تقویت‌کننده مختصری کاهش یافته و به  $33.85$  MHz خواهد رسید. جهت مقایسه پاسخ فرکانس مدار بدون خازن جبران و با مقاومت  $20$  kΩ از مثال (۱-۶) نیز در شکل (۹-۶) ترسیم شده است. ملاحظه می‌شود خازن جبران برآمدگی زیاد پاسخ فرکانس با فیدبک مقاومتی را از حذف می‌کند.

خازن  $0.255$  pF مقدار بسیار کوچک و غیر عملی است. معمولاً این مقدار خازن در هر مدار بصورت خازن اضافی (parasitic) بین صفحه مدار چاپی و پایه‌های ترانزیستور وجود دارد. برای اصلاح مدار و بدست آوردن خازن مناسب و عملی، می‌توان مدار فیدبک فرکانس بالا و فرکانس پایین را ترکیب و مدار کامل شکل (۱۰-۶) را بدست آورد. مقاومت‌های  $R_1$  و  $R_2$  تشکیل یک مقسم جریان می‌دهند و باعث می‌شوند بخش کوچتری از سیگنال خروجی به ورودی فیدبک شود. از این جهت می‌توان خازن مدار جبران را بزرگتر از مقدار محاسبه شده در مثال (۲-۶) انتخاب نمود. هم‌چنین در این مدار بایاس کلکتور ترانزیستورها از یک منبع تغذیه انجام شده و فیلترهای بای پس لازم نیز بکار رفته است. بررسی دقیق این مسئله در یکی از مسائل تمرین انتهای فصل و به عهده دانشجویان واگذار می‌شود. آخرین نکته قابل ذکر در مورد مدار شکل (۱۰-۶) آن است که به علت وجود خازنهای پراکنده بین مدار چاپی و عناصر بکار رفته، ممکن است پهنای باند زیاد محاسبه شده در عمل بدست نیاید. در این رابطه تجربه عملی در طرح مدار چاپی برای کاهش خازنهای اضافی مدار اهمیت دارد. هم‌چنین با توجه به پهنای باند زیاد لازم است فیلترهای بای پس بکار رفته در مدار بدرستی طراحی شده و در طول این پهنای باند زیاد خازنهای مناسب انتخاب شوند.





شکل ۶-۱۰ مدار کامل تقویت کننده ۳ طبقه مثال (۶-۲)

### مثال ۶-۳

در تقویت کننده شکل (۶-۱۱ الف) از فیدبک جریان - سری استفاده شده است. مشخصات ترانزیستورها در نقطه کار بکار رفته و سایر عناصر مدار :

$$\beta_o = 50, r_x = 25 \Omega, r_{\pi} = 250 \Omega, g_m = 200 \text{ mS}^{-1}, C_{\pi} = 50 \text{ pF}, C_{\mu} = 5 \text{ pF}$$

$$R_s = 1 \text{ k}\Omega, R_L = 50 \Omega, R_{L1}, R_{L2}, R_{L3} : \text{بزرگ و قابل صرف نظر}$$

می باشند. تقویت کننده را با ضریب عدم حساسیت ۵۰ و پاسخ فرکانس مسطح طرح کنید.

شکل (۶-۱۱ ب) مدار معادل فرکانس بالای این تقویت کننده را نشان می دهد. با توجه به نوع فیدبک و عناصر بکار رفته، بهره باند میانی :

$$a_o = \frac{i_o}{v_s} = 100 \text{ mS}^{-1} \quad (۶-۲۸)$$

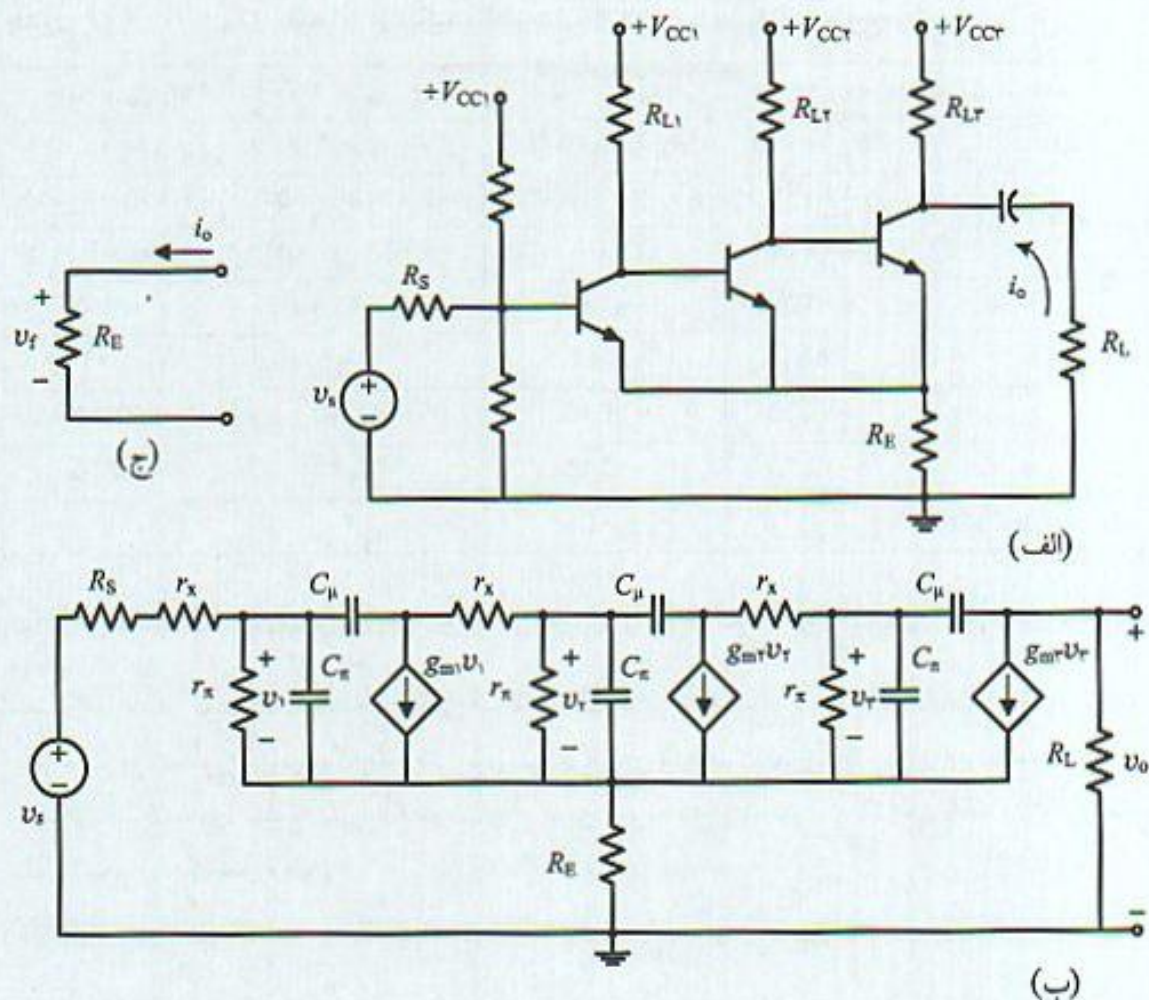
شکل (۶-۱۱ ج) مدار معادل شبکه فیدبک را نشان می دهد که در آن :

$$f_o = \frac{v_F}{i'_o} = R_E \quad (۶-۲۹)$$

با توجه به ضریب عدم حساسیت مورد نظر ۵۰

$$1 + a_o f_o = 50 \Rightarrow f_o = R_E = 50 \Omega$$





شکل ۱۱-۶ تقویت‌کننده ۳ طبقه مثال (۳-۶): الف) تقویت‌کننده، ب) تقویت‌کننده اصلی، ج) مدار فیدبک

بنابراین مسئله طرح تقویت‌کننده‌ای است که با مقاومت  $0.5 \Omega$  و در صورت نیاز با مدار جبران‌کننده دارای پاسخ فرکانس مسطح باشد. روش معمول در حل این مسائل در مثال (۲-۶) معرفی شد. در این بخش روش دیگری برای طرح این مدار بکار می‌رود. بر اساس این روش ابتدا شبکه فیدبک برای ضریب عدم حساسیت موردنظر انتخاب و سپس قطب‌های تابع انتقال مدار بسته  $A(s)$  تعیین می‌شوند. چنانچه قطب‌های بدست آمده پاسخ فرکانس مناسب را بوجود می‌آورند حل مسئله پایان یافته، در غیر اینصورت جبران‌کننده مناسب برای رسیدن به پاسخ مطلوب طراحی می‌شود.

جدول (۶-۶) نتایج بررسی دقیق محل قطب‌های تقویت‌کننده مدار بسته که بر مبنای مقاومت امپتر و ضریب عدم حساسیت مرتب شده‌اند را نشان می‌دهد. ملاحظه می‌شود برای ضریب عدم حساسیت موردنظر مدار دارای زوج قطب نزدیک محور موهومی است. تقویت‌کننده پایدار اما پاسخ فرکانس آن دارای برآمدگی زیادی است. با فیدبک مقاومتی برای بدست آوردن پاسخ مسطح باید ضریب عدم حساسیت را کم نمود. با مقاومت  $0.5 \Omega$  ضریب عدم حساسیت ۵ بدست می‌آید و مشخصات مدار:



جدول ۶-۶ محل دقیق قطب‌های تقویت‌کننده ۳ طبقه مثال (۳-۶) در شرایط مختلف و با محاسبات دقیق

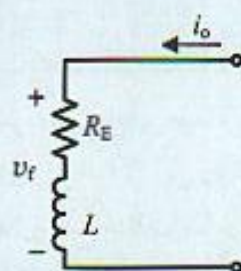
ضریب عدم حساسیت	$a_0 f_0 = 0$	$a_0 f_0 = 5$	$a_0 f_0 = 10$	$a_0 f_0 = 50$
مقاومت امیتر	$R_E = 0 \Omega$	$R_E = 0,05 \Omega$	$R_E = 0,1 \Omega$	$R_E = 0,5 \Omega$
$s_1$	$-0,007$	$-0,024 + j0,035$	$-0,022 + j0,052$	$-0,005 + j0,116$
$s_2$	$-0,047$	$-0,024 - j0,035$	$-0,022 - j0,052$	$-0,005 - j0,116$
$s_3$	$-0,357$	$-0,363$	$-0,368$	$-0,401$
$s_4$	$-8,05$	$-8,04$	$-8,04$	$-8,01$
$s_5$	$-12,15$	$-12,15$	$-12,15$	$-12,15$
$s_6$	$-15,25$	$-15,25$	$-15,25$	$-15,25$
قطب‌های مختلط $Q$	-	0,95	1,3	10

$$Q = 0,95, D_0 = 5, \omega_H = 0,03 \text{ Grad/s}, f_H = 4,8 \text{ MHz} \quad (30-6)$$

است و تقریباً می‌توان گفت پاسخ فرکانس مسطح است. بنابراین واضح است پاسخ مسطح با ضریب عدم حساسیت موردنظر ۵۰ با فیدبک مقاومتی بدست نمی‌آید و لازم است تقویت‌کننده را جبران نمود. برای جبران مدار، سلف  $L$  را با مقاومت  $R_E$  سری نموده که در شکل (۱۲-۶) ملاحظه می‌شود. تابع انتقال شبکه فیدبک بصورت:

$$f(s) = R_E + Ls \quad (31-6)$$

است که نشان می‌دهد یک صفر به تابع انتقال بهره حلقه اضافه شده است. با توجه به مثال (۲-۶) این صفر باید بین قطب دوم و سوم قرار گیرد. به روش سعی و خطا محل دقیق این صفر محاسبه شود. با توجه به محل قطب‌های تقویت‌کننده اصلی از جدول (۶-۶) فاصله متوسط قطب‌ها از محور موهومی (مرکز ثقل مکان هندسی):



شکل ۱۲-۶ مدار فیدبک برای جبران صفر در تقویت‌کننده مثال (۳-۶)

$$\text{فاصله متوسط قطب‌ها} = -\frac{0,413}{3} = -0,1377 \text{ (ns)}^{-1}$$

برای ایجاد پاسخ فرکانس مسطح، قطب‌های تقویت‌کننده جبران شده روی دایره باتروث با قطب‌هایی در  $2\alpha$  و  $\alpha \pm j\sqrt{3}\alpha$  واقع می‌شوند. در این شرایط مرکز ثقل مکان هندسی  $-0,1377 \text{ (ns)}^{-1}$  است و:

$$\text{فاصله متوسط قطب‌ها} = \frac{2\alpha}{3} = -0,1377 \text{ (ns)}^{-1} \Rightarrow \alpha = -0,102 \text{ (ns)}^{-1}$$

در نتیجه قطب‌های تقویت‌کننده جبران شده:



$$s_1, s_2 = -0,102 \pm j0,125, \quad s_3 = 2\alpha = -0,205$$

اولین حدس برای صفر مدار فیدبک را  $s_z = -0,1 \text{ (ns)}^{-1}$  در نظر گرفته و مقدار سلف لازم:

$$L = -\frac{R_E}{s_z} = \frac{0,5 \times 10^{-3} \text{ k}\Omega}{0,1 \text{ (ns)}^{-1}} = 5 \times 10^{-3} \mu\text{H} \Rightarrow L = 5 \text{ nH}$$

بدست می‌آید. با مشخص شدن مقدار سلف می‌توان محل قطب‌های مدار جبران شده را بدست آورد که نتیجه در جدول (۷-۶) خلاصه شده است. ملاحظه می‌شود با سلف انتخاب شده، صفر حاصل از مدار فیدبک به محور موهومی نزدیک می‌باشد. حدس بعدی  $s_z = -0,125 \text{ (ns)}^{-1}$  است که مقدار سلف لازم  $L = 4 \text{ nH}$  را بدست می‌دهد. از جدول (۷-۶) ملاحظه می‌شود در این شرایط صفر انتخاب شده به محور موهومی نزدیک است. بررسی مسئله به روش سعی و خطا نشان می‌دهد انتخاب مناسب:

$$s_z = -0,11 \text{ (ns)}^{-1} \Rightarrow L = 4,5 \text{ nH}$$

در این شرایط با تقریب خوبی قطب‌ها به محل موردنظر نزدیک می‌باشند. پهنای باند حاصل با استفاده از فیلتر باتروث:

$$Q \approx 1, \quad D_0 = 50, \quad \omega_H = 0,198 \text{ Grad/s}, \quad f_H = 32 \text{ MHz} \quad (32-6)$$

جدول ۷-۶ محل دقیق قطب‌های تقویت‌کننده ۳ طبقه مثال (۳-۶) و جبران صفر در مدار فیدبک با محاسبات کامپیوتری

$s_z \text{ (ns)}^{-1}$	-0,1	-0,125	-0,11
$L \text{ (nH)}$	5	4	4,5
$s_1$	$-0,115 + j0,144$	$-0,078 + j0,13$	$-0,097 + j0,135$
$s_2$	$-0,115 - j0,144$	$-0,078 - j0,13$	$-0,097 - j0,135$
$s_3$	-0,161	-0,238	-0,198
$s_4$	$-6,86 + j5,56$	$-8,2 + j5,71$	$-7,45 + j5,65$
$s_5$	$-6,86 - j5,56$	$-8,2 - j5,71$	$-7,45 - j5,65$
$s_6$	-11,9	-11,9	-11,9
$s_7$	-15,1	-15,1	-15,1
$Q$ قطب‌های مختلط	3,1	1,3	0,95

با جبران تقویت‌کننده ضریب عدم حساسیت از ۵ به ۵۰ و پهنای باند از ۴,۸ MHz به ۳۲ MHz افزایش می‌یابد. در عمل ممکن است به علت سلف‌های اضافی موجود در مدار، مربوط به پایه‌های ترانزیستورها، با استفاده از مدار فیدبک اصلاح شده حالت فوق جبران (over compensated) بوجود آید. عملاً لازم است سلف کوچکتری در مدار بکار برد. با توجه به حساسیت مدار به مقدار سلف، لازم است طرح مدار چاپی را بدقت انجام داد تا عناصر اضافی حداقل شوند.



### ۶-۴-۲ جبران تقویت‌کننده با اصلاح تقویت‌کننده اصلی

در بخش قبل در مورد جبران تقویت‌کننده‌های فیدبک با اصلاح مدار فیدبک و با اضافه کردن صفر در تابع انتقال مدار فیدبک بحث شد. ملاحظه شد با اضافه شدن صفر در محل مناسب می‌توان تغییر مهمی در مکان هندسی ریشه‌ها ایجاد و قطب‌های تقویت‌کننده را برای حداکثر پهنای باند مسطح روی دایره باترورث قرار داد. علاوه بر اصلاح مدار فیدبک، با تغییر تقویت‌کننده اصلی می‌توان تقویت‌کننده را برای دست‌یابی به ضریب عدم حساسیت بیشتر جبران نمود. در دو بخش بعدی این روشهای جبران بررسی می‌شود.

### ۶-۴-۳ جبران تقویت‌کننده اصلی با اضافه کردن خازن بزرگ

روش مهمی که عموماً در جبران تقویت‌کننده‌های فیدبک و خصوصاً در تقویت‌کننده‌های عملیاتی (op-amp) مورد استفاده قرار می‌گیرد اضافه کردن خازن نسبتاً بزرگ به تقویت‌کننده اصلی است. این کار سبب می‌شود مجموع ثابت زمانهای تقویت‌کننده اصلی افزایش یابد و پهنای باند کاهش یابد. به عبارت دیگر بهره تقویت‌کننده در فرکانسهای بالا کاهش می‌یابد و به این ترتیب می‌توان به مدار فیدبک‌های بیشتری اعمال کرد و ضریب عدم حساسیت بالاتر بدست آورد. با انتخاب این خازن به اندازه کافی بزرگ می‌توان ثابت زمانی مربوط به آن را خیلی بزرگ نمود. بطوریکه چنانچه بتوان از سایر ثابت‌های زمانی در مقابل آن صرف‌نظر نمود قطب موثر (dominant pole) در تقویت‌کننده ایجاد خواهد شد. به همین علت به این روش جبران قطب موثر (dominant pole compensation) گفته می‌شود. دو سوال اساسی در مورد این روش جبران آن است که:

- محل اضافه شدن خازن در تقویت‌کننده اصلی در چه طبقه‌ای است؟
- مقدار خازن لازم چقدر است؟

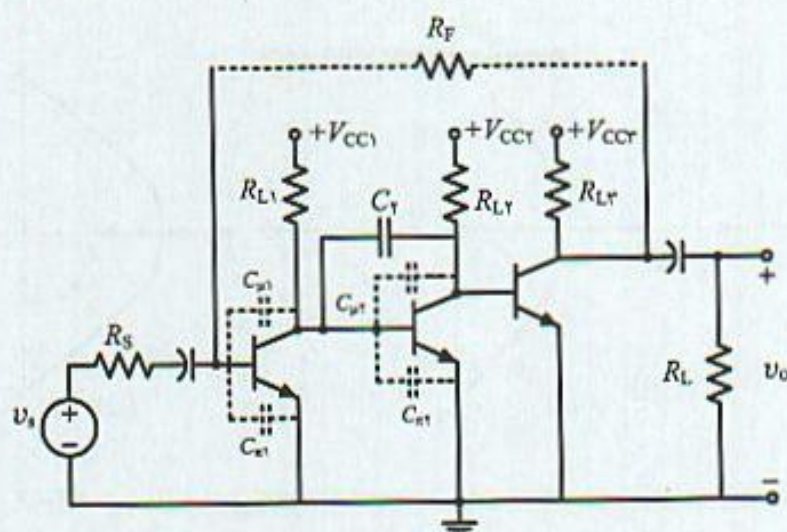
در پاسخ به سوال اول باید گفت در این روش جبران، عموماً خازن به طبقه‌ای از تقویت‌کننده اضافه می‌شود که اولاً قطب کوچکتر در آن طبقه وجود دارد و ثانیاً اضافه کردن خازن تعداد قطب‌های کل تقویت‌کننده را افزایش ندهد. این کار موجب می‌شود کوچکترین قطب تقویت‌کننده به محور « $j\omega$ » نزدیک‌تر شده و قطب موثر ایجاد شود. بنابراین لازم است خازن به طبقه‌ای با قطب کوچکتر اضافه شود. گرچه ثابت زمانی مدار باز رابطه یک به یک و مستقیمی با قطب‌ها ندارد اما واضح است که بزرگترین ثابت زمانی متناظر با کوچکترین قطب است. در نتیجه لازم است خازن به طبقه با ثابت زمانی بزرگتر و به عبارت دیگر به طبقه با بهره بیشتر اضافه شود. در مورد مقدار خازن لازم برای جبران و روش محاسبه آن در مثال‌های مختلف پاسخ داده می‌شود.

#### مثال ۶-۴

به تقویت‌کننده سه طبقه که در مثالهای قبل و در فصل‌های مختلف مطرح شد، خازنی به طبقه دوم و به مقدار  $50\text{ pF}$  بین بیس و کلکتور ترانزیستور  $T_2$  اضافه شده است.

الف) اثر این خازن را بر تقویت‌کننده بررسی و قطب موثر حاصل از آن را مشخص کنید.





شکل ۶-۱۳ تقویت‌کننده ۳ طبقه با اضافه شدن خازن بزرگ به طبقه دوم

ب) مدار را با محاسبات دقیق بررسی و قطب‌های مدار را بدست آورید.  
ج) مدار را با نرم‌افزار spice بررسی و پاسخ فرکانس را با این خازن و مقاومت‌های فیدبک  $13 \text{ k}\Omega$  و  $5 \text{ k}\Omega$  مشخص کنید.

قطب‌های تقویت‌کننده اصلی (بدون فیدبک) با استفاده از نتایج فصل سوم مثال (۳-۱۱):

$$s_a = -0.0205 \text{ (ns)}^{-1}, \quad s_c = -0.409 \text{ (ns)}^{-1}, \quad s_E = -18.22 \text{ (ns)}^{-1}$$

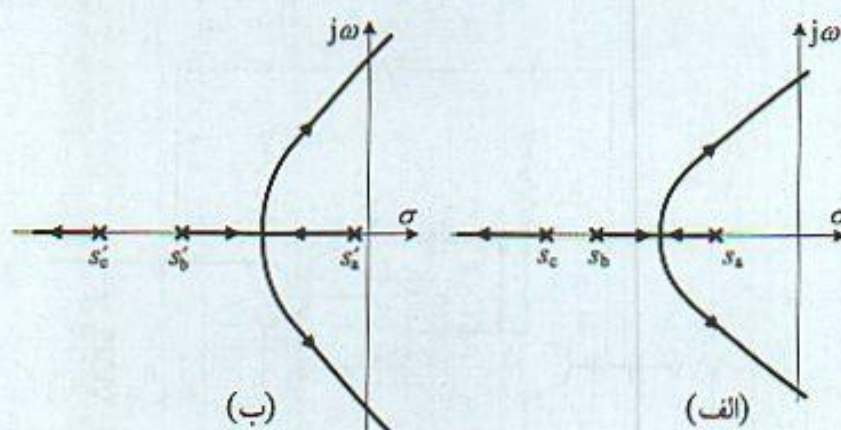
$$s_b = -0.943 \text{ (ns)}^{-1}, \quad s_d = -9.55 \text{ (ns)}^{-1}, \quad s_F = -28.56 \text{ (ns)}^{-1}$$

می‌باشند. شکل (۶-۱۳) مدار کامل تقویت‌کننده را با اضافه شدن این خازن نشان می‌دهد. با توجه به حلقه خازنی موجود در تقویت‌کننده که در شکل نشان داده شده قطبی به تقویت‌کننده اضافه نمی‌شود و تعداد قطب‌ها همان تعداد قبلی، ۶ عدد، باقی خواهد ماند.

مکان هندسی ریشه‌های تقویت‌کننده اصلی بدون خازن  $C_1$  در شکل (۶-۱۴ الف) و با اضافه شدن  $C_1$  در شکل (۶-۱۴ ب) ملاحظه می‌شود. اضافه کردن خازن باعث ایجاد قطب موثر در تقویت‌کننده می‌شود. توجه شود در حالت کلی قطب‌های تقویت‌کننده تغییر می‌یابند و از این جهت در شکل (۶-۱۴ ب) قطب‌ها با اندیس پریم نشان داده شده‌اند. از مقایسه دو مکان هندسی به وضوح می‌توان دید که در تقویت‌کننده جبران شده ناپایداری به ازاء فیدبک‌های بیشتر اتفاق می‌افتد و می‌توان ضریب عدم حساسیت بالاتری بدست آورد. گرچه با این روش می‌توان با کوچک کردن قطب به هر مقدار ضریب عدم حساسیت دست یافت اما باید در نظر داشت پهنای باند تقویت‌کننده به میزان زیادی کاهش خواهد یافت.

برای محاسبه قطب موثر ایجاد شده، ثابت زمانی مدار باز خازن جبران را می‌توان با محاسبه مقاومت دیده شده دو سر آن بدست آورد و با صرف نظر از اثر سایر ثابت زمانی‌ها قطب موثر ایجاد شده را تعیین نمود.





شکل ۶-۱۴ مکان هندسی ریشه‌های تقویت‌کننده مثال (۶-۴): الف) بدون جبران و فیدبک  
مقاومتی، ب) جبران تقویت‌کننده

بنابراین با تقریب مناسب:

$$\sum \tau_{j0} \approx R_T C_1 \quad (6-33)$$

$R_T$  مقاومت دیده شده دو سر خازن  $C_1$  در حالیکه سایر خازن‌ها اتصال باز می‌باشند. با توجه به مدار شکل (۶-۱۳) می‌توان نشان داد:

$$R_T = 5.9 \text{ k}\Omega$$

$$R_T C_1 = 295 \text{ (ns)}^{-1}, \quad s_{Low} = -\frac{1}{R_T C_1} = -0.00346 \text{ (ns)}^{-1} \Rightarrow f_H = 541.54 \text{ kHz}$$

ب) محاسبات دقیق کامپیوتری قطب‌های تقویت‌کننده اصلی با در نظر گرفتن خازن  $C_1$  به شرح:

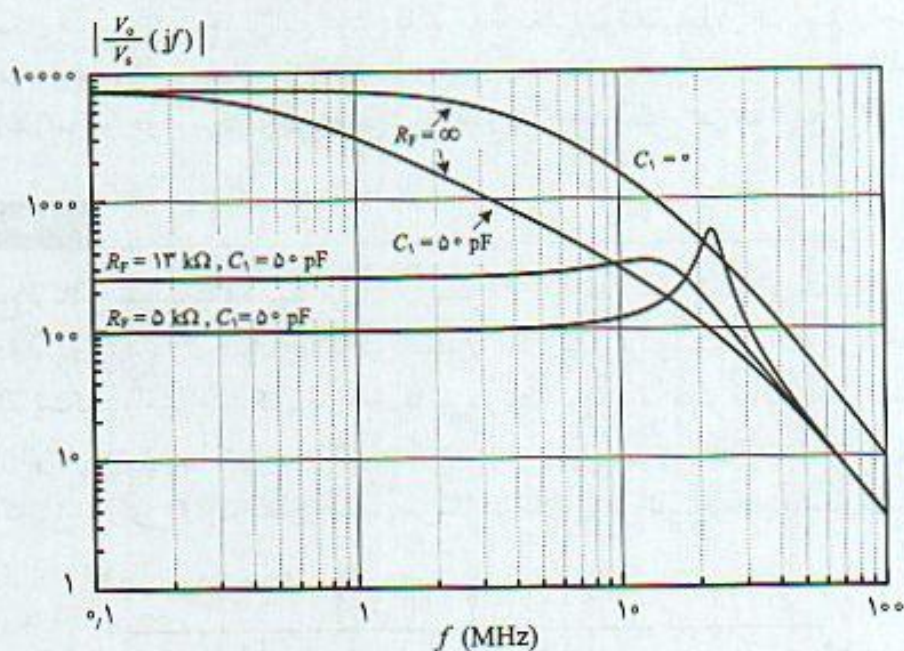
$$s'_a = -0.0023 \text{ (ns)}^{-1}, \quad s'_c = -0.402 \text{ (ns)}^{-1}, \quad s'_E = -9.58 \text{ (ns)}^{-1}$$

$$s'_b = -0.1920 \text{ (ns)}^{-1}, \quad s'_d = -1.71 \text{ (ns)}^{-1}, \quad s'_F = -22.3 \text{ (ns)}^{-1}$$

است. مقایسه قطب‌های تقویت‌کننده جبران شده با قطب‌های تقویت‌کننده جبران نشده نشان می‌دهد محاسبات تقریبی قطب موثر با مقدار واقعی خطای کمی حدود ۱۰٪ دارد. هم‌چنین سایر قطب‌ها به نحو موثری تغییر یافته‌اند.

ج) بررسی تقویت‌کننده با نرم‌افزار spice در چند حالت مختلف انجام و نتیجه محاسبات در شکل (۶-۱۵) نشان داده شده است. ملاحظه می‌شود با اضافه شدن خازن پهنای باند تقویت‌کننده به میزان قابل ملاحظه‌ای کاهش یافته است. به ازاء مقاومت  $R_F = 13 \text{ k}\Omega$  که تقویت‌کننده جبران نشده در مرز پایداری قرار داشت، مثال (۶-۱)، با این روش جبران تقویت‌کننده پایدار گرچه برآمدگی کمی در پاسخ فرکانس وجود دارد. علاوه بر آن به ازاء  $R_F = 5 \text{ k}\Omega$  که ضریب عدم حساسیت ۷۱ را سبب می‌شود، تقویت‌کننده جبران شده پایدار اما برآمدگی قابل ملاحظه‌ای در پاسخ فرکانس وجود دارد. در این شرایط بهره و لتاژ ۱۰۰- برای تقویت‌کننده جبران شده بدست آمده است.

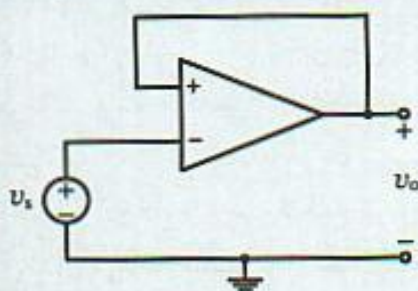




شکل ۶-۱۵ نتایج بررسی تقویت‌کننده مثال (۶-۴) با نرم‌افزار spice

علت اینکه چرا خازن  $C_1$  به طبقه دوم اضافه شده است باید گفت این طبقه دارای بیشترین مقدار بهره است و قطب کوچکتر در این طبقه قرار دارد. در طبقه اول مقاومت منبع  $R_s$  و در طبقه آخر مقاومت بار  $R_L$  موثر هستند. برای طبقه دوم این مقادیر بزرگتر می‌باشند و بنابراین بهره این طبقه بیشتر است. با توجه به اینکه قطب کوچکتر توسط خازن  $C_1$  این طبقه تعیین می‌شود، لازم است خازن جبران بین بیس و کلکتور ترانزیستور  $T_1$  اضافه شود. به این ترتیب علاوه بر اینکه قطبی به مدار اضافه نمی‌شود قطب حقیقی کوچکتر به مبدا نزدیک شده و قطب موثر در مدار بوجود می‌آید. از این روش جبران عموماً طراحان تقویت‌کننده عملیاتی استفاده می‌کنند. با اضافه کردن خازن مناسبی به تقویت‌کننده، قطب موثری در تقویت‌کننده ایجاد می‌شود که حدود ۵ تا ۱۰ برابر نسبت به سایر قطب‌ها کوچکتر است. به این ترتیب می‌توان تقویت‌کننده جبران شده را با هر مقدار فیدبک بدون آنکه ناپایدار شود بکار برد. در واقع تقویت‌کننده‌های عملیاتی چنان طرح می‌شوند که حتی اگر خروجی به ورودی وصل شود، فیدبک واحد در مدار دنبال‌کننده ولتاژ (voltage follower) باز هم تقویت‌کننده پایدار باشد. این مدار در شکل (۶-۱۶) نشان داده شده و در آن تمام سیگنال خروجی به ورودی فیدبک می‌شود.

در op-amp ها طراحی چنان انجام می‌شود که خازن در داخل تراشه قابل ساخت باشد به این علت عموماً به این نوع جبران در تقویت‌کننده‌های عملیاتی جبران داخلی (internal compensation) گفته می‌شود.



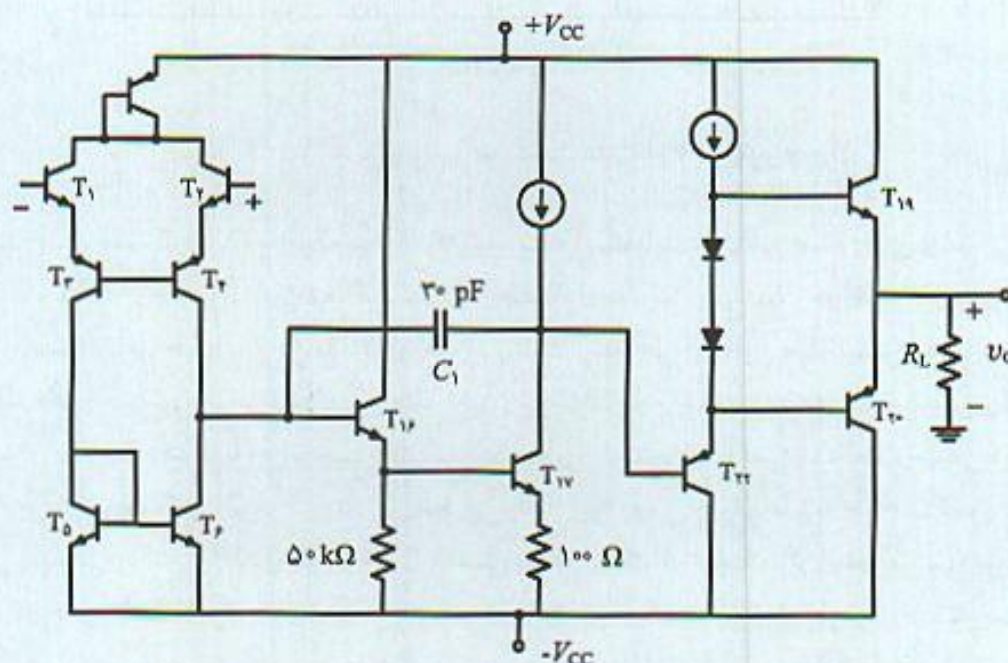
شکل ۶-۱۶ تقویت‌کننده عملیاتی با فیدبک واحد، مدار دنبال‌کننده ولتاژ



محاسبات مکان هندسی ریشه‌ها در این روش، با توجه به تغییرات قطب‌ها در اثر خازن جبران، روش مفیدی در طراحی و محاسبه مقدار خازن نیست. به این جهت طراحی جبران‌کننده بر اساس پاسخ فرکانس بهره حلقه  $T(j\omega)$  و در حوزه فرکانس انجام می‌شود که در فصل بعد مطرح خواهد شد.

### مثال ۵-۶

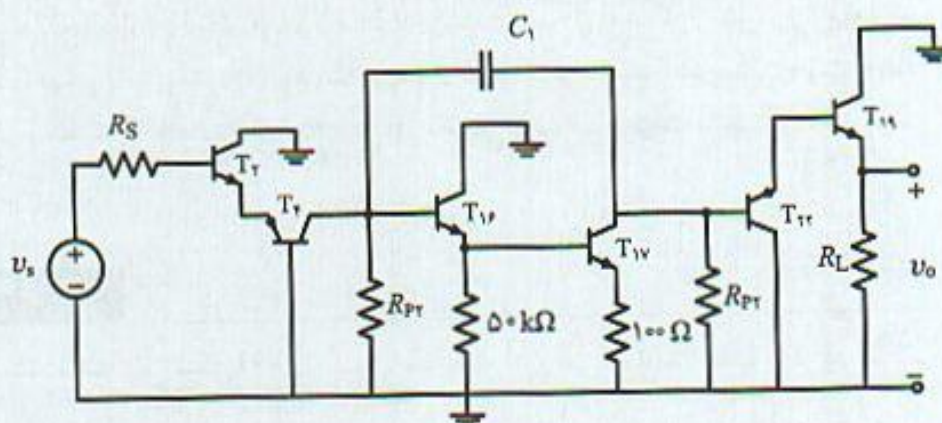
بررسی پاسخ فرکانس تقویت‌کننده عملیاتی ۷۴۱: شکل (۶-۱۷) مدار ساده شده تقویت‌کننده عملیاتی ۷۴۱ را نشان می‌دهد. در ۷۴۱ خازن جبران  $30\text{ pF}$  بین کلکتور  $T_{17}$  و بیس ترانزیستور  $T_{16}$  و در داخل تراشه قرار دارد.  $T_{17}$  تقویت‌کننده امپتر مشترک با بار فعال با بهره زیاد است.  $T_{16}$  امپتر فالور بعنوان بافر و برای جلوگیری از اثر بارگذاری طبقات بعد بر تقویت‌کننده دیفرانسیل ورودی بکار رفته است. بررسی مدار با توجه به اینکه ۷۴۱ دارای  $20$  ترانزیستور است حتی با استفاده از روش ثابت زمانی مشکل است.



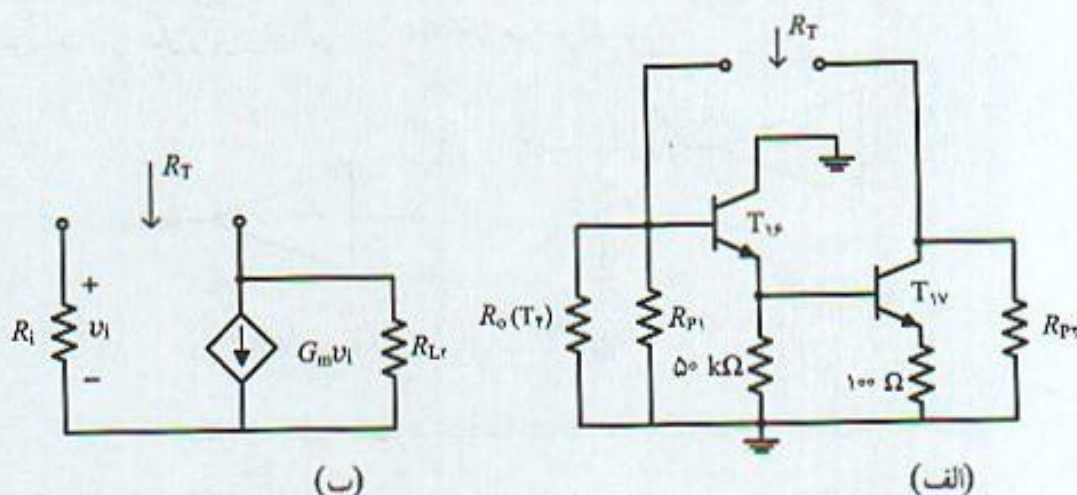
شکل ۶-۱۷ مدار ساده شده تقویت‌کننده عملیاتی ۷۴۱

برای تعیین پاسخ فرکانس ۷۴۱ بخش‌هایی از مدار که تاثیر قابل ملاحظه‌ای بر پاسخ فرکانس ندارد را از تقویت‌کننده حذف و با استفاده از مدار معادل نیم مدار در تقویت‌کننده‌های دیفرانسیل، مدار معادل ساده شده شکل (۶-۱۸) بدست می‌آید. در این مدار عناصر بایاس، منابع جریان، با توجه به مقاومت خروجی بزرگ آنها حذف شده‌اند. مقاومت  $R_{p1}$  و خازن  $C_{p1}$  امپدانس معادل خروجی بار فعال  $T_{16}$  است.  $C_{p1}$  و  $R_{p1}$  نیز اثر امپدانس بار فعال ترانزیستور  $T_{17}$  می‌باشد. پاسخ فرکانس ۷۴۱ عمدتاً توسط خازن جبران  $C_1$  تعیین و از روش ثابت زمانی برای محاسبه فرکانس قطع  $3\text{ dB}$  آن استفاده می‌شود. برای این کار مقاومت دو سر خازن  $C_1$  را با استفاده از مقاومت خروجی طبقه اول و کل مقاومت کلکتور ترانزیستور  $T_{16}$  و از شکل‌های (۶-۱۹) محاسبه می‌شود. محاسبات مداری نشان می‌دهد عناصر مدار معادل شکل (۶-۱۹) ب):





شکل ۶-۱۸ مدار معادل ساده شده تقویت‌کننده عملیاتی ۷۴۱ برای بررسی پاسخ فرکانس



شکل ۶-۱۹ مدار معادل ساده شده دو سر خازن جبران برای محاسبه ثابت زمانی

$$R_{O1} = 86.3\text{ k}\Omega, \quad R_{L1} = 1.95\text{ M}\Omega, \quad G_x = 6.4\text{ mA/V} \quad (۳۴-۶)$$

و مقاومت دیده شده دو سر خازن جبران و ثابت زمانی آن:

$$R_T = R_{L1} + (1 + G_x R_{L2}) R_{O1} = 1.08 \times 10^9\text{ }\Omega \Rightarrow \tau = R_T C_1 = 32.4\text{ ms} \quad (۳۵-۶\text{ الف})$$

بنابراین فرکانس قطع ۳ dB تقویت‌کننده عملیاتی ۷۴۱:

$$f_H = \frac{1}{2\pi\tau} = 4.9\text{ Hz} \quad (۳۵-۶\text{ ب})$$

محاسبات دقیق نشان می‌دهد ۷۴۱ دارای فرکانس قطع ۵ Hz است. بنابراین محاسبات تقریبی به روشی ساده تقریب بسیار خوبی از پاسخ فرکانس را بدست می‌دهد.

#### ۴-۴-۶ اصلاح تقویت‌کننده اصلی با اضافه کردن صفر

روش دیگری که برای جبران تقویت‌کننده‌های فیدبک استفاده می‌شود اصلاح تقویت‌کننده اصلی با اضافه



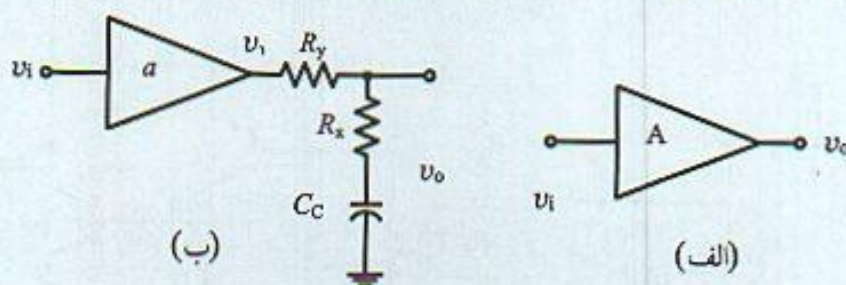
شدن صفر به تابع انتقال آن است. معمولاً صفر تابع انتقال در محل قطب کوچکتر قرار داده می‌شود تا با حذف صفر و قطب پهنای باند بیشتری در مقایسه با جبران قطب موثر بدست آید. به این جهت به این روش جبران حذف صفر و قطب (pole-zero cancellation) نامیده می‌شود. جزئیات بیشتر این روش جبران در مثال (۶-۶) بررسی می‌شود.

### مثال ۶-۶

در تقویت‌کننده عملیاتی شکل (۶-۲۰ الف) با مقاومت خروجی کم با سه قطب موثر در نقاط:

$$s_a = 2\pi (\mu s)^{-1}, \quad s_b = 2\pi (10) (\mu s)^{-1}, \quad s_c = 2\pi (50) (\mu s)^{-1}$$

و دارای بهره باند میانی  $1000$  - است. این تقویت‌کننده با مداری به صورت شکل (۶-۲۰ ب) جبران می‌شود. عناصر مدار را برای پهنای باند  $200 \text{ kHz}$  طراحی کنید.



شکل ۶-۲۰ الف) تقویت‌کننده مثال (۶-۶) ب) تقویت‌کننده با مدار جبران

با توجه به مقاومت کم خروجی تقویت‌کننده تابع انتقال کل مدار:

$$a(s) = \frac{V_o}{V_i} = a_1(s) H(s)$$

که در آن:

$$H(s) = \frac{V_o}{V_i} = \frac{1 + R_x C_c s}{1 + (R_x + R_y) C_c s}$$

و بنابراین تابع کل انتقال برای تقویت‌کننده با قطب‌های داده شده:

$$H(s) = \frac{V_o}{V_i} = \frac{a_o (1 + R_x C_c s)}{(1 + \frac{s}{s_a})(1 + \frac{s}{s_b})(1 + \frac{s}{s_c})[1 + (R_x + R_y) C_c s]}$$

ملاحظه می‌شود با این نوع جبران یک صفر به تابع انتقال اضافه شده است. هم‌چنین با مدار جبران شکل (۶-۲۰) قطبی نیز به تابع انتقال اضافه می‌شود. این قطب همواره از صفر اضافه شده کوچکتر است. با انتخاب مناسب عناصر مدار می‌توان قطب اضافه شده را قطب موثر قرار داد و این قطب پهنای باند تقویت‌کننده



جبران شده را مشخص می‌کند. برای اینکه حذف صفر و قطب وجود داشته باشد لازم است:

$$\frac{1}{R_x C_c} = s_a \Rightarrow R_x C_c = \frac{1}{s_a}$$

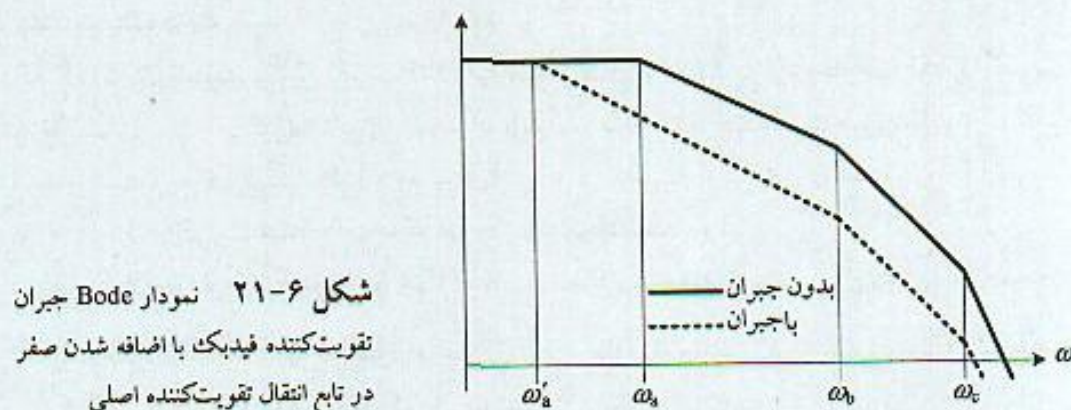
با انتخاب خازن  $10 \text{ pF}$  در این صورت:

$$R_x = \frac{1}{s_a C_c} = \frac{1}{2\pi (1 \mu\text{s}^{-1})(10 \text{ pF})} = 15.9 \text{ k}\Omega$$

برای بدست آوردن پهنای باند  $200 \text{ kHz}$ ، قطب ایجاد شده توسط مدار جبران در  $200 \text{ kHz}$  قرار داده می‌شود. بنابراین:

$$\frac{1}{(R_x + R_y) C_c} = 2\pi (200 \text{ kHz}) \Rightarrow R_y = 15.9 \text{ k}\Omega$$

شکل (۶-۲۱) نمودار بد (Bode) تقویت‌کننده جبران شده و نشده را نشان می‌دهد. ملاحظه می‌شود بهره فرکانس پایین تقویت‌کننده تغییری پیدا نمی‌کند، اما مقدار بهره در فرکانسهای بالا کاهش می‌یابد. این مسئله سبب می‌شود بتوان با اعمال فیدبک بیشتر ضریب عدم حساسیت بالاتری در مقایسه با تقویت‌کننده بدون جبران بدست آورد. در مقایسه با جبران قطب موثر این روش جبران پهنای باند بیشتری را بدست می‌دهد. عموماً مدار جبران در تقویت‌کننده‌های عملیاتی در بیرون به تراشه اضافه می‌شود. سازندگان اطلاعاتی در مورد مقادیر عناصر لازم در شرایط مختلف عرضه می‌کنند و استفاده‌کنندگان می‌توانند بسته به کاربرد مدار جبران لازم را انتخاب نمایند. به این روش جبران بیرونی (external compensation) گفته می‌شود.



#### ۵-۴-۶ جبران با اصلاح همزمان تقویت‌کننده اصلی و مدار فیدبک

از مشخصات مهم و موردنظر در تقویت‌کننده‌های فیدبک ضریب عدم حساسیت است. در یک طرح مناسب لازم است تقویت‌کننده پایدار با پاسخ فرکانس مسطح و در عین حال ضریب عدم حساسیت بزرگ باشد. در بخش‌های قبل ملاحظه شد با فیدبک مقاومتی ضریب عدم حساسیت بسیار کمی بدست می‌آید. با جبران مدار فیدبک می‌توان تا حدودی ضریب عدم حساسیت را افزایش داد. هم‌چنین نشان داده شد برای هر چه



بیشتر شدن ضریب عدم حساسیت، می‌توان با اضافه کردن خازن به تقویت‌کننده اصلی مدار را جبران نمود و البته پهنای باند در این حالت کم می‌شود.

برای دستیابی به ضریب عدم حساسیت بالا و پاسخ فرکانس مسطح می‌توان دو روش قبل را ترکیب و همزمان مدار تقویت‌کننده و مدار فیدبک را اصلاح نمود. برای این کار:

- اضافه کردن خازن نسبتاً بزرگ در محل مناسب به تقویت‌کننده اصلی بطوریکه به ازاء ضریب عدم حساسیت موردنظر تقویت‌کننده پایدار باشد.
  - اصلاح مدار فیدبک (با اضافه کردن صفر) بطوریکه مکان هندسی ریشه‌های تقویت‌کننده به نحو مناسبی تغییر یافته و به ازاء ضریب عدم حساسیت موردنظر پهنای باند مسطح و ماکزیمم بدست آید.
- محاسبات این روش جبران تا حدودی پیچیده و به محاسبات دقیق با استفاده از کامپیوتر نیاز دارد. در این رابطه ۲ مثال ارائه و پس از آن روند طراحی تقویت‌کننده‌های فیدبک ارائه می‌شود.

#### مثال ۶-۷

تقویت‌کننده سه طبقه با بهره باند میانی  $7000$  - و پهنای باند  $3\text{ MHz}$  که در بخش‌های قبل بررسی شد را در نظر بگیرید. این تقویت‌کننده را برای ضریب عدم حساسیت  $71$  طراحی و در صورت لزوم روش مناسب جبران در تقویت‌کننده بکار برید.

با توجه به ضریب عدم حساسیت مورد نیاز:

$$1 + a_0 f_0 = 71, \quad f_0 = \frac{V_o}{a_0} = \frac{V_o}{-354\text{ k}\Omega} = -0.2\text{ m}\Omega^{-1} \Rightarrow R_F = 5\text{ k}\Omega$$

در مثال (۲-۵) ناپایداری این تقویت‌کننده بررسی و نشان داده شد به ازاء مقاومت  $13\text{ k}\Omega$  تقویت‌کننده در مرز ناپایداری قرار می‌گیرد. بنابراین اساساً به ازاء ضریب عدم حساسیت مورد نیاز،  $71$ ، تقویت‌کننده ناپایدار است و به جبران‌کننده نیاز دارد. برای این کار لازم است روش جبران همزمان را بکار برد:

- اصلاح تقویت‌کننده با اضافه کردن خازن و ایجاد قطب موثر
- اصلاح مدار فیدبک و تغییر شکل مکان هندسی ریشه‌ها برای بدست آوردن پاسخ مسطح

ابتدا خازن  $50\text{ pF}$  را بین کلکتور و بیس  $T_2$  قرار داده تا به ازاء  $D_0 = 71$  تقویت‌کننده پایدار شود و قطب‌ها سمت چپ صفحه  $s$  قرار گیرند. محاسبات دقیق محل قطب‌ها در جدول (۶-۸) نشان می‌دهد با اضافه شدن این خازن تقویت‌کننده پایدار، اما قطب‌ها به محور موهومی نزدیک است. بنابراین ضریب کیفیت قطب‌های موهومی زیاد ( $Q = 3.1$ ) و برآمدگی زیادی در پاسخ فرکانس وجود دارد.

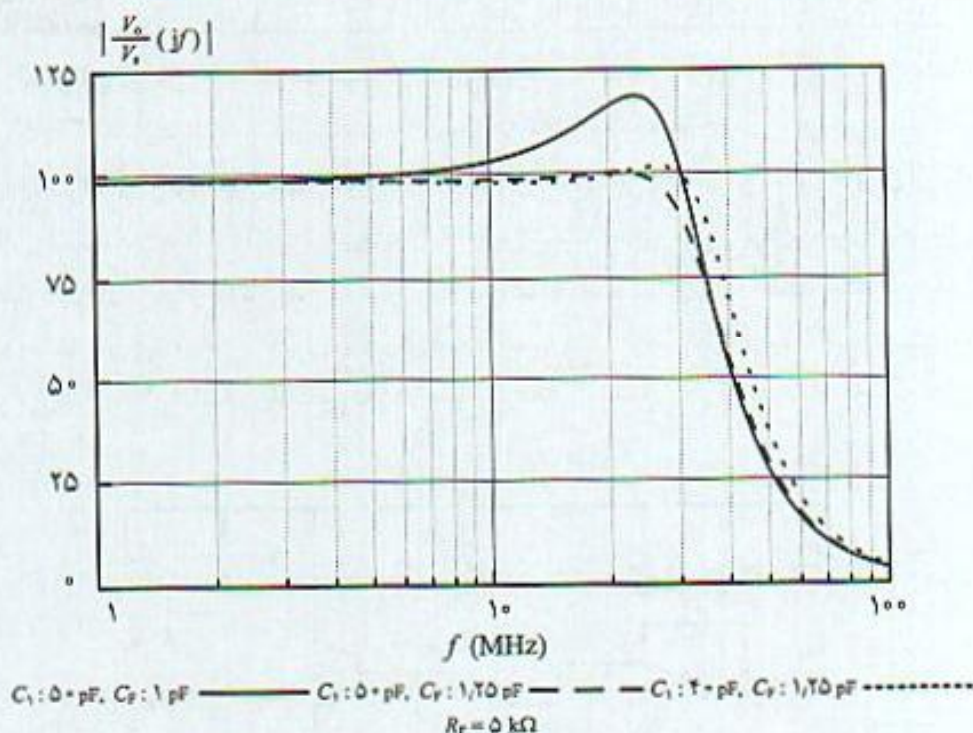
برای مسطح شدن پاسخ فرکانس و از بین بردن برآمدگی زیاد، باید مکان هندسی را از محور موهومی دور نمود. برای این کار خازن  $C_F$  به مدار فیدبک اضافه می‌شود. جدول (۶-۸) نشان می‌دهد با خازنی به مقدار  $C_F = 1\text{ pF}$  قطب‌های موهومی با  $Q = 1$  بدست می‌آیند. این قطب‌ها با زاویه  $\pm 60^\circ$  و با توجه به اینکه قطب سومی هم روی محور حقیقی وجود دارد، تقریباً می‌توان گفت حالت باترورث مرتبه ۳ ایجاد شده و پهنای باند مسطح بدست آمده است.

برای بررسی صحت محاسبات تقویت‌کننده از طریق نرم‌افزار spice مطالعه شده و نتایج حاصل در



جدول ۶-۸ محل دقیق قطب‌های تقویت‌کننده ۳ طبقه با جبران همزمان تقویت‌کننده اصلی و مدار فیدبک

$C_1$ (pF)	۰	۰	۰.۵	۱
$C_F$ (pF)	۰	۵۰	۵۰	۵۰
$s_1$	$+۰.۰۵۸+j۰.۳۲$	$-۰.۰۲۹+j۰.۱۷۲$	$-۰.۰۷۵+j۰.۱۸۹$	$-۰.۱۴۷+j۰.۲۳۹$
$s_2$	$+۰.۰۵۸-j۰.۳۲$	$-۰.۰۲۹-j۰.۱۷۲$	$-۰.۰۷۵-j۰.۱۸۹$	$-۰.۱۴۷-j۰.۲۳۹$
$s_3$	$-۰.۶۵$	$-۰.۵۴$	$-۰.۴$	$-۰.۲۰۷$
$s_4$	$-۹.۶۲$	$-۱.۷۱$	$-۱.۷۱$	$-۱.۲$
$s_5$	$-۱۸.۲۲$	$-۹.۶۷$	$-۷.۶۲$	$-۶.۱۲$
$s_6$	$-۲۸.۵۶$	$-۲۲.۳۱$	$-۲۲.۱۸$	$-۲۲.۰۴$
$s_7$	-	-	$-۶۵.۴$	$-۴۱.۹$
$Q$	-	۳.۱	۱.۳۴	۰.۹۵



شکل ۶-۲۲ پاسخ فرکانس تقویت‌کننده ۳ طبقه مثال (۶-۷) با نرم‌افزار spice

شکل (۶-۲۲) خلاصه شده است. با محاسبات تقریبی با خازن‌های ۵۰ pF و ۱ pF برآمدگی حدود ۱۸٪ در پاسخ فرکانس، پهنای باند ۳۵.۸۵ MHz با بهره باند میانی ۱۰۰ حاصل شده است. محاسبات به روش سعی و خطا از طریق برنامه spice نشان می‌دهد با افزایش خازن  $C_F$  به ۱/۲۵ pF برآمدگی پاسخ فرکانس حذف و پهنای باند ۳۶.۱۵ MHz بدست می‌آید. هم‌چنین برای افزایش هرچه بیشتر پهنای باند می‌توان با انتخاب خازن‌های ۴۰ pF و ۱/۲۵ pF پهنای باند مسطح ۴۰.۲ MHz حاصل می‌شود. نتایج بررسی این دو حالت نیز در شکل (۶-۲۲) نشان داده شده است. جدول (۶-۹) تمام مثال‌ها و روشهای مختلف بررسی تقویت‌کننده سه طبقه که در بخش‌های مختلف بررسی و ارائه شد با مشخصات مهم بدست آمده خلاصه شده است.

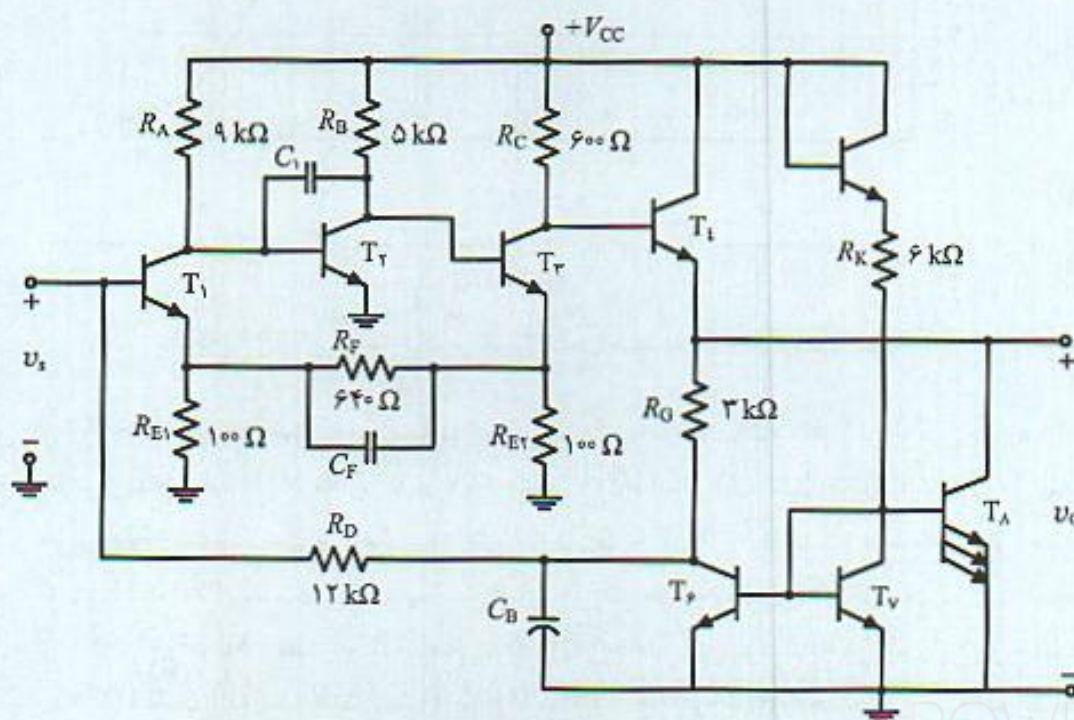


جدول ۹-۶ خلاصه مثالها و مشخصات مهم تقویت‌کننده ۳ طبقه در بخش‌های قبل

مثال	موضوع	مشخصات مهم
(۱۱-۳)	طرح تقویت‌کننده اصلی	$A_V = -7000, f_H = 3\text{MHz}$
(۸-۴)	طرح مدار در باند میانی	$D_0 = 71, R_F = 5\text{k}\Omega$
(۲-۵)	بررسی ناپایداری	$D_{O(\max)} = 28.2, R_F = 12\text{k}\Omega$
(۱-۶)	فیدبک مقاومتی	$D_0 = 4.3, R_F = 20\text{k}\Omega, f_H = 19\text{MHz}$
(۲-۶)	جبران اصلاح مدار فیدبک	$D_0 = 19.2, R_F = 20\text{k}\Omega, C_F = 0.255\text{pF}, f_H = 14\text{MHz}$
(۴-۶)	جبران با اصلاح تقویت‌کننده	$D_0 = 71, R_F = 5\text{k}\Omega, C_1 = 50\text{pF}$
(۷-۶)	جبران همزمان	$D_0 = 71, R_F = 5\text{k}\Omega, C_1 = 50\text{pF}, C_F = 1\text{pF}, f_H = 25\text{MHz}$

### مثال ۸-۶

تقویت‌کننده عملیاتی MC۱۵۵۳ تقویت‌کننده‌ای با پهنای باند ۵۰ MHz و بهره باند میانی تثبیت شده ۵۰ است. شکل (۲۳-۶) مدار کامل این تقویت‌کننده را نشان می‌دهد. فیدبک موجود در این تقویت‌کننده از نوع جریان سری است که از ترانزیستور طبقه سوم  $T_3$  به ورودی اعمال می‌شود. ترانزیستورهای  $T_1, T_2, T_5$  و  $T_8$  بایاس تقویت‌کننده را به‌عهده دارند. ترانزیستور  $T_4$  تقویت‌کننده امیتر فالور برای تطبیق امپدانس و عدم بارگذاری مقاومت بار بر ترانزیستور  $T_4$  به عنوان تقویت‌کننده اصلی بکار رفته است. بیشترین مقدار بهره در طبقه دوم بدست می‌آید و خازن جبران  $C_1$  برای ایجاد قطب موثر در این طبقه اضافه شده است. هم‌چنین خازن  $C_F$  برای جبران مدار فیدبک و مسطح نمودن پاسخ فرکانس به مدار و در داخل مدار مجتمع اضافه شده



شکل ۲۳-۶ تقویت‌کننده عملیاتی MC۱۵۵۳



است. بررسی پاسخ فرکانس بالا و مدارهای جبران این تقویت‌کننده در مسائل پایان فصل و به عهده دانشجویان واگذار می‌شود.

## ۵-۶ روند طراحی تقویت‌کننده به روش مکان هندسی ریشه‌ها

در طرح یک تقویت‌کننده فیدبک بهره باند میانی مدار بسته  $A_o$ ، ضریب عدم حساسیت  $D_o$  و پهنای باند مقادیر موردنظر می‌باشند. طراحی کامل یک تقویت‌کننده با فیدبک را به شرح زیر می‌توان خلاصه نمود:

- ۱- طرح کامل تقویت‌کننده در باند میانی و مدار فیدبک بر اساس ضریب عدم حساسیت مورد نیاز
- ۲- تعیین تابع انتقال تقویت‌کننده اصلی (بهره باند میانی، قطب‌های تقویت‌کننده) و مدار فیدبک
- ۳- رسم مکان هندسی ریشه‌ها، این کار عموماً برای سه قطب کوچکتر انجام می‌شود.
- ۴- بررسی شرایط پایداری و تعیین حداکثر مقدار فیدبک
- ۵- تعیین مقدار فیدبک مقاومتی (مستقل از فرکانس) برای بدست آوردن پاسخ فرکانس مناسب و محاسبه ضریب عدم حساسیت و پهنای باند حاصل، چنانچه این مقادیر به پارامترهای موردنظر نزدیک هستند طرح مدار در این مرحله کامل می‌شود. معمولاً با فیدبک مقاومتی ضریب عدم حساسیت کمی بدست می‌آید.
- ۶- جبران تقویت‌کننده فیدبک به روش اصلاح مدار فیدبک و افزایش ضریب عدم حساسیت
- ۷- جبران تقویت‌کننده با اصلاح تقویت‌کننده اصلی، جبران قطب موثر، و افزایش هر چه بیشتر ضریب عدم حساسیت
- ۸- جبران همزمان تقویت‌کننده اصلی و مدار فیدبک برای بدست آوردن ضریب عدم حساسیت موردنظر و پاسخ فرکانس مسطح
- ۹- بررسی دقیق مدار طرح شده با کامپیوتر در هر مرحله برای اطمینان از صحت محاسبات تقریبی

۲ فرض مهم و اساسی در طرح تقویت‌کننده‌های فیدبک آن است که:

- قطب‌های بزرگ تقویت‌کننده اصلی با تغییر فیدبک تغییرات قابل ملاحظه‌ای ندارند.
- مشخصات تقویت‌کننده اصلی (بهره و محل قطب‌ها) با تغییر فیدبک و مدار جبران‌کننده تغییر نمی‌کند.

در بعضی از تقویت‌کننده‌ها ممکن است فرضهای فوق برقرار نباشند. این مسئله باعث می‌شود محاسبات تقریبی از دقت کافی برخوردار نباشد. در مثال (۹-۶) یکی از این تقویت‌کننده‌ها بررسی می‌شود.

### مثال ۹-۶

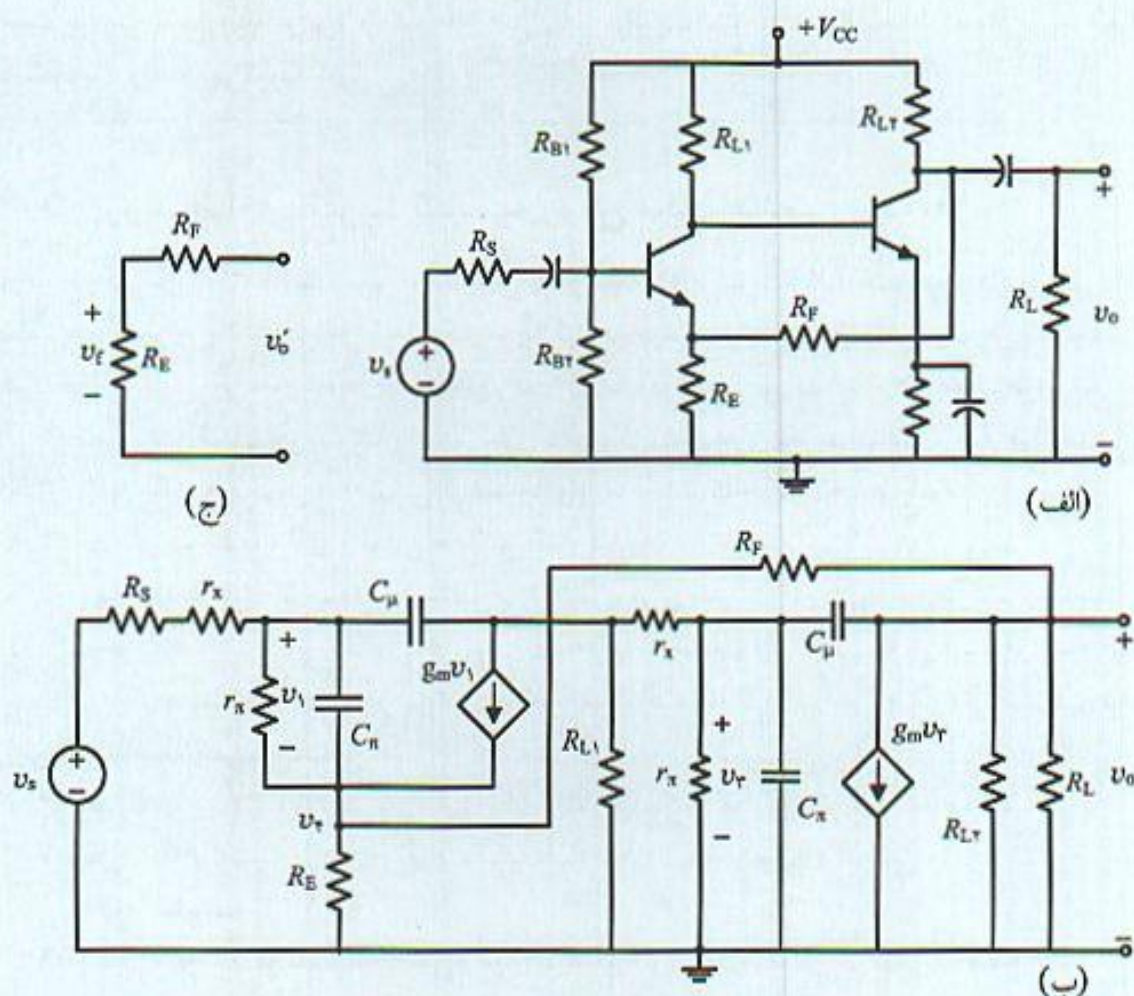
شکل (۶-۲۴) تقویت‌کننده ۲ طبقه با فیدبک ولتاژ سری که در آن ترانزیستورها و عناصر مدار به مشخصات:

$$\beta_o = 50, r_x = 25 \Omega, r_{\pi} = 250 \Omega, g_x = 200 \text{ mS}^{-1}, C_{\mu} = 10 \text{ pF}, C_{\pi} = 100 \text{ pF}$$

$$R_g = 0.1 \text{ k}\Omega, R_{L1} = R_{L2} = 1 \text{ k}\Omega, R_L = 250 \Omega, R_E = 10 \Omega$$

می‌باشند. هدف از طراحی، تقویت‌کننده‌ای با پهنای باند و ضریب عدم حساسیت ماکزیمم که پاسخ پله بدون بالازدگی باشد.





شکل ۶-۲۴ تقویت کننده مثال (۶-۹): (الف) تقویت کننده، (ب) مدار معادل فرکانس بالا، (ج) مدار معادل فیدبک

محاسبات دقیق در مورد این مدار با مقاومت  $R_F = \infty$  نشان می دهد بهره باند میانی و محل قطب های تقویت کننده مدار باز:

$$a_0 = 1130, s_a = -0.0049 \text{ (ns)}^{-1}, s_b = -0.182 \text{ (ns)}^{-1}, s_c = -4.55 \text{ (ns)}^{-1}, s_d = -7.49 \text{ (ns)}^{-1}$$

می باشند. با توجه به اینکه دو قطب تقویت کننده در مقایسه با سایر قطب ها بزرگ هستند با صرف نظر از اثر بارگذاری مدار فیدبک بر تقویت کننده اصلی، تابع انتقال:

$$a(s) = \frac{a_0}{\left(1 + \frac{s}{0.0049}\right)\left(1 + \frac{s}{0.182}\right)} = \frac{1.9 \times 10^{-5} a_0}{(s + 0.0049)(s + 0.182)}, \quad a_0 = 1130$$

فرض عدم بارگذاری مدار فیدبک با توجه به مدار معادل تقویت کننده به معنی آن است که:

$$R_F + R_E \gg (0.25 \text{ k}\Omega) \parallel (0.25 \text{ k}\Omega), \quad R_F \gg R_E = 10 \Omega$$



با توجه به نکات فوق فرص  $R_F \gg 200 \Omega$  بعنوان عدم بارگذاری فیدبک منطقی است. بنابراین تابع انتقال تقویت‌کننده مدار بسته و ضریب فیدبک در مدار با توجه به مدار شکل (۲۴-۶):

$$A(s) = \frac{A_o \times 10^{-5}}{s^2 + 0.187s + A_o \times 10^{-5} (1 + a_o f_o)}, \quad f_o = \frac{R_E}{R_E + R_F}$$

برای داشتن ضریب عدم حساسیت ماکزیمم و پاسخ پله بدون بالا زدگی لازم است معادله مشخصه بصورت:

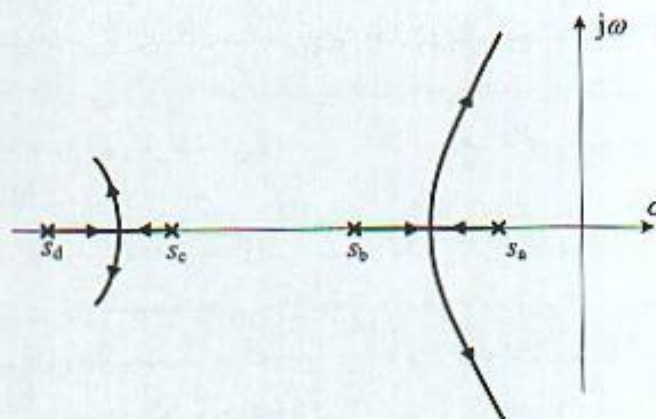
$$(s - \alpha)^2 = s^2 - 2\alpha s + \alpha^2$$

باشد. بنابراین در مقایسه با عبارت  $A(s)$ :

$$-2\alpha = 0.187$$

$$A_o \times 10^{-5} (1 + a_o f_o) = \alpha^2 \Rightarrow \alpha = -0.09355 \text{ و } D_o = 9.82$$

با توجه به مقدار  $D_o$  و رابطه ضریب فیدبک، مقاومت فیدبک لازم  $R_F = 1.27 \text{ k}\Omega$  بدست می‌آید. در نتیجه با استفاده از رابطه (۶-۷) و به ازاء  $Q = 0.5$  پهنای باند تقویت‌کننده  $f_H = 10 \text{ MHz}$  است. شکل (۶-۲۵) مکان هندسی ریشه‌ها را با توجه به محاسبات تقریبی فوق نشان می‌دهد.



شکل ۶-۲۵ مکان هندسی ریشه‌های تقویت‌کننده مثال (۹-۶) با محاسبات تقریبی

برای بررسی دقیق مدار و اطمینان از صحت محاسبات، محل قطب‌های تقویت‌کننده با فیدبک با محاسبات دقیق بدست آمده است. نتایج در جدول (۶-۱۰) خلاصه شده است. ملاحظه می‌شود محاسبات تقریبی با مقادیر دقیق اختلاف زیادی دارند. به ازاء مقاومت  $R_F = 1.1 \text{ k}\Omega$  دو قطب مضاعف روی محور حقیقی بدست می‌آید که جواب موردنظر در طرح تقویت‌کننده می‌باشد. در این شرایط پهنای باند تقویت‌کننده:

$$\omega_H = \frac{0.098}{\sqrt{2}} = 0.069 \text{ Grad/s}, \quad f_H = 11 \text{ MHz}$$

می‌باشد. می‌توان با انتخاب مقدار کوچکتر برای  $R_F$ ، پهنای باند مدار را افزایش داد. با توجه به جدول (۶-۱۰) به ازاء  $R_F = 500 \Omega$  قطب‌های کوچکتر تقویت‌کننده در حالت باترورث مرتبه ۲ قرار می‌گیرند و



مشخصات تقویت‌کننده با فیدبک :

$$D_o = (1 + a_o f_o) = 22,15, \quad \omega_H = 0,148 \text{ Grad/s}, \quad f_H = 23,6 \text{ MHz}$$

بدست می‌آیند. چنانچه پهنای باند بیشتر موردنظر باشد، با اضافه کردن خازن کوچکی به موازات مقاومت  $R_F$  می‌توان مدار فیدبک را جبران نمود و هم‌چنین ضریب عدم حساسیت بالاتری بدست آورد.

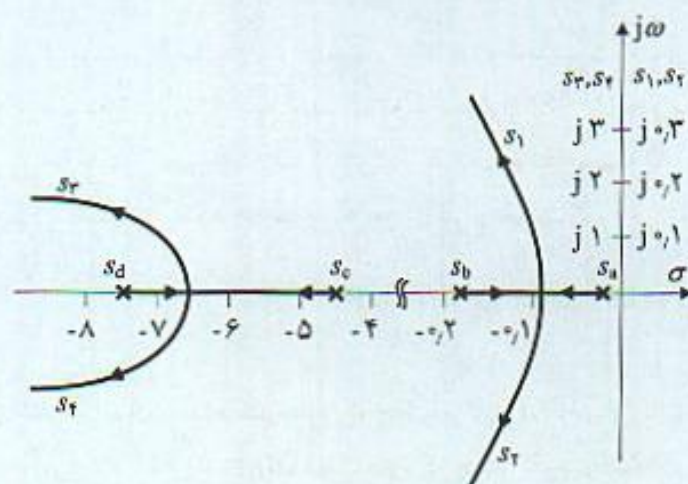
جدول ۶-۱۰ محل دقیق قطب‌های تقویت‌کننده مثال (۹-۶) با تغییر مقاومت فیدبک

$R_F$ (k $\Omega$ )	$s_1$	$s_2$	$s_3$	$s_4$
$\infty$	$-0,0049$	$-0,182$	$-4,55$	$-7,49$
۲	$-0,038$	$-0,154$	$-4,61$	$-7,48$
۱,۲۷	$-0,069$	$-0,127$	$-4,64$	$-7,48$
۱,۱	$-0,098 + j0,01$	$-0,098 - j0,01$	$-4,65$	$-7,48$
۰,۵	$-0,105 + j0,096$	$-0,105 - j0,096$	$-4,77$	$-7,47$
۰,۱	$-0,142 + j0,244$	$-0,142 - j0,244$	$-5,66$	$-7,35$
۰,۰۵	$-0,174 + j0,313$	$-0,174 - j0,313$	$-6,94 + j0,411$	$-6,94 - j0,411$

با استفاده از نتایج دقیق محاسبات قطب‌ها می‌توان مکان هندسی ریشه‌ها را رسم نمود که در شکل (۶-۲۶) نشان داده شده است. در رسم مکان هندسی با توجه به فاصله زیاد قطب‌ها واحدهای مختلفی برای ۲ قطب کوچکتر و بزرگتر در نظر گرفته شده است. مقایسه با شکل (۶-۲۵) نشان می‌دهد محاسبات تقریبی به روش فیدبک با محاسبات دقیق بسیار متفاوت است.

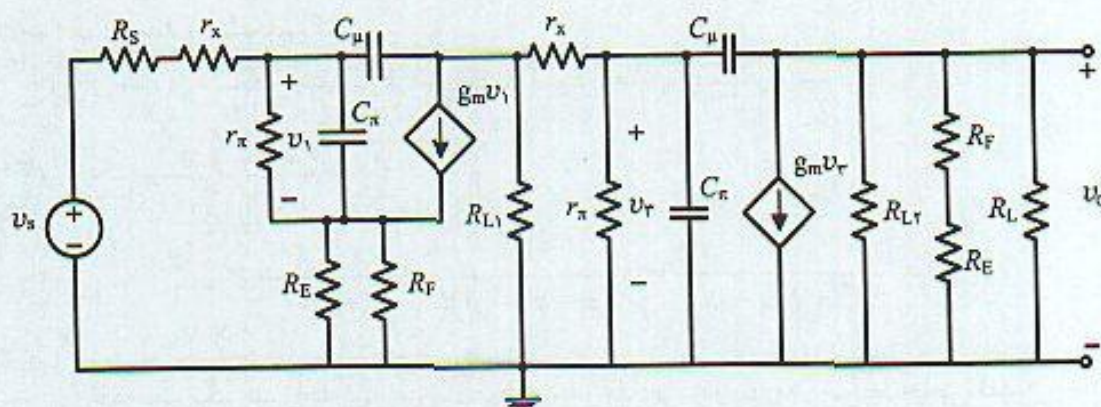
در مورد اینکه چرا محاسبات تقریبی با محاسبات دقیق متفاوت است دو نکته را می‌توان در نظر گرفت :

- اساساً در این مدار با فیدبک ولتاژ-سری، تقسیم مدار به تقویت‌کننده اصلی و مدار فیدبک خصوصاً در فرکانسهای بالا از دقت کافی برخوردار نیست. با توجه به شکل (۶-۲۷) که مدار معادل تقویت‌کننده بدون فیدبک را نشان می‌دهد به علت وجود خازن  $C_H$ ، نمی‌توان ولتاژ فیدبک شده در



شکل ۶-۲۶ مکان هندسی ریشه‌های تقویت‌کننده مثال (۹-۶) با محاسبات دقیق





شکل ۶-۲۷ مدار معادل فرکانس بالای تقویت‌کننده بدون فیدبک مثال (۶-۹)

ورودی را بصورت سری با منبع در نظر گرفت. بنابراین در جداسازی مدار به تقویت‌کننده اصلی و مدار فیدبک خطایی وجود دارد. این نوع خطا در فیدبک‌های سری وجود دارد.

- اثر بارگذاری مدار فیدبک با توجه به مقدار کم مقاومت  $R_F$ ، بر مشخصات تقویت‌کننده اصلی قابل صرف‌نظر نیست. کوچک بودن مقاومت مدار فیدبک سبب می‌شود در مدار معادل تقویت‌کننده اصلی در ورودی و خروجی اثر بارگذاری داشته مقدار بهره باند میانی و محل قطب‌های تقویت‌کننده اصلی دچار تغییر شود. اساساً اثر بارگذاری مدار فیدبک در تقویت‌کننده‌های با بهره کم قابل ملاحظه و صرف‌نظر از آنها باعث خطا در محاسبات می‌شود.

آخرین نکته قابل ذکر در مورد طرح تقویت‌کننده‌های فیدبک با استفاده از مکان هندسی ریشه‌ها آن است که نقطه شروع در این محاسبات تابع انتقال تقویت‌کننده اصلی است. این امر مستلزم آن است که محل قطب‌های تقویت‌کننده اصلی مشخص و معلوم باشد. با توجه به مطالب فصل سوم در خصوص تقویت‌کننده‌های چند طبقه که تعیین محل قطب‌ها مشکل و نیاز به محاسبات دقیق کامپوتری دارد، در نتیجه علیرغم محاسبات و نتایج دقیق در جبران تقویت‌کننده‌ها در صفحه مختلط  $s$ ، کاربرد این روش در عمل همراه با محدودیت است.

## مسائل فصل ششم

- (۶-۱) در مورد تابع انتقال باترورت مرتبه ۳ و با بسط عبارت  $\frac{1}{1-s^3}$ :
- الف) رابطه (۶-۱۷) را بدست آورید.
  - ب) محل قطب‌های فیلتر را تعیین کنید.
  - ج) زاویه قطب‌های مختلط با محور حقیقی و  $Q$  آنها را مشخص کنید.

(۶-۲) در تابع انتقال

$$H(s) = \frac{s+z}{s^2+as+b}$$

الف) رابطه‌ای را بدست آورید که این تابع انتقال دارای پاسخ فرکانسی با حداکثر پهنای باند مسطح شود.



ب) پهنای باند را مشخص کنید.

ج) برای مقادیر مشخص شده در فرض (الف) نمودار صفر و قطب را رسم کنید.

(۳-۶) یک سیستم مرتبه ۲ با معادله

$$H(s) = \frac{K}{s^2 + b_1 s + b_0} = \frac{K}{(s - \alpha - j\beta)(s - \alpha + j\beta)}$$

را در نظر بگیرید. رابطه بین ضرایب  $b_0$  و  $b_1$  و مقادیر  $\alpha$  و  $\beta$  را در شرایط خاص تعیین و جدول (م ۳-۶) را کامل کنید.

جدول (م ۳-۶)

	زاویه قطب‌ها	$b_0$	$b_1$	$\omega_H$	$M_{PT}$
$Q = 0.5$					
$Q = 0.707$					
$Q = 1$					

(۴-۶) در یک تقویت‌کننده با دو قطب حقیقی  $s_a$  و  $s_b$  و بهره باند میانی  $a_0$  فیدبک مقاومتی  $f_0$  اعمال می‌شود.

الف) عبارت کامل تابع انتقال تقویت‌کننده مدار بسته را مشخص کنید.

ب) روابطی برای تعیین  $\omega_0$  و  $Q$  بر حسب محل قطب‌های تقویت‌کننده اصلی و  $a_0$  بدست آورید.

(۵-۶) یک تقویت‌کننده فیدبک با بهره باند میانی  $A_0$ ، ضریب عدم حساسیت  $D_0$  و پهنای باند مسطح به مقدار  $\omega_H$  مورد نظر است. این مدار به کمک یک تقویت‌کننده اصلی با بهره باند میانی  $a_0$  و قطب‌های  $s_a$  و  $s_b$  طراحی می‌شود. روابطی برای تعیین مقادیر  $a_0$ ،  $s_a$  و  $s_b$  و فیدبک لازم  $f_0$  بر حسب مقادیر تقویت‌کننده مدار بسته ارائه نمایید.

(۶-۶) در یک تقویت‌کننده با بهره باند میانی  $a_0$  و قطب‌هایی در  $s_a$  و  $s_b$ ، ضریب جدایی قطب‌ها (pole separation) تعریف می‌شود  $s_b = n s_a$  به این تقویت‌کننده فیدبک مقاومتی  $f_0$  اعمال می‌شود.

الف) عبارتی برای  $\omega_0$  و  $Q$  بر حسب  $n$  و سایر مقادیر بدست آورید.

ب) برای مقادیر بزرگ عدم حساسیت عبارت  $Q$  را ساده کنید.

ج) در حالت‌های مهم ۱ و  $Q = 0.5$ ،  $0.707$  و  $1$  روابط را ساده کنید.

(۷-۶) تقویت‌کننده با بهره باند میانی  $a_0 = 500$  را می‌توان با دو قطب فرکانس بالای  $s_a = -0.2 \text{ (ns)}^{-1}$  و  $s_b = -0.1 \text{ (ns)}^{-1}$  تقریب زد.



الف) پهنای باند (مقدار دقیق) این تقویت‌کننده چقدر است.

ب) به این تقویت‌کننده فیدبک مقاومتی  $f_o$  اعمال می‌شود.

- ۱- مقدار فیدبک  $f_o$  را چنان تعیین کنید که پاسخ پله بدون بالا زدگی باشد. در این حالت پاسخ فرکانس چگونه است و پهنای باند تقویت‌کننده با فیدبک چقدر است. مقدار ضریب عدم حساسیت چقدر است.
- ۲- مقدار فیدبک را چنان تعیین کنید که پاسخ فرکانس بدون برآمدگی باشد. پاسخ پله مدار چگونه است و پهنای باند تقویت‌کننده حاصل چقدر است. ضریب عدم حساسیت در این حالت چقدر است. با حالت ۱ مقایسه کنید.

۳- مقدار فیدبک را چنان تعیین کنید که  $Q$  قطب‌های موهومی ۱ باشد. در این حالت پاسخ پله و پاسخ فرکانس چگونه است. ضریب عدم حساسیت و پهنای باند را با حالت‌های قبل مقایسه کنید.

۸-۶) به یک تقویت‌کننده با  $a_o = 600$ ،  $s_a = 1 (\mu s)^{-1}$  و  $s_b = 8 (\mu s)^{-1}$  فیدبک  $f_o$  اعمال می‌شود.

الف) مکان هندسی ریشه‌ها را رسم کنید.

ب) مقدار فیدبک را چنان مشخص کنید که حداکثر پهنای باند مسطح بدست آید.

ج) ضریب عدم حساسیت و پهنای باند تقویت‌کننده با فیدبک چقدر است.

۹-۶) به تقویت‌کننده مسئله (۸-۶) صفری در  $s_b > s_a$  اضافه می‌شود.

الف) در این شرایط تابع انتقال بهره حلقه  $a f(s)$  را بنویسید.

ب) مکان هندسی ریشه‌ها را در این حالت رسم کنید و با مسئله (۷-۶) مقایسه کنید.

ج) در این شرایط محل صفر و مقدار  $f_o$  را چنان مشخص کنید که ضریب عدم حساسیت ۲ برابر مسئله (۷-۶) شود. پاسخ فرکانس مدار چگونه است.

۱۰-۶) در یک تقویت‌کننده فیدبک با فیدبک مقاومتی  $f_o$  و تابع انتقال تقویت‌کننده اصلی

$$a(s) = \frac{1000}{(1 + \frac{s}{7})(1 + \frac{s}{10})}, \quad s: (\mu s)^{-1}$$

الف) پهنای باند تقویت‌کننده اصلی چقدر است.

ب) مقدار ضریب عدم حساسیت را چنان تعیین کنید که تقویت‌کننده دارای دو قطب مساوی باشد. پهنای باند مدار چقدر است.

ج) مقدار حداکثر ضریب عدم حساسیت تقویت‌کننده مدار بسته با پاسخ فرکانس مناسب (بدون برآمدگی) چقدر است. پهنای باند مدار در این شرایط چقدر است.

د) به ازاء به ازاء فیدبک  $f_o = 4 \times 10^{-3}$  پاسخ فرکانس تقویت‌کننده و پاسخ پله تقویت‌کننده مدار بسته را بدقت رسم کنید.

ه) با فرض فیدبک جبران شده بصورت  $f(s) = f_o (1 + \frac{s}{z_o})$  مکان هندسی ریشه‌ها را رسم کنید.

و) در حالت (ه) مقدار ضریب عدم حساسیت را برای پاسخ فرکانس مناسب مشخص کنید.

ز) مقدار ضریب عدم حساسیت و پهنای باند مدار در حالت (و) را با حالت (ج) مقایسه کنید. چه نتیجه‌ای از این مقایسه می‌توان گرفت. توضیح دهید.



۱۱-۶) تابع انتقال بهره حلقه  $a f(s)$  یک تقویت‌کننده با فیدبک بصورت

$$a f(s) = \frac{a_0 f_0 \left(1 + \frac{s}{s_z}\right)}{(1+s)\left(1 + \frac{s}{\frac{s}{3}}\right)\left(1 + \frac{s}{5}\right)}, \quad s: (\mu s)^{-1}$$

است.

- الف) نشان دهید به ازاء تمام مقادیر  $a_0 f_0$  اگر  $3 < s_z < 5$  باشد تقویت‌کننده مدار بسته پایدار است.  
 ب) مقدار  $s_z$  را چنان بیابید که حداکثر پهنای باند مسطح حاصل شود. ضریب عدم حساسیت چقدر است.  
 ج) مکان هندسی ریشه‌ها را با توجه به فرض (ب) رسم کنید.

۱۲-۶) به یک تقویت‌کننده با تابع انتقال

$$a f(s) = \frac{1000}{(1+s)\left(1 + \frac{s}{5}\right)\left(1 + \frac{s}{10}\right)}$$

- که در آن  $s$  با واحد  $(\mu s)^{-1}$  و فیدبک مقاومتی (مستقل از فرکانس)  $f_0$  اعمال می‌شود.  
 الف) پهنای باند تقویت‌کننده اصلی چقدر است.  
 ب) حداکثر ضریب عدم حساسیت که با این تقویت‌کننده می‌توان بدست آورد چقدر است.  
 ج) برای داشتن پاسخ فرکانس با  $Q = 1$  (قطب‌های مختلط)، مقدار  $f_0$ ، ضریب عدم حساسیت و پهنای باند تقریبی چقدر است.  
 د) مقدار ضریب عدم حساسیت را چنان بدست آورید که یکی از قطب‌های مدار بسته در  $s = -10$  واقع شود. در این حالت وضعیت پایداری تقویت‌کننده چگونه است.

۱۳-۶) در یک تقویت‌کننده به مشخصات  $a_0 = 1000$  و محل قطب‌ها

$$s_1 = -0.02 (ns)^{-1}, \quad s_2 = -0.04 (ns)^{-1}, \quad s_3 = -0.1 (ns)^{-1}, \quad s_4 = -10 (ns)^{-1}$$

فیدبک مقاومتی اعمال می‌شود.

- الف) پهنای باند تقویت‌کننده اصلی چقدر است.  
 ب) حداکثر ضریب عدم حساسیت چقدر است.  
 ج) مقدار فیدبک  $f_0$  را چنان مشخص کنید که  $D_0 = D_{(max)} - 5$  باشد.  
 د) پاسخ فرکانس در حالت (ج) چگونه است.  
 ه) حداکثر ضریب عدم حساسیت با پاسخ فرکانس مناسب و پهنای باند در این حالت چقدر است.  
 و) برای افزایش ضریب عدم حساسیت مدار به روش اضافه شدن صفر در مدار فیدبک جبران می‌شود. حداکثر ضریب عدم حساسیت، پهنای باند و بهره باند میانی را مشخص کنید.

۱۴-۶) در مثال (۲-۶) تقویت‌کننده ۳ طبقه با فیدبک ولتاژ موازی مقداری از فیدبک، مقاومت  $R_F$  را محاسبه کنید که:

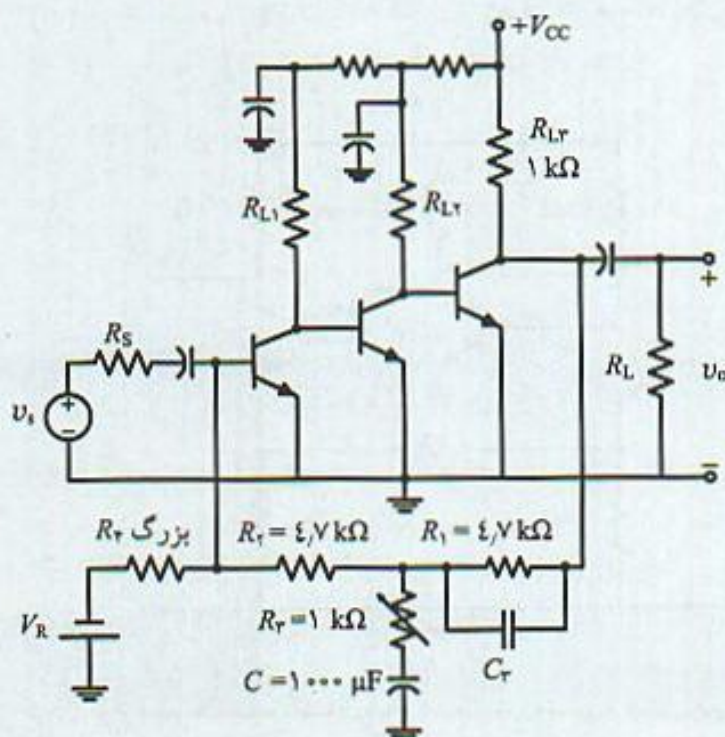


- الف) تقویت‌کننده دارای ۲ ریشه حقیقی و مضاعف باشد.  
ب) در این حالت پاسخ فرکانس مدار چگونه است و پهنای باند تقریبی مدار چقدر است.  
ج) مقدار ضریب عدم حساسیت چقدر است.

۱۵-۶) در مثال (۲-۶) تقویت‌کننده ۳ طبقه با فیدبک ولتاژ موازی ملاحظه شد با جبران صفر توسط مدار فیدبک با مقاومت  $R_F = 20 \text{ k}\Omega$  موازی با خازن  $0.255 \text{ pF}$  حداکثر پهنای باند مسطح بدست می‌آید. با توجه به مسئله فوق و اینکه با فیدبک مقاومتی و  $R_F = 13 \text{ k}\Omega$  مدار ناپایدار می‌شود.  
الف) به ازاء فیدبک مقاومتی  $R_F = 20 \text{ k}\Omega$  وضعیت پایداری مدار چگونه است.  
ب) در این حالت پاسخ فرکانس مدار چگونه است و برآمدگی آن چقدر است.  
ج) مقدار ضریب عدم حساسیت چقدر است.

۱۶-۶) در مثال (۳-۶) که به روش سعی و خطا مدار جبران‌کننده سری مقاومت  $R_E$  و سلف  $L$  طراحی شد.  
الف) محاسبات دقیق را با استفاده از جدول‌های (۲-۶) و (۳-۶) انجام دهید.  
ب) حداکثر ضریب عدم حساسیت با پاسخ مناسب، مقاومت‌های  $R_E$  و  $L$  را محاسبه کنید.  
ج) نتایج حاصل را با مقدار بدست آمده در مثال (۳-۶) مقایسه کنید.

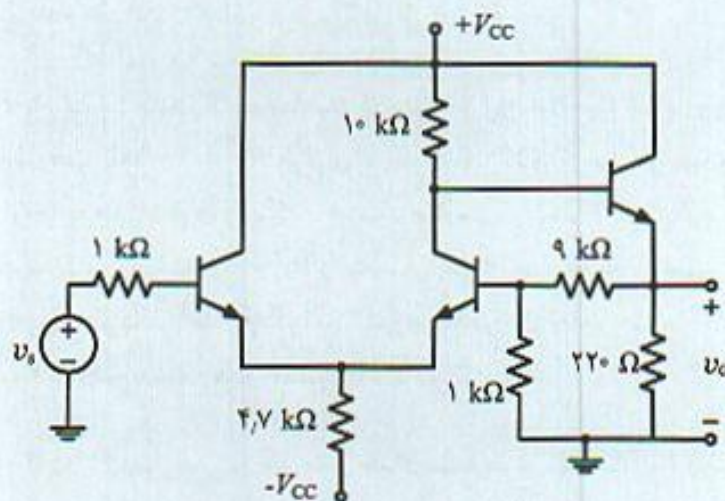
۱۷-۶) در مثال (۳-۶) و در مورد تقویت‌کننده ۳ طبقه مدار بایاس جبران‌کننده را می‌توان ترکیب و مدار کامل تقویت‌کننده جبران شده را بصورت شکل (م ۱۷-۶) بدست آورد.  
الف) مقدار خازن  $C_F$  را چنان محاسبه کنید که همان روش جبران در مثال (۳-۶) انجام پذیرد.  
ب) نشان دهید قطب حاصل از مدار فیدبک جزء قطب‌های بزرگ تقویت‌کننده است.



شکل (م ۱۷-۶)



۱۸-۶) در تقویت‌کننده با فیدبک شکل (م ۶-۱۸) بهره حلقه مدار باز  $160$  و قطب‌های مدار حلقه باز در محل‌های  $\omega_p$  و  $8\omega_p$  قرار دارند.



شکل (م ۶-۱۸)

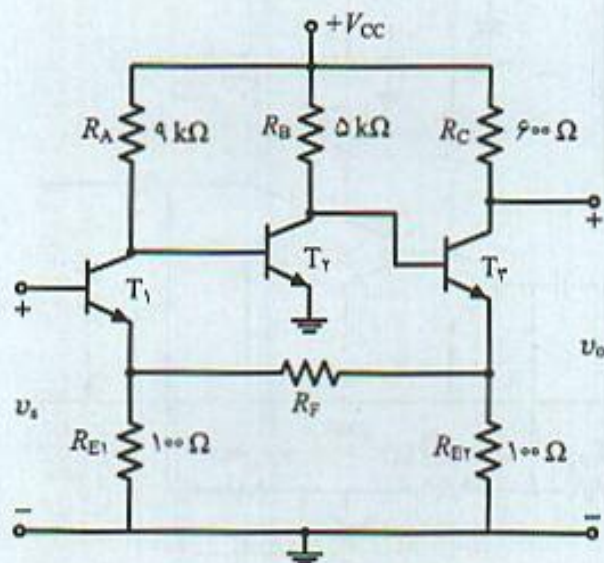
الف)  $Q$  قطب‌های مدار با فیدبک را بدست آورید.

ب) پاسخ فرکانس چگونه است.

ج) چه روش یا روشهایی برای جبران این تقویت‌کننده پیشنهاد می‌کنید.

۱۹-۶) شکل (م ۶-۱۹) یک تقویت‌کننده با فیدبک را نشان می‌دهد که در آن:

$$A_V = -6000, s_1 = -0.006 \text{ (ns)}^{-1}, s_2 = -0.05 \text{ (ns)}^{-1}, s_3 = -0.1 \text{ (ns)}^{-1}, s_4 = -20 \text{ (ns)}^{-1}$$



شکل (م ۶-۱۹)

الف) با مشخص کردن نوع فیدبک تابع انتقال تقویت‌کننده اصلی و مدار فیدبک و پهنای باند تقویت‌کننده اصلی را مشخص کنید.



- ب) حداکثر ضریب عدم حساسیت مدار چقدر است.
- ج) مقدار مقاومت  $R_F$  را چنان بیابید که یکی از قطب‌ها در  $s = -0.15$  واقع شود ضریب عدم حساسیت و پاسخ فرکانس چگونه است.
- د) برای جبران به روش "صفر در مدار فیدبک" تابع انتقال مدار فیدبک بصورت  $(1 + \frac{s}{z_0})$  جبران می‌شود.  $f_0$  و  $s_z$  را چنان بیابید که حداکثر پهنای باند مسطح حاصل شود.
- ه) ضریب عدم حساسیت، بهره ولتاژ باند میانی، و پهنای باند مدار در حالت (د) چقدر است.
- و) دو مدار مناسب برای تحقق جبران معرفی کنید.

#### ۶-۲۰) در تقویت‌کننده مسئله (۶-۱۹):

- الف) برای افزایش ضریب عدم حساسیت نسبت به مقدار محاسبه شده در فرض (د) تقویت‌کننده اصلی جبران می‌شود. چه روشی را باید بکار برد و چه عنصری و در کجا به مدار اضافه کرد.
- ب) برای جبران همزمان تقویت‌کننده اصلی در مدار فیدبک چه مداری لازم است روش طراحی را ذکر کنید.

#### ۶-۲۱) در یک تقویت‌کننده با مشخصات

$$a_0 = 1000, s_1 = -0.02 (ns)^{-1}, s_2 = -1.04 (ns)^{-1}, s_3 = -0.1 (ns)^{-1}, s_4 = -7 (ns)^{-1}$$

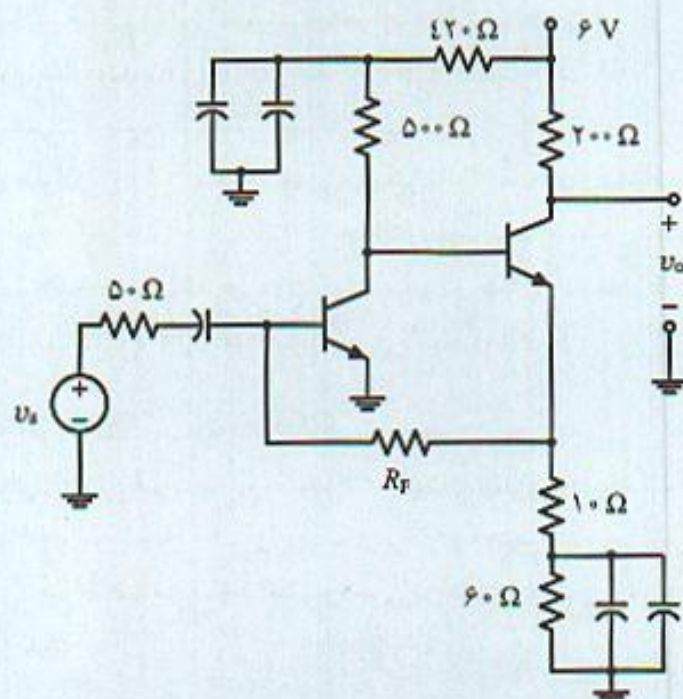
- الف) حداکثر ضریب عدم حساسیت چقدر است.
- ب) چه محدودیتی بر بهره باند میانی مدار بسته باید قرار داد تا تقویت‌کننده‌ای پایدار حاصل شود.
- ج) حداکثر ضریب عدم حساسیت با پاسخ فرکانس مناسب و فیدبک مقاومتی چقدر است.
- د) برای افزایش هر چه بیشتر ضریب عدم حساسیت و افزایش پهنای باند چه روشی بکار می‌برید با انتخاب روش مناسب پارامترهای جبران، پهنای باند و ضریب عدم حساسیت را تعیین کنید.
- ه) به ازاء  $f_0$  که در حالت (د) بدست می‌آید وضعیت پاسخ فرکانس مدار با فیدبک مقاومتی چگونه است.

#### ۶-۲۲) تقویت‌کننده‌ای با بهره ولتاژ باند میانی ۱۰۰۰۰ و قطب‌هایی در ۱ MHz، ۵ MHz و ۲۰ MHz در

- نظر بگیرید. به این تقویت‌کننده فیدبک اعمال می‌شود.
- الف) مکان هندسی ریشه‌ها را با تغییر فیدبک مقاومتی رسم کنید.
- ب) حداکثر ضریب عدم حساسیت و حداقل بهره باند میانی تقویت‌کننده مدار بسته چقدر است.
- ج) مقدار  $\beta$  فیدبک را تعیین کنید که پاسخ پله بدون بالادگی و ضریب عدم حساسیت ماکزیمم باشد. بهره باند میانی و پهنای باند مدار را بدست آورید و با تقویت‌کننده اصلی مقایسه کنید.
- د) مقدار  $\beta$  فیدبک مقاومتی که قطب‌های مختلط با  $Q = 0.707$  شود را مشخص کنید بهره باند میانی و تقریبی از پهنای باند را در این حالت مشخص کنید.
- ه) اگر مقدار فیدبک مقاومتی  $\beta$  نصف مقدار ماکزیمم باشد پاسخ فرکانس به چه صورت است.

#### ۶-۲۳) در تقویت‌کننده دو طبقه شکل (۶-۲۳)





شکل (م ۶-۲۳)

الف) فیدبک موجود در مدار چیست. مدار تقویت‌کننده اصلی و مدار فیدبک را رسم و توابع لازم برای بیان آنها را مشخص کنید.

ب) با فرض اینکه قطب‌های تقویت‌کننده اصلی در

$$s_1 = -0.02 \text{ (ns)}^{-1}, s_2 = -0.08 \text{ (ns)}^{-1}, s_3 = -0.2 \text{ (ns)}^{-1}, s_4 = -0.7 \text{ (ns)}^{-1}$$

قرار داشته باشند:

- ۱- مکان هندسی ریشه‌ها را برای مقادیر مختلف  $R_F$  رسم کنید.
- ۲- به ازاء چه مقدار  $R_F$  حداکثر پهنای باند مسطح حاصل می‌شود ( $Q = 1$ ) ضریب عدم حساسیت و بهره باند میانی چقدر است.
- ۳- برای افزایش پهنای باند و ضریب عدم حساسیت مدار را بنحوی مناسب جبران کند و مقداری از  $R_F$  را بیابید که حداکثر پهنای باند مسطح حاصل شود.
- ۴- در صحت محاسبات فوق اظهار نظر کنید.

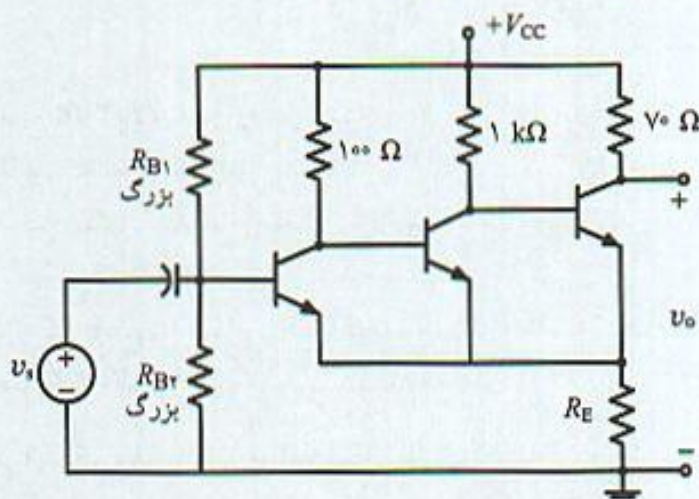
۲۴-۶) در مدار شکل (م ۶-۲۴) تقویت‌کننده اصلی بکار رفته دارای مشخصات زیر و  $s$  با واحد  $\text{(ns)}^{-1}$  است.

$$A_V = \frac{v_o}{v_s} = 7000, s_a = -0.007, s_b = -0.047, s_c = -0.357, s_d = -3.05$$

- الف) حداکثر ضریب عدم حساسیت تقویت‌کننده با فیدبک چقدر است.
- ب) با فرض ضریب عدم حساسیت ۵۱ پاسخ فرکانس تقویت‌کننده فیدبک را مشخص کنید. در این حالت یکی از قطب‌ها در  $s = -0.401$  قرار دارد.
- ج) برای داشتن حداکثر ضریب عدم حساسیت با ماکزیمم پهنای باند مسطح، تقویت‌کننده را به روش



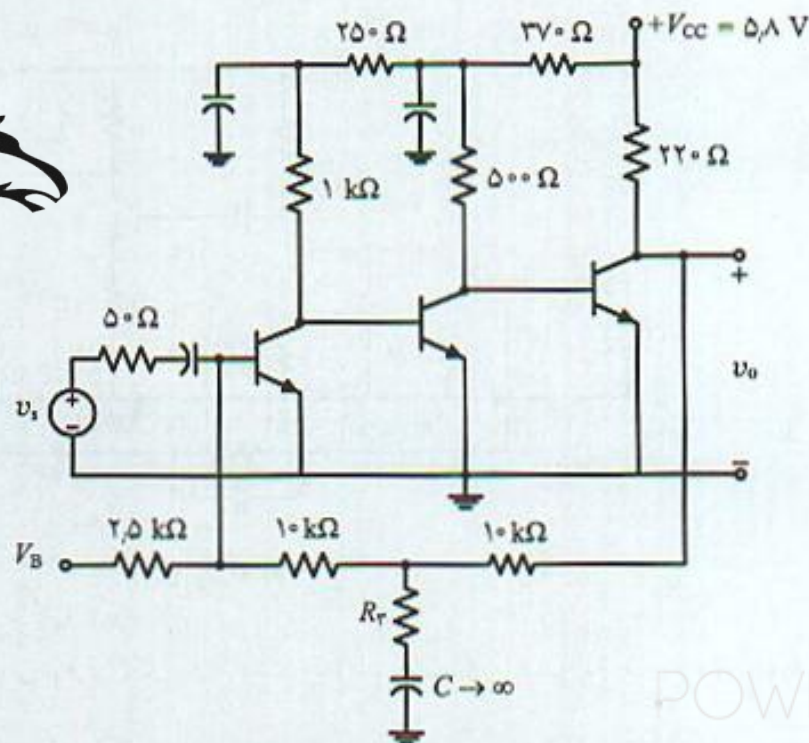
مناسب جبران و مقدار مقاومت  $R_E$  و عنصر مناسب برای این کار را مشخص کنید.  
(د) در فرض (ج) مقدار بهره ولتاژ با فیدبک، پهنای باند و ضریب عدم حساسیت را مشخص کنید.  
(ه) برای افزایش هر چه بیشتر ضریب عدم حساسیت و داشتن پهنای باند مسطح و ماکزیمم چگونه مدار را اصلاح می‌کنید. فقط شرح دهید.



شکل (م ۶-۲۴)

(۲۵-۶) در مدار شکل (م ۶-۲۵):

(الف) ولتاژ  $V_b$  را برای جریان نقطه کار  $10 \text{ mA}$  ترانزیستور  $T_1$  مشخص کنید.  
(ب) جریان نقطه کار سایر ترانزیستورها را مشخص کنید.  
(ج) با فرض  $r_x = 0.1 \text{ k}\Omega$ ، بهره مدار به ازاء  $R_T = 0$  و فرض‌های معقول چقدر است.  
(د) این تقویت‌کننده دارای صفر و قطب فرکانس بالا بصورت زیر است.



شکل (م ۶-۲۵)



$$s_1 = -0.05 \text{ (ns)}^{-1}$$

$$s_2 = -0.010 \text{ (ns)}^{-1}$$

$$s_3 = -0.060 \text{ (ns)}^{-1}$$

$$s_4 = -1.8 \text{ (ns)}^{-1}$$

$$s_5 = -11 \text{ (ns)}^{-1}$$

$$s_6 = -2.5 \text{ (ns)}^{-1}$$

$$s_{z1} = 9 \text{ (ns)}^{-1}$$

$$s_{z2} = 22.5 \text{ (ns)}^{-1}$$

$$s_{z3} = 45 \text{ (ns)}^{-1}$$

۱- به ازاء  $R_F = 0$  فرکانس قطع ۳ dB بالای مدار چقدر است.

۲- حدود  $R_F$  که به ازاء آن تقویت کننده پایدار باشد.

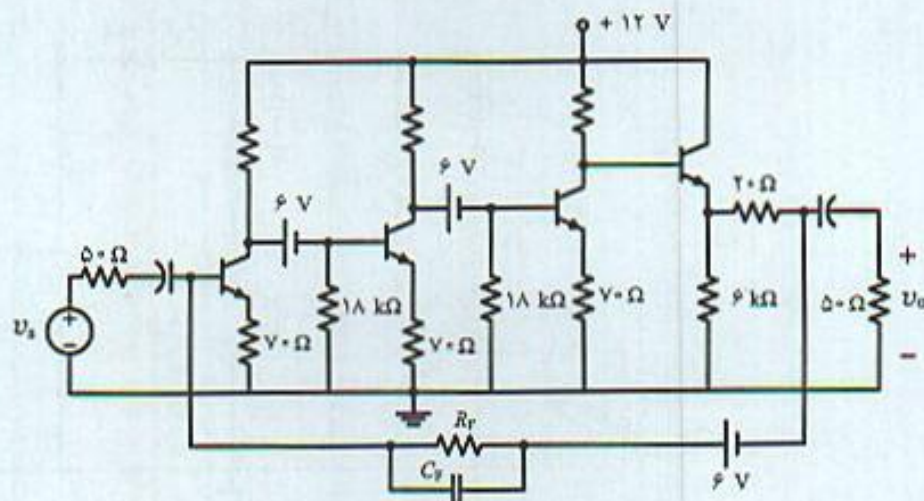
۳- مقدار  $R_F$  که به ازاء آن حداکثر پهنای باند مسطح حاصل شود چقدر است. پهنای باند را در این حالت با حالت ۱ مقایسه کنید.

۴- مقدار  $R_F$  که به ازاء آن بالازدگی پاسخ پله صفر و  $\omega_H$  ماکزیمم است را محاسبه کنید. مقدار ضریب عدم حساسیت و  $\omega_H$  حاصل را با حالت (۱) و (۳) مقایسه کنید.

۵- با اضافه کردن سلف به مدار فیدبک صفر مناسب در تابع انتقال فیدبک اضافه کرده تا مدار جبران شود و ماکزیمم پهنای باند حاصل شود پهنای باند را در این حالت با حالت ۱، ۲، ۳ و ۴ مقایسه کنید.  
(و) چه مدار عملی دیگری برای جبران در حالت (د) به نظر شما می رسد. مدار لازم را معرفی کنید.

۶-۲۶ در تقویت کننده چهار طبقه شکل (۶-۲۶) با فرض  $a_0 = \frac{v_o}{v_s} = -125000$  و سه قطب کوچکتر تقویت کننده در نقاط زیر:

$$s_a = -0.16778 \text{ (ns)}^{-1}, s_b = -2 \text{ (ns)}^{-1}, s_c = -23.8 \text{ (ns)}^{-1}$$



شکل (۶-۲۶)

الف) در این مدار فیدبک ولتاژ موازی بکار رفته است. مقاومت فیدبک را چنان انتخاب کنید که بهره ولتاژ مدار بسته ۱۰۰ باشد.



- ب) وضعیت پاسخ فرکانس را به ازاء  $R_F$  فوق تعیین کنید و پاسخ فرکانس تقریبی را رسم کنید.
- ج) برای جبران تقویت‌کننده در حالت (الف) با استفاده از جبران صفر در مدار فیدبک، صفر مدار فیدبک را در محل برآمدگی پاسخ فرکانس در فرض (ب) قرار دهید و مقدار خازن  $C_F$  را محاسبه کنید.
- د) جبران را برای بهترین مقدار (فیلتر باترورث مرتبه ۳) بکار برده پهنای باند، بهره باند میانی ضریب عدم حساسیت را با روش جبران قبل مقایسه کنید.









## فیدبک در میدان فرکانس جبران تقویت کننده‌های

### مقدمه

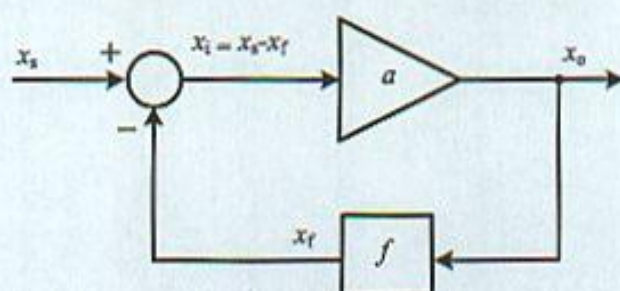
در فصل ششم طراحی تقویت کننده‌ها بر اساس مکان هندسی ریشه‌ها در صفحه مختلط  $s$  مطرح و روشهای مختلف جبران تقویت کننده‌ها بررسی شد. محاسبات طرح تقویت کننده‌ها با استفاده از مکان قطب‌ها با در نظر گرفتن چند فرض منطقی که عموماً در تقویت کننده‌های فیدبک وجود دارد بسیار دقیق است. اما دارای این محدودیت است که لازم است قطب‌های تقویت کننده اصلی مشخص شده باشد.

در این فصل روش دیگری برای جبران سازی تقویت کننده‌های فیدبک مبتنی بر پاسخ فرکانس اندازه گیری شده بهره حلقه مطرح می شود. محاسبات این روش ساده تر و نتایج بدست آمده گرچه بدقت روش قبل نیست، اما در بسیاری از کاربردهای عملی از تقریب مناسبی برخوردار است. مهمترین خصوصیت این روش قابل اندازه گیری بودن مشخصات آنها است و نیازی به دانستن محل قطب‌ها نمی باشد.

### ۱-۷ معیارهای پاسخ مناسب در میدان فرکانس

شکل (۱-۷) شمای کلی تقویت کننده فیدبک منفی را نشان می دهد. برای معرفی معیارهای مناسب طراحی تقویت کننده‌های فیدبک با پاسخ فرکانس مسطح، در چند حالت خاص مسئله را بررسی و مقادیر حاشیه فاز و حاشیه بهره محاسبه می شوند.





شکل ۷-۱ تقویت‌کننده فیدبک

### ۷-۱-۱ تقویت‌کننده اصلی یک قطبی

با فرض تابع انتقال شامل یک قطب برای تقویت‌کننده اصلی:

$$a(s) = \frac{a_o}{1 + \frac{s}{s_a}} \quad (۷-۱ الف)$$

تابع انتقال بهره حلقه:

$$T(s) = \frac{T_o}{1 + \frac{s}{s_a}}, \quad T_o = a_o f_o = D_o - 1 \quad (۷-۱ ب)$$

و عبارت قدر مطلق و فاز بهره حلقه از رابطه (۷-۲) بدست می‌آید.

$$|T(j\omega)| = \frac{T_o}{\left|1 + j\frac{\omega}{s_a}\right|} = \frac{T_o}{\sqrt{1 + \left(\frac{\omega}{s_a}\right)^2}}, \quad \angle T(j\omega) = -\tan^{-1}\left(\frac{\omega}{s_a}\right) \quad (۷-۲)$$

از رابطه فاز پاسخ فرکانس بهره حلقه ملاحظه می‌شود عبارت فاز مستقل از فیدبک و فقط به تقویت‌کننده اصلی بستگی دارد. در فرکانسهای خیلی بالا زاویه فاز به  $-90^\circ$  خواهد رسید و بنابراین در این تقویت‌کننده‌ها فرکانس  $\omega_c$  (phase cross over frequency)، فرکانسی که زاویه فاز  $-180^\circ$  شود، بی‌معنی است و معیار حاشیه بهره  $GM$  قابل تعریف نیست. برای محاسبه عبارت حاشیه فاز  $PM$  ابتدا فرکانس  $\omega_g$  (gain cross over frequency)، فرکانسی که مقدار بهره حلقه  $1$  است، تعیین می‌شود.

$$|T(j\omega_g)| = 1 \Rightarrow \omega_g = s_a \sqrt{T_o^2 - 1} \quad (۷-۳ الف)$$

و بنابراین  $PM$ :

$$PM = 180^\circ - \tan^{-1}\left(\frac{\omega}{s_a}\right) = 180^\circ - \tan^{-1}\sqrt{T_o^2 - 1} \quad (۷-۳ ب)$$

ملاحظه می‌شود  $PM$  همواره مثبت و تقویت‌کننده به ازاء تمام مقادیر فیدبک پایدار است. علاوه بر آن از رابطه (۷-۳ ب) می‌توان دید به ازاء مقادیر بزرگ عدم حساسیت،  $PM$  به  $90^\circ$  خواهد رسید.



## ۷-۱-۲ تقویت‌کننده اصلی دو قطبی

در حالتی که تقویت‌کننده دارای دو قطب است، تابع انتقال تقویت‌کننده اصلی:

$$a(s) = \frac{a_0}{\left(1 + \frac{s}{s_a}\right) \left(1 + \frac{s}{s_b}\right)} \quad (۷-۴ \text{ الف})$$

و بنابراین تابع انتقال بهره حلقه با فیدبک مقاومتی:

$$T(s) = \frac{T_0}{\left(1 + \frac{s}{s_a}\right) \left(1 + \frac{s}{s_b}\right)} = \frac{s_a s_b T_0}{s^2 + (s_a + s_b)s + s_a s_b} \quad (۷-۴ \text{ ب})$$

است. با توجه به اینکه تابع انتقال بهره حلقه دو قطبی است فاز بهره حلقه در فرکانس‌های بالا به  $-180^\circ$  -  
مجاوب می‌شود. از طرف دیگر در فرکانسهای بالا مقدار بهره حلقه عدد کوچکی است و بنابراین  $GM$ :

$$\omega_c \rightarrow \infty \Rightarrow GM \rightarrow \infty \quad (۷-۵)$$

رابطه (۷-۵) نشان می‌دهد به ازاء تمام مقادیر فیدبک  $GM$  مستقل از فیدبک و عدد بسیار بزرگی است و در  
نتیجه تقویت‌کننده پایدار است. برای بررسی پاسخ فرکانس و معرفی معیاری جهت طرح مدار در میدان  
فرکانس تابع انتقال تقویت‌کننده مدار بسته با رابطه (۷-۶) را در نظر بگیرد.

$$A(s) = \frac{s_a s_b a_0}{s^2 + (s_a + s_b)s + s_a s_b (1 + T_0)} \quad (۷-۶)$$

رابطه (۷-۶) را می‌توان به فرم معمول توابع انتقال مرتبه ۲ در رابطه (۷-۵) با استفاده از پارامترهای  $\omega_0$  و  $Q$   
نشان داد. این مقادیر:

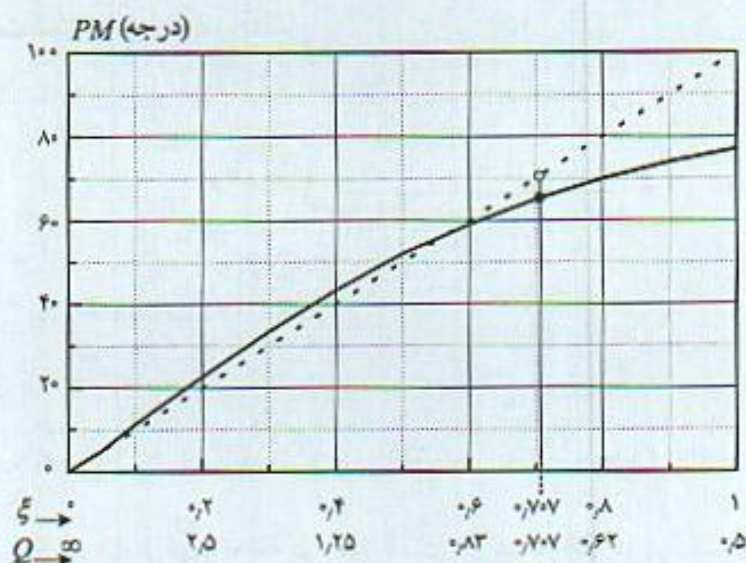
$$\omega_0 = \sqrt{s_a s_b (1 + T_0)}, \quad Q = \frac{\omega_0}{s_a + s_b} \quad (۷-۷)$$

با توجه به اینکه به ازاء تمام مقادیر  $f_0$  حاشیه بهره عدد بسیار بزرگی است بنابراین می‌توان نتیجه گرفت  
که  $GM$  معیار مناسبی برای طرح مدار نیست. علاوه بر آن با توجه به مطالب فصل ششم که  $Q$  تعیین‌کننده  
پاسخ فرکانس یک سیستم مرتبه دو است، منطقی است که ارتباطی بین  $Q$  و  $PM$  وجود داشته و معیار پاسخ  
فرکانس مناسب در حوزه فرکانس حاشیه فاز  $PM$  باشد. برای سیستم مرتبه دوم عبارت  $PM$  بر حسب  $Q$  از  
رابطه (۷-۸) بدست می‌آید:

$$PM = \tan^{-1} \sqrt{\frac{2Q^2}{2Q^2(Q^2 + 1) - 1}} \quad (۷-۸ \text{ الف})$$

در رابطه (۷-۸ الف)  $PM$  بر حسب رادیان است. اثبات این رابطه در مسئله‌ای در پایان فصل به عهده  
دانشجویان واگذار می‌شود. شکل (۷-۲) تغییرات  $PM$  را بر حسب پارامترهای  $\xi$  و  $Q$  نشان می‌دهد. در





شکل ۷-۲ تغییرات حاشیه فاز بر حسب ضریب‌های میرایی  $\xi$  و کیفیت  $Q$

محدوده مناسب در طرح تقویت‌کننده‌ها رابطه (۷-۸ الف) را می‌توان به صورت خطی با رابطه (۷-۸ ب) تقریب زد که بصورت خط چین در شکل (۷-۲) مشخص شده است.

$$PM = \frac{50^\circ}{Q} \quad (۷-۸ ب)$$

در رابطه (۷-۸ ب)  $PM$  بر حسب درجه است. با توجه به اینکه در طرح تقویت‌کننده‌ها عموماً  $Q = 0.707$  انتخاب می‌شود. بنابراین معیار طراحی تقویت‌کننده‌ها با تابع انتقال مرتبه دو:

$$PM = 60^\circ \quad (۷-۹)$$

است. برای تقویت‌کننده‌ها با مرتبه بالاتر  $60^\circ \leq PM \leq 50^\circ$  انتخاب می‌شود. در این شرایط برآمدگی قابل ملاحظه‌ای در پاسخ فرکانس تقویت‌کننده مدار بسته وجود ندارد.

## ۷-۲ روشهای جبران تقویت‌کننده‌ها در میدان فرکانس

در بخش قبل معیارهای مناسب جهت بدست آوردن پاسخ مسطح برای تقویت‌کننده‌های فیدبک بر اساس حاشیه فاز مشخص شد. در این بخش روش‌های مختلف طراحی تقویت‌کننده‌ها معرفی می‌شود. مثالی که در این بخش در نظر گرفته می‌شود و انواع مختلف جبران در مورد آن بررسی می‌شود، تقویت‌کننده سه طبقه مثال (۶-۳) با فیدبک جریان سری در شکل (۶-۱۱) است.

### ۷-۲-۱ جبران با فیدبک مقاومتی

در این روش تابع انتقال شبکه فیدبک ثابت و مستقل از فرکانس است. عناصر شبکه فیدبک چنان تعیین



می‌شوند که  $PM$  مطلوب برای پاسخ فرکانس مناسب بدست آید. با توجه به اینکه فیدبک مقاومتی است، با تغیر فیدبک فقط قدر مطلق بهره حلقه تغییر می‌کند و در عبارت فاز تغییری بوجود نمی‌آید. به این علت به این روش جبران بهره (gain compensation) گفته می‌شود.

### مثال ۷-۱

در تقویت‌کننده شکل (۷-۳) با فیدبک جریان - سری ترانزیستورهایی به مشخصات:

$$\beta_0 = 50, r_x = 25 \Omega, r_{\pi} = 250 \Omega, g_m = 200 \text{ m}\Omega^{-1}, C_{\mu} = 5 \text{ pF}, C_{\pi} = 50 \text{ pF}$$

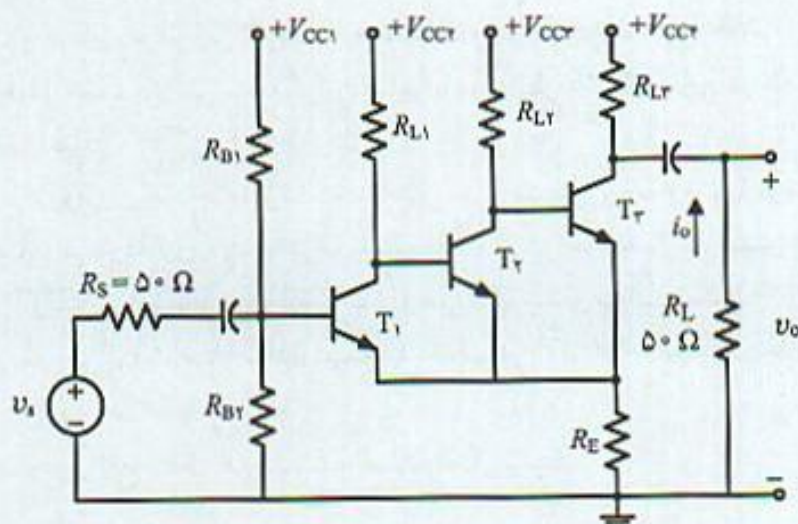
بکار رفته‌اند. پاسخ فرکانس اندازه‌گیری شده این تقویت‌کننده در شکل (۷-۵) نشان داده شده است. در مورد این تقویت‌کننده فرضهای زیر را بررسی کنید:

- حداکثر مقدار مقاومت  $R_E$  و ضریب عدم حساسیت در مرز ناپایداری چقدر است؟
- مقاومت  $R_E$  و ضریب عدم حساسیت برای پاسخ فرکانس مناسب  $PM = 60^\circ$  چقدر است؟
- بهره و لثاژ باند میانی و پاسخ فرکانس تقویت‌کننده مدار بسته در فرض (ب) چگونه است؟
- برای ضریب عدم حساسیت  $50$  مقاومت  $R_E$  و پایداری تقویت‌کننده را بررسی کنید.
- مدار را با نرم‌افزار spice بررسی و نتایج حاصل را با روش‌های تقریبی مقایسه نمایید.

سایر عناصر بکار رفته در مدار مقاومت‌های:

$$R_S = R_L = 50 \Omega \text{ و } R_{L1}, R_{L2}, R_{L3}, R_{B1}, R_{B2}$$

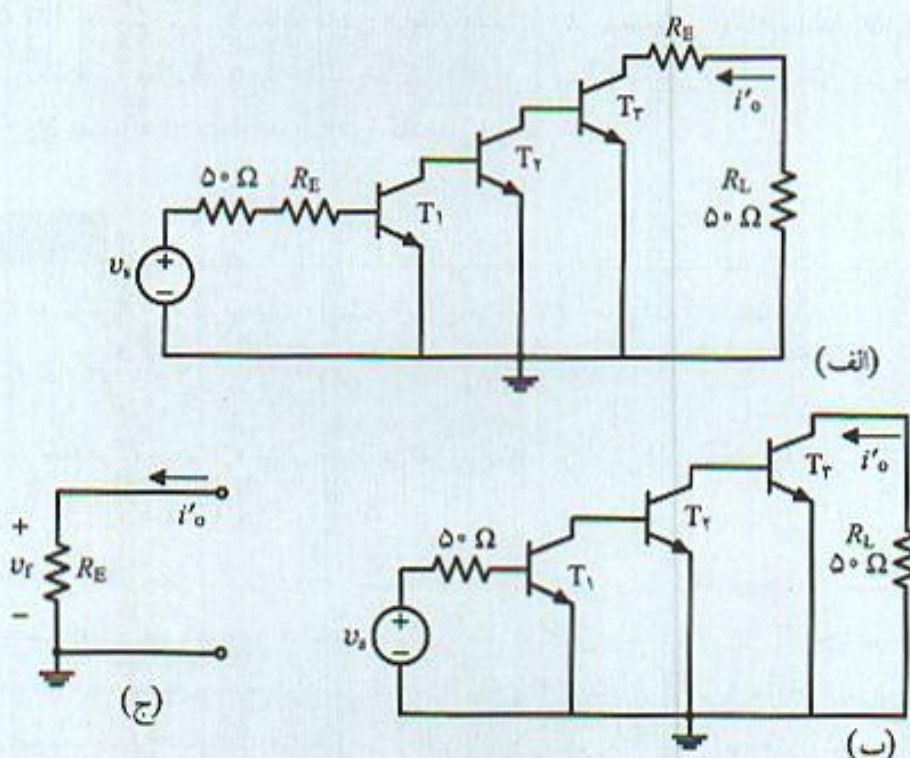
می‌باشند.



شکل ۷-۳ تقویت‌کننده ۳ طبقه با فیدبک جریان سری مثال (۷-۱)

الف) با توجه به نوع فیدبک بکار رفته، جریان سری، مدار معادل تقویت‌کننده اصلی با اتصال باز کردن خروجی و ورودی بدست می‌آید که در شکل (۷-۴ الف) نشان داده شده است. این مدار با این فرض بدست





شکل ۴-۷ تقویت‌کننده اصلی ۳ طبقه مثال (۱-۷): (الف) مدار معادل کامل، (ب) مدار ساده شده، (ج) مدار فیدبک

آمده است که جریان خروجی، جریان ترانزیستور طبقه آخر، خیلی بیشتر از جریان امیتر سایر ترانزیستورها است و ولتاژی که دو سر مقاومت امیتر وجود دارد فقط متناسب با جریان خروجی است. البته این فرض کاملاً دقیق نیست و خطایی در اثر این تقریب در محاسبات وجود دارد. هم‌چنین خطایی از جهت ورودی وجود دارد که در فصل ششم بررسی شد. بنابراین اساساً باید در نظر داشت خطایی در محاسبات به روش تقریبی فیدبک وجود دارد.

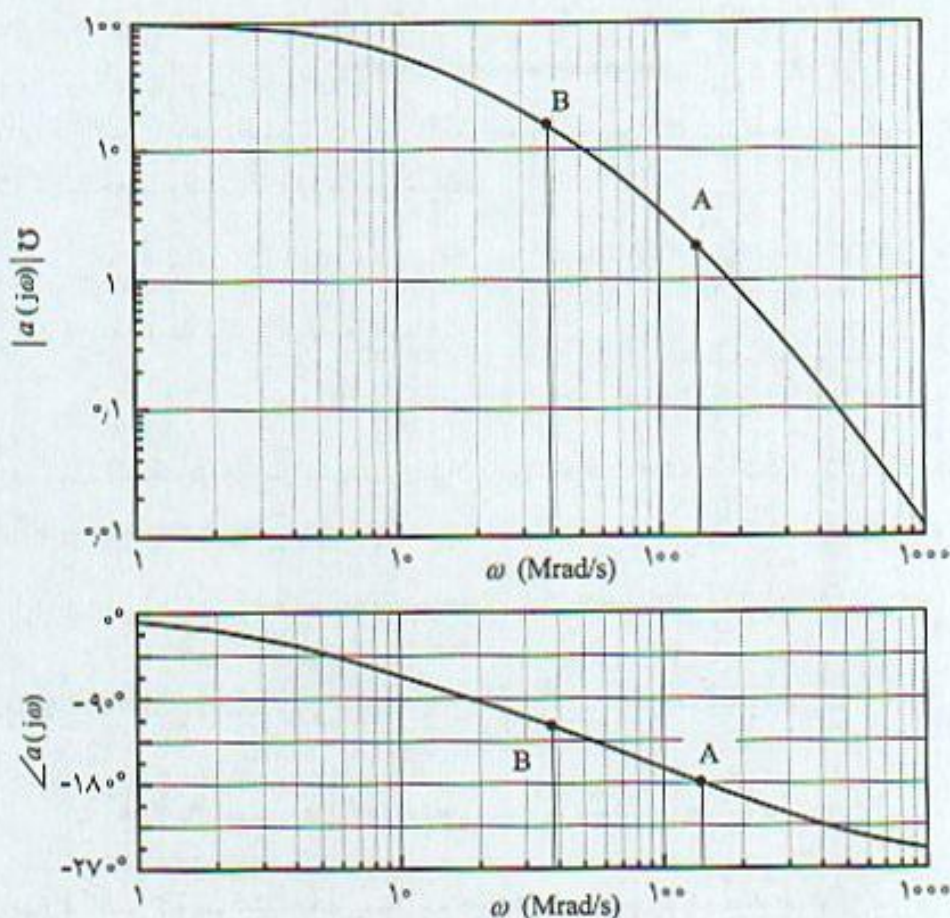
مقاومت  $R_E$  در ورودی و خروجی تقویت‌کننده اصلی بصورت سری با مقاومت بار و منبع قرار گرفته و بر تقویت‌کننده اصلی اثر بارگذاری دارد. با فرض اینکه مقدار آن در مقایسه با مقاومت‌های ذکر شده خیلی کوچکتر باشد اثر بارگذاری آن قابل صرف‌نظر است و می‌توان مدار معادل شکل (۴-۷ ب) را بعنوان تقویت‌کننده اصلی در نظر گرفت. مدار معادل شبکه فیدبک نیز در شکل (۴-۷ ج) رسم شده ضریب فیدبک  $f_o = R_E$  است.

با توجه به بحث فوق تابع انتقال تقویت‌کننده اصلی و مدار فیدبک:

$$a(s) = \frac{i'_o}{v_s} \Omega^{-1}, \quad f_o = \frac{v_f}{i'_o} = R_E (\Omega) \quad (۷-۱۰ \text{ الف})$$

به همین علت پاسخ فرکانس بهره تقویت‌کننده اصلی در شکل (۷-۵) بر حسب مهو (mho) رسم شده است. از این منحنی ملاحظه می‌شود فرکانس قطع ۳ dB تقویت‌کننده اصلی:





شکل ۵-۷ پاسخ فرکانس تقویت‌کننده اصلی شکل (۴-۷): الف) منحنی قدر مطلق، ب) منحنی فاز

$$\omega_H = 7 \text{ Mrad/s} \quad \Rightarrow \quad f_H = 1.15 \text{ MHz} \quad (\text{ب } ۱۰-۷)$$

می‌باشد.

مرز ناپایداری برای محاسبه مقاومت  $R_E$  در مرز ناپایداری با توجه به منحنی فاز تقویت‌کننده اصلی، فرکانس بحرانی (فرکانسی که زاویه فاز  $-180^\circ$  است)  $\omega_c = 140 \text{ Mrad/s}$  و بهره تقویت‌کننده اصلی در این فرکانس  $|a(j\omega_c)| = 1.8$  است. این مشخصات در نقطه A روی منحنی قدر مطلق و فاز در شکل (۵-۷) نشان داده شده است. بنابراین شرط پایداری تقویت‌کننده آن است که:

$$|T(j\omega_c)| = |a_f(j\omega_c)| < 1 \Rightarrow f_o < \frac{1}{|a(j\omega_c)|} = \frac{1}{1.8}, \quad f_{o(\max)} = 0.55 \Omega \quad (۱۱-۷)$$

در نتیجه به ازاء  $R_E \geq 0.55 \Omega$  تقویت‌کننده با فیدبک ناپایدار و بازاء  $R_E < 0.55 \Omega$  پایدار است. حداکثر ضریب عدم حساسیت ممکن  $D_{o(\max)} = 1 + a_o f_{o(\max)} = 56$  می‌باشد.

ب) پاسخ فرکانس مناسب برای پاسخ فرکانس مناسب با توجه به معیار طراحی در میدان فرکانس  $(PM = 60^\circ)$



$$PM = 180^\circ + \varphi = 60^\circ \Rightarrow \varphi = -120^\circ$$

پس روی منحنی فاز فرکانسی تعیین می‌شود که زاویه آن  $-120^\circ$  است. در این فرکانس لازم است بهره حلقه "۱" شود. این فرکانس با نقطه B در شکل (۷-۵) مشخص شده است. در این نقطه بهره تقویت‌کننده اصلی ۱۵٫۵ است. در نتیجه مقاومت  $R_E$  لازم در این شرایط:

$$\varphi = -120^\circ \Rightarrow \omega_g = 28.8 \text{ Mrad/s} \Rightarrow |a(j\omega_g)| = 15.5$$

و بنابراین بهترین مقدار فیدبک برای پاسخ مسطح:

$$|a f_o(j\omega_g)| = 1 \Rightarrow f_{o(opt)} = 0.65 \Omega$$

مقدار ضریب فیدبک در این شرایط  $f_{o(opt)}$  نشان داده شده است. مشخصات مهم تقویت‌کننده با فیدبک با پاسخ فرکانس مناسب:

$$D_{o(opt)} = 1 + a_o f_o = 7.5 \text{ (ضریب عدم حساسیت)}$$

$$A_o = \frac{a_o}{1 + a_o f_o} = \frac{100}{7.5} = 13.33 \Omega^{-1} \text{ (بهره هدایت انتقالی در باند میانی)}$$

$$A_{v_o} = \frac{v_o}{v_s} = \frac{R_L i_o}{v_s} = R_L A_o = -666.66 \text{ (بهره ولتاژ باند میانی)}$$

ج) پاسخ فرکانس تقویت‌کننده مدار بسته پاسخ فرکانس تقویت‌کننده مدار بسته را می‌توان از رابطه اصلی فیدبک و در فرکانس‌های مختلف:

$$A(j\omega) = \frac{a f(j\omega)}{1 + a f(j\omega)} \quad (7-1 \text{ الف})$$

بدست آورد که در شکل (۷-۶) نشان داده شده است. ملاحظه می‌شود برآمدگی مختصری در پاسخ فرکانس وجود دارد و پهنای باند مدار ۶٫۹ MHz است و در مقایسه با تقویت‌کننده اصلی افزایش قابل ملاحظه‌ای دارد.

د) طرح تقویت‌کننده با ضریب عدم حساسیت ۵۰ برای این مقدار ضریب عدم حساسیت لازم است مقاومت فیدبک مدار:

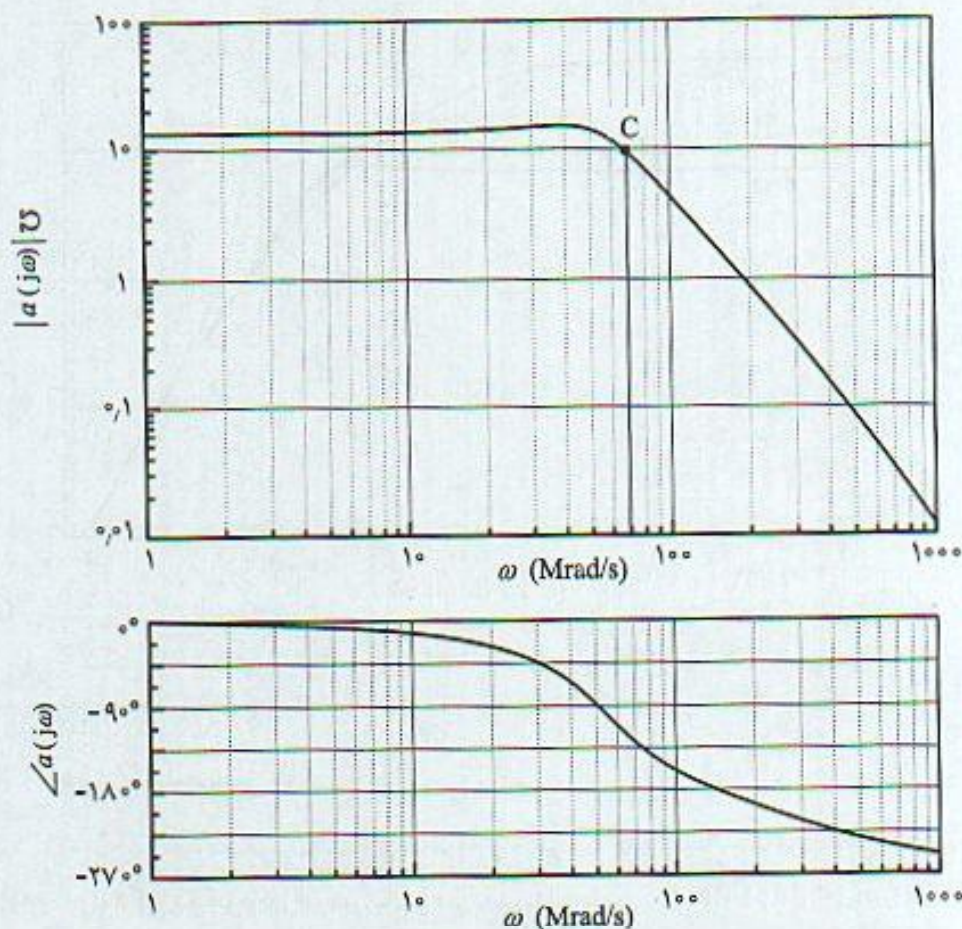
$$1 + a_o f_o = 50 \Rightarrow f_o = R_E = 0.49 \Omega$$

انتخاب شود. برای تعیین وضعیت پایداری  $GM$  به ازاء فیدبک  $f_o = 0.49$  محاسبه می‌شود.

$$GM = \frac{1}{|T(j\omega_c)|} = \frac{1}{|a f_o(j\omega_c)|} = \frac{1}{f_o |a(j\omega_c)|} = 1.133, \quad GM = 1.09 \text{ dB}$$

که نشان می‌دهد تقویت‌کننده پایدار است. برای تعیین پاسخ فرکانس،  $PM$  به ازاء  $R_E = 0.49 \Omega$  محاسبه و با استفاده از رابطه (۷-۸)  $Q$  قطب‌های موهومی تعیین می‌شود. ابتدا لازم است فرکانس بهره حلقه واحد  $\omega_g$  را محاسبه نمود. در این فرکانس:





شکل ۶-۷ پاسخ فرکانس تقویت‌کننده فیدبک مثال (۱-۷) یا پاسخ فرکانس مسطح و مقاومت فیدبک  $0.065 \Omega$

$$|T(j\omega_g)| = 1 \Rightarrow |a(j\omega_g)| = \frac{1}{f_0} = \frac{1}{0.49} = 2.04$$

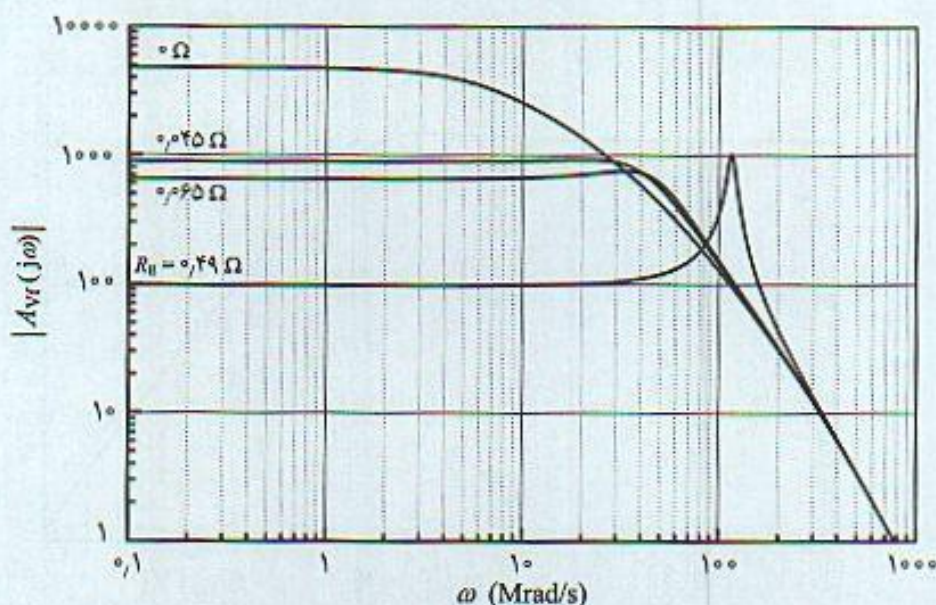
بنابراین روی منحنی قدر مطلق بهره تقویت‌کننده اصلی فرکانسی تعیین می‌شود که دارای بهره ۲.۰۴ است، این فرکانس  $\omega_g$  است و در شکل (۵-۷) با نقطه B و  $\omega_g = 120 \text{ Mrad/s}$  مشخص است. زاویه فاز بهره حلقه در این فرکانس  $\varphi = -174^\circ$  و در نتیجه:

$$PM = 180^\circ + \varphi = 180^\circ - 174^\circ = 6^\circ \Rightarrow Q = \frac{50}{PM} = \frac{50}{6} = 8.33$$

با توجه به مقدار زیاد  $Q$  ملاحظه می‌شود تقویت‌کننده پایدار اما در پاسخ فرکانس برآمدگی زیادی وجود دارد.

۵) بررسی دقیق تقویت‌کننده با فیدبک با نرم‌افزار spice بررسی و پاسخ فرکانس بهره و نشان مدار اندازه‌گیری و نتایج بررسی در شکل (۷-۷) خلاصه شده است. ملاحظه می‌شود پاسخ مسطح با  $R_E = 0.045 \Omega$  بدست می‌آید. با این مقاومت ضریب عدم حساسیت ۵.۵ و پهنای باند تقویت‌کننده مدار بسته  $17.31 \text{ MHz}$  است. به ازاء ضریب عدم حساسیت موردنظر  $5^\circ$  پاسخ فرکانس دارای برآمدگی زیاد است.

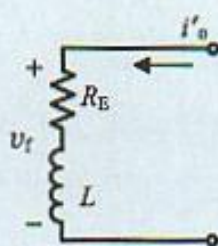




شکل ۷-۷ پاسخ فرکانس بهره ولتاژ تقویت‌کننده فیدبک مثال (۱-۷) با نرم‌افزار spice

## ۷-۲-۲ جبران‌کننده پیش فاز

در مثال (۱-۷) ملاحظه شد که تقویت‌کننده فیدبک به اِزاء ضریب عدم حساسیت موردنظر ۵۰ پاسخ فرکانس مناسبی ندارد. برآمدگی موجود در آن تقریباً در فرکانس بحرانی  $\omega_c = 140 \text{ Mrad/s}$  و نشان می‌دهد تقویت‌کننده فاصله چندانی با مرز پایداری ندارد. یک روش جبران تقویت‌کننده اصلاح مدار فیدبک است. مدار جبرانی که معمولاً استفاده می‌شود در شکل (۸-۷) نشان داده شده است که ترکیب سری سلف و مقاومت است. تابع انتقال شبکه فیدبک در این مدار تابعی از فرکانس:



شکل ۸-۷ جبران‌کننده پیش فاز  
ترکیب سری مقاومت و سلف

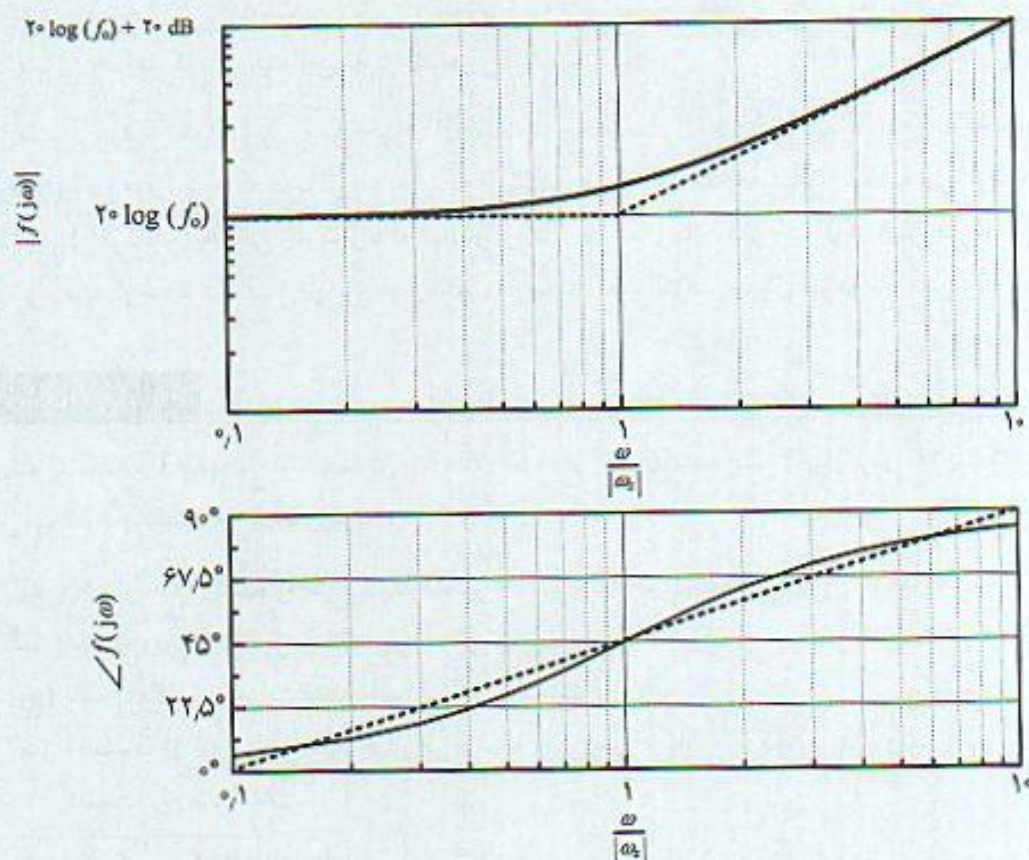
$$f(s) = R_E + Ls = R_E \left( 1 + \frac{L}{R_E} s \right) \quad (12-7)$$

است. رابطه (۱۲-۷) را می‌توان بصورت (۱۳-۷) نیز نشان داد:

$$f(s) = f_0 \left( 1 + \frac{s}{s_z} \right) \Rightarrow f_0 = R_E, s_z = \frac{R_E}{L} \quad (13-7)$$

نمودار پاسخ فرکانس مدار جبران‌کننده  $f(j\omega)$  در شکل (۹-۷) نشان داده شده است. پاسخ فاز نشان می‌دهد که زاویه فاز این مدار همواره مثبت است. در فرکانس‌های خیلی پایین زاویه فاز ۰°، در محل صفر





شکل ۹-۷ پاسخ فرکانس جبران‌کننده پیش فاز

تابع انتقال و در فرکانسهای خیلی بالا زاویه فاز بترتیب  $+45^\circ$  و  $+90^\circ$  است. در شکل (۹-۷) مجانب‌های پاسخ فرکانس بعنوان نمودار بد (Bode) مدار فیدبک نیز رسم شده‌اند. به علت اینکه زاویه فاز همواره مثبت است به این روش جبران پیش فاز (Lead Compensation) گفته می‌شود. با استفاده از این مدار به عنوان جبران‌کننده، عبارت کامل بهره حلقه بصورت:

$$T(s) = a(s)f(s) = a(s)f_0 \left(1 + \frac{s}{s_z}\right)$$

است. بنابراین قدر مطلق و فاز بهره حلقه تقویت‌کننده جبران شده

$$|T(j\omega)| = |a f_0(j\omega)| \left|1 + j \frac{\omega}{s_z}\right| \quad (الف \ ۱۴-۷)$$

$$\angle T(j\omega) = \angle a f_0(j\omega) + \angle 1 + j \frac{\omega}{s_z} \quad (ب \ ۱۴-۷)$$

رابطه (۱۴-۷ ب) نشان می‌دهد فاز مثبت جبران‌کننده با عبارت فاز تقویت‌کننده اصلی جمع می‌شود و می‌تواند تغییر مهمی در عبارت فاز بهره حلقه خصوصاً حوالی فرکانس بحرانی ایجاد نماید. در فرکانسهای خیلی بالا، به فاز تقویت‌کننده اصلی  $+90^\circ$  جمع شده و سبب می‌شود فاز بهره حلقه در حالت



بدون جبران که  $27^\circ$  - است به  $18^\circ$  - برسد. علاوه بر تغییرات مهم فاز، قدر مطلق بهره حلقه نیز تغییر مختصری خواهد کرد که البته این تغییرات تعیین کننده نیست.

سوال مهم در مورد این روش جبران آن است که محل صفر تابع انتقال فیدبک در چه محلی قرار داده شود؟ در این مورد باید گفت با توجه به اینکه از شیفت فاز مثبت مدار فیدبک استفاده می شود، صفر مدار فیدبک، در فرکانس بحرانی  $\omega_c$  قرار داده شده و از  $45^\circ$  + انتقال فاز مدار جبران در این فرکانس استفاده می شود. باید توجه کرد که بیش از این مقدار انتقال فاز باعث تغییرات قدر مطلق بهره حلقه نمی توان استفاده کرد.

### مثال ۷-۲

در تقویت کننده با فیدبک جریان سری مثال (۷-۱) مدار جبران کننده پیش فاز را برای تقویت کننده و برای ضریب عدم حساسیت  $5^\circ$  بکار ببرید و:

(الف) مدار جبران کننده را طرح کنید. مقادیر حاصل را با جبران کننده مثال (۶-۳) مقایسه کنید.

(ب) پس از جبران مقادیر حاشیه بهره و فاز تقویت کننده با فیدبک را مشخص کنید.

(ج) پاسخ فرکانس تقویت کننده جبران شده را بدست آورید.

(د) با استفاده از نرم افزار spice مدار طرح شده را بررسی و پاسخ فرکانس بهره و لثاژ تقویت کننده با فیدبک را رسم کنید.

(الف) مدار جبران کننده: با توجه به ضریب عدم حساسیت  $5^\circ$  و مقدار فیدبک در باند میانی از مثال (۷-۱) به مقدار  $0.49 \Omega$  و با استفاده از  $45^\circ$  + شیفت فاز در فرکانس  $\omega_c$ :

$$s_z = \omega_c = 14^\circ \text{ Mrad/s} \Rightarrow L = \frac{R_E}{\omega_c} = \frac{0.49 \Omega}{14^\circ \text{ Mrad/s}} = 3.5 \text{ nH} \quad (15-7)$$

در مثال (۶-۳) فصل ششم و با استفاده از مکان هندسی ریشه ها مقدار سلف  $4.5 \text{ nH}$  محاسبه شده است.

(ب) حاشیه بهره: با توجه به اینکه در فرکانسهای بالا انتقال فاز  $90^\circ$  + بدست می آید، فاز عبارت بهره حلقه از مقدار  $27^\circ$  - به  $18^\circ$  - می رسد. بنابراین فرکانس بحرانی جدید در مدار جبران شده در مقایسه با مثال (۷-۱) و با فیدبک مقاومتی ( $14^\circ \text{ Mrad/s}$ ) به فرکانسهای بسیار بالا انتقال می یابد. در این فرکانسها بهره حلقه مقدار بسیار کمی است و بنابراین  $GM$  تقویت کننده جبران شده بسیار بزرگ و بینهایت خواهد شد. این مطلب به این مفهوم است که با جبران مدار، مرتبه تابع انتقال تقویت کننده از  $3^\circ$  با فیدبک مقاومتی با این جبران به مرتبه  $2^\circ$  تبدیل شده است. این مطلب از نمودار پاسخ فرکانس بهره حلقه نیز که در شکل (۷-۱۰) نشان داده شده است به وضوح دیده می شود.

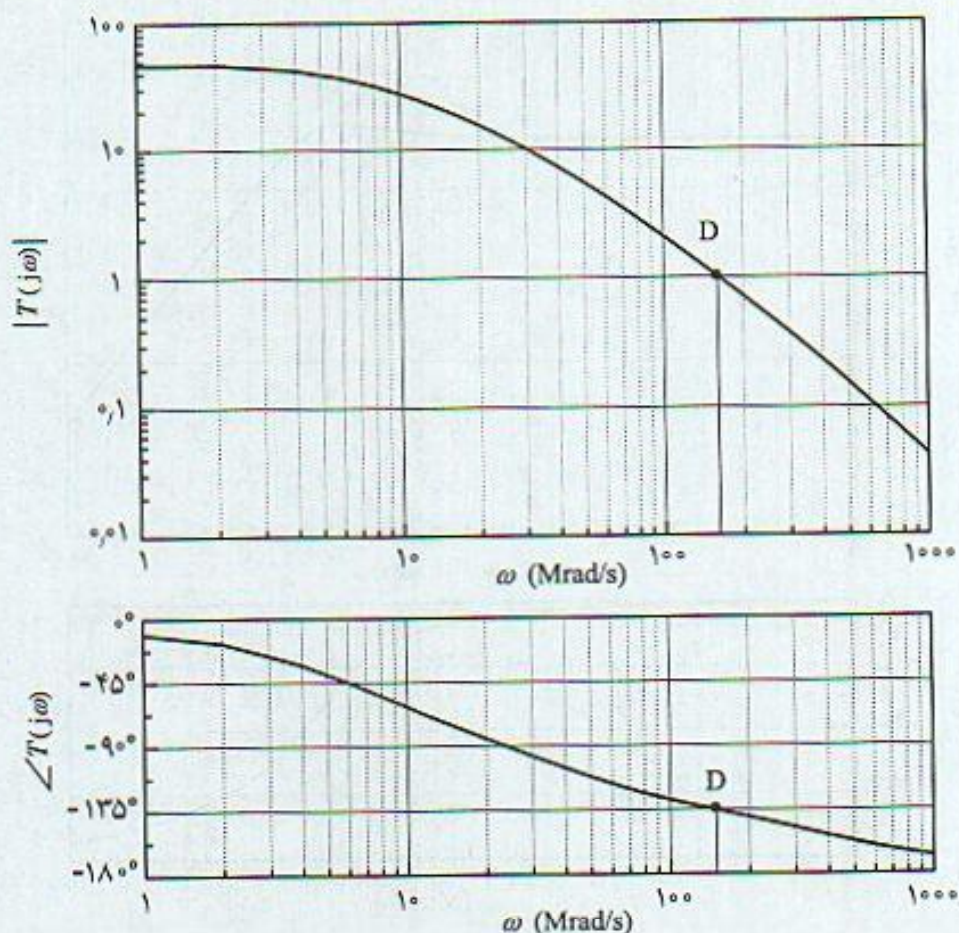
(ج) حاشیه فاز: با توجه به پاسخ فرکانس بهره حلقه رسم شده در شکل (۷-۱۰) ابتدا فرکانس بهره حلقه واحد،  $\omega_g$  تعیین می شود. این فرکانس با نقطه D در شکل (۷-۱۰) نشان داده شده است.

$$|T(j\omega_g)| = 1 \Rightarrow \omega_g = 15^\circ \text{ Mrad/s} \quad (16-7 \text{ الف})$$

در این فرکانس زاویه فاز بهره حلقه  $135^\circ$  -  $\varphi$  و بنابراین:

$$PM = 18^\circ + \varphi = 45^\circ \quad (16-7 \text{ ب})$$





شکل ۷-۱۰ پاسخ فرکانس بهره حلقه تقویت‌کننده جبران شده با جبران‌کننده پیش فاز

بنابراین  $Q$  قطب‌های موهومی تقریباً  $1/11$  و برآمدگی مختصری در پاسخ فرکانس تقویت‌کننده مدار بسته وجود خواهد داشت. این پاسخ فرکانس در شکل (۷-۱۱) رسم شده است. سایر مشخصات تقویت‌کننده جبران شده به شرح زیر است.

$$D_0 = 1 + a_0 f_0 = 50$$

$$A_0 = \frac{a_0}{1 + a_0 f_0} = \frac{100}{50} = 2 \quad (7-16 \text{ ج})$$

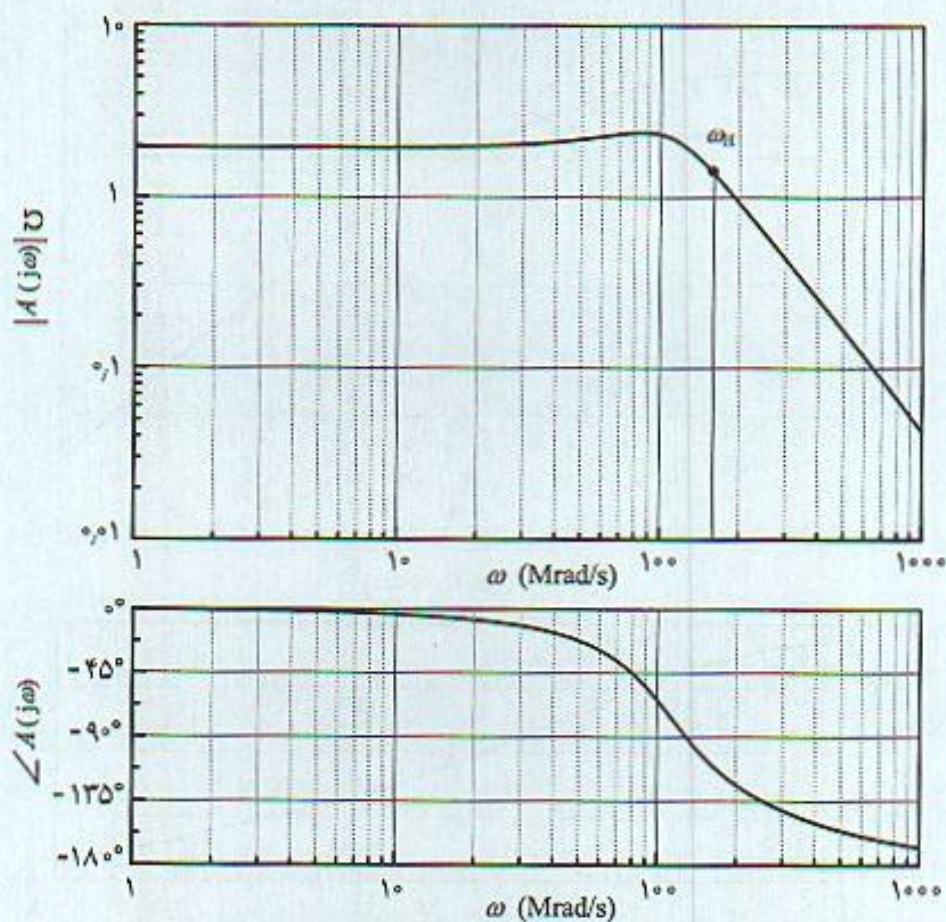
$$A_{v0} = \frac{v_o}{v_s} = R_L \frac{i_o}{v_s} = R_L A_0 = 100$$

$$\omega_H = 160 \text{ Mrad/s} \Rightarrow f_H = 25.47 \text{ MHz}$$

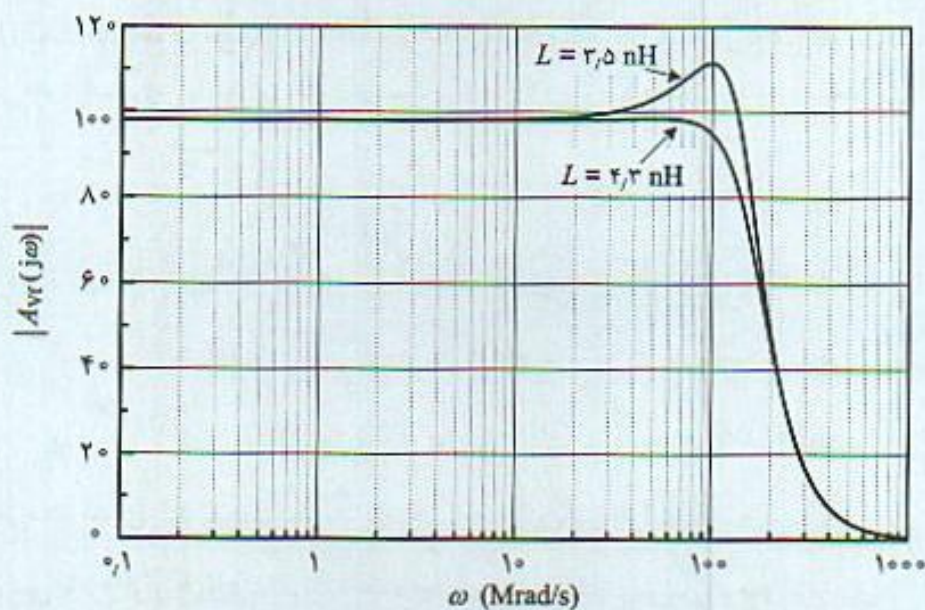
که نشان می‌دهد پهنای باند تقویت‌کننده با فیدبک به میزان زیادی افزایش یافته است.

(د) بررسی با نرم‌افزار spice: تقویت‌کننده جبران شده با مدار پیش فاز توسط نرم‌افزار spice بررسی و بهره ولتاژ تقویت‌کننده مدار بسته به ازاء ضریب عدم حساسیت موردنظر  $50$  اندازه‌گیری شده است. شکل (۷-۱۲) نتیجه محاسبات را نشان می‌دهد. با  $L = 3.5 \text{ nH}$  برآمدگی مختصری در پاسخ فرکانس وجود دارد.





شکل ۷-۱۱ پاسخ فرکانس تقویت‌کننده مدار بسته با ضریب عدم حساسیت ۵۰ و با جبران‌کننده پیش فاز



شکل ۷-۱۲ پاسخ فرکانس بهره ولتاژ تقویت‌کننده مدار بسته مثال (۷-۲) از نرم افزار spice



برای کاهش این برآمدگی  $L$  را قدری افزایش داده و ملاحظه می‌شود با  $L = 4.3 \text{ nH}$  پاسخ فرکانس کاملاً مسطح با پهنای باند  $25.45 \text{ MHz}$  بدست می‌آید. مقایسه جبران پیش فاز با روش‌های جبران در فصل ششم نشان می‌دهد روش مکان هندسی ریشه‌ها برآورد دقیق‌تری از عناصر مدار جبران را تعیین می‌کند.

### ۳-۲-۷ جبران قطب موثر

در بخش (۳-۶-۶) جبران تقویت‌کننده‌های فیدبک به روش قطب موثر با اضافه کردن خازن بزرگ به تقویت‌کننده اصلی بررسی شد. با روش تقریبی و با استفاده از ثابت زمانی محل قطب کوچک تقویت‌کننده مشخص و خصوصیات مهم این روش جبران مطرح شد. اما در میدان فرکانس محاسبات این روش جبران ساده‌تر و سریع‌تر انجام می‌شود. قبل از پرداختن به این روش و کاربرد آن در یک تقویت‌کننده خاص، ابتدا با یک مثال جزئیات این روش جبران معرفی می‌شود.

#### مثال ۳-۷

در یک مدار فیدبک با تابع انتقال بهره حلقه:

$$a f_o(s) = \frac{a_o f_o}{(1+s)^2}, \quad a_o f_o = 10, \quad D_o = 11, \quad s: (\text{rad/s}) \quad (7-1 \text{ الف})$$

الف) مقادیر  $PM$  و  $GM$  را مشخص و در مورد پایداری تقویت‌کننده توضیح دهید.  
 ب) یکی از قطب‌ها به  $s = -0.1$  منتقل می‌شود. در این حالت پایداری تقویت‌کننده چگونه است.  
 ج) در حالت (ب) فرض کنید قطب مذکور به  $s = -0.01$  منتقل می‌شود فرض (ب) را تکرار کنید.  
 د) دو حالت را با هم مقایسه و اثر قطب موثر را بر پاسخ فرکانس بهره حلقه ارزیابی کنید.  
 شکل (۷-۱۳) پاسخ فرکانس بهره حلقه تقویت‌کننده را در شرایط مختلف ذکر شده نشان می‌دهد. در هر یک از موارد با تعیین  $GM$  و  $PM$  وضعیت پایداری مشخص می‌شود.

الف) ۳ قطب تابع انتقال روی هم قرار دارند. برای محاسبه  $GM$  و  $PM$  با استفاده از شکل (۷-۱۳) و مقادیر نشان داده شده با نقطه A ملاحظه می‌شود:

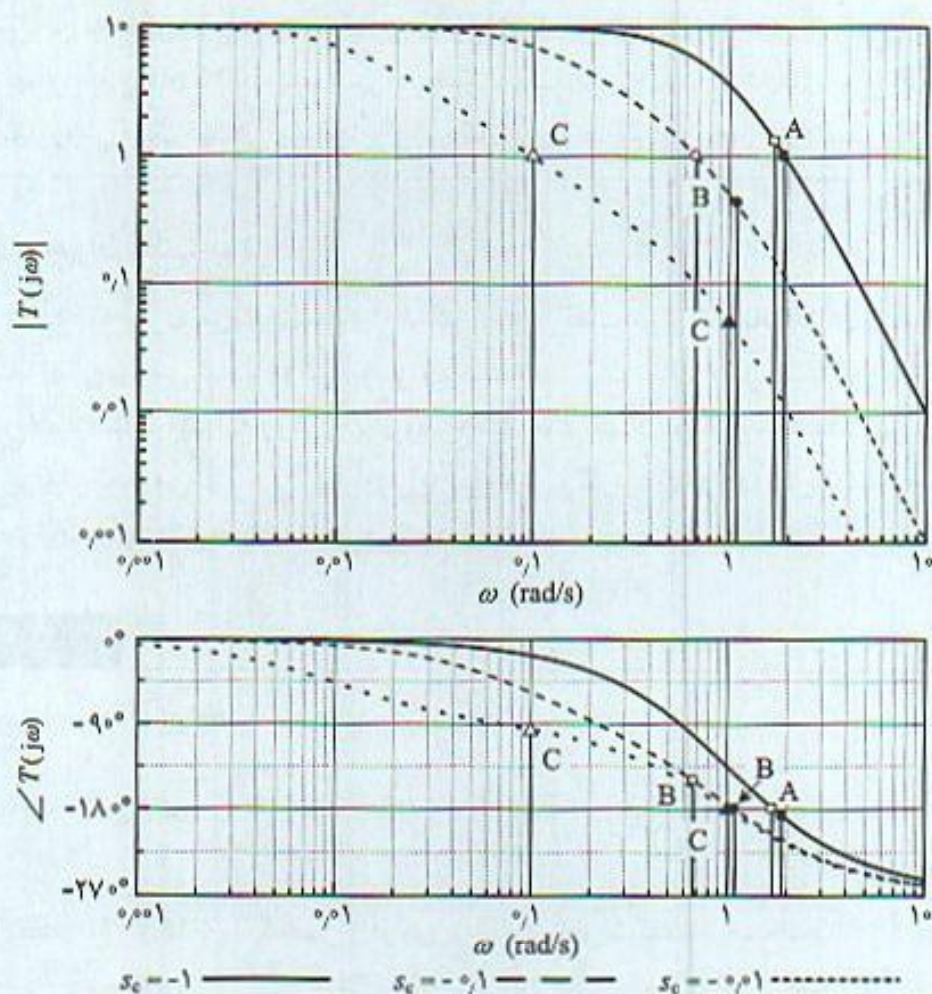
$$\omega_c = 1.7 \text{ rad/s}, \quad |T(j\omega_c)| = 1.3 \Rightarrow GM = \frac{1}{1.3} = 0.769, \quad GM = -2.278 \text{ dB}$$

$$|T(j\omega_g)| = 1 \Rightarrow \omega_g = 1.9 \text{ rad/s}, \quad \varphi = -187^\circ \Rightarrow PM = -7^\circ$$

بنابراین در شرایطی که ۳ قطب رویهم قرار دارند تقویت‌کننده نوسانی و دارای نوساناتی با فرکانس  $1.7 \text{ rad/s}$  است.

ب) یکی از قطب‌های موجود در  $s_c = -0.1$  به  $s_c = -0.01$  منتقل شده است. مقادیر حاشیه بهره و فاز با توجه به فرکانس‌های  $\omega_g$  و  $\omega_c$  در نقطه B:





شکل ۷-۱۳ پاسخ فرکانس بهره حلقه مثال (۴-۷) در شرایط مختلف

$$\omega_c = 1.1 \text{ rad/s}, |T(j\omega_c)| = 0.43 \Rightarrow GM = \frac{1}{0.43} = 2.325, GM = 7.33 \text{ dB}$$

$$|T(j\omega_g)| = 1 \Rightarrow \omega_g = 0.68 \text{ rad/s}, \varphi = -150^\circ, PM = 30^\circ$$

ج) در این حالت قطب موثر به فرکانس بسیار پایین تری در مقایسه با حالت (ب) منتقل شده است و مقادیر  $GM$  و  $PM$  با توجه به مقادیر  $\omega_c$  و  $\omega_g$  در نقطه C:

$$\omega_c = 1 \text{ rad/s}, |T(j\omega_c)| = 0.05 \Rightarrow GM = \frac{1}{0.05} = 20 \Rightarrow GM = 26 \text{ dB}$$

$$|T(j\omega_g)| = 1 \Rightarrow \omega_g = 0.1 \text{ rad/s}, \varphi = -97.5^\circ, PM = 82.5^\circ$$

مقایسه سه حالت نشان می‌دهد که در فرض (الف) اساساً تقویت‌کننده مدار بسته با تابع بهره حلقه در رابطه (۷-۱۷) ناپایدار است. در حالت دوم تقویت‌کننده با قطب کوچک  $s_c = -0.1$  پایدار شده اما با توجه به مقدار  $PM$  به مرز ناپایداری نزدیک و پاسخ فرکانس مناسبی بدست نمی‌آید. در حالت سوم که قطب تغییر یافته خیلی کوچک می‌شود علاوه بر آنکه تقویت‌کننده پایدار شده است پاسخ فرکانس تقویت‌کننده مدار



بسته نیز فاقد برآمدگی خواهد بود. با توجه به شکل (۷-۱۳) نتایج زیر را می‌توان دید:

- با ایجاد قطب کوچک تغییرات مهمی در بهره حلقه در فرکانس‌های بالا و خصوصاً حوالی فرکانس بحرانی  $\omega_c$  بوجود آمده است. این تغییرات باعث کاهش مقدار بهره حلقه در فرکانس‌های بالا شده و تقویت‌کننده را برای ضریب عدم حساسیت مورد نیاز پایدار می‌سازد.
- تغییرات ایجاد شده در عبارت فاز بهره حلقه در فرکانسهای بالا و خصوصاً حوالی فرکانس  $\omega_c$  قابل ملاحظه نیست. مقایسه حالت (ب) و (ج) نشان می‌دهد دو حالت دارای فرکانس  $\omega_c$  تقریباً یکسانی هستند.
- مقدار انتقال فازی که قطب کوچک در عبارت بهره حلقه و در فرکانس‌های بالا (حوالی  $\omega_c$ ) ایجاد می‌کند تقریباً  $90^\circ -$  است و هر چه قطب کوچکتر باشد این تقریب دقیق‌تر خواهد بود.
- با توجه به مطالب فوق به قطبی، قطب موثر گفته می‌شود که در فرکانس بالا (حوالی  $\omega_c$ )  $90^\circ -$  انتقال فاز ایجاد کند.
- جبران با قطب موثر پهنای باند مدار را کاهش می‌دهد.

سوال اساسی آن است که محل قطب کوچکتر چگونه محاسبه شود؟ به این مهم در دو مثال بعدی پاسخ داده می‌شود.

#### مثال ۷-۴

در تابع انتقال بهره حلقه مثال (۷-۳) یکی از قطب‌های  $s = 1$  به فرکانس‌های پایین‌تر  $s_p$  منتقل نمایم که:

الف) حاشیه بهره ۶ dB + بدست آید.

ب) حاشیه فاز  $90^\circ +$  بدست آید. در این حالت حاشیه بهره چقدر است؟

برای حل این مسئله ابتدا یکی از قطب‌های  $s = 1$  را از عبارت بهره حلقه حذف و سپس قطب کوچکی در  $s_p$  برای شرایط مورد نظر اضافه می‌شود. تابع انتقال بهره حلقه پس از حذف قطب کوچکتر شامل ۲ قطب مشابه است را با  $a' f(j\omega)$  در رابطه (۷-۱۸) نشان داده و پاسخ فرکانس آن در شکل (۷-۱۴) ترسیم شده است.

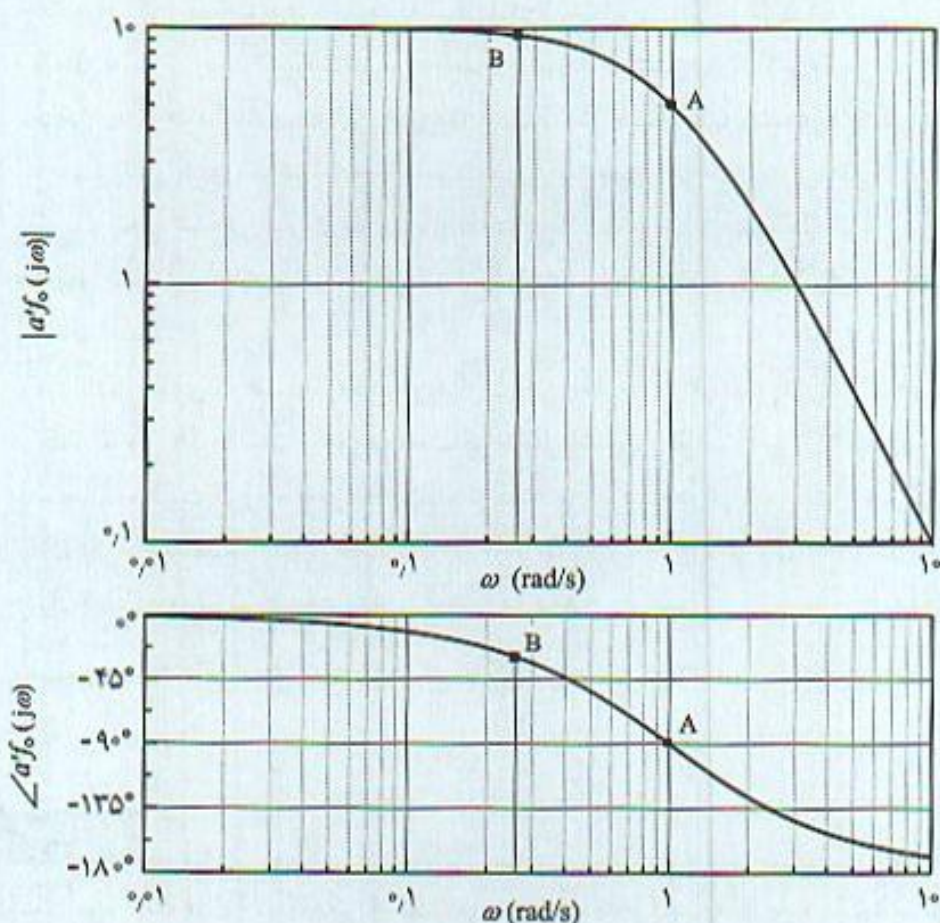
$$a' f_o(s) = \frac{a_o f_o}{(1+s)^2}, \quad a_o f_o = 10 \quad (7-18)$$

حال به تابع انتقال  $a' f(j\omega)$  قطبی مناسب بر اساس معیارهای خواسته شده اضافه می‌شود. بنابراین رابطه بهره حلقه پس از اضافه شدن قطب کوچک:

$$T(s) = \frac{a' f_o(s)}{\left(1 + \frac{s}{s_p}\right)} = \frac{10}{\left(1 + \frac{s}{s_p}\right)(1+s)^2} \quad (7-19)$$

است. با توجه به نتایج مثال (۷-۳) قطب اضافه شده قطب موثر است و در فرکانسهای بالا  $90^\circ -$  انتقال فاز را باعث می‌شود.





شکل ۷-۱۴ پاسخ فرکانس بهره حلقه مثال (۷-۴) با حذف یکی از قطب‌ها

الف) برای بدست آوردن  $GM = 6 \text{ dB}$  که از نظر عددی معادل  $GM = 4$  است:

$$GM = \frac{1}{|T(j\omega_c)|} = 4 \Rightarrow |T(j\omega_c)| = 0.25 \quad (7-20)$$

ابتدا لازم است فرکانس بحرانی  $\omega_c$ ، فرکانسی که زاویه بهره حلقه  $-180^\circ$  است، تعیین شود. از  $-180^\circ$  زاویه فاز،  $-90^\circ$  مربوط به قطب موثر و  $-90^\circ$  مربوط به سایر قطب‌ها است. بنابراین روی منحنی فاز عبارت  $a'f(j\omega)$ ، شکل (۷-۱۲)، فرکانسی تعیین می‌شود که زاویه فاز  $-90^\circ$  شود. این فرکانس برای مدار جبران شده فرکانس  $\omega_c$  است. با توجه به اینکه دو قطب رویهم قرار دارند بنابراین فرکانس بهره حلقه واحد جبران شده  $\omega_c = 1 \text{ rad/s}$  در شکل (۷-۱۲)، است و در این فرکانس لازم است رابطه (۷-۲۰) برقرار باشد. در نتیجه:

$$|T(j\omega_c)| = 0.25 = , \quad |T(j\omega_c)| = \frac{1}{\left| \left( 1 + \frac{s}{s_p} \right) (1 + s) \right|_{s=j}} = 0.25 \quad (7-21 \text{ الف})$$

از حل رابطه فوق می‌توان دید:

$$s_p = 0.3525 \text{ rad/s}$$

(۷-۲۱ ب)



ملاحظه می‌شود لازم است قطب کوچکی به تابع انتقال اضافه شود. توجه شود چون قطب اضافه شده بسیار کوچک است در مخرج رابطه (۷-۲۱) از  $1^\circ$  در مقابل  $\frac{\omega}{|s_p|}$  می‌توان صرف‌نظر کرد و بنابراین مقدار تقریبی قطب موثر از رابطه (۷-۲۲) بدست می‌آید.

$$|s_p| = \frac{\omega_c}{|a' f(j\omega_c)| GM} \quad (۷-۲۲)$$

$|a' f(j\omega_c)|$  را با مشخص شدن  $\omega_c$  و پاسخ فرکانس آن از شکل (۷-۱۲) به سادگی قابل محاسبه است.

ب) برای بدست آوردن  $PM = 60^\circ$  که پاسخ فرکانس تقویت‌کننده مدار بسته دارای پاسخ فرکانس مناسب است، با توجه به تعریف  $PM$ :

$$PM = 180^\circ + \varphi = 60^\circ \Rightarrow \varphi = -120^\circ$$

از  $120^\circ -$  زاویه فاز،  $90^\circ -$  مربوط به قطب موثر و  $30^\circ -$  از سایر قطب‌ها است. با توجه به منحنی فاز  $a' f(j\omega)$ ، شکل (۷-۱۲)، روی آن فرکانسی با زاویه فاز  $30^\circ -$  تعیین می‌شود. این فرکانس  $\omega_g = 0.26 \text{ rad/s}$  است و در شکل با نقطه B مشخص شده است. لازم است قدر مطلق بهره حلقه در این فرکانس مساوی  $1^\circ$  باشد. بنابراین:

$$|T(j\omega_g)| = \left| \frac{a' f(j\omega)}{1 + \frac{s}{s_p}} \right|_{s=j\omega_g} = 1 \quad (۷-۲۳ \text{ الف})$$

مشابه با رابطه قبل با تقریبات مناسب می‌توان نشان داد قطب موثر از رابطه (۷-۲۳ ب) بدست می‌آید.

$$|s_p| \approx \frac{\omega_g}{|a' f(j\omega)|} \quad (۷-۲۳ \text{ ب})$$

با توجه به مقادیر  $\omega_g$  (زاویه  $30^\circ -$  روی منحنی فاز  $a' f(j\omega)$ ) و  $|a' f(j\omega)|$  از منحنی قدر مطلق، قطب موثر از رابطه (۷-۲۳ ب):

$$|s_p| \approx \frac{0.26}{10} = 0.026 \text{ rad/s}$$

بدست می‌آید. برای محاسبه حاشیه بهره، با توجه به تعریف  $GM$  و رابطه (۷-۲۴):

$$GM = \frac{1}{|T(j\omega_c)|} = \left| \frac{1 + j\left(\frac{\omega_c}{s_p}\right)}{a' f(j\omega_c)} \right| \quad (۷-۲۴)$$

محاسبه می‌شود. ابتدا لازم است فرکانس  $\omega_c$  تعیین شود، فرکانسی که زاویه بهره حلقه  $180^\circ -$  شود، از این مقدار  $90^\circ -$  مربوط به قطب موثر و  $90^\circ -$  از سایر قطب‌ها است. پس فرکانس  $\omega_c = 1 \text{ rad/s}$  مانند حالت قبل است و  $GM$ :

$$GM = \frac{38.46}{5} = 7.692, \quad GM = 8.86 \text{ dB}$$



در مثال (۷-۴) یک نوع روش جبران قطب موثر معرفی شد که در آن یکی از قطب‌های  $s = -1$  به محور  $j\omega$  نزدیک شده و محاسبات و طرح مدار بر اساس تابع انتقال بهره حلقه  $a'f(j\omega)$  انجام می‌شود. در این روش جبران لازم است قطب کوچکتز تقویت‌کننده ابتدا مشخص، از تابع انتقال حذف و سپس قطب مناسبی برای دست‌یابی به شرایط موردنظر به تابع انتقال اضافه شود. اینکه در موارد عملی این جبران چگونه انجام می‌شود باید گفت با اضافه کردن خازن بزرگ بین کلکتور و بیس طبقه با بهره بالاتر که دارای کوچکتزین قطب است انجام می‌پذیرد.

روش دیگری که جبران قطب موثر را می‌توان بکار برد به این ترتیب است که اضافه کردن خازن بزرگ تغییری در سایر قطب‌ها بوجود نیاورد بلکه یک قطب کوچک و موثر به تابع انتقال اضافه نماید. در این شرایط بهره حلقه رابطه (۷-۲۴) است. این روش جبران معمولاً در تقویت‌کننده‌های عملیاتی استفاده می‌شود و با قرار دادن یک فیلتر پایین‌گذر در محل مناسب انجام می‌شود. عموماً فیلتر پایین‌گذر در خارج تقویت‌کننده به پایه‌های جبران اضافه می‌شود. از این جهت به جبران بیرونی (external compensation) معروف می‌باشد.

$$T(j\omega_g) = \frac{a f(j\omega)}{1 + \frac{s}{s_p}} \quad (7-25)$$

محاسبات این روش جبران در مقایسه با روش قبل ساده‌تر است. مثال (۷-۵) محاسبات این روش جبران را نشان می‌دهد.

### مثال ۷-۵

در مثال (۷-۳) مدار مناسبی به تقویت‌کننده اضافه می‌شود بطوری‌که تغییری در قطب‌ها ایجاد نشده و قطب موثر به تابع انتقال اضافه می‌شود. محل قطب اضافه شده را در هر یک از حالات زیر محاسبه کنید.

الف)  $GM = +6 \text{ dB}$  بدست آید.

ب) حاشیه فاز  $60^\circ$  بدست آید. در این حالت حاشیه بهره چقدر است؟

الف) برای  $GM = 4$  مقدار بهره حلقه:

$$GM = \frac{1}{|T(j\omega_c)|} \Rightarrow |T(j\omega_c)| = 0.25$$

در این شرایط فرکانس بحرانی  $\omega_c$ ، با توجه به  $90^\circ$  - انتقال فاز از قطب موثر، فرکانسی است که زاویه فاز مربوط به سایر قطب‌ها نیز  $90^\circ$  - (از هر قطب  $30^\circ$  -) شود. با توجه به منحنی فاز  $a f(j\omega)$  در شکل (۷-۱۲) این فرکانس  $\omega_c = 0.6 \text{ rad/s}$  و  $|a f(j\omega_c)| = 7$  است. بنابراین لازم است محل قطب اضافه شده با استفاده از رابطه (۷-۲۱) و با این تغییر که به جای عبارت  $a'f(j\omega)$  قدر مطلق بهره حلقه  $a f(j\omega)$  قرار داده شود. بنابراین:

$$|s_p| = \frac{\omega_c}{|a f(j\omega_c)| GM} = \frac{0.6}{7 \times 4} = 0.021 \text{ rad/s} \quad (7-26)$$



ب) برای  $PM = 60^\circ$  مشابه حالت قبل با استفاده از رابطه (۲۷-۷):

$$|s_p| \approx \frac{\omega_g}{|a f(j\omega_g)|} \quad (27-7)$$

فرکانس  $\omega_g$  در این شرایط، فرکانسی است که زاویه فاز عبارت بهره حلقه  $a f(j\omega)$ ،  $-30^\circ$  شود. با توجه به منحنی فاز در شکل (۱۲-۷) این فرکانس  $\omega_g = 0.18 \text{ rad/s}$  است. بنابراین قطب اضافه شده:

$$|s_p| = \frac{0.18}{9.5} = 0.019 \text{ rad/s}$$

مشابه با حالت قبل می‌توان حاشیه بهره را در این شرایط از رابطه (۲۸-۷) بدست آورد.

$$GM = \frac{1}{|T(j\omega_c)|} = \frac{|1 + j \frac{\omega_c}{s_c}|}{|a f(j\omega_c)|} = \frac{0.584}{0.019 \times 6} = 4.4, \quad GM = 6.42 \text{ dB} \quad (28-7)$$

## مثال ۶-۷

در تقویت‌کننده سه طبقه شکل (۴-۷) که در مثال‌های (۱-۷) و (۳-۷) به روشهای فیدبک مقاومتی و پیش فاز جبران شد، در این مثال جبران قطب موثر در مورد آن بررسی می‌شود.

الف) برای ایجاد قطب موثر که در آن قطب کوچکتر تقویت‌کننده به محور موهومی نزدیک می‌شود خازن به کدام طبقه اضافه شود؟

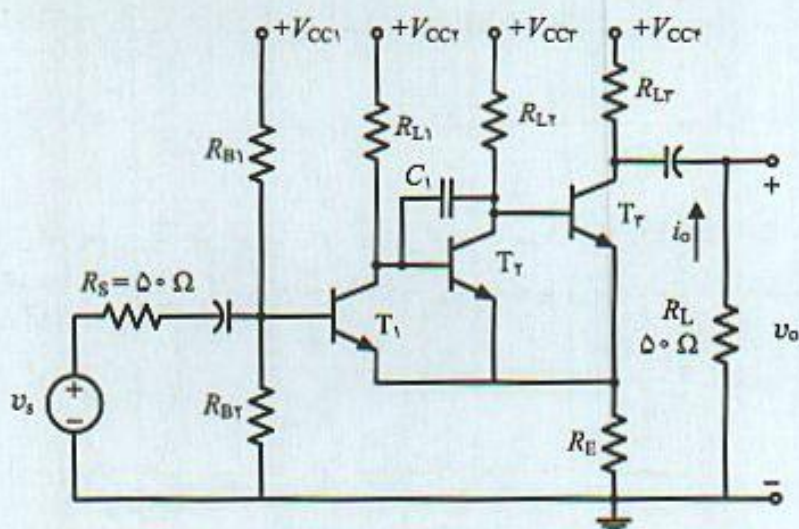
ب) محل قطب موثر اضافه شده را چنان مشخص کنید که به ازاء ضریب عدم حساسیت  $50^\circ$  پاسخ فرکانس مسطح بدست آید. مقدار خازن لازم را بدست آورید.

ج) مدار جبران شده را با نرم‌افزار spice بررسی و پاسخ فرکانس بهره ولتاژ را با روش تقریبی مقایسه کنید.

الف) برای جبران قطب موثر لازم است با توجه به مطالب فصل ششم، خازن نسبتاً بزرگ به طبقه با بهره بیشتر اضافه شود. در این تقویت‌کننده با توجه به مقادیر مقاومت‌های طبقات مختلف، طبقه دوم دارای بهره بیشتر است و قطب کوچکتر در این طبقه مربوط به خازن  $C_{\mu}$  است. با اضافه کردن خازن  $C_1$  بین بیس و کلکتور  $T_2$  و با صرف‌نظر از مقاومت کوچک  $r_x$ ، می‌توان گفت این خازن با  $C_{\mu}$  موازی است و به این ترتیب علاوه بر آنکه قطبی به مدار اضافه نمی‌شود، قطب کوچکتر به محور موهومی نزدیک خواهد شد. در این مدار یک حلقه خازنی قرار دارد که باعث می‌شود قطبی به تقویت‌کننده اضافه نشود. شکل (۱۵-۷) مدار کامل تقویت‌کننده جبران شده را نشان می‌دهد.

ب) مثال (۱-۷) نشان داد که با ضریب عدم حساسیت موردنظر  $50^\circ$ ، این تقویت‌کننده دارای حاشیه فاز  $60^\circ$ ، مدار پایدار اما پاسخ فرکانس با برآمدگی زیاد است. برای جبران مدار به روش قطب موثر با نزدیک شدن قطب کوچکتر به محور موهومی، ابتدا قطب کوچکتر مشخص و از تابع انتقال بهره حلقه حذف می‌شود. بررسی پاسخ فرکانس بهره تقویت‌کننده اصلی در شکل (۵-۷) نشان می‌دهد فرکانس قطع ۳ dB





شکل ۷-۱۵ تقویت‌کننده مثال (۶-۷) با اضافه شدن خازن بزرگ به طبقه دوم و جبران قطب موثر

تقویت‌کننده حدود  $\omega_p \text{ dB} = 7 \text{ Mrad/s}$  است. بنابراین تابع انتقال مربوط به قطب کوچکتار مدار:

$$p(j\omega) = \frac{1}{1 + j \frac{\omega}{0.0007}} \quad (7-29)$$

است. این قطب از تابع انتقال حذف و محاسبات براساس  $a' f_o(j\omega)$  که پاسخ فرکانس آن در شکل (۷-۱۶) رسم شده انجام می‌شود. برای بدست آوردن پاسخ فرکانس مسطح با  $PM = 60^\circ$ ، با توجه به رابطه (۷-۲۷) قطب موثر محاسبه می‌شود. فرکانس  $\omega_g$  فرکانسی است که زاویه فاز پس از جبران تقویت‌کننده با قطب موثر  $120^\circ -$  شود. از این مقدار  $90^\circ -$  مربوط به قطب موثر و  $30^\circ -$  از عبارت فاز  $a' f_o(j\omega)$  است. پس روی منحنی فاز شکل (۷-۱۶) فرکانس  $\omega_g$  تعیین می‌شود که زاویه فاز  $30^\circ -$  است. این فرکانس با نقطه A در شکل (۷-۱۶) نشان داده شده و مقادیر دقیق آنها و قطب موثر اضافه شده:

$$\omega_g = 27 \text{ Mrad/s}, \quad |a' f_o(j\omega_g)| = 44$$

و بنابراین قطب اضافه شده:

$$|s_p| \approx \frac{27}{44} = 0.6136 (\mu s)^{-1}$$

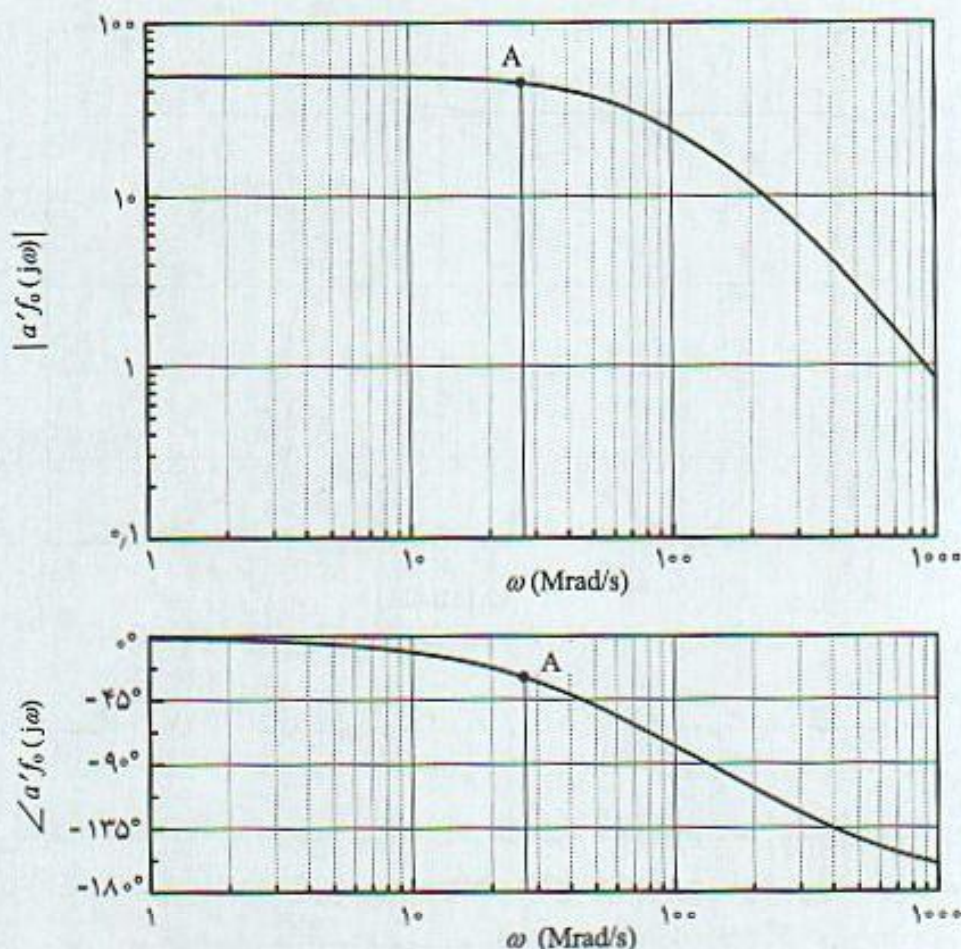
است.

ج) برای تعیین خازن لازم در مدار با استفاده از روش ثابت زمانی، لازم است مقاومت دیده شده دو سر  $C_1$  را بدست آورد. این مقاومت  $14.3 \text{ k}\Omega$  است. این مطلب به عنوان تمرین در مسائل پایان فصل به عهده دانشجویان واگذار می‌شود. بنابراین مقدار خازن لازم بین کلکتور و بیس ترانزیستور  $T_2$ :

$$C_1 \approx \frac{1}{R_T |s_p|} = \frac{1}{14.3 \text{ k}\Omega \times 0.6136 (\mu s)^{-1}} = 114 \text{ pF}$$

می‌باشد.





شکل ۷-۱۶ پاسخ فرکانس بهره حلقه تقویت‌کننده مثال (۶-۷) با ضریب عدم حساسیت ۵۰ و حذف قطب کوچکتر

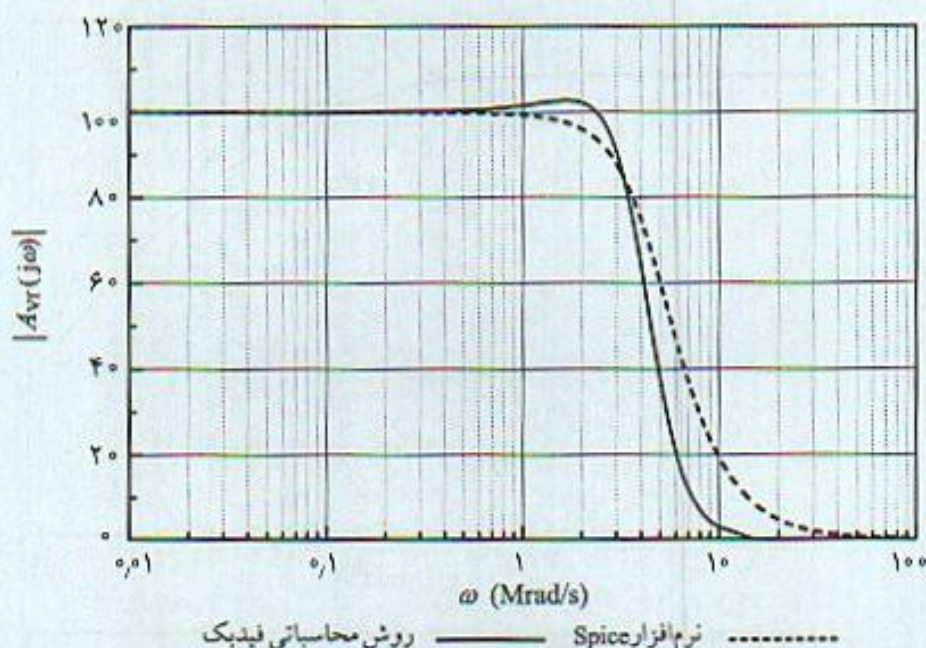
د) شکل (۷-۱۷) پاسخ فرکانس تقویت‌کننده با فیدبک با خازن  $C_1 = 114 \text{ pF}$  و  $R_E = 0.49 \Omega$  را که به روش محاسبات تقریبی فیدبک و بررسی توسط spice بدست آمده را نشان می‌دهد. ملاحظه می‌شود پاسخ مدار طراحی شده توسط نرم‌افزار کاملاً مسطح و با پهنای باند  $4.26 \text{ Mrad/s}$  و معادل  $678.34 \text{ kHz}$  است. در حالیکه پاسخ بدست آمده به روش محاسبات معمول فیدبک دارای برآمدگی مختصر، حدود ۲.۵٪ و پهنای باند حاصل  $600.32 \text{ kHz}$  می‌باشد و البته شیب پاسخ فرکانس در ناحیه گذر نیز بیشتر است.

#### مثال ۷-۷

با بررسی پاسخ فرکانس بهره حلقه تقویت‌کننده جبران شده در هر یک از جبران‌های مقاومتی، پیش‌فاز و قطب موثر در مورد تقویت‌کننده ۳ طبقه شکل (۷-۵)، روش‌های مختلف جبران را مقایسه و در مورد محدودیت‌ها و کاربرد هر روش توضیح دهید.

در مثال‌های قبل مشخص شد با فیدبک مقاومتی برای ضریب عدم حساسیت ۵۰ پاسخ فرکانس برآمدگی زیادی دارد. جبران‌کننده پیش‌فاز سبب می‌شود تغییرات مهمی در فاز بهره حلقه و در فرکانس‌های





شکل ۷-۱۷ پاسخ فرکانس تقویت‌کننده مدار بسته مثال (۶-۷) با ضریب عدم حساسیت ۵۰

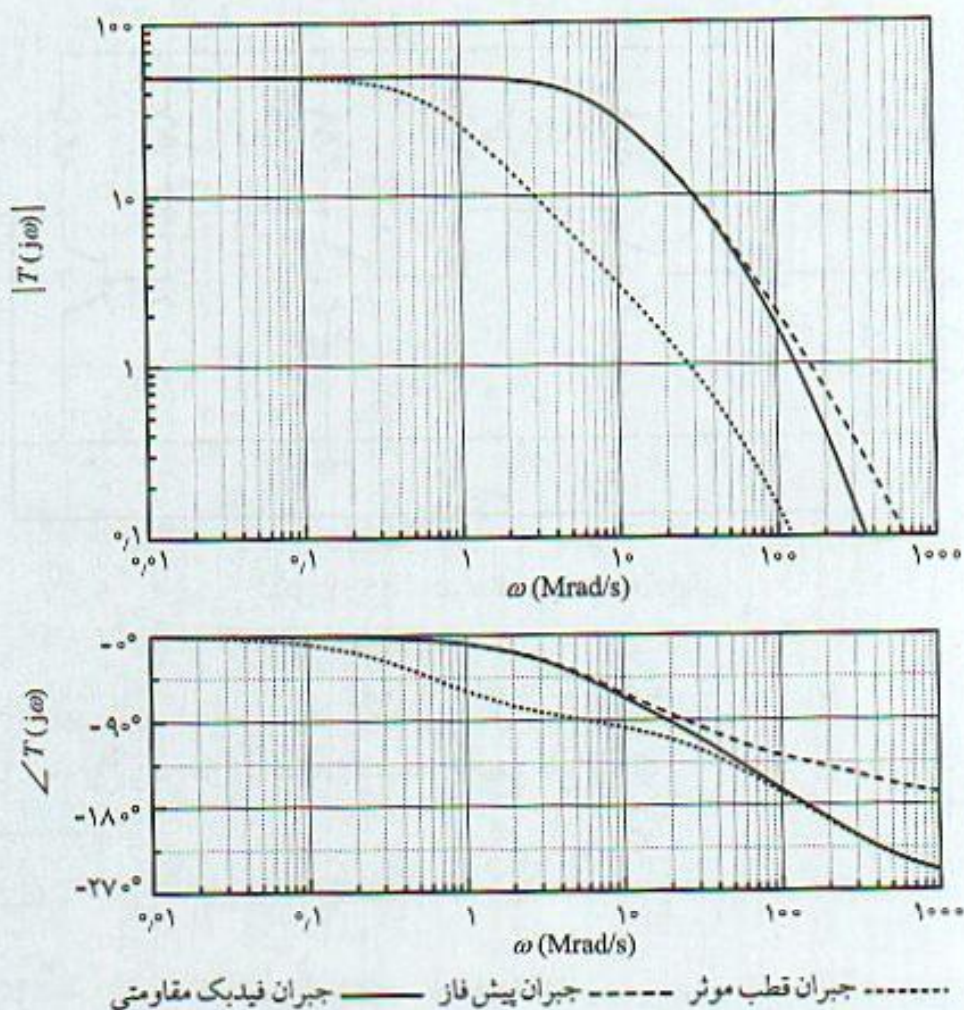
بالا بوجود آید. از شکل (۷-۱۸) واضح است تغییرات فاز بهره حلقه در فرکانس پایین و تغییرات قدر مطلق بهره در فرکانس بالا ناچیز است. در این جبران‌کننده از  $+45^\circ$  انتقال فاز در فرکانس بحرانی استفاده شده و مقادیر عناصر مدار جبران بدست می‌آیند. بنابراین این روش جبران در مواردی بکار می‌رود که تقویت‌کننده پایدار اما  $PM$  کمی دارد.

در جبران به روش قطب موثر، قطب کوچکی به تقویت‌کننده اضافه شده بهره مدار در فرکانس‌های بالا به شدت کم می‌شود. از شکل (۷-۱۸) واضح است تغییرات مهمی در پاسخ فرکانس بهره حلقه خصوصاً در فرکانس بالا بوجود می‌آید. تغییرات زاویه فاز در فرکانس‌های بالا ناچیز است. این روش جبران را می‌توان برای یک تقویت‌کننده ناپایدار با  $PM$  منفی نیز بکاربرد. با کوچک کردن قطب موثر اضافه شده به تقویت‌کننده می‌توان به هر مقدار ضریب عدم حساسیت مورد نیاز دست یافت که البته پهنای باند مدار کاهش می‌یابد. جبران قطب موثر در تقویت‌کننده‌های عملیاتی کاربرد زیادی دارد.

### ۷-۳ ناپایداری در فرکانس‌های پایین

در بخش‌های قبل مسئله ناپایداری در فرکانس‌های بالا و روش‌های جبران تقویت‌کننده‌های فیدبک برای دست یابی به مداری پایدار با پاسخ فرکانس مناسب به تفصیل مورد بحث و بررسی قرار گرفت. مانند فرکانس بالا، مسئله ناپایداری در مدارهای فیدبک در فرکانس‌های پایین نیز مطرح است. با توجه به حذف شدن خازن‌های داخلی ترانزیستور در این محدوده فرکانسی و تأثیر خازن‌های بای‌پس و کوپلاژ بر پاسخ فرکانس، حل مشکل ناپایداری در فرکانس‌های پایین با تغییر این خازن‌ها به سادگی قابل انجام است. این مسئله و نحوه اصلاح تقویت‌کننده در یک مثال بررسی می‌شود.





شکل ۷-۱۸ پاسخ فرکانس بهره حلقه تقویت‌کننده جبران شده به روش‌های مختلف

## مثال ۷-۸

در تقویت‌کننده فیدبک ولتاژ موازی شکل (۷-۱۹) با مشخصات:

$$a_0 = \frac{v_o}{i_s} = -1000 \text{ k}\Omega, R_s = 200 \text{ }\Omega, R_B = \text{بزرگ}, r_x + r_\pi = 800 \text{ }\Omega, C_1 = C_2 = C_3 = 1 \mu\text{F}$$

الف) تابع انتقال فرکانس پایین تقویت‌کننده را مشخص کنید.

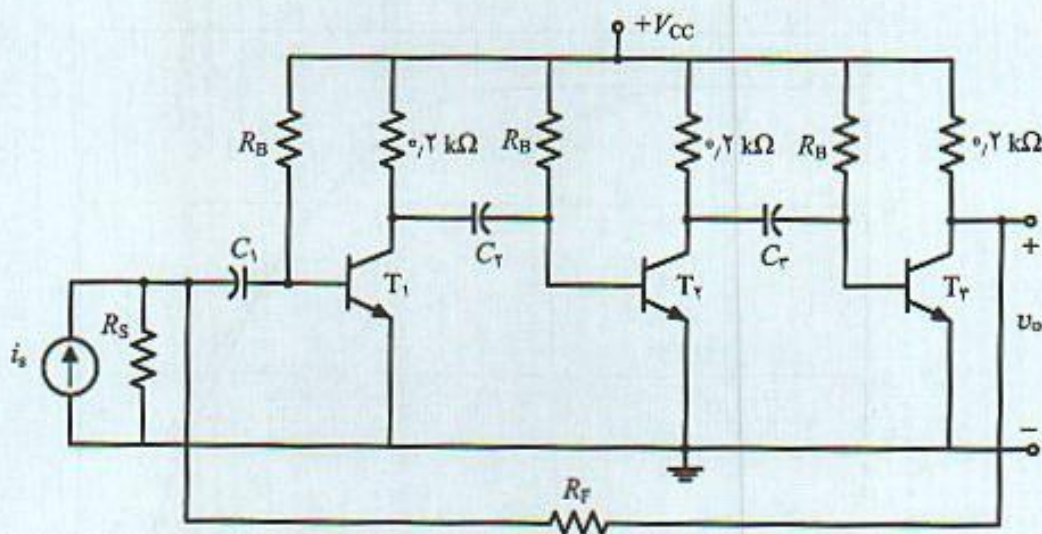
ب) برای ضریب عدم حساسیت ۱۰۱ مقاومت فیدبک و وضعیت پایداری مدار چگونه است.

ج) برای جبران تقویت‌کننده فیدبک در فرض (ب) خازن‌های کوپلاژ را تغییر و مدار را برای هر یک از مقادیر  $GM = 4$  طرح کنید. در این شرایط  $PM$  چقدر است. و اصلاح کنید.

د) مدار را برای  $PM = 60^\circ$  طرح کنید و  $GM$  را محاسبه کنید.

الف) تابع انتقال فرکانس پایین تقویت‌کننده اصلی شامل ۳ قطب است. با توجه به اینکه تقویت‌کننده اصلی را می‌توان به سه مدار کاملاً مجزا تبدیل نمود این ۳ قطب از هم مستقل و فقط به یکی از خازن‌ها بستگی دارد. مقاومت دیده شده دو سر هر یک از خازن‌ها ۱ k $\Omega$  و ۳ قطب این تابع انتقال:





شکل ۷-۱۹ تقویت کننده ۳ طبقه مثال (۷-۸)

$$|s| = \frac{1}{R_T C} = \frac{1}{1 \text{ k}\Omega \times 1 \mu\text{F}} = 1 \text{ (ms)}^{-1}$$

هستند. با توجه به این که خازن ها کوپلاژ هستند، ۳ صفر تابع انتقال در  $s = 0$  قرار دارند و تابع انتقال تقویت کننده اصلی:

$$a(s) = \frac{a_0 s^3}{(s+1)^3}, \quad a_0 = -1000 \text{ k}\Omega \quad (\text{الف } ۷-۳۰)$$

است. شکل (۷-۲۰) پاسخ فرکانس تابع انتقال (۷-۱۹) را نشان می دهد. زاویه فاز از  $90^\circ +$  شروع شده و در فرکانس بالا به  $180^\circ -$  می رسد.

(ب) ضریب فیدبک مدار با توجه به فیدبک ولتاژ موازی  $f_o = -G_F$  و بنابراین تابع انتقال بهره حلقه:

$$T(s) = \frac{a_0 f_o s^3}{(s+1)^3}, \quad a_0 f_o = 1000 G_F \quad (\text{ب } ۷-۳۰)$$

است.

برای ضریب عدم حساسیت ۱۰۱:

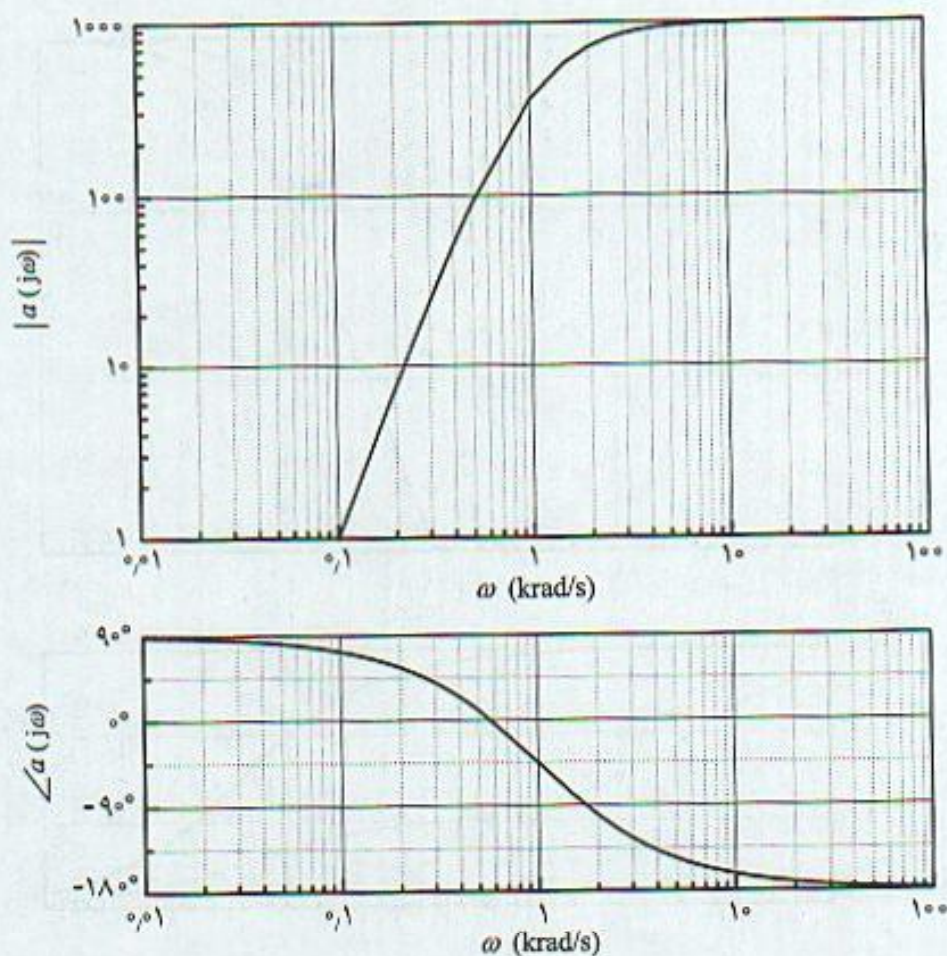
$$D_o = 1 + a_0 f_o = 101, \quad f_o = -G_F = -0.1 \text{ k}\Omega^{-1}, \quad R_F = 10 \text{ k}\Omega \quad (\text{ج } ۷-۳۰)$$

پاسخ فرکانس بهره حلقه در شکل (۷-۲۱) نشان داده شده است. برخلاف تقویت کننده اصلی زاویه فاز بهره حلقه از  $270^\circ +$  شروع و در فرکانس های بالا به  $90^\circ +$  می رسد. همچنین در فرکانس  $\omega_c = 0.58 \text{ krad/s}$  نقطه A در شکل (۷-۲۱)، زاویه فاز  $180^\circ +$  می شود. در این فرکانس فیدبک منفی به مثبت تبدیل شده و بنابراین:

$$GM = \frac{1}{|T(j\omega_c)|} = \frac{1}{|T(j 0.58 \text{ krad/s})|} \Rightarrow GM = \frac{1}{12} = 0.083 \quad (\text{د } ۷-۳۱)$$

که نشان می دهد تقویت کننده با ضریب عدم حساسیت ۱۰۱ ناپایدار است.





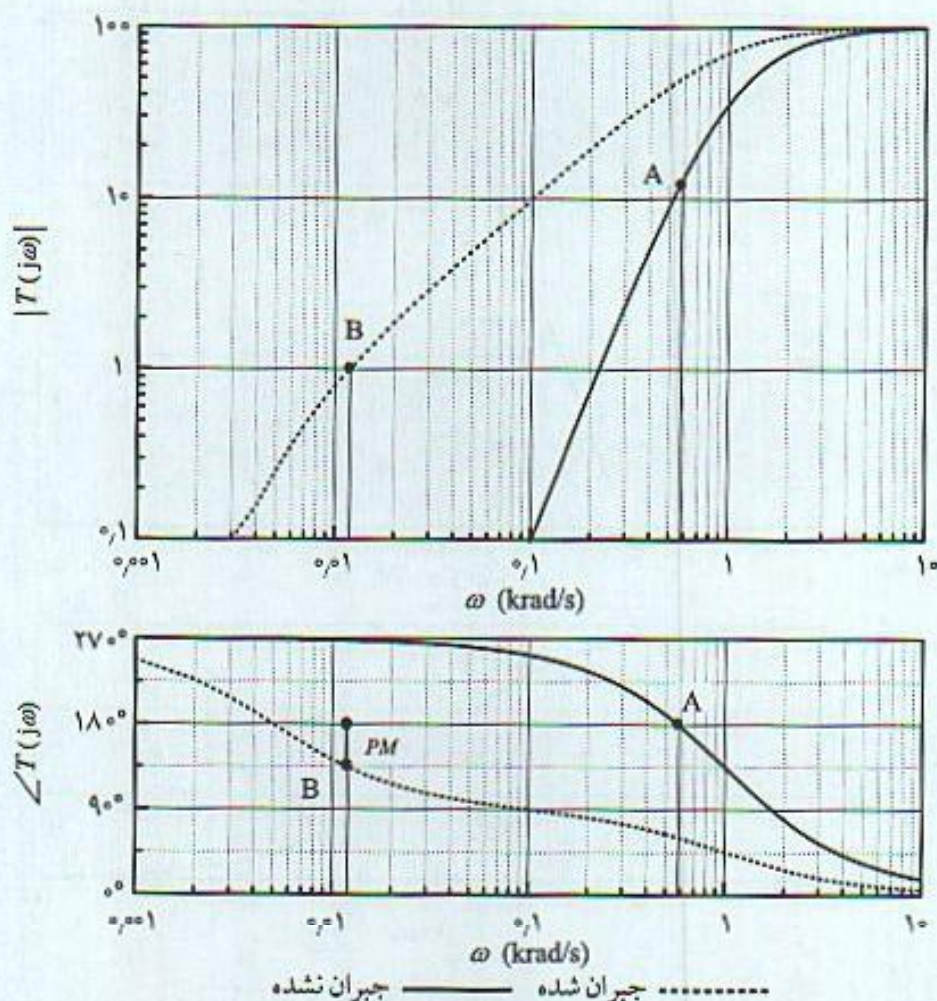
شکل ۷-۲۰ پاسخ فرکانس تقویت‌کننده اصلی مدار شکل (۷-۱۹)

ج) برای پایدار سازی تقویت‌کننده ساده‌تر است بدون استفاده از جبران‌کننده تنها با تغییر ظرفیت خازن‌ها محل قطب‌های مدار را به نحو مناسب تغییر داد تا شرایط مطلوب حاصل شود. ساده‌ترین روش آن است که یکی از قطب‌ها را به عنوان قطب موثر ثابت نگاه داشته و ۲ قطب دیگر را کوچکتر نمود. با توجه به اینکه قطب‌ها از هم مستقل و هر قطب فقط به یکی از خازن‌ها بستگی دارد کنترل مقادیر  $GM$  و  $PM$  به راحتی صورت می‌پذیرد. بنابراین یکی از خازن‌ها مثلاً  $C_1$  را ثابت نگاه داشته و خازن‌های  $C_2$  و  $C_3$  مساوی هم و چنان انتخاب می‌شوند که شرایط مورد نظر بدست آید. با فرض اینکه قطب خازن‌های اصلاح شده  $s_p$  باشد، تابع انتقال بهره مدار جبران شده:

$$T(s) = \frac{100 s^2}{(s+1)(s+s_p)^2} \quad (7-32)$$

د) برای دست‌یابی به  $GM = 4$  ابتدا لازم است فرکانس  $\omega_c$  مدار جبران شده مشخص شود. با توجه به اینکه قطب  $s = 1$  موثر است در فرکانس‌های پایین  $+90^\circ$  انتقال فاز را سبب می‌شود. هم‌چنین ۲ قطب کوچکتر در  $s_p$  انتقال فاز  $90^\circ = 2 \times 45^\circ$  را بوجود می‌آورند. پس فرکانسی که در آن فاز بهره حلقه  $180^\circ$  می‌شود قطب  $s_p$  است. بنابراین:





شکل ۷-۲۱ پاسخ فرکانس بهره حلقه تقویت کننده شکل (۷-۱۹)

$$GM = \frac{1}{|T(j\omega_c)|} = 4 \Rightarrow |T(j\omega_p)| = 0.25 \quad (۷-۳۳ \text{ الف})$$

و بنابراین:

$$|T(j\omega_p)| = \frac{100(j\omega_p)^2}{(j\omega_p + 1)(j\omega_p + \omega_p)^2} = 0.25 \quad (۷-۳۳ \text{ ب})$$

از حل معادله (۷-۳۳ ب) و با توجه به اینکه  $s_p \ll 1$  است محل قطب جبران شده:

$$\omega_p = |s_p| = \frac{1}{200} \text{ krad/s}$$

بدست می آید. با توجه به محل اولیه قطب ها در  $s = 1$  لازم است خازن های مربوط را ۲۰۰ برابر افزایش داد و بنابراین  $C_F = C_p = 200 \mu F$  انتخاب می شوند. شکل (۷-۲۱) پاسخ فرکانس بهره حلقه مدار جبران شده و جبران نشده را نشان می دهد. ملاحظه می شود با بزرگ شدن خازن ها تغییرات مهمی در عبارت فاز بهره حلقه ایجاد شده و فرکانس  $\omega_c$  به فرکانس های پایین منتقل می شود که بهره حلقه کم و  $GM$  بالایی بدست



می‌آید. از شکل (۷-۲۱) واضح است که در مدار جبران شده  $PM = 45^\circ$  است.

(د) برای دست‌یابی به  $PM = 60^\circ$ ، لازم است در زاویه فاز  $120^\circ$  بهره حلقه تقویت‌کننده جبران شده  $1^\circ$  شود. از  $120^\circ + 90^\circ$  انتقال فاز، مربوط به قطب موثر و بزرگ  $s = 1$  و  $30^\circ +$  از قطب‌های روی هم  $s_p$  در رابطه (۷-۳۲) است. بنابراین فرکانس  $\omega_g$  جایی است که زاویه فاز یکی از قطب‌های  $s_p$   $15^\circ +$  شود و در نتیجه:

$$|T(j\omega_g)| = 1 \Rightarrow \angle \frac{j\omega_g}{j\omega_g + s_p} = +15^\circ \quad (7-34 \text{ الف})$$

از رابطه (۷-۳۴ الف) می‌توان دید در فرکانس  $\omega = 3.73 |s_p|$  فاز هر یک از قطب‌های کوچک  $15^\circ$  می‌شود و بنابراین لازم است در این فرکانس:

$$|T(j\omega = 3.73 |s_p|)| = 1 \Rightarrow s_p = \frac{1}{3.73} \text{ krad/s} = 2.873 \text{ rad/s} \quad (7-34 \text{ ب})$$

برای دست‌یابی به این قطب‌ها باید خازن‌های کوپلاژ را  $348$  برابر بزرگتر و  $C_1 = C_2 = 348 \mu\text{F}$  انتخاب نمود. در مقایسه با حالت قبل طرح بر اساس  $GM$  قطب‌ها  $1.5$  برابر کوچکتر بدست آمده‌اند.

## ۷-۴ پاسخ فرکانس و سرعت چرخش تقویت‌کننده‌های عملیاتی

### ۷-۴-۱ پاسخ فرکانس تقویت‌کننده‌های عملیاتی

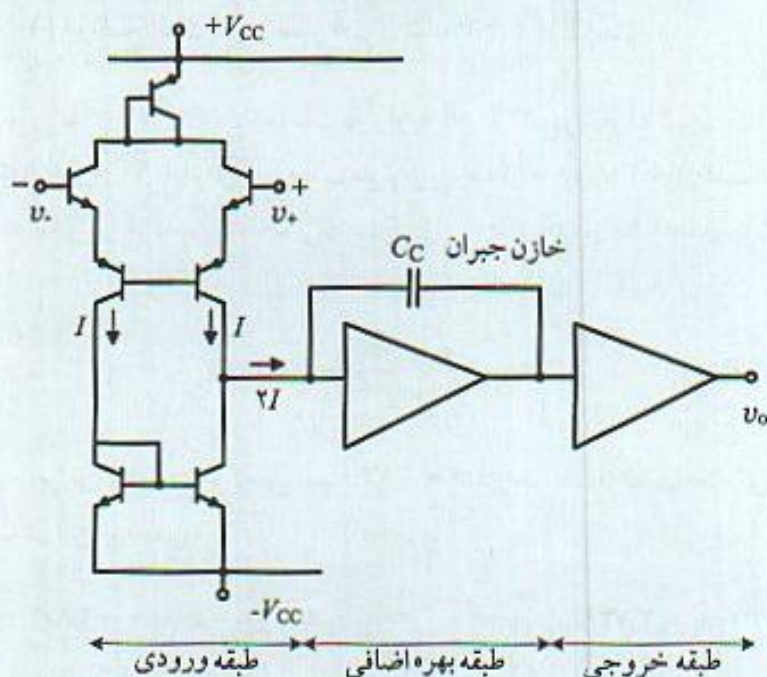
تقویت‌کننده عملیاتی شامل چندین طبقه با کوپلاژ مستقیم بین طبقات و دارای بهره زیاد است. طبقه ورودی آن از نوع تفاضلی با بار فعال با مقاومت ورودی بزرگ و طبقه میانی با بهره زیاد می‌باشد. در این تقویت‌کننده‌ها طبقه خروجی از نوع توان، کلاس AB با بهره ولتاژ تقریباً  $1^\circ$ ، مقاومت خروجی کم، راندمان بالا و فاقد اعوجاج عبور از صفر است. شکل (۷-۲۲) شمای کلی آپ-امپ را نشان می‌دهد که در آن خازن جبران داخلی نیز به جهت پایدارسازی بکار رفته است. رابطه خروجی به ورودی در یک آپ-امپ بصورت:

$$v_o = a (v_+ - v_-) \quad (7-35)$$

است. عموماً آپ-امپ به عنوان مدار خطی که ولتاژ خروجی متناسب با تفاضل ولتاژ ورودی‌های مثبت و منفی است در نظر گرفته می‌شود. در رابطه (۷-۳۵) تمام ولتاژها نسبت به زمین اندازه‌گیری شده و خروجی نیز بصورت تکی (single ended) نسبت به زمین مدار است. طبقه دوم برای افزایش بهره کل مدار شامل خازن جبران داخلی می‌باشد.

با توجه به خازن جبران و خازن‌های داخلی ترانزیستورها، آپ-امپ دارای پاسخ فرکانس است و با افزایش فرکانس بهره آن کم می‌شود. به جهت پایداری مدار با فیدبک تعداد طبقات و فاز مربوط به هر کدام از طبقات کمترین مقدار طرح می‌شود. فرکانسی که در آن بهره به  $1^\circ$  می‌رسد پهنای باند بهره واحد





شکل ۷-۲۲ شمای کلی تقویت‌کننده عملیاتی

$f_T$  (unity gain bandwidth) نامیده می‌شود. مقدار  $f_T$  برای آپ-امپ‌های معمول بین ۱ MHz تا ۲۰ MHz و بهره مدار باز آنها بین  $10^5$  تا  $10^6$  است. خازن جبران نیز برای پایدارسازی تقویت‌کننده دو سر طبقه دوم اضافه شده است. مقدار این خازن چنان انتخاب می‌شود که داخل تراشه قابل ساخت باشد و هم‌چنین به ازاء بیشترین مقدار فیدبک  $f_0 = 1$  که در تقویت‌کننده دنبال‌کننده ولتاژ (voltage follower) مورد نیاز است مدار پایدار باشد.

تابع انتقال مدار باز آپ-امپ در حالت سیگنال کوچک و با تقریب تک قطبی را می‌توان با رابطه (۷-۳۶) نشان داد.

$$a(s) = \frac{a_0}{1 + \frac{s}{s_a}}, \quad f_T = \frac{a_0 s_a}{2\pi} \quad (7-36)$$

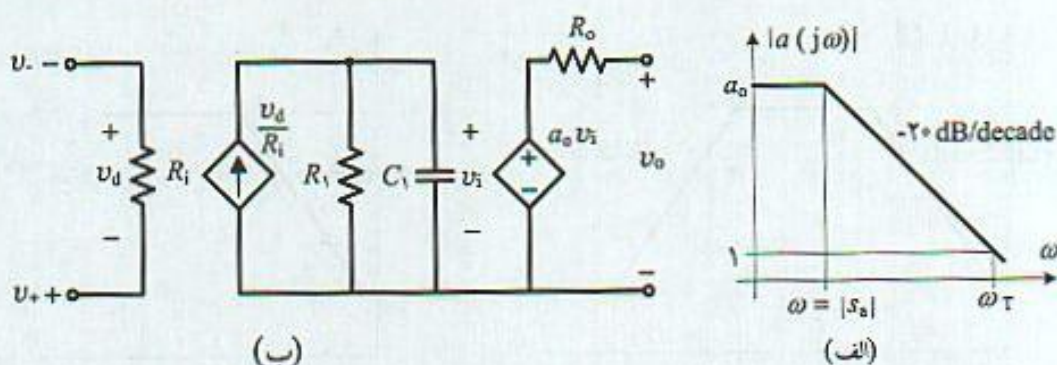
$a_0$  بهره فرکانس پایین و  $s_a$  قطب موثر است. مقادیر نمونه برای آپ-امپ ۷۴۱:

$$a_0 = 2.5 \times 10^5 \text{ و } |s_a| = 2\pi (5 \text{ Hz}), \quad f_T \approx 1.2 \text{ MHz} \quad (7-37 \text{ الف})$$

می‌باشد. شکل (۷-۲۳ الف) پاسخ فرکانس نمونه یک آپ-امپ و شکل (۷-۲۳ ب) مدار معادلی را نشان می‌دهد که دارای تابع انتقالی با رابطه (۷-۳۶) است. از این مدار معادل در نرم‌افزار spice نیز استفاده شده است. گره مشترک در این مدار در خروجی و سیگنال ورودی تفاضلی است. ثابت زمانی  $\tau = R_1 C_1$  معرف قطب موثر  $s_a$  و  $R_0$  به ترتیب مقاومت ورودی و خروجی آپ-امپ هستند. مقادیر نمونه برای ۷۴۱:

$$R_i = 2 \text{ M}\Omega, \quad R_0 = 75 \Omega, \quad R_1 = 10 \text{ k}\Omega, \quad C_1 = 3.185 \mu\text{F}, \quad \tau = \frac{1}{|s_a|} = 31.85 \text{ ms} \quad (7-37 \text{ ب})$$





شکل ۷-۲۳ تقویت‌کننده عملیاتی با جبران داخلی: (الف) پاسخ فرکانس، (ب) مدار معادل

می‌باشند.  $R_1 = 10 \text{ k}\Omega$  مقاومت معمولی است که در محاسبات تقویت‌کننده‌ها استفاده شده است. از این مدار معادل می‌توان در بررسی پاسخ فرکانس مدارهای شامل آپ-امپ استفاده نمود. مثال (۷-۹) کاربرد تقویت‌کننده عملیاتی در مدار مشتق‌گیر و محاسبات پاسخ فرکانس آنرا نشان می‌دهد.

#### مثال ۷-۹

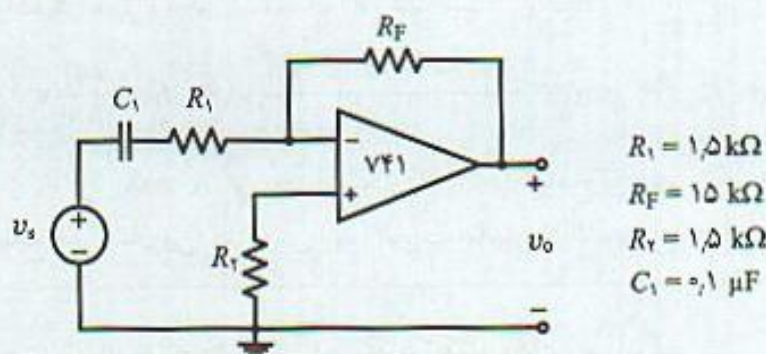
شکل (۷-۲۴) مدار مشتق‌گیر عملی با آپ-امپ ۷۴۱ را نشان می‌دهد.

- (الف) با فرض شرایط ایده‌آل برای ۷۴۱ پاسخ فرکانس مدار را مشخص کنید.  
 (ب) با فرض شرایط غیر ایده‌آل و مدار معادل روابط (۷-۳۷) پاسخ فرکانس دقیق مدار را مشخص کنید.  
 (ج) فرض (ب) را با استفاده از نرم‌افزار spice بررسی و نتیجه را مقایسه کنید.

(الف) با فرض شرایط ایده‌آل برای آپ-امپ تابع انتقال مدار:

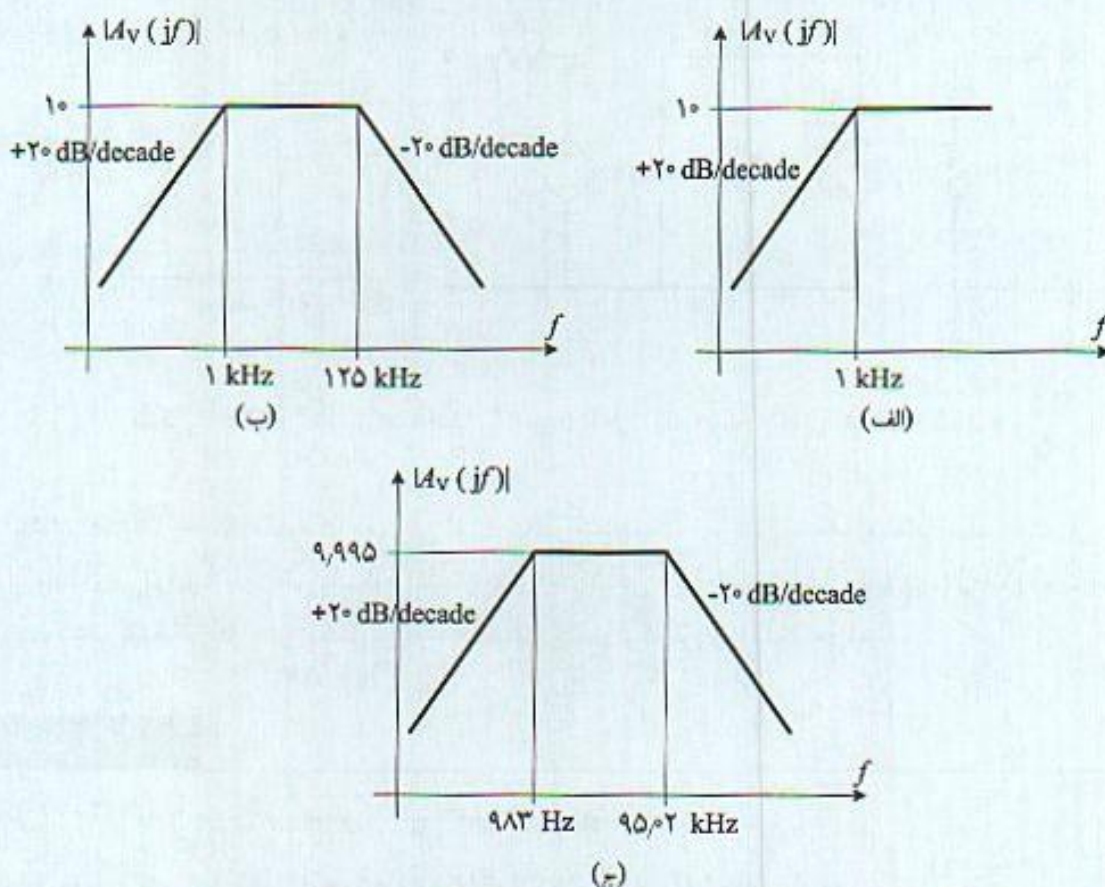
$$A_V(s) = - \frac{R_F C_1 s}{1 + R_F C_1 s} \quad (۷-۳۸)$$

این تابع انتقال مشابه تابع انتقال مدار بالاگذر با فرکانس قطع پایین  $f_L = \frac{1}{2\pi R_1 C_1} = 1 \text{ kHz}$  است. بنابراین مدار تا فرکانس ۱ kHz بصورت مشتق‌گیر عمل می‌کند و پس از آن دارای بهره ثابت ۱۰- است. پاسخ



شکل ۷-۲۴ مشتق‌گیر عملی با تقویت‌کننده عملیاتی





شکل ۷-۲۵ پاسخ فرکانس مدار شکل (۷-۲۴): الف) آپ-امپ ایده‌آل، ب) غیر ایده‌آل، ج) نرم‌افزار spice

فرکانس در این شرایط در شکل (۷-۲۵ الف) نشان داده شده است.

ب) با فرض شرایط غیر ایده‌آل برای آپ-امپ با افزایش فرکانس از یک مقدار خاص به علت خازن جبران داخلی، بهره مدار کاهش می‌یابد. در یک بررسی ساده می‌توان گفت در فرکانس‌های نسبتاً بالا که اثر خازن  $C_1$  ناچیز است مدار مانند تقویت‌کننده معکوس‌کننده با بهره  $\beta$  می‌باشد. با توجه به ثابت بودن حاصل ضرب بهره و پهنای باند، فرکانس قطع بالای مدار از رابطه (۷-۳۹) بدست می‌آید. پاسخ فرکانس در این شرایط در شکل (۷-۲۵ ب) نشان داده شده است.

$$A_o \omega_{H1} = a_o s_a \Rightarrow \omega_{H1} = \frac{2.5 \times 10^5 \times 2\pi (5 \text{ Hz})}{10} \Rightarrow f_H = \frac{\omega_H}{2\pi} = 125 \text{ kHz} \quad (۷-۳۹)$$

ج) با استفاده از نرم‌افزار spice و مدار معادل شکل (۷-۲۳ ب) پاسخ فرکانس شکل (۷-۲۵ ج) بدست می‌آید. مقایسه با نتایج قبل نشان می‌دهد روش (ب) تقریب مناسبی از مشخصات مدار را بدست می‌دهد.

## ۷-۴-۲ محدودیت سرعت چرخش در تقویت‌کننده‌های عملیاتی

در بخش قبل تقویت‌کننده عملیاتی در شرایط سیگنال کوچک در نظر گرفته شد و پاسخ فرکانس آن در

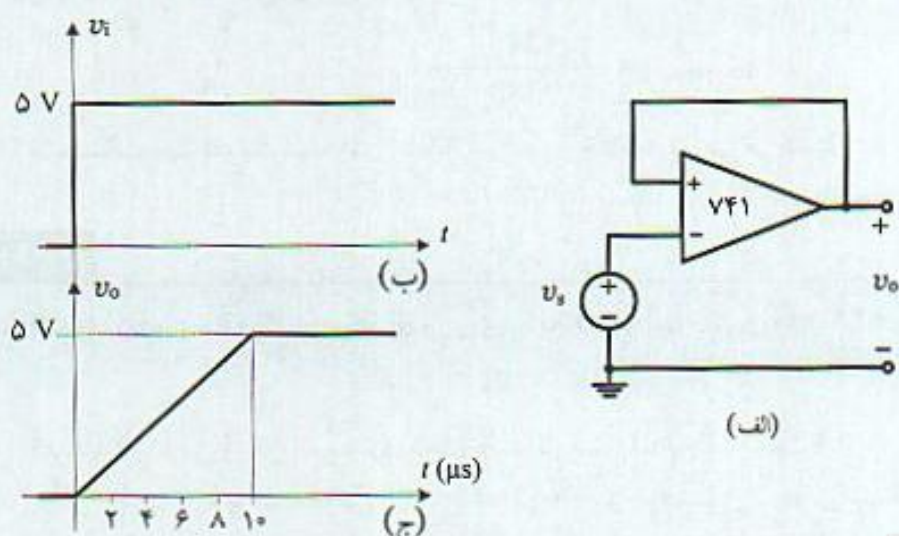


شرایط خطی با مشخصات غیر ایده‌آل مورد بحث و بررسی قرار گرفت. در شرایط سیگنال بزرگ با ورودی پله و یاسینوسی اثر مدار جبران داخلی آپ-امپ نیز قابل ملاحظه است. در این موارد پارامتری به نام سرعت چرخش (slew rate) در نظر گرفته می‌شود. سرعت چرخش معمولاً در مدار فیدبک با بهره واحد، مدار شکل (۷-۲۶ الف) و با ورودی پله با دامنه ۵V تعریف می‌شود. در شرایط خطی انتظار می‌رود پاسخ پله بصورت نمایی به سمت مقدار نهایی ۵V میل کند. اما شکل موج خروجی به شکل تابع شیب (ramp) است که برای ۷۴۱ در شکل (۷-۲۶ ج) نشان داده شده است. سرعت چرخش شیب شکل موج خروجی است که با SR نشان داده شده و با واحد  $\text{V}/\mu\text{s}$  بیان می‌شود.

محدودیت در سرعت پاسخ خروجی اساساً پدیده غیر خطی در تقویت‌کننده‌های عملیاتی است. این که به چه علت این وضعیت در شکل موج خروجی بوجود می‌آید را با توجه به شکل (۷-۲۳) می‌توان توجیه کرد. طبقه دوم با وجود خازن جبران یک انترگرال‌گیر است. با توجه به بهره زیاد این طبقه و طبق قضیه میلر می‌توان این خازن را در ورودی طبقه دوم و بعنوان بار طبقه اول در نظر گرفت. مقدار خازن معادل بزرگ و شارژ آن توسط طبقه دیفرانسیل ورودی انجام می‌شود. چون جریان طبقه اول مقدار محدودی است شارژ و دشارژ این خازن سرعت پاسخ خروجی را تعیین می‌کند. چنانچه جریان نقطه کار طبقه ورودی  $I_Q$  فرض شود در شرایط سیگنال بزرگ حداکثر جریان شارژ خازن جبران  $2I_Q$  و بنابراین سرعت چرخش خروجی:

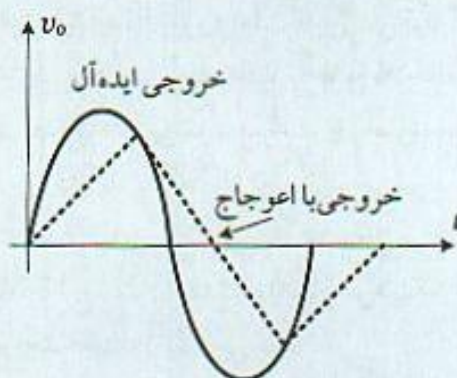
$$SR = \frac{2I_Q}{C} \quad (۷-۴۰)$$

است. برای ۷۴۱ با جریان نقطه کار  $9.5\mu\text{A}$  طبقه ورودی و خازن جبران  $30\text{ pF}$ ،  $SR = 0.633\text{ V}/\mu\text{s}$  بدست می‌آید. مقدار اندازه‌گیری شده و نمونه SR در کتابهای اطلاعاتی  $0.5\text{ V}/\mu\text{s}$  داده شده است. محدودیت سرعت چرخش آپ-امپ باعث اعوجاج در شکل موج سینوسی خروجی نیز می‌شود. چنانچه سرعت تغییرات سیگنال ورودی بیش از سرعت چرخش SR باشد آپ-امپ نمی‌تواند سیگنال ورودی را تعقیب کند و اعوجاج خروجی را سبب می‌شود. این اعوجاج برای ورودی سینوسی در شکل (۷-۲۷) نشان داده شده است. برای یک شکل موج سینوسی در خروجی با دامنه  $V_m$  حداکثر سرعت تغییرات آن:



شکل ۷-۲۶ الف) مدار دنبال‌کننده ولتاژ برای اندازه‌گیری SR، ب) ورودی پله، ج) خروجی مدار





شکل ۷-۲۷ اعوجاج در پاسخ  
سیگنال سینوسی به علت محدودیت  
سرعت چرخش

$$v_o(t) = V_m \sin \omega t \Rightarrow \frac{dv_o}{dt} = \omega V_m \cos \omega t \Rightarrow \left. \frac{dv_o}{dt} \right|_{\max} = \omega V_m \quad (۷-۴۱ \text{ الف})$$

می‌باشد. شرط عدم وجود اعوجاج در خروجی آن است که حداکثر تغییرات خروجی کمتر از  $SR$  آپ-امپ باشد. بنابراین:

$$\left. \frac{dv_o}{dt} \right|_{\max} = \omega V_m < SR \quad (۷-۴۱ \text{ ب})$$

در نتیجه برای سیگنال سینوسی خروجی با دامنه مشخص، حداکثر فرکانسی که محدودیت سرعت پاسخ آپ-امپ باعث اعوجاج نمی‌شود از رابطه (۷-۴۲) بدست می‌آید.

$$f_{(\max)} \leq \frac{SR}{2\pi V_m} \quad (۷-۴۲)$$

از رابطه (۷-۴۲) واضح است که حداکثر فرکانس قابل استفاده از یک آپ-امپ رابطه مستقیم با سرعت چرخش و نسبت عکس با دامنه خروجی دارد. در شرایطی که دامنه سیگنال ورودی آنقدر زیاد است که خروجی به مقدار  $V_m \approx V_{CC} - 1$ ، مرز اشباع و قطع ترانزیستورهای طبقه آخر، محدود می‌شود، فرکانس این سیگنال پهنای باند توان کامل (full power bandwidth) نامیده می‌شود. این پارامتر معمولاً در تقویت‌کننده با بهره واحد اندازه‌گیری می‌شود. بنابراین:

$$BW_{(\text{full power})} = \frac{SR}{2\pi(V_{CC} - 1)} \quad (۷-۴۳)$$

جدول (۷-۱) مشخصات مهم تقویت‌کننده‌های عملیاتی را بطور خلاصه معرفی می‌کند.

#### مثال ۷-۱۰

در یک تقویت‌کننده با بهره واحد فرکانس سیگنال ورودی  $300 \text{ kHz}$  و آپ-امپی با  $SR = 0.6 \text{ V}/\mu\text{s}$  بکار رفته است.

الف) حداکثر دامنه ورودی و خروجی بدون محدودیت سرعت پاسخ چقدر است؟

ب) اگر ورودی با دامنه  $5 \text{ V}$  باشد حداکثر فرکانس که اعوجاج بوجود نمی‌آید چقدر است؟

ج) برای تقویت سیگنال سینوسی با فرکانس  $20 \text{ kHz}$  و با دامنه ماکزیمم خروجی  $10 \text{ V}$  چه op-amp مورد نیاز است؟



جدول ۱-۷ مشخصات مهم ترانسفورماتوری عملیاتی

op-amp	Gain V/V	$R_{in}$ $\Omega$	$Z_o$ $\Omega$	GBW MHz	$I_B$ nA	$V_{os}$ mV	$I_{os}$ nA	CMRR dB	$\mu SR$ dB	SR V/ $\mu$ s	$e_n$ nV/Hz	$i_n$ pA/Hz
CA3140	$\times 1$	$10^7 T$	$10^0$	$10^4$	$10^{-10}$	$10^{-6}$	$< 10^{-10}$	$10^4$	$10^4$	$10^4$	-	-
MC14573	$\times 10^4$	$10^{12}$	$10^0$	$10^4$	$< 1$	$10^{-6}$	$< 10^{-10}$	$10^4$	$10^4$	$10^4$	-	-
LH0032A	$\times 10^4$	$10^{12}$	$10^0$	$10^4$	$10^{-10}$	$10^{-6}$	$10^{-10}$	$10^4$	$10^4$	$10^4$	-	-
LH0062C	$\times 10^4$	$10^{12}$	$10^0$	$10^4$	$10^{-10}$	$10^{-6}$	$10^{-10}$	$10^4$	$10^4$	$10^4$	-	-
LF411	$\times 10^4$	$10^{12}$	$10^0$	$10^4$	$10^{-10}$	$10^{-6}$	$10^{-10}$	$10^4$	$10^4$	$10^4$	-	-
LH0022	$\times 1$	$10^{12}$	$10^0$	$10^4$	$10^{-10}$	$10^{-6}$	$10^{-10}$	$10^4$	$10^4$	$10^4$	-	-
LM124	$\times 1$	$10^6$	$10^0$	$10^4$	$10^{-10}$	$10^{-6}$	$10^{-10}$	$10^4$	$10^4$	$10^4$	-	-
LM324	$\times 10^4$	-	-	$10^4$	$10^{-10}$	$10^{-6}$	$10^{-10}$	$10^4$	$10^4$	$10^4$	-	-
LM607	$10^6$	$10^6$	$10^0$	$10^4$	$10^{-10}$	$10^{-6}$	$10^{-10}$	$10^4$	$10^4$	$10^4$	-	-
LM741	$\times 10^4$	$10^6$	$10^0$	$10^4$	$10^{-10}$	$10^{-6}$	$10^{-10}$	$10^4$	$10^4$	$10^4$	-	-
LMC6041	$\times 10^4$	$> 10^{13}$	-	$\times 10^4$	$\times 10^{-10}$	$10^{-6}$	$\times 10^{-10}$	$10^4$	$10^4$	$10^4$	-	-
LMC6061	$10^6$	$> 10^{13}$	-	$\times 1$	$\times 10^{-10}$	$\times 10^{-6}$	$\times 10^{-10}$	$10^4$	$10^4$	$10^4$	-	-
LMC6081	$\times 10^4$	$> 10^{13}$	-	$\times 1$	$\times 10^{-10}$	$\times 10^{-6}$	$\times 10^{-10}$	$10^4$	$10^4$	$10^4$	-	-
TLC1078	$\times 1$	$10^7$	$10^0$	$\times 10^4$	$\times 10^{-10}$	$10^{-6}$	$\times 10^{-10}$	$10^4$	$10^4$	$10^4$	-	-



الف) با استفاده از رابطه (۷-۴۲) حداکثر دامنه ورودی بدون اعوجاج :

$$V_m = \frac{SR}{2\pi f} = \frac{0.5 \times 10^6}{2\pi \times 300 \times 10^3} = 265.4 \text{ mV}$$

ب) با توجه به بهره ۱ برای تقویت‌کننده، دامنه خروجی و ورودی یکسان و حداکثر فرکانس :

$$f_{(\max)} = \frac{SR}{2\pi V_m} = \frac{0.5 \times 10^6}{2\pi \times 0.2654} = 15.92 \text{ kHz}$$

است.

ج) با فرکانس ورودی ۲۰ kHz و دامنه ماکزیمم خروجی ۱۰ V آپ-امپی با حداقل  $SR$  :

$$SR \geq 2\pi V_m f = 2\pi \times 10 \times 20 \times 10^3 \text{ V/s} = 1.25 \text{ V}/\mu\text{s}$$

مورد نیاز است.

## مسائل فصل هفتم

۷-۱) در یک تقویت‌کننده فیدبک که تقویت‌کننده اصلی آن دارای بهره باند میانی ۱۰۰۰ و یک قطب در

$s_a = 1 (\mu\text{s})^{-1}$  است فیدبک مقاومتی  $f_0$  اعمال می‌شود.

الف) عبارتی برای  $GM$  مشخص کنید.

ب) عبارتی برای  $PM$  مشخص و به ازاء ضریب عدم حساسیت ۲۱، ۱۱ و ۲ مقدار  $PM$  را محاسبه کنید.

ج) در مورد شرایط پایداری تقویت‌کننده نتیجه گیری کنید و نتایج را با بررسی در صفحه  $s$  توجیه کنید.

۷-۲) فرض کنید تابع انتقال تقویت‌کننده اصلی یک مدار فیدبک به فرم استاندارد یک سیستم مرتبه ۲

است و به آن فیدبک مقاومتی  $f_0$  اعمال می‌شود.

الف) عبارتی برای  $GM$  مشخص و نشان دهید  $PM$  از رابطه (۷-۸ الف) بدست می‌آید.

ب) برای مقادیر  $Q = 0.5, 0.707, 1$  مقدار  $PM$  را محاسبه کنید.

ج) نشان دهید عبارت  $PM = \frac{50^\circ}{Q}$  تقریب خوبی از  $PM$  را بدست می‌دهد.

د) پاسخ فرکانس یک سیستم مرتبه ۲ را بر حسب پارامتر  $PM$  مرتب نموده نتیجه گیری کنید.

۷-۳) در یک آپ-امپ با مشخصات

$$a_0 = -10^2, s_1 = 2\pi (1 \text{ MHz}), s_2 = 2\pi (3 \text{ MHz}), s_3 = 2\pi (10 \text{ MHz})$$

الف) نمودار بد (Bode) پاسخ فرکانس را رسم کنید.

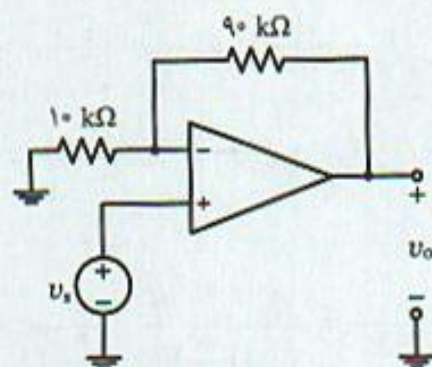
ب) مقدار  $f_0$  که تقویت‌کننده نوسانی می‌شود چقدر است.

ج) اگر  $f_0$  بیش از مقدار فرض ب باشد چه حالتی اتفاق می‌افتد.

د) اگر از آپ-امپ فوق در مدار شکل (م ۷-۳) بکار رود  $PM$  و  $GM$  را محاسبه کنید.

ه) مقدار فیدبک  $f_0$  را چنان بیابید که  $PM = 65^\circ$  حاصل شود.  $GM$  در این حالت چقدر است.





شکل (م ۳-۷)

(۴-۷) تقویت‌کننده‌ای با بهره ولتاژ ۱۰۰۰۰ و قطب‌هایی در ۱ MHz، ۵ MHz و ۲۰ MHz در نظر بگیرید. الف) نمودار بد (Bode) پاسخ فرکانس را رسم کنید.

ب)  $f_{o(max)}$  چقدر است.

ج) مقدار  $f_o$  را برای  $GM = 4$  مشخص کنید.  $PM$  در این حالت چقدر است.

د) مقدار  $f_o$  برای  $PM = 60^\circ$  چقدر است؟  $GM$  در این حالت چقدر است.

ه) برای  $PM = 5^\circ$  ضریب عدم حساسیت چقدر است.

و) در حالت (ه) پاسخ فرکانس چگونه است.

ز) برای جبران در حالت (و) چه روشی بکار می‌برید؟ روش خود را بکار برده و عناصر مهم جبران را مشخص کنید.

(۵-۷) در یک تقویت‌کننده عملیاتی به مشخصات

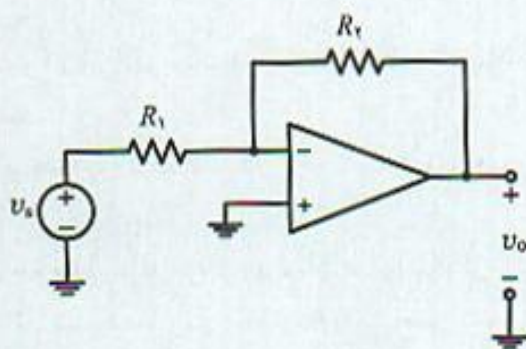
$$a_o = 80 \text{ dB}, s_1 = 2\pi (1 \text{ MHz}), s_2 = 2\pi (5 \text{ MHz}), s_3 = 2\pi (20 \text{ MHz})$$

الف) نمودار بد (Bode) تقویت‌کننده را در فاصله ۰٫۱ MHz تا ۱۰۰ MHz رسم کنید.

ب) از این تقویت‌کننده در شکل (م ۵-۷) استفاده شده چه رابطه‌ای برقرار باشد تا تقویت‌کننده پایدار باشد.

ج) با استفاده از مفاهیم  $GM$  و  $PM$  در مورد شرایط ناپایداری بحث کنید.

ه) برای جلوگیری از ایجاد نوسان چه محدودیتی بر بهره باند میانی مدار بسته باید در نظر گرفت.



شکل (م ۵-۷)

(۶-۷) تقویت‌کننده‌ای با بهره باند میانی  $10^3$  - و دارای ۳ قطب در  $f = 1 \text{ MHz}$  در نظر بگیرید.

الف) فرکانس  $\omega_c$  در مورد مدار را مشخص کنید.



(ب) با استفاده از  $PM$  و  $GM$  در شرایط ناپایداری بحث کنید.  
(ج) اگر یکی از قطب‌ها به  $f = 200 \text{ MHz}$  منتقل شود با فرض فیدبک مقاومتی در فرض (ب) که تقویت‌کننده قبلی ناپایدار است در مورد وضعیت پایداری این مدار تحقیق و نتیجه‌گیری کنید.

(۷-۷) تابع انتقال مدار باز یک آپ-امپ

$$a(j\omega) = \frac{v_o}{v_i - v_i} = \frac{a_o}{(1 + j\frac{\omega}{\omega_1})(1 + j\frac{\omega}{\omega_2})}$$

است و در آن  $\omega_1 = 10^5 \text{ rad/sec}$  و  $\omega_2 = 10^6 \text{ rad/sec}$ ،  $a_o = 10^6$

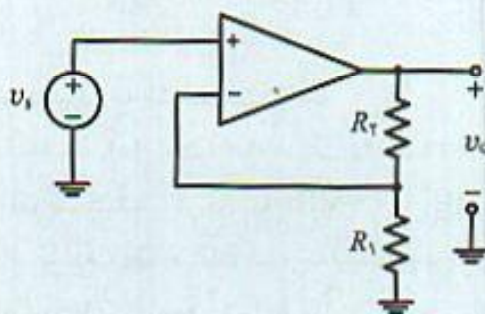
(الف) فرکانس قطع ۳ dB مدار چقدر است.

(ب) از این آپ-امپ در تقویت‌کننده شکل (م ۷-۷) با ضریب فیدبک  $f_o$  بکار می‌رود. در مورد شرایط پایداری بحث و با انتخاب مقادیر خاص مدار مناسبی برای بهره ۱۰۰ طرح کنید.

(ج) با  $R_1 = 90 \text{ k}\Omega$  و  $R_2 = 10 \text{ k}\Omega$  باشد مقادیر  $PM$  و  $GM$  تقویت‌کننده حاصل را محاسبه کنید.

(د) اگر از این آپ-امپ بعنوان دنبال‌کننده ولتاژ (voltage follower) استفاده شود ( $f_o = 1$ ) آیا مدار نوسانی می‌شود.

(ه) مقادیر  $PM$  و  $GM$  در فرض (د) چقدر است.



شکل (م ۷-۷)

(۸-۷) تقویت‌کننده‌ای با بهره باند میانی  $10^4$  و ۳ قطب در  $1 \text{ MHz}$ ،  $5 \text{ MHz}$  و  $30 \text{ MHz}$  و فیدبک مقاومتی  $f_o$  در نظر بگیرید.

(الف) نمودار بد (Bode) دامنه و فاز این تقویت‌کننده را از  $1 \text{ MHz}$  تا  $100 \text{ MHz}$  رسم و مقادیر شیب و نقاط مهم آنرا مشخص کنید.

(ب) با استفاده از مفاهیم  $PM$  و  $GM$  در شرایط ناپایداری بحث کنید و در صورت وجود نوسان فرکانس کار آنرا تعیین کنید.

(ج) برای جلوگیری از نوسان چه محدودیتی بروی بهره باند میانی باید در نظر گرفت شرح دهید.

(د) برای رسیدن به  $PM \geq 45^\circ$  با فیدبک مقاومتی مقدار  $f_o$  را مشخص کنید.

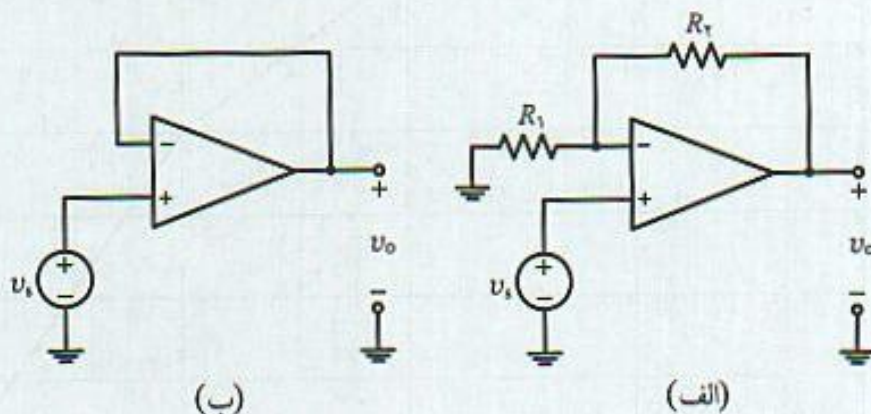
(۹-۷) تقویت‌کننده عملیاتی با بهره باند میانی  $10^5$  و ۳ قطب در فرکانس‌های  $2 \text{ MHz}$ ،  $5 \text{ MHz}$

و  $20 \text{ MHz}$  در نظر بگیرید که به آن فیدبک مقاومتی  $f_o$  اعمال می‌شود.

(الف) نمودار بد (Bode) دامنه و فاز این تقویت‌کننده را از  $1 \text{ MHz}$  تا  $100 \text{ MHz}$  رسم و مقادیر شیب و



- نقاط مهم آنرا روی کاغذ لگاریتمی تعیین کنید.
- ب) با استفاده از مفاهیم  $PM$  و  $GM$  در شرایط پایداری بحث کنید.
- ج) برای  $PM = 60^\circ$  ضریب عدم حساسیت چقدر است.
- د) برای استفاده از این آپ-آمپ در مدار شکل (م ۷-۹ الف) چه محدودیتی بر  $R_1$  و  $R_2$  باید قرار داد.
- ه) از این مدار در تقویت‌کننده دنبال‌کننده ولتاژ شکل (م ۷-۹ ب) استفاده شود مقدار  $PM$  و  $GM$  را محاسبه کنید.



شکل (م ۷-۹)

- ۷-۱۰) شکل (م ۷-۱۰) نمودار بد (Bode) یک تقویت‌کننده را نشان می‌دهد.
- الف) حداکثر ضریب عدم حساسیت با فیدبک مقاومتی چقدر است.
- ب) مقدار ضریب عدم حساسیت با پاسخ فرکانس مناسب  $PM = 60^\circ$  چقدر است.
- ج) به ازاء  $f_0 = 2 \times 10^{-6}$  مقادیر  $PM$  و  $GM$  را محاسبه و پاسخ فرکانس را رسم کنید.
- د) برای جبران در این حالت از چه روشی استفاده می‌کنید.
- ه) با فیدبک مقاومتی  $f_0 = 1$  مدار ناپایدار است چه روشی را برای جبران با پاسخ فرکانس مسطح بکار می‌برید. روش خود را بکار برده و پارامتر مهم جبران را مشخص کنید.

۷-۱۱) در یک تقویت‌کننده عملیاتی با مشخصات

$$a_0 = 10^5, \omega_1 = 10^6 \text{ rad/s}, \omega_2 = 5 \times 10^6 \text{ rad/s}$$

- الف) در مداری با بهره واحد در شکل (م ۷-۱۱ الف) استفاده می‌شود وضعیت پاسخ فرکانس چگونه است.
- ب) برای جبران مدار در حالت (الف) از مدار شکل (م ۷-۱۱ ب) استفاده شده است. عناصر مدار را چنان انتخاب کنید که جبران حذف صفر و قطب انجام شده و  $PM = 60^\circ$  حاصل شود.

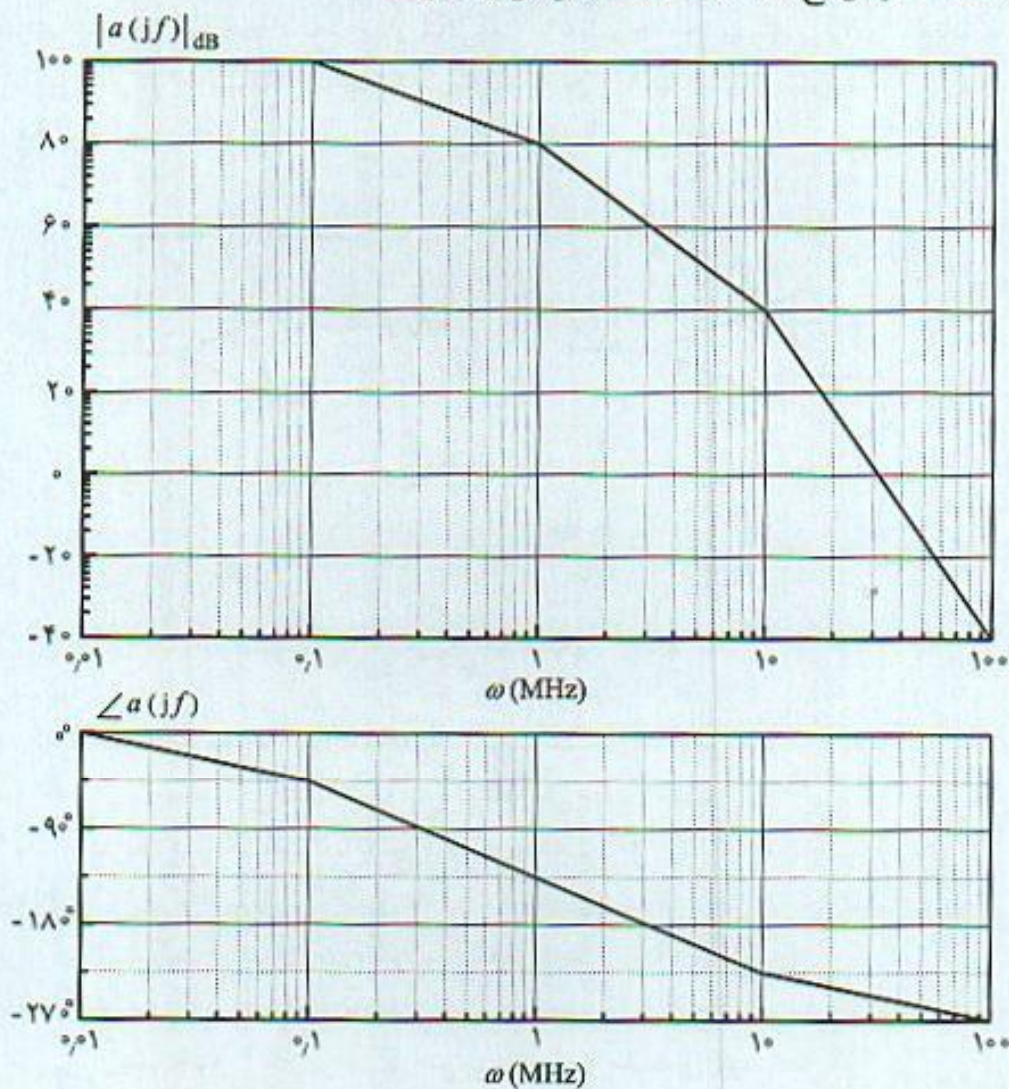
۷-۱۲) در یک تقویت‌کننده با مشخصات:

$$a_0 = 100 \text{ dB}, s_1 = 2\pi (1 \text{ MHz}), s_2 = 2\pi (10 \text{ MHz}), s_3 = 2\pi (50 \text{ MHz})$$

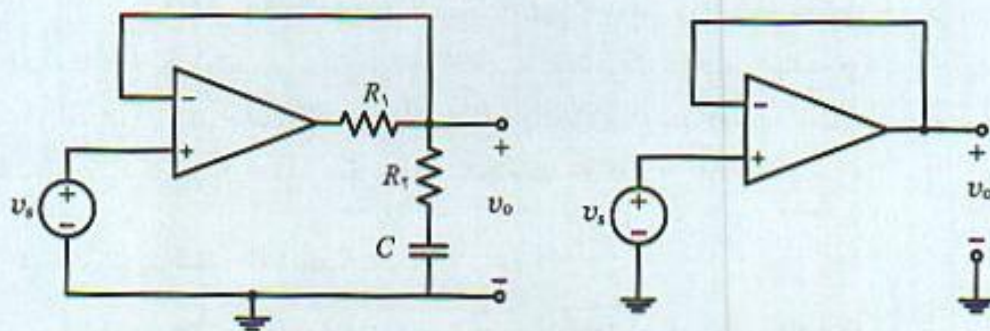
- الف) نمودار بد (Bode) را رسم و حداکثر ضریب عدم حساسیت را مشخص کنید.
- ب) به ازاء  $f_0 = 0.5 f_{0(\max)}$  پاسخ فرکانس چگونه است.



- ج) مقدار فیدبک برای  $GM = 4$ ، پاسخ فرکانس چگونه است.  
 د) مقدار  $f_0$  برای  $PM = 60^\circ$  چقدر است و در این شرایط  $GM$  چقدر است.  
 ه) از مقایسه فرض (ج) و (د) چه نتیجه مهمی می‌توان گرفت.



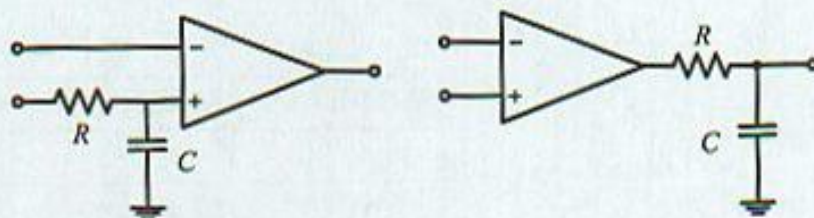
شکل (م ۷-۱۰)



شکل (م ۷-۱۱)

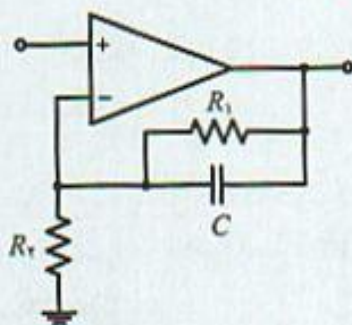


۱۳-۷) در مدارهای شکل‌های (م ۷-۱۳) با فرض اینکه تابع انتقال آپ-امپ  $a(s)$  است تابع انتقال کل تقویت‌کننده را مشخص و نوع جبرانی را که در هر حالت می‌توان بکار برد مشخص کنید.



شکل (م ۷-۱۳)

۱۴-۷) در مدار شکل (م ۷-۱۴) عبارت بهره حلقه  $T(s)$  را مشخص کنید. آیا با این مدار می‌توان تقویت‌کننده را جبران نمود شرح دهید.

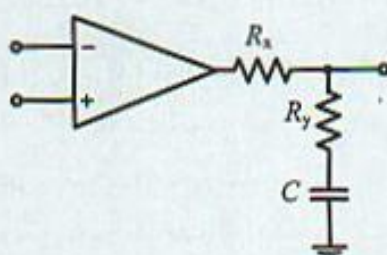


شکل (م ۷-۱۴)

۱۵-۷) در مدار شکل (م ۷-۱۵)

الف) بهره  $\frac{v_o}{v_i}$  را بدست آورید.

ب) در مورد روش جبران که در این مدار می‌توان بکار برد شرح دهید.



شکل (م ۷-۱۵)

۱۶-۷) نتایج اندازه‌گیری مشخصات یک تقویت‌کننده در جدول (م ۷-۱۶) نشان داده شده است. از این مدار در تقویت‌کننده با فیدبک استفاده می‌شود.

الف) حداکثر ضریب عدم حساسیت با فیدبک مقاومتی چقدر است.

ب) چه محدودیتی لازم است بر بهره باند میانی تقویت‌کننده مدار بسته قرار داد تا مدار پایدار باشد.

ج) ضریب عدم حساسیت برای پاسخ فرکانس مناسب حاصل چقدر است.

د) برای رسیدن به ضریب عدم حساسیت ۱۰۰ این تقویت‌کننده را بنحوی مناسب جبران کنید تا پاسخ فرکانس مناسب حاصل شود.



(ه) اگر این مدار با فیدبک واحد  $f_0 = 1$  بکار رود آیا مدار پایدار است؟  
 (و) چنانچه در حالت (ه) مدار ناپایدار است مدار را به روش مناسب جبران کنید تا  $PM = 60^\circ$  بدست آید.

جدول (م ۷-۱۶)

فاز	بهره	$f$ (MHz)
$0^\circ$	۱۰۰۰	۰
$-45^\circ$	۸۰۰	۰٫۱
$-100^\circ$	۴۵۰	۰٫۳
$-150^\circ$	۱۵۰	۱
$-200^\circ$	۱۵	۳
$-250^\circ$	۱	۱۰

(۷-۱۷) در مثال (۷-۴) و در فرض (الف) محل قطب موثر برای  $GM = 6$  dB تعیین شد. در این شرایط  $PM$  و پاسخ فرکانس تقویت‌کننده مدار بسته را مشخص کنید.

(۷-۱۸) در مثال (۷-۵) و در فرض (الف) محل قطب موثر با استفاده از فیلتر پایین گذر و برای  $GM = 6$  dB تعیین شد. در این شرایط  $PM$  و پاسخ فرکانس تقویت‌کننده مدار بسته را مشخص و نتیجه را با مسئله (۷-۱۷) مقایسه کنید.

(۷-۱۹) در مثال (۷-۶) نشان دهید مقاومت دو سر خازن  $14.3 \text{ k}\Omega$  است.

(۷-۲۰) یک تقویت‌کننده عملیاتی با مشخصات

$$a_0 = 80 \text{ dB}, s_1 = 2\pi (10^3 \text{ Hz}), s_2 = 2\pi (10^5 \text{ Hz}), s_3 = 2\pi (10^6 \text{ Hz})$$

(الف) نمودار بد (Bode) مدار را رسم کنید.

(ب) از این مدار در شکل (م ۷-۲۰) استفاده می‌شود تحت چه شرایطی مدار پایدار است.

(ج) در فرض (ب) برای رسیدن به ضریب عدم حساسیتی که  $PM = 15^\circ$  است از روش جبران استفاده می‌شود نوع جبران را مشخص و پارامتر مهم آنرا مشخص کنید.

(د) از این مدار در شکل (م ۷-۲۰) استفاده می‌شود حداقل بهره و حداکثر ضریب عدم حساسیت با پاسخ فرکانس مناسب چقدر است.

(ه) آیا مدار شکل (م ۷-۲۰) ج پایدار است.  $PM$  و  $GM$  چقدر است.

(۷-۲۱) از تقویت‌کننده عملیاتی مسئله (۷-۲۰) در مدار معکوس‌کننده با بهره ولتاژ  $100$  استفاده می‌شود.

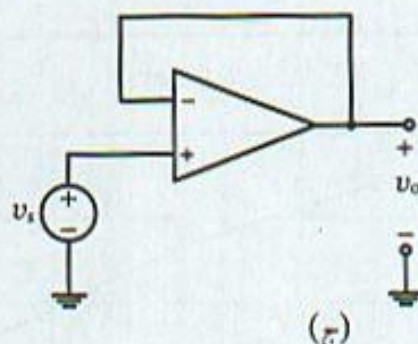
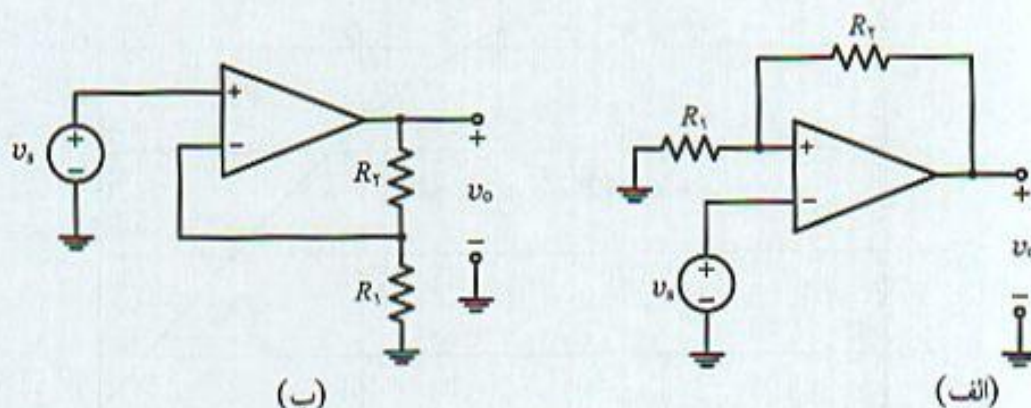
(الف) وضعیت پایداری مدار چگونه است؟

(ب) برای پایداری مدار در فرض (الف) از فیلتر پایین گذر شکل (م ۷-۲۱) در خروجی استفاده می‌شود در هر یک از حالت‌های زیر خازن  $C$  را محاسبه کنید.

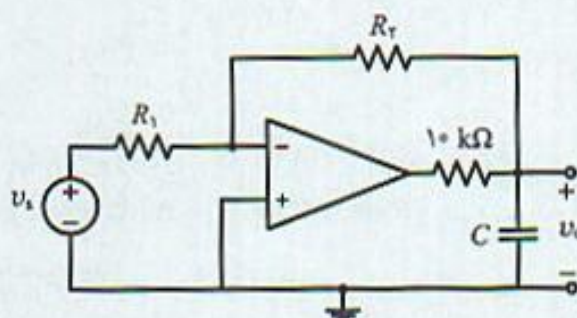


۱- مرز ناپایداری حاصل شود.

۲- پاسخ فرکانس مناسب باشد.



شکل (م ۷-۲۰)



شکل (م ۷-۲۱)

۲۲-۷ پاسخ فرکانس بهره تقویت‌کننده اصلی  $a(j\omega)$ ، مدار فیدبک در شکل (م ۷-۲۲) رسم شده است. (الف) در مورد شرایط پایداری بحث کنید.

(ب) با فرض فیدبک مقاومتی، مدار را برای  $GM = 4$  طرح کنید ضریب عدم حساسیت چقدر است.

(ج) با فرض فیدبک مقاومتی، مدار را برای  $PM = 60^\circ$  طرح کنید ضریب عدم حساسیت چقدر است.

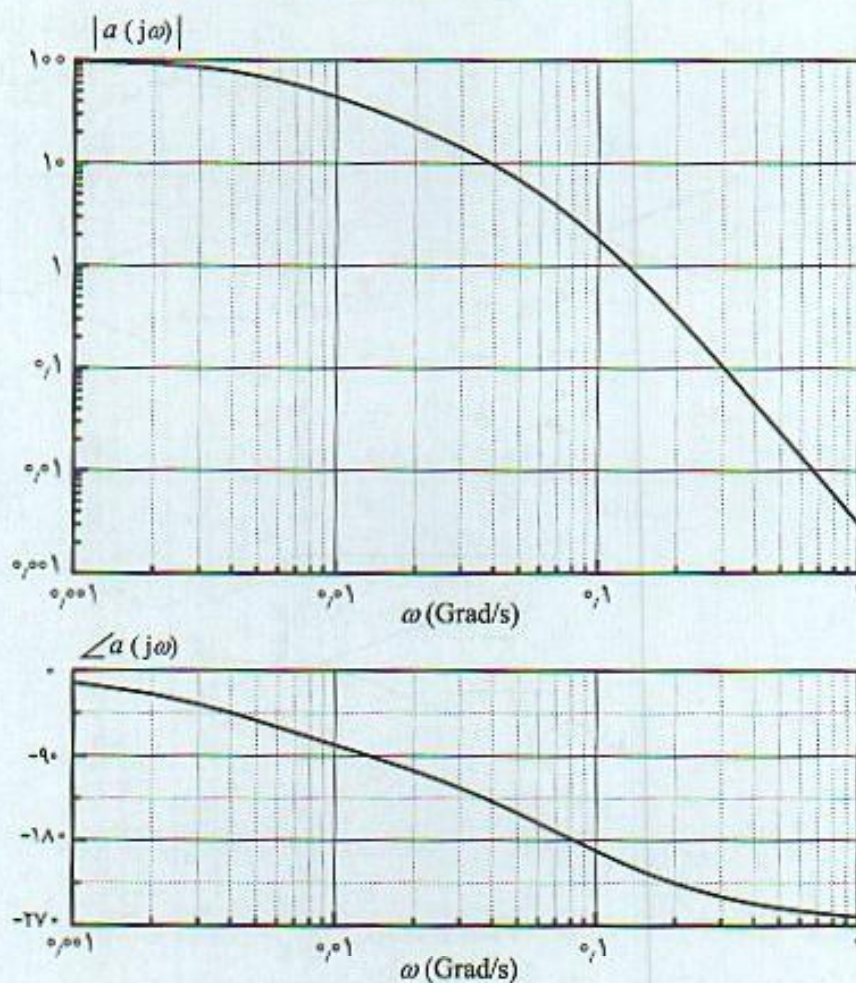
(د) فرض (ب) و (ج) را از نظر پاسخ فرکانس مقایسه کنید.

(ه) برای  $D_o = 70$ ، فیدبک مقاومتی لازم را محاسبه و پایداری تقویت‌کننده را مشخص کنید.

(و) برای جبران تقویت‌کننده و رسیدن به  $PM = 60^\circ$  در فرض (ه) جبران‌کننده مناسب بکار برید.

۲۳-۷ یک آپ-امپ با عبارت بهره رابطه (۷-۳۶) و با مقاومت ورودی  $R_i$  مستقل از فرکانس، در یک

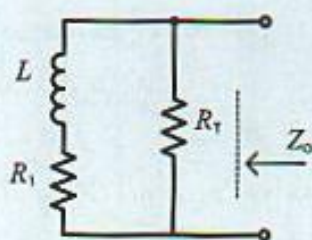




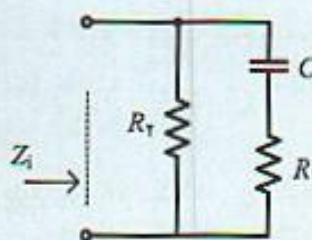
شکل (م ۷-۲۲)

مدار فیدبک و از نوع سری در ورودی بکار رفته است.  
الف) نشان دهید مدار معادل امپدانس ورودی شکل (م ۷-۲۳) است.  
ب) برای مقادیر  $a_0 = 2.5 \times 10^5$ ،  $|s_n| = 2\pi (5 \text{ Hz})$ ،  $R_i = 1 \text{ M}\Omega$  و ضریب عدم حساسیت ۲۰ مقادیر عناصر مدار معادل را مشخص کنید.

۷-۲۴) یک آپ-امپ با عبارت بهره رابطه (۷-۳۶) و با مقاومت خروجی  $R_0$  مستقل از فرکانس، در یک مدار فیدبک و از نوع جریان-موازی با ضریب فیدبک  $f_0$  بکار رفته است.



شکل (م ۷-۲۴)



شکل (م ۷-۲۳)



الف) نشان دهید مدار معادل امپدانس خروجی شکل (م ۷-۲۳) است.

ب) برای مقادیر  $f_0 = 0.5$  و  $R_0 = 75 \Omega$ ،  $|s_{21}| = 2\pi$  (5 Hz)،  $a_0 = 2 \times 10^5$  معادل را مشخص کنید.

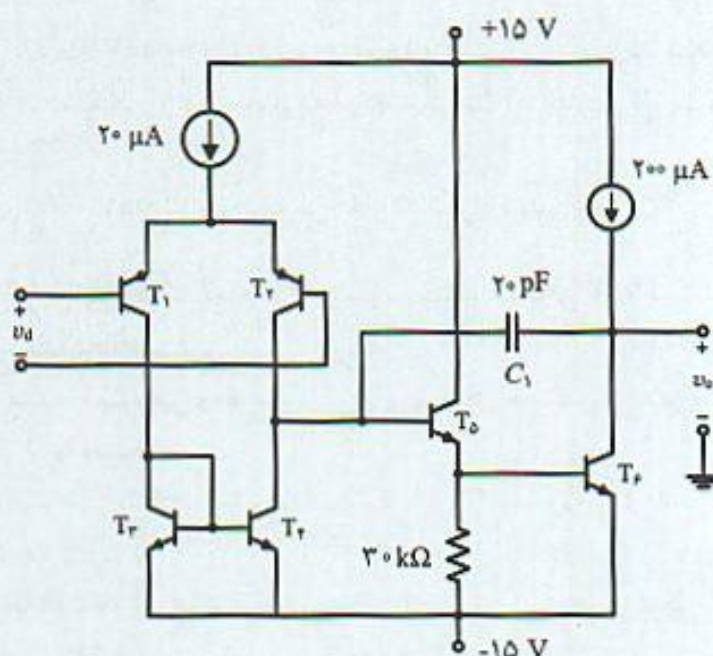
۲۵-۷) در مدار شکل (م ۷-۲۵) توانی پستوها را با مشخصات داده شده بکار رفته است.

$$\beta_{(\text{NPN})} = 100, \beta_{(\text{PNP})} = 50, V_{A(\text{NPN})} = V_{A(\text{PNP})} = 10 \text{ V}, V_{\text{BE}} = 0.7 \text{ V}, I_S = 10^{-17} \text{ A}$$

(الف) مقاومت ورودی تقویت کننده و بهره فرکانس پایین را مشخص کنید.

ب) با فرض اینکه خازن جبران مشخص کننده پاسخ فرکانس مدار باشد قطب موثر این تقویت کننده و فرکانس بهره واحد را مشخص نماید.

ج)  $SR$  مدار را مشخص کنید.

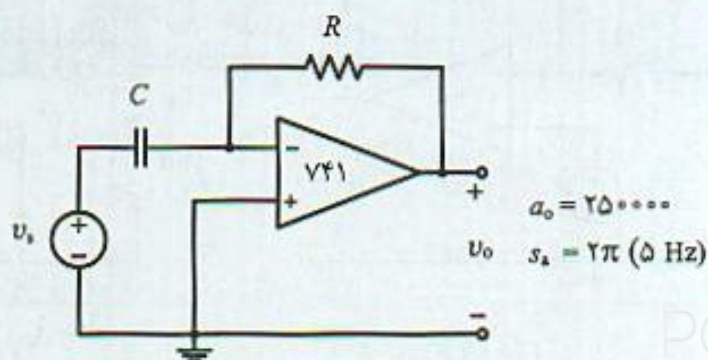


شكل (م ٧-٢٥)

(۲۶-۷) در مدار شکل (۷-۲۶) که در آن از یک تقویت کننده عملیاتی جبران شده داخلی با پارامترهای  $a_0$

و  $\gamma$  استفاده شده است:

(الف) مدار معادل یا فیدبک این مدار را رسم کنید.



شكل (م ٧-٢٦)



ب) تابع بهره حلقه  $T(s)$  را مشخص و پاسخ فرکانس مدار بسته را تعیین کنید.  
 ج) با فرض  $R = 158 \text{ k}\Omega$  و  $C = 0.01 \mu\text{F}$  و آپ-امپ بکار رفته ۷۴۱ با مشخصات داده شده مقادیر  $PM$  و  $Q$  قطب‌های موهومی را مشخص و پاسخ فرکانس مدار را رسم کنید.

(۲۷-۷) در تقویت‌کننده معکوس‌کننده شکل (م ۷-۲۷) از تقویت‌کننده عملیاتی ۷۴۱ با پارامترهای:

$$a_o = 2.5 \times 10^5, R_i = 2 \text{ M}\Omega, |s_a| = 2\pi (5 \text{ Hz}), R_1 = 75 \Omega, SR = 0.5 \text{ V}/\mu\text{s}$$

استفاده شده است.

الف) تابع انتقال کامل تقویت‌کننده را مشخص و بهره فرکانس پایین، پهنای باند تقویت‌کننده مدار بسته و پاسخ فرکانس تقویت‌کننده را رسم کنید.

ب) تقویت‌کننده را با استفاده از نرم‌افزار spice و مدار معادل شکل (۷-۲۳ ب) بررسی و پاسخ فرکانس را با فرض (ب) مقایسه کنید.

ج) در ورودی مدار سیگنالی با دامنه  $100 \text{ mV}$  با فرکانس  $10 \text{ kHz}$  قرار می‌گیرد. عبارت کامل ولتاژ خروجی را تعیین کنید. در این شرایط بررسی نمایید محدودیت سرعت چرخش بر تقویت‌کننده اثر تعیین‌کننده دارد یا خیر؟

د) فرض (ج) را برای ورودی با دامنه  $150 \text{ mV}$  و با فرکانس  $15 \text{ kHz}$  تکرار کنید.

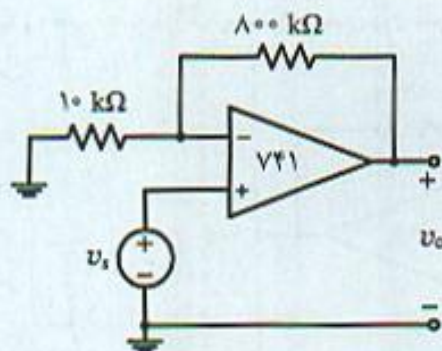
(۲۸-۷) در تقویت‌کننده غیر معکوس‌کننده شکل (م ۷-۲۷) از تقویت‌کننده عملیاتی ۷۴۱ با مشخصاتی مشابه مسئله (۲۷-۷) استفاده شده است.

الف) تابع انتقال کامل تقویت‌کننده را مشخص و بهره فرکانس پایین، پهنای باند تقویت‌کننده مدار بسته و پاسخ فرکانس تقویت‌کننده را رسم کنید.

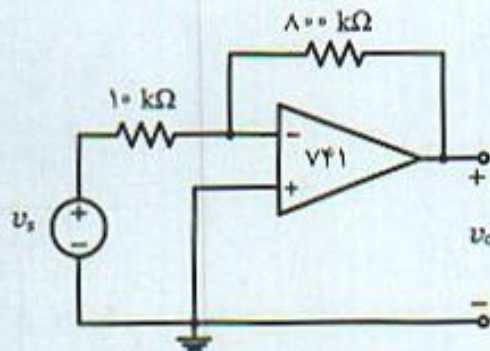
ب) تقویت‌کننده را با استفاده از نرم‌افزار spice و مدار معادل شکل (۷-۲۳ ب) بررسی و پاسخ فرکانس را با فرض (ب) مقایسه کنید.

ج) در ورودی مدار سیگنالی با دامنه  $100 \text{ mV}$  با فرکانس  $10 \text{ kHz}$  قرار می‌گیرد. عبارت کامل ولتاژ خروجی را تعیین کنید. در این شرایط بررسی نمایید محدودیت سرعت چرخش بر تقویت‌کننده اثر تعیین‌کننده دارد یا خیر؟

د) فرض (ج) را برای ورودی با دامنه  $150 \text{ mV}$  و با فرکانس  $15 \text{ kHz}$  تکرار کنید.



شکل (م ۷-۲۸)



شکل (م ۷-۲۷)

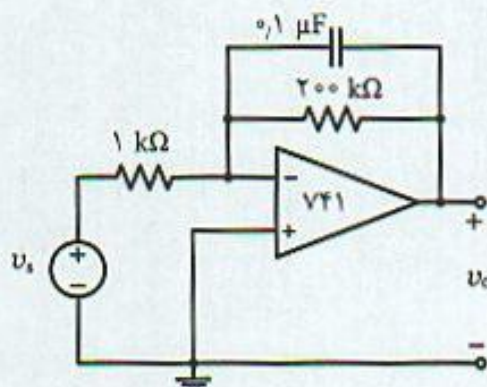


۲۹-۷) در مدار انتگرال‌گیر شکل (م ۷-۲۹) از تقویت‌کننده عملیاتی ۷۴۱ با مشخصاتی مشابه مسئله (۷-۲۷) استفاده شده است.

الف) تابع انتقال کامل مدار را مشخص و بهره فرکانس پایین، پهنای باند تقویت‌کننده مدار بسته و پاسخ فرکانس تقویت‌کننده را رسم کنید.

ب) تقویت‌کننده را با استفاده از نرم‌افزار spice و مدار معادل شکل (۷-۲۳ ب) بررسی و پاسخ فرکانس را با فرض (ب) مقایسه کنید.

ج) معین کنید در چه محدوده‌ای از فرکانس سیگنال ورودی انتگرال‌گیری بدرستی انجام می‌شود.



شکل (م ۷-۲۹)

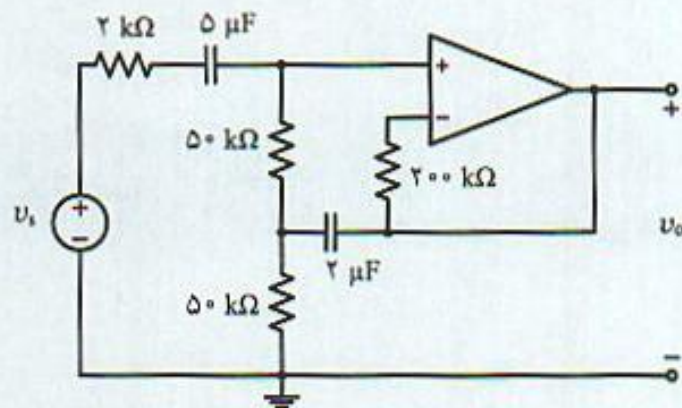
۳۰-۷) در تقویت‌کننده شکل (م ۷-۳۰) از تقویت‌کننده عملیاتی با مشخصات:

$$a_o = 2 \times 10^5, R_i = 2\text{ M}\Omega, |s_a| = 2\pi (10\text{ Hz}), R_o = 75\text{ }\Omega$$

استفاده شده است.

الف) با استفاده از روش ثابت زمانی مدار باز و اتصال کوتاه پاسخ فرکانس تقویت‌کننده را مشخص کنید.

ب) با استفاده از مدار معادل شکل (۷-۲۳ ب) و نرم‌افزار spice پاسخ فرکانس را مشخص و با فرض (ب) مقایسه کنید.



شکل (م ۷-۳۰)









## نوسان‌سازهای سینوسی

### مقدمه

در فصل‌های قبل مشخص شد که تقویت‌کننده‌ها با فیدبک منفی تحت شرایط خاص ناپایدار می‌شوند. ناپایداری به مفهوم آن است که مدار بدون سیگنال ورودی دارای خروجی است. شرط ناپایداری در این تقویت‌کننده‌ها قدر مطلق بهره حلقه بزرگتر و یا مساوی یک در زاویه فاز  $180^\circ \pm$  است. در این شرایط فیدبک منفی به مثبت تبدیل شده و خروجی تقویت‌کننده نوسانی می‌شود.

یک نوسان‌ساز سینوسی مداری است که بدون سیگنال ورودی، خروجی آن موج سینوسی با دامنه و فرکانس ثابت است. چنین نوساناتی در یک تقویت‌کننده با فیدبک مثبت نیز بدست می‌آید. در حقیقت فیدبک مثبت، سیگنال فیدبک مناسب از نظر دامنه و فاز برای شروع و ادامه نوسان در یک نوسان‌ساز را فراهم می‌آورد. گرچه در تقویت‌کننده‌ها وجود نوسانات ناخواسته مطلوب نیست، اما نوسان‌سازها خصوصاً برای ایجاد موج سینوسی با فرکانس و دامنه مشخص طراحی می‌شوند. در نتیجه هدف طراحی در یک تقویت‌کننده خطی و نوسان‌ساز کاملاً متفاوت است. غالباً نوسان‌سازها دارای ورودی برای تنظیم فرکانس و دامنه می‌باشند. هم چنین بعضی از نوسان‌سازهای پیشرفته دارای ورودی همزمان‌کننده نیز می‌باشند تا با سایر بخشهای مدار از جهت فاز هماهنگ باشند.

نوسان‌سازها در عمل دارای کاربردهای زیادی می‌باشند. در مدارهای رادیو، تلویزیون، کامپیوتر و بسیاری از سیستمهای مخابراتی مورد استفاده قرار می‌گیرند. در این فصل پس از بررسی اصول نوسان انواع مختلف نوسان‌سازها معرفی و محاسبات آنها انجام می‌شود.



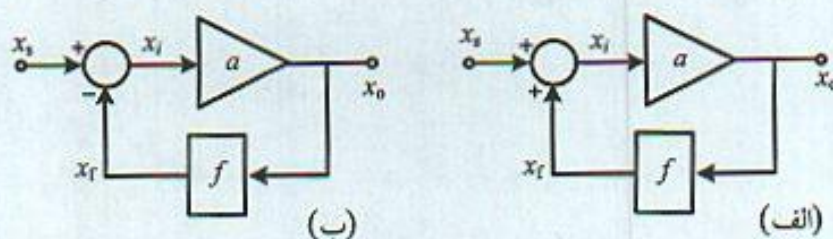
## ۸-۱ اصول نوسان در نوسان سازها

### ۸-۱-۱ شرایط نوسان

نوسان ساز تقویت کننده ای با فیدبک مثبت است. شکل (۸-۱ الف) و (ب) شمای کلی تقویت کننده با فیدبک مثبت و منفی را نشان می دهد. در این مدارها تابع انتقال مدار بسته  $A$  تقویت کننده و بهره حلقه  $T$ :

$$A = \frac{x_o}{x_i} = \frac{a}{1 \pm af}, \quad T = \pm af \quad (8-1)$$

می باشد. در روابط فوق علامت مثبت و منفی به ترتیب برای فیدبک منفی و مثبت است.



شکل ۸-۱ تقویت کننده با فیدبک: (الف) فیدبک منفی، (ب) فیدبک مثبت

چنانچه مخرج تابع انتقال مدار بسته در رابطه (۸-۱) صفر شود، مقدار بهره مدار بزرگ شده و با سیگنال ورودی با دامنه بسیار کوچک تقویت کننده می تواند دارای خروجی با دامنه قابل ملاحظه باشد. علاوه بر آن حتی اگر سیگنال ورودی صفر فرض شود، خروجی مخالف صفر خواهد بود. بنابراین تحت شرایط:

$$1 + T = 1 \pm af = 0 \Rightarrow af = +1 \text{ یا } -1 \quad (8-2)$$

مدار نوسانی شده و به نوسان ساز تبدیل می شود. به عبارت دیگر شرط نوسان در یک نوسان ساز از رابطه (۸-۳) بدست می آید.

$$|T| = |af| = 1 \text{ و } T = 0^\circ \text{ یا } 360^\circ \quad (8-3)$$

$$T = \pm 180^\circ \quad \text{فیدبک منفی}$$

این شرایط عموماً بنام شرایط برک هاوزن (Barkhausen) در نوسان سازها نامیده می شود. با توجه به مطالب فوق شرایط نوسان را در یک مدار می توان بشرح زیر خلاصه کرد:

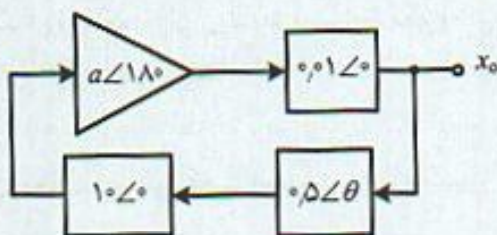
- مقدار بهره حلقه در فرکانس نوسان لازم است  $1$  باشد. این شرط در واقع شرط ادامه نوسان است.
- برای اطمینان از شروع نوسان لازم است در ابتدای کار بهره حلقه را کمی بزرگتر از  $1$  قرار داد. این شرط عموماً شرط شروع نوسان نامیده می شود.
- زاویه تابع انتقال بهره حلقه برای تقویت کننده با فیدبک مثبت  $0^\circ$  و یا  $360^\circ$  و برای فیدبک منفی  $\pm 180^\circ$  است.
- برای جلوگیری از ایجاد نوسان در سایر فرکانسها، شرایط نوسان نباید در فرکانسی جز فرکانس مورد نظر برقرار باشد. این شرط با انتخاب دقیق و مناسب عناصر مدار حاصل می شود.



- شرایط نوسان نباید حساسیتی به تغییرات ناخواسته قطعات و عناصر مدار در اثر عواملی مانند درجه حرارت، تولرانس، طول عمر و جایگزینی آنها داشته باشد. دستیابی به این خصوصیات نیاز به طراحی و انتخاب دقیق عناصر مدار را دارد.
- چنانچه تقویت‌کننده‌ای دارای بهره منفی است، لازم است مدار فیدبک  $180^\circ$  انتقال فاز را در مدار ایجاد نماید تا فاز بهره حلقه  $0^\circ$  شده و شرط نوسان برقرار شود. هم‌چنین اگر تقویت‌کننده با بهره مثبت است مدار فیدبک نباید انتقال فازی در مجموعه ایجاد نماید.
- شکل موج خروجی نوسان‌ساز بستگی به شرایط کار عناصر فعال مدار دارد. خروجی می‌تواند بصورت سینوسی، مربعی و مثلثی باشد. در این فصل نوسان‌سازهای سینوسی بررسی می‌شوند.

### مثال ۸-۱

شکل (۸-۲) شمای کلی یک نوسان‌ساز را نشان می‌دهد. با بررسی شرایط نوسان بهره تقویت‌کننده و زاویه فاز را مشخص کنید.



شکل ۸-۲ نوسان‌ساز مثال (۸-۱)

شرط نوسان با توجه به فیدبک مثبت موجود در نوسان‌ساز:

$$a \angle 180^\circ \times 0.1 \angle 0^\circ \times 0.5 \angle \theta^\circ \times 1 \angle 0^\circ = 1 \angle 360^\circ$$

با حل معادله فوق بهره تقویت‌کننده و انتقال فاز لازم برای ایجاد نوسان:

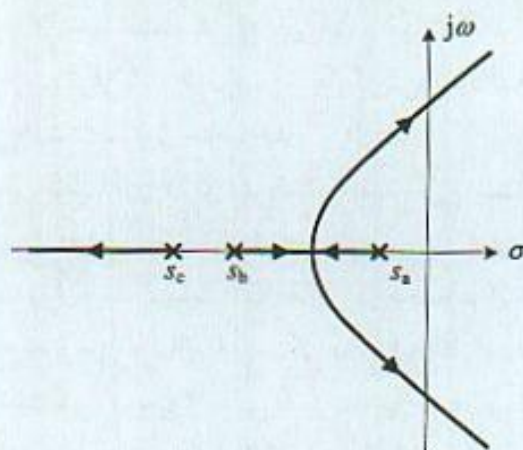
$$a = 20, \theta = 180^\circ$$

بدست می‌آیند.

### ۲-۱-۸ چگونگی ایجاد نوسان در نوسان‌سازها

ایجاد نوسان در مدارها را می‌توان با استفاده از مکان هندسی ریشه‌ها در صفحه  $s$  و یا بررسی در حوزه فرکانس انجام داد. در تقویت‌کننده با فیدبک منفی که تقویت‌کننده اصلی آن دارای سه قطب است مکان هندسی ریشه‌ها با تغییر فیدبک بصورت شکل (۸-۳) است. ملاحظه می‌شود به ازاء بعضی از مقادیر فیدبک مکان هندسی ریشه‌ها محور موهومی را قطع و به سمت راست صفحه  $s$  منتقل می‌شود. به ازاء مقدار فیدبک  $f_o(\max)$  قطب‌ها روی محور  $\omega$  قرار گرفته و مدار به نوسان‌ساز با فرکانس ثابت تبدیل می‌شود. چنانچه مقدار فیدبک از  $f_o(\max)$  کمتر باشد قطب‌ها سمت چپ صفحه مدار پایدار و غیر نوسانی است. در حالتی که فیدبک بیش از  $f_o(\max)$  قرار داده شود قطب‌ها در سمت راست صفحه  $s$  قرار گرفته و قسمت حقیقی آنها





شکل ۸-۳ مکان هندسی  
ریشه های تقویت کننده فیدبک منفی با  
تقویت کننده اصلی شامل سه قطب

مثبت خواهد بود. در این شرایط در خروجی نوساناتی به وجود می آید که دامنه آن مرتباً در حال افزایش است. با توجه به شرایط غیر خطی عناصر فعال که با افزایش دامنه بهره آنها کم می شود پس از مدت کوتاهی با توجه به کاهش بهره، قطب های تقویت کننده به سمت چپ حرکت نموده و در نهایت روی محور موهومی قرار می گیرند. لازم به ذکر است چنانچه مقدار فیدبک خیلی زیاد باشد شرایط قطع و اشباع عناصر فعال مدار نیز باعث محدود شدن خروجی و تولید سیگنال مربعی می شود.

با توجه به مطالب فوق می توان گفت در صفحه مختلط  $s$  شرط ادامه نوسان آن است که قطب ها روی محور  $j\omega$  قرار گیرند. شرط شروع نوسان معادل آن است که در لحظات اولیه قطب ها دارای بخش حقیقی مثبت و در سمت راست صفحه  $s$  واقع شده باشند.

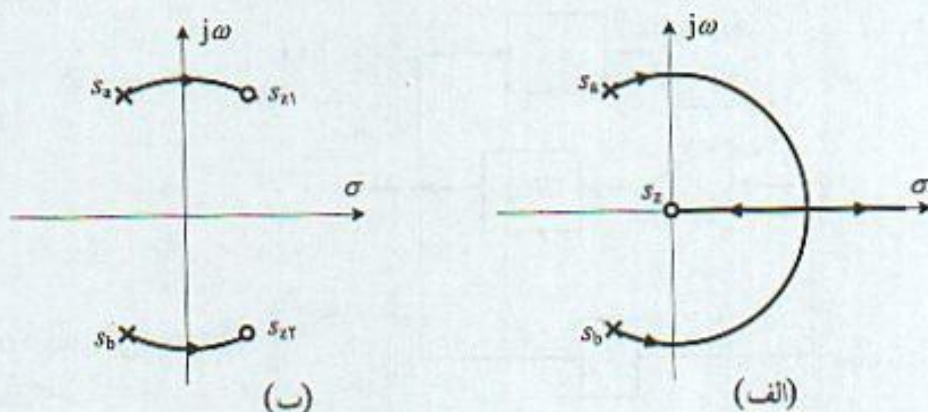
یک اشکال مهم در طرح نوسان سازی با مکان هندسی ریشه ها بصورت شکل (۸-۳) آن است که اولاً با توجه به اینکه قطب های تقویت کننده اصلی به خازن های داخلی عناصر فعال بستگی دارد کنترل دقیق فرکانس نوسانات وجود ندارد. ثانیاً مدار حساس به مقدار فیدبک است و تغییرات جزئی در  $\beta$  و یا بهره تقویت کننده اصلی تغییرات زیادی در مکان قطب ها را سبب می شود.

ساده ترین روش برای حل مشکلات فوق آن است که از مداری استفاده شود که مکان قطب های آن با تغییر فیدبک بصورت شکل (۸-۴ الف) باشد. در این حالت عبارت بهره حلقه شامل دو قطب مختلط و یک صفر در  $s = 0$  است. با تقریب خوب می توان گفت فرکانس نوسان بخش موهومی قطب های اولیه مدار است که می توان با انتخاب مناسب عناصر مدار به آسانی آن را کنترل نمود. با اعمال فیدبک مختصری در مدار، قطب ها روی محور  $j\omega$  قرار گرفته و نوساناتی با فرکانس مورد نظر بوجود می آید. علاوه بر آن برای اینکه حساسیت مدار به مقدار فیدبک کم شود بهتر است از مداری استفاده کرد که دارای مکان قطب ها بصورت شکل (۸-۴ ب) باشد. این مکان هندسی مربوط به نوسان ساز پل میچم (Meacham Bridge) است که از پایداری فرکانس بسیار خوبی برخوردار است و در بخش های بعد مورد بحث و بررسی قرار می گیرد.

### ۸-۱-۳ پایداری فرکانس نوسان

فرکانس نوسانات یک نوسان ساز بستگی به عناصر مدار دارد و ممکن است در اثر عواملی ناخواسته مانند درجه حرارت، طول عمر قطعات، تعویض آنها و عناصر اضافی (parasitic) تغییراتی داشته باشد. هر چه





شکل ۴-۸ مکان هندسی ریشه‌های تقویت‌کننده فیدبک: (الف) ۲ قطب مختلط و یک صفر، (ب) دو قطب مختلط در سمت چپ

میزان تغییرات فرکانس نوسانات کمتر باشد گفته می‌شود نوسان‌ساز پایداری فرکانسی بهتری را دارا است. معیاری که عموماً برای بیان پایداری فرکانس نوسان‌ساز بکار می‌رود تغییرات فاز بهره حلقه نسبت به فرکانس در فرکانس نوسان است. این مشخصه با  $S_F$  نشان داده شده و با رابطه (۴-۸) تعریف می‌شود.

$$S_F = \left| \frac{d\psi}{d\omega} \right|_{\omega = \omega_0}, \quad \psi(\omega) = \angle H(j\omega) \quad (4-8)$$

$H(j\omega)$  پاسخ فرکانس مدار فیدبک است. چنانچه فاز مربوط به تقویت‌کننده  $\theta$  فرض شود در اینصورت لازم است فاز تابع انتقال مدار فیدبک  $H(j\omega)$  برابر  $2\pi - \theta$  باشد تا شرط نوسان برقرار باشد. حال اگر در اثر عوامل ناخواسته‌ای فاز مربوط به تقویت‌کننده به اندازه  $d\theta$  تغییر یابد فرکانس نوسان باید چنان تغییر نماید که فاز ناشی از شبکه فیدبک مساوی  $2\pi - d\theta$  شود. پس چنانچه شیب منحنی فاز شبکه فیدبک در فرکانس نوسان  $m$  فرض شود:

$$m = \left| \frac{d\psi}{d\omega} \right|_{\omega = \omega_0}$$

بنابراین برای تغییر فاز  $\pm d\theta$  در عبارت فاز  $H(j\omega)$  و در فرکانس نوسان  $\omega_0$ :

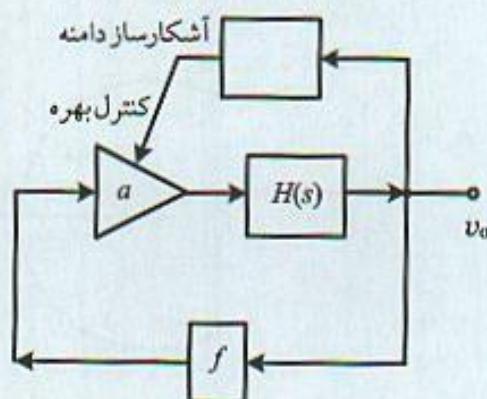
$$\frac{1}{m} = \left| \frac{d\psi}{d\theta} \right|_{\omega = \omega_0} \quad (5-8)$$

رابطه (۵-۸) مبین آن است که برای پایداری هر چه بیشتر فرکانس نوسانات لازم است  $m$ ، مشتق فاز تابع انتقال شبکه فیدبک بزرگ باشد.

#### ۴-۱-۸ پایداری دامنه نوسانات

دامنه نوسانات خروجی نوسان‌ساز مانند فرکانس تغییر می‌کند. بهره تقویت‌کننده در اثر عوامل ناخواسته دچار تغییراتی شده و بنابراین مقدار بهره حلقه نوسان‌ساز نیز تغییر می‌یابد. اگر بهره تقویت‌کننده خیلی کم





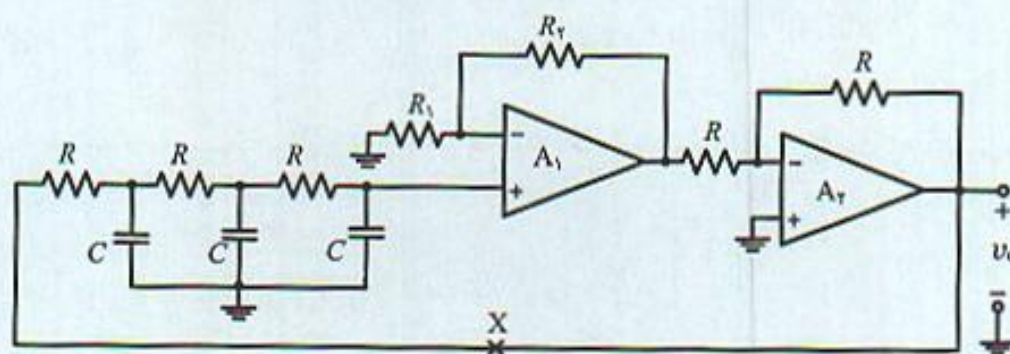
شکل ۵-۸ شمای کلی نوسان ساز با  
تثبیت دامنه و فرکانس

شود ممکن است شرط ادامه نوسان بهم خورده و نوسان قطع شود. از طرف دیگر افزایش بهره تقویت کننده باعث زیاد شدن دامنه خروجی نوسان ساز می شود. برای بدست آوردن نوساناتی با دامنه ثابت لازم است بهره تقویت کننده تابعی از دامنه نوسانات باشد بطوریکه در دامنه های زیاد بهره کم و برعکس بهره در دامنه های کم زیاد باشد. با توجه به این بحث، شمای کلی نوسان ساز را می توان بصورت شکل (۵-۸) در نظر گرفت که در آن شبکه با تابع انتقال  $H(s)$  مشخص کننده فرکانس نوسان و مدار نمونه بردار دامنه برای کنترل بهره تقویت کننده بکار رفته است.

## ۲-۸ نوسان سازهای انتقال فاز

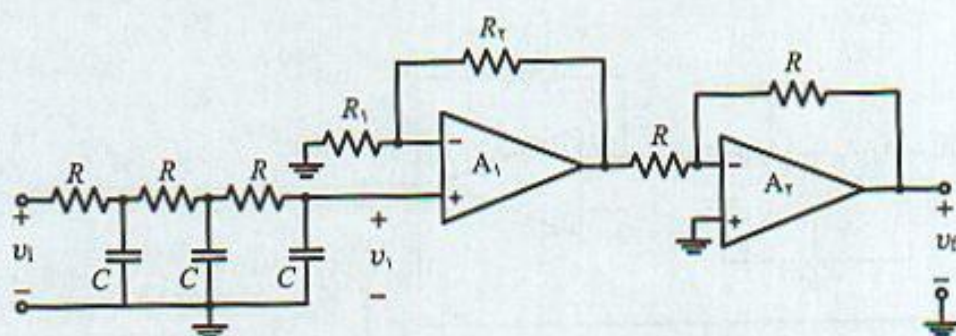
### ۱-۲-۸ نوسان ساز انتقال فاز با تقویت کننده عملیاتی

نوسان سازهای انتقال فاز (phase shift) از مدار  $RC$  به عنوان مدار فیدبک تشکیل می شود تا انتقال فاز لازم برای شرایط نوسان را فراهم سازد. تقویت کننده را می توان از نوع معکوس کننده با بهره منفی انتخاب نمود. در این صورت لازم است مدار  $RC$  فاز  $180^\circ$  داشته باشد تا شرط نوسان برقرار باشد. چنانچه تقویت کننده بکار رفته غیر معکوس کننده باشد در این صورت انتقال فازی از مدار فیدبک مورد نیاز نیست. شکل (۶-۸) یک نوسان ساز با دو تقویت کننده عملیاتی را نشان می دهد. تقویت کننده اول از نوع غیر معکوس کننده با بهره  $1 + R_2/R_1$  و تقویت کننده دوم معکوس کننده با بهره واحد است. برای بررسی شرایط نوسان در مدار،



شکل ۶-۸ نوسان ساز انتقال فاز با دو تقویت کننده عملیاتی





شکل ۷-۸ مدار معادل حلقه باز شده نوسان‌ساز شکل ۶-۸

حلقه فیدبک از نقطه مناسب (نقطه X) باز نموده و عبارت بهره حلقه مدار محاسبه می‌شود. شکل (۷-۸) مدار معادل نوسان‌ساز که حلقه فیدبک آن باز شده است را نشان می‌دهد. باید در نظر داشت در انجام این کار لازم است اثر بارگذاری تقویت‌کننده را بر مدار نیز در نظر گرفت که در مورد این مدار با توجه به اینکه مقاومت ورودی تقویت‌کننده زیاد است از این اثر صرف‌نظر شده است. در مورد این نوسان‌ساز عبارت بهره حلقه:

$$T(s) = \frac{V_t}{V_i} = \frac{-a_0}{1 + 6RCs + 5(RCs)^2 + (RCs)^3}, \quad a_0 = 1 + R_f / R_1 \quad (\text{الف ۶-۸})$$

بهره حلقه حاصلضرب سه عبارت مربوط به بهره تقویت‌کننده‌های عملیاتی و تابع انتقال مدار انتقال فاز است. در فرکانس نوسان  $\omega_0$ :

$$T(j\omega_0) = \frac{-a_0}{1 - 5(RC\omega_0)^2 + j6RC\omega_0 - j(\omega_0 RC)^3} \quad (\text{ب ۶-۸})$$

شرط نوسان در مورد این مدار:

$$\text{Im} [T(j\omega_0)] = 0 \Rightarrow 6RC\omega_0 - (RC\omega_0)^3 = 0 \Rightarrow \omega_0 = \frac{\sqrt{6}}{RC} \quad (\text{الف ۷-۸})$$

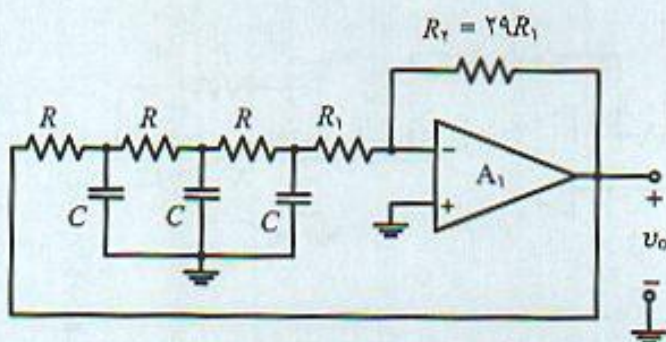
$$|T(j\omega_0)| = 1 \Rightarrow a_0 = 29 \quad (\text{ب ۷-۸})$$

بنابراین تقویت‌کننده عملیاتی اول باید دارای بهره ۲۹ + باشد تا نوسانات در فرکانس محاسبه شده بوجود آید. برای این کار لازم است  $R_f = 29R_1$  انتخاب شود.

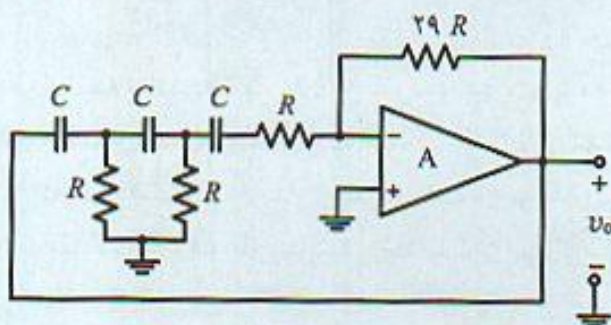
با ترکیب دو تقویت‌کننده عملیاتی در مدار شکل (۶-۸) می‌توان مداری با یک تقویت‌کننده عملیاتی بدست آورد که در شکل (۸-۸) نشان داده شده است. می‌توان نشان داد با فرض  $R \gg R_1$ ، شرایط نوسان در این مدار نیز مشابه مدار شکل (۶-۸) و با همان فرکانس برقرار است.

مسئله بارگذاری در نوسان‌ساز شکل (۸-۸) را می‌توان با عوض نمودن محل مقاومتها و خازنها حل نمود. مدار حاصل در شکل (۹-۸) نشان داده شده است. در مورد این مدار می‌توان نشان داد که بهره لازم تقویت‌کننده و فرکانس نوسانات از رابطه (۸-۸) بدست می‌آید.





شکل ۸-۸ نوسان‌ساز انتقال فاز با یک تقویت‌کننده عملیاتی



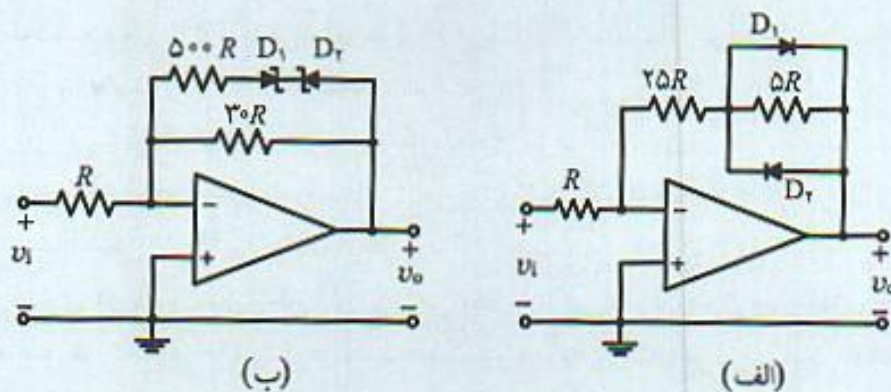
شکل ۸-۹ نوسان‌ساز انتقال فاز با تقویت‌کننده عملیاتی و حذف اثر بارگذاری

$$a_o = -29, \quad \omega_o = \frac{1}{RC\sqrt{6}} \quad (8-8)$$

اثبات رابطه (۸-۸) به عنوان تمرین در انتهای فصل بعیده دانشجویان واگذار می‌شود.

### ۸-۲-۲ محدود کردن دامنه نوسان

مهمترین اشکال نوسان‌سازهای مطرح شده در بخش قبل آن است که روشی برای محدود کردن دامنه خروجی وجود ندارد. چنانچه بهره تقویت‌کننده بیش از ۲۹ شود دامنه خروجی تا حد اشباع طبقات خروجی آپ-امپ افزایش خواهد داشت. چنانچه بهره از مقدار فوق کمتر شود مدار نوسانی نخواهد داشت. برای حل مشکل فوق می‌توان از مدارهای شکل (۸-۱۰) استفاده نمود. در این مدار با افزایش دامنه نوسانات، به

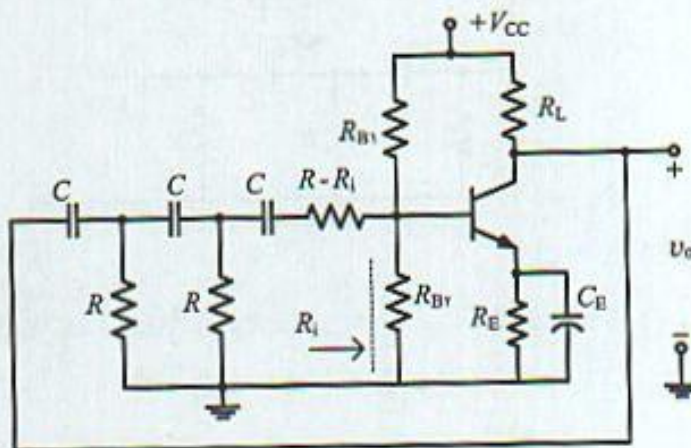


شکل ۸-۱۰ تقویت‌کننده با عناصر غیر خطی جهت محدود شدن دامنه نوسان



علت وجود عناصر غیر خطی، دیود زنر در مدار فیدبک، بهره تقویت‌کننده کم شده و دامنه ولتاژ خروجی محدود می‌شود. در مدار شکل (۸-۱۰ الف) وقتی دیودها قطع هستند بهره مدار ۳۰ - است. با وصل شدن هریک از آنها، در نیم سیکل مثبت و منفی، بهره به ۲۵ - خواهد رسید. در مدار (۸-۱۰ ب) نیز حداقل و حداکثر بهره به ترتیب ۲۸٫۳ - و ۳۰ - می‌باشد. البته باید توجه داشت استفاده از عناصر غیر خطی باعث افزایش هارمونیک‌های بالاتر در خروجی می‌شود.

هم‌چنین با استفاده از ترانزیستورهای BJT که دارای خاصیت خود محدودکنندگی (self limit) هستند می‌توان نوسان‌سازی با دامنه پایدار بدست آورد. بررسی شرایط غیر خطی و سیگنال بزرگ (large signal) نشان می‌دهد بهره این عناصر در شرایط بایاس معمول، با افزایش دامنه سیگنال ورودی کم می‌شود. شکل (۸-۱۱) نوسان‌ساز انتقال فاز با عناصر BJT را نشان می‌دهد.



شکل ۸-۱۱ نوسان‌ساز انتقال فاز  
با ترانزیستورهای BJT

علاوه بر روشهای فوق که مبتنی بر محدود کردن دامنه نوسانات با استفاده از شرایط غیر خطی عناصر فعال است، می‌توان از روشهای دیگری مانند مقامتهای حساس به درجه حرارت برای کنترل بهره استفاده کرد. از مهمترین این عناصر می‌توان:

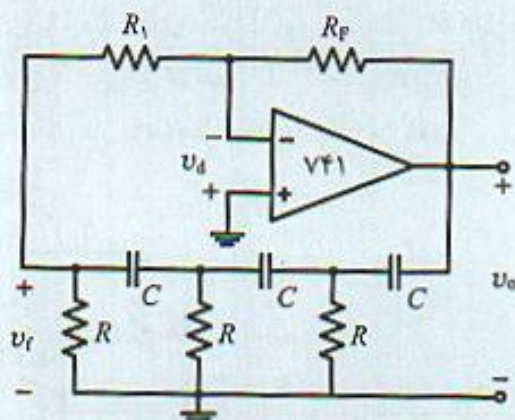
- ترمیستور، مقاوت حرارتی با ضریب مثبت
- سنسیتور، مقاوت حرارتی با ضریب مثبت
- لامپ‌های حرارتی با ولتاژ کم، مقاوت حرارتی با ضریب مثبت

نام برد. نکته مهمی که در استفاده از عناصر مقاوتی حساس به درجه حرارت باید در نظر گرفت آن است که پس از تثبیت دامنه نوسانات خروجی، توان مصرفی در مقاوت ثابت مانده و درجه حرارت آن نیز ثابت است. در نتیجه در حالت دائمی و در شرایط پایدار نوسان هیچ عنصر غیر خطی در مدار وجود ندارد و به این ترتیب سیگنال خروجی فاقد هارمونیک‌های اضافی و به بیان دیگر دارای حداقل اعوجاج است. علاوه بر آن این عناصر دارای ثابت زمانی حرارتی (thermal time constant) می‌باشند که نشان‌دهنده سرعت تغییر درجه حرارت عنصر در زمان تغییر جریان و یا توان مصرفی آنهاست. این ثابت زمانی عامل محدودکننده برای تغییر سریع فرکانس و دامنه خروجی نوسان‌کننده می‌باشد.



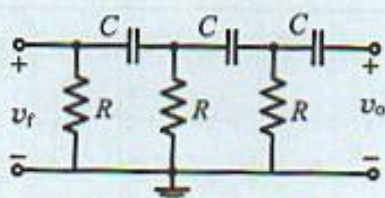
## مثال ۸-۲

- شکل (۸-۱۲) نوسان‌ساز انتقال فاز با تقویت‌کننده عملیاتی را نشان می‌دهد.  
الف) شرایط نوسان را در مورد مدار بررسی و فرکانس نوسانات را مشخص کنید.  
ب) عناصر مدار را برای فرکانس  $400 \text{ Hz}$  تعیین نمایید.  $C_1 = 0.1 \mu\text{F}$   
ج) مدار را با استفاده از نرم‌افزار spice و با منبع تغذیه  $15 \text{ V}$  بررسی و فرکانس نوسانات را مشخص کنید.



شکل ۸-۱۲ نوسان‌ساز مثال  
(۸-۲)

- الف) در این نوسان‌ساز با صرف‌نظر از اثر بارگذاری مقاومت  $R_1$  عبارت تابع انتقال مدار فیدبک که در شکل (۸-۱۳) نشان داده شده است:



شکل ۸-۱۳ مدار فیدبک  
نوسان‌ساز شکل (۸-۱۱)

$$f(s) = \frac{(RCs)^3}{(RCs)^3 + 6(RCs)^2 + 5RCs + 1}$$

با توجه به تقویت‌کننده بکار رفته بصورت معکوس‌کننده، عبارت بهره حلقه در فرکانس نوسان:

$$T(j\omega_0) = \frac{R_F}{R_1} \frac{(RC\omega_0)^3}{-j(RC\omega_0)^3 + 6(RC\omega_0)^2 + j5RC\omega_0 + 1}$$

بررسی شرایط نوسان یا توجه به عبارت بهره حلقه نشان می‌دهد:

$$\omega_0 = \frac{1}{RC\sqrt{6}}$$

- ب) برای اینکه نوسان‌سازی با فرکانس  $400 \text{ Hz}$  طراحی شود، با خازن انتخاب شده:



$$C = 0.1 \mu F, \quad R = \frac{1}{2\pi\sqrt{6}f_0 C} = 1624 \Omega \Rightarrow R = 1.7 k\Omega$$

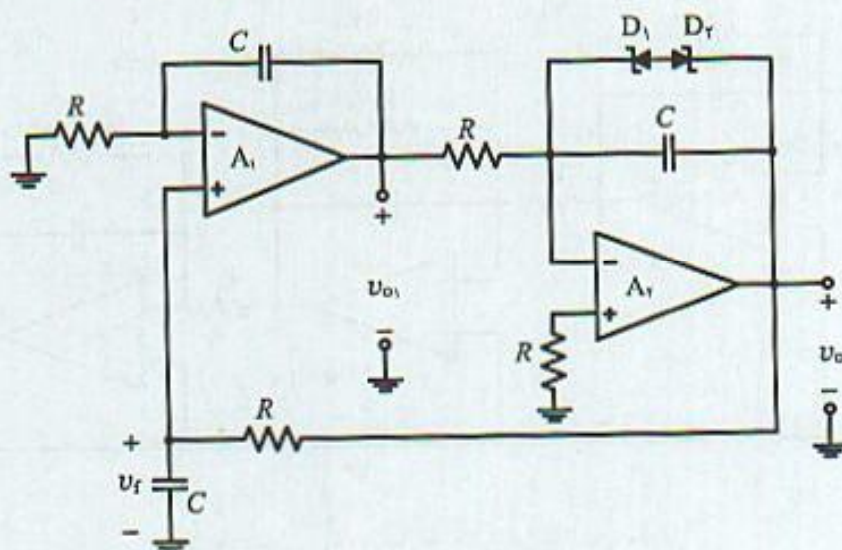
و برای اینکه مقاومت  $R_1$  اثر بار گذاری نداشته باشد:

$$R_1 \geq 10R = 17 k\Omega, \quad \frac{R_F}{R_1} = 29 \Rightarrow R_F = 17 \times 29 = 493 k\Omega$$

ج) بررسی مدار با مقادیر انتخاب شده عناصر موجود توسط نرم افزار spice نشان می‌دهد نوساناتی با فرکانس ۴۱۰ Hz با دامنه ۱۳.۴۳ V(P-P) وجود می‌آید.

### ۳-۲-۸ نوسان‌ساز quadrature

نوسان‌ساز با خروجی متعامد (quadrature) دارای دو خروجی با اختلاف فاز  $90^\circ$  است و در شکل (۸-۱۴) نشان داده شده است. در این مدار شبکه فیدبک شامل یک مقاومت و خازن با تابع انتقال:



شکل ۸-۱۴ نوسان‌ساز quadrature با دو خروجی متعامد و تثبیت دامنه خروجی

$$f(s) = \frac{V_f}{V_o} = \frac{1}{1 + RCs} \quad (۹-۸)$$

است. هم‌چنین با باز کردن حلقه فیدبک در یک نقطه مناسب می‌توان بهره حلقه مدار را بدست آورد. بهره حلقه حاصل ضرب سه تابع انتقال مربوط به تقویت‌کننده عملیاتی ۱ (غیر معکوس‌کننده) و شبکه فیدبک می‌باشد. تابع انتقال بهره حلقه نوسان‌ساز:

$$T(s) = A_1(s) A_2(s) f(s) = \left(1 + \frac{1}{RCs}\right) \left(-\frac{1}{RCs}\right) \left(\frac{1}{1 + RCs}\right) = -\frac{1}{(RCs)^2} \quad (۱۰-۸)$$

شرایط نوسان در مورد این نوسان‌ساز:

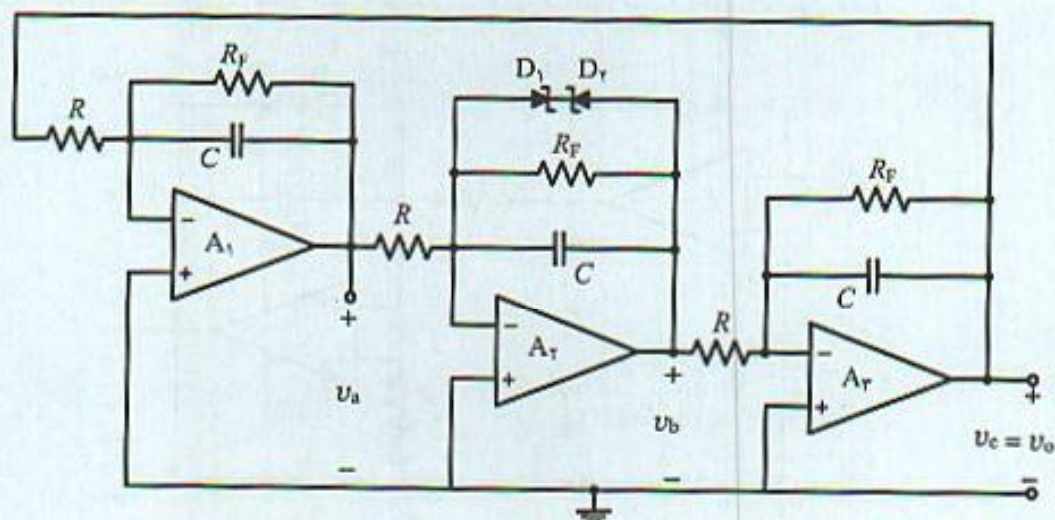


$$T(j\omega_0) = \frac{1}{(RC\omega_0)^2}, \quad |T(j\omega_0)| = 1 \Rightarrow \omega_0 = \frac{1}{RC} \quad (11-8)$$

توجه شود فاز بهره حلقه ثابت و در تمام فرکانسها برابر  $0^\circ$  است. چنانچه خروجی یکی از تقویت کننده ها به صورت سینوسی در نظر گرفته شود خروجی آپ-امپ دیگر نیز سینوسی با  $90^\circ$  اختلاف فاز نسبت به آپ-امپ اول خواهد بود.

#### ۴-۲-۸ نوسان ساز سه فاز

نوسان ساز سه فاز (three phase) با سه خروجی و با دامنه های مساوی با اختلاف فاز  $120^\circ$  نسبت به هم در شکل (۸-۱۵) ملاحظه می شود. از این نوسان ساز برای تولید سیگنالهای کنترل در سیستم های قدرت استفاده می شود. این نوسان ساز از سه مدار انتگرال گیر یا تلفات (lossy integrator) تشکیل شده که تابع انتقال هر مدار:



شکل ۸-۱۵ نوسان ساز سه فاز با تقویت کننده عملیاتی

$$A_1(s) = \frac{-R_F \| 1/Cs}{R} = \frac{-R_F/R}{1 + R_F C s} \quad (12-8)$$

است. در این نوسان ساز ضریب فیدبک "۱" است بنابراین بهره حلقه:

$$T(s) = \frac{-(R_F/R)^3}{(1 + R_F C s)^3} = \frac{-(R_F/R)^3}{(R_F C s)^3 + 3(R_F C s)^2 + 3(R_F C s) + 1} \quad (13-8)$$

و معادله مشخصه تابع انتقال مدار با حلقه بسته:

$$1 + T(s) = 0 \Rightarrow (R_F C s)^3 + 3(R_F C s)^2 + 3(R_F C s) + 1 + (R_F/R)^3 = 0 \quad (14-8)$$

است. برای ایجاد نوسان در مدار لازم است قطب های تقویت کننده مدار بسته روی محور موهومی واقع



شوند. با قرار دادن  $s = j\omega$  در رابطه (۱۸-۴) شرایط نوسان بدست می آید. می توان نشان داد:

$$\omega_0 = \frac{\sqrt{3}}{R_F C}, \quad \frac{R_F}{R} = 2 \quad (15-8)$$

با شرایط بدست آمده در رابطه (۱۵-۸) تابع انتقال هر یک از مدارهای انتگرال گیر:

$$A_1(j\omega) = \frac{-2}{1 + j\sqrt{3}} = 1 \angle 120^\circ \quad (16-8)$$

خواهد بود. بنابراین اگر ولتاژ خروجی تقویت کننده عملیاتی اول با فاز صفر به عنوان مبنا در نظر گرفته شود، در این صورت ولتاژ تمام نقاط مدار:

$$v_a(t) = V_m \sin(\omega_0 t)$$

$$v_b(t) = V_m \sin(\omega_0 t + 120^\circ)$$

$$v_c(t) = V_m \sin(\omega_0 t + 240^\circ)$$

می باشند. برای پایداری دامنه خروجی می توان از دیویدهای زبر بصورت شکل (۱۶-۸) استفاده نمود.

## ۵-۲-۸ نوسان ساز پل وین

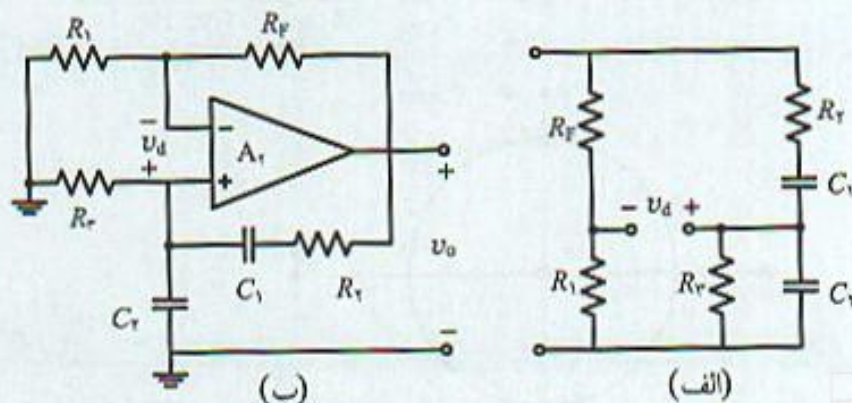
نوسان ساز پل وین (Wien bridge) از مهم ترین مدارهایی است که در عمل در تولید سیگنالهای سینوسی در فرکانس های صوتی مورد استفاده فراوان قرار گرفته است. اساس این نوسان ساز بر مدار پل است که در شکل (۱۶-۸ الف) نشان داده شده است و معمولاً در اندازه گیری مقاومت و خازن بکار می رود. با تنظیم عناصر مدار برای اختلاف ولتاژ  $v_d = 0$ ، مقدار عنصر مجهول از رابطه (۱۷-۸) بدست می آید.

$$\frac{R_F}{R_F} + \frac{C_F}{C_1} = \frac{R_F}{R_1} \quad (17-8)$$

چنانچه یک تقویت کننده عملیاتی به این پل اندازه گیری مانند شکل (۱۶-۸ ب) اضافه شود این نوع نوسان ساز بدست می آید. در این مدار تقویت کننده به صورت غیر معکوس کننده و عناصر مدار مقادیر:

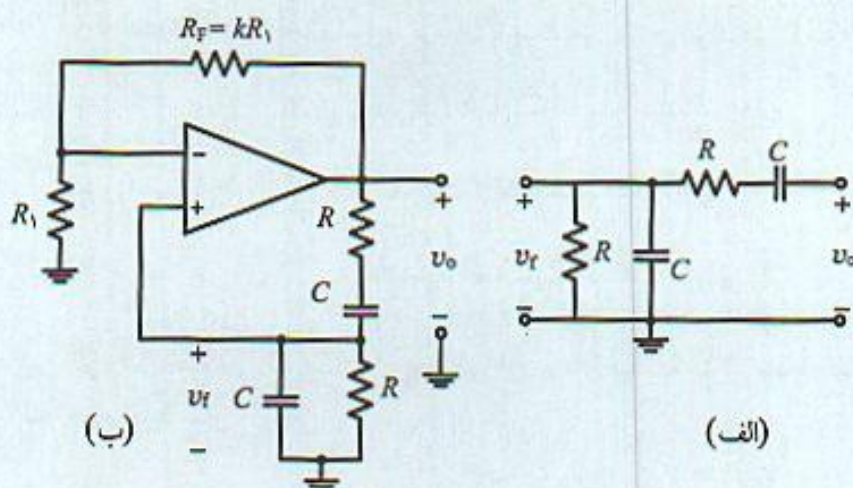
$$R_F = R_F = R, \quad C_1 = C_F = C$$

انتخاب می شوند.



شکل ۱۶-۸ الف) پل اندازه گیری پل وین، ب) نوسان ساز پل وین





شکل ۸-۱۷ نوسان ساز پل وین با حلقه فیدبک باز شده

برای بررسی شرایط نوسان در مدار، حلقه فیدبک را از نقطه مناسب باز نموده و از مدار معادل شکل (۸-۱۸) عبارت بهره حلقه محاسبه می شود. با توجه به بهره تقویت کننده عملیاتی و امپدانس خروجی بسیار کم آن:

$$T(s) = \frac{V_f}{V_i} = \frac{V_f}{V_o} \frac{V_o}{V_i} = \frac{Z_1}{Z_1 + Z_f} (1 + k)$$

رابطه فوق را می توان بر حسب ادمیتانس  $Y_1$  نوشت:

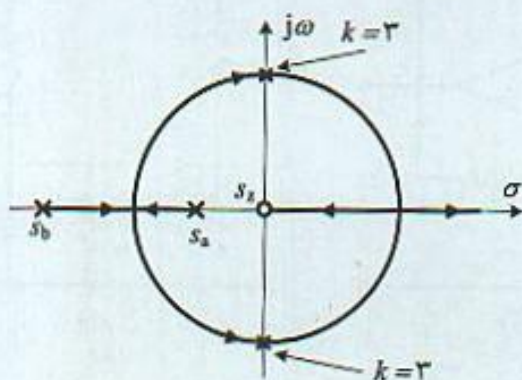
$$T(s) = \frac{V_f}{V_i} = \frac{1}{1 + Y_1 Z_f} (1 + k)$$

با توجه به مقادیر  $Z_1$  و  $Z_f$  تابع انتقال بهره حلقه:

$$T(s) = (1 + k) \frac{RCs}{(RCs)^2 + 3RCs + 1} \quad (8-18)$$

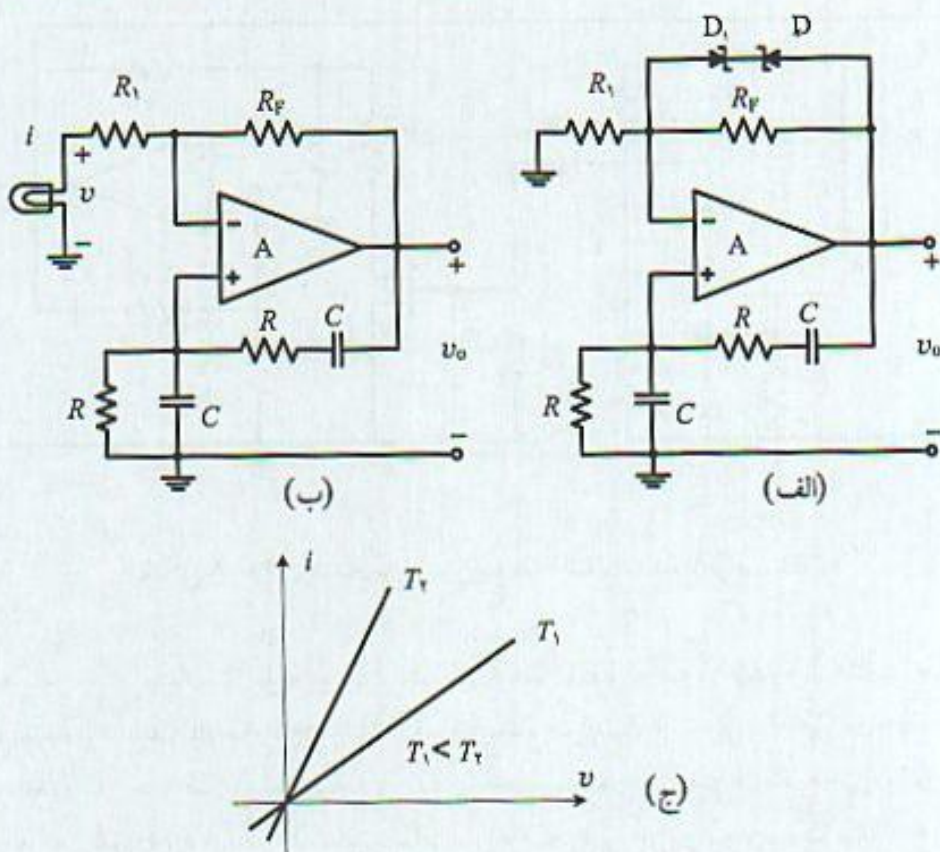
و شرط نوسان در مورد این نوسان ساز با توجه به فیدبک مثبت موجود در مدار:

$$1 - T(s) = 0 \Rightarrow T(s) = (1 + k) \frac{RCs}{(RCs)^2 + 3RCs + 1} = 1 \quad (8-19)$$



شکل ۸-۱۸ مکان هندسی ریشه های نوسان ساز پل وین با تغییر  $k$





شکل ۸-۱۹ الف) نوسان‌ساز پل وین با دامنه تثبیت شده؛ الف) با دیود، ب) با لامپ ولتاژ پایین، ج) مشخصه حرارتی لامپ ولتاژ

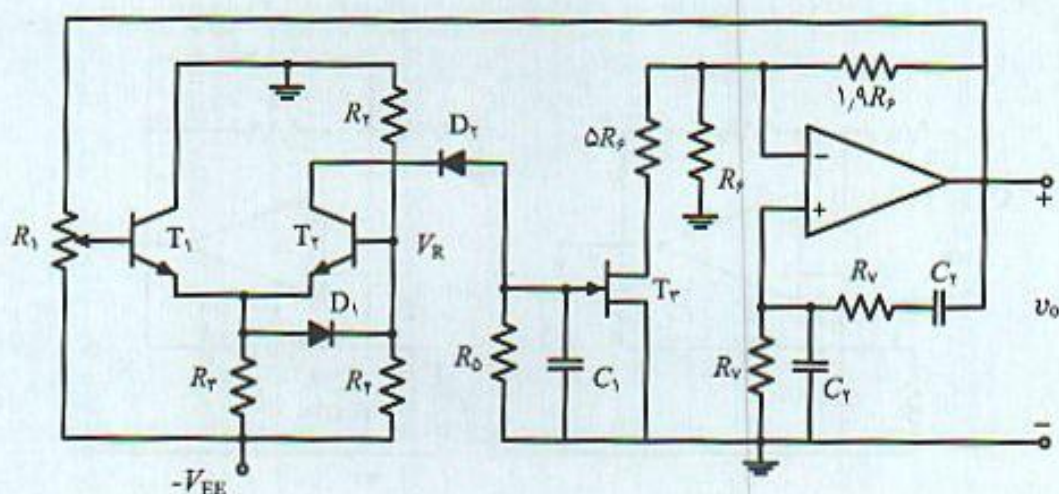
با قراردادن  $s = j\omega$  در رابطه (۸-۱۹) دو رابطه بدست می‌آید که از یکی فرکانس نوسان و از دیگری شرایط لازم در تقویت‌کننده برای ایجاد نوسان مشخص می‌شود. نتایج در رابطه (۸-۲۰) خلاصه شده است.

$$\omega_0 = \frac{1}{RC}, \quad k = 2, \quad \frac{R_F}{R_1} = 2 \quad (۸-۲۰)$$

با توجه به اینکه تابع انتقال بهره حلقه مدار دارای یک صفر در  $s = 0$  و دو قطب است مکان هندسی ریشه‌ها با فرض حقیقی بودن قطب‌های تابع انتقال بهره حلقه بصورت شکل (۸-۱۸) خواهد بود. این مکان محور  $j\omega$  را به ازاء  $k = 3$  قطع و شرایط ایجاد نوسان فراهم می‌شود.

برای دست‌یابی به پایداری دامنه می‌توان از دیود زنر استفاده نمود که در شکل (۸-۱۹ الف) نشان داده شده است. هم‌چنین با کمک لامپ ولتاژ پایین و یا ترمیستور به صورت شکل (۸-۱۹ ب) می‌توان دامنه نوسانات خروجی را تثبیت نمود. مشخصه نمونه یک لامپ در شکل (۸-۱۹ ج) نشان داده شده است که در درجه حرارت‌های پایین مقاومت کمی دارد و با افزایش درجه حرارت مقاومت آن زیاد می‌شود. بنابراین چنانچه ولتاژ خروجی نوسان‌ساز افزایش یابد، جریان لامپ زیاد شده و مقدار مقاومت آن زیاد می‌شود که این امر سبب کاهش بهره آب-امپ شده دامنه ولتاژ خروجی را کاهش می‌دهد. به عبارت دیگر فیدبک منفی موجود در مدار باعث تثبیت دامنه خروجی می‌شود.





شکل ۸-۲۰ نوسان‌ساز پل وین با تثبیت دامنه با استفاده از عناصر FET

نمونه کامل‌تر از نوسان‌ساز پل وین، با استفاده از عنصر FET به عنوان مقاومت متغیر جهت کنترل اتوماتیک بهره (Automatic Gain Control) تقویت‌کننده عملیاتی، در شکل (۸-۲۰) ملاحظه می‌شود. در این مدار دامنه ولتاژ خروجی با ولتاژ مرجع  $V_R$  مقایسه می‌شود. در دامنه‌های کم خروجی، ولتاژ بیس  $T_1$  از ولتاژ مرجع کمتر نمی‌شود و  $T_2$  قطع است. با افزایش دامنه خروجی و به ازاء یک مقدار خاص از آن، خروجی به حدی می‌رسد که در پیک منفی آن  $T_1$  قطع شده و  $T_2$  شروع به هدایت می‌کند. جریان کلکتور  $T_2$ ، خازن  $C_1$  را شارژ و ولتاژ گیت ترانزیستور  $T_2$  افزایش می‌یابد. مقاومت بین سورس و درین ترانزیستور FET زیاد خواهد شد و این امر باعث کاهش بهره تقویت‌کننده عملیاتی و تثبیت دامنه خروجی می‌شود. پتانسیومتر  $R_1$  در مدار دامنه نوسانات خروجی را مشخص می‌کند. البته باید توجه داشت با تغییر  $R_1$  دامنه خروجی سریع‌تر به حالت دائمی نمی‌رسد بلکه پس از تاخیر زمانی نسبتاً طولانی که به ثابت زمانیهای  $R_2C_1$  و  $R_5C_1$  بستگی دارد به حالت دائمی می‌رسد. انتخاب این دو ثابت زمانی مهمترین مسئله در طراحی مدار است. ثابت زمانی‌های کوچک پاسخ مدار به تغییرات را سریع‌تر می‌کند اما از طرف دیگر اعوجاج سیگنال خروجی را افزایش می‌دهد. این اعوجاج ناشی از تخلیه خازن  $C_1$  در زمانی است که ترانزیستور  $T_1$  قطع است. هم‌چنین اگر این ثابت زمانیها بزرگ انتخاب شوند اعوجاج کم ولی پاسخ مدار به تغییرات کند خواهد شد.

### مثال ۸-۳

الف) یک نوسان‌ساز پل وین در فرکانس ۱ kHz طراحی کنید.  
ب) مدار طرح شده را با نرم‌افزار spice بررسی و دامنه خروجی و فرکانس نوسانات را مشخص کنید.  
آب-امپ بکار رفته را ۷۴۱ و با منبع تغذیه ۱۲ ولتی در نظر بگیرید.

الف) با انتخاب خازن:

$$C = 0.01 \mu F, \quad \omega_0 = \frac{1}{RC} \Rightarrow R = \frac{1}{2\pi \times 10^3 \times 0.01 \times 10^{-6}} = 15915 \Omega$$



با انتخاب مقاومت  $R_1 = 10 \text{ k}\Omega$ :

$$R_T = 2R_1 = 20 \text{ k}\Omega$$

ب) مدار طراحی شده توسط نرم افزار spice بررسی و نتایج بدست آمده نشان می دهد فرکانس نوسانات ۹۷۸ Hz با دامنه خروجی ۱۱/۹۱ V(P-P) است.

### ۳-۸ نوسان سازهای LC

نوسان سازهای RC که در بخش های قبل مورد بحث و بررسی قرار گرفت حداکثر توافرکانس ۱۰۰ kHz قابل استفاده هستند. البته محدودیت پاسخ فرکانس تقویت کننده عملیاتی بکار رفته در مدار را نیز باید در نظر داشت. اما شاید مهم ترین اشکال نوسان کننده های RC آن است که مدار فیدبک بکار رفته نسبت به فرکانس تغییرات زیادی ندارد. به عنوان نمونه ممکن است برای مداری در طول یک اکتاو (octave) فرکانسی پاسخ فرکانس شبکه فیدبک تنها به اندازه ۱۰٪ تغییر کند. به عبارت دیگر مدار فیدبک انتخابگر (selective) نیست. برای رفع این اشکال و افزایش فرکانس کار نوسان سازها عموماً از مدارهای شامل سلف و خازن استفاده می شود.

شکل (۸-۲۱) اساس ساختمان این نوسان کننده ها را نشان می دهد. در این مدار تقویت کننده بکار رفته می تواند یک عنصر فعال مانند ترانزیستور و یا آپ-امپ باشد. برای بررسی شرایط نوسان در مدار تقویت کننده را با مقاومت ورودی بزرگ و با بهره ولتاژ  $A_V$  در نظر گرفته و با باز کردن حلقه فیدبک در مدار، عبارت بهره حلقه محاسبه می شود. در این مدار:

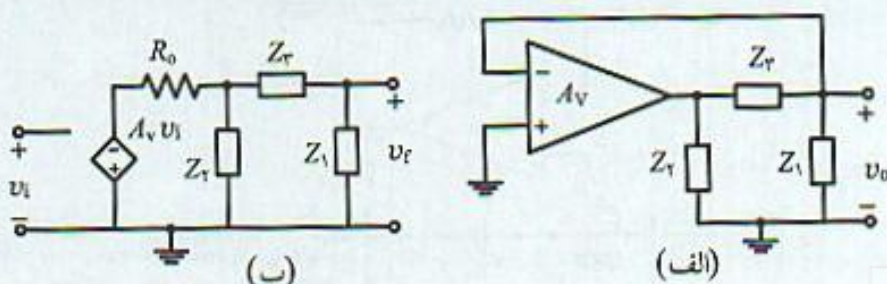
$$T(s) = \frac{V_f}{V_i} = - \frac{A_V Z_1 Z_T}{R_o (Z_1 + Z_T + Z_T) + Z_T (Z_1 + Z_T)} \quad (۸-۲۱)$$

چنانچه امپدانسهای بکار رفته در مدار هر سه از نوع راکتیو (سلف و خازن) باشند در این صورت:

$$Z_1 = jX_1, \quad Z_T = jX_T, \quad Z_T = jX_T$$

برای سلف  $X = L\omega$  و در مورد خازن  $X = \frac{1}{C\omega}$  است. با توجه به این روابط عبارت بهره حلقه:

$$T(s) = \frac{V_f}{V_i} = \frac{A_V X_1 X_T}{j R_o (X_1 + X_T + X_T) + X_T (X_1 + X_T)} \quad (۸-۲۲)$$



شکل ۸-۲۱ الف) شمای کلی نوسان سازهای LC، ب) مدار معادل با حلقه فیدبک باز شده



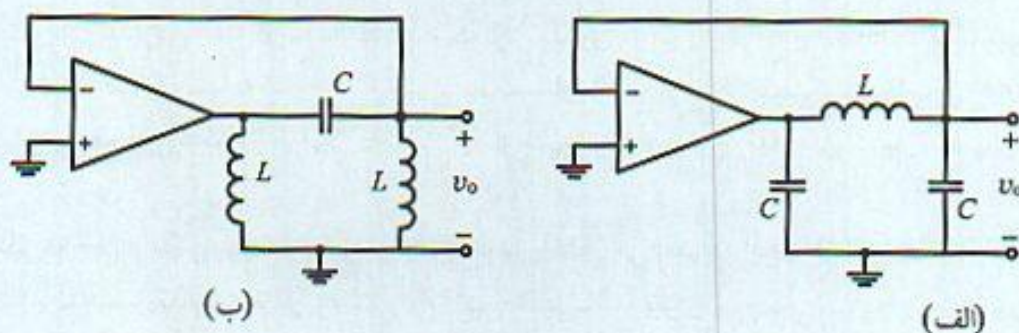
شرایط نوسان در مورد مدار ایجاب می‌کند که اولاً:

$$X_1 + X_2 + X_3 = 0 \quad (۸-۲۳ \text{ الف})$$

و ثانیاً برای اطمینان از شروع نوسان:

$$A_V \geq \frac{X_2}{X_1} \quad (۸-۲۳ \text{ ب})$$

با توجه به علامت انتخاب شده برای  $A_V$  لازم است  $X_1$  و  $X_2$  هر دو هم علامت باشند. از طرف دیگر با توجه به رابطه (۸-۲۳ الف) علامت  $X_2$  باید عکس  $X_1$  باشد. بر این اساس دو نوع مختلف نوسان‌سازهای LC می‌توان در عمل داشت که به ترتیب به نامهای کولپیتس (Colpitts) و هارتلی (Hartly) در شکل (۸-۲۲ الف و ب) نشان داده شده‌اند. روابط مربوط به هر یک در معادلات (۸-۲۴) خلاصه شده‌اند.



شکل ۸-۲۲ نوسان‌سازهای LC: الف) Colpitts، ب) Hartly

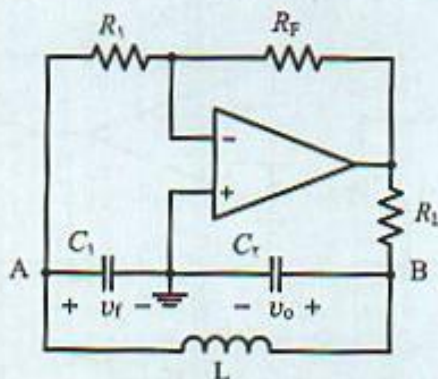
$$A_V \geq \frac{C_1}{C_2}, \quad \omega_0 = \frac{1}{\sqrt{LC}}, \quad C = \frac{C_1 C_2}{C_1 + C_2} \quad (۸-۲۴ \text{ الف}) \text{ نوسان‌ساز کولپیتس}$$

$$A_V \geq \frac{L_2}{L_1}, \quad \omega_0 = \frac{1}{\sqrt{LC}}, \quad L = L_1 + L_2 \quad (۸-۲۴ \text{ ب}) \text{ نوسان‌ساز هارتلی}$$

### ۸-۳-۱ نوسان‌ساز کولپیتس با تقویت‌کننده عملیاتی

شکل (۸-۲۳) نوسان‌ساز کولپیتس با استفاده از آپ-امپ را نشان می‌دهد که در آن تقویت‌کننده معکوس

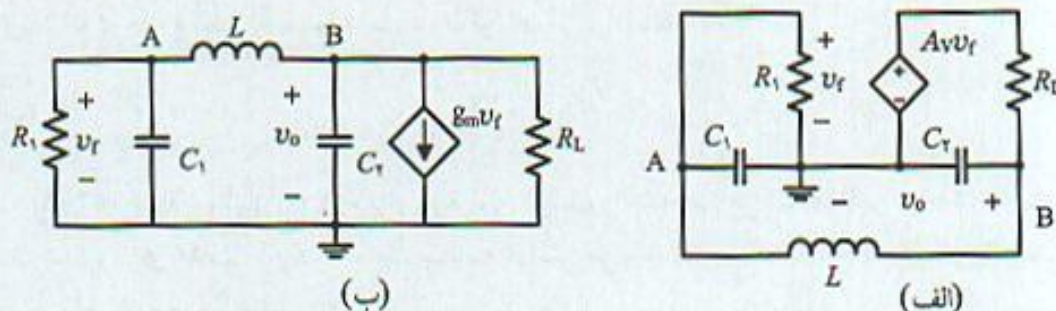
کننده با بهره  $A_V = -\frac{R_F}{R_1}$  بکار رفته است.



شکل ۸-۲۳ نوسان‌ساز Colpitts

با تقویت‌کننده عملیاتی





شکل ۸-۲۴ مدار معادل نوسان‌ساز Colpitts با تقویت‌کننده عملیاتی

برای بررسی شرایط نوسان در این نوسان‌ساز مدار معادل تقویت‌کننده عملیاتی را با مقاومت ورودی  $R_1$  مقاومت خروجی صفر و بهر ولتاژ  $A_v$  در نظر گرفت که در شکل (۸-۲۴ الف) نشان داده شده است. با استفاده از مدار معادل منبع جریان، می‌توان مدار معادل را بصورت شکل (۸-۲۴ ب) نیز نشان داد. با نوشتن معادلات ولتاژ گره در نقاط A و B:

$$(C_2 s + \frac{1}{R_L} + \frac{1}{Ls}) V_o + (g_m - \frac{1}{Ls}) V_f = 0$$

$$-\frac{1}{Ls} V_o(s) + (C_1 s + \frac{1}{Ls} + \frac{1}{R_1}) V_f = 0$$

در روابط فوق رابطه  $g_m$

$$g_m = \frac{A_v}{R_L} = \frac{R_F}{R_1 R_L}$$

است. شرط نوسان آن است که دترمینان ماتریس معادلات فوق صفر شود. در این صورت مخرج تابع انتقال کل صفر شده و بهره تقویت‌کننده مدار بسته در فرکانس نوسان زیاد خواهد شد. شرط نوسان مدار:

$$(C_2 s + \frac{1}{R_L} + \frac{1}{Ls}) (C_1 s + \frac{1}{Ls} + \frac{1}{R_1}) + (g_m - \frac{1}{Ls}) \frac{1}{Ls} = 0$$

است. در نتیجه:

$$C_1 C_2 L R_1 R_L s^2 + L(C_1 R_1 + C_2 R_L) s^2 + (C_1 R_1 R_L + C_2 R_1 R_L + L) s + (R_1 + R_L + g_m R_1 R_L) = 0$$

در فرکانس  $\omega = j\omega$  معادله فوق به دو معادله مربوط به بخش‌های حقیقی و موهومی ساده شده و شرایط نوسان بدست می‌آید. برای بخش موهومی می‌توان نشان داد:

$$\omega_0 = \sqrt{\frac{C_1 + C_2}{C_1 C_2 L} + \frac{1}{C_1 C_2 R_1 R_L}} \quad (8-25 \text{ الف})$$

با فرض بزرگ بودن مقاومت بار  $R_L$  و اینکه  $1/(C_1 C_2) \gg R_1 R_L$  با تقریب خوب:

$$\omega_0 = \frac{1}{\sqrt{LC}}, \quad C = \frac{C_1 C_2}{C_1 + C_2} \quad (8-25 \text{ ب})$$



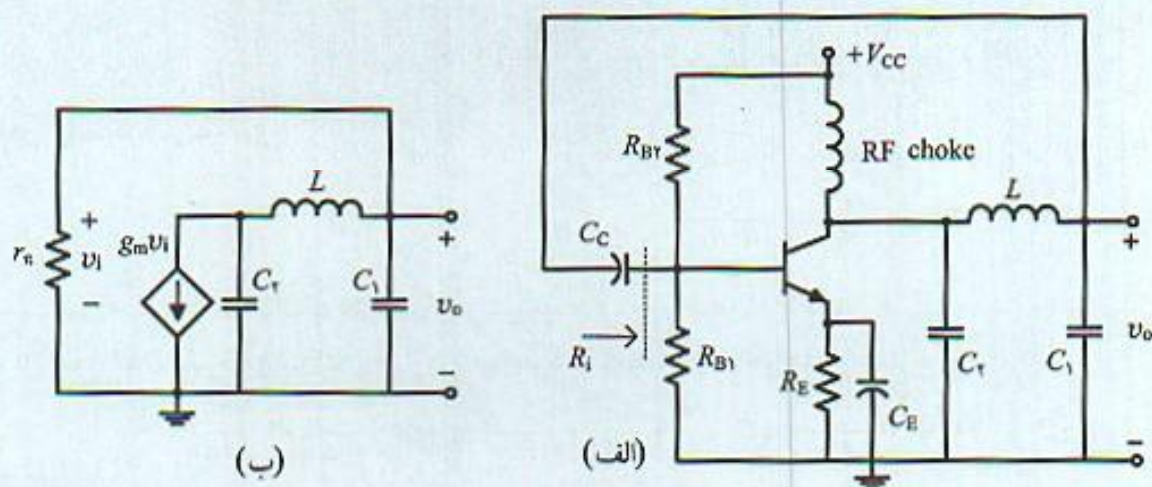
بطور مشابه در مورد بخش حقیقی رابطه شرط نوسان می توان نشان داد:

$$g_m R_1 \approx \frac{C_T}{C_1} \Rightarrow \frac{R_F}{R_L} = \frac{C_T}{C_1} \quad (۸-۲۵ ج)$$

رابطه (۸-۲۴) حداقل مقدار  $g_m$  لازم برای برقراری نوسان را مشخص می کند. مقادیر کوچکتر باعث قطع نوسان شده و برای مقادیر بزرگتر دامنه نوسانات افزایش می یابد تا زمانی که شرایط غیر خطی تقویت کننده دامنه خروجی را محدود نماید.

### ۸-۳-۲ نوسان ساز کولیتس با ترانزیستور BJT

شکل (۸-۲۵ الف) یک نوسان ساز کولیتس با عنصر BJT را نشان می دهد که در آن چک فرکانس رادیویی (radio frequency choke) با امپدانس زیاد در فرکانس نوسان در کلکتور قرار گرفته است. مدار معادل این نوسان ساز در شکل های (۸-۲۵ ب) نشان داده شده است. مدار معادل ترانزیستور با مقاومت ورودی  $r_\pi$  و منبع جریان  $g_m v_i$  در خروجی نیز در نظر گرفته شده است. این مدار معادل مشابه مدار شکل (۸-۲۴ ب) است. با توجه به نتایج بخش قبل فرکانس نوسان و شرط لازم برای ایجاد نوسان:



شکل ۸-۲۵ الف) نوسان ساز کولیتس با ترانزیستور BJT، ب) مدار معادل

$$\omega_0 \approx \frac{1}{\sqrt{LC}}, \quad C = \frac{C_1 C_2}{C_1 + C_2} \quad (۸-۲۶ الف)$$

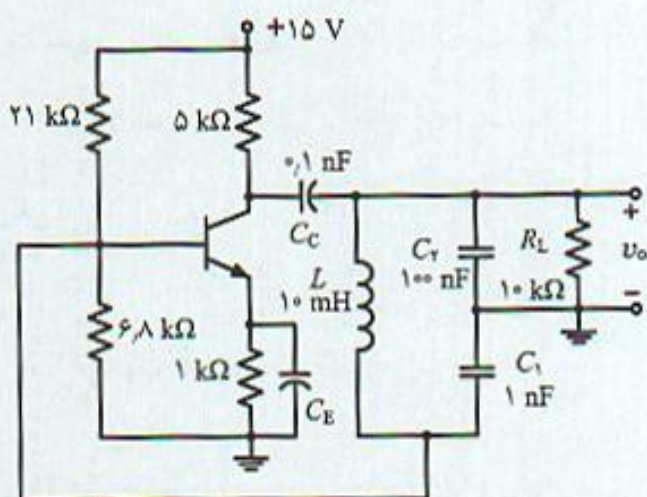
$$g_m r_\pi = g_m R_1 = \frac{C_T}{C_1} \Rightarrow \beta = h_{fe} = \frac{C_T}{C_1} \quad (۸-۲۶ ب)$$

### مثال ۸-۴

در نوسان ساز کولیتس شکل (۸-۲۶) با ترانزیستور ۲N۲۲۲۲ و با مشخصات

$$r_\pi = 1.1 \text{ k}\Omega, \beta = h_{fe} = 150, L = 150 \text{ mH}, C_1 = 1 \text{ nF}, C_2 = 100 \text{ nF}, R_L = 10 \text{ k}\Omega$$





شکل ۸-۲۶ نوسان‌ساز کولپیتس  
مثال (۴-۸)

فرکانس نوسانات را تعیین و با بررسی مدار با نرم‌افزار spice نتایج را مقایسه کنید.

فرکانس نوسانات با روابط داده شده:

$$C = \frac{C_1 C_2}{C_1 + C_2} \approx 1 \text{ nF} \Rightarrow \omega_0 = (150 \text{ mH} \times 1 \text{ nF})^{-1/2}, f_0 = 1.6 \text{ MHz}$$

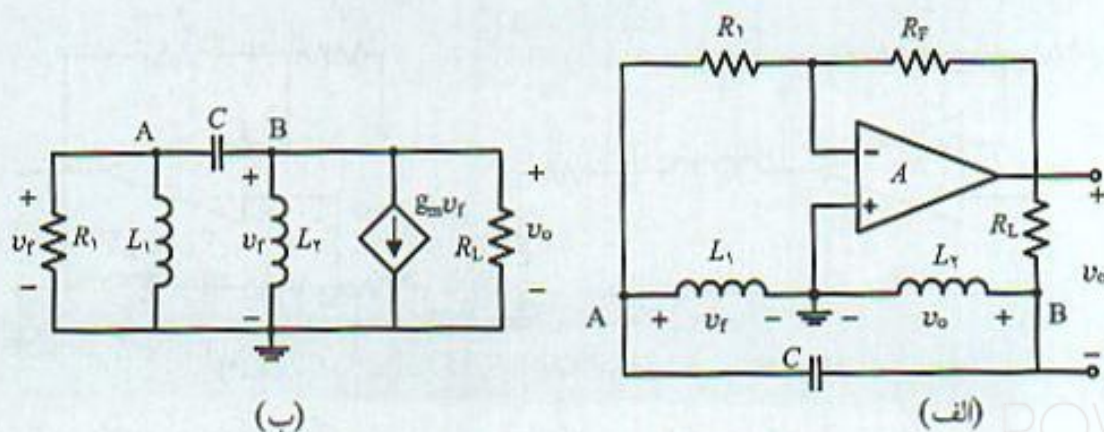
با توجه به  $\beta = h_{fe} = 150$  شرط دوم نوسان برقرار است.

مدار توسط spice بررسی و خروجی با فرکانس ۱.۵ MHz با دامنه ۲ V (P-P) اندازه‌گیری شده است.

### ۳-۳-۸ نوسان‌ساز هارتلی

شکل (۸-۲۷) نوسان‌ساز هارتلی (Hartly) با استفاده از آپ-آمپ و مدار معادل آنرا نشان می‌دهد. به روش مشابه با مدار کولپیتس می‌توان شرایط نوسان در مورد این مدار را بدست آورد. فرکانس نوسانات و شرط نوسان برای این نوسان‌ساز از رابطه (۸-۲۷) بدست می‌آیند.

$$\omega_0 = \frac{1}{\sqrt{C(L_1 + L_2) + \frac{L_1 L_2}{R_1 R_L}}} \quad (۸-۲۷ \text{ الف})$$



شکل ۸-۲۷ نوسان‌ساز Hartly و مدار معادل آن



با فرض  $C(L_1 + L_2) \gg \frac{L_1 L_2}{R_1 R_L}$  عبارت تقریبی فرکانس نوسان:

$$\omega_0 \approx \frac{1}{\sqrt{LC}}, \quad L = L_1 + L_2 \quad (۲۷-۸) \text{ ب}$$

می‌باشد. شرط دوم ایجاد نوسان ساز هارتلی:

$$g_m R_1 = \frac{L_1}{L_2} + \frac{R_1}{R_L} \frac{L_2}{L_1} \Rightarrow g_m R_1 = \frac{L_1}{L_2} \quad (۲۷-۸) \text{ ج}$$

اثبات روابط فوق به عنوان تمرین انتهای فصل به عهده دانشجویان واگذار می‌شود.

### ۴-۳-۸ نوسان‌ساز پل میچم

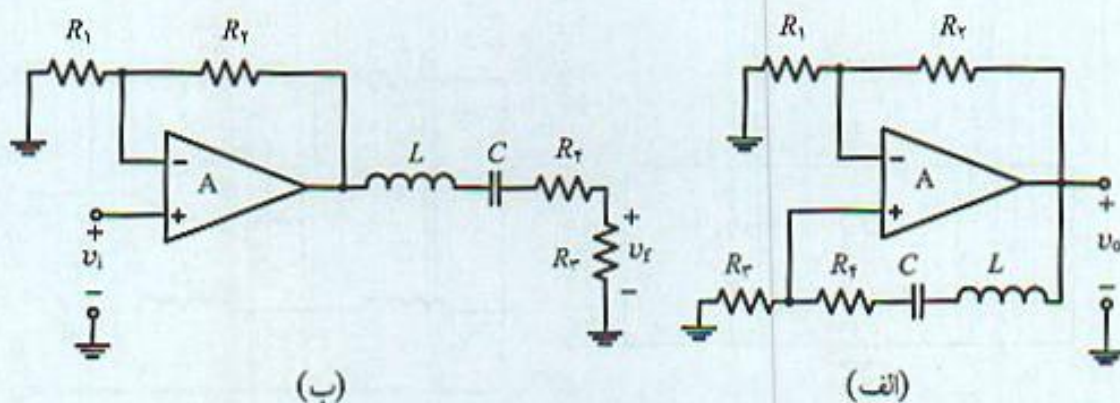
قبل از معرفی نوسان‌ساز پل میچم (Mecham Bridge) ابتدا نوسان‌ساز  $RLC$  که در شکل (۲۸-۸) با استفاده از آپ-امپ نشان داده شده بررسی می‌شود. مدار معادل حلقه باز این نوسان‌ساز با فرض مشخصات ایده‌آل برای تقویت‌کننده عملیاتی در شکل (۲۸-۸ ب) نشان داده شده است. تابع انتقال بهره حلقه نوسان‌ساز از رابطه (۲۸-۸) بدست می‌آید. این تابع انتقال شامل یک صفر و دو قطب است.

$$T(s) = A_V \frac{R_F C s}{LC s^2 + (R_F + R_1) C s + 1}, \quad A_V = 1 + \frac{R_F}{R_1} \quad (۲۸-۸)$$

با انتخاب مناسب عناصر مدار می‌توان قطب‌های بهره حلقه را به صورت مختلط قرار داد. در این شرایط برای نوسان‌ساز قطب‌های مدار بسته با تغییر فیدبک بصورت شکل (۴-۸ الف) است. با توجه به تقویت‌کننده با بهره مثبت معادله مشخصه مدار  $1 - T(s) = 0$  و شرایط نوسان در این مدار فرکانس نوسان و بهره مورد نیاز در مدار را با روابط (۲۸-۸) مشخص می‌کند.

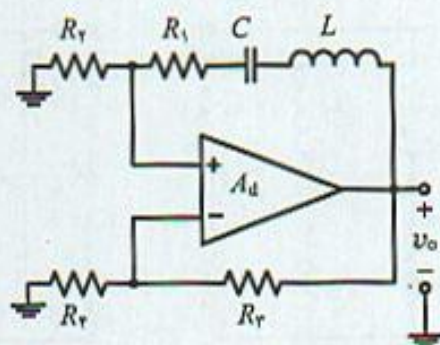
$$\omega_0 = \frac{1}{\sqrt{LC}}, \quad A_V = 1 + \frac{R_F}{R_1} = 1 + \frac{R_F}{R_F} \Rightarrow \frac{R_F}{R_1} = \frac{R_F}{R_F} \quad (۲۹-۸)$$

مدار شکل (۲۹-۸) نوسان‌ساز میچم را نشان می‌دهد که در آن تقویت‌کننده بکار رفته از نوع تفاضلی با بهره  $A_d$  است. با باز کردن حلقه فیدبک در نقطه مناسب و بررسی تابع انتقال بهره می‌توان نشان داد:



شکل ۲۸-۸ نوسان‌ساز  $RLC$  با تقویت‌کننده عملیاتی: الف) نوسان‌ساز، ب) مدار معادل حلقه باز





شکل ۸-۲۹ نوسان ساز پل  
Mecham با تقویت کننده تفاضلی

$$T(s) = A_d \frac{R_f}{R_f + R_f} \frac{s^2 - 2\alpha_1 s + \omega_0^2}{s^2 + 2\alpha_2 s + \omega_0^2} \quad (۸-۳۰ \text{ الف})$$

که در آن:

$$\omega_0 = \frac{1}{\sqrt{LC}}, \quad \alpha_1 = \frac{1}{2L} \left( \frac{R_f R_f}{R_f} - R_1 \right), \quad \alpha_2 = \frac{1}{2L} (R_1 + R_f) \quad (۸-۳۰ \text{ ب})$$

تابع انتقال (۸-۲۹ الف) نشان می دهد مدار دارای یک زوج صفر و قطب به ترتیب در سمت راست و چپ صفحه  $s$  و مکان هندسی ریشه ها بصورت شکل (۸-۴ ب) است. با تعریف پارامترهای زیر:

$$N = \frac{R_f}{R_1}, \quad M = \frac{R_f}{R_1}, \quad \delta = MN - \frac{R_f}{R_1} \quad (۸-۳۱ \text{ الف})$$

و فرض اینکه  $|\delta| \gg (N+1)M$ ، در این صورت نوسان پایدار در شرایطی حاصل می شود که:

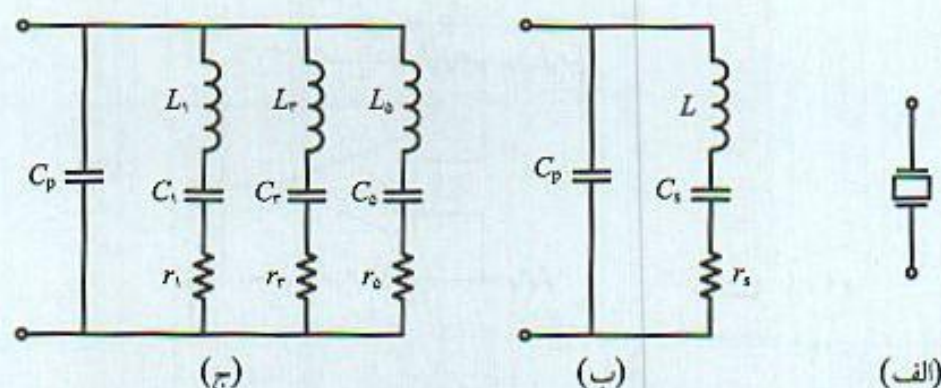
$$|T(j\omega_0)| = 1 \Rightarrow \delta = -\frac{(N+1)^2 M}{A_d} \quad (۸-۳۱ \text{ ب})$$

چنانچه  $\delta = 0$  باشد پل در حالت تعادل است. اما اگر بازوهای پل تقریباً برابر و رابطه  $M = N = 1$  برقرار باشد در این صورت  $\delta = -\frac{4}{A_d}$  و با انتخاب  $A_d$  بزرگ می توان شرایط تقریبی  $\delta = 0$  را ایجاد کرد. بعنوان مثال اگر تقویت کننده تفاضلی دارای بهره  $100$  باشد فرض  $|\delta| \gg (N+1)M$  برقرار و شرط نوسان نیز صدق می کند. در واقع مدار متعادل کننده پل باید مقدار  $\delta$  را چنان تنظیم کند که صرف نظر از تغییرات بهره شرط نوسان در رابطه (۸-۳۱) همواره برقرار باشد.

## ۴-۸ نوسان سازهای کریستالی

کریستال کوآرتز قادر به تبدیل انرژی الکتریکی به مکانیکی و بالعکس است. به این معنی که اعمال نیرو در جهت مناسب دو سر کریستال باعث ظاهر شدن بارهای الکتریکی در سطح آن می شود. برعکس اعمال پتانسیل الکتریکی در فرکانس مناسب به یک کریستال باعث ایجاد نوسانات مکانیکی کریستال می شود. این پدیده عموماً به نام پیزو الکتریک (piezo-electric) نامیده می شود. فرکانس یک کریستال به نوع برش (cut) و ابعاد آن بستگی دارد. چنانچه فرکانس سیگنال الکتریکی اعمال شده منطبق بر فرکانس نوسانات کریستال





شکل ۸-۳۰ (الف) شمای مداری کریستال، (ب) مدار معادل در فرکانس اصلی تشدید، (ج) مدار معادل کامل

باشد تبدیل انرژی الکتریکی به مکانیکی با حداقل تلفات و حداکثر راندمان انجام می‌شود. در این شرایط گفته می‌شود کریستال در حالت تشدید (resonance) قرار گرفته و مدار معادل آن مشابه یک مدار تشدید RLC است. برش‌های مختلف کریستال کوارتز خواص مختلف مکانیکی و الکتریکی برای کریستال فراهم می‌آورند. برخی از برشها مانند DT دارای انحراف فرکانس کم نسبت به تغییرات درجه حرارت است. برشهای دیگر مانند AT دارای ضریب حرارتی بیشتر ولی دارای ضریب کیفیت بالاتر باشد.

شکل (۸-۳۰) شمای مداری یک کریستال و مدار معادل آنرا در فرکانس تشدید اصلی نشان می‌دهد که در آن  $L_s$  و  $C_s$  به ترتیب معرف جرم، عکس ضریب فنی (compliance) و ضریب اصطکاک می‌باشند. خازن  $C_p$  نیز خازن معادل صفحاتی است که در دو طرف کریستال برای اعمال ولتاژ قرار دارند. جدول (۸-۱) مشخصات نمونه چند کریستال با برشهای مختلف خلاصه شده است. علاوه بر تشدید در فرکانس اصلی، یک کریستال را می‌توان در هارمونی‌های فرد آن که عموماً overtone نامیده می‌شوند به نوسان در آورد. بر این اساس مدار معادل کامل یک کریستال ترکیب موازی چندین مدار RLC موازی است که در شکل (۸-۳۰ ج) نشان داده شده است.

از آنجایی که  $Q$  مدار معادل کریستال خیلی بزرگ است، می‌توان از اثر مقاومت سری تلفاتی  $r_s$  صرف‌نظر نمود و عبارت امپدانس یک کریستال در فرکانس تشدید اصلی را به صورت رابطه (۸-۳۲) نوشت.

$$Z(s) = \frac{1}{C_p s} \frac{s^2 + 1/LC_s}{s^2 + (C_p + C_s)/(LC_s C_p)} \quad (۸-۳۲ \text{ الف})$$

رابطه (۸-۳۲ الف) را می‌توان بصورت:

$$Z(s) = \frac{1}{C_p s} \frac{s^2 + \omega_s^2}{s^2 + \omega_p^2} \quad (۸-۳۲ \text{ ب})$$

نیز نشان داد. رابطه (۸-۳۲ ب) نشان می‌دهد کریستال دارای دو فرکانس تشدید سری  $\omega_s$  و موازی  $\omega_p$  است و پاسخ فرکانس عبارت امپدانس ورودی کریستال:

$$Z(j\omega) = -\frac{j}{\omega C_p} \frac{\omega^2 - \omega_s^2}{\omega^2 - \omega_p^2} \quad (۸-۳۲ \text{ ج})$$



## جدول ۸-۱ مشخصات نمونه کریستال‌های کوآرتز

فرکانس	۳۲ kHz	۲۸۰ kHz	۵۲۵ kHz	۲ MHz	۱ MHz
نوع برش	XY bar	DT	DT	AT	AT
$r_s$	۴۰ $\Omega$	۱۸۲۰ $\Omega$	۱۴۰۰ $\Omega$	۸۲ $\Omega$	۵ $\Omega$
$L$	۴۸۰۰ H	۲۵/۹ H	۱۲/۷ H	۰/۰۵۲ H	۱۲ mH
$C_s$ (pF)	۰/۰۰۴۹۱	۰/۰۱۲۶	۰/۰۰۷۲۴	۰/۰۱۲۲	۰/۰۱۴۵
$C_s$ (pF)	۲/۸۵	۵/۶۲	۳/۴۴	۴/۲۷	۴/۳۵
$C_p / C_s$	۵۸۰	۴۵۰	۴۷۵	۳۵۰	۳۰۰
$Q$	۲۵۰۰۰	۲۵۰۰۰	۳۰۰۰۰	۸۰۰۰۰	۱۵۰۰۰۰

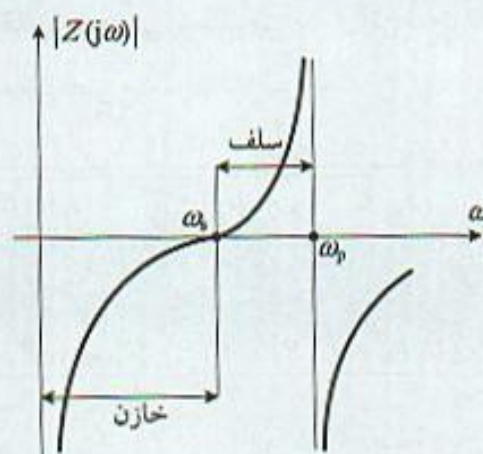
است که تغییرات آن بر حسب فرکانس در شکل (۸-۳۱) نشان داده شده است. فرکانسهای رزونانس کریستال:

$$\omega_s = \frac{1}{\sqrt{L C_s}}, \quad \omega_p = \frac{1}{\sqrt{L C}}, \quad C = \frac{C_s C_p}{C_s + C_p} \quad (۸-۳۲)$$

می‌باشند و  $\omega_p > \omega_s$  و دو فرکانس تشدید بهم نزدیک می‌باشند. در فرکانس تشدید سری کریستال بصورت اتصال کوتاه و در فرکانس موازی بصورت اتصال باز عمل می‌کند. با توجه به شیب زیاد پاسخ فرکانس امپدانس، چنانچه از کریستال در نوسان‌ساز استفاده شود بایداری فرکانس بالایی بدست می‌آید. در فاصله  $\omega_s < \omega < \omega_p$  کریستال بصورت اندوکتانس و در خارج این فاصله بصورت یک خازن عمل می‌کند. از یک کریستال می‌توان در مدارهای نوسان‌ساز مختلفی استفاده کرد که در این بخش یک نمونه از آنها معرفی می‌شود.

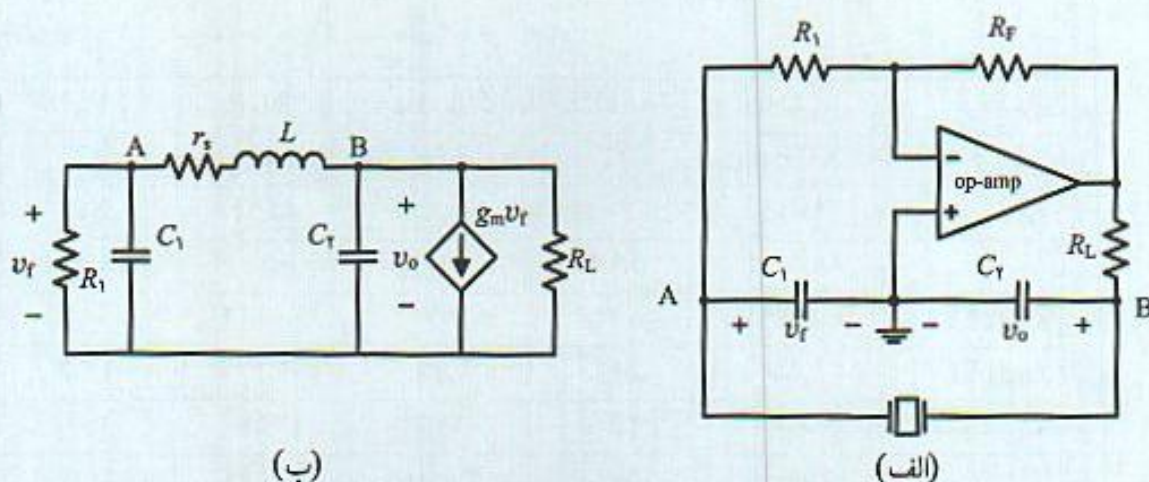
## ۸-۴-۱ نوسان‌ساز کریستالی کولپیتس

شکل (۸-۳۲) نوسان‌ساز کولپیتس با استفاده از کریستال را نشان می‌دهد. مدار معادل نوسان‌ساز در شکل (۸-۳۲ ب) رسم شده است که در آن کریستال با اندوکتانس  $L$  و مقاومت تلفاتی  $r_s$  مدل شده است.



شکل ۸-۳۱ تغییرات قدر مطلق امپدانس کریستال بر حسب فرکانس





شکل ۸-۳۲ نوسان ساز کریستالی کولپتس: (الف) نوسان ساز، (ب) مدار معادل

معادلات ولتاژ گره در نقاط A و B:

$$\begin{aligned} (C_F s + \frac{1}{r_s + sL} + \frac{1}{R_L}) V_O(s) + (g_m - \frac{1}{r_s + sL}) V_I(s) &= 0 \\ -\frac{1}{r_s + sL} V_O(s) + (sC_1 + \frac{1}{r_s + sL} + \frac{1}{R_1}) V_I(s) &= 0 \end{aligned}$$

هستند. با فرض اینکه مقاومت بار  $R_L$  بزرگ است با معادل صفر قرار دادن دترمینان ماتریس معادلات فوق شرایط نوسان در مدار بدست می آید.

$$(sC_F + \frac{1}{r_s + sL}) (sC_1 + \frac{1}{r_s + sL} + \frac{1}{R_1}) + (g_m - \frac{1}{r_s + sL}) \frac{1}{r_s + sL} = 0$$

با ساده کردن معادله فوق:

$$C_1 C_F L R_1 s^2 + (C_1 C_F r_s R_1 + C_F L) s^2 + (C_1 R_1 + C_F R_1 + C_F r_s) s + 1 + g_m R_1 = 0$$

در روابط فوق  $g_m = \frac{A}{R_L} = \frac{R_F}{R_L R_1}$  است. با قرار دادن  $s = j\omega$  در دترمینان ماتریس معادلات، دو رابطه یکی برای مقادیر حقیقی و دیگری برای مقادیر موهومی بدست می آید. از این معادلات فرکانس نوسان نوسان ساز و شرایط لازم برای تقویت کننده مشخص می شود. فرکانس نوسان:

$$\omega_0 = \frac{1}{\sqrt{C(L_1 + L_2) + L_1 L_2 / R_1 R_2}} \quad (۸-۳۳ الف)$$

هم چنین شرط نوسان در مدار:

$$1 + g_m R_1 = \frac{(C_1 R_1 + C_F R_1 + C_F r_s) (C_1 C_F r_s R_1 + C_F L)}{C_1 C_F L R_1} \quad (۸-۳۳ ب)$$



با فرض بزرگ بودن  $Q$  و صرف‌نظر از مقاومت  $r_s$ ، فرکانس نوسان و شرایط لازم برای ایجاد آن از روابط ساده شده (۳۴-۸) بدست می‌آید.

$$\omega_0 = \frac{1}{\sqrt{LC}}, \quad g_m = \frac{C_r}{C_1} \quad (۳۴-۸)$$

### مثال ۵-۸

در مدار نوسان‌ساز شکل (۳۲-۸) از کریستال ۲ MHz استفاده شده است. سایر عناصر مدار بصورت زیر بکار رفته‌اند.

الف) فرکانس نوسان را مشخص کنید.

ب) با استفاده از نرم‌افزار spice نوسان‌ساز را بررسی و فرکانس نوسان و دامنه آنرا مشخص کنید.

$$C_1 = 0.01 \mu F, \quad C_2 = 0.1 \mu F, \quad R_1 = 100 k\Omega, \quad R_F = 1 M\Omega, \quad R_L = 100 k\Omega$$

الف) با استفاده از جدول (۱-۸) مدار معادل کریستال شامل عناصر:

$$C_s = 0.0122 pF, \quad C_p = 4.27 pF, \quad r_s = 82 \Omega, \quad L = 0.52 H$$

می‌باشد. پس مجموع خازن  $C_p$  و خازنهای  $C_1$  و  $C_2$

$$C_{eq} = C_p + \frac{C_1 C_2}{C_1 + C_2} = 9095 pF$$

و کل خازن موجود در مدار نوسان‌ساز

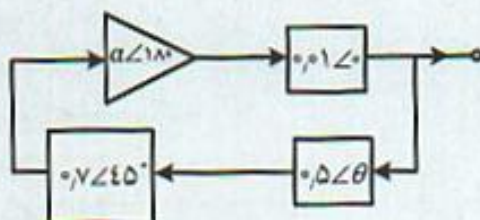
$$C_t = \frac{C_s C_{eq}}{C_s + C_{eq}} = 0.0122 pF$$

و فرکانس نوسان با استفاده از رابطه (۳۴-۸) مقدار ۱.۹۹۸ MHz بدست می‌آید.

ب) بررسی مدار با نرم‌افزار spice نشان می‌دهد نوساناتی با فرکانس ۱.۹۸۸ MHz و دامنه ۱۰ V(p-p) ایجاد می‌شود.

### مسائل فصل هشتم

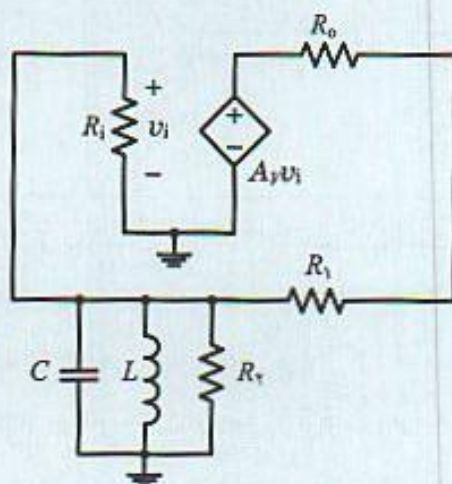
۸-۱) در نوسان‌ساز شکل (م ۱-۸) بهره تقویت‌کننده و فاز  $\theta$  را چنان تعیین کنید که نوسانات پایداری در مدار بدست آید.



شکل (م ۱-۸)

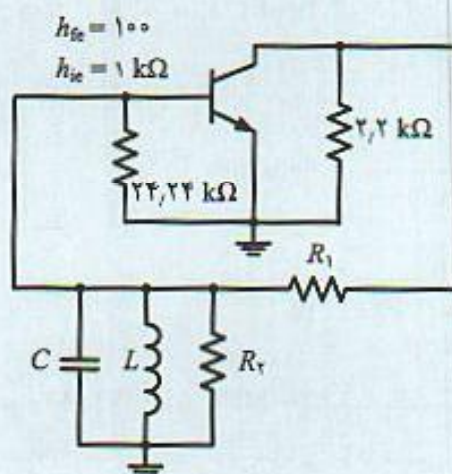


(۲-۸) در مدار شکل (۲-۸) تقویت‌کننده‌ای با بهره ۲۰۰، مقاومت ورودی  $50\text{ k}\Omega$  و مقاومت خروجی  $500\text{ }\Omega$  بکار رفته است. سایر عناصر مدار را برای فرکانس نوسان  $5\text{ kHz}$  تعیین کنید.



شکل (۲-۸)

(۳-۸) در نوسان‌ساز انتقال فاز شکل (۳-۸) عناصر مدار را برای فرکانس کار  $5\text{ kHz}$  تعیین کنید.



شکل (۳-۸)

(۴-۸) رابطه (۸-۸) در متن را بدست آورید.

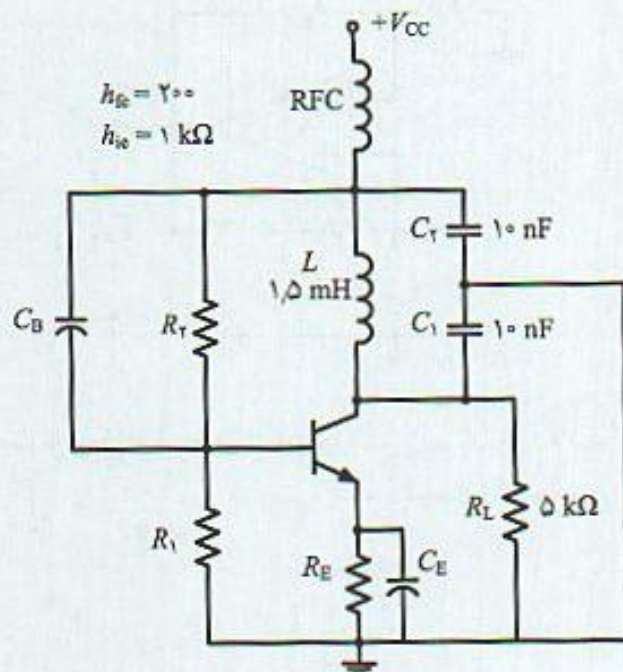
(۵-۸) یک نوسان‌ساز انتقال فاز مانند شکل (۱۵-۸) در فرکانس  $500\text{ Hz}$  طراحی و تمام عناصر مدار را مشخص کنید.

(۶-۸) یک نوسان‌ساز پل وین (Wien) با فرکانس  $1\text{ kHz}$  طراحی و تمام عناصر مدار را مشخص کنید. مدار طرح شده را از طریق نرم‌افزار spice بررسی و با در نظر گرفتن مدار معادل برای op-amp بکار رفته فرکانس نوسان را مشخص کنید.

(۷-۸) یک نوسان‌ساز با خروجی‌های متعامد مانند شکل (۸-۸) در فرکانس  $500\text{ Hz}$  طراحی و تمام عناصر مدار را مشخص کنید.

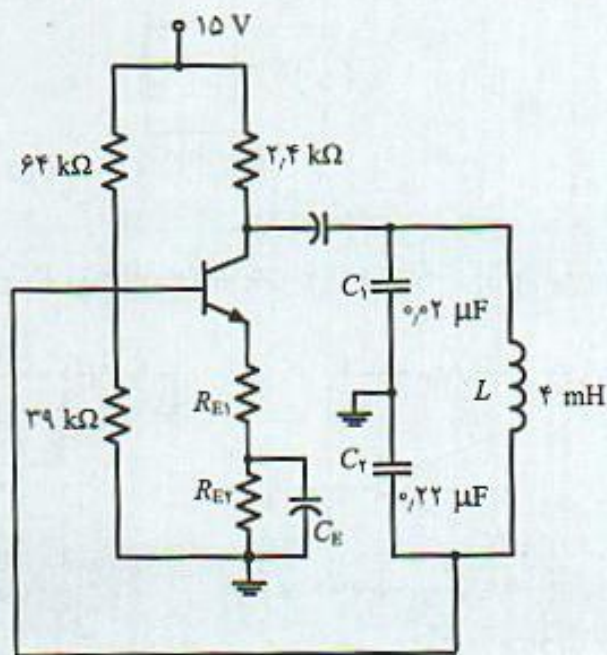


۸-۸) در نوسان ساز شکل (م ۸-۸) با عنصر BJT و با مقادیر داده شده فرکانس نوسانات و مقاومت  $R_1$  را برای برقراری نوسان مشخص کنید. در فرکانس کار RFC را اتصال باز فرض کنید.



شکل (م ۸-۸)

۸-۹) در نوسان ساز شکل (م ۸-۹) و با عنصر BJT و با مقادیر داده شده فرکانس نوسانات و مقاومت  $R_E$  را برای برقراری نوسان مشخص کنید.

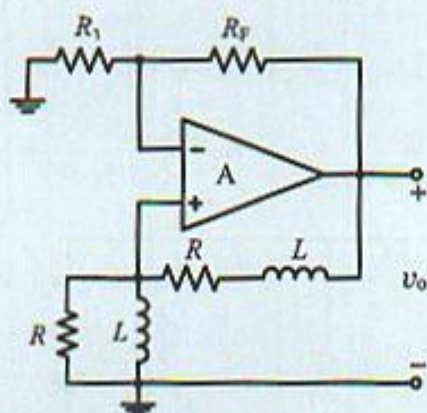


شکل (م ۸-۹)

۸-۱۰) روابط (۸-۲۶) را در مورد نوسان ساز هارتلی بدست آورید.

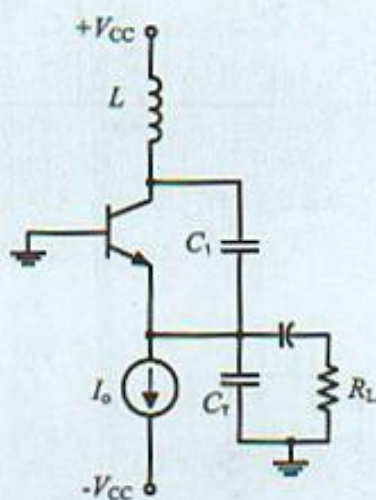


۱۱-۸) در نوسان‌ساز شکل (م ۸-۱۱) عبارت بهره حلقه، فرکانس نوسان و شرایط نوسان را تعیین نمایید.



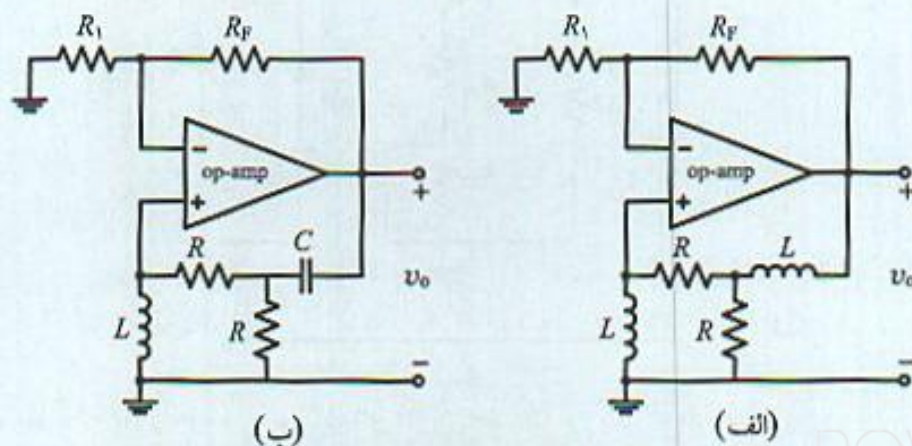
شکل (م ۸-۱۱)

۱۲-۸) مدار شکل (م ۸-۱۲) نمونه دیگری از نوسان‌ساز کولپیتس را نشان می‌دهد. با فرض مقاومت ورودی و خروجی بزرگ برای ترانزیستور عبارت فرکانس نوسان را مشخص کنید.



شکل (م ۸-۱۲)

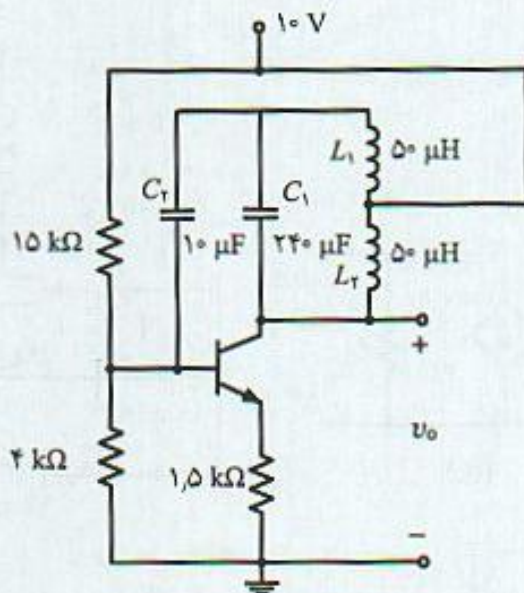
۱۳-۸) در هر یک از مدارهای شکل (۸-۱۳) عبارت بهره حلقه و فرکانس نوسان را مشخص کنید.



شکل (م ۸-۱۳)



۱۴-۸) با استفاده از ترانزیستور ۲N۲۲۲۲ و نرم‌افزار spice مدار شکل (م ۸-۱۴) را بررسی کنید. نرم‌افزار را در حالت گذرا به مدت  $50 \mu s$  و در فاصله زمانی  $0.01 \mu s$  تنظیم نمایید. شکل موج خروجی را به دقت بررسی و فرکانس نوسان را تعیین کنید.

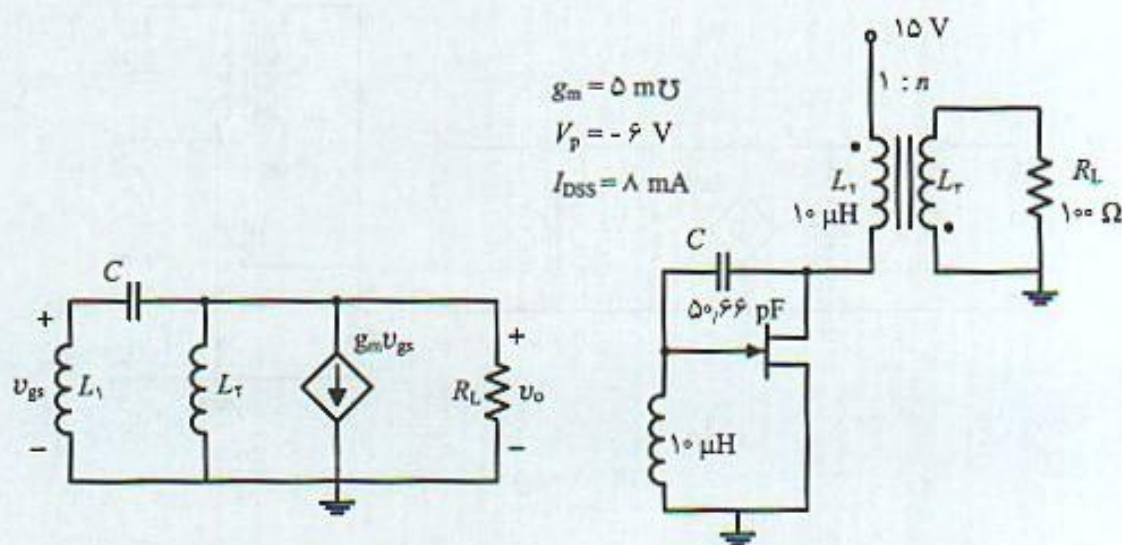


شکل (م ۸-۱۴)

۱۵-۸) در نوسان‌ساز هارتلی شکل (م ۸-۱۵) و با استفاده از JFET با کانال  $n$  به شماره ۲N۳۸۲۳ پارامترهای داده شده:

الف) عبارت بهره حلقه مدار را مشخص و فرکانس نوسانات را مشخص کنید.

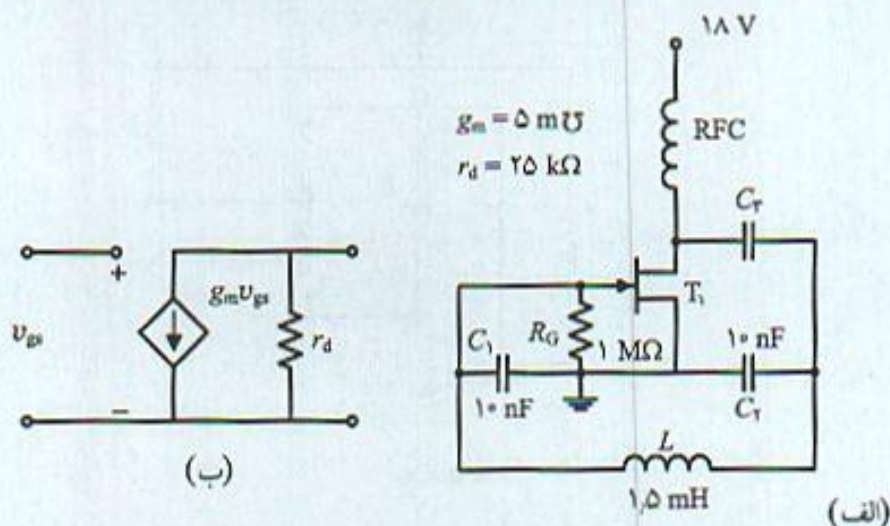
ب) با مقادیر داده شده فرکانس نوسانات و ضریب  $n$  ترانس را تعیین نمایید. (مدار معادل نوسان‌ساز رسم شده است).



شکل (م ۸-۱۵)

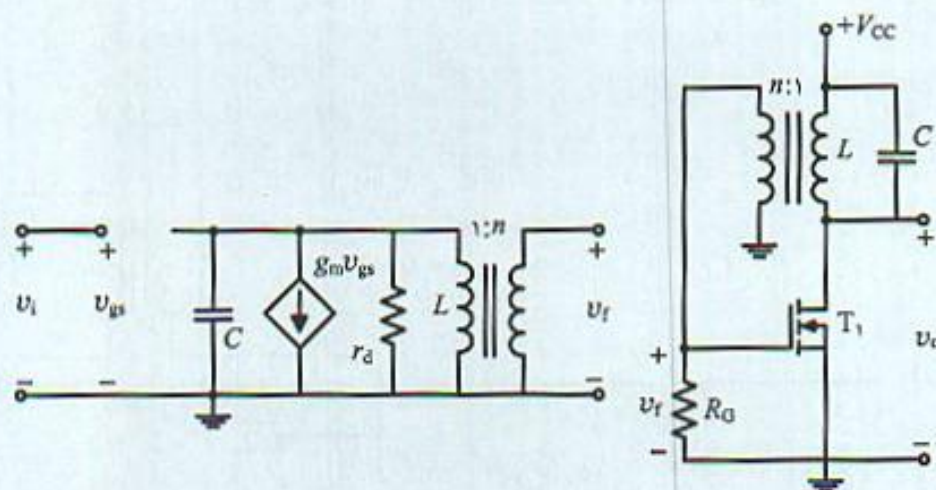


(۱۶-۸) در نوسان‌ساز کولپیتس شکل (م ۸-۱۶) با استفاده از JFET و مدار معادل رسم شده برای این عنصر، فرکانس نوسانات پایدار را بدست آورید. بررسی کنید شرایط لازم برای ایجاد نوسان موجود چیست؟ خازن  $C_p$  را خازن کوپلاژ فرض نمایید.



شکل (م ۸-۱۶)

(۱۷-۸) در نوسان‌ساز LC شکل (م ۸-۱۷) و با استفاده از عنصر MOSFET که مدار معادل آن نیز داده شده است تابع انتقال بهره حلقه را مشخص و فرکانس نوسانات را مشخص نمایید. تحقیق کنید چه شرایطی لازم است تا نوسانات پایدار بوجود آید.



شکل (م ۸-۱۷)

(۱۸-۸) روابط (۸-۲۶) در متن را در مورد نوسان‌ساز هارتلی تحقیق و استخراج نمایید.

(۱۹-۸) روابط (۸-۳۳) در متن را در مورد نوسان‌ساز کریستالی تحقیق و استخراج نمایید.



۸-۲۰) نوسان‌ساز کریستالی کوپیش مدار شکل (۸-۳۲) را با فرکانس ۱۰ MHz طراحی کنید. فرض کنید تقویت‌کننده‌ای با  $g_m = 1 \text{ mA/V}$  و کریستالی به مشخصات زیر در دسترس است. محاسبات خود را با نتایج حاصل از بررسی با نرم‌افزار spice مقایسه کنید.

$$f_0 = 10 \text{ MHz}, \quad C_s = 0.0145 \text{ pF}, \quad C_p = 4.35 \text{ pF}, \quad L = 12 \text{ mH}$$

### فهرست مراجع

- 1- P. E. Gray and L. Seare; "Electronic Principles: Physics, Models and Circuits.", Wiley, New York, 1969
- 2- P. R. Gray and P. J. Hurst, S. H. Lewis, R. G. Mayer; "Analysis and Design of Integrated Circuits", 4th edition, John Wiley & Sons, Inc. 2001. Analog
- 3- J. F. Pierce and T. J. Paulus, " Applied Electronics", Charles E. Merrill Publishing Co. New York, 1972.
- 4- M. H. Rashid, "Microelectronic Circuits : Analysis & Design", PWS publishing Co. Boston, 1999.
- 5- M. H. Rashid, "Spice for Circuits and Electronic Using Pspice", Englewood Cliffs, NJ: Prentice Hall Inc. 1993.
- 6- A. S. Sedra and K. C. Smith, "Microelectronic Circuits" , Oxford University Press, New York, 1998.
- 7- K. Ogata, "Modern Control Engineering", Englewood Cliffs, NJ: Prentice Hall Inc. 1998.
- 8- H. Haznedar, "Digital Microelectronics", The Benjamin / Cummings Publishing Co. Inc., 1991.
- 9- D. A. Neamen, "Electronic Circuit Analysis and Design.", 2nd edition, McGraw-Hill International Edition, 2001.
- 10- J. Millman and A. Garbel. "Microelectronics", McGraw-Hill International Edition, 1987.







پیوست‌ها



الف مشخصات ترانزیستور 2N3904

ب مشخصات ترانزیستور 2N4957, 2N4958

ج رسم نمودار بد

واژه نامه انگلیسی - فارسی

واژه نامه فارسی - انگلیسی



## پیوست (الف) مشخصات ترانزیستور 2N3904

2N3904 / MMBT3904 / PZT3904

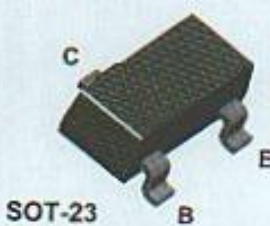
**FAIRCHILD**  
SEMICONDUCTOR™

**2N3904**



TO-92

**MMBT3904**



SOT-23  
Mark: 1A

**PZT3904**



SOT-223

### NPN General Purpose Amplifier

This device is designed as a general purpose amplifier and switch. The useful dynamic range extends to 100 mA as a switch and to 100 MHz as an amplifier.

#### Absolute Maximum Ratings\*

$T_A = 25^\circ\text{C}$  unless otherwise noted

Symbol	Parameter	Value	Units
$V_{CE0}$	Collector-Emitter Voltage	40	V
$V_{CB0}$	Collector-Base Voltage	60	V
$V_{EB0}$	Emitter-Base Voltage	6.0	V
$I_C$	Collector Current - Continuous	200	mA
$T_J, T_{stg}$	Operating and Storage Junction Temperature Range	-55 to +150	$^\circ\text{C}$

\* These ratings are limiting values above which the serviceability of any semiconductor device may be impaired.

#### NOTES:

- 1) These ratings are based on a maximum junction temperature of 150 degrees C.
- 2) These are steady state limits. The factory should be consulted on applications involving pulsed or low duty cycle operations.

#### Thermal Characteristics

$T_A = 25^\circ\text{C}$  unless otherwise noted

Symbol	Characteristic	Max			Units
		2N3904	*MMBT3904	**PZT3904	
$P_D$	Total Device Dissipation Derate above $25^\circ\text{C}$	625 5.0	350 2.8	1,000 8.0	mW mW/ $^\circ\text{C}$
$R_{\theta JC}$	Thermal Resistance, Junction to Case	83.3			$^\circ\text{C/W}$
$R_{\theta JA}$	Thermal Resistance, Junction to Ambient	200	357	125	$^\circ\text{C/W}$

\* Device mounted on FR-4 PCB 1.6" X 1.6" X 0.06"

\*\* Device mounted on FR-4 PCB 36 mm X 18 mm X 1.5 mm; mounting pad for the collector lead min. 6  $\text{cm}^2$ .



## NPN General Purpose Amplifier (continued)

### Electrical Characteristics

$T_A = 25^\circ\text{C}$  unless otherwise noted

Symbol	Parameter	Test Conditions	Min	Max	Units
--------	-----------	-----------------	-----	-----	-------

#### OFF CHARACTERISTICS

$V_{(BR)CEO}$	Collector-Emitter Breakdown Voltage	$I_C = 1.0\text{ mA}, I_B = 0$	40		V
$V_{(BR)CBO}$	Collector-Base Breakdown Voltage	$I_C = 10\text{ }\mu\text{A}, I_E = 0$	60		V
$V_{(BR)EBO}$	Emitter-Base Breakdown Voltage	$I_E = 10\text{ }\mu\text{A}, I_C = 0$	6.0		V
$I_{BL}$	Base Cutoff Current	$V_{CE} = 30\text{ V}, V_{EB} = 3\text{ V}$		50	nA
$I_{CEX}$	Collector Cutoff Current	$V_{CE} = 30\text{ V}, V_{EB} = 3\text{ V}$		50	nA

#### ON CHARACTERISTICS\*

$h_{FE}$	DC Current Gain	$I_C = 0.1\text{ mA}, V_{CE} = 1.0\text{ V}$ $I_C = 1.0\text{ mA}, V_{CE} = 1.0\text{ V}$ $I_C = 10\text{ mA}, V_{CE} = 1.0\text{ V}$ $I_C = 50\text{ mA}, V_{CE} = 1.0\text{ V}$ $I_C = 100\text{ mA}, V_{CE} = 1.0\text{ V}$	40 70 100 60 30	300	
$V_{CE(sat)}$	Collector-Emitter Saturation Voltage	$I_C = 10\text{ mA}, I_B = 1.0\text{ mA}$ $I_C = 50\text{ mA}, I_B = 5.0\text{ mA}$		0.2 0.3	V
$V_{BE(sat)}$	Base-Emitter Saturation Voltage	$I_C = 10\text{ mA}, I_B = 1.0\text{ mA}$ $I_C = 50\text{ mA}, I_B = 5.0\text{ mA}$	0.65	0.85 0.95	V

#### SMALL SIGNAL CHARACTERISTICS

$f_T$	Current Gain - Bandwidth Product	$I_C = 10\text{ mA}, V_{CE} = 20\text{ V},$ $f = 100\text{ MHz}$	300		MHz
$C_{obe}$	Output Capacitance	$V_{CB} = 5.0\text{ V}, I_E = 0,$ $f = 1.0\text{ MHz}$		4.0	pF
$C_{ibo}$	Input Capacitance	$V_{EB} = 0.5\text{ V}, I_C = 0,$ $f = 1.0\text{ MHz}$		8.0	pF
NF	Noise Figure	$I_C = 100\text{ }\mu\text{A}, V_{CE} = 5.0\text{ V},$ $R_B = 1.0\text{ k}\Omega, f = 10\text{ Hz to }15.7\text{ kHz}$		5.0	dB

#### SWITCHING CHARACTERISTICS

$t_d$	Delay Time	$V_{CC} = 3.0\text{ V}, V_{BE} = 0.5\text{ V},$		35	ns
$t_r$	Rise Time	$I_C = 10\text{ mA}, I_{B1} = 1.0\text{ mA}$		35	ns
$t_s$	Storage Time	$V_{CC} = 3.0\text{ V}, I_C = 10\text{ mA}$		200	ns
$t_f$	Fall Time	$I_{B1} = I_{B2} = 1.0\text{ mA}$		50	ns

\* Pulse Test: Pulse Width  $\leq 300\text{ }\mu\text{s}$ , Duty Cycle  $\leq 2.0\%$

#### Spice Model

NPN (Is=6.734f Xti=3 Eg=1.11 Vaf=74.03 Bf=416.4 Ne=1.259 Ise=6.734 Ikf=66.78m Xtb=1.5 Br=.7371 Nc=2 Isc=0 Ikr=0 Rc=1 Cjc=3.638p Mjc=.3085 Vjc=.75 Fc=.5 Cje=4.493p Mje=.2593 Vje=.75 Tr=239.5n Tf=301.2p Itf=.4 Vtf=4 Xtf=2 Rb=10)

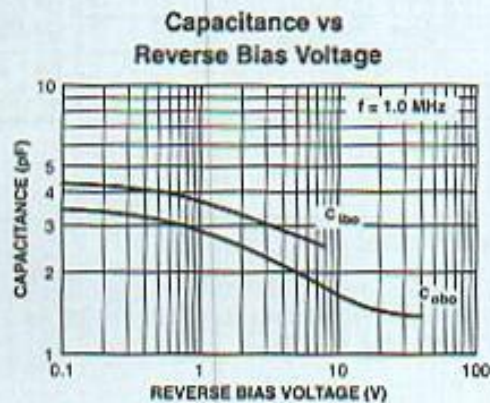
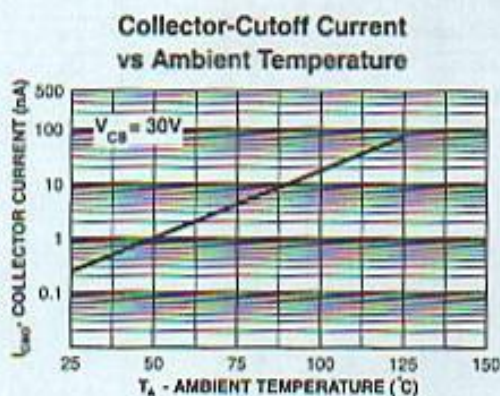
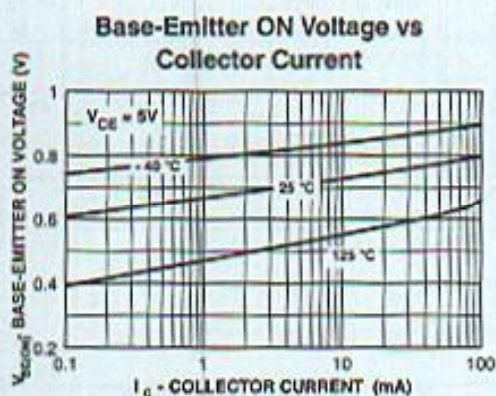
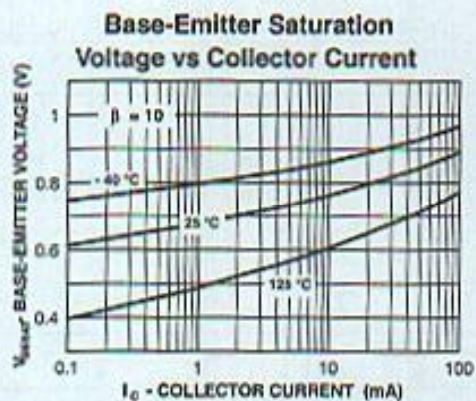
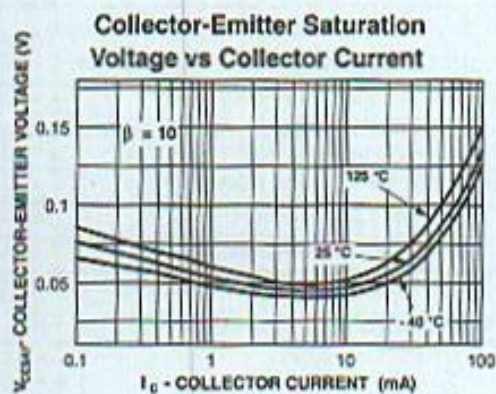
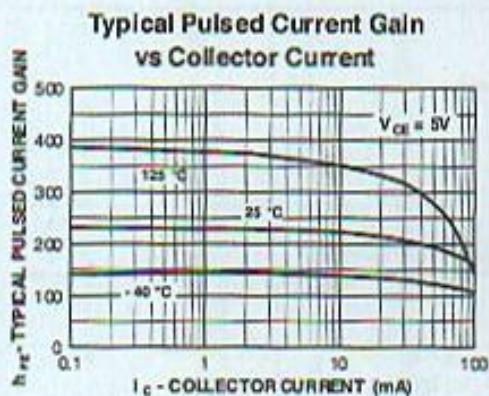
2N3904 / MMBT3904 / PZT3904



## NPN General Purpose Amplifier (continued)

2N3904 / MMBT3904 / PZT3904

### Typical Characteristics



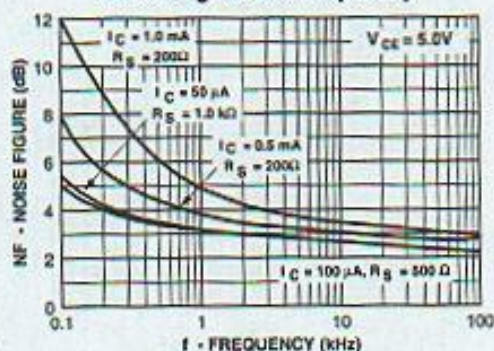


## NPN General Purpose Amplifier (continued)

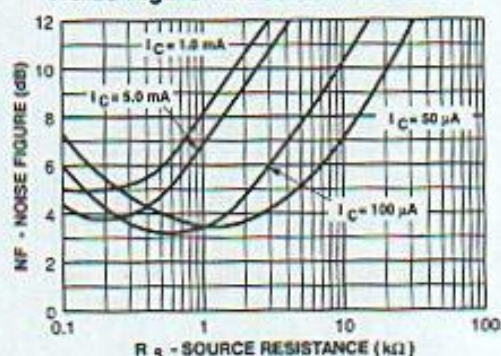
2N3904 / MMBT3904 / PZT3904

### Typical Characteristics (continued)

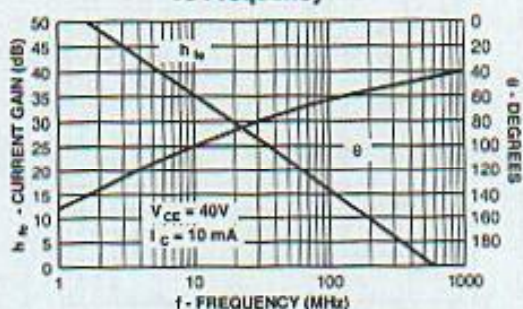
Noise Figure vs Frequency



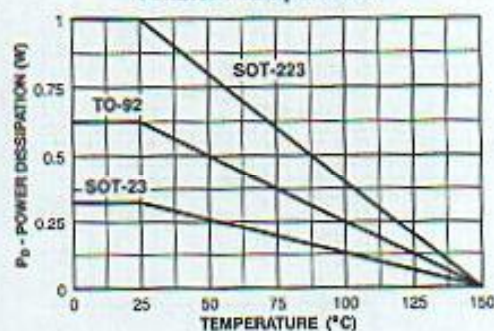
Noise Figure vs Source Resistance



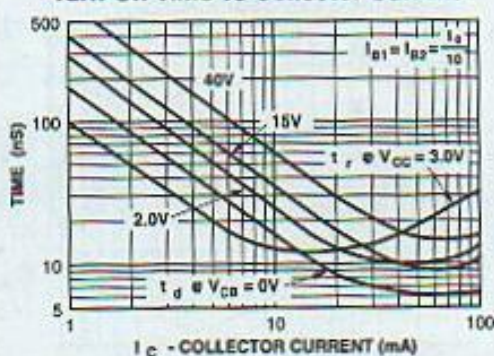
Current Gain and Phase Angle vs Frequency



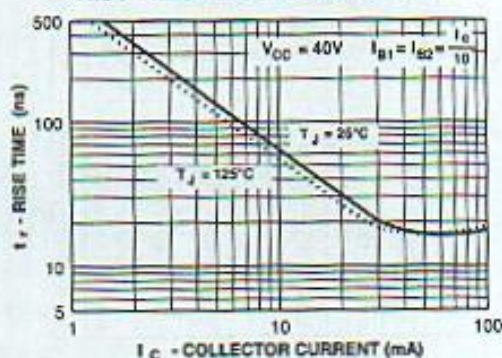
Power Dissipation vs Ambient Temperature



Turn-On Time vs Collector Current



Rise Time vs Collector Current



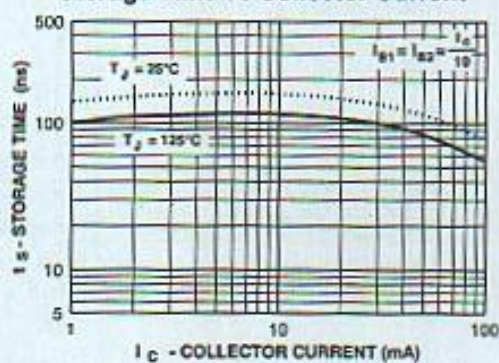


## NPN General Purpose Amplifier (continued)

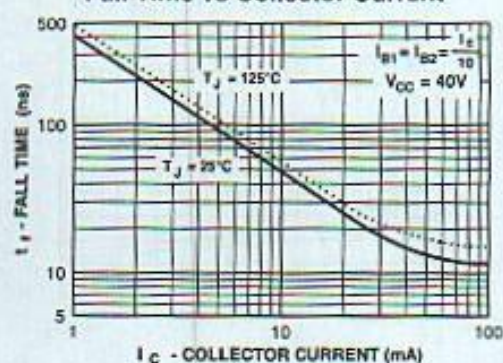
2N3904 / MMBT3904 / PZT3904

### Typical Characteristics (continued)

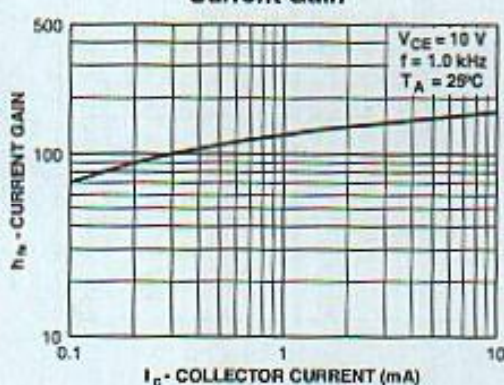
Storage Time vs Collector Current



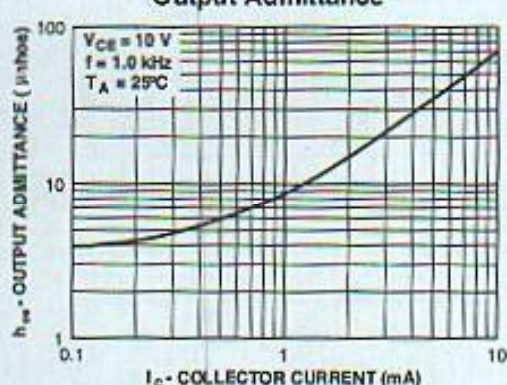
Fall Time vs Collector Current



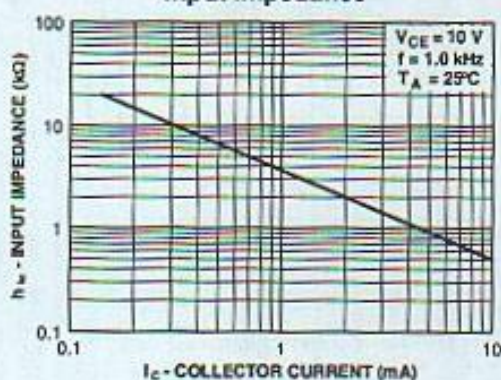
Current Gain



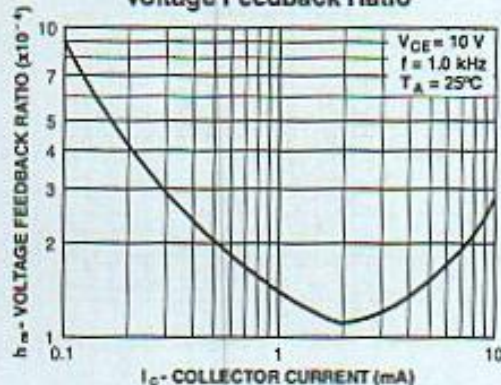
Output Admittance



Input Impedance



Voltage Feedback Ratio





## NPN General Purpose Amplifier (continued)

2N3904 / MMBT3904 / PZT3904

### Test Circuits

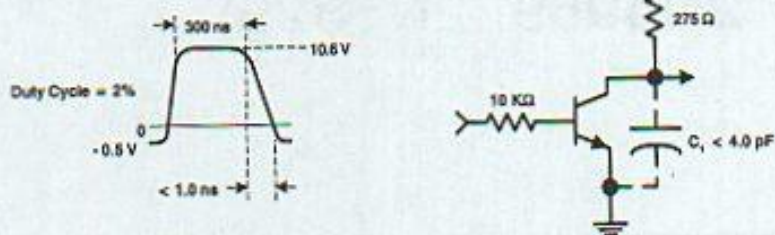


FIGURE 1: Delay and Rise Time Equivalent Test Circuit

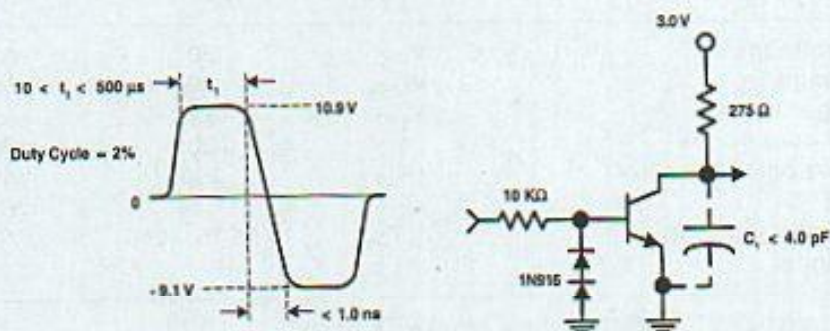


FIGURE 2: Storage and Fall Time Equivalent Test Circuit



پیوست (ب) مشخصات ترانزیستور 2N4957, 2N4958

## RF Transistor Data. (Silicon PNP Types 2N4957, 2N4958, 2N4959, 2N5829)

### \*Maximum Ratings

Rating	Symbol	Value	Unit
Collector-emitter voltage	$V_{CEO}$	30	Vdc
Collector-base voltage	$V_{CBO}$	30	Vdc
Emitter-base voltage	$V_{EBO}$	3.0	Vdc
Collector current—continuous	$I_C$	30	mAdc
Total power dissipation @ $T_A = 25^\circ\text{C}$	$P_D$	200	mW
Derate above $25^\circ\text{C}$		1.14	mW/ $^\circ\text{C}$
Operating and storage junction Temperature range	$T_J, T_{stg}$	-65 to +200	$^\circ\text{C}$

### \*Electrical Characteristics ( $T_A = 25^\circ\text{C}$ unless otherwise noted.)

Characteristic	Symbol	Min	Typ	Max	Unit
<b>Off Characteristics</b>					
Collector-emitter breakdown voltage ( $I_C = 1.0 \text{ mAdc}$ , $I_E = 0$ )	$BV_{CEO}$	30	—	—	Vdc
Collector-base breakdown voltage ( $I_C = 100 \mu\text{Adc}$ , $I_E = 0$ )	$BV_{CBO}$	30	—	—	Vdc
Emitter-base breakdown voltage ( $I_E = 100 \mu\text{Adc}$ , $I_C = 0$ )	$BV_{EBO}$	3.0	—	—	Vdc
Collector cutoff current ( $V_{CB} = 10 \text{ Vdc}$ , $I_E = 0$ ) ( $V_{CB} = 10 \text{ Vdc}$ , $I_E = 0$ , $T_A = 150^\circ\text{C}$ )	$I_{CBO}$	— —	— —	0.1 100	$\mu\text{Adc}$
<b>On Characteristics</b>					
DC current gain ( $I_C = 2.0 \text{ mAdc}$ , $V_{CE} = 10 \text{ Vdc}$ )	$h_{FE}$	20	40	150	—
DC current gain ( $I_C = 2.0 \text{ mAdc}$ , $V_{CE} = 10 \text{ Vdc}$ )	$h_{FE}$	20	40	150	—



Characteristic	Symbol	Min	Typ	Max	Unit
<b>Off Characteristics</b>					
<b>Dynamic Characteristics</b>					
Current-gain—bandwidth product (1) ( $I_E = 2.0 \text{ mAdc}$ , $V_{CE} = 10 \text{ Vdc}$ , $f = 100 \text{ MHz}$ )	$f_T$				MHz
2N4957, 2N5829		1200	1600	2500	
2N4958, 2N4959		1000	1500	2500	
Collector-base capacitance ( $V_{CB} = 10 \text{ Vdc}$ , $I_E = 0$ , $f = 1.0 \text{ MHz}$ )	$C_{cb}$	—	0.4	0.8	pF
Small-signal current gain ( $I_C = 2.0 \text{ mAdc}$ , $V_{CE} = 10 \text{ Vdc}$ , $f = 1.0 \text{ kHz}$ )	$h_{fe}$	20	—	200	—
Collector-base time constant ( $I_E = 2.0 \text{ mAdc}$ , $V_{CB} = 10 \text{ Vdc}$ , $f = 63.6 \text{ MHz}$ )	$r'_b C_c$	1.0	—	8.0	ps
Noise figure ( $I_C = 2.0 \text{ mAdc}$ , $V_{CE} = 10 \text{ Vdc}$ , $f = 450 \text{ MHz}$ )	NF				dB
2N5829		—	2.3	2.5	
2N4957		—	2.6	3.0	
2N4958		—	2.9	3.3	
2N4959		—	3.2	3.8	
<b>Functional Tests</b>					
Common-emitter amplifier power gain ( $V_{CE} = 10 \text{ Vdc}$ , $I_C = 2.0 \text{ mAdc}$ , $f = 450 \text{ MHz}$ )	$G_{ps}$				dB
2N4957, 2N5829		17	—	25	
2N4958		16	—	25	
2N4959		15	—	25	

\*Indicates JEDEC Registered Data.

(1)  $f_T$  is defined as the frequency at which  $|h_{fe}|$  extrapolates to unity.







## COMMON EMITTER CIRCUIT DESIGN DATA

( $V_{CE} = 10 \text{ Vdc}$ ,  $I_C = 2.0 \text{ mAdc}$ )

FIGURE 7 - TRANSDUCER GAIN  
versus FREQUENCY

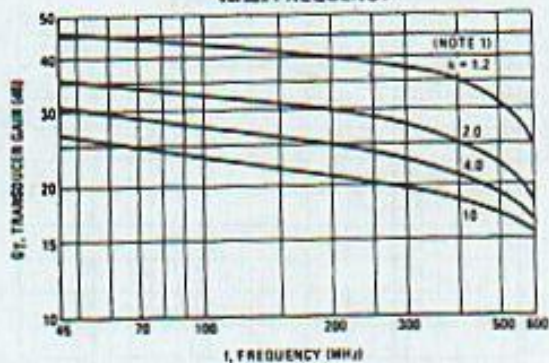


FIGURE 8 - LINVILL STABILITY FACTOR  
versus FREQUENCY

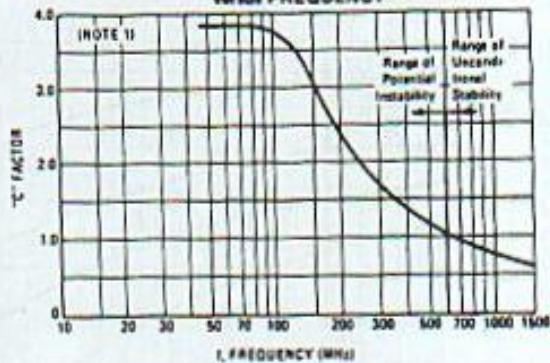


FIGURE 9 - LOAD ADMITTANCE  
versus FREQUENCY (REAL)

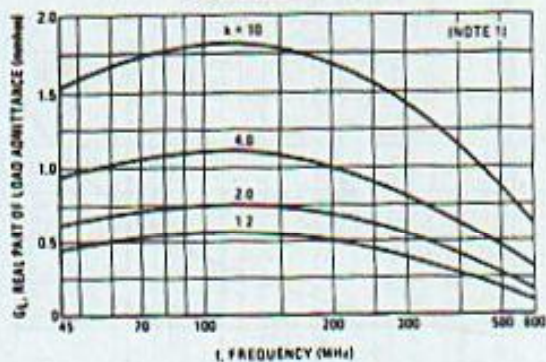


FIGURE 10 - LOAD ADMITTANCE  
versus FREQUENCY (IMAGINARY)

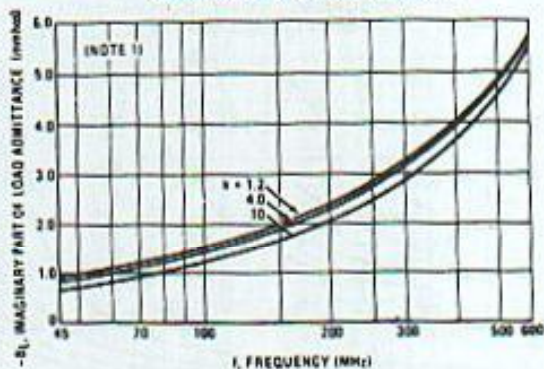


FIGURE 11 - SOURCE ADMITTANCE  
versus FREQUENCY (REAL)

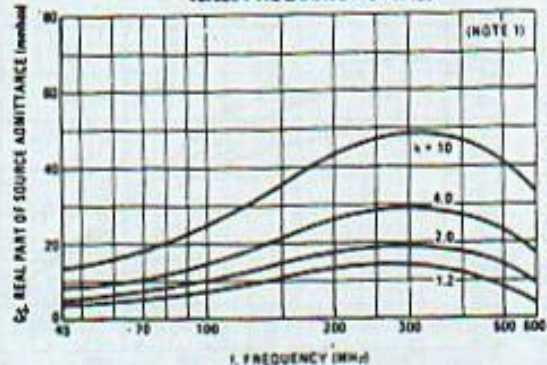
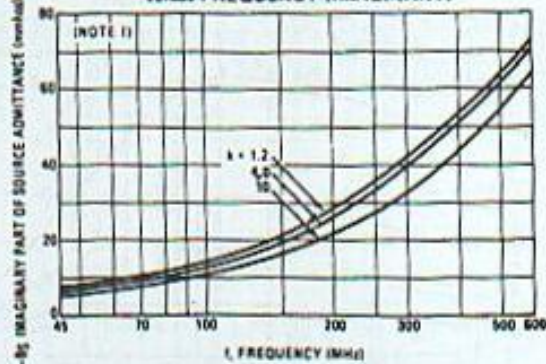


FIGURE 12 - SOURCE ADMITTANCE  
versus FREQUENCY (IMAGINARY)





# COMMON BASE CIRCUIT DESIGN DATA

( $V_{CB} = 10 \text{ Vdc}$ ,  $I_C = 2.0 \text{ mAdc}$ )

FIGURE 13 - TRANSDUCER GAIN  
versus FREQUENCY

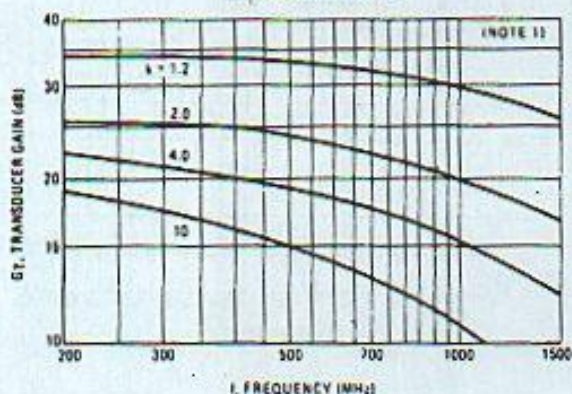


FIGURE 14 - LINVILL STABILITY FACTOR  
versus FREQUENCY

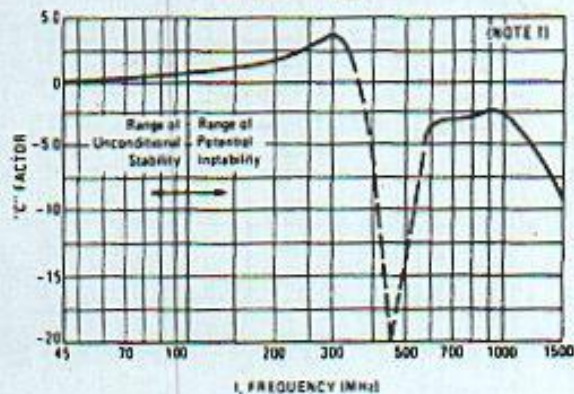


FIGURE 15 - LOAD ADMITTANCE  
versus FREQUENCY (REAL)

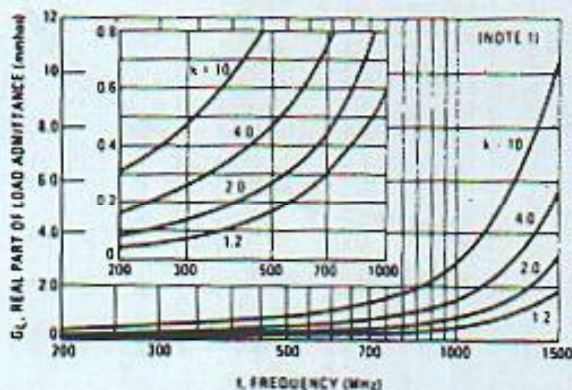


FIGURE 16 - LOAD ADMITTANCE  
versus FREQUENCY (IMAGINARY)

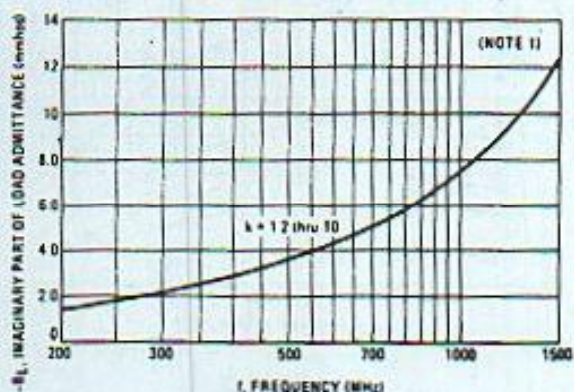


FIGURE 17 - SOURCE ADMITTANCE  
versus FREQUENCY (REAL)

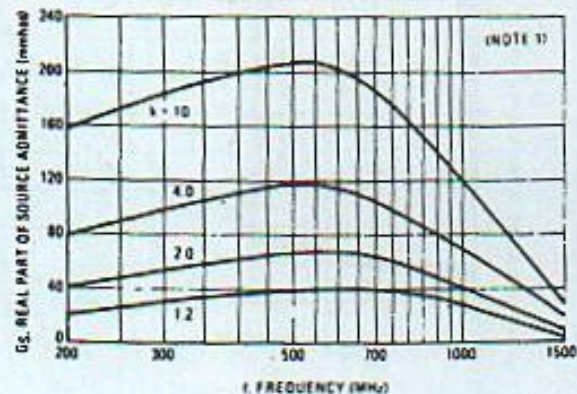


FIGURE 18 - SOURCE ADMITTANCE  
versus FREQUENCY (IMAGINARY)

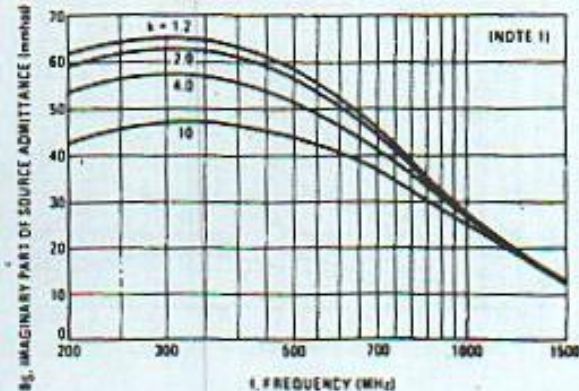




FIGURE 19 – SMALL-SIGNAL CURRENT GAIN  
versus FREQUENCY

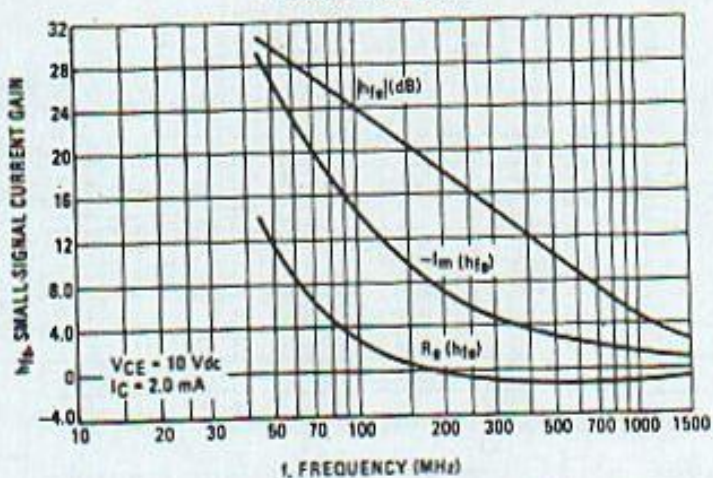


FIGURE 21 –  $f_T$  versus COLLECTOR CURRENT

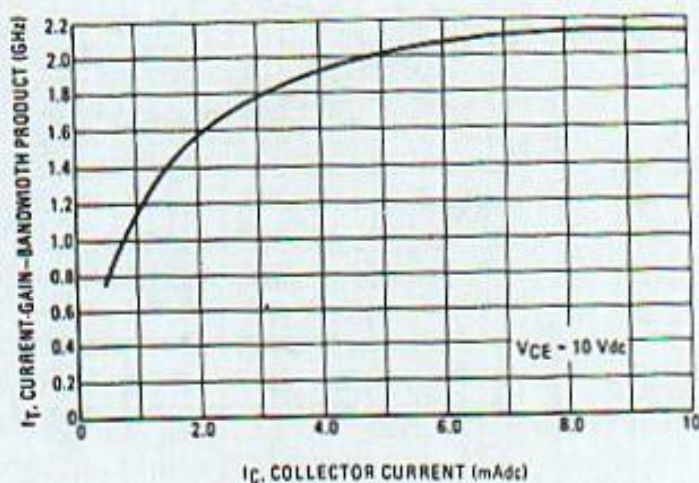
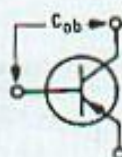
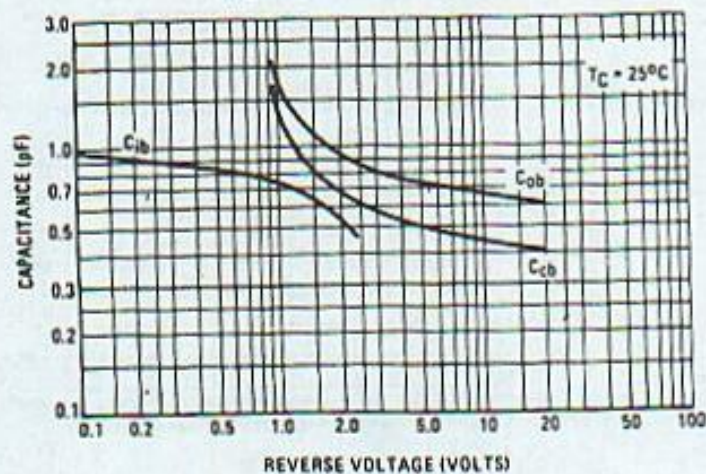
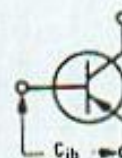


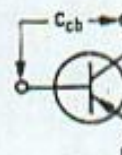
FIGURE 23 – CAPACITANCE



Apply reverse bias between collector and base and measure capacitance between these terminals. Emitter is open.



Apply reverse bias between emitter and base and measure capacitance between these terminals. Collector is open.



Apply reverse bias between collector and base and measure capacitance between these terminals. Emitter is guarded.

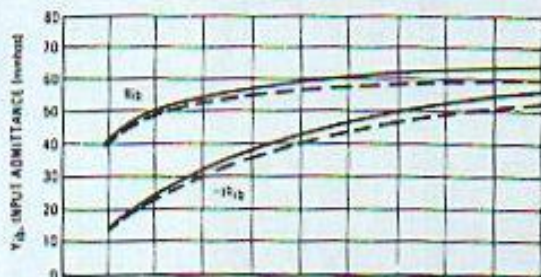


# Y PARAMETERS versus CURRENT (f = 450 MHz)

## COMMON BASE

$V_{CB} = 10 \text{ Vdc}$  —  $V_{CB} = 15 \text{ Vdc}$  - - -

FIGURE 25 - INPUT ADMITTANCE



## COMMON EMITTER

$V_{CE} = 10 \text{ Vdc}$  —  $V_{CE} = 15 \text{ Vdc}$  - - -

FIGURE 26 - INPUT ADMITTANCE

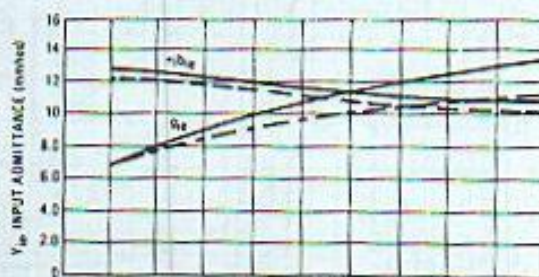


FIGURE 27 - FORWARD TRANSFER ADMITTANCE

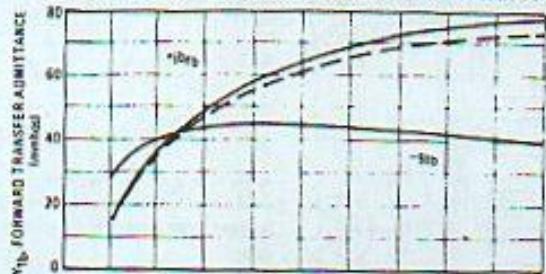


FIGURE 28 - FORWARD TRANSFER ADMITTANCE

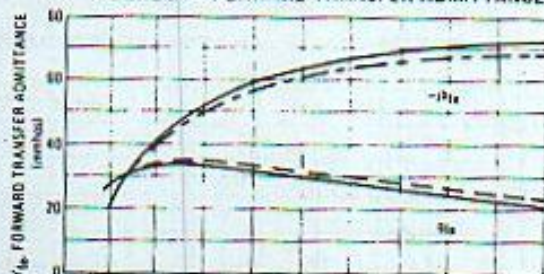


FIGURE 29 - OUTPUT ADMITTANCE

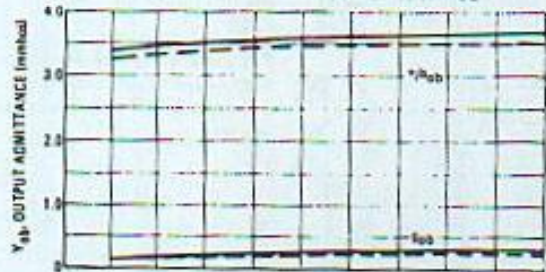


FIGURE 30 - OUTPUT ADMITTANCE

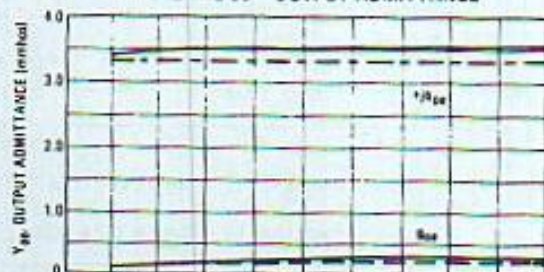


FIGURE 31 - REVERSE TRANSFER ADMITTANCE

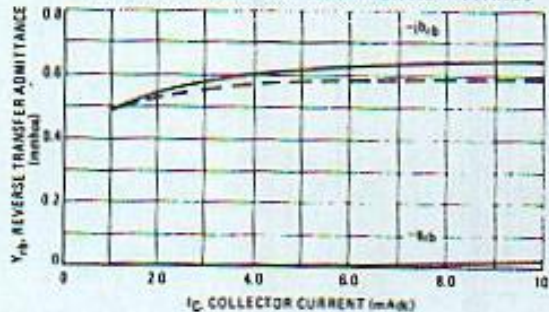
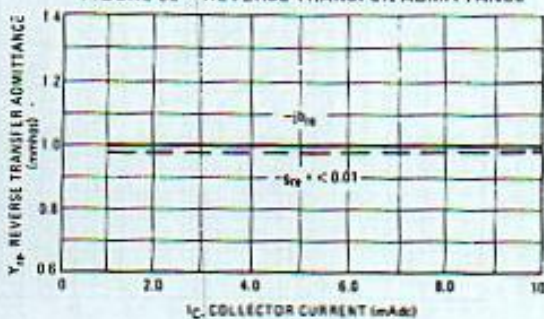


FIGURE 32 - REVERSE TRANSFER ADMITTANCE





## COMMON BASE $\gamma$ PARAMETER VARIATIONS

( $V_{CB} = 10 \text{ Vdc}$ ,  $I_C = 2.0 \text{ mAdc}$ )

### $\gamma$ PARAMETERS versus FREQUENCY

FIGURE 33 -  $\gamma_{ib}$  INPUT ADMITTANCE

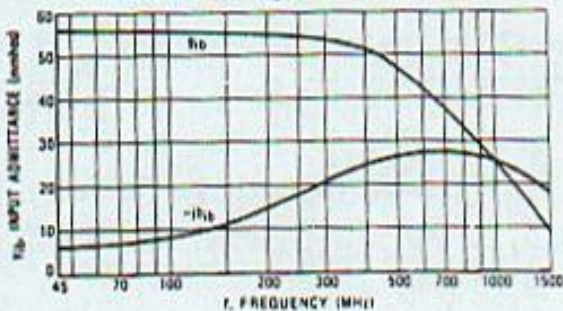


FIGURE 35 -  $\gamma_{fb}$  FORWARD TRANSFER ADMITTANCE

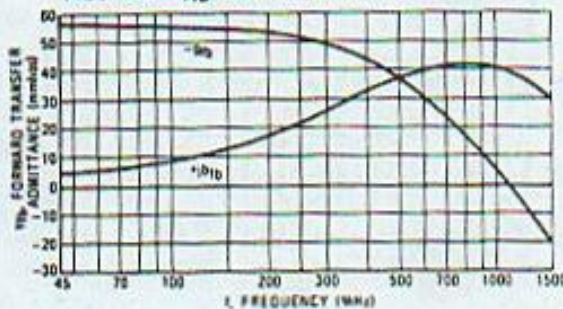


FIGURE 37 -  $\gamma_{ob}$  OUTPUT ADMITTANCE

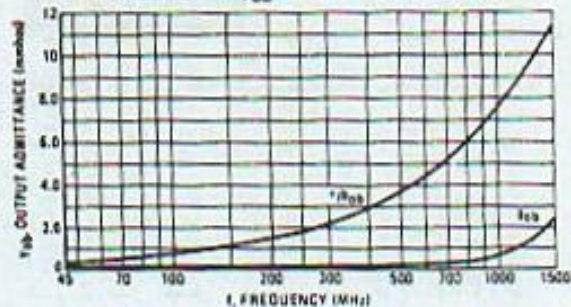
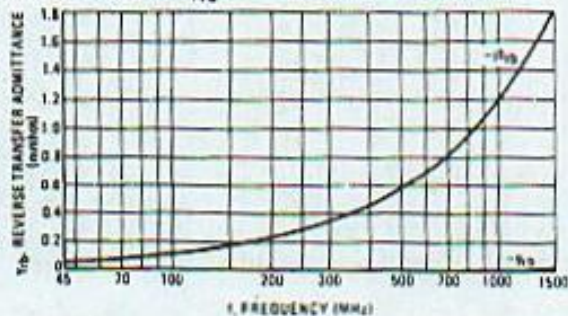


FIGURE 39 -  $\gamma_{rb}$  REVERSE TRANSFER ADMITTANCE



## COMMON EMITTER $\gamma$ PARAMETER VARIATIONS

( $V_{CE} = 10 \text{ Vdc}$ ,  $I_C = 2.0 \text{ mAdc}$ )

### $\gamma$ PARAMETERS versus FREQUENCY

FIGURE 41 -  $\gamma_{ie}$  INPUT ADMITTANCE

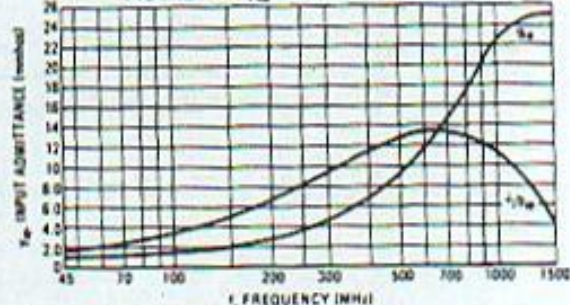


FIGURE 43 -  $\gamma_{fe}$  FORWARD TRANSFER ADMITTANCE

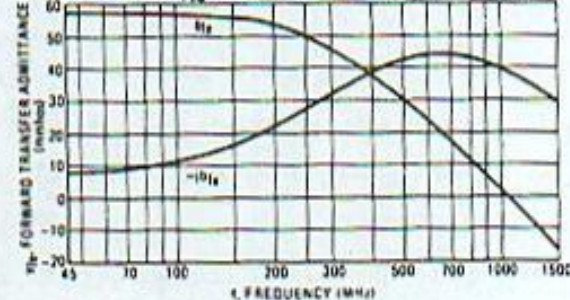


FIGURE 45 -  $\gamma_{oe}$  OUTPUT ADMITTANCE

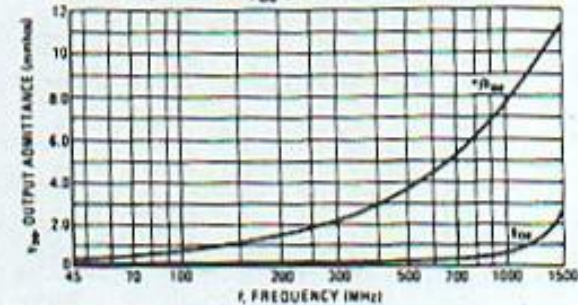
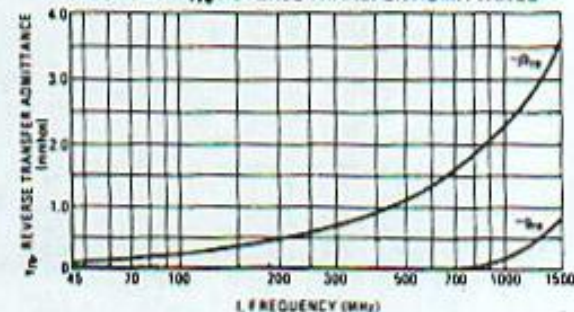


FIGURE 47 -  $\gamma_{re}$  REVERSE TRANSFER ADMITTANCE





## پیوست (ج) رسم نمودار بد Bode Diagram

تابع انتقال یک تقویت‌کننده تابعی از فرکانس مختلط  $s = j\omega$  است. رابطه (ج-۱) فرم کلی یک تابع انتقال را نشان می‌دهد.

$$H(s) = \frac{b_m s^m + b_{m-1} s^{m-1} + b_{m-2} s^{m-2} + \dots + b_0}{s^n + a_{n-1} s^{n-1} + a_{n-2} s^{n-2} + \dots + a_0} \quad (\text{ج-۱})$$

در تابع انتقال فوق مقادیر  $b_m$  و  $a_n$  حقیقی و دارای  $n$  قطب و  $m$  صفر است.  $n$  درجه تابع انتقال و عموماً  $n > m$  است. تابع انتقال فوق را می‌توان بصورت (ج-۲) نیز نشان داد.

$$H(s) = b_m \frac{(s + z_1)(s + z_2) \dots (s + z_m)}{(s + p_1)(s + p_2) \dots (s + p_n)} \quad (\text{ج-۲})$$

$H(s)$  را می‌توان با جایگزینی  $s = j\omega$  به حوزه فرکانس تبدیل نمود.  $H(j\omega)$  دارای قدر مطلق و فاز است که هر کدام تابع فرکانس می‌باشند. نمودارهای بد (Bode plots) بیان‌کننده تغییرات قدر مطلق و فاز تابع انتقال بر حسب فرکانس و در واقع نشان‌دهنده پاسخ فرکانس تابع انتقال است. عموماً قدر مطلق پاسخ فرکانس بصورت  $20 \log |H(j\omega)|$  محاسبه و بر حسب دسیبل (dB) رسم می‌شود. در رسم نمودارهای قدر مطلق و فاز محور افقی فرکانس و با مقیاس لگاریتمی مدرج می‌شود. مثالهای بعد چند نمونه از نمودار بد را نشان می‌دهد.

### مثال ج-۱

تابع انتقال یک تقویت‌کننده پایین‌گذر بصورت رابطه (ج-۳) است که در آن  $A_0$  بهره باند میانی و  $\omega_H$  فرکانس قطع بالا است.

$$H(s) = \frac{A_0}{1 + s/\omega_H} \quad (\text{ج-۳ الف})$$

عبارت قدر مطلق و فاز این تابع انتقال بصورت :

$$|H(j\omega)| = \frac{A_0}{\sqrt{1 + (\omega/\omega_H)^2}}, \quad \varphi = \angle H(j\omega) = \angle A_0 - \tan^{-1} \frac{\omega}{\omega_H} \quad (\text{ج-۳ ب})$$

می‌باشند. قدر مطلق تابع انتقال را بر حسب دسیبل (dB) :

$$20 \log |H(j\omega)| = 20 \log |A_0| - 20 \log [1 + (\omega/\omega_H)^2] \quad (\text{ج-۳ ج})$$

است که شامل یک عبارت ثابت و مستقل از فرکانس و عبارت دوم که تابعی از فرکانس می‌باشد. در چند حالت خاص می‌توان رابطه (ج-۴) را خلاصه نمود.

در فرکانسهای خیلی پایین‌تر از  $\omega_H$  بخش دوم رابطه (ج-۳) کوچک و قابل صرف‌نظر است. بنابراین در این فاصله قدر مطلق تابع انتقال مقدار ثابت و مستقل از فرکانس می‌باشد.



$$\omega \ll \omega_H \Rightarrow 20 \log |H(j\omega)| = 20 \log |A_0| - 10 \log(1) = 20 \log |A_0| \quad (\text{ج-۴})$$

در فرکانس  $\omega = \omega_H$  مقدار تابع انتقال :

$$\omega = \omega_H \Rightarrow 20 \log |H(j\omega)| = 20 \log |A_0| - 10 \log(2) = 20 \log |A_0| - 3 \text{ dB} \quad (\text{ج-۵})$$

است که در مقایسه با بخش ثابت پاسخ فرکانس به اندازه ۳ dB کمتر است. به همین علت به این فرکانس، فرکانس قطع ۳ dB گفته می‌شود. در سیستمهای کنترل این نقطه فرکانس گوشه (corner frequency) نامیده می‌شود.

برای فرکانسهای خیلی بالاتر از  $\omega_H$  تقریبی از قدر مطلق پاسخ فرکانس را می‌توان بصورت رابطه (ج-۶) بدست آورد.

$$\begin{aligned} \omega \gg \omega_H \Rightarrow 20 \log |H(j\omega)| &\approx 20 \log |A_0| - 10 \log \left( \frac{\omega}{\omega_H} \right)^2 \\ &= 20 \log |A_0| - 20 \log \left( \frac{\omega}{\omega_H} \right) \end{aligned} \quad (\text{ج-۶})$$

ملاحظه می‌شود در این محدوده فرکانسی قدر مطلق پاسخ فرکانس خطی است مستقیم که با شیب  $20 \text{ dB/decade}$  کاهش می‌یابد. در رسم نمودارهای بد (Bode) مجانب‌های پاسخ فرکانس بصورت خطوطی مستقیم ترسیم می‌شوند. شکل (ج-۱ الف) نمودار بد قدر مطلق تابع انتقال برای  $A_0 = 10^3$  (۶۰ dB) را نشان می‌دهد. به جهت مقایسه مقدار دقیق قدر مطلق پاسخ فرکانس نیز رسم شده است. بنابراین برای رسم نمودار بد (Bode) قدر مطلق پاسخ فرکانس تابع انتقال پایین گذر یک قطبی با بهره باند میانی  $A_0$  می‌توان به اینصورت عمل کرد که از فرکانسهای پایین تا محل قطب مقدار ثابت  $20 \log |A_0|$  و از محل قطب به بعد خطی با شیب  $-20 \text{ dB/decade}$  رسم نمود.

با توجه به عبارت فاز این تابع انتقال که در رابطه (ج-۳) نشان داده شده عبارت  $\tan$  است. این رابطه در شکل (ج-۱ ب) ترسیم شده است. مشابه حالت قبل می‌توان تقریب‌های زیر را در مورد پاسخ فرکانس فاز بکار برد. در فرکانسهای خیلی پایین‌تر از  $\omega_H$  بخش دوم رابطه (ج-۳) کوچک و قابل صرف‌نظر است. بنابراین در این فاصله قدر مطلق تابع انتقال مقدار ثابت صفر و مستقل از فرکانس می‌باشد.

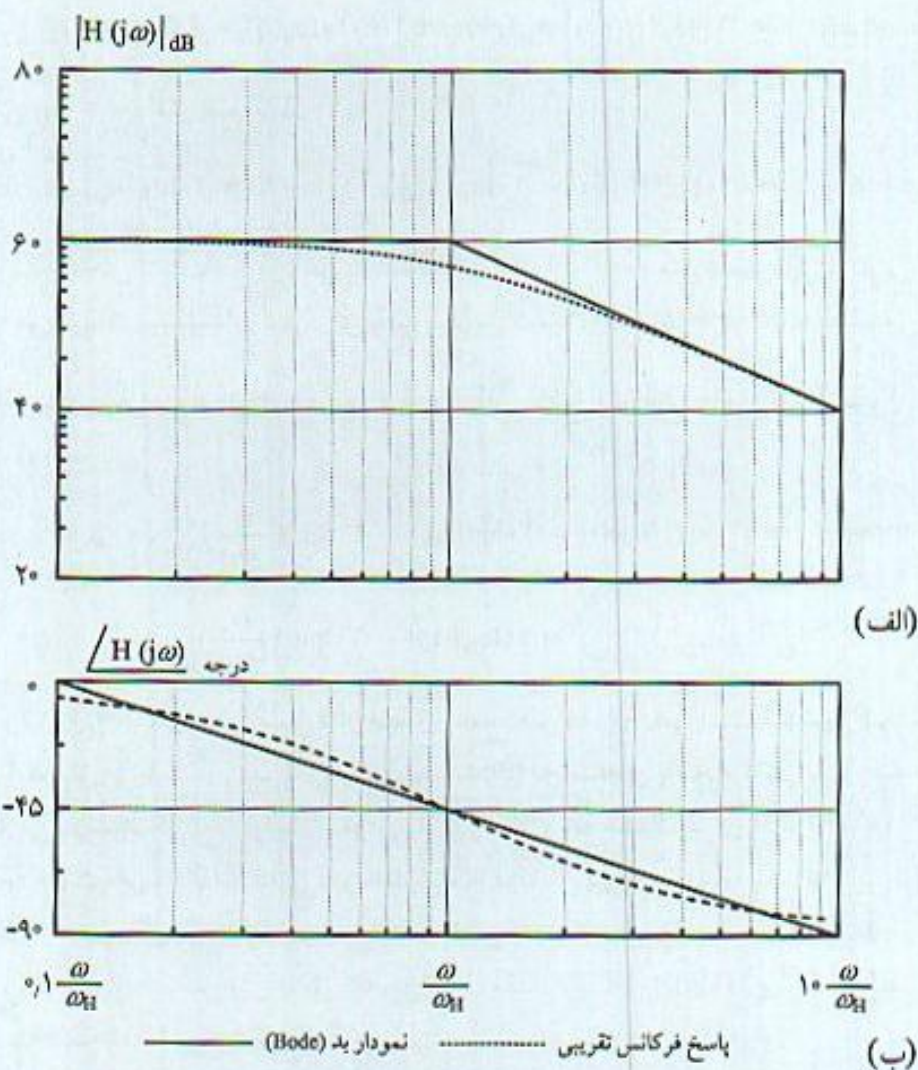
$$\omega \ll \omega_H \Rightarrow \varphi = -\tan^{-1} \frac{\omega}{\omega_H} \approx 0^\circ \quad (\text{ج-۷})$$

در فرکانس  $\omega = \omega_H$  مقدار فاز :

$$\omega = \omega_H \Rightarrow \varphi = -\tan^{-1} \frac{\omega_H}{\omega_H} = -45^\circ \quad (\text{ج-۸})$$

و برای فرکانسهای خیلی بالاتر از  $\omega_H$  می‌توان به آسانی نشان داد که زاویه باز به مقدار نهایی  $-90^\circ$  مجانب می‌شود. با مشخص شدن سه نقطه از منحنی فاز و با وصل کردن آنها به هم، مجانب پاسخ فاز تابع انتقال بدست می‌آید. شکل (ج-۱ ب) نمودار بد (Bode) و شکل دقیق فاز تابع انتقال را نشان می‌دهد.





شکل (ج-۱) پاسخ فرکانس فاز و نمودارهای بد (Bode) تابع انتقال پایین گذر

## مثال ج-۲

تابع انتقال یک مدار بالاگذر بصورت رابطه (ج-۹) با بهره باند میانی  $A_o$  و فرکانس قطع پایین  $\omega_L$  است.

$$H(s) = \frac{A_o s}{s + \omega_L} \quad (\text{ج-۹})$$

عبارت قدر مطلق و فاز این تابع انتقال بصورت:

$$|H(j\omega)| = \frac{A_o}{\sqrt{1 + (\omega_L/\omega)^2}}, \quad \varphi = \angle H(j\omega) = \angle A_o - \tan^{-1} \frac{\omega_L}{\omega} \quad (\text{ج-۱۰})$$

می باشند. قدر مطلق تابع انتقال را بر حسب دسیبل (dB):

$$20 \log |H(j\omega)| = 20 \log |A_o| + 10 \log [1 + (\omega_L/\omega)^2] \quad (\text{ج-۱۱})$$



است که شامل یک عبارت ثابت و مستقل از فرکانس و عبارت دوم که تابعی از فرکانس می باشد. مشابه حالت قبل مثال (ج-۱) می توان محدوده های فرکانسی مختلفی را در نظر گرفت. در فرکانسهای خیلی بالاتر از  $\omega_L$  بهره مقدار ثابت و بهره باند میانی است.

$$\omega \ll \omega_H \Rightarrow 20 \log |H(j\omega)| \approx 20 \log |A_0|$$

در فرکانس  $\omega = \omega_L$  مقدار تابع انتقال:

$$\omega = \omega_H \Rightarrow 20 \log |H(j\omega)| = 20 \log |A_0| - 10 \log(2) = 20 \log |A_0| - 3 \text{ dB}$$

است که در مقایسه با بخش ثابت پاسخ فرکانس به اندازه ۳ dB کمتر است. به همین علت به این فرکانس، فرکانس قطع ۳ dB پایین گفته می شود. در فرکانسهای خیلی پایین تر از  $\omega_L$  از مقدار ۱ در رابطه (ج-۱۱) می توان صرف نظر کرد و تقریب زیر را بکار برد.

$$\omega \ll \omega_H \Rightarrow 20 \log |H(j\omega)| = 20 \log |A_0| + 20 \log (\omega_L / \omega) \quad (\text{ج-۱۲})$$

ملاحظه می شود در این محدوده فرکانسی قدر مطلق پاسخ فرکانس خطی است و با شیب  $20 \text{ dB/decade}$  افزایش می یابد. شکل (ج-۲ الف) نمودار قدر مطلق تابع انتقال برای  $A_0 = 60 \text{ dB}$  را نشان می دهد. به جهت مقایسه مقدار دقیق قدر مطلق پاسخ فرکانس نیز رسم شده است. برای رسم نمودار بد (Bode) قدر مطلق پاسخ فرکانس تابع انتقال بالا گذر یک قطبی با بهره باند میانی  $A_0$  می توان به این صورت عمل کرد که از فرکانسهای بالا تا محل قطب مقدار ثابت  $20 \log |A_0|$  و از محل قطب به فرکانسهای پایین خطی با شیب  $20 \text{ dB/decade}$  ترسیم می شود.

از رابطه فاز این تابع انتقال در رابطه (ج-۹) به آسانی می توان نشان داد در محل قطب تابع انتقال فاز  $+45^\circ$  در فرکانسهای پایین  $0^\circ$  و در فرکانسهای خیلی بالا فاز به مقدار  $+90^\circ$  می رسد. شکل (ج-۲) نمودار بد (Bode) تابع انتقال را نشان می دهد.

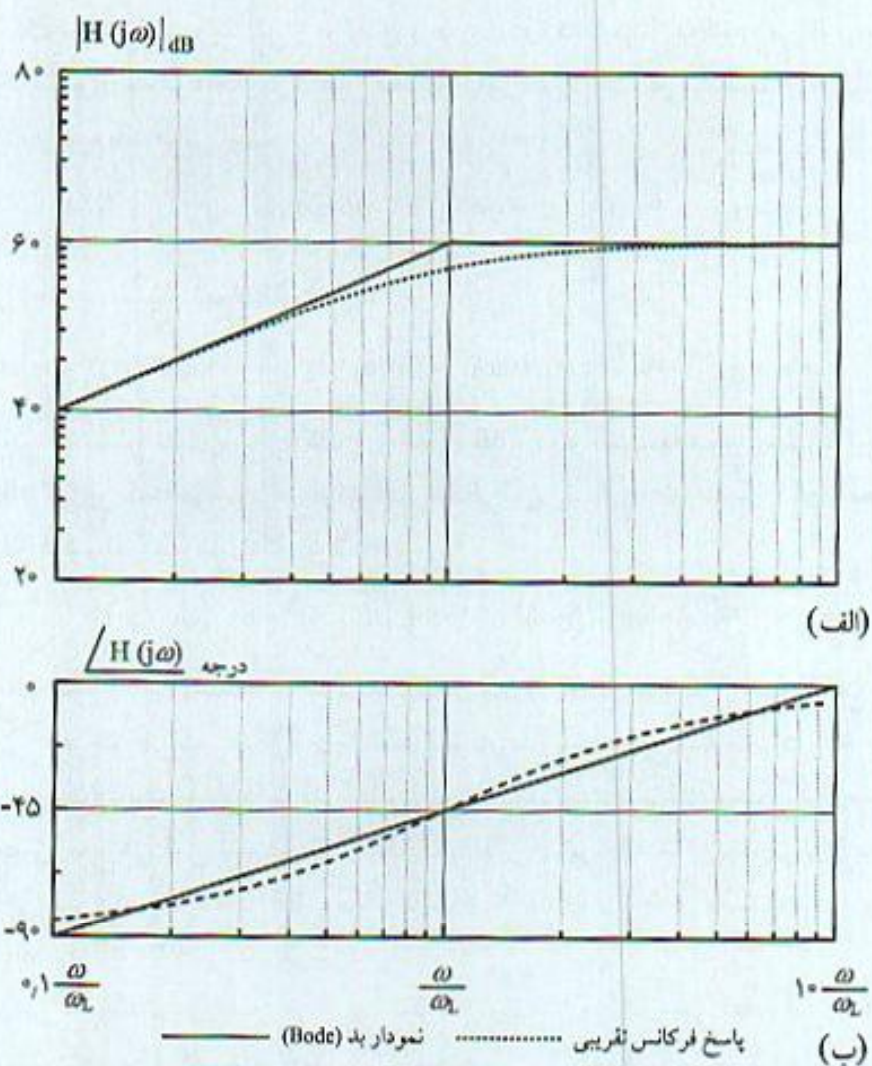
### مثال ج-۳

تابع انتقال یک تقویت کننده شامل یک قطب فرکانس پایین و یک قطب فرکانس بالا در رابطه (ج-۱۳) را در نظر بگیرید و نمودار بد (Bode) آن را رسم کنید. واحد  $s$  را  $s^{-1}$  فرض کنید.

$$H(s) = 1000 \frac{s}{(s + 0.1)} \frac{1}{(1 + \frac{s}{10})} \quad (\text{ج-۱۳})$$

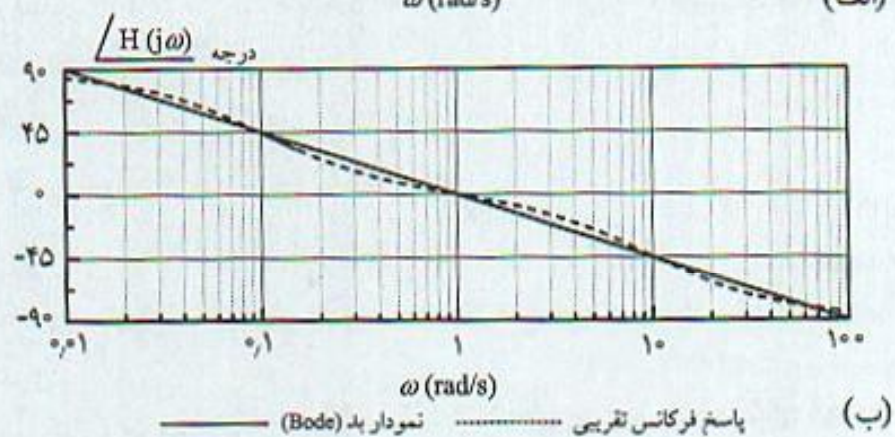
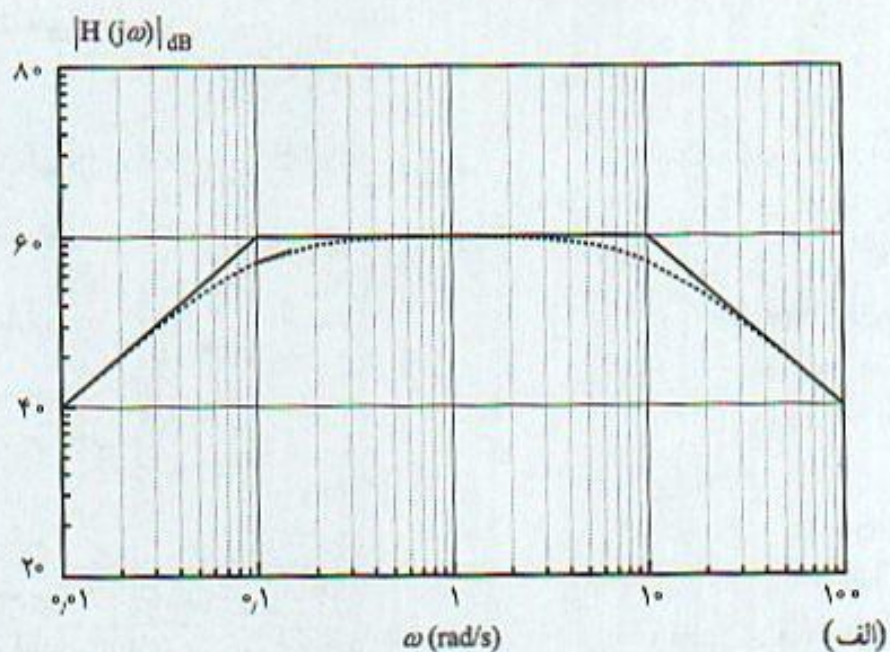
بهره باند میانی تابع انتقال  $1000$  و یا  $60 \text{ dB}$  است. دارای یک قطب فرکانس پایین در  $0.1 \text{ rad/s}$  و یک قطب فرکانس بالا در  $10 \text{ rad/s}$  است. بنابراین بین دو قطب بهره مقدار ثابت برای فرکانسهای بالاتر از قطب فرکانس بالا نمودار بد (Bode) بصورت خطی با شیب  $20 \text{ dB/decade}$  کم می شود. هم چنین در فرکانس پایین بهره بصورت خطی با شیب  $20 \text{ dB/decade}$  افزایش می یابد. شکل (ج-۳) پاسخ فرکانس قدر مطلق و فاز این تابع را نشان می دهد.





شکل (ج-۲) پاسخ فرکانس فاز و نمودارهای بد (Bode) تابع انتقال بالاگذر





شکل (ج-۳) پاسخ فرکانس فاز و نمودارهای بد (Bode) تابع انتقال میان‌گذر



## واژه‌نامه انگلیسی فارسی

active load	بار فعال
AGC, Automatic Gain Control	کنترل اتوماتیک بهره
audio amplifier	تقویت‌کننده صوتی
bandwidth	پهنای باند
base charging capacitor	خازن شارژ ناحیه بیس
base transit time $\tau_F$	زمان گذر بیس
base width modulation	مدولاسیون عرض بیس
bias	بایاس
forward bias	بایاس مستقیم
reverse bias	بایاس معکوس
BJT, bipolar junction transistor	ترانزیستور دو قطبی
Bode plot	نمودار بد
Brakhausen criteria	شرایط برک‌هازن
broadband	پهنای باند وسیع
Butterworth	باترورث
transfer function	تابع انتقال باترورث
circle	دایره باترورث
cascade amplifier	تقویت‌کننده سری
Common Mode Rejection Ratio (CMRR)	ضریب حذف سیگنال وجه مشترک
Compensate	جبران کردن
over Compensate	فوق جبران
under Compensate	زیر جبران
compensation	جبران
compensator	جبران‌کننده
internal	جبران‌کننده داخلی
external	جبران‌کننده خارجی
dominant pole	جبران قطب موثر
feedback zero	جبران صفر در مدار فیدبک
component	عنصر
cut off frequency	فرکانس قطع
damping factor	ضریب میرایی
data book	کتاب اطلاعاتی



differential amplifier	تقویت کننده تفاضلی
differential amplifier with active load	تقویت کننده تفاضلی با بار اکتیو
diffusion	انتشار
distortion	اعوجاج
amplitude distortion	اعوجاج دامنه
harmonic distortion	اعوجاج هارمونیک
nonlinear distortion	اعوجاج غیر خطی
phase distortion	اعوجاج فاز
dominant pole	قطب موثر
duty cycle	زمان کار
fall time	زمان نزول
feedback	فیدبک
positive	فیدبک مثبت
negative	فیدبک منفی
FET , Field Effect Transistor	ترانزیستور اثر میدان
JFET, Junction Field Effect Transistor	ترانزیستور اثر میدان پیوندی
MOSFET, Metal Oxide Semiconductor FET	ترانزیستور اثر میدان با پیوند اکسید فلز نیمه هادی
flat	مسطح
flat frequency response	پاسخ فرکانس مسطح
Maximally flat	مسطح و ماکزیمم
frequency response	پاسخ فرکانس
gain cross over frequency	فرکانس عبور بهره (فرکانس بهره حلقه واحد)
feed	تغذیه
Gain Margin, GM	حاشیه بهره
half equivalent circuit	مدار معادل نیم مدار
hybrid $\pi$ equivalent circuit	مدار معادل هایبرید پای
injection	تزریق
instability	ناپایداری
large signal	سیگنال بزرگ
Miller effect	اثر میلر
Nyquist plot	نمودار نایکوئیست
Operational Amplifier, op-amp	تقویت کننده عملیاتی، آپ-امپ
oscillator	نوسان ساز
Colpitts	نوسان ساز کولپیتس



mecham bridge	نوسان ساز پل میچم
phase shift	نوسان ساز انتقال فاز
quadrature	نوسان ساز متعامد
three phase	نوسان ساز سه فاز
Wien bridge	نوسان ساز وین
overshoot	بالا زدگی
parasitic	اضافی
peak	برآمدگی
phase cross over frequency	فرکانس عبور فاز
Phase Margin, PM	حاشیه فاز
pole zero cancellation	حذف صفر و قطب
quality factor, Q	ضریب کیفیت
Radio Frequency Choke, RFC	چک فرکانس رادیویی
Radio Frequency, RF	فرکانس رادیویی
recombination	ترکیب مجدد
resistive feedback	فیدبک مقاومتی
rise time	زمان صعود
root locus	مکان هندسی
root locus center	مرکز ثقل هندسی
self limit	خود محدود کننده
self frequency frequency	فرکانس رزونانس خودی
sensitivity	حساسیت
de-sensitivity	عدم حساسیت
square wave	موج مربعی
square wave test	آزمایش موج مربعی
stability	پایداری
amplitude	دامنه
frequency	فرکانس
substrate	پایه
tilt	کجی
time constant	ثابت زمانی
short circuit	ثابت زمانی اتصال کوتاه
open circuit	ثابت زمانی اتصال باز
transfer function	تابع انتقال



closed loop	مدار بسته
open loop	مدار باز
transit time $\tau_T$	زمان گذر
transition frequency, $f_T$	فرکانس گذر
UHF, Ultra High Frequency	فرکانس خیلی خیلی بالا
undamped natural frequency	فرکانس طبیعی غیر میرا
unilateral	یک طرفه
unity gain bandwidth	پهنای باند بهره واحد
VHF, Very High Frequency	فرکانس خیلی بالا
video amplifier	تقویت کننده تصویر
White Noise	نویز سفید

## واژه نامه فارسی انگلیسی

Miller effect	اثر میلر
parasitic	اضافی
distortion	اعوجاج
amplitude distortion	اعوجاج دامنه
harmonic distortion	اعوجاج هارمونیک
nonlinear distortion	اعوجاج غیر خطی
phase distortion	اعوجاج فاز
diffusion	انتشار
Butterworth	باترورث
transfer function	تابع انتقال باترورث
circle	دایره باترورث
active load	بار فعال
overshoot	بالا زدگی
bias	بایاس
forward bias	بایاس مستقیم
reverse bias	بایاس معکوس
peak	برآمدگی
frequency response	پاسخ فرکانس
stability	پایداری
amplitude	دامنه



frequency	فرکانس
substrate	پایه
bandwidth	پهنای باند
broadband	پهنای باند وسیع
unity gain bandwidth	پهنای باند بهره واحد
transfer function	تابع انتقال
closed loop	مدار بسته
open loop	مدار باز
BJT, bipolar junction transistor	ترانزیستور دو قطبی
FET, Field Effect Transistor	ترانزیستور اثر میدان
JFET, Junction Field Effect Transistor	ترانزیستور اثر میدان پیوندی
MOSFET, Metal Oxide Semiconductor FET	ترانزیستور اثر میدان با پیوند اکسید فلز نیمه هادی
recombination	ترکیب مجدد
injection	تزریق
video amplifier	تقویت کننده تصویر
differential amplifier	تقویت کننده تفاضلی
differential amplifier with active load	تقویت کننده تفاضلی با بار اکتیو
cascade amplifier	تقویت کننده سری
audio amplifier	تقویت کننده صوتی
Operational Amplifier, op-amp	تقویت کننده عملیاتی، آپ-امپ
time constant	ثابت زمانی
short circuit	ثابت زمانی اتصال کوتاه
open circuit	ثابت زمانی اتصال باز
compensation	جبران
compensator	جبران کننده
internal	جبران کننده داخلی
external	جبران کننده خارجی
dominant pole	جبران قطب موثر
feedback zero	جبران صفر در مدار فیدبک
Compensate	جبران کردن
over Compensate	فوق جبران
under Compensate	زیر جبران
Radio Frequency Choke, RFC	چک فرکانس رادیویی
Gain Margin, GM	حاشیه بهره



Phase Margin, PM	حاشیه فاز
pole zero cancellation	حذف صفر و قطب
sensitivity	حساسیت
de-sensitivity	عدم حساسیت
base charging capacitor	خازن شارژ ناحیه بیس
self limit	خود محدود کننده
rise time	زمان صعود
transit time $\tau_T$	زمان گذر
base transit time $\tau_F$	زمان گذر بیس
fall time	زمان نزول
duty cycle	زمان کار
large signal	سیگنال بزرگ
small signal	سیگنال کوچک
Brakhausen Criteria	شرایط برگ هازن
Common Mode Rejection Ratio	ضریب حذف سیگنال وجه مشترک
damping factor	ضریب میرایی
quality factor, Q	ضریب کیفیت
component	عنصر
VHF, Very High Frequency	فرکانس خیلی بالا
UHF, Ultra High Frequency	فرکانس خیلی خیلی بالا
Radio Frequency, RF	فرکانس رادیویی
self frequency frequency	فرکانس رزونانس خودی
gain cross over frequency	فرکانس عبور بهره (فرکانس بهره حلقه واحد)
feed	
phase cross over frequency	فرکانس عبور فاز
cut off frequency	فرکانس قطع
transition frequency, $f_T$	فرکانس گذر
undamped natural frequency	فرکانس طبیعی غیر میرا
feedback	فیدبک
positive	فیدبک مثبت
negative	فیدبک منفی
resistive feedback	فیدبک مقاومتی
dominant pole	قطب موثر
data book	کتاب اطلاعاتی



tilt	کجی
AGC, Automatic Gain Control	کنترل اتوماتیک بهره
half equivalent circuit	مدار معادل نیم مدار
hybrid $\pi$ equivalent circuit	مدار معادل هایبرید پای
base width modulation	مدولاسیون عرض بیس
root locus center	مرکز ثقل هندسی
flat	مسطح
flat frequency response	پاسخ فرکانس مسطح
Maximally flat	مسطح و ماکزیمم
square wave	موج مربعی
square wave test	آزمایش موج مربعی
root locus	مکان هندسی
critically damped	میرایی بحرانی
instability	ناپایداری
Bode plot	نمودار بد
Nyquist plot	نمودار نایکوئیست
oscillator	نوسان ساز
Colpitts	نوسان ساز کولپیتس
mecham bridge	نوسان ساز پل میچم
phase shift	نوسان ساز انتقال فاز
quadrature	نوسان ساز متعامد
three phase	نوسان ساز سه فاز
Wien bridge	نوسان ساز وین
White Noise	نویز سفید
unilateral	یک طرفه





مؤسسه علمی فرهنگ

## فهرست کتاب‌های فنی مهندسی دانشگاهی «فصل»

توجه: برای آگاهی از تغییر احتمالی قیمت کتابها قبل از ارسال حواله سفارش خود با دفتر انتشارات تماس بگیرید. اگر مبلغ ارسالی مساوی قیمت کتابها نباشد، ارسال مقدور نخواهد بود.

### کتابهای فنی مهندسی

ردیف	عنوان	مؤلف / مترجم	قیمت / تعداد صفحه تومان
۱	مبانی فیزیک با CD / تمام رنگی / ویراست ۲۰۰۵/۷	هالیدی - رزنیک / دیانی	تحریر ۷۰۰۰ گلاس ۸۵۰۰ ۲۰۸ ص
۲	مبانی فیزیک الکترواسته و مغناطیس با CD / تمام رنگی / ویراست	هالیدی - رزنیک / دیانی	بزودی
۳	مبانی فیزیک موج، حرارت و سیالات با CD / تمام رنگی / ویراست	هالیدی - رزنیک / دیانی	بزودی
۴	طراحی اجزاء ماشین با CD / دورنگ (جلد ۱/ چاپ ۲) جلد سخت	شیگلی / زارع پور	۸۸۸/۹۵۰۰ ص
۵	طراحی اجزاء ماشین ویراست ششم با CD / دورنگ (جلد ۲)	شیگلی / زارع پور	۳۹۲/۵۵۰۰ ص
۶	تحلیل مهندسی مدار با CD / دورنگ (چاپ پنجم)	هیت / دیانی	۶۴۰/۷۰۰۰ ص
۷	قطعات و مدارهای الکترونیک ویراست هشتم با CD / دورنگ	نشلکی / گنجی	۶۰۸/۶۰۰۰ ص
۸	تحلیل و طراحی مدارهای الکترونیک با CD / دورنگ	نیمن / حبیبیان	۵۱۰/۴۵۰۰ ص
۹	مهندسی کنترل / ویراست چهارم / چاپ دوم	اوگاتا / دیانی	۶۲۴/۷۵۰۰ ص
۱۰	مبانی ماشین‌های الکتریکی / ویراست چهارم	چاپمن / صدوقی - دیانی	۶۸۸/۶۰۰۰ ص
۱۱	ماشین‌های الکتریکی (ویراست ششم)	فیتزجرالد / دیانی	۶۴۸/۶۵۰۰ ص
۱۲	بررسی سیستم‌های قدرت	استیونسون / دیانی	۴۳۲/۲۲۰۰ ص
۱۳	سیستم‌های مخابراتی (چاپ چهارم)	کارلسون / دیانی	۸۰۰/۷۰۰۰ ص
۱۴	آنتن برای تمام کاربردها / ویراست سوم	کراوس / دیانی	۹۲۸/۷۵۰۰ ص
۱۵	اپتیک	هشت / دیانی	۶۴۰/۸۰۰۰ ص
۱۶	سیگنالها و سیستمها (چاپ هفتم)	اپنهایم / دیانی	۸۸۰/۷۰۰۰ ص
۱۷	تحلیل و طراحی مدارهای مجتمع دیجیتال (الکترونیک دیجیتال)	هاجس - جکسون / دیانی	۵۵۲/۴۸۰۰ ص
۱۸	مخابرات الکترونیک مدرن با CD / تمام رنگی / ویراست ۷	گری / گنجی	بزودی
۱۹	طراحی مدار منطقی دیجیتال با CD / دورنگ (چاپ دوم)	مانو / دیانی	۴۸۰/۴۵۰۰ ص
۲۰	تحلیل و طراحی مدار منطقی دیجیتال (چاپ سوم)	نلسون / دیانی	۷۸۴/۶۵۰۰ ص
۲۱	مدارهای مجتمع آنالوگ (چاپ سوم)	گری / احسانی	۷۵۲/۴۵۰۰ ص
۲۲	طراحی مدارهای مجتمع آنالوگ	جونز - مارتین / پزشکی - صدریه	۶۴۸/۴۵۰۰ ص
۲۳	طراحی مدارهای مجتمع CMOS آنالوگ	رضوی / شبیری - معارفی	۶۵۶/۴۵۰۰ ص
۲۴	میکروالکترونیک RF	رضوی / شبیری	۳۳۶/۳۰۰۰ ص
۲۵	عملکرد و کاربردهای PLC در اتوماسیون صنعتی	وارناک / صفوی - شجاعی	۴۹۲/۴۵۰۰ ص
۲۶	PLC / تمام رنگی	پتروولا / کاردان - ابراهیمی	بزودی
۲۷	کتاب جامع VerilogHDL با CD	سایلتی / شکاری زاده	بزودی



۲۸	VHDL مقدماتی از شبیه سازی تا سنتز با CD (چاپ دوم)	یالامانچی / نکویی - زعفرانی	۳۳۶ / ۳۵۰۰ ص
۲۹	Verilog (طراحی مدارهای دیجیتال) با CD	افشار	۲۷۲ / ۲۴۰۰ ص
۳۰	تکنیک پالس (چاپ دهم - ویراست دوم)	معمودی - نشاطی	۲۴۰ / ۳۸۰۰ ص
۳۱	میکروپروسسورها (۸۰۸۵، ۸۰۸۰، Z-۸۰) (چاپ دوم)	افنیک / دیانی / ارشدی نژاد	۷۳۶ / ۶۰۰۰ ص
۳۲	میکروپروسسورهای اینتل ویراست ۷/۲۰۰۶	باری بری / شکاری زاده	<b>بزودی</b>
۳۳	میکروالکترونیک (چاپ سوم) / دورنگ	سدره / دیانی	۸۳۲ / ۶۵۰۰ ص
۳۴	میکروکنترلر ۸۰۱۹۶	دکتر افشار / مرادی	۱۴۶ / ۸۰۰ ص
۳۵	میکروکنترلر AVR با CD (چاپ پنجم)	کاهه	۳۲۰ / ۳۲۰۰ ص
۳۶	میکروکنترلرهای AVR و کاربردهای آن با CD	ره افروز	۴۶۴ / ۲۰۰۰ ص
۳۷	آزمایشگاه مهندسی میکروپروسسور (چاپ چهارم)	دکتر پزشک	۱۵۸ / ۷۰۰ ص
۳۸	رهیافت حل مسئله در سیستمها و سیستمها	دیانی	۶۰۸ / ۴۵۰۰ ص
۳۹	رهیافت حل مسئله در الکترونیک (۱) (چاپ چهارم)	دیانی	۳۶۸ / ۳۲۰۰ ص
۴۰	رهیافت حل مسئله در الکترونیک (۲) (چاپ سوم)	دیانی	۲۹۶ / ۳۸۰۰ ص
۴۱	رهیافت حل مسئله در مدار (۱) (چاپ چهارم)	دیانی	۴۰۸ / ۳۰۰۰ ص
۴۲	رهیافت حل مسئله در مدار (۲) (چاپ دوم)	دیانی	۳۶۸ / ۲۴۰۰ ص
۴۳	رهیافت حل مسئله در سیستمهای کنترل	دیانی	۵۶۰ / ۳۵۰۰ ص
۴۴	رهیافت حل مسئله در الکترومغناطیس (چاپ سوم)	دیانی	۲۳۲ / ۳۵۰۰ ص
۴۵	رهیافت حل مسئله در معادلات دیفرانسیل	مجلسی - دیانی	۴۱۶ / ۳۰۰۰ ص
۴۶	رهیافت حل مسئله در مخابرات	مربخ بیات	<b>بزودی</b>
۴۷	فیزیک دانشگاهی (ویراست دهم - چاپ دوم)	بانگ فریدمن / دیانی	۴۰۸ / ۵۰۰۰ ص
۴۸	مرجع کامل SIMATIC Manager با CD (چاپ دوم)	صداقت - صادقی	۴۰۸ / ۲۰۰۰ ص
۴۹	مرجع کامل PLC Networking با CD	زیمنس / صداقت	<b>بزودی</b>
۵۰	مرجع کامل Pspice Schematic 9.2 با CD (چاپ دوم)	مدبرنیا	۴۰۰ / ۴۵۰۰ ص
۵۱	مرجع کامل PSpice با استفاده از OrCAD با CD	رشید / بتواری - ریاضی	۴۸۰ / ۴۵۰۰ ص
۵۲	مدارهای مجتمع FPGA با CD (ناپاب)	پزشک - عزیزی	۳۹۲ / ۲۹۰۰ ص
۵۳	آموزش EWB با CD (چاپ دوم)	حمید یوسف زاده	۲۲۴ / ۲۵۰۰ ص
۵۴	حل مسائل تحلیل مهندسی مدار جلد ۱	اصفهانی	۲۳۲ / ۲۲۰۰ ص
۵۵	حل مسائل تحلیل مهندسی مدار جلد ۲	اصفهانی	۲۱۲ / ۲۸۰۰ ص
۵۶	طراحی مهندسی با Solidworks	سالاری - میرزاده	۳۴۴ / ۲۵۰۰ ص
۵۷	ANSYS همراه با CD (ویراست دوم) (ناپاب)	شعبانعلی	۴۸۲ / ۳۸۰۰ ص
۵۸	تبدیل فوری و کاربردهای آن در مهندسی پزشکی	ستاره دان - پنهان	۱۸۴ / ۲۰۰۰ ص
۵۹	تئوری و کاربرد سیستمهای طبقه گسترده (ناپاب)	الکس لم / ابطی	۲۱۶ / ۱۴۰۰ ص
۶۰	مخابرات سیار ماهواره ای (چاپ دوم)	پاتان / حکاک - جداری	۲۵۶ / ۲۵۰۰ ص
۶۱	الکترومغناطیس	پلونس / دیانی	۷۱۶ / ۱۲۰۰ ص
۶۲	ریاضی فراگیر	مجلسی	۱۶۰ / ۱۵۰۰ ص



۶۳	کنترل فرآیندهای شیمیایی	استفانوپلوس / دکتر ناصر	۶۱۶ / ۳۸۰۰ ص
۶۴	جبرد مجرد	دیوراسی / عالم زاده	۳۶۸ / ۱۸۰۰ ص
۶۵	میکرواستیشن	ایترگراف / محمدحیدر خانی	۱۴۴ / ۵۰۰ ص
۶۶	درس و کنکور شیمی آلی (کارشناسی به کارشناسی ارشد)	زنوزی	۲۸۸ / ۲۲۰۰ ص
۶۷	مخزن سوالات شیمی آلی (کارشناسی به کارشناسی ارشد)	زنوزی	۵۲۸ / ۲۵۰۰ ص
۶۸	درس و کنکور سیگنالها و سیستمها (کارشناسی ارشد) (چاپ دوم)	مریخ بیات	۳۰۴ / ۳۰۰۰ ص

### کتابهای فنی مهندسی زبان اصلی

۶۹	مهندسی میکروویو / ویراست سوم / ۲۰۰۵ / زبان اصلی	پوزار	۷۲۰ / ۷۰۰۰ ص
۷۰	مقدمهای بر سیستمهای رادار / ویراست ۳ / زبان اصلی	اسکولنیک	۷۸۴ / ۱۲۰۰۰ ص
۷۱	طراحی مدارهای مجتمع مخابرات نوری / زبان اصلی	رضوی	۳۸۴ / ۶۰۰۰ ص
۷۲	ماشینهای الکتریکی ویراست چهارم (زبان اصلی)	چاپمن	۷۴۶ / ۷۰۰۰ ص
۷۳	طراحی مدارهای منطقی با وری لاگ (زبان اصلی) یا CD	براون	۸۴۴ / ۸۰۰۰ ص
۷۴	پردازش دیجیتال تصویر (زبان اصلی)	گونزالز	۷۹۴ / ۱۲۰۰۰ ص
۷۵	پردازش دیجیتال تصویر با استفاده از مطلب (زبان اصلی)	گونزالز	۶۲۴ / ۱۲۰۰۰ ص
۷۶	میکروپروسسورهای اینتل ویراست ۷ / ۲۰۰۶ (زبان اصلی)	باری بری	۹۱۲ / ۱۲۰۰۰ ص
۷۷	میکروپروسسورهای (I) اسمبلی (زبان اصلی) (چاپ دوم)	مزیدی	۳۶۶ / ۴۰۰۰ ص
۷۸	میکروپروسسور (II) مدار واسط	مزیدی	۷۶۴ / ۲۵۰۰ ص
۷۹	میکروکنترلرهای ۸۰۵۱ ویراست دوم / ۲۰۰۶	مزیدی	۶۴۰ / ۷۰۰۰ ص
۸۰	میکروالکترونیک / ویراست سوم / ۲۰۰۵ / زبان اصلی	پوزار	۷۲۰ / ۷۰۰۰ ص
۸۱	مکانیک سیالات (زبان اصلی)	شیمز	۸۵۲ / ۷۰۰۰ ص
۸۲	مهندسی کنترل (زبان اصلی)	اوگاتا	۹۷۲ / ۷۰۰۰ ص
۸۳	فرآیندهای تصادفی (زبان اصلی)	پاپولیس (چاپ دوم)	۸۵۶ / ۸۰۰۰ ص
۸۴	آنتن ها (زبان اصلی)	کراوس	۹۳۸ / ۶۰۰۰ ص
۸۵	مقدمهای بر الگوریتمها (CCRL) (زبان اصلی) (چاپ دوم)	کورمن	۱۲۰۰ / ۱۲۰۰۰ ص
۸۶	Microcontrollers (جلد ۱ و ۲) / (زبان اصلی)	شرکت ایتل	۴۶۰ / ۶۰۰۰ ص
۸۷	طراحی مدارهای مجتمع آنالوگ CMOS (زبان اصلی)	دکتر رضوی	۶۸۶ / ۳۵۰۰ ص
۸۸	تحلیل و طراحی مدارهای الکترونیک (زبان اصلی) / ویراست ۲	گری - مایر	۸۸۰ / ۷۰۰۰ ص
۸۹	D.S.P ویراست دوم (زبان اصلی) (چاپ دوم)	ابتهایم	۸۷۰ / ۸۰۰۰ ص
۹۰	مدار منطقی دیجیتال (زبان اصلی)	نلسون و...	۸۴۲ / ۳۵۰۰ ص
۹۱	VHDL (زبان اصلی) (چاپ دوم)	دکتر نوایی	۶۳۴ / ۵۰۰۰ ص
۹۲	Verilog	نوایی	۴۶۰ / ۴۰۰۰ ص
۹۳	سیستمهای مخابراتی (ویرایش ۲۰۰۲) (تاب)	کارلسون	۸۵۲ / ۲۵۰۰ ص
۹۴	طراحی مدارهای VLSI (زبان اصلی)	ولف	۴۶۸ / ۱۷۵۰ ص



### کتابهای عمومی

ردیف	عنوان	مؤلف / مترجم	قیمت / تعداد صفحه تومان
۹۵	پیش بینی قیمت سهام در بورس با CD	توماس میرز - شعبانعلی	۲۸۸/۳۸۰۰
۹۶	اطلاعات پزشکی خانواده - با ۱۶ صفحه رنگی	دکتر پاک سرشت	۴۱۶/۳۵۰۰ ص
۹۷	جامعه شناسی علم	دکتر توکل	۱۹۰/۱۲۰۰
۹۸	نگهداری حفريات زیر زمینی در سنگهای سخت	سرهوک / قارونی نیک	۲۷۰/۱۵۰۰
۹۹	مدیریت کیفیت آب در دریاچه ها و رودخانه ها	دیویس / ناصری، قانعیان	۸۰/۵۰۰
۱۰۰	رهنمودهای کیفیت آب آشامیدنی	بنی زاده	۲۱۲/۶۰۰
۱۰۱	ارزیابی ژنتیکی	دکتر امام جمعه	۴۸۰/۱۴۰۰
۱۰۲	۱۳۰۰ تست فلسفه و منطق جلد (۲) (چاپ دوم)	محسن مروی نام	۳۲۸/۱۶۰۰
۱۰۳	چگونه کودک سالم داشته باشیم (چاپ دوم)	دکتر نوری، دیانی	۲۰۸/۶۰۰
۱۰۴	چگونه پولدار شویم	کریسلند / دیانی	۱۵۶/۷۰۰
۱۰۵	ریاضی عمومی	کلاته ای	۲۲۰/۷۰۰
۱۰۶	نسیم رحمت	ابولمعالی	۲۷۲/۱۵۰۰
۱۰۷	زمانسنجی به روش MOST	مهندس عرب	۲۳۴/۳۲۰
۱۰۸	سرزمین رویاها قطعاتی برای پیاو	دکتر عادل شفیعی	۵۶/۵۰۰
۱۰۹	هرس سازگار با طبیعت (چاپ دوم)	دکتر احمدی	۲۱۸/۷۰۰
۱۱۰	کار گروهی	لارسون - خسروی	۲۰۲/۱۸۰۰
۱۱۱	قفسه صدی		۲۳۲/۱۴۰۰

دفتر انتشارات: تهران - م انقلاب - خ اردیبهشت - بن بست مبین - شماره ۲۳۷

تلفکس: ۶۶۴۱۲۳۸۵ تلفن: ۶۶۹۵۳۸۸۳ - ۶۶۴۶۵۶۷۲

فروشگاه: ضلع جنوب شرقی میدان انقلاب - شماره ۱۵۰۰/۳

تلفن فروشگاه: ۶۶۴۰۵۳۷۲ ص - پ ۸۶۳ - ۱۳۱۴۵



## آنچه در این کتاب می خوانید :

- مدار معادل عناصر فعال در فرکانس بالا
- پاسخ فرکانس تقویت کننده های یک طبقه
- پاسخ فرکانس تقویت کننده های چند طبقه
- تقویت کننده های فیدبک در باند میانی
- ناپایداری تقویت کننده های فیدبک
- جبران تقویت کننده های فیدبک با مکان هندسی ریشه ها
- جبران تقویت کننده های فیدبک در میدان فرکانس
- نوسان سازهای سینوسی
- پیوسته ها
- الف مشخصات ترانزیستور 2N3904
- ب مشخصات ترانزیستور 2N4958 و 2N4957
- ج رسم نمودار بد
- واژه نامه انگلیسی به فارسی
- واژه نامه فارسی به انگلیسی



POWEREN.IR

### دفتر انتشارات:

تهران - م انقلاب - خ اردیبهشت - بن پست مبین - شماره ۲۳۷  
تلفکس: ۶۶۴۱۲۳۸۵ - ۶۶۹۵۳۸۸۳ - ۶۶۴۶۵۶۷۴

### فروشگاه:

ضلع جنوب شرقی میدان انقلاب - شماره ۱۵۰۰/۳  
تلفن فروشگاه: ۶۶۴۰۵۳۷۲ - ص - پ ۱۳۱۴۵-۸۶۳

شابک: ۹۶۴-۴۱۰-۰۷۷-۸



9 789644 100772

